

**СТРОИТЕЛЬНАЯ
МЕХАНИКА КОРАБЛЯ
И ТЕОРИЯ
УПРУГОСТИ**

В **2** ТОМАХ

ТОМ

2

***Изгиб
и устойчивость
стержней,
стержневых
систем,
пластин
и оболочек***

Допущено Министерством высшего
и среднего специального образования СССР
в качестве учебника для студентов судов,
обучающихся по специальности
«Судостроение и судоремонт»



Ленинград
«Судостроение»
1987

Авторы: В. А. Постнов, Д. М. Ростовцев, В. П. Суслон,
Ю. П. Кочанов

Редакция: кафедра Горьковского политехнического института (д-р техн. наук,
В. М. Волков), д-р техн. наук В. А. Редесный

Образец обложки строительной механики, прочности и конструкции судна ред-
коллегии издательства

Научный редактор зап. д-р техн. наук и техники, д-р техн. наук,
проф. В. А. Постнов

С 86 Строительная механика корабля и теория упругости: Учеб.
для вузов: В 2 т.—Л.: Судостроение, 1987. Т. 2: Пост-
нов В. А., Ростовцев Д. М., Суслон В. П., Кочанов Ю. П.
Изгиб и устойчивость стержней, стержневых систем, пластин
и оболочек. — 416 с.: ил.

ИСПИ

В т. 2 учебника рассмотрены методы расчета на изгиб и устойчивость
оболочек элементов судовой корпуса: балок, рам, выгородки, гладких и выгород-
ченных ребрами пластины и оболочки. Много внимания уделено вопросам статической
прочности тонкостенных стержней и теории изгибаемых стержней. Рассмотрены методы
и расчетные схемы обобщенной классической теории тонких упругих оболочек
тонкостенных цилиндрических и конических оболочек, оболочек сферического, эллипсоидального и параболического балок, судовой
рам и стержней.

Предназначен для студентов, обучающихся инженерно-техническим специальностям.
Изложены основные методы расчета прочности судовой конструкции. Можно быть полезным
специалистам, выполняющим расчеты прочности других выгородчатых конструкций.

366503000-071
485(01)-87

ББК 39.42-01

Современный этап развития судостроения ха-
рактеризуется появлением все новых и новых типов судов, кон-
структивно заметно отличающихся от традиционных. По этой при-
чине существовавшие ранее приближенные методы оценки прочно-
сти судовой корпуса и его отдельных элементов оказываются ча-
сто непригодными. В связи с этим стало необходимым построение
более строгих физических моделей, описывающих поведение судов-
ых конструкций при действиях внешних нагрузок, с последующим
использованием для их расчета аппарата механики твердого дефор-
мируемого тела и современных численных методов, ориентирован-
ных на широкое использование ЭВМ.

В т. 1 данного учебника достаточно полно изложены основные
положения механики твердого деформируемого тела, современные
численные методы решения задач теории упругости и строитель-
ной механики. Там же приведены многочисленные примеры, иллю-
стрирующие применение численных методов к расчету прочно-
сти основных элементов судовой конструкции: стержней, балок,
пластин.

В настоящем томе учебника рассмотрены изгиб и устойчивость
стержней и стержневых систем (судовые рамы и перегородки),
гладких и выгородчатых ребрами судовых пластин и оболочек.
Таким образом, учебник охватывает практически все наиболее
распространенные и важные судовые конструкции. Большое внима-
ние уделено выбору физической модели для реальных элемен-
тов судовой конструкции. Это не только повышает практическое зна-
чение изучаемой дисциплины, но и способствует дальнейшему
развитию творческих навыков у студентов.

При написании книги авторы ставили перед собой цель изло-
жить в достаточно ясной форме современное состояние рассма-
триваемой науки. При этом основное внимание уделялось мето-
дам расчета различных судовых конструкций со всеми их ха-
рактерными особенностями. Изучая эти методы, учащийся сам
сможет рассчитать любые судовые конструкции. Владение этими
учебных расчетов от различных частных примеров, не содержа-
щих в себе никаких специфических особенностей в методологи-
ческом отношении.

Распределение материала данного тома учебника между авто-
рами следующее: предисловие, введение, гл. 13, 18, 22—24 напи-
саны В. А. Постновым, гл. 15—17 — Д. М. Ростовцевым, гл. 14 —
В. П. Суслоним, гл. 21 — Ю. П. Кочановым, гл. 19, 20 — В. П. Су-
слоним и Ю. П. Кочановым совместно.

Авторы с благодарностью примут критические замечания чи-
тателей, направленные в адрес издательства «Судостроение»,
191065, Ленинград, ул. Гоголя, 8.

Корпус судна представляет собой сложную упругую систему, состоящую из большого числа взаимосвязанных конструктивных элементов: пластин, оболочек и стержней. Каждый из этих элементов нагружен определенной системой внешних нагрузок, реакциями взаимодействия со смежными элементами суднового корпуса. Эти усилия вызывают в элементах деформации различных видов. Так, отдельные балки в зависимости от их назначения и роли в составе суднового корпуса могут испытывать деформации растяжения-сжатия, кручения, изгиба или одновременно сразу несколько из указанных видов деформаций. Точно также и пластины как элементы суднового корпуса могут подвергаться действию усилий, вызывающих в них плоское напряженное состояние или деформации изгиба, либо то и другое одновременно. Из простейших элементов (балок, пластин, оболочек) набираются более крупные конструктивные элементы суднового корпуса: перекрытия, поперечные и продольные переборки и т. д.

Перекрытия и переборки входят в состав еще более крупных конструктивных модулей корпуса — судовых отсеков, из которых, по существу, и состоит судовой корпус в целом. В этой иерархии конструктивных элементов суднового корпуса каждое звено (балка, пластина, перекрытие, отсек) должно обладать необходимой прочностью, чтобы обеспечить требуемую прочность суднового корпуса в целом. Строгий расчет такой конструкции весьма сложен. Для упрощения расчета исходная задача разлагается на отдельные более простые и в значительной степени самостоятельные задачи.

Так, пользуясь тем, что длина судна велика по сравнению с размерами его поперечного сечения, часто судно рассматривают как неизменяемую пустотелую балку, нагруженную силами тяжести корпуса и груза, силами давления забортной воды, силами инерции, возникающими при качке судна. Изгиб корпуса судна как балки называется общим продольным изгибом.

В число конструктивных элементов корпуса входят так называемые поперечные связи — поперечные переборки, шпангоутные рамы, — препятствующие изменению формы поперечных сечений судна. Изгиб этих связей называется общим поперечным изгибом судна.

Отграничить рассмотренное лишь общее продольное и поперечное изгибы судна, разумеется, нельзя. Такой расчет слиш-

ком упрощенно представляет работу корпуса как конструкции и не позволяет судить о прочности отдельных его элементов: перекрытий, наружной обшивки, жестала палуб и платформ, закрепляющих их ребер и т. д.

Многие связи суднового корпуса, участвующие в общем продольном и поперечном изгибе судна, под действием приложенных на них местных нагрузок дополнительно испытывают местный изгиб, вследствие чего возникающие в них напряжения будут складываться из напряжений от общего и местного изгибов. По уровню этих суммарных напряжений можно судить о прочности того или иного элемента суднового корпуса, а следовательно, и суднового корпуса в целом.

Ниже будут изложены задачи расчета типичных схематизированных конструкций, выделенных из состава суднового корпуса, — балок, перекрытий, пластин и оболочек. По существу, к решению совокупности именно таких задач сводится, как правило, расчет напряженно-деформированного состояния не только судна, но и любого другого инженерного сооружения.

Таким образом, материал учебника ограничен решением второй основной проблемы строительной механики корабля — проблемы внутренних сил.

Курс «Прочность и вибрация корабля», к изучению которого студенты приступают вслед за настоящим курсом, уже комплексно рассматривает все составные части проверочного расчета прочности и методы проектирования суднового корпуса. Здесь на основе изучения условий постройки и эксплуатации судов различных типов решается проблема внешних сил, изучаются способы построения физических моделей и расчетных схем для оценки общей и местной прочности судов различных типов, решается проблема нормирования прочности. Большое внимание в курсе «Прочность и вибрация корабля» уделяется методам проектирования равнонапряженных судовых конструкций на основе прямого расчета, а также расчету корпуса и отдельных его элементов на действие различных динамических нагрузок.

В заключение приведем краткие сведения из истории строительной механики корабля.

Строительная механика корабля, основоположником которой по праву можно считать известного русского ученого-кораблестроителя, профессора Морской академии и кораблестроительного отделения Петроградского политехнического института И. Г. Бубнова (1872—1919 гг.), как самостоятельная наука начала формироваться в начале XX в. Труды И. Г. Бубнова, его книги [11, 12] составили целую эпоху в этой науке. В них были поставлены и частично решены почти все основные вопросы, привлекающие внимание исследователей почти до настоящего времени. И. Г. Бубновым были предложены первые нормы допускаемых напряжений для надводных кораблей, разработаны методы оценки прочности и устойчивости судовых перекрытий, закрепленных пластин и круговых цилиндрических оболочек. Им были предложены рас-

четные схемы оценки общей и местной прочности судов, которые вплоть до настоящего времени используют в расчетной практике.

Дальнейшее развитие строительной механики корабля связано с деятельностью выдающихся советских ученых: акад. А. Н. Крылова (1863—1945 гг.), чл.-кор. АН СССР П. Ф. Палконовича (1887—1946 гг.), акад. Ю. А. Шиманского (1883—1962 гг.). А. Н. Крыловым были разработаны методы расчета внешних нагрузок, действующих на судовой корпус в условиях морского волнения. П. Ф. Палконовичем выполнены глубокие исследования по изгибу и устойчивости перекрытий и пластин, подкрепленных ребрами жесткости. Широко известные монографии П. Ф. Палконовича [36—38] по отдельным разделам науки о прочности судовых конструкций являются констатацией многовековой научной знаний в этой области и не имеют себе равных в мировой литературе. Капитальные книги Ю. А. Шиманского «Динамические расчеты судовых конструкций», «Проектирование прерывистых связей судового корпуса», «Изгиб пластин» и др. способствовали решению многих важных задач и проблем строительной механики корабля.

Значительный вклад в современное состояние строительной механики корабля внес проф. А. А. Курдюмов (1911—1968 гг.) — один из пионеров широкого внедрения вероятностных методов при оценке прочности судна, автор многочисленных оригинальных исследований по всем основным проблемам строительной механики корабля.

Появление новых типов судов, широкое внедрение к судостроению новых конструктивных материалов, новых более прогрессивных технологических процессов изготовления судовых корпусов, стремление к максимальному снижению материалоемкости корпуса сопровождается постановкой все новых и новых задач и проблем строительной механики корабля, требующих безотлагательного решения. Над решением этих проблем сегодня успешно работает большая группа советских ученых, специалистов по прочности судовых конструкций.

Настоящий раздел полностью посвящен исследованию поведения стержней и стержневых систем. Почему же такое большое внимание уделяется в нашем курсе этим наиболее простым задачам строительной механики корабля? Объясняется это тем, что стержни и стержневые системы являются не только важнейшими прочностными элементами судового корпуса, но и

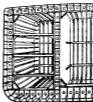


Рис. 13.1



Рис. 13.2

весьма часто используются в качестве физических моделей при исследовании поведения других более сложных элементов судового корпуса.

Как объект расчета на прочность корпус судна представляет собой оболочку весьма сложной конфигурации, закрепленную набором, консольными и продольными переборками. На рис. 13.1 и 13.2 в качестве примеров показаны конструкции корпуса нефтетанкера и сухогрузного судов.

Валки набора корпуса вместе с наружной обшивкой и обшивкой переборок образуют монолитное тело, в котором все элементы взаимосвязаны и совместно работают: изодействием внешних

нагрузки. Хотя в настоящее время и нет принципиальных трудностей в определении напряженно-деформированного состояния, которое вызывается внешними нагрузками в судовом корпусе как двояким слоем упругого тела, однако практическая его реализация оказывается весьма дорогостоящей, требующей больших затрат при составлении входной информации для достаточно полного описания «содержания» конструкции в машинное время, измерения десятками — сотнями тасов. Вместе с тем такой «глобальный» анализ напряженно-деформированного состояния судового корпуса неизбежно будет давать большой объем лишней информации, так как проектировщику нужно знать напряжения далеко не во всех частях корпуса. Кроме того, известная условность назначения расчетной внешней нагрузки, ограниченность данных о допускаемых напряжениях в отдельных местах, учет многих технологических напряжений в отдельных элементах, делают зачастую целесообразным уточнение данных до напряженно-деформированному состоянию (НДС) за счет упрощения расчетной схемы. Поэтому очень часто расчеты прочности отдельных частей корпуса выполняются при введении в расчетную схему значительных упрощений, путем замены, например, реальной подкреплённой оболочки корпуса некоторыми конструкциями, состоящими из балок.

Рис. 13.3



Такая замена основана на выделении так называемых присоединенных поясов (участков обшивки), включаемых в состав балок набора.

На рис. 13.3 в качестве примера показаны поперечное сечение длиной продольной балки — вертикального кляса с присоединенными поясами обшивки и сечение продольного ребра жесткости. Подобные пояска включены в состав всех балок, образующих продольный и поперечный наборы корпуса судна. Задача, связанная с определением размеров присоединенного пояса для широкого спектра судовых балок, была рассмотрена и решена в гл. 6.

С помощью выделенных присоединенных поясов из состава судового корпуса может быть выделен ряд стержневых конструкций, каждая из которых позволяет аналитически приближенно анализ напряженного состояния отдельных конструкций корпуса (декертей, переборок и т. д.). Совокупность этих аналогов позволяет получить в ряде случаев достаточно полное представление о величине и распределении напряжений в корпусе. Конечно, это все очень просто, однако фактическое выполнение упомянутой операции «выделения» требует глубокого понимания взаимодействия отдельных частей корпуса судна и может быть сделано только квалифицированными специалистами в области расчетов прочности инженерных конструкций.

Укажем на некоторые стержневые конструкции, которые могут быть выделены из состава корпуса судна с целью приближенной оценки напряженно-деформированного состояния отдельных частей

судового корпуса: а) однопролетные и многопролетные (перезрежные) балки; б) плоские рамы; в) плоские перекрытия; г) пространственные рамы.

Примеры использования перечисленных выше типов стержневых упругих систем при анализе напряжений различных конструкций судового корпуса будут приведены ниже в соответствующих главах учебника. Там же будут даны и методы расчета этих стержневых систем.

Глава 13 ИЗГИБ ПРЯМЫХ БАЛОК

§ 13.1. Балка как один из основных конструктивных элементов судового корпуса и как физическая модель при расчете некоторых сложенных судовых конструкций

Балка, как и стержень, — это тело, у которого один размер (длина) значительно больше двух других. Боковая поверхность балки описывается в пространстве контуром плоской фигуры при ее перемещении без вращения вдоль некоторой направляющей линии, называемой осью балки, так, что центр тяжести (ЦТ) фигуры остается на этой оси, а плоскость фигуры нормальна к ней. Указанная плоская фигура может изменить свою форму и площадь по длине балки и представляет собой плоские поперечные сечения, балки, перпендикулярные ее оси.

Балка называется прямой, если ее ось есть прямая линия, а главные оси всех поперечных сечений балки лежат в двух взаимно перпендикулярных плоскостях. Прямая балка имеет плоскую продольную, или балкой постоянного сечения, если все ее поперечные сечения имеют одинаковую форму и равную площадь. При изменении формы или площади поперечных сечений по длине прямой балки называется переменнотолщинной, или балкой переменной сечением.

Если положение главных центральных осей в плоскости поперечных сечений меняется по длине балки, то это балка с криволинейной изгибаемой осью.

В случае криволинейной оси различают балки малой и большой кривизны (крайне брусом), а также плоскокриволинейные и пространственно-криволинейные балки. К балкам малой кривизны относятся балки, у которых в любом сечении радиус кривизны оси в пять и более раз превышает размер этого сечения в направлении радиуса. Для таких балок можно применять без большой погрешности те же основные зависимости между элементами изгиба, что и для прямых балок. У плоскокриволинейных балок осью является плоская кривая, а одна из главных центральных осей каждого из поперечных сечений лежит в плоскости оси балки.

Как уже отмечалось, балка является распространенным конструктивным элементом судового корпуса. Она входит в состав конструкций судовых переборок, переборок, поперечных рам

и т. п. Балкой часто моделируется поведение судовой корпуса в целом при так называемом общем изгибе судна, при постановке судна в док, спуске судна. Дело в том, что корпус судов многих типов представляет собой весьма удлиненное тело (подкрепленную оболочку), которое обладает большой жесткостью в плоскости каждого из поперечных сечений. В результате при действии на такой корпус внешней нагрузки в реальных условиях эксплуатации судна каждое из поперечных сечений корпуса получает преимущественно лишь линейные и угловые перемещения как твердого тела. Но как известно из курса сопротивления материалов, деформации такого типа описываются технической теорией изгиба балок. Это позволяет во многих случаях напряжения в продольных связках корпуса определять его перемещения при общем изгибе на основе технической теории изгиба балок.



Рис. 13.4

Для применения этой теории необходимо поверхность и объемные силы, фактически действующие на судно (силы тяжести, давления заборной воды, силы жердан) привести к некоторой логановой нагрузке, условно приложенной к оси балки-корпуса. Такое приведение выполняется на основе вычисления в каждом сечении корпуса равнодействующей усредненных выше объемных и поверхностных сил.

Совместим ось x с осью балки, а оси y и z с главными центральными осями поперечных сечений (рис. 13.4). Начало координат расположим в ЦТ одного из торцов балки.

Приведенные внешние нагрузки. На балку в общем случае могут действовать следующие нагрузки: на боковую поверхность — поверхностные нагрузки $P_{lx}(x, z)$, $P_{ly}(x, z)$, $P_{lz}(x, z)$ (v — внешняя нормаль к боковой поверхности, z — приближенной координата по периметру контура поперечного сечения); на торцевые поверхности ($x = \text{const}$) — нагрузки $P_{xx}(y, z)$, $P_{xy}(y, z)$, $P_{xz}(y, z)$.

Распределенные по площади боковой поверхности нагрузки можно привести к статически эквивалентным распределенным вдоль оси балки (погонным) нагрузкам

$$\left. \begin{aligned} q_x(x) &= \int P_{lx}(x, z) dz, & q_y(x) &= \int P_{ly}(x, z) dz; \\ q_z(x) &= \int P_{lz}(x, z) dz; \\ m_x(x) &= \int [y P_{lx}(x, z) - z P_{ly}(x, z)] dz; \\ m_y(x) &= \int z P_{lx}(x, z) dz; & m_z(x) &= \int y P_{lx}(x, z) dz, \end{aligned} \right\} (13.1)$$

где $q_x(x)$, $q_y(x)$, $q_z(x)$ — погонные интенсивности внешней осевой силы, внешней поперечной нагрузки в плоскости oxy и внешней поперечной нагрузки в плоскости ozx соответственно; $m_x(x)$, $m_y(x)$, $m_z(x)$ — погонные интенсивности внешних распределенных моментов относительно осей x , y и z соответственно. Интегралы в выражениях (13.1) берутся по всему периметру контура поперечного сечения.

Если на балку действуют объемные силы $X(x, y, z)$, $Y(x, y, z)$, $Z(x, y, z)$, то они также могут быть учтены при определении погонных усилий (13.1) добавлением соответствующих интегралов по площади сечения балки.

Погонные нагрузки или моменты, распределенные на небольшом участке длины балки dx и имеющие большую интенсивность, можно заменить статически эквивалентными сосредоточенными силами или моментами, приложенными в сечении s , под ЦТ соответствующих вектор нагрузок на участке dx :

$$\left. \begin{aligned} T_s &= \int_{q_y}^{q_y+dx} q_x(x) dx; & P_{ys} &= \int_{q_y}^{q_y+dx} q_y(x) dx; \\ P_{xs} &= \int_{q_z}^{q_z+dx} q_x(x) dx; & M_{xs} &= \int_{q_z}^{q_z+dx} m_x(x) dx; \\ M_{ys} &= \int_{q_z}^{q_z+dx} m_y(x) dx; & M_{zs} &= \int_{q_z}^{q_z+dx} m_z(x) dx, \end{aligned} \right\} (13.2)$$

где T_s , P_{ys} , P_{xs} — сосредоточенные осевая и поперечные по направлениям осей y и z силы, приложенные к ЦТ сечения балки $x = x$; M_{xs} , M_{ys} , M_{zs} — сосредоточенные моменты относительно осей x , y и z соответственно, приложенные в сечении $x = x$.

Поверхностные нагрузки на каждом торце балки также приводятся к шести сосредоточенным усилиям, приложенным в центрах тяжести торцов. Для этих усилий можно сохранить обозначения, принятые в выражении (13.2), подразумевая под i индекс соответствующего торца.

Рассмотренная выше система нагрузок вызывает следующие виды обшей деформации балки:

растяжение-сжатие вдоль оси x от действия нагрузок T_s , $q_x(x)$; изгиб в плоскости oxy от нагрузок $q_y(x)$, P_{ys} , $m_x(x)$, M_{xs} ; изгиб в плоскости ozx от действия нагрузок $q_z(x)$, P_{zs} , $m_y(x)$, M_{ys} .

Кручение вокруг оси x от действия крутящих моментов $m_x(x)$ и $M_{xs}(x)$, вычисляемых так же, как и $m_x(x)$, $M_{xs}(x)$, по отношению центра кручения сечения.

Кроме указанных деформаций будут возникать также местные деформации, зависящие от действительного характера распределения нагрузок P , q , X , Y , Z по поверхности и объему

балки. Если балка является относительно жестким упругим телом, что и подразумевается в этой главе, то перечисленные выше ее деформации не будут оказывать взаимного влияния друг на друга и их можно рассматривать раздельно. Суммарное напряженно-деформированное состояние определяется как сумма состояний, возникающих при каждом виде деформации¹.

Кручение и растяжение-сжатие уже были изучены ранее (см. гл. 5, в. 1). При отыскании местных деформаций и напряжений в тонкостенных балках можно пользоваться методами и результатами теории упругости (например, действием сил на плоскости, поупругость), а также теории изгиба пластины (см. гл. 21). Следует признать, что достаточно строгое решение для определения местных напряжений и деформаций получить оказывается не так легко. Правда, в этом и нет особой необходимости, если учесть, что местные напряжения и деформации, как правило, незначительны и локализируются в небольших областях.

Общий изгиб балки достаточно рассмотреть только для одной из плоскостей, например для плоскости oxy , в связи с чем индексы y и z в обозначениях нагрузок $q_y(x)$, P_y , M_y , $m_y(x)$ можно опустить. На рис. 13.5 показаны эти нагрузки, где балка схематически изображена одной линией, соответствующей положению ее оси.

Прямое следующее правило знаков для внешних нагрузок: распределенные и сосредоточенные поперечные силы будут считаться положительными, если они действуют по направлению оси z , а распределенные и сосредоточенные моменты, — если они действуют по направлению движения часовой стрелки.

При деформации ось балки превращается в кривую линию, которая называется *упругой линией* балки. Перемещения точек оси балки по направлению оси z обозначим через $w(x)$, угол наклона упругой линии к оси x — через $w'(x)$, а углы поворота поперечных сечений, положительные при повороте по часовой стрелке, — через $\alpha(x)$. При искривлении поперечного сечения обозначение $\alpha(x)$ будем применять по отношению к некоторому среднему углу поворота поперечного сечения, определение которого будет дано позже.

Коэффициенты жесткости и податливости упругих заделок и опор. Действующие на балку внешние силы можно разложить на две группы: активные силы, характер и величина которых заданы, и реактивные силы или реакции, возникающие между балкой и

ее опорными конструкциями, или просто опорами. Реактивные силы удерживают балку в равновесии и их определение является одной из задач расчета.

В дальнейшем будем полагать, что опора имеет контакт с балкой на очень малом участке ее длины. Без большой погрешности

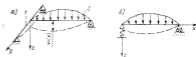


Рис. 13.6

можно считать, что такая опора является точечной и связана только с одним из поперечных сечений балки, которое называется *опорой*.

Роль опорной конструкции, изображенной на рис. 13.6, а, играет односоставная балка 1, с которой шарнирно скреплена основная балка 2. Такая опорная конструкция, представляющая свободному перемещению опорного сечения основной балки, называется *веревой опорой*. Ее условное изображение приведено на рис. 13.6, б.

Опорная конструкция рис. 13.7, а, наоборот, не оказывает сопротивления перемещению опорного конца балки, препятствует



Рис. 13.7

его повороту. Такая опорная конструкция называется *упругой заделкой*. Ее условное изображение приведено на рис. 13.7, б.

В дальнейшем ограничимся рассмотрением лишь так называемых *ламина* деформируемых упругих опор и упругих заделок. Просадка упругой опоры w_0 (рис. 13.8, а) линейно зависит от реакции той же опоры R_0 :

$$w_0 = A_0 R_0; \quad A_0 = w_0 |_{R_0=1}; \quad R_0 = K_0 w_0, \quad K_0 = R_0 |_{w_0=1}, \quad (13.9)$$

где A_0 — коэффициент податливости упругой опоры; $K_0 = 1/A_0$ — коэффициент жесткости упругой опоры.

¹ Строго, когда изгиб и растяжение-сжатие балки (слонный хвост) нельзя рассматривать раздельно. Будет сказано в гл. 19.

Угол поворота упругой заделки α_1 (рис. 13.8, б) линейно зависит от реактивного момента R_1 :

$$\alpha_1 = \kappa_1 R_1, \quad \kappa_1 = \alpha_1 / R_1; \quad R_1 = L_1 \alpha_1, \quad (13.9')$$

где κ_1 — коэффициент податливости упругой заделки; $L_1 = 1/\kappa_1$ — коэффициент жесткости упругой заделки.

При изгибе в поперечных сечениях балки возникают внутренние силы упругости, которые уравновешивают асо нагрузку (активную и реактивную), действующую на любую мысленно отсеченную данным сечением часть балки.

Проекция вектора внутренних сил упругости на ось x будем называть осевой силой T или $T(x)$, а на плоскость, перпендикулярную оси x , — поперечную силу N или $N(x)$. Момент всех внутренних сил упругости, действующих в поперечном сечении балки, относительно центральной оси поперечного сечения, будем называть изгибающим моментом и обозначать буквой M или $M(x)$. Если все силы (активные и реактивные), изгибающие балку, действуют в одной плоскости xy , то поперечная сила действует параллельно оси z , а изгибающий момент определяется относительно оси y .

Поперечная сила равна по значению и обратна по направлению проекции на ось z равнодействующей всех сил (включая реактивные), действующих на любую из двух частей балки

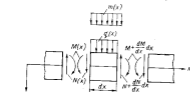


Рис. 13.9

по одну сторону от рассматриваемого поперечного сечения. Изгибающий момент равен суммарному моменту от всей внешней нагрузки и реактивных усилий, приложенных к любой из двух частей балки, относительно оси y данного поперечного сечения. Для

разных частей балки в одном поперечном сечении перерезывающие силы и изгибающие моменты, очевидно, равны и противоположно направлены. Перерезывающая сила считается положительной, когда действие левой отсеченной части балки на правую часть эквивалентно положительной сосредоточенной силе, и наоборот. Изгибающий момент считается положительным в том случае, если он стремится выгнуть балку выпуклостью в сторону отрицательного направления оси z . Положительные направления перерезывающих сил и изгибающих моментов показаны на рис. 13.9.

§ 13.2. Основные гипотезы и зависимости технической теории изгиба балок

Из курса сопротивления материалов известно, что техническая теория изгиба балок основывается на так называемой гипотезе плоских сечений и предположении, что каждое продольное волокно балки находится в одноосном напряженном состоянии. Напомним, что согласно гипотезе плоских сечений точки балки, расположенные в одной плоскости, перпендикулярной оси балки до ее деформации, остаются в одной плоскости и после деформации, причем эта последняя плоскость перпендикулярна к изогнутой оси балки. Гипотеза плоских сечений строго выполняется лишь при чистом изгибе. Однако ее распространяют и на общий случай изгиба, т. е. изгиба при действии в сечениях балки перерезывающих сил.

Определение нормальных напряжений. В соответствии с гипотезой плоских сечений перемещение точек произвольного поперечного сечения вдоль оси x , которое, как и раньше, обозначим буквой w , можно записать в виде (рис. 13.10)

$$w(x, z) = -z\theta'(x), \quad (13.4)$$

При этом формулы (13.4) принято, что перемещение и точки, лежащих на оси x ($z=0$), равно нулю. Справедливость такого предположения в дальнейшем будет обоснована. Перемещению $w(x, z)$ соответствует линейная деформация продольного волокна

$$\varepsilon(x, z) = \frac{\partial w}{\partial x} = -z\theta''(x). \quad (13.5)$$

Нормальные напряжения в продольном волокне по основному закону Гука будут равны

$$\sigma_x(x, z) = E\varepsilon_x = -Ez\theta''(x). \quad (13.6)$$

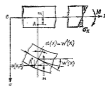


Рис. 13.10

Как видно, для балки из однородного материала нормальные напряжения при изгибе по высоте сечения изменяются по линейному закону.

Поскольку по условию задачи осевая сила отсутствует, равнодействующая напряжений σ_x по всей площади поперечного сечения F должна равняться нулю:

$$\int \sigma_x dF = -E\omega''(x) \int z dF = 0, \quad (13.7)$$

Из условия (13.7) следует, что статический момент площади поперечного сечения балки относительно оси y равен нулю, а следовательно, нейтральная ось проходит через ЦТ поперечного сечения.

Момент внутренних сил упругости (напряжений), действующих в поперечном сечении, относительно оси y по определению является изгибающим моментом M (см. рис. 13.10):

$$M = - \int \sigma_x z dF = E\omega'' \int z^2 dF,$$

или

$$M(x) = EI\omega''(x), \quad (13.8)$$

где $I = \int z^2 dF$ — момент инерции площади поперечного сечения

относительно оси y .

Определив величину $\omega''(x)$ из уравнения (13.8) и подставляя ее в формулу (13.6), получаем выражение для определения нормальных напряжений

$$\sigma_x(x, z) = -M(x)z/I(x). \quad (13.9)$$

Как следует из выражений (13.5) и (13.9), линейные деформации и нормальные напряжения в направлении оси балки во всех точках прямой $x=0$ равны нулю. Поэтому указанная прямая (при прямых обозначениях ось y), проходящая через ЦТ площади поперечного сечения перпендикулярно плоскости нагиба, называется нейтральной осью поперечного сечения. Поверхности, в которой лежат нейтральные оси всех поперечных сечений, называются нейтральной поверхностью или нейтральной плоскостью балки.

Зависимости Журавского — Шведлера. Между изгибающим моментом, перерезывающей силой и интенсивностью внешней нагрузки существует связь, выражаемая теоремой Журавского — Шведлера.

Рассмотрим равновесие выделенного из балки элемента длиной dx , нагруженного поперечной нагрузкой интенсивностью $q(x)$, моментной нагрузкой интенсивностью $m(x)$, изгибающими моментами и перерезывающими силами, замкнутыми действиями отсеченных левой и правой частей балки в местах разреза (см. рис. 13.9).

Если в левом сечении выделенного элемента действуют перерезывающая сила N и изгибающий момент M , то в правом сечении, которое отстоит от левого на расстоянии dx , каждое из этих

усилий получит приращение к их значениям соответственно будут равны $N + \frac{dN}{dx} dx$; $M + \frac{dM}{dx} dx$.

Приравняв нулю главный вектор и главный момент всех сил, действующих на выделенный элемент балки, получаем

$$N - \left(N + \frac{dN}{dx} dx\right) + q dx = 0;$$

$$M - \left(M + \frac{dM}{dx} dx\right) + N dx + m(x) dx + \frac{q dx^2}{2} = 0.$$

При $dx \rightarrow 0$ эти уравнения приводят к равенствам $\frac{dN}{dx} = q$; $\frac{dM}{dx} = N + m$. Распределенная моментная нагрузка $m(x)$ в практических задачах не встречается, поэтому полученные зависимости в дальнейшем будем использовать в виде

$$\frac{dN(x)}{dx} = q(x); \quad (13.10)$$

$$\frac{dM(x)}{dx} = N(x). \quad (13.11)$$

Из выражений (13.10) и (13.11) следует

$$\frac{d^2M(x)}{dx^2} = q(x). \quad (13.12)$$

Полученные зависимости (13.10) — (13.12) и определяют собой содержание теоремы Журавского — Шведлера.

Интегрированием выражений (13.10) и (13.11) можно получить общие выражения для перерезывающей силы и изгибающего момента в произвольном сечении x по длине балки:

$$N(x) = \int_0^x q(x) dx + N_0; \quad (13.13)$$

$$M(x) = \int_0^x \int_0^x q(x) dx dx + N_0(x) + M_0, \quad (13.14)$$

где N_0 и M_0 — значения перерезывающей силы и изгибающего момента балки в сечении $x=0$.

Формулы (13.13) и (13.14) удобно пользоваться при построении эпюр $N(x)$ и $M(x)$ для статически определимых однопролетных балок, т. е. таких балок, у которых реакциями опорных закреплений могут быть найдены из оснований уравнений статики.

§ 13.1. Дифференциальное уравнение изгиба балок и его интегрирование

Дифференциальное уравнение изгиба непрямоугольной балки с изгибной жесткостью $EI(x)$, нагруженной поперечной нагрузкой интенсивностью $q(x)$, получим, если из зависимости Журавского — Шведлера (13.12) исключим с помощью (13.8) момент $M(x)$:

$$[EI(x)w''(x)]'' = q(x). \quad (13.15)$$

Интегрируя дифференциальное уравнение (13.15) последовательно четыре раза по x , можно получить выражения для определения элементов изгиба рассматриваемой балки:

$$[EI(x)w''(x)]' = \frac{dM(x)}{dx} = N(x) = A + \int_0^x q(\xi) d\xi$$

$$EI(x)w''(x) = M(x) = B + \int_0^x N(\xi) d\xi = Ax + B + \int_0^x \int_0^\xi q(\zeta) d\zeta d\xi;$$

$$w'(x) = \alpha(x) = C + \int_0^x \frac{M(\xi)}{EI(\xi)} d\xi = A \int_0^x \frac{d\xi}{EI(\xi)} + B \int_0^x \frac{d\xi}{EI(\xi)} + C + \int_0^x \int_0^\xi \frac{d\zeta}{EI(\zeta)} \int_0^\zeta q(\zeta) d\zeta;$$

$$w(x) = D + \int_0^x \alpha(\xi) d\xi = A \int_0^x d\xi_1 \int_0^{\xi_1} \frac{d\xi_2}{EI(\xi_2)} + B \int_0^x d\xi_1 \int_0^{\xi_1} \frac{d\xi_2}{EI(\xi_2)} + Cx + D + \int_0^x d\xi_1 \int_0^{\xi_1} \int_0^{\xi_2} \frac{d\xi_3}{EI(\xi_3)} \int_0^{\xi_3} q(\zeta) d\zeta.$$

Здесь A, B, C и D — постоянные интегрирования, определяемые из граничных условий на концах балки ($x=0, x=l$), т. е. из условий закрепления ее опорных сечений.

Постоянные интегрирования имеют вполне определенный физический смысл. В самом деле, если в зависимостях (13.16) положить $x=0$, то получим

$$A = N(0) = N_0; \quad B = M(0) = M_0;$$

$$C = w'(0) = \theta_0; \quad D = w(0) = w_0 \quad (13.17)$$

где w_0, θ_0, M_0 и N_0 — соответственно прогиб, угол поворота, изгибающий момент и перерезывающая сила на левом конце балки ($x=0$).

Граничные условия. Поскольку произвольных постоянных в общем выражении для $w(x)$ (13.16) четыре, то на каждом конце балки должны быть заданы по два условия, которые характеризовали бы условия закрепления ее опорных сечений.

Вышесказанные условия для ряда наиболее характерных условий закрепления опорных сечений балки.

Шарнирная опора. Конец балки шарнирно оперт на жесткую несмещающуюся опору. Естественно, что при этом прогиб и

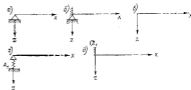


Рис. 13.11

момент в сечении балки над опорой будут равны нулю: $w=0, M = -EIw''=0$, или

$$w=0, \quad w''=0. \quad (13.18)$$

Условное изображение такой опоры приведено на рис. 13.11, а. Жесткая заделка на жесткой опоре (рис. 13.11, б). Прогиб и угол поворота сечения балки над опорой равны нулю:

$$w=0, \quad w'=0. \quad (13.19)$$

Свободный торец балки (рис. 13.11, в). Момент и перерезывающая сила в опорном сечении балки равны нулю:

$$M = EIw'' = 0, \quad N = (EIw''') = 0, \quad (13.20)$$

или, если принять во внимание, что $EI \neq 0$,

$$w''=0, \quad w'''=0.$$

Упругая опора (рис. 13.11, г). Пусть коэффициент податливости упругой опоры на левом конце балки ($x=0$) равен A . Тогда согласно зависимости (13.3)

$$w(0) = A_1 R(0). \quad (13.20')$$

Реакция $R(0)$ на левом конце балки с учетом правила знаков будет равна по значению перерезывающей силе, но противоположна по знаку:

$$R(0) = -(EIw''')$$

что позволяет зависимость (13.20') переписать в следующем виде

$$w(0) = -A_1(EIw'')_{x=0}$$

Второе граничное условие получим, приравняв нулю опорный момент:

$$M(0) = EIw'' = 0, \quad w' = 0.$$

Таким образом, окончательно для упругой опоры на левом конце балки граничные условия примут такой вид:

$$\text{при } x=0 \quad w' = 0; \quad w = -A_1(EIw''), \quad (13.21)$$

Упругая заделка (рис. 13.11, б). Пусть коэффициент податливости упругой заделки левого торца балки ($x=0$) равен \mathfrak{K}_1 .

Тогда согласно формуле (13.3)

$$w'(0) = \mathfrak{K}_1 \mathfrak{M}(0), \quad (13.21')$$

где реактивный момент \mathfrak{M} с учетом правила знаков будет равен наибольшему моменту в рассматриваемом сечении балки:

$$\mathfrak{M} = M(0) = EIw''(0), \quad (13.21'')$$

Рис. 13.12

С учетом выражения (13.21) из зависимости (13.21') получим одно из граничных условий для упругой заделки на левом торце балки:

$$w'(0) = \mathfrak{K}_1 EI w''(0), \quad (13.22)$$

Приравняв нулю перерезывающую силу на левом конце балки, получим для рассматриваемого типа опорного устройства второе недостающее граничное условие

$$(EIw''') = 0, \quad (13.22')$$

Оба конца балки упруго опорны и упруго заделаны (рис. 13.12). Граничные условия балки для рассматриваемого наиболее общего случая могут быть найдены с помощью рассуждений, аналогичных ранее приведенным. В результате для левого торца балки получим два следующих граничных условия:

$$\text{при } x=0 \quad \left. \begin{aligned} w'(0) &= \mathfrak{K}_1 EI(0) w''(0); \\ w(0) &= -A_1 \{EI(0) w''(0)\}^2; \end{aligned} \right\} \quad (13.23)$$

для правого торца балки:

$$\text{при } x=l \quad \left. \begin{aligned} w'(l) &= -\mathfrak{K}_2 EI(l) w''(l); \\ w(l) &= A_2 \{EI(l) w''(l)\}^2. \end{aligned} \right\} \quad (13.24)$$

Итак, для каждого конкретного случая закреплений торцевых сечений балки можно записать четыре (по два для каждого торца) граничных условия. Внося в эти граничные условия элементы изгиба балки из выражений (13.16), получим систему четырех не-

однородных алгебраических уравнений с неизвестными A, B, C и D . Решив эту систему и подставляя найденные при этом постоянные интегрирования A, B, C и D в зависимости (13.16), найдем окончательные формулы, с помощью которых сможем определить интересующие нас элементы изгиба в любом из сечений по длине балки.

Пример 1. Определить элементы изгиба пружинящей свободно опертой балки, нагруженной сосредоточенными моментами M_0 и M_1 и силой в равновесии распределенной нагрузки интенсивностью $q = \cos x$ (рис. 13.13).

Решим в. Коэффициент податливости упругой опоры формулируем граничных условий:

$$\text{при } x=0 \quad \left. \begin{aligned} w &= 0, \quad EIw'' = M_0; \\ \text{при } x=l \quad w &= 0, \quad EIw'' = M_1. \end{aligned} \right\} \quad (13.24')$$

Применительно к рассматриваемому случаю ($E_1 = \cos x, q = \cos x$) на основании последней зависимости (13.16) получим

$$w(x) = Ax^3(6EI) + Bx^2(2EI) + Cx + D + q(x^2/24EI), \quad (13.24'')$$

Внося вычисленные выражения для $w(x)$ в граничные условия (13.24'), получим четыре алгебраических уравнения, из системного решения которых найдем значения A, B, C и D :

$$\left. \begin{aligned} A &= (M_1 + M_0)/l - q/6; & B &= -M_0; \\ C &= q(l^2/24EI) - M_1/(6EI) + M_0/(3EI); & D &= 0. \end{aligned} \right\} \quad (13.24''')$$

Подставляя (13.24''') в (13.24''), получим окончательное выражение для упругой линии рассматриваемой балки:

$$w(x) = [q^2/24EI] \{ [x^3(l^2 - 2(xl^2 + x^3)] + [M_0 q^2/6EI] \} \times \\ \times \{ [x(l^2 - 3(xl^2 + 2x^3)] - [M_1 q^2/6EI] \} [1 - (x/l)^3 + x/l] \quad (13.25)$$

Раскладывая выражением (13.25), можно свертнуть любое интересующее нас значение изгиба, в частности угол поворота опорных сечений, которые они изображены в дальнейшем:

$$\left. \begin{aligned} w'(0) &= M_0/(3EI) - M_1/(6EI) + q^2/124EI; \\ w'(l) &= -M_1/(6EI) + M_0/(3EI) - q^2/24EI. \end{aligned} \right\} \quad (13.26)$$

§ 13.4. Метод начальных параметров

Полученными в § 13.3 формулами (13.16) для вычисления элементов изгиба удобно пользоваться лишь в случае действия на балку непрерывной распределенной нагрузки $q(x)$. При приложении к балке сосредоточенных сил и моментов, т. е. нагрузок, имеющих вид разрывных функций, более удобно для расчета изгиба однопролетных балок применять так называемый метод начальных параметров.

Пусть на балку в сечении $x = c_1$ действует сосредоточенная сила P . Выражение для нагрузки $q(x)$ в рассматриваемом случае можно представить в виде

$$q(x) = P\delta(x - c_1), \quad (13.27)$$

где $\delta(x)$ — функция Дирака.



Рис. 13.13

Как известно, функция $\delta(x)$ обращается в нуль при $x \neq 0$ и в бесконечность при $x=0$. При этом соблюдается дополнительное условие

$$\int_{-\infty}^{+\infty} \delta(x) dx = 1. \quad (13.28)$$

В соответствии с этими свойствами δ -функции

$$\int_a^b P\delta(x-c) dx = P\sigma(x-c), \quad (13.29)$$

где $\sigma(x-c) = \sigma_c$ — функция единичного скачка:

$$\sigma_c = \begin{cases} 0 & \text{при } x < c; \\ 1 & \text{при } x \geq c. \end{cases} \quad (13.30)$$

Выпишем дополнительно, основываясь на свойстве функции единичного скачка, ряд необходимых для дальнейшего дальнейшего зависимости:

$$q(x)\sigma_c = \begin{cases} 0 & \text{при } x < c; \\ q(x) & \text{при } x \geq c; \end{cases} \quad (13.31)$$

$$\int_a^c q(x)\sigma_c dx = \sigma_c \int_c^b q(x) dx. \quad (13.32)$$

Если в сечении $x=c_2$ действует на балку сосредоточенный изгибающий момент \mathfrak{M} (рис. 13.14, а), то это можно представить



Рис. 13.14

в виде двух направленных в противоположные стороны сосредоточенных сил $P = \mathfrak{M}/\Delta c_2$, приложенных в сечениях $x=c_2$ и $x=c_2 + \Delta c_2$ (рис. 13.14, б). При этом $\Delta c_2 \rightarrow 0$. Интенсивность поперечной нагрузки, соответствующая действию на балку этих двух сил, согласно (13.27) равна

$$q(x) = (\mathfrak{M}/\Delta c_2) \delta(x-c_2) - (\mathfrak{M}/\Delta c_2) \delta(x-c_2 - \Delta c_2). \quad (13.33)$$

Переходя к полученному выражению к пределу при $\Delta c_2 \rightarrow 0$, получим

$$q(x) = \mathfrak{M}'(x-c_2), \quad (13.34)$$

где в качестве производной δ -функции понимается предел

$$\delta'(x) = \lim_{\Delta x \rightarrow 0} [\delta(x+\Delta x) - \delta(x)]/\Delta x. \quad (13.35)$$

Теперь вновь вернемся к задаче интегрирования дифференциального уравнения изгиба непрямоугольной балки (13.15) для общего случая устройства опор и нагрузки. Схема балки, обозначения коэффициентов податливости упругих опор и задолгов, а также нагрузки разных типов (то одной, положительной направленной) изображены на рис. 13.15.

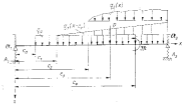


Рис. 13.15

Если в состав нагрузки входит не по одной, как показано на рис. 13.15, а по несколько простых нагрузок (например, несколько сосредоточенных в разных сечениях сил и моментов), то каждой из них присваивается дополнительный индекс, которым также отмечается соответствующая координата сечения.

Еще одно указание к составлению общего выражения для интенсивности поперечной нагрузки: любая распределенная нагрузка, которая действует в некотором сечении, должна действовать по тому же закону до правого конца балки $x=l$, не прерываясь. Ну а как быть, если на самом деле заданная поперечная нагрузка действует только, например, до сечения $x=c$ (рис. 13.16)? В этом случае действие заданной нагрузки следует продлить до правого конца балки, с одновременным приложением в сечении $x=c$ с нагрузки той же интенсивности, но обратного направления. Подобное изменение нагрузки не влияет на общий изгиб балки, так как дополнительные нагрузки (на рисунке показанные пунктиром) взаимно компенсируются.

Воспользовавшись свойствами δ -функции и функции единичного скачка [см. зависимости (13.27)–(13.32)], нетрудно написать общее выражение для интенсивности поперечной нагрузки, действующей на балку, изображенную на рис. 13.15. Тогда диф-



Рис. 13.16

фермикальное уравнение изгиба (13.15) для рассматриваемого случая загрузки балки примет вид

$$EI(x)w''(x)'' = q(x) = -q_0x + q_1(x - c_1) + q_2(x) + P\delta(x - c_2) + \mathfrak{M}\delta'(x - c_2).$$

В литературе по строительной механике корабля наличие функции единичного скачка δ принято изображать специальным знаком δ (исполн Н. Г. Бубновым). С его использованием, например, выражения (13.29) и (13.32) переписываются в виде

$$P\delta(x - c) = kP \int_0^x \delta(\xi) d\xi = k \int_0^x q(\xi) d\xi. \quad (13.36)$$

Таким образом, знак δ , показывает, что член, стоящий за ним, принимается во внимание лишь при $x \geq c$.

Воспользовавшись знаком δ , последнему уравнению можно придать такой вид

$$EI(x)w''(x)'' = k_0q_0 + k_1q_1(x - c_1) + k_2q_2(x) + P\delta(x - c_2) + \mathfrak{M}\delta'(x - c_2). \quad (13.37)$$

Интегрируя уравнение (13.37) последовательно четыре раза по x и используя при этом зависимости (13.29), (13.31) и (13.32), получим необходимые формулы для определения всех элементов изгиба рассматриваемой балки

$$\begin{aligned} EI(x)w''(x)'' &= N(x) = A + \int_0^x q(\xi) d\xi = A + k_0q_0(x - c_1) + \\ &+ k_1q_1(x - c_1)^2/2 + k_2 \int_0^x q_2(\xi) d\xi + k_3P + \mathfrak{M}\delta'(x - c_2); \\ EI(x)w''(x)'' &= M(x) = B + \int_0^x N(\xi) d\xi = B + Ax + \\ &+ k_0q_0(x - c_1)^2/2 + k_1q_1(x - c_1)^3/6 + k_2 \int_0^x \int_0^\xi q_2(\xi) d\xi + \\ &+ k_3P(x - c_2) + k_4\mathfrak{M}; \\ w'(x) &= \alpha(x) = C + \int_0^x \frac{M(\xi)}{EI(\xi)} d\xi = C + B \int_0^x \frac{d\xi}{EI(\xi)} + \\ &+ A \int_0^x \frac{d\xi}{EI(\xi)} + k_0 \frac{q_0}{2} \int_0^x \frac{(\xi - c_1)^2}{EI(\xi)} d\xi + k_1 \frac{q_1}{6} \int_0^x \frac{(\xi - c_1)^3}{EI(\xi)} d\xi + \\ &+ k_2 \int_0^x \int_0^\xi \frac{d\xi_1}{EI(\xi_1)} \int_0^{\xi_1} q_2(\xi_2) d\xi_2 + k_3P \int_0^x \frac{(\xi - c_2)}{EI(\xi)} d\xi + \\ &+ k_4\mathfrak{M} \int_0^x \frac{d\xi}{EI(\xi)}; \end{aligned} \quad (13.38)$$

$$\begin{aligned} w(x) &= D + \int_0^x \alpha(\xi) d\xi = D + Cx + B \int_0^x d\xi \int_0^\xi \frac{d\xi_1}{EI(\xi_1)} + \\ &+ A \int_0^x d\xi \int_0^\xi \frac{d\xi_1}{EI(\xi_1)} + k_0 \frac{q_0}{2} \int_0^x d\xi \int_0^\xi \frac{(\xi_1 - c_1)^2}{EI(\xi_1)} d\xi_1 + \\ &+ k_1 \frac{q_1}{6} \int_0^x d\xi \int_0^\xi \frac{(\xi_1 - c_1)^3}{EI(\xi_1)} d\xi_1 + k_2 \int_0^x d\xi \int_0^\xi \int_0^{\xi_1} \frac{d\xi_2}{EI(\xi_2)} \times \\ &\times \int_0^{\xi_2} q_2(\xi_3) d\xi_3 + k_3P \int_0^x d\xi \int_0^\xi \frac{(\xi_1 - c_2)}{EI(\xi_1)} d\xi_1 + \\ &+ k_4\mathfrak{M} \int_0^x d\xi \int_0^\xi \frac{d\xi_1}{EI(\xi_1)}. \end{aligned}$$

Для призматической балки $I(x) = I = \text{const}$ выражения (13.38) для элементов изгиба упрощаются.

Выше при выводе выражений (13.33) для интенсивности поперечной нагрузки, соответствующей действию на балку сосредоточенного момента, предполагалось, что момент создается двумя бесконечно близкими вертикальными силами (см. рис. 13.14, б). Такие моменты принято называть моментами первого рода. При уменьшении расстояния Δc между вертикальными силами сами силы $P = \mathfrak{M}/\Delta c$ растут беспредельно, что должно было бы вызвать беспредельный рост в этом сечении касательных напряжений τ_{xy} . Отсюда можно заключить, что к балке сосредоточенного момента первого рода продолжать называть моментами второго рода. При уменьшении расстояния Δc между вертикальными силами сами силы $P = \mathfrak{M}/\Delta c$ растут беспредельно, что должно было бы вызвать беспредельный рост в этом сечении касательных напряжений τ_{xy} . Отсюда можно заключить, что к балке сосредоточенного момента первого рода продолжать называть моментами второго рода. При уменьшении расстояния Δc между вертикальными силами сами силы $P = \mathfrak{M}/\Delta c$ растут беспредельно, что должно было бы вызвать беспредельный рост в этом сечении касательных напряжений τ_{xy} . Отсюда можно заключить, что к балке сосредоточенного момента первого рода продолжать называть моментами второго рода. При уменьшении расстояния Δc между вертикальными силами сами силы $P = \mathfrak{M}/\Delta c$ растут беспредельно, что должно было бы вызвать беспредельный рост в этом сечении касательных напряжений τ_{xy} . Отсюда можно заключить, что к балке сосредоточенного момента первого рода продолжать называть моментами второго рода. При уменьшении расстояния Δc между вертикальными силами сами силы $P = \mathfrak{M}/\Delta c$ растут беспредельно, что должно было бы вызвать беспредельный рост в этом сечении касательных напряжений τ_{xy} . Отсюда можно заключить, что к балке сосредоточенного момента первого рода продолжать называть моментами второго рода. При уменьшении расстояния Δc между вертикальными силами сами силы $P = \mathfrak{M}/\Delta c$ растут беспредельно, что должно было бы вызвать беспредельный рост в этом сечении касательных напряжений τ_{xy} . Отсюда можно заключить, что к балке сосредоточенного момента первого рода продолжать называть моментами второго рода.

Очевидно, что при прохождении через сечения приложения моментов второго рода энора переизгибающих сил не может получить каких-либо изменений и, следовательно, в первом выражении (13.38) для $N(x)$ последний подыраженный член следует опустить.

В выписанные выше выражения для элементов изгиба непризматической балки (13.38) входят в качестве неизвестных величины четыре постоянных интегрирования A, B, C и D . Для определения значений этих постоянных необходимо подыскать полученное решение (13.38) граничным условиям рассматриваемой задачи.

Момент инерции $I(x)$ для непризматической балки и интенсивность поперечной нагрузки $q(x)$ могут задаваться как в аналитической форме, так и в форме графиков или таблиц значений этих

величин для ряда сечений по длине балки. В последнем случае вычисление интегралов с переменным верхним пределом или интегралов по всей длине балки в выражениях (13.58) производится численными методами (методом трапеций, методом Гаусса и т. п.).

Изложенный выше метод определения элементов изгиба однопролетных балок называется методом начальных параметров. Характерной его особенностью является то, что при любой нагрузке балки реакция $w(x)$ содержит только четыре постоянных интегрирования — начальные параметры (13.17). Заметим, что известная простота промежуточных выкладок и окончательной формы выражений для элементов изгиба была получена благодаря использованию свойства δ -функции Дирака и функции единичного скачка $\sigma_0 = \sigma(x-c) = \int_0^x \delta(x-c) dx$.

Наличие во существующих готовых выражений для элементов изгиба (13.37) для произвольных и (13.38) для призматических балок (сильно окончательных из-за присутствия в них неизвестных постоянных интегрирования) приводит к тому, что метод начальных параметров можно считать одним из наиболее эффективных в практическом отношении методов расчета однопролетных балок на изгиб.

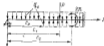


Рис. 13.17

грунтка не должна образоваться до конца балки, равномерно приложенная нагрузка q_0 необходимо предположить, до конца балки, равномерно приложенная с середины $x = c_0$ нагрузку той же интенсивности, но арксинусованного знака. Эти допущения являются справедливыми в нагрузке арксинусом на рис. 13.17.

Поскольку в последнюю зависимость из (13.38), можно применить к рассматриваемой балке выражения для ее упругой линии:

$$w(x) = \frac{A_0 x^3}{6EI} + \frac{B_0 x^2}{2EI} + C_0 x + D_0 + \frac{q_0 x^4}{24EI} - \int_0^x \frac{q_0 (x-c_1)^3}{24EI} dx + \int_0^x \frac{P (x-c_2)^2}{6EI} dx + \int_0^x \frac{3R (x-c_3)^2}{2EI} dx \quad (13.39)$$

Постоянные интегрирования A, B, C и D определяются по граничным условиям балки:

$$\left. \begin{aligned} w(0) &= D = 0, & w'(0) &= B = 0; \\ w(l) &= \frac{A l^3}{6EI} + \frac{B l^2}{2EI} + C l + D + \frac{q_0 l^4}{24EI} - \frac{q_0 (l-c_1)^3}{24EI} + \frac{P (l-c_2)^2}{6EI} + \frac{3R (l-c_3)^2}{2EI} = 0; \\ w'(l) &= \frac{A l^2}{2EI} + \frac{B l}{EI} + C + \frac{q_0 l^3}{6EI} - \frac{q_0 (l-c_1)^2}{6EI} + \frac{P (l-c_2)}{EI} + \frac{3R (l-c_3)}{EI} = 0, \end{aligned} \right\} \quad (13.40)$$

Подставив найденные из решения упругой системы алгебраические уравнения (13.40) значения A, B, C и D в формулу (13.39), получим окончательное выражение для упругой линии рассматриваемой балки.

§ 13.5. Принцип наложения и справочные таблицы изгиба балок

Структура полученной в § 13.4 общего решения показывает, что все элементы изгиба балки линейно зависят от внешних сил. Каждой внешней силе в выражениях для элементов изгиба соответствует отдельное слагаемое, представляющее прогибание балки в определенной степени на коэффициент, зависящий от упругих и геометрических характеристик балки и ее опор. Указанный коэффициент не зависит от того, действуют ли на балку кроме рассматриваемой другие силы или нет. Следовательно, в случае действия на балку совокупности внешних сил элементы изгиба можно определить как сумму соответствующих элементов изгиба, вычисленных в предположении, что каждая сила действует в отдельности. Указанное свойство упругой системы называется принципом независимости действия сил или принципом наложения, с которым мы уже познакомились в разд. II при описании свойства линейно деформируемых упругих систем. Принцип наложения существенно упрощает расчет w , что особенно важно, позволяя пользоваться таблицами элементов изгиба балок, составленными для типичных жестких нагрузок. Если на балку действует произвольная комбинация таких нагрузок одновременно, то элементы изгиба определяются суммированием табличных значений для соответствующих частных случаев. Следует помнить, что этот принцип справедлив только в том случае, если балка, включая ее опоры, является линейно деформируемой упругой системой.

В справочнике [5], т. I, гл. 5] приведены таблицы элементов изгиба некоторых наиболее часто встречающихся однопролетных призматических статически определенных и статически неопределяемых балок. Этими таблицами и рекомендуется пользоваться в практических расчетах балок. Так, например, для определения элементов изгиба призматической балки, изображенной на рис. 13.18, а, необходимо с помощью этих таблиц предварительно найти соответствующие элементы изгиба для балок, изображенных на рис. 13.18, б, а затем полученные результаты сложить.

Раскрытие статической неопределимости балок. Способ раскрытия статической неопределимости, т. е. определения лишних реакций с помощью таблиц изгиба статически определенных балок, состоит в следующем. Необходимо установить степень статической неопределимости балки и линии закрепления. Линии закрепления мысленно отбрасывают и их действие заменяют соответствующими реактивными усилиями: для упругой или жесткой заделки моментом R , для упругой или жесткой опоры реакцией R . Из условий равновесия узла соединения балки с опорной конструкцией следует, что такие же по значению, но противоположные по направлению усилия действуют на опорную конструкцию.

Для полученной статически определяемой балки с помощью таблиц (или расчета) находят перемещения тех сечений, которые связаны с отброшенными опорами; для заданной — угол поворота сечения α , для опоры — прогиб δ . В выражения для элементов изгиба наряду с заданными внешними силами войдут все лишние реакции в виде буквенных обозначений, поскольку их численные значения еще неизвестны.

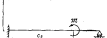
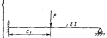
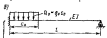
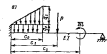


Рис. 13.18

Далее составляют выражения для перемещений опорных конструкций, которые, как известно, равны произведению реактивного усилия (R или \mathfrak{R}) на соответствующий коэффициент податливости (A или \mathfrak{A}), с учетом архаизма знаков и принятого направления реактивных усилий.

Приравняв соответствующие перемещения отброшенных закреплений и опорных сечений балки, которые по условиям работы конструкции должны быть, очевидно, одинаковыми, получаем уравнения совместности деформаций. Число

таких уравнений равно числу отброшенных закреплений или числу лишних реакций.



Рис. 13.19

После определения лишних реакций балку рассматривают как статически определяемую, на которую в сечениях, где были отброшены опорные закрепления, действуют известные усилия, включаемые в состав внешней нагрузки.

Для выяснения возможного расстрой статическую неопределенность призматической однопролетной балки с упругими опорами и упругими заделками по концам при действии произвольной нагрузки Q (рис. 13.19). Балка дважды статически неопределимая. В качестве лишних опорных закреплений удобно принять упругие заделки, которые отбрасываются и заменяются моментами \mathfrak{M}_1 и \mathfrak{M}_2 , как показано на рис. 13.19. Также же по значению

во обратные по направлению моменты действуют со стороны балки на заделку.

Углы поворота опорных сечений балки будут равны

$$\left. \begin{aligned} \alpha_1(Q) &= \alpha_1(Q) + \frac{\mathfrak{M}_1 l}{3EI} - \frac{\mathfrak{M}_2 l}{3EI} + \frac{1}{l}(\omega_1 - \omega_2)l \\ \alpha_2(Q) &= \alpha_2(Q) - \frac{\mathfrak{M}_1 l}{3EI} + \frac{\mathfrak{M}_2 l}{3EI} + \frac{1}{l}(\omega_1 - \omega_2)l \end{aligned} \right\} (13.41)$$

Здесь $\alpha_1(Q)$ и $\alpha_2(Q)$ — углы поворота опорных сечений свободно опертной на жесткие опоры балки, нагруженной нагрузкой Q ; ω_1 и ω_2 — перемещения опорных сечений, равные

$$\omega_1 = A_1 R_1 = A_1 [R_1(Q) - (\mathfrak{M}_1 + \mathfrak{M}_2)l];$$

$$\omega_2 = A_2 R_2 = A_2 [R_2(Q) + (\mathfrak{M}_1 + \mathfrak{M}_2)l],$$

где $R_1(Q)$ и $R_2(Q)$ — реакции от нагрузки Q при свободном опирании балки на концы.

Приравняв углы поворота опорных сечений балки к углам поворота упругих заделок, получаем два следующих уравнения:

$$\alpha_1 = -\mathfrak{M}_1 \mathfrak{A}_1; \quad \alpha_2 = -\mathfrak{M}_2 \mathfrak{A}_2, \quad (13.41')$$

из которых и определяем лишние реакции \mathfrak{M}_1 и \mathfrak{M}_2 .

Если необходимо учесть влияние сдвига, то при вычислении углов поворота от опорных моментов по формулам (13.41) следует воспользоваться зависимостями § 13.7.

После решения уравнений (13.41') и определения \mathfrak{M}_1 и \mathfrak{M}_2 балка рассматривается как свободно опертая на упругие опоры, нагруженная кроме нагрузки Q моментами \mathfrak{M}_1 и \mathfrak{M}_2 в опорных сечениях.

§ 13.8. Определение касательных напряжений при изгибе балок

Гипотеза плоских сечений, положенная в основу теории изгиба балок, предполагает, что при изгибе балки поперечные сечения остаются плоскими и перпендикулярными оси балки, т. е. деформируются сдвигом между направлениями 1 и 2 (рассматривается изгиб балки в плоскости xoz) в каждой точке балки равны нулю. Это обстоятельство делает возможным определение касательных напряжений, возникающих при изгибе балки, при помощи закона Гука, как это было сделано в § 13.2 при наложении нормальных напряжений.

Данному факту можно дать и такое физическое толкование. Гипотеза плоских сечений в известной мере эквивалентна предположению о том, что сдвигающая жесткость балки $G_{\text{сдв}} = \infty$. Это, естественно, верно для любой жесткой системы внешних нагрузок и нулевым значениям деформации сдвига $\gamma_{\text{сдв}} = 0$. При этих условиях использование закона Гука для определения касательных напряжений $\tau_{\text{сдв}}$ дает неопределенность вида $\tau_{\text{сдв}} = G_{\text{сдв}} \gamma_{\text{сдв}} = \infty \cdot 0$.

Между тем очевидно, что касательные напряжения существуют. Они должны быть статически эквивалентны действующей в сечении балки сжимающей силе, так же как нормальные напряжения в сечении балки статически эквивалентны изгибающему моменту.

Обычно поперечные сечения судовых балок являются тонкостенными профилями. Как и в задаче о кручении тонкостенных многосвязных профилей (см. гл. 5), толщину касательные напряжения в таких профилях по значению можно считать приблизительно постоянными по толщине элемента профиля и направленными параллельно его средней линии s . В соответствии с общим правилом эти напряжения обозначают τ_{xy} или просто τ_x .

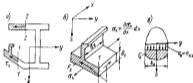


Рис. 13.20

Односвязный профиль. Рассмотрим открытый тонкостенный профиль. При этом расположим ось координат, как показано на рис. 13.20, а, совместив ось y с нейтральной осью поперечного сечения профиля. Для определения касательных напряжений, действующих в поперечном сечении профиля, выделим из него продольный разрез по линии толщиной $l-l$ и двумя бесконечно близкими поперечными сечениями элемент и рассмотрим условия его статического равновесия (выделенный элемент в увеличенном масштабе показан на рис. 13.20, б).

Поперечное сечение и перескакивающая с ним по какой-либо линии площадь продольного разреза образуют взаимно перпендикулярные площади. Поэтому в силу закона парности в продольных площадках будут действовать такие же касательные напряжения, как и на линии пересечения в поперечном сечении (см. рис. 13.20, б). В поперечных сечениях выделенного элемента кроме касательных напряжений действуют еще нормальные напряжения от изгиба, изменяющиеся по длине балки и соответствия с изменением изгибающего момента.

Уравнение равновесия отсеченной части профиля в проекциях на ось x запишется так:

$$\iint_V \left(\sigma_x + \frac{\partial \sigma_x}{\partial x} dx \right) dF - \iint_V \sigma_x dF + \tau_{xy} dx = 0,$$

где F_x — площадь поперечного сечения отсеченной части профиля; δx — толщина профиля в месте разреза x — l .

Подставляя в это выражение σ_x согласно формуле (13.9) и предполагая, что $l(x) = l = \text{const}$, после очевидных преобразований с учетом зависимости (13.11) получим известную формулу И. Д. Журавского для определения касательных напряжений в односвязном поперечном сечении:

$$\tau_x = N(x) S_y / [I(x) \delta_x]. \quad (13.42)$$

Здесь $N(x)$ — перерезывающая сила в рассматриваемом сечении при изгибе балки в плоскости xoz ; $S_y = \iint_V z dF$ — статический

момент площади отсеченной части F_x относительно нейтральной оси y ; $I(x)$ — момент инерции площади этого сечения профиля относительно нейтральной оси.

В формулу (13.42) можно подставлять статический момент любой из двух частей поперечного сечения, на которые оно делится линией толщиной $l-l$, проведенной через точку определения напряжений τ_x . Статические моменты указанных частей равны и имеют разные знаки, так как суммарный статический момент площади поперечного сечения относительно нейтральной оси равен нулю. В результате с учетом правила знаков для $N(x)$ и S_y приходим к следующему правилу знаков для касательных напряжений τ_x в поперечном сечении той части балки, которая расположена в стороне больших значений x : положительное напряжение τ_x направлено в сторону той части поперечного сечения, статический момент которой подставлялся в формулу (13.42). На рис. 13.20, а в точках 1 и 2 показаны направления касательных напряжений, соответствующие их положительным значениям при подстановке статических моментов соответствующих заштрихованных площадей в выражение (13.42).

Формулу (13.42) применяют в расчетной практике и для многолистных поперечных сечений (рис. 13.20, в). При этом определяют основной, параллельный перерезывающей силе, компонент τ_x равного касательного напряжения в предположении постоянства его значения по ширине сечения (по длине, параллельной нейтральной оси).

На рис. 13.21 изображены эпюры касательных напряжений для некоторых типичных сечений.

У тонкостенных балок, состоящих из стенок в плоскости изгиба и развитых верхнего и нижнего поясков, касательные напряжения мало изменяются по высоте стенки и среднее их значение можно определить по формуле

$$\tau_{xy} = N/\alpha, \quad (13.43)$$

где α — площадь поперечного сечения стенки.

Формула (13.42) является точной только для призматических балок [так как предполагалось, что $l(x) = l = \text{const}$]. Однако

практически ее можно применять и для изгибаемых балок, если изменение сечений происходит плавно, при малых углах наклона образующих к оси балки.

Можно показать, что проекция равнодействующей всех касательных напряжений, вычисленных по выражению (13.42), в сечении профиля на ось z равна перерезывающей силе $N_y(x)$, а проекция равнодействующей напряжений на ось y будет равна перерезывающей силе $N_x(x)$ [при выводе формулы (13.42) предполагалось $N_z = 0$].

При изгибе несимметричного профиля, такого, например, как показан на рис. 13.22, момент, который создается потоком касательных напряжений τ , в сечении профиля относительно начала

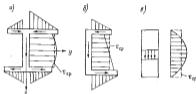


Рис. 13.21

координат (совпадающего с ЦТ сечения), не равен нулю. Поэтому, если плоскость действия нагрузки совпадает с плоскостью лог, то изгиб балки с несимметричным профилем сечения будет сопровождаться ее закручиванием. В плоскости сечения такой балки существует точка, относительно которой момент касательных усилий от изгиба равен нулю. Эта точка (точка A на рис. 13.22) называется центром изгиба. Ясно, что если плоскость действия поперечной нагрузки параллельна плоскости лог и проходит через линию центров изгиба поперечных сечений балки, изгиб балки в плоскости лог не сопровождается ее закручиванием вокруг осей x .

Вопрос определения координат центра изгиба излагается в гл. 18.

Многоосевый профиль. Поперечное сечение корпуса судна, включающего в себя обшивку дна, второго дна, бортов, жесткую палубу с платформ, полотноми продольными переборками, продольные ребра, стрингеры, карлингсы, в общем случае представляет собой многоосевый тонкостенный профиль.

Изложим содержание и последовательность операций для определения касательных напряжений в тонкостенном многоосевом профиле при изгибе. При этом, не нарушая общности окон-

чательного результата, можно ограничиться рассмотрением изгиба одноосевого несимметричного профиля (рис. 13.23, а).

С помощью продольного разреза, например, по сечению $I-I$ двухосевый контур превращается в одноосевый. Разрез образует две продольные торцевые площадки, относящиеся к ветвям профиля по обе стороны от разреза (рис. 13.23, б). К продольным площадкам вдоль плоскости разреза прикладываем неизвестные погонные усилия $\Gamma_1(x)$, направленные в противоположные стороны. Величина этих усилий определяется из условия равновесия продольных элементов противоположных кромок вдоль линии разреза. Это условие, исключая возможность относительного

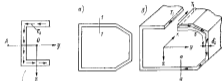


Рис. 13.22

Рис. 13.23

смещения продольных кромок вдоль линии условного разреза, принимают условие сплошности или условием неразрывности деформирующей.

Обратимся теперь к определению продольных перемещений точек сечения профиля. Эта перемещения происходят в результате деформаций сдвига и линейных деформаций изгиба. Поскольку линейные деформации от изгиба, полученного разрезом открытого профиля, подчиняются закону плоскостей сечений (13.5), они не могут вызвать относительных смещений по краям условного разреза и их можно не учитывать. Таким образом, следует учитывать лишь перемещения, обусловленные деформацией сдвига.

Любым дополнительным разрезом $a-a$ полученный ранее одноосевый профиль (см. рис. 13.23, б) разрежется на две части. Для любой из этих частей можно составить уравнение равновесия всех сил по оси x , в которое войдет и неизвестное усилие $\Gamma_1(x)$. Из такого уравнения равновесия после несложных преобразований можно получить формулу для определения касательного усилия в любом продольном разрезе рассматриваемого стержня, положение которого на контуре определяется криволинейной координатой s :

$$\Gamma_1 = -\Gamma_1 + \tau_s^* A_s \quad (13.44)$$

где τ_s^* — касательное напряжение в сечении контура с координатой s , вычисляемое по формуле (13.42) для открытого профиля,

изображенного на рис. 13.23, б; δ — толщина профиля в сечении контура с координатой s .

Пользуясь законом Гука и уравнениями Коши в координатах x и z , можно записать

$$\gamma_{xz} = \frac{v_z}{l} = \frac{T_z}{G\delta} = \frac{da_x}{ds} + \frac{\partial v_x}{\partial z}. \quad (13.45)$$

Здесь a_x и v_x — перемещения точки контура с координатой s в направлении координат x и z соответственно. Из уравнения (13.45) получаем формулу для определения продольных перемещений точек контура

$$a_x = \frac{1}{G} \int_0^s \frac{T_z}{\delta} ds - \int_0^s \frac{\partial v_x}{\partial z} ds + u_0,$$

где u_0 — продольное перемещение для точки контура $s=0$ (сечения $l-l$).

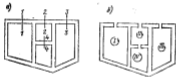


Рис. 13.24

При полном обходе контура в силу указанного выше условия сплошности приращение продольного перемещения равно нулю:

$$\oint \frac{\partial a_x}{\partial z} ds = \frac{1}{G} \oint \frac{T_z}{\delta} ds - \oint \frac{\partial v_x}{\partial z} ds = 0. \quad (13.46)$$

В этом выражении интеграл берется по асиму контура.

При отсутствии кручения профиля (поворота поперечного сечения относительно оси балки) $\oint \frac{\partial a_x}{\partial z} ds = 0$, условие (13.46) упрощается и принимает вид

$$\oint \frac{T_z}{\delta} ds = 0. \quad (13.47)$$

Отсюда, если учесть выражение (13.44) для T_z , получим формулу для определения неизвестного усилия T_1 :

$$T_1 = - \oint \tau_1 ds / \oint \frac{ds}{\delta}. \quad (13.48)$$

Внося найденное усилие T_1 в формулу (13.44), получаем усилие T_z , а следовательно, и значения искомого касательных напряже-

ний от изгиба для рассматриваемого двухсвязного профиля:

$$\tau_z = T_z \delta_p. \quad (13.49)$$

При расчете более сложных, с несколькими замкнутыми контурами, многосвязных профилей необходимо вводить уже несколько продольных разрезов, превращающих заданный профиль в открытый (рис. 13.24, а). В плоскости каждого из этих разрезов вводятся статически неопределимые касательные погонные усилия T_i ($i=1, 2, 3, 4$), для определения которых могут быть найдены условия неразрывности деформаций по типу уравнений (13.47) на каждом из замкнутых контуров поперечного сечения (рис. 13.24, б).

§ 13.7. Изгиб балок с учетом деформаций сдвига

В предыдущих параграфах изложены методы определения перемещений балки, основанные на допущении об отсутствии деформаций сдвига, которое является следствием предположения о бесконечной жесткости балки на сдвиг ($G\delta = \infty$). Возникающие при этом перемещения являются результатом деформаций (растяжения-сжатия) продольных волокон балки, вызванных действием только нормальных напряжений. Эти перемещения в дальнейшем будем называть перемещениями от изгиба и обозначать через $w_1(x)$, $u_1(x, z)$, $w_2'(x) = \alpha_1(x)$.

Однако кроме нормальных напряжений $\sigma(x, z)$ в поперечном сечении балки при ее изгибе в плоскости xoz действуют касательные напряжения τ_{xz} , которые для балки с конечной жесткостью на сдвиг ($G\delta \neq \infty$) вызывают конечные деформации сдвига и соответственно им перемещения от сдвига. Эти напряжения будем обозначать через $w_2(x)$, $u_2(x, z)$, w_3' , $\alpha_2(x)$. В последнем случае вследствие угловой деформации угол поворота поперечного сечения не равен углу калена урутой линии балки. Суммарные перемещения определяются по формулам

$$\left. \begin{aligned} w(x) &= w_1(x) + w_2(x); & u(x, z) &= u_1(x, z) + u_2(x, z); \\ w'(x) &= w_1'(x) + w_2'(x); & \alpha(x) &= \alpha_1(x) + \alpha_2(x) = \alpha_1' + \alpha_2'. \end{aligned} \right\} \quad (13.50)$$

Характер изменения касательных напряжений по высоте балки с полками и без полков показан на рис. 13.25. Изменение касательных напряжений по высоте сечения балки вызывает появление соответствующих деформаций сдвига $\gamma_{xz} = \tau_{xz}/G$ и связанного с этим искажения плоскости поперечного сечения балки — его деформацию.

Как видно из эюор касательных напряжений (см. рис. 13.25), наибольшие углы сдвига будут у нейтральной оси балки, а наименьшие — в крайних точках по высоте.

При разработке приближенного метода определения перемещений от сдвига предполагается, что в плоскости изгиба балки есть вертикальная стенка, воспринимающая всю переизгибающую силу.

Касательные напряжения (рис. 13.25) и соответствующие им деформации сдвига распределяются по высоте стенки в общем случае неравномерно, вследствие чего поперечные сечения стенки будут искривляться (см. рис. 13.26).

Влияние сдвига на перемещения особенно сильно проявляется у ступенчатых балок с разнотипными поясками (стрингера, фанеры дашевого перекрытия с двойным дном), поскольку такие балки обладают повышенной изгибной жесткостью EI при относительно малой



Рис. 13.25



Рис. 13.26

жесткости на сдвиг $G\omega$. Для таких балок указанные выше неравномерности распределения касательных напряжений и сдвиговых деформаций по высоте стенки незначительны, поэтому можно принять

$$\tau_{xz} \approx \tau_{xy} = -N(x)\omega(x); \quad \gamma_{xz} \approx \gamma_{xy} = -N(x)/G\omega(x), \quad (13.51)$$

где $N(x)$ и $\omega(x)$ — переизгибающая сила и полярный момент инерции стенки балки в сечении x . Знак «минус» в правой части формул (13.51) введен в связи с учетом правила знаков для τ_{xz} , γ_{xz} и N_x (рис. 13.27).

Выражения (13.51) лежат в основе предлагаемого ниже приближенного метода определения перемещений от сдвига.

Перемещение w_2 , возникающее вследствие двойного поворота сечения балки на угол α_2 при сдвиге определяется оценкой зависимости $w_2(x, z) = -\alpha_2 w_1(x)$. Поскольку это перемещение вызвано только касательными напряжениями, то соответствующая ему двойная деформация продольных волокон должна быть равна нулю:

$$\epsilon_x = \partial w_2 / \partial x = -z \frac{\partial \alpha_2}{\partial x} = 0 \quad \text{или} \quad \alpha_2(x) = \alpha_2 = \text{const}, \quad (13.52)$$

Таким образом, все поперечные сечения при сдвиге поворачиваются на один и тот же угол.

На основании зависимости Коши

$$\gamma_{xz} = \gamma_{xy} = \frac{\partial w_2}{\partial x} + \frac{\partial w_1}{\partial z} = w_1'(x) + \alpha_2, \quad (13.53)$$

Приравняв правые части (13.51) и (13.53), находим

$$w_1'(x) = \alpha_2 - N(x)/G\omega(x). \quad (13.54)$$

Интегрируя (13.54), получаем следующее выражение для дополнительного прогиба от сдвига:

$$w_2(x) = w_2(0) + \alpha_2 x - \int_0^x N(\xi)/G\omega(\xi) d\xi. \quad (13.55)$$

Далее в основу расчета будут положены такие соображения.

При расчете статически определимых балок учет перемещений от сдвига не влияет на реакции опор, а следовательно, и на переизгибающие силы и изгибающие моменты. Поэтому элементы изгиба $w_1(x)$, $\alpha_2(x) = w_1'(x)$, $M(x) = EI(x)w_1''(x)$, $N(x) = [EI(x)w_1'(x)]'$ определяются теми же зависимостями (13.16) или (13.38), что и в случае, когда учет сдвига не производится. Переизгибающая сила используется затем для определения перемещений от сдвига $w_2(x)$.

В случае статически неопределимых балок учет деформаций сдвига вызывает изменение опорных реакций и, следовательно, изгибающих моментов и переизгибающих сил, а также перемещений опорных сечений (при податливых опорах и заделках). Элементы изгиба и здесь следует определять выражениями (13.16) или (13.38), заменяя в них $w(x)$ на $w_1(x)$, но постоянные интегрирования A , B , C и D должны определяться из граничных условий, в которых учет дополнительных перемещений опорных сечений, вызванных сдвигом.

Граничные условия (13.23)–(13.24) балки, оба конца которой упруго открыты и упруго заделаны, при учете деформаций сдвига переписываются в таком виде

$$\left. \begin{aligned} x=0: & \alpha(0) = \alpha_2 M(0) \quad \text{или} \quad w_1'(0) + \alpha_2 = \alpha_2 EI w_1''(0); \\ & w(0) = -A_1 N(0) \quad \text{или} \quad w_2(0) + w_1(0) = -A_1 [EI w_1''(0)]; \end{aligned} \right\} (13.56)$$

$$\left. \begin{aligned} x=l: & \alpha(l) = -\alpha_2 M(l) \quad \text{или} \quad w_1'(l) + \alpha_2 = -\alpha_2 EI w_1''(l); \\ & w(l) = A_2 N(l) \quad \text{или} \quad w_2(l) + w_1(l) = A_2 [EI w_1''(l)]. \end{aligned} \right\} (13.57)$$

Поскольку добавление к сдвиговому перемещению $w_2(x)$ некоторой линейной величины $a+bx$ при одновременном вычитании той же величины из выражения для $w_1(x)$ не может изменить значения основных элементов изгиба $w_1(x)$, $\alpha_2(x)$, $M(x)$ и $N(x)$, представляется целесообразным полные перемещения опорных сечений как статически определимых, так и статически неопределимых балок целиком учитывать в составе прогиба от изгиба, т. е. при составлении граничных условий принимать:

$$w_2(0) = w(0); \quad w_2(l) = w(l), \quad (13.58)$$

что равносильно предположению

$$\omega_2(0) = \omega_2(l) = 0. \quad (13.58')$$

Подставляя выражение (13.55) в условия (13.58'), находим

$$\alpha_2 = 1/N \int_0^l [N(\xi)G\omega(\xi)] d\xi; \quad (13.59)$$

$$\omega_2(x) = x/l \int_0^l [N(\xi)G\omega(\xi)] d\xi - \int_0^x [N(\xi)G\omega(\xi)] d\xi. \quad (13.60)$$

При $\omega(x) = \omega - \text{const}$ полученные выше зависимости можно упростить. Для этого, используя принцип взаимности, представим значение $N(x)$ и $M(x)$ в виде двух слагаемых:

$$N(x) = N_p(x) + N_M(x), \quad M(x) = M_p(x) + M_M(x), \quad (13.61)$$

где $N_p(x)$ и $M_p(x)$ — составляющие, вызванные действием на балку лишь поперечных нагрузок;

$N_M(x)$ и $M_M(x)$ — те же от пролётных и опорных моментов $M(0)$, $M(l)$.

Покажем, что при действии поперечных нагрузок балка работает как бы в условиях свободного опирания на жесткие опоры по концам (независимо от их действительного опирания).

Тогда будут справедливы следующие зависимости:

$$M_p(x) = \int_0^x N_p(\xi) d\xi; \quad M_p(0) = M_p(l) = 0; \quad (13.62)$$

$$N_M(x) = 1/l [-M(0) + M(l) - \sum \mathfrak{M}]. \quad (13.63)$$

Подставляя в формулы (13.59) и (13.60) выражения (13.61) и учитывая при преобразованиях зависимости (13.62) и (13.63), получаем



$$\begin{aligned} \omega_2(x) &= -M_p(x)G\omega, \quad \alpha_2 = \\ &= \frac{1}{lG\omega} [-M(0) + M(l) - \sum \mathfrak{M}]. \end{aligned} \quad (13.64)$$

Рис. 13.28

Из выражения для α_2 следует, что действующие на балку моменты (включая опорные) вызывают лишь поворот поперечных сечений на угол α_2 и не влияют на прогиб от сдвига $\omega_2(x)$.

Пример 2. Для балки, изображенной на рис. 13.28, найти стрелу прогиба от сдвига и угол поворота опорных сечений.
Решение. Для рассматриваемой балки

$$N_p(x) = -q(x) + R_0; \quad N_M = -(M_0 + M_1)l; \quad (13.65)$$

$$M_p(x) = -q(x)l + q_0^2/2; \quad M_M(x) = -M_0 [1 - (x/l)] + M_1 x/l. \quad (13.66)$$

Тогда по формулам (13.64) найдем

$$\omega_2(x) = \frac{1}{G\omega} \frac{q^2 l^3}{2} \left(1 - \frac{x}{l}\right); \quad \alpha_2 = \frac{1}{lG\omega} (M_0 + M_1). \quad (13.67)$$

Для определения углов поворота опорных сечений воспользуемся формулой (13.59):

$$\alpha(0) = \alpha_2'(0) + \alpha_2; \quad \alpha(l) = \alpha_2'(l) + \alpha_2. \quad (13.68)$$

Воспользуемся найденным выше значением α_2 и также выражениями (13.26) для углов поворота $\alpha_1'(0)$ и $\alpha_1'(l)$, окончательно получаем

$$\alpha(0) = -\frac{q^2 l^3}{24EI} + \frac{M_0 l}{2EI} \left(1 + \frac{3EI}{G\omega l^2}\right) - \frac{M_1 l}{6EI} \left(1 - \frac{6EI}{G\omega l^2}\right), \quad (13.69)$$

$$\alpha(l) = -\frac{q^2 l^3}{24EI} - \frac{M_0 l}{6EI} \left(1 - \frac{6EI}{G\omega l^2}\right) + \frac{M_1 l}{2EI} \left(1 + \frac{3EI}{G\omega l^2}\right).$$

Для сварных и литых профилей, приваренных к обшивке корпуса, влияние сдвига на их прогиб незначительно и в расчетах не учитывается. Для таких профилей влияние сдвига на прогиб достаточно хорошо оценивается величиной отношения длинам к высоте балки (l/h). С увеличением этого отношения влияние сдвига уменьшается. При отношении $l/h \geq 10$ этим влиянием можно пренебречь.

Сдвиг следует учитывать при расчете коротких и высоких балок, таких, например, как встречаются в конструкциях различных фундаментов и подкреплений.

§ 13.3. Мембранопонтоные неразрезные балки на независимых упругих опорах.

Теорема пяти моментов

Неразрезные балки, опирающиеся на несколько упругих или жестких опор, являются наиболее простыми и вместе с тем весьма распространенными статически неопределимыми балочными системами, имеющими широкое применение в различных инженерных сооружениях и в том числе в конструкциях судового корпуса. Например, киль таковой опирается на несколько флюров, не обладающих достаточной жесткостью для создания жестких опор. То же относится к бортовому стрингеру, упругими опорами для которого являются шпангоуты, к корпусу судна в целом, поставленному в док на несколько упругих килетов, к мачте, поддерживаемой тросами талкалка и т. п. Еще более распространены в судовых конструкциях неразрезные балки на жестких опорах.

Определение понятия независимости для деформируемой упругой опоры, а также ее упругих характеристик — коэффициента жесткости и податливости — уже было дано в § 13.1. Просадка каждой из таких опор пропорциональна ее реакции и не зависит от посадки других опор.

Неразрезные балки относятся к категории статически неопределимых балочных систем: их внутренние усилия (взаимоотношение моменты и перерезывающие силы) в отдельных сечениях балки не могут быть определены на основании лишь уравнений статики.

Расчет такой статически неопределимой системы требует прежде всего ее преобразования в статически определенную, для чего необходимо найти так называемые лишние неизвестные.

Лишними неизвестными являются также реакции опор, моменты в заделках или внутренние усилия (изгибающие моменты и поперечные силы) и отдельные сеченные балки системы, определение которых превращает рассматриваемую балочную систему в одну или несколько статически определенных систем. Часто лишние неизвестные определяют степень статической неопределимости системы. Так, например, балка, изображенная на

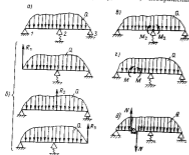


рис. 13.29

рис. 13.29, а, имеет всего лишь одну лишнюю неизвестную реакцию любой из трех опор (рис. 13.29, б). В качестве лишней неизвестной можно было бы принять: изгибающий момент над средней опорой (рис. 13.29, в), так как его определение обращает рассматриваемую балку в две статически определенные двучленные балки; внутренний момент (рис. 13.29, г) или поперечную силу (рис. 13.29, д) в любом из сечений по длине балки. При введении в качестве лишней неизвестной поперечной силы N , в том же сечении (см. рис. 13.29, е) вводится так называемый шарнир скольжения, обеспечивающий непрерывность угловых перемещений прикладываем к нему сечений балки.

Итак, выбор состава лишних неизвестных для статически неопределимых систем не однозначен. Забегая несколько вперед, укажем, что этот состав, во существу, обуславливает и содержание метода их определения, т. е. метода раскрытия статической не-

определимости рассматриваемой упругой системы. Если далее заметить, что каждый из этих методов имеет свои сильные и слабые стороны, то станут понятны причины, заставляющие расчетчика удалять особое внимание выбору состава лишних неизвестных.

При раскрытии статической неопределимости неразрезных многопролетных балок (рис. 13.30, а) наиболее естественным, на первый взгляд, было бы принять в качестве основных неизвестных реакции всех промежуточных опор и определить их из условия равенства прогибов балки, нагруженной заданной внешней нагрузкой и неизвестными реакциями опор R_i (рис. 13.30, б), прокладывая соответствующих промежуточных упругих опор ω_i :

$$\omega_i = \omega_i^0(Q) + \sum_{k=1}^n \alpha_{ik} R_k \quad (i = 1, 2, \dots, n), \quad (13.70)$$

где $\omega_i^0(Q)$ — прогиб в i -м сечении балки (рис. 13.30, а), нагруженной заданной внешней нагрузкой Q ; α_{ij} — коэффициент влияния, численно равный перемещению i -го сечения балки (место расположения i -й опоры), нагруженной в j -м сечении сосредоточенной силой R_j ($\alpha_{ij} = 1$ (рис. 13.30, в)).

Принимая во внимание, что для неизменяемой линейно деформируемой опоры $\omega_i = A_i R_i$ (A_i — коэффициент податливости опоры), из (13.70) получаем систему линейных алгебраических уравнений для определения реакций R_i :

$$\sum_{j=1}^n \alpha_{ij} R_j + \omega_i^0(Q) = 0 \quad (i = 1, 2, \dots, n); \quad (13.71)$$

$$\alpha_{ij} = \begin{cases} \alpha_{ij} & \text{при } i \neq j \\ \alpha_{ii} = A_i & \text{при } i = j. \end{cases}$$

Изложенный выше метод расчета статически неопределимых систем, при котором за основные неизвестные принимают внутренние усилия (в рассмотренном выше случае реакции опорных конструкций), называется методом сил.

После определения всех неизвестных реакций внутренние усилия в любом поперечном сечении неразрезной балки можно было

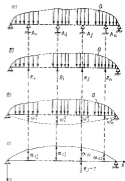


рис. 13.30

бы найти простым расчетом однопролетной балки с использованием таблиц изгиба балок. Однако этот способ таит в себе определенные вычислительные трудности, связанные с необходимостью отыскания стрелок прогиба рассматриваемой балки над всеми ее промежуточными сечениями и с решением системы уравнений (13.71), каждое из которых содержит все неизвестное. Решение такой системы уравнений при относительном большом числе промежуточных опор (более четырех-пяти) требует вычисления малой разности близких величин, каждая из которых найдена с определенной погрешностью, следствием чего обычно является потеря точности всего расчета. Недостатком подобной схемы расчета является также и то, что наибольшее моменты в сечениях балки,

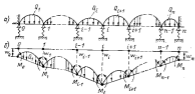


Рис. 13.31

необходимые для определения напряжений с последующей оценкой прочности, вычисляются на последнем этапе в результате алгебраического суммирования изгибающих моментов в однопролетной балке (см. рис. 13.30,б) от внешней нагрузки Q и найденных реакций опор R_i ($i = 1, 2, \dots, n$). Это снова приводит к определению малых разностей близких величин κ , как следствие, к увеличению погрешности расчета.

При выборе расчетной схемы (метода расчета) нужно всегда руководствоваться следующими основными соображениями:

- 1) в качестве основных неизвестных должны быть приняты те величины, значения, которые являются целью расчета;
- 2) составление разрешающей системы уравнений для определения этих неизвестных должно быть по возможности простым;
- 3) желательно, чтобы в каждой из уравнений системы входило как можно меньше неизвестных;
- 4) при решении уравнений не должно появиться малых разностей близких величин.

Всем этим требованиям в наибольшей степени удовлетворяет расчетная схема, известная под названием теоремы трех моментов для расчета неразрезных балок, лежащих на жестких опорах, или теоремы пяти моментов для расчета балок на упругих опорах.

Эта расчетная схема основана на том, что неразрезная балка во всех ее опорных сечениях мысленно разрезается и действие друг на друга двух смежных пролетов балки в местах разреза заменяется статически неопределимыми опорными моментами M_i (i — номер опоры). Естественно, что эти моменты для смежных пролетов в их общем сечении равны по значению и обратны по направлению, что следует из условия равновесия (рис. 13.31). Опорный момент считается положительным, если его действие вызывает изгиб соответствующего пролета балки выпуклостью вверх. Положительные направления опорных моментов показаны на рис. 13.31,б. Каждый из пролетов рассматриваемой n -пролетной неразрезной балки, опирающейся на независимую линейно деформируемую упругую опору (рис. 13.31,а), оказывается нагруженным по концам неизвестными опорными моментами и заданной пролетной нагрузкой (рис. 13.31,б).

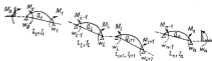


Рис. 13.32

В результате нагружения балки все ее опоры получают определенные смещения w_i ($i = 0, 1, \dots, n$) (см. рис. 13.31,б).

Для определения неизвестных опорных моментов M_i ($i = 0, 1, \dots, n$) необходимо составить условия непрерывности углов поворота неразрезной балки над каждой из ее опор (уравнения неразрывности угловых перемещений). Число уравнений равно числу промежуточных опор плюс число заделок на конечных опорах балки.

Введем следующие дополнительные обозначения: l_i — пролет балки между опорами $i-1$ и i ; I_i — главный момент инерции поперечного сечения балки в том же пролете; Q_i — полная нагрузка того же пролета; $\alpha_i(Q_i)$ — угол поворота от поперечной нагрузки Q_i в правом опорном сечении i -го пролета, вычисленный в предположении, что оба конца этого участка балки свободно опираются на жесткие опоры; $\alpha_i(Q_{i+1})$ — то же для левого опорного сечения $i+1$ -го пролета от нагрузки в этом пролете Q_{i+1} ; A_i — коэффициент податливости i -й упругой опоры; B_i и B_n — коэффициенты податливости упругих заделок на левом и правом концах неразрезной балки.

Выведем из балки крайний левый, два смежных средних и крайний правый пролеты (рис. 13.32) и приравняем углы поворота крайних опорных сечений балок соответствующим углам

поворота упругих заделок, а углы поворота двух средних промежуточных участков балки на их общей опоре друг другу.

Поскольку каждый из рассматриваемых пролетов балки нагружен по концам моментами, имеет смещение опорных опор и загружен приложенной нагрузкой, суммарный угол поворота на опорах может быть получен в виде суммы углов поворота от каждого из указанных факторов в отдельности. Как и ранее, углы поворота сечений составляют положительными при повороте по часовой стрелке. Используя выражение (13.26) и приведенные выше обозначения, получим следующую систему уравнений неразрывности угловых перемещений:

$$\left. \begin{aligned} \alpha_0 M_0 &= -\frac{M_0 l_0}{3EI_0} - \frac{M_1 l_1}{3EI_1} + \alpha_0(Q_0) + \frac{w_1 - w_0}{l_0}; \\ &-\frac{M_1 l_1'}{3EI_1} + \frac{M_1 l_1}{3EI_1} + \alpha_1(Q_1) + \frac{w_2 - w_{1-1}}{l_1} = \\ &= -\frac{M_1 l_{1+1}}{3EI_{1+1}} - \frac{M_{1+1} l_{1+1}'}{3EI_{1+1}} + \alpha_1(Q_{1+1}) + \frac{w_{1+1} - w_1}{l_{1+1}} \\ &\quad (i=1, n-1); \\ \frac{M_n l_n}{3EI_n} + \frac{M_n l_n'}{3EI_n} + \alpha_n(Q_n) + \frac{w_n - w_{n-1}}{l_n} &= -\alpha_n M_n. \end{aligned} \right\} (13.72)$$

Входящие в эту систему уравнений величины $\alpha_i(Q_i)$ и $\alpha_i(Q_{i+1})$ определяются с помощью таблиц жестко свободно опертых на две жесткие опоры балок, приведенных в справочнике [31, т. 1], либо из расчета изгиба однопролетных балок методами, которые были изложены ранее. Второе же уравнение системы (13.72) справедливо при $1 < i < n-1$.

В полученной системе $n+1$ уравнений (13.72) смещения опор w_i могут быть равны нулю (при жестких несмещаемых опорах), заданы (когда при жестких опорах в ненагруженном состоянии балка не касается всех опор¹) и, наконец, неизвестны (при независимых упругих опорах). В первых двух случаях полученная система называется системой уравнений трех моментов, поскольку в каждом из уравнений входит не более трех неизвестных моментов.

В случае упругих опор их просадки w_i , входящие в уравнения (13.72), являются неизвестными, подлежащими определению величинами, как и опорные моменты M_i . Следовательно, число неизвестных в системе уравнений (13.72) превышает число самих уравнений и для решения задачи необходимо составить дополнительные уравнения. Такими дополнительными уравнениями будут уравнения равновесия упругих опор.

Реакция упругой опор пропорциональна ее просадке и на основании формулы (13.3) выражается равенством

$$R_i = w_i / A_i. \quad (13.73)$$

Эта же реакция может быть выражена через опорные моменты и нагрузки прилегающих к опоре смежных пролетов балки. Для i -й опоры (см. рис. 13.32)

$$R_i = (M_i - M_{i-1})/l_i + R_i(Q_i) + (M_i - M_{i+1})/l_{i+1} + R_i(Q_{i+1}), \quad (13.74)$$

где $R_i(Q_i)$ — реакция от поперечной нагрузки Q_i на правой опоре i -го пролета, вычисленная в предположении, что оба конца этого пролета балки свободно опираются на жесткие опоры; $R_i(Q_{i+1})$ — же для левой опоры $i+1$ -го пролета от нагрузки в этом пролете Q_{i+1} .

По условиям равновесия опор величины (13.73) и (13.74) должны быть равны, поэтому

$$w_i A_i = (M_i - M_{i-1})/l_{i+1} + (M_i + M_{i+1})/l_{i+1} + R_i(Q_i) + R_i(Q_{i+1}). \quad (13.75)$$

Число уравнений (13.75) равно числу упругих опор балки.

Полученная система основных (13.72) и дополнительных (13.75) уравнений дает возможность определить все неизвестные. Эту систему целесообразно преобразовать таким образом, чтобы коэффициенты при неизвестных моментах были безразмерными величинами, а каждый член уравнения имел бы размерность момента. Для этого достаточно умножить все члены уравнений (13.72) на множитель $6EI_0/l_0$, где I_0 и l_0 — произвольные величины, имеющие соответственно размерности момента инерции площади поперечного сечения и длины; обычно их принимают равными соответствующим величинам одного из пролетов рассматриваемой балки. После умножения уравнения (13.72) примет следующий вид:

$$\left. \begin{aligned} (w_0 + 2\alpha_0) M_0 + \alpha_1 M_1 + \beta_1 F_1 + \beta_1 F_1 - \alpha_0(Q_0) 6EI_0 l_0; \\ \alpha_2 M_{i-1} + 2(\alpha_i + \alpha_{i+1}) M_i + \alpha_{i+1} M_{i+1} - \beta_i F_{i-1} + \\ + (\beta_i + \beta_{i+1}) F_i - \beta_{i+1} F_{i+1} - [\alpha_i(Q_i) + \alpha_i(Q_{i+1})] 6EI_0 l_0 \\ 1 < i < n-1; \\ \alpha_n M_{n-1} + (2\alpha_n + \gamma_n) M_n - \beta_n F_{n-1} + \beta_n F_n - \alpha_n(Q_n) 6EI_0 l_0, \end{aligned} \right\} (13.76)$$

где в целях сокращения здесь введены еще ряд дополнительных обозначений:

$$\left. \begin{aligned} \gamma_0 = (6EI_0/l_0) \alpha_0; \quad \gamma_n = (6EI_0/l_0) \alpha_n; \\ \alpha_i = (l_i/l_0) (I_i/I_0); \quad F_i = (6EI_0/l_0) w_i; \quad \beta_i = l_0/l_i. \end{aligned} \right\} (13.77)$$

¹ После расчета такой балки необходимо убедиться, что при действии заданной нагрузки балка будет касаться всех опор, т. е. реакция опор будет положительной. Опоры, для которых реакция окажется отрицательными, следует отбросить, а расчет балки выполнить заново.

Система уравнений равновесия упругих опор (13.75) после умножения на K_i преобразуется к виду

$$\left. \begin{aligned} F_i &= \frac{1}{K_i} [b_i M_i - b_i M_{i+1} + L_i R_i(Q_i)]; \\ F_i &= \frac{1}{K_i} [-b_i M_{i-1} + (b_i + b_{i+1}) M_i - b_{i+1} M_{i+1} + \\ &+ L_i R_i(Q_i) + L_i R_i(Q_{i+1})] \quad (1 \leq i \leq n-1); \\ F_n &= \frac{1}{K_n} [b_n M_n - b_n M_{n-1} + L_n R_n(Q_n)]. \end{aligned} \right\} (13.78)$$

Здесь $K_i = Q_i^3 / (6EI_i A_i)$ ($i=0, 1, 2, \dots, n$). Нетрудно видеть, что величины F_i имеют размерность момента, а коэффициенты a_i и b_i — величины безразмерные.

После исключения из i -го уравнения системы (13.76) неизвестных F_{i-1} , F_i и F_{i+1} с помощью зависимостей (13.78) получим уравнение, которое в общем случае будет содержать пять неизвестных моментов: M_{i-2} , M_{i-1} , M_i , M_{i+1} и M_{i+2} . Отсюда и название этой системы — уравнения пяти моментов.

Решение полученной системы алгебраических уравнений целесообразно выводить в табличной форме методом последовательного исключения неизвестных по схеме Гаусса либо воспользоваться одной из существующих программ решения систем линейных алгебраических уравнений на ЭВМ.

После определения опорных моментов M_i каждый пролет рассматривается как отдельная однопролетная свободно опираемая по концам, т. е. статически определяемая, балка, несущая кроме пролетной нагрузки также известные моменты в опорных сечениях. Пролетный опор определяется по формулам (13.75). Заметим, что моменты, для которых получены отрицательные значения, действуют в направлении, обратном принятому на рис. 13.31.

Зная значения опорных моментов, величину и характер пролетной нагрузки, мы можем по правилу взаимности с помощью таблицы или путем расчета кривой однопролетной свободно опираемой балки построить эпюры моментов для каждого из пролетов рассматриваемой балки. Соединяя все полученные эпюры для отдельных пролетов вместе, получаем эпюры изгибающих моментов $M(x)$ и поперечных сил $N(x)$ рассматриваемой неразрезной балки.

Пример 4. Требуется раскрыть статическую неопределимость и построить эпюры изгибающих моментов и поперечных сил для неразрезной балки постоянного сечения, изображенной на рис. 13.33, а.

Исходные данные: $l_1 = l_2 = 6l_0$; $l_3 = l_4 = 2,08l_0$; $l_5 = l_6 = 3,06l_0$; $l_7 = l_8 = 0,9l_0$; $l_9 = l_{10} = 0,3l_0$; $l_{11} = l_{12} = l_0$; $P_1 = 0,3q_0 l_0$; $P_2 = q_0 l_0$ (l_0, q_0 — постоянные величины, имеющие соответственно размерности момента на единицу длины и жесткости стержня).

Решение. Вспомогательная балка δ — 4 содержит упругое защемление δ -го конца основной балки δ -2. Коэффициент жесткости K такого упругого защемле-

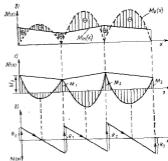
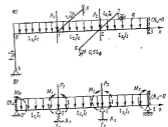


Рис. 13.33

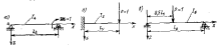


Рис. 13.34

ной будет равен (см. формулу (13.31)) углу наклона правого опорного балки, изображенной на рис. 13.34, а:

$$\theta = \omega' (x=l) \Big|_{p=1} = \frac{2W_1}{3EI_1} \Big|_{p=1} = \frac{1 \cdot 0,84}{3EI_1} = \frac{l_2}{30EI_1}$$

Балки 1—5 и 6—7 поддерживают основную балку 0—3 в сечении i и 2 и играют роль упругих опор.

Коэффициенты жесткости опор и второй пропускной опор определяются по основным значениям (13.3) для расстояний между, приведенных соответственно на рис. 13.31, б и в:

$$A_1 = \omega (x=l) \Big|_{p=1} = \frac{P_1^0}{2EI_1} \Big|_{p=1} = \frac{1 \cdot (0,84)^2}{2E \cdot 2700I_1} = \frac{l_2^2}{302EI_1}$$

$$A_2 = \omega \left(x = \frac{l_2}{2} \right) \Big|_{p=1} = \frac{P_1^0}{48EI_1} \Big|_{p=1} = \frac{1 \cdot l_2^2}{48 \cdot 2700I_1} = \frac{l_2^2}{1620EI_1}$$

Положив угловой зазор между левым концом и упругими опорами в углах 1 и 2 соответственно увеличим жесткость расчетно модель основной опорной системы (см. рис. 13.32, а) и представим ее в виде неразрезной прерывистой балки (см. рис. 13.32, б). Составим для полученной балки уравнение равновесия угла поворота опорных сечений на основании выражений (13.77):

$$\left. \begin{aligned} W_1 M_0 &= -\frac{M_0^0 l_1}{3EI_1} - \frac{M_1 l_1}{6EI_1} + \frac{q_1^0 l_1^2}{24EI_1} + \frac{w_1}{l_1} \\ \frac{M_0^0 l_1}{6EI_1} + \frac{M_1 l_1}{3EI_1} - \frac{q_1^0 l_1^2}{24EI_1} + \frac{w_1}{l_1} &= -\frac{M_1 l_2}{3EI_2} - \frac{M_2^0 l_2}{6EI_2} + \\ &+ \frac{q_2^0 l_2^2}{24EI_2} + \frac{w_2 - w_1}{l_2} \\ \frac{M_0^0 l_1}{6EI_1} + \frac{M_1 l_1}{3EI_1} - \frac{q_1^0 l_1^2}{24EI_1} + \frac{w_2 - w_1}{l_2} &= -\frac{M_2^0 l_2}{3EI_2} - \\ &- \frac{M_3^0 l_2}{6EI_2} + \frac{q_2^0 l_2^2}{24EI_2} + \frac{w_2}{l_2} \\ \frac{M_0^0 l_1}{6EI_1} + \frac{M_1 l_1}{3EI_1} - \frac{q_1^0 l_1^2}{24EI_1} + \frac{w_2}{l_2} &= 0 \end{aligned} \right\} (13.79)$$

а уравнения равновесия упругих опор согласно формуле (13.75):

$$\left. \begin{aligned} w_1 &= A_1 \left(\frac{M_1 - M_0}{l_1} + \frac{M_1 - M_2}{l_1} + \frac{q_1^0}{2} + \frac{q_2^0}{2} + P_1 \right) \\ w_2 &= A_2 \left(\frac{M_2 - M_1}{l_2} + \frac{M_2 - M_3}{l_2} + \frac{q_2^0}{2} + \frac{q_1^0}{2} + P_2 \right) \end{aligned} \right\} (13.80)$$

Подставив выражения (13.80) в систему (13.79) и используя известные значения коэффициентов жесткости упругой балки M и упругих опор A_1, A_2 в также заданные моменты для упругих опор и моментов опорных отсечений прототипа, получим следующую систему уравнений:

$$\left. \begin{aligned} 2,20M_0 + 0,8M_1 + 0,08M_2 &= 0,46q_1^0 l_2^2 \\ 0,8M_0 + 5,76M_1 + 1,3M_2 + 0,94M_3 &= 0,82q_2^0 l_2^2 \\ 0,08M_0 + 1,3M_1 + 5,22M_2 + 0,9M_3 &= 1,04q_1^0 l_2^2 \\ 0,04M_1 + 0,9M_2 + 3,06M_3 &= 0,392q_2^0 l_2^2 \end{aligned} \right\} (13.81)$$

Решение полученной системы дает возможность определить моменты указанных моментов неразрезной балки (см. рис. 13.33, б):

$$M_0 = 0,100q_1^0 l_2^2; \quad M_1 = 0,895q_1^0 l_2^2; \quad M_2 = 0,146q_2^0 l_2^2; \quad M_3 = 0,124q_2^0 l_2^2$$

Расчеты показывают, что моменты M_1 и моменты от правой нагрузки, которую построили упругие балки, являются моментами для каждой из прототипов, но объединяя образует упругую опору вглубинных моментов по всей длине неразрезной неразрезной балки.

Общая опорная $M(x)$ строит методом сложения полагая выражения $M(x) = M_0(x) + M_1(x)$, где $M_0(x)$ — опорная балка, моменты только от правой нагрузки, а $M_1(x)$ — левая часть опоры от опорных моментов. Опора $M_2(x)$ строится для каждой опоры как для однопролетной свободно опираемой балки с углом асимметричности в данном пролете вложенной нагрузки. Опорная этой опоры следует отсечь от оси балки в направлении расположения скатных опорных балок. В каждом случае действия правой нагрузки отсечь каждый пролет (в направлении его работы как свободно опираемой однопролетной балки) аналогично как. При этом скатные опоры будут представлять опоры от балки и, следовательно, опорная опора $M_3(x)$ нужно отсечь от оси балки вверх (на рис. 13.33, в опора $M_3(x)$ вложена нагрузкой). Опора $M_4(x)$ строится на том же черчении и в том же масштабе следующим образом: вложенная опорная нагрузка M_1 отскачивается в опорных сечениях в сторону расстояния данными коэффициентами жесткости, затем поочередно угловые моменты соединяются правыми линиями (показана опорная линия на рис. 13.33, в). В результате рисования складывается два опор $M_2(x)$ и $M_3(x)$ опорная результирующая опора $M(x)$ будет определяться отрезком между опорной линией $M_4(x)$ и левой $M_4(x)$ [опора $M(x)$ на рис. 13.33, в изображена с указанием на опорные углы ее знака].

Получив линию $M_4(x)$ можно рассмотреть в качестве опорной линии результирующей опоры $M(x)$. Это позволяет увеличить жесткость этой опоры построив опоры $M(x)$: опора $M_4(x)$ строится так, как указано выше, а опорная опора $M_2(x)$ отскачивается от линии $M_4(x)$ в сторону расстояния от опоры (см. рис. 13.33, в). Как видно на рис. 13.33, в, полученная при этом опорная опора $M(x)$ более жесткая.

Для построения опоры переопределенной для неразрезной балки прототипа можно выбрать переопределенную как на опорной опоре на прототипе. При этом, в том же масштабе выстроим, как и в прототипе балку, результирующую опорную опору на месте опоры однопролетной балки, нагруженной опорной нагрузкой правой нагрузки и вложенными углами опорных моментов. В результате получим следующую опорную переопределенную опору:

$$\left. \begin{aligned} \text{на левой опоре } (i=0) \quad M_0 &= -(M_2 - M_1)l_1 - 0,5q_1^0 l_1 = -0,905q_1^0 l_1 \\ \text{опора от опоры } 1 \quad M_{004} &= -(M_2 - M_1)l_1 + 0,5q_1^0 l_1 = 0,495q_1^0 l_1 \\ \text{справа от опоры } 1 \quad M_{004} &= -(M_1 - M_0)l_1 - 0,5q_1^0 l_1 = -0,71q_1^0 l_1 \\ \text{опора от опоры } 2 \quad M_{204} &= -(M_2 - M_1)l_2 + 0,5q_2^0 l_2 = 0,78q_2^0 l_2 \\ \text{справа от опоры } 2 \quad M_{204} &= -(M_2 - M_0)l_2 - 0,5q_2^0 l_2 = 0,522q_2^0 l_2 \\ \text{на правом конце балки } M_3 &= -(M_2 - M_1)l_2 + 0,5q_2^0 l_2 = 0,478q_2^0 l_2 \end{aligned} \right\}$$

Расчеты показывают, что переопределенная опора в опорных сечениях отсечений прототипа, деленная на характерную величину нагрузки, можно построить упругую переопределенную опору $K(x)$ для неразрезной неразрезной балки (см. рис. 13.33, б).

Контрольные вопросы

1. Дайте классификацию возможных видов деформаций балки.
2. Как классифицируются опоры балки и какими свойствами характеризуются их упругие свойства?
3. Какие балки являются статически неопределимыми? Как определяются стержни из статической неопределимости?
4. Дайте определение понятия «вложенный момент» и переопределенная опора.

5. На каких гипотезах основана статическая теория изгиба балок?
6. В чем заключается гипотеза плоскости сечений и как она используется при выводе основных уравнений теории изгиба балок?
7. Выпишите и объясните формулы для определения нормальных и касательных напряжений в поперечном сечении балки.
8. Выпишите в области дифференциала зависимости изгиба балки.
9. Выпишите граничные условия балки, терминуемые отсюда которой упруго деформируется и упруго сдвигается.
10. Изложите общую схему определения упругой линии балки. Дифференциальное уравнение изгиба балки и граничные условия запишите ее терминуемые сечений задачи.
11. В чем состоит метод начальных параметров? Каковы преимущества метода начальных параметров по сравнению с методом интегрирования по участкам?
12. Каково существование зависимости от относительного расстояния между точкой перегиба и точкой изгибаемой закр следующие разрывы элементов алгебра: угловой линии, угла поворота, кривизны элементов и перемещений сдвиг?
13. Как доказываются критерии пластичности и как они используются для расчета статической несущей способности балок?
14. Каков образом производится учет влияния деформаций сдвига при изгибе балок?
15. Почему при расчете неразрезных балок целесообразно применять за известные неизвестные реакции опор?
16. Зачем же от статической неопределимости от выбора основной системы?
17. Что такое коэффициент податливости упругой опоры и коэффициент ее жесткости? Какова связь между ними?
18. Объясните общий ход решения уравнений трех моментов и их использование при расчете неразрезной балки на упругих опорах.

Глава 14. РАМЫ, СОСТАВЛЕННЫЕ ИЗ ПРЯМЫХ СТЕРЖНЕЙ

§ 14.1. Рама как конструктивный элемент судового корпуса. Классификация и допущения

Корпус судна представляет собой сложную упругую систему, состоящую из множества пластичных элементов, на которую действуют нагрузки различной природы (гидростатическое и гидродинамическое давление воды, силы тяжести, силы инерции и др.).

Основными пластичными корпусом являются днищевая и бортовая обшивка и настилы палуб, которые воспринимают непосредственно давление воды и обеспечивают непроницаемость корпуса. Важную роль играют и другие пластины: переборки, стенки надстроек и рубок, второе дно. Однако сами эти пластины без соответствующих подкреплений, очевидно, не могут выдержать даже незначительного поперечного давления или действия продольной сжимающей нагрузки вследствие потери устойчивости (например,

при общем изгибе корпуса). Поэтому перекрестно их пластичности устанавливаются на определенных расстояниях в продольном и поперечном направлениях подкрепляющие пластины-стенки с поясками на противоположных продольных кройках. Таким образом создается основной набор корпуса — флора, стрингеры, бимсы, рамы: стойки и др., — который служит жестким опорным контуром для обшивки (см. рис. 13.1).

Каждое поле пластины между опорными кройками в общем случае воспринимает поперечную нагрузку, вызываемую ее изгибом, и передает ее на стенки набора, которые, изгибаясь в своей плоскости, испытывают плоское напряженное состояние. Вследствие изгиба стенок и жестко связанных с ними по кройкам пластичных-поясков также возникает плоское напряженное состояние.

Очевидно, в самой строгой постановке расчет напряженно-деформированного состояния корпуса судна следовало бы выполнять методами плоской задачи теории упругости по следующей принципиальной схеме. Корпус судна разбивают на множество пластин, кройки которых нагружены неизвестными усилиями взаимодействия со смежными пластинами. Распределение этих неизвестных усилий по кройкам можно аппроксимировать с учетом условий равновесия подходящим набором функций с достаточным числом неопределенных коэффициентов (например, в виде полиномов или тригонометрических рядов). Для каждой пластины решают плоскую задачу при указанных кромочных нагрузках, в результате чего напряжения, деформации и перемещения выражаются как функции координат и неопределенных коэффициентов аппроксимации нагрузок. Затем составляют условия совместности деформаций (перемещений) по всем смежным кройкам между пластинами, из которых определяют все указанные коэффициенты, и тем самым решают задачу.

При использовании этой расчетной схемы (модели) пришлось бы иметь дело со множеством пластин и неизвестных коэффициентов, которые необходимо определять из совместной системы уравнений большого порядка, что полностью исключает возможность выполнения такого расчета без применения мощного программного комплекса на ЭВМ. Хотя в принципе и настоящее время подобный комплекс и может быть разработан (см. гл. 10, 11), его практическая реализация нецелесообразна как из-за чрезмерно большого машинного времени, затрачиваемого на каждый расчет, так и вследствие огромного объема исходной информации, подготовка которой может занять несколько месяцев.

Вместе с тем можно утверждать, что такое совместное рассмотрение всех элементов корпуса, которое и вводит в столь сложной расчетной схеме, не является обязательным. Так, очевидно, что напряженно-деформированные состояние элементов, расположенных, например, в одном из корьюных перекрытий и те же состояния элементов, расположенных в одном из носовых перекрытий, не влияют друг на друга и могут определяться независимо. В связи с этим при разработке практических расчетах

схем (моделей) и методов целесообразно в максимальной степени использовать возможность исключения второстепенных факторов, а также слабого взаимодействия или проигнорировать приближенный их учет упрощенными способами.

Применительно к рассматриваемой общей задаче возможны следующие уровни упрощений или, как их иногда называют, идеализаций.

Во-первых, как было показано в § 6.3, пластину-стенку (балку-стенку), а также пластинчатую систему, состоящую из пластины-стенки и балки-ребра, при действии поперечной нагрузки в плоскости стенки (т. е. при изгибе в этой плоскости), можно рассматривать как единый элемент — балку, особенности напряженно-деформированного состояния и методы расчета которой подробно изложены в гл. 13. Напомним, что такую модель можно применить, если пролет балки не менее чем в 3—4 раза превышает высоту стенки и вместо реальной ширины ребра в соответствующих случаях в расчет вводятся их приведенные (эффективная) ширины (см. § 6.3). Этим условиям отвечают практически все элементы судового набора, и таким образом корпус судна может быть представлен в виде совокупности соединенных между собой балок, составляющих единую стержневую систему. Балки-стержни такой системы жестко соединены между собой в узлах, вследствие чего как линейные, так и угловые перемещения всех прилегающих к данному узлу смежных стержней равны между собой и равны соответствующим перемещениям узла в целом. Балки-стержни, воспринимающие поперечную нагрузку, испытывают в основном деформацию изгиба, которая передается на смежные стержни через узловые соединения. Такая система относится к типу жестких стержневых систем или просто рам, методы расчета которых и будут изложены в данной главе.

При представлении корпуса судна в виде стержневой рамной системы (стержневой идеализации) достигается существенное упрощение расчетов. Вместе с тем в некоторых отношениях она недостаточно соответствует реальным свойствам системы, что необходимо учитывать при ее применении. Основными ограничениями использования стержневой модели являются следующие.

Сплошные настилы (палубы, днище и др.) участвуют одновременно в качестве поперек в изгибе пересекающихся балок обоих направлений, в результате чего в них возникает двойное напряженное состояние. В этом случае reduцированные коэффициенты и ширины приведенных поперек существенно зависят от соотношения нормальных напряжений, действующих в двух направлениях, что не позволяет дать даже приближенную рекомендацию по их определению, которое возможно при одноосном напряженном состоянии поперка (см. § 6.3). Как правило, эти обстоятельства пренебрегают, что достаточно оправдано при односторонних настилах, а при двухсторонних (двойное дно) может давать погрешность в напряжениях до 15—20% и в прогибах до 30—40%.

Стержневая модель в описанном выше виде недостаточна также при выполнении расчетов прочности корпуса на кручение. Необходимость в таких расчетах возникает для судов с широкими палубными локсами, которые резко снижают жесткость и прочность корпуса на кручение. В этих случаях применяют специальные модели и методы расчета (см. тл. 18).

Дополнительные решения плоской задачи приходится вводить для зон концентрации напряжений, вырезок и резких изменений сетки, при действии значительных местных нагрузок и плоскостях отсоса балок, палуб, переборок и других настилов.

Таким образом, с учетом сделанных выше замечаний стержневая модель может применяться в качестве вполне приемлемой при решении ряда прочностных задач, что позволяет уже на первом уровне упрощений по крайней мере на один-два порядка уменьшить ее сложность, по сравнению с точной пластинчатой моделью.

Для того чтобы можно было рассчитывать каждый элемент — балку такой системы в отдельности, необходимо кроме пролетной нагрузки знать еще граничные условия, которые характеризуют условия взаимодействия рассматриваемой балки с прилегающими к ней элементами судового корпуса.

Из изложенного выше должно быть ясно, что расчет корпуса судна как единой стержневой системы, имеющей тысячи узлов, в результате которого необходимо определить множество неизвестных перемещений узлов или узловых усилий из совместной системы уравнений, также представляет весьма трудную задачу даже при использовании современных ЭВМ. Поэтому часто вводят следующий уровень упрощения, которого можно достичь путем разделения такой системы на отдельные части для самостоятельного расчета каждой из них. Возможность разделения является благодаря наличию поперечных переборок, которые разделяют корпус на отсеки. Вследствие большой жесткости в твоей плоскости поперечные переборки создают практически жесткие (несвязные) опоры для продольных балок на границах отсеков. В этом случае сильное взаимодействие балок смежных отсеков сводится к появлению только изгибающих моментов, влияние которых быстро затухает в последующих отсеках [так же, как и у многосекционных балок (см. тл. 13)]. Поэтому расчет какого-либо отсека можно производить, включая в состав системы только по одному смежному с ним отсеку с каждой стороны, а граничные условия во внешних отсеках этих отсеков, учитывая их слабое влияние на средний отсек, назначать приближенно. Если нагрузка смежных отсеков, а также их конструкция точно или приблизительно симметричны относительно разделяющей их переборки, то продольные балки на этой переборке можно считать жестко защемленными. При наличии таких условий с двух сторон каждый отсек можно рассматривать как отдельную рамную систему с известными граничными условиями, что снижает трудоемкость ее расчета уже до приемлемого (хотя все еще значительного) уровня при использовании специальных программ на ЭВМ.

Следующий уровень упрочнения достигается при расчленении пространственной рамы стержневой системы — отсека — на ряд отдельных плоских конструкций. Этот уровень был совершенно необходим в период, предшествующий появлению ЭВМ, но продолжает сохранять свое важное значение и в настоящее время.

Прежде всего в каждом отсеке можно выделить плоские стержневые системы, воспринимающие нагрузки, перпендикулярные их плоскости, — днищевые, бортовые и палубные перекрытия, набор переборок. Так, например, для днищевого перекрытия граничные условия на поперечных переборках в ряде случаев можно определить, как указывалось выше, а на бортах при небольшой жесткости шпангоутов по сравнению с жесткостью флоров последние можно считать свободно опретыми. В других случаях определение граничных условий на краях перекрытия может быть не столь очевидным и требует дополнительных исследований или последовательных уточнений. Методы расчета таких конструкций будут подробно изложены в гл. 17.

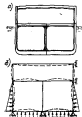


Рис. 14.1

Другой конструкцией, которую можно выделить из отсека для самостоятельного расчета, является поперечная шпангоутная плоская рама, состоящая в простейшем случае из днищевого флора, бортовых шпангоутов и палубного бруса. При наличии продольных переборок и палубных балок их стойки и бимсы также входят в состав шпангоутной рамы. На рис. 14.1 показан пример конструктивной (а) и расчетной (б) схем шпангоутной рамы. В средней части отсека шпангоутная рама слабо взаимодействует с продольными балками и ее можно рассматривать как самостоятельную работающую конструкцию, воспринимающую нагрузку, приходящуюся на данную шпангоут и действующую в плоскости рамы (давлениеaborной воды и противодавление грузов). Расчет такой рамы позволяет более детально определить условия силового взаимодействия стержней, входящих в смежные перекрытия и оценить возможные наихудшие условия их работы. Аналогичной плоской рамой являются сочленения таких стержней, как вертикальный киль — стойки поперечных переборок — каракинг или бортовые стрингеры — балки поперечных и продольных переборок — расборки. Пространственными рамами, в состав которых входят плоские рамы, являются наборы судового корпуса (рис. 14.2, а), кадстроек и рубок, многослойные мачты и некоторые другие конструкции (рис. 14.2, б).

Отличительной чертой всех перечисленных конструкций, как уже указывалось, является то, что их стержни-балки воспринимают зна-

чительные продольные нагрузки и основным видом их напряженно-деформированного состояния является поперечный изгиб. Вызываемые осевыми силами напряжения имеют второстепенное значение. Вследствие жесткой связи стержней в узлах рамы имеют высокую степень статической неопределенности.

Стержневые конструкции другого основного в строительной механике типа — фермы отличаются тем, что их стержни в узлах соединяются шарнирно и благодаря наличию необходимого числа раскосов, а также условному характеру нагрузки испытывают в основном растяжение-сжатие осевыми силами. Фермы в судовых конструкциях применяют редко.

Итак, как видно из выложенного выше, строительная механика корабля должна располагать методами расчета прочности в общем

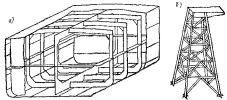


Рис. 14.2

случае пространственных рам и, в частных случаях, плоских рам.

Вначале будут рассмотрены плоские рамы, у которых продольные оси всех стержней располагаются в одной плоскости. В этой же плоскости действует приложенная к раме внешняя нагрузка. Кроме того, одна из главных осей поперечных сечений всех стержней лежит также в плоскости рамы или возможность изгиба стержней из этой плоскости устранена конструктивно (например, при наличии сплошной обшивки). Если хотя бы одно из этих условий не выполняется, то изгиб стержней будет иметь пространственный характер и рама будет относиться к типу пространственных. Предполагается, что все стержни рамы прямолинейны. При наличии криволинейных стержней их можно заменить дугами стержнями с достаточным числом участков, а каждый из этих участков рассматривать как прямолинейный стержень с узлами в местах стыков между дугами. В случаях, когда такая замена не целесообразна (вследствие значительного увеличения числа узлов), раму с криволинейными стержнями рассчитывают специальными методами, излагаемыми в гл. 15.

Плоские рамы классифицируются еще по двум признакам, определяющим особенности применяемых к ним методов расчета.

По числу складывающихся в одном узле стержней рамы делятся на *простые*, у которых это число равно двум, и *сложные* при соединении хотя бы в некоторых узлах трех и более стержней.

По признаку линейной подвижности узлов различают рамы с линейно-неподвижными узлами и с линейно-подвижными узлами. Узлы рамы будут линейно-неподвижными при соблюдении одного из следующих условий: а) шарнирная схема рамы является геометрически неизменяемой фермой и все стержни считаются недеформируемыми по отношению к растяжению-сжатию; б) неподвижность всех узлов обеспечивается конструктивно, например присоединением их к жестким несмещаемым конструкциям; в) конструкция рамы, а также ее нагрузка, при которой все узлы сохраняют неизменное положение, являются симметричными. Если указанные условия не имеют места, то рама относится к категории рам со смещаемыми узлами. Линейная подвижность узлов, очевидно, усложняет их расчет. Характерной особенностью рам судового корпуса является то, что их узлы, как правило, располагаются на линиях пересечения сплошных пластин-полотыши, в результате чего обеспечивается линейная несмещаемость этих узлов. Так, жесткие поперечные переборки препятствуют относительным смещениям палуб в днища, и продольных переборок, что исключает общий поперек поперечных сечений корпуса и смежные узловых линий. Смещаемые узлы образуются обычно только на стержнях, не связанных со сплошными настилами (шкелерах, распорках и т. п.).

При разработке методов расчета прочности рам используют следующие допущения.

1. Возникающие в прямых стержнях рамы продольные силы относительно малы и практически не влияют на изгиб этих стержней (эффект продольного изгиба незначителен (см. гл. 19)).

2. Основательные линейные перемещения узлов за счет изменения длины стержней в результате действия в них осевых сил пренебрежимо. Это допущение либо полностью устраняет, либо существенно уменьшает степень изменчивости подвижности узлов рамы, а следовательно, и количество подтежания определению линейных перемещений, что сильно упрощает расчет и повышает устойчивость вычислительного алгоритма [обусловленность матрицы системы уравнений (см. гл. 11)]. Однако для рам с линейно-подвижными узлами в число основных неизвестных приходится включать осевые силы, что в общем случае усложняет структуру алгоритма. Поэтому при разработке универсального метода (алгоритма) расчета на ЭВМ предпочтительно не использовать это допущение, что, хотя и увеличивает объем вычислений, но в то же время значительно упрощает саму программу (см. § 14.4).

3. Стержни в пролетах между узлами — практически. Непризматические стержни следует представлять в виде ступенчатых призматических, а границы участков считать узлами рамы. Увели-

чением жесткости стержней за счет кинн вблизи узловых сечений можно пренебрегать.

4. Деформации сдвига, возникающие в результате действия неравномерных сил, мало влияют на элементы изгиба и обычно их не учитывают.

Геометрия рамы определяется линиями, проходящими через ЦТ поперечных сечений. Определением всех исходных данных производится на основе анализа реальных условий работы конструктивной корпус в рассматриваемом подробно в курсе прочности судов.

§ 14.3. Плоские простые рамы

Рамы с линейно-неподвижными узлами. Рамы этого типа являются, по существу, неразрезными балками, имеющими изломы в узлах, в которых должно быть установлено необходимое количество жестких опор для устранения любых линейных смещений всех узлов.

Примеры таких рам показаны на рис. 14.3. Контур рамы бы-

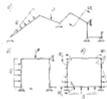


Рис. 14.3

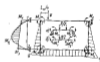


Рис. 14.4

ают замкнутым или разомкнутым. В последнем случае крайние сечения могут иметь упругие заделки на жестких опорах (см. рис. 14.3, а и б). Рамой с замкнутым контуром является простейшая шантоутная рама, состоящая из флора, шантоутов и бимса (см. рис. 14.3, в).

Несмещаемость узлов показывается на схеме рамы введением жестких опор, количество которых устанавливается с учетом продольной деформируемости стержней. Реакции указанных опор уравновешивают также нагрузку рамы в целом. Роль опор, например, для шантоутной рамы выполняют в вертикальном направлении борта, а в горизонтальном — далаба и днище. В действительности реакции этих опор распределены по длине стержней в виде касательных напряжений. Однако с учетом предельно малой продольной деформируемости стержней опоры можно считать точечными, расположенными в узлах. Такая замена влияет лишь на величину осевых сил в стержнях, которые, как правило, при расчете рам интереса не представляют.

Расчет простых рам с несмещаемыми узлами можно производить так же, как и неразрезных балок. Для этого достаточно, учитывая линейную несмещаемость узловых сечений, определить моменты взаимодействия стержней и составить дальнейший расчет к расчету каждого стержня. Как и в неразрезных балках, узловые моменты должны удовлетворять условиям равновесия узлов и условиям равенства углов поворота, притыкающихся к данному узлу сечений обеих стержней (совместность перемещений). Указанные условия позволяют составить достаточное число уравнений для определения узловых моментов.

Расчет производят в следующем порядке (см. рис. 14.4):

1) нумеруют поочередно узлы рамы порядковыми номерами;

2) на схеме рамы изображают стрелками узловые изгибающие моменты M_i в стержнях, которые по условиям равновесия должны быть в каждом узле для обеих стержней равны по значению и обратны по направлению (i — номер узла);

3) составляют выражения для углов поворота узловых сечений всех стержней как свободно опертых на жесткие опоры в узлах балок с учетом заданных пролетных нагрузок и узловых моментов M_i ; углы поворота считают положительными по часовой стрелке, а узловые моменты входят в выражения для углов поворота со знаком, соответствующим принятому для данного момента направлению;

4) для каждого узла составляют уравнение совместности угловых перемещений, приравняв выражения для углов поворота, притыкающихся к данному узлу сечений обеих стержней $a_{ik} = a_{ki}$, где i и k — номера узлов, смежных с i -м узлом;

5) решая полученную систему алгебраических уравнений, определяют значения узловых моментов M_i ; при отрицательном значении момента его направление противоположно принятому в задаче расчета;

6) каждый стержень рассматривают отдельно как свободно опертую на жесткие опоры в узлах балку с заданной пролетной нагрузкой и известными моментами M_i на опорах; опоры перерезающих сил и изгибающих моментов рамы целесообразно строить, пользуясь принципом наложения, как и для многопролетных балок (см. гл. 13).

Указанный метод расчета, в котором за основные неизвестные принимают моменты, т. е. силовые факторы, относится к категории методов, носящих общее название методов сил.

Если рама имеет ось узловой симметрии, то это обстоятельство можно использовать с целью упрощения расчета, для чего необходимо разложить нагрузку на симметричную и антисимметричную части и выполнять расчеты отдельно для каждой из них с последующим суммированием результатов. В каждом расчете моменты в симметричных узлах будут равны по значению и в первом случае симметричны, а во втором антисимметричны направлению, что в каждом расчете уменьшает практически вдвое

число совместно решаемых уравнений по сравнению с общим случаем.

Пример 5. Составить уравнение совместности угловых перемещений в узлах рамы, изображенной на рис. 14.4, для определенности узловых моментов. Известны данные: $J_{12} = J_{23} = J_1$, $J_{34} = J_2 = J_3$, $J_{45} = 2J_1$, $J_{56} = 2J_2 = J_3$. Решение. Условия совместности угловых перемещений записуется так:

$$a_{12} = a_{21} \quad a_{23} = a_{32} \quad a_{34} = a_{43} \quad a_{45} = a_{54} \quad a_{56} = a_{65} \quad (4)$$

Угол поворота α_i определяем по табличам изгиба однопролетных свободно опертых в узлах балок с учетом пролетной нагрузки и узловых моментов. Например

$$\alpha_{12} = -M_1 \epsilon_{12} / (2EI_{12}) - M_2 \epsilon'_{12} / (6EI_{12}) + 7P \epsilon''_{12} / (128EI_{12})$$

Подставляя значения этих углов в условия совместности (4), после переноса в левую часть и группировки членов с неизвестными M_i , а также после сокращения на общее множитель, получим следующую систему уравнений:

$$\left. \begin{aligned} (2 + \gamma) M_2 + M_3 + \frac{1}{2} M_5 &= \frac{7}{128} \gamma^2 \alpha_1^2 + \frac{21}{64} P \epsilon_1 \\ M_1 + (2 + \gamma) M_2 + \frac{1}{2} M_3 &= \frac{7}{128} \gamma^2 \alpha_1^2 + \frac{15}{64} P \epsilon_1 \\ \gamma M_3 + (1 + 2\gamma) M_4 + \frac{1}{2} M_6 &= \left(\frac{2}{15} \gamma^2 + \frac{1}{3} \right) \alpha_1^2 \\ \gamma M_5 + \frac{1}{2} M_3 + (1 + 2\gamma) M_4 &= \left(\frac{2}{15} \gamma^2 + \frac{1}{3} \right) \alpha_1^2 \end{aligned} \right\} \quad (5)$$

где $\gamma = J_2/J_1$.

Если силу P разложить на симметричную и антисимметричную составляющие (см. рис. 14.4, а и б) и составить уравнения совместности отдельно для симметричной и антисимметричной нагрузок, то получим следующие две системы: для симметричной нагрузки ($M_1^s = M_3^s, M_5^s = M_6^s$)

$$\left. \begin{aligned} (5 + 2\gamma) M_1^s + \gamma M_3^s &= \frac{7}{60} \gamma^2 \alpha_1^2 + \frac{9}{16} P \epsilon_1 \\ \gamma M_3^s + (1.5 + 2\gamma) M_4^s &= \left(\frac{2}{15} \gamma^2 + \frac{1}{3} \right) \alpha_1^2 \end{aligned} \right\}$$

для антисимметричной нагрузки ($M_1^a = -M_3^a, M_5^a = -M_6^a$)

$$\left. \begin{aligned} (1 + \gamma) M_1^a + \frac{1}{2} M_3^a &= \frac{3}{64} P \epsilon_1 \\ \gamma M_1^a + \left(\frac{1}{2} + 2\gamma \right) M_4^a &= 0 \end{aligned} \right\}$$

После решения этих двух систем уравнений, значительно было простым, чем решение полученной ранее общей системы (5), необходимые значения узловых моментов определяются формулой

$$M_i = M_i^s + M_i^a \quad (i = 1, 2, 3, 4, 5, 6)$$

Рамы с линейно-подвижными узлами. Рамы этого типа представляют собой ломаные стержни с разомкнутой или замкнутой осью.

Рассмотрим разомкнутую раму, имеющую две опоры произвольного типа в концевых сечениях (рис. 14.5). Степень статической неопределимости такой рамы в общем случае не превышает

трех независимо от количества опорных узлов (изломов оси). Действительно, если в некотором сечении рамы сделать разрез и изобразить все три возможные в плоскости рамы усилки взаимодействия — осевую силу, перерывающую силу и изгибающий момент, то после нахождения указанных сил каждую часть рамы можно рассматривать как статически определенную ломаную консольную балку. Силы взаимодействия приобретают такие значения, при которых сохраняется равенство перемещений осевой рамы в месте разреза, что и позволяет их определить. При введении сил взаимодействия в разрезе необходимо соблюдать условия равновесия — односторонние силы, относящиеся к разным частям рамы, должны быть равны по значению и противоположны

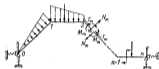


Рис. 145

по направлению. Рассматривая каждую статически определенную часть рамы, можно составить выражения для перемещений сечения с учетом как внешней нагрузки этой части рамы, так и действующих на нее в разрезе сил взаимодействия. Указанных перемещений в общем случае будет три — угла поворота сечения и две составляющие линейного перемещения по взаимно перпендикулярным направлениям в плоскости рамы. Пропорциональные одноименные перемещения одной и другой половинок рамы, можно получить три уравнения совместности перемещений в месте разреза, из которых и определяются три усилки взаимодействия. После этого расчет каждой статически определенной части рамы производится без затруднений.

Самой трудоемкой частью расчета по описанному здесь методу является составление выражений для перемещений. Действительно, каждая часть рамы может состоять из нескольких стержней, расположенных под разными углами и имеющих разные поперечные сечения и длины. Перемещения концового сечения в разрезе получаются как результат влияния угловых и линейных перемещений всех узловых сечений ломаного стержня, а также перемещений опорного сечения в случае упругой опоры. В гл. 15 будет изложен общий энергетический метод составления выражений для перемещений произвольной статически определенной стержневой системы, в том числе и ломаных или криволинейных стержней. Однако этот метод также связан с трудоемкими опера-

циями и не приводит к существенному упрощению по сравнению с методом последовательного суммирования перемещений при рассмотрении каждого стержня как консольной балки.

Для перемещений концевой сечения произвольного ломаного стержня можно составить общее выражение, которое в значительной степени упростит составление таких выражений в каждом конкретном случае. Достаточно рассмотреть ломаный стержень, состоящий из двух и из трех участков, чтобы заметить общую структуру искомого выражения и записать их для общего случая, т. е. для ломаного стержня, состоящего из n участков.

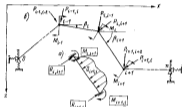


Рис. 146

Расчет удобно выполнять в два этапа. На первом этапе следует рассчитать каждый стержень в предположении жесткого опирания в жесткой заделке в узловых сечениях, в результате чего определяются реактивные силы $R_{i,j}$ и реактивные моменты

$M_{i,j}$ в заделках. Моменты будут считаться положительными, если они действуют на стержень по направлению движения часовой стрелки (на заделку против), а реакции положительными, если они действуют на стержень так, как указано на рис. 146, а при движении от одного конца рамы к другому в направлении возрастающих номеров узлов. Поскольку на самом деле жестких заделок нет, то, устранив их, необходимо передать воспринимающиеся ими реакции на саму раму, т. е. рассчитать ее на втором этапе на действие усилий, равных найденным на первом этапе реакциям, но имеющих обратное им направление. Такой прием называется приведенным нагружением и изложено в гл. 15. Окончательные результаты расчетов первого и второго этапов суммируются.

Таким образом, на втором этапе рама нагружена в каждом i -м узле моментами $M_{i,j} = M_{i,j-1} + M_{i,j+1}$ и силами $P_{i,j+1} =$

$= \overline{R_{k, k+1}}$ и $P_{k, k-1} = \overline{R_{k, k-1}}$ ($k=0, 1, 2, \dots, n$, где 0 и n — номера крайних опорных узлов рамы). Прямые положительное направление всех усилий показаны на рис. 14.6.

Составим теперь общие выражения для перемещений ланного стержня.

Первый, примыкающий к 0-й опоре, стержень рассматриваем как консольную балку при действии на ее 1-м конце (консольном) сосредоточенной силы и момента, статически эквивалентных узловым нагрузкам всех узлов данной части рамы. Также рассматриваем второй стержень в предположении, что его 1-е сечение (опорное) получило перемещения, равные перемещениям 1-го сечения первого стержня, а на 2-м конце (консольном) действуют

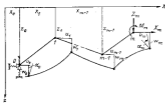


Рис. 14.7

сила и момент, статически эквивалентные нагрузке 2, 3, ..., m -го узла, где m — номер крайнего узла (сечения) в разрезе. Аналогично определяются перемещения концевых сечений всех последующих стержней.

Общие выражения для перемещений m -го сечения можно получить в следующем виде (рис. 14.7):

$$\left. \begin{aligned} a_m &= a_0 + z_m(R) - a_0(z_m - z_0) + a_{11}X_m - a_{12}Z_m - a_{13}\overline{M}_m; \\ \omega_m &= \omega_0 + \omega_m(R) + a_{21}(x_m - x_0) - a_{22}X_m + a_{23}Z_m + a_{24}\overline{M}_m; \\ a_m &= a_0 + a_6(R) - a_{27}X_m + a_{28}Z_m + a_{29}\overline{M}_m. \end{aligned} \right\} \quad (14.1)$$

Здесь a_m , ω_m , a_m — линейные перемещения относительно осей x , z и угол поворота m -го сечения при учете всех факторов; a_0 , ω_0 , a_0 — те же перемещения в 0-м опорном узле (могут быть заданы или возникают в случае упругой опоры и заданы в узле):

$$a_m(R) = B \left[- \sum_{i=1}^m \lambda_i P_i (0,5z_i + z_{i-1}) - \frac{1,5}{l_i} \sum_{i=1}^m \lambda_i \overline{M}_i (z_i + z_{i-1}) \right];$$

$$\omega_m(R) = B \left[\sum_{i=1}^m \lambda_i P_i (0,5z_i + z_{i-1}) + \frac{1,5}{l_i} \sum_{i=1}^m \lambda_i \overline{M}_i (z_i + z_{i-1}) \right]; \quad (14.2)$$

$$a_m(R) = 1,5 \frac{B}{l_i} \left(\sum_{i=1}^m \lambda_i P_i + \frac{2}{l_i} \sum_{i=1}^m \lambda_i \overline{M}_i \right)$$

— перемещения m -го сечения, вызванные внешней нагрузкой рамы на втором этапе [сосредоточенными силами P_i и моментами M_i (исключая X_m , Z_m , \overline{M}_m) при условии несмещения сечения в 0-м опорном узле]; X_m , Z_m , \overline{M}_m — усилия взаимодействия в разрезе: проекции силы на оси x и z соответственно, положительные при действии по направлению осей, и момент, положительный при действии по направлению движения часовой стрелки;

$$\left. \begin{aligned} a_{11} &= B \sum_{i=1}^m \lambda_i [(z_{i-1} + z_i)^2 - z_{i-1} z_i]; \\ a_{12} - a_{11} &= B \sum_{i=1}^m \lambda_i [x_{i-1} z_{i-1} + z_i z_i + 0,5(z_{i-1} z_i - z_i z_{i-1})]; \\ a_{13} - a_{11} &= 1,5 \frac{B}{l_i} \sum_{i=1}^m \lambda_i (z_{i-1} + z_i); \\ a_{22} &= B \sum_{i=1}^m \lambda_i [z_{i-1} + z_i]^2 - z_{i-1} z_i; \\ a_{23} - a_{22} &= 1,5 \frac{B}{l_i} \sum_{i=1}^m \lambda_i (z_{i-1} + z_i); \\ a_{24} &= 3 \frac{B}{l_i} \sum_{i=1}^m \lambda_i \end{aligned} \right\} \quad (14.3)$$

— коэффициенты влияния усилий X_m , Z_m , \overline{M}_m на перемещение m -го сечения при условии несмещения сечения в 0-м опорном узле. В формулах (14.2) и (14.3)

$$B = \frac{EJ_0^2}{2l_0^3}; \quad \lambda_i = l_i^2 J_i / (l_i^2 J_0); \quad (14.4)$$

$$P_i = P_{i, i-1} + \sum_{j=1}^{m-1} (P_{i, j+1} + P_{j+1, i}) \cos(\beta_i - \beta_{j+1});$$

$$\left. \begin{aligned} \overline{M}_i &= \sum_{j=1}^m M_j + \sum_{j=i+1}^m (P_{j, j+1} \cos \beta_{j+1} + P_{i, j+1} \cos \beta_j) (x_j - x_i) + \\ &+ \sum_{j=i+1}^m (P_{j, j+1} \sin \beta_{j+1} + P_{i, j+1} \sin \beta_j) (z_j - z_i); \\ z_i &= (z_m - z_0) l_i; \quad x_i = (x_m - x_0) l_i. \end{aligned} \right\} \quad (14.5)$$

где l_0, l_0 — характерные значения длины и момента ввертки площади; l_i, l_i — длина и момент ввертки поперечного сечения стержня между $(i-1)$ -м и i -м узлами; β_i — угол между поперечными направлениями оси x и направлением оси стержня из $(i-1)$ -го узла в i -й узел, измеряемый по движению часовой стрелки; x_i, z_i — координаты i -го узла в осях oxz .

В 0-м опорном узле действуют суммарные усилия

$$\begin{aligned} X_0 &= X_m + P_0(\beta_0 - \pi/2); & Z_0 &= Z_m + P_0(\beta_0 - 0); \\ \mathfrak{M}_0 &= \mathfrak{M}_m + X_m(z_m - z_0) + z_m(x_m - x_0) + \mathfrak{M}_m. \end{aligned} \quad (14.7)$$

Здесь $P_0(\pi/2)$ и $P_0(0)$ — усилия, определяемые по формуле (14.5) для P , при $i = 0$, полагая $P_{i-1} = 0$ в β_0 равным указанным в скобках значениям.

Перемещения этого узла w_0, z_0 и α_0 можно определять, если рассчитать опорную конструкцию на усилия X_0, Z_0 и \mathfrak{M}_0 . В общем случае эта зависимость имеет вид

$$\begin{aligned} w_0 &= X_0 b_{11} + Z_0 b_{12} + \mathfrak{M}_0 b_{13}; \\ z_0 &= X_0 b_{21} + Z_0 b_{22} + \mathfrak{M}_0 b_{23}; \\ \alpha_0 &= X_0 b_{31} + Z_0 b_{32} + \mathfrak{M}_0 b_{33}, \end{aligned} \quad (14.8)$$

где b_{ij} — коэффициенты податливости опорной конструкции в 0-м узле.

Расчетное n -е сечение чаще всего удобно вводить в одном из средних узлов рамы. Если же расчетное сечение выбрано в крайнем правом узле, то в этом случае в выражениях (14.1) следует принять $m = n$ и перемещения этого сечения рамы α_n, w_n, z_n должны быть равны соответственно перемещениям n -й опоры, выражения для которых будут аналогичны выражениям (14.8) при замене индексов 0 на n и коэффициентов податливости 0-й опоры b_{ij} на коэффициенты податливости n -й опоры c_{ij} . Условие совместности перемещений n -й опоры и примыкающего к ней n -го сечения рамы запишется в виде

$$\left. \begin{aligned} A_{11} X_n + A_{12} Z_n + A_{13} \mathfrak{M}_n &= A_1; \\ A_{21} X_n + A_{22} Z_n + A_{23} \mathfrak{M}_n &= A_2; \\ A_{31} X_n + A_{32} Z_n + A_{33} \mathfrak{M}_n &= A_3 \end{aligned} \right\} \quad (14.9)$$

где

$$\begin{aligned} A_{11} &= c_{11} + a_{11} - \delta_1 + \delta_3(x_n - z_n); \\ A_{12} &= c_{12} + a_{12} - a_{13} + \delta_3 + \delta_2(x_n - x_0); \\ A_{13} &= c_{13} + a_{13} + \delta_3; & A_{21} &= c_{21} + a_{21} + \delta_2 + \delta_0(x_n - x_0); \\ A_{22} &= c_{22} + a_{22} + \delta_2; & A_{23} &= c_{23} + a_{23} + \delta_{23}; \\ A_{31} &= -u_n(R) - P_0(\pi/2) \delta_1 - P_0(0) \delta_3 - \mathfrak{M}_0 \delta_{13}; \\ A_{32} &= -w_n(R) - P_0(\pi/2) \delta_2 - P_0(0) \delta_0 - \mathfrak{M}_0 \delta_{23}; \\ A_{33} &= -\alpha_n(R) - \delta_{31} P_0(\pi/2) - \delta_{32} P_0(0) - \mathfrak{M}_0 \delta_{33}. \end{aligned}$$

Здесь

$$\begin{aligned} \delta_1 &= \delta_{11} - \delta_{21}(z_n - z_0); & \delta_2 &= \delta_{11} - \delta_{21}(z_n - z_0); \\ \delta_3 &= \delta_{22} - \delta_{23}(x_n - x_0); & \delta_4 &= \delta_{21} + \delta_{31}(x_n - x_0); \\ \delta_5 &= \delta_{23} + \delta_{33}(x_n - x_0); & \delta_6 &= \delta_{22} + \delta_{32}(x_n - x_0). \end{aligned}$$

Для частных случаев устройства опор эти зависимости существенно упрощаются. Из уравнений (14.9) определяются статические координатные усилия X_n, Z_n и \mathfrak{M}_n , чем и заканчивается основная часть расчета.

Окончательно изгибающие моменты в узловых сечениях стержней равны

$$\begin{aligned} M_{i,i-1} - M_{i,i+1} &= \boxed{M_{i,i-1}} + \mathfrak{M}_i + \mathfrak{M}_n + \\ &+ X_n(z_i - z_0) + Z_n(x_n - x_i). \end{aligned} \quad (14.9')$$

Если разрез вводим в промежуточном узле рамы, то целесообразно делать при числе стержней более пяти-шести для уменьшения влияния малых разностей при вычислениях по формулам (14.9), то для каждой части рамы составляют выражения для перемещений согласно зависимости (14.1), которые приравниваются в соответствии с условиями совместности перемещений. Из полученных уравнений определяют усилия взаимодействия в разрезе X_m, Z_m, \mathfrak{M}_m , после чего для каждой части рамы применяют формулы (14.9).

§ 14.3. Плоские сплошные рамы

Рамы с линейно-скользящими узлами. Рассмотрим произвольный i -й узел рамы, в котором сходится несколько стержней, соединяющих этот узел с j, k, m узлами (рис. 14.8). В общем случае в состав заданной нагрузки рамы кроме пролонгных нагрузок стержней Q_{ij} могут входить сосредоточенные моменты \mathfrak{M}_i , прикладываемые непосредственно к узлам.

Для изгибающих моментов, действующих на стержни в узловых сечениях, примем такие же обозначения и правило знаков, как и для внешних моментов: $\mathfrak{M}_{ij}, \mathfrak{M}_{ik}, \mathfrak{M}_{im}, \mathfrak{M}_i$ и т. д. (первый индекс указывает на конец сечения, а оба индекса — на номер стержня, на который действует момент), положительное направление по часовой стрелке.

Если за основные неизвестные, как и при расчете простых рам, принять указанные узловые моменты \mathfrak{M}_i , то для каждого узла можно составить одно уравнение, выражающее условие равновесия узла, и $(m-1)$ уравнений совместности узловых перемещений



Рис. 14.8

узловых сечений стержней (m — число стержней в узле):

$$\mathfrak{M}_j - \mathfrak{M}_{ij} - \mathfrak{M}_{is} - \dots - \mathfrak{M}_{im} = 0, \text{ или } \sum_j \mathfrak{M}_{ij} = \mathfrak{M}_j; \quad (14.10)$$

$$a_{ik} = a_{ij} = \dots = a_{im}, \quad (14.11)$$

где j — номера всех узлов, смежных с i -м узлом. В уравнениях равновесия (14.10) знаки соответствуют суммарно суммированию моментов, действующих со стороны стержней на узел и имеющих, очевидно, противоположное направление действующим на стержни моментам \mathfrak{M}_j , показанным на рис. 14.3.

Поскольку, согласно уравнению равновесия узла (14.10), один из известных моментов легко выражается через остальные и исключается из уравнений совместности (14.11), можно считать, что в каждом узле будет $(m-1)$ неизвестных. Следовательно, если в простых рамах и в каждом простом узле ($m=2$) есть только один неизвестный момент, то в сложных узлах ($m > 2$) таких моментов может быть 2, 3 и более. Аналогично увеличивается число уравнений совместности, из которых определяются неизвестные моменты. Хотя матрица коэффициентов при неизвестных моментах в уравнениях совместности имеет много нулей (в одно уравнение входит не более четырех моментов), что облегчает решение, тем не менее увеличение количества неизвестных для сложных рам по сравнению с простыми при том же числе узлов существенно усложняется расчет.

Как известно, каждую балку можно рассекать отдельно, если кроме пролетной нагрузки для нее известны четыре граничных условия, или, как частный случай таких условий, любые четыре из восьми элементов изгиба в конечных сечениях: линейные перемещения, угловые перемещения, пересекающиеся силы (реакции опор) и изгибающие моменты.

Для стержней рамы с неподвижными узлами для элемента изгиба — линейные перемещения узловых сечений — всегда известны и равны нулю. В качестве двух других определенных в первую очередь элементов изгиба — основных неизвестных — для неразрезных балок и простых рам целесообразно принять изгибающие моменты. Для сложных рам, у которых число неизвестных моментов в узловых сечениях стержней значительно превышает число узлов, в качестве основных определенных в первую очередь неизвестных целесообразно принять углы поворота узловых сечений. Действительно, в силу равенства углов поворота всех узловых сечений стержней в одном узле для каждого i -го узла будет существовать только одно неизвестное — угол поворота узла α_i .

При таком выборе основных неизвестных для удовлетворения уравнений совместности угловых деформаций (14.11) достаточно лишь положить

$$a_{ik} = a_{ij} = \dots = a_{im} = \alpha_i. \quad (14.12)$$

Чтобы удовлетвориться также и уравнениям равновесия узлов (14.10), необходимо выразить в этих уравнениях моменты \mathfrak{M}_{ij} че-

рез пролетную нагрузку и углы поворота узловых сечений или, что то же, узлы и определить значения последних из полученной системы уравнений. Очевидно, число уравнений равновесия равно числу известных углов поворота узлов α_i .

Решив уравнения (13.41) относительно узловых моментов, имеем

$$\begin{aligned} \mathfrak{M}_{ij} &= \mathfrak{M}_i - (2EI_{ij}l_{ij})[2\alpha_i(Q_{ij}) + \alpha_j(Q_{ij})] + \\ &+ (2EI_{ij}l_{ij}^2)(2\alpha_i + \alpha_j - 3\psi_{ij})k \\ \mathfrak{M}_{ji} &= \mathfrak{M}_j - (2EI_{ij}l_{ij})[2\alpha_j(Q_{ij}) + \alpha_i(Q_{ij})] + \\ &+ (2EI_{ij}l_{ij}^2)(2\alpha_j + \alpha_i - 3\psi_{ij}), \end{aligned}$$

где $\psi_{ij} = (\omega_j - \omega_i)/l_{ij}$ — угол поворота стержня ($i-j$) как твердого тела. Принимая в полученных выражениях $\alpha_i = \alpha_j = \psi_{ij} = 0$, получаем значения опорных моментов рассматриваемой балки (стержня), вычисленные в предположении, что балка жестко заделана на жестких опорах. Для сокращения обозначим эти моменты так:

$$\boxed{\mathfrak{M}_{ij}^0} = -(2EI_{ij}l_{ij})[2\alpha_i(Q_{ij}) + \alpha_j(Q_{ij})];$$

$$\boxed{\mathfrak{M}_{ji}^0} = -(2EI_{ij}l_{ij})[2\alpha_j(Q_{ij}) + \alpha_i(Q_{ij})].$$

Тогда формулы для узловых изгибающих моментов могут быть записаны в следующем удобном для расчета виде:

$$\begin{aligned} \mathfrak{M}_{ij} &= \boxed{\mathfrak{M}_{ij}^0} + (2EI_{ij}l_{ij}^2)(2\alpha_i + \alpha_j - 3\psi_{ij})k \\ \mathfrak{M}_{ji} &= \boxed{\mathfrak{M}_{ji}^0} + (2EI_{ij}l_{ij}^2)(\alpha_i + 2\alpha_j - 3\psi_{ij}). \end{aligned} \quad (14.13)$$

Напомним, что углы α_i , α_j и ψ_{ij} считаются положительными при повороте по часовой стрелке.

Подставляя выражение (14.13) при $j = i, k, \dots, m$ в уравнение (14.10) и учитывая в силу несмещенности узлов $\psi_{ij} = 0$, можно получить уравнение равновесия i -го узла в следующем общем виде:

$$4\alpha_i \sum_j \frac{EI_{ij}}{l_{ij}} + 2 \sum_j \frac{EI_{ij}}{l_{ij}} \alpha_j - \mathfrak{M}_i - \sum_j \boxed{\mathfrak{M}_{ij}^0}, \quad i = 1, 2, \dots, n, \quad (14.14)$$

где i — номер рассматриваемого узла; j — общее обозначение номеров узлов, смежных с i -м узлом, по которым производится суммирование; n — число узлов рамы, которые могут поворачиваться.

Разделив и умножив члены в левой части уравнений (14.14) на величину $2EI_{ij}/l_{ij}$, после преобразований можно придать этим уравнениям удобный для вычислений вид:

$$\pi_i + \sum_j \pi_j \alpha_{ij} = m_i, \quad (14.15)$$

В выражении (14.15)

$$m_i = 2E I_{ij} \theta_i / l_i \quad (14.16)$$

$$\theta_{ij} = k_{ij} / K_i \quad (14.17)$$

$$m_i^0 = \frac{1}{K_i} \left(M_i - \sum_j \overline{M}_{ij} \right) \quad (14.18)$$

Здесь

$$k_{ij} = k_{ji} = I_{ij} \rho / (I_i l_j); \quad K_i = 2 \sum_j k_{ij} \quad (14.18')$$

(I_{ij} , l_j — момент инерции поперечного сечения и длина стержня ij); I_i , l_i — произвольно выбираемые значения момента инерции площади сечения и длины одного из стержней (момента).

Величины m_i , пропорциональные углам поворота узлов α_i и имеющие размерность момента, будем называть коэффициентами узлов поворота узлов. Коэффициенты θ_{ij} являются коэффициентами влияния угла поворота узла j на угол поворота узла i , причем $\theta_{ij} \neq \theta_{ji}$.

Решив систему уравнений равновесия узлов (14.14) или (14.15) и определив углы поворота узлов α_i или коэффициенты узлов m_i , можно по формулам (14.13) вычислить моменты \overline{M}_{ij} . Если в формулах (14.13) заменить углы α_i коэффициентами узлов m_i , то они запишутся так:

$$\left. \begin{aligned} \overline{M}_{ij} &= \overline{M}_{ji} + k_{ij}(2m_i + m_j); \\ \overline{M}_{ji} &= \overline{M}_{ij} + k_{ji}(m_i + 2m_j). \end{aligned} \right\} \quad (14.19)$$

После вычисления моментов в узловых сечениях эти моменты включают в состав нагрузки стержней, которые затем рассматривают в качестве статически определенных свободно опертых в узлах балок.

Определение элементов влияния стержней и построение эпюр сложной рамы производят так же, как и для многопролетных балок и простых рам.

Наложений метод расчета, в котором за основные неизвестные были приняты угловые перемещения, называется методом перемещений или методом деформаций.

Решение системы уравнений равновесия (14.14) или (14.15) можно выполнять последовательным исключением неизвестных, причем при $n > 3$ следует пользоваться табличной формой метода Гаусса.

Для симметричной рамы при действии симметричной нагрузки углы поворота и моменты симметричных узлов, например i и j , будут равны по значению и противоположны по направлению: $\alpha_i = -\alpha_j$, $m_i = -m_j$, а при действии антисимметричной нагрузки — одинаковы как по значению, так и по направлению: $\alpha_i = \alpha_j$, $m_i = m_j$. Эти соотношения позволяют сократить число неизвестных в уравнениях с n до $0,5(n - p)$ при симметричной нагрузке

и с до $0,5(n + p)$ при обратно-симметричной нагрузке, где n — общее число узлов рамы, p — число узлов, расположенных на оси симметрии рамы.

Для сложных рам, имеющих ось симметрии, целесообразно производить несимметричную нагрузку разбить на симметричную и обратносимметричную составляющие и производить раздельный расчет этих нагрузок с последующим суммированием результатов.

Пример 6. Рассчитать кинематическую раму (рис. 14.9) тавра с двумя продольными перемычками.

Исходные данные: $l_{12} = l_{11} = l_{23} = l_{34} = 2l$; $2I_{12} = 2I_{23} = 2I_{34} = I_1$; $I_{11} = I_{21} = I_{13} = I_{22} = I_{33} = I_{34} = I_2$; q — заданность погонной нагрузки.

Решение. В силу симметрии кинематическая рама в действительной на нее нагрузке будет иметь $\alpha_1 = -\alpha_2$; $\alpha_3 = -\alpha_4$; $\alpha_5 = -\alpha_6$; $\alpha_7 = -\alpha_8$; $\alpha_9 = -\alpha_{10}$.

Для определения неизвестных углов поворота α_1 , α_3 , α_5 , α_7 необходимо составить уравнения равновесия 1, 2, 3, 4-го узлов.

$$\left. \begin{aligned} \overline{M}_{12} + \overline{M}_{11} + \overline{M}_{13} &= 0; \\ \overline{M}_{21} + \overline{M}_{23} &= 0; \\ \overline{M}_{32} + \overline{M}_{34} + \overline{M}_{37} &= 0; \\ \overline{M}_{43} + \overline{M}_{47} &= 0. \end{aligned} \right\} \quad (14.20)$$

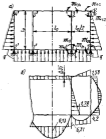


Рис. 14.9

По таблицам влияния определяем влияющие моменты на опоры стержней, считая их жестко заделанными до опор:

$$\left. \begin{aligned} \overline{M}_{12} &= 0; & \overline{M}_{11} &= -q l^2 / 48; & \overline{M}_{13} &= -q l^2 / 12; & \overline{M}_{21} &= -q l^2 / 48; \\ \overline{M}_{23} &= q l^2 / 48; & \overline{M}_{32} &= 0; & \overline{M}_{34} &= 0; & \overline{M}_{37} &= 0; & \overline{M}_{43} &= -7q l^2 / 240; \\ \overline{M}_{47} &= 0. \end{aligned} \right\}$$

Для безразмерных коэффициентов k_{ij} (14.18') возьмем следующие значения: $k_{12} = 0$, $k_{13} = 3$, $k_{11} = 5$, $k_{23} = 1$, $k_{34} = 3$, $k_{37} = 2$.

Запишем опорные моменты \overline{M}_{ij} можно по формулам (14.19):

$$\left. \begin{aligned} \overline{M}_{12} &= \overline{M}_{21} + k_{12}(2m_1 + m_2) = 3(2m_1 + m_2); & \overline{M}_{13} &= q l^2 / 48 + \\ & + 4(2m_1 + m_3); & \overline{M}_{11} &= -q l^2 / 12 + 5(2m_1 + m_1); \\ \overline{M}_{23} &= -q l^2 / 48 + 4(2m_2 + m_3); & \overline{M}_{21} &= q l^2 / 48 + 2m_2 + m_1; \\ \overline{M}_{34} &= 3(2m_3 + m_4); & \overline{M}_{37} &= 2(2m_3 + m_7) = 2m_3; \\ \overline{M}_{43} &= -7q l^2 / 240 + 2m_4 + m_7; & \overline{M}_{47} &= 2(2m_4 + m_7). \end{aligned} \right\} \quad (14.20')$$

Подставив эти выражения для опорных моментов в уравнения равновесия (14.20), получаем систему алгебраических уравнений:

$$\begin{cases} 23m_1 + 6m_2 + 3m_3 = 3q_1^2 l^2 / 48; \\ 6m_1 + 14m_2 + m_3 = -q_1^2 l^2 / 720; \\ 3m_1 + 12m_2 + 2m_3 = 0; \\ m_3 + 2m_2 + 6m_1 = 7q_1^2 l^2 / 360. \end{cases}$$

В данной системе уравнений коэффициенты при неизвестных симметричны относительно главной диагонали.

Решение матричной системы уравнений позволяет определить неизвестные m_i ($i=1, 2, 3, 4$), а затем по формулам (14.20') опорные моменты M_i . Далее по линейным опорным моментам и нагрузке внутри построить эпюры изгибающих моментов и перемещений: сдвиг для каждого стержня рамы, а следовательно, и для рамы в целом. По рис. 14.3, б проводится в качестве примера эпюра изгибающих моментов рассматриваемой рамы. Для определения опорных моментов необходимо сопоставлять численные значения, приведенные на рис. 14.3, б, умножив их на $q_1^2 l^2$.

Рамы с линейно-подвижными узлами. Узлы рассматриваемых рам можно угловыми перемещениями получать также и линейные перемещения. Вследствие этого угловые перемещения стержней ψ_i входят в выражения (14.13) для моментов в узловых сечениях стержней наряду с углами поворота сечений. Следовательно, величины ψ_i войдут и в уравнения равновесия узлов (14.14).

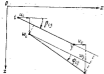


Рис. 14.10

Угловые перемещения стержней ψ_i могут быть выражены через линейные перемещения смежных узлов рамы. Хотя линейное перемещение любого узла плоской рамы характеризуется двумя независимыми составляющими, например v_i и w_i , общее

число независимых линейных перемещений узлов не будет равно удвоенному числу узлов, если принять во внимание идеальную жесткость стержней в продольном направлении.

Рассмотрим стержень рамы, соединяющий i -й и j -й узлы в общей для всей рамы координатной системе oxz (рис. 14.10). Условием недеформируемости стержня в продольном направлении при малых линейных перемещениях узлов является равенство проекций этих перемещений на ось стержня:

$$u_i \cos \beta_{ij} + w_i \sin \beta_{ij} = u_j \cos \beta_{ij} + w_j \sin \beta_{ij}, \quad (14.21)$$

или

$$(u_i - u_j) \cos \beta_{ij} + (w_i - w_j) \sin \beta_{ij} = 0, \quad (14.22)$$

где β_{ij} — угол между положительным направлением оси x и направлением оси стержня ij , измеренный от оси x по часовой стрелке.

Угол поворота стержня ψ_{ij} определяется через координатные перемещения узлов (см. рис. 14.10) по следующей формуле:

$$\psi_{ij} = (w_j - w_i) \cos \beta_{ij} - (u_j - u_i) \sin \beta_{ij} / l_{ij}. \quad (14.23)$$

Число уравнений (14.22) равно числу стержней рамы. Количество независимых линейных перемещений узлов, через которые можно выразить с помощью уравнений (14.22) все остальные линейные перемещения узлов, определяется степенью кинематической подвижности узлов рамы, которую обозначим буквой f . Такое же количество степеней свободы f имеет шарнирная схема рамы, которую можно получить, выводя во всех узлах вместо жестких соединений стержней шарнирные соединения. Через указанные основные линейные перемещения узлов обобщим числом f можно выразить и все угловые перемещения стержней ψ_{ij} . Можно также принять в качестве основных перемещений угловые перемещения некоторых стержней ψ_i обобщим числом f и выразить через них угловые перемещения остальных узлов. С учетом изложенного в уравнения совместности деформаций (метод сил) и в уравнения равновесия (метод перемещений) войдет дополнительно f угловых перемещений ψ_{ij} или линейных перемещений u_i, w_i .

Дополнительными уравнениями для определения указанных f перемещений могут служить уравнения равновесия узлов по отношению к действующим на них со стороны стержней силам. В каждом узле можно составить два таких уравнения: суммы проекций на узел со стороны примыкающих стержней, должны равняться нулю. При этом следует учитывать как перпендикулярные осей стержней перерезывающие силы, так и возникающие в стержнях продольные (осевые) силы T_{ij} .

Перерезывающие силы могут быть выражены через нагрузку и опорные моменты, а следовательно, с помощью формулы (14.13) через углы поворота конечных сечений, их линейные перемещения или углы ψ_{ij} и продольную нагрузку стержней. Таким образом, при использовании любого из двух методов — метода сил или метода перемещений — перерезывающие силы можно исключить из уравнений равновесия. Осевые силы T_{ij} вследствие предположения о продольной недеформируемости стержней не могут быть выражены через перемещения; их необходимо внести особо.

Следовательно, при применении метода угловых деформаций к уравнения равновесия узлов по силам войдут n углов поворота узлов, f независимых линейных перемещений узлов или угловых перемещений стержней ψ_{ij} и s осевых сил T_{ij} (n — общее число узлов, в которых возможен поворот; s — число стержней рамы).

Если шарнирная схема рамы является статически определимой формой, то $f=0$ и узлы рамы будут линейно-неподвижными узлами ($u_i = w_i = \psi_{ij} = 0$). В этом случае угловые моменты в методе сил или углы поворота узлов в методе перемещений определяются из самостоятельных систем уравнений, после чего осевые

силы в стержнях при необходимости можно найти из уравнений равновесия сил в узлах.

Если шарнирная схема рамы является статически неопределимой фермой, то условные моменты или углы поворота узлов вычисляются так же, как и в предыдущем случае, а уравнений равновесия сил в узлах окажется меньше числа стержней и осевые силы T_{ij} не могут быть вычислены. Для определения сил T_{ij} в этом случае необходимо отказаться от предположения о продольной недеформируемости стержней, вследствие чего все шарнирные узлы рамы станут линейно-подвижными.

Если стержни рамы во всех узлах следуют под прямыми углами, такая рама называется рамой с прямоугольными полками. В этом случае нет необходимости составлять дополнительные уравнения равновесия для всех узлов с учетом всех продольных сил

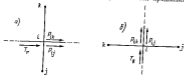


Рис. 14.11

в стержнях в явном виде. Для рамы с прямоугольными полками необходимо число дополнительных уравнений, равное числу независимых перемещений u_i , v_i или ψ_i , можно получить, составив уравнения равновесия горизонтальных и вертикальных примыкающих сочленений стержней — ригелей или стоек, соединяющих подвижные и соответствующим направлением узлы и уравнивающих перемещение этих узлов.

На рис. 14.11, а изображен один из узлов, расположенных на одном из горизонтальных ригелей. При действии нагрузки на раму ригель может смещаться в горизонтальном направлении. Все узлы ригеля, которые, очевидно, будут иметь одинаковые горизонтальные перемещения (вследствие продольной недеформируемости ригеля), обозначим общим индексом i , связанные стержнями с i -м узлами верхние узлы рамы — индексом k , а также же нижние узлы — индексом j .

Пользуясь общими формулами (14.13), можно получить для определения горизонтальных усилий, прикладываемых вертикальными стержнями к ригелю в i -х узлах, следующие формулы:

$$\begin{cases} P_{ik} = \left[\frac{P_{ik}}{A_{ik}} + 6EI_{ik}(2\psi_{ik} - \alpha_i - \alpha_k)u_{ij} \right] \\ P_{ij} = \left[\frac{P_{ij}}{A_{ij}} - 6EI_{ij}(2\psi_{ij} - \alpha_i - \alpha_j)v_{ij} \right] \end{cases} \quad (14.24)$$

где P_{ik} , P_{ij} — силы, прикладываемые стержнями ik и ij к ригелю в i -м узле в горизонтальном направлении; $\left[\frac{P_{ik}}{A_{ik}} \right]$, $\left[\frac{P_{ij}}{A_{ij}} \right]$ — те же силы, но вычисленные в предположении несжимаемости i -, k -, j -х узлов и жесткой заделкой стержней в этих узлах при действии пролетной нагрузки; ψ_{ik} , ψ_{ij} — углы поворота стержней ik и ij на твердых телах вследствие горизонтальных смещений i -, k -, j -х узлов; α_i , α_k , α_j — углы поворота i -, k -, j -х узлов.

В формулах (14.24) все силы считаются положительными при действии на ригель вправо, а углы α и ψ — при повороте по направлению движения часовой стрелки.

Суммируя усилия (14.24) во всех i -х узлах, принадлежащих данному ригелю, а также горизонтально составляющую T_i всей внешней нагрузки, приложенной непосредственно к ригелю (положительная при действии вправо), можно записать условие равновесия ригеля в следующем виде: $\sum (P_{ik} + P_{ij}) + T_i = 0$. Подставляя в это уравнение выражения (14.24), получаем

$$\begin{aligned} \sum_i (6EI_{ik}u_{ij})(2\psi_{ik} - \alpha_i - \alpha_k) - \sum_i (6EI_{ij}v_{ij})(2\psi_{ij} - \alpha_i - \alpha_j) - \\ - \sum_i \left(\left[\frac{P_{ik}}{A_{ik}} \right] + \left[\frac{P_{ij}}{A_{ij}} \right] \right) - T_i = 0 \end{aligned} \quad (14.25)$$

Раскрывая суммы в этом уравнении, необходимо иметь в виду, что каждому номеру i -го узла соответствуют свои номера k -х и j -х узлов. Если какой-либо i -й узел не связан с верхним k -м узлом или с нижним j -м узлом, то соответствующие значения I_{ik} или I_{ij} следует полагать равными нулю.

Аналогичное уравнение равновесия можно составить для каждой примыкающей вертикальной стойки рамы, имеющей перемещение в вертикальном направлении. В этом случае индексом i обозначают все узлы рассматриваемой вертикальной стойки, перемещения которых в вертикальном направлении одинаковы, индексом k — левые узлы, индексом j — правые узлы по отношению к i -м узлам (рис. 14.11, б), а все усилия в зависимости (14.24) и (14.25) считают положительными при действии на стойку вверх.

Таким образом, общий порядок расчета сложной рамы со смещаемыми узлами в прямоугольных полках будет следующим.

1. Устанавливают степень кинематической подвижности рамы, выбирают соответствующее число независимых угловых перемещений стержней ψ_i и через них выражают угловые перемещения всех других стержней; выявляют смещения вдоль своей оси ригеля и стойки, для которых необходимо составить дополнительные уравнения равновесия.

2. Составляют уравнения равновесия узлов по моментам (14.10), используя те же, что и для рам с несмещаемыми узлами, зависимости (14.13), но с учетом угловых перемещений стержней ψ_i .

3. Составляют дополнительные уравнения равновесия (14.25) смешанных в продольном направлении ригелей и стоек рамы, как указывалось выше.

4. В уравнениях равновесия (14.10) и (14.25) угловые перемещения всех стержней φ_i выражают через основные с помощью зависимостей, полученных так, как указано выше.

5. В результате определенных в предыдущих пунктах операций получают систему $(n + l)$ уравнений, в которые будут входить в качестве неизвестных и углов поворота узлов α_i и l независимых углов поворота стержней φ_i (n — общее число узлов рамы, имеющих углы поворота, l — число степеней свободы шарнирной схемы рамы). Решая полученную систему уравнений, определяют все неизвестные α_i и φ_i , чем и заканчивают основную часть расчета. Наблюдаемые моменты в узловых сечениях стержней находят по формулам (14.13), после чего каждой стержень рамы рассматривают как однопролетную балку, свободно опертую по концам, с заданной пролетной нагрузкой и известными опорными изгибающими моментами.

Если некоторые стержни сложной рамы, соединяющие смежные узлы, расположены наклонно по отношению к другим стержням, то в число основных неизвестных следует включить осевые силы, действующие в этих стержнях. Указанные силы войдут в уравнения равновесия узлов, примыкающих к наклонным стержням рамы. Таким образом, число дополнительных уравнений равновесия увеличится на число наклонных водных стержней рамы, что и позволит определять все неизвестные перемещения α_i , φ_i и осевые силы T_{ij} в наклонных стержнях. В остальном расчетная схема остается прежней.

§ 14.4. Пространственные рамы. Метод конечных элементов

Выше были изложены методы расчета плоских рам. При большом числе узлов плоской рамы расчет может быть выполнен вручную с применением таблиц гибки однопролетных балок. При большом числе узлов уже требуется использование методов, ориентированных на использование ЭВМ с автоматизацией многих трудоемких операций.

Для рам общего вида — пространственных и плоских с пространственной нагрузкой (плоскопространственных) число определяемых неизвестных перемещений или усилий, как правило, велико (более 10). Поэтому до появления ЭВМ инженерные расчеты пространственных рам практически не выполняли, а использовали приближенные методы расчленения пространственной конструкции на плоские фрагменты, что существенно снижало точность результатов. По результатам таких приближенных подходов к оценке напряженно-деформированного состояния пространственных стержневых конструкций уже не отвечают современным требованиям. Учитывая большую трудоемкость составления и отладки про-

граммы расчета пространственных стержневых конструкций и вместе с тем высокое быстродействие ЭВМ, для программирования целесообразно выбирать не самые экономичные по объему вычислений, но достаточно универсальные методы с простой, однообразной логикой.

Этим условиям в достаточной степени отвечает МКЭ в варианте метода перемещений. Основа на тех же общих теоремах и зависимостях, что и метод перемещений в случае плоской рамы: основные неизвестные — перемещения узлов — должны удовлетворять условиям совместности перемещений узловых сечений стержней, примыкающих к одному узлу, а условия в этих стержнях, возникающие в результате воздействия внешней нагрузки и перемещений, должны удовлетворять условиям равновесия узлов. Этот метод способен учесть все особенности геометрии стержневой конструкции, распределение ее жесткостных параметров и внешних нагрузок, условия закрепления и физические свойства используемых в конструкции материалов.

Рассмотрим содержание основных операций МКЭ при расчете произвольной пространственной стержневой системы (рис. 14.12).

Дискретизация. Это предельное пространственное стержневой рамы в виде совокупности взаимосвязанных между собой и узловых сетевых конечных элементов.

Не всегда удается в качестве конечных элементов стержневой системы выбрать ее отдельные стержни. Так, если стержень имеет переменную по длине жесткость, то его следует разбить на несколько призматических конечных элементов. Также также следует поступать и с криволинейными стержнями в составе рамы: представлять их в виде жестко сочлененных в узловых точках прямолинейных призматических конечных элементов. Необходимо, однако, иметь в виду, что увеличение числа конечных элементов приводит к повышению точности расчета, но одновременно может заметно увеличить его общую трудоемкость. К сожалению, как-либо строгих рекомендаций по выбору оптимальных размеров конечных элементов дать затруднительно. Здесь во многом приходится полагаться на интуицию и расчетника практический опыт, на его инженерную интуицию.

Конечно, всегда имеется возможность произвести числовой эксперимент, т. е. уменьшить размеры конечных элементов и посмотреть, к каким изменениям результатов расчета это приведет.

Исходные данные о конструкции. Для рамы вводят общую левую систему координат $oxyz$ (см. рис. 14.12), ось которой целесообразно располагать в плоскости угловой симметрии рассматри-



Рис. 14.12

ваемой конструкции (если таковые имеются), а также так, чтобы по возможности большее число узлов, особенно опорных, располагалось на этих осях.

Далее все узлы, включая опорные, нумеруют порядковыми номерами $i = 1, 2, \dots, I$, а их положение определяется координатами x_i, y_i, z_i . Для обеспечения минимальной шарниры ленте коэффициентов системы разрешающих уравнений МКЭ (уменьшается время счета системы уравнений) нумерацию узлов требуется производить так, чтобы разность между номерами узловых сечений для каждого конечного элемента была как можно меньше.

В дополнение к общей системе координат для каждого i -го конечного элемента вводят местную правую систему координат x_{ij}, y_{ij}, z_{ij} , которую рекомендуется располагать так (рис. 14.13): ось x_{ij} направлять вдоль оси стержня от узла с меньшим номером к узлу с большим номером; оси y_{ij} и z_{ij} совмещать с направлениями главных центральных осей инерции сечения рассматриваемого элемента.



Рис. 14.13

Затем для каждого i -го элемента должно быть указано:

1. Расположение его узловых точек в общей системе координат.

2. Значения жесткостей элемента на изгиб в главных плоскостях $EI_{y_{ij}}$ и $EI_{z_{ij}}$, на растяжение-сжатие EF_{ij} , на кручение C_{ij} .

3. Матрица ориентации местной системы координат относительно общей координатной системы

$$[U]_{ij} = \begin{bmatrix} l_{x_{ij}x} & l_{x_{ij}y} & l_{x_{ij}z} \\ l_{y_{ij}x} & l_{y_{ij}y} & l_{y_{ij}z} \\ l_{z_{ij}x} & l_{z_{ij}y} & l_{z_{ij}z} \end{bmatrix} = \begin{bmatrix} l_{x_{ij}} & m_{x_{ij}} & n_{x_{ij}} \\ l_{y_{ij}} & m_{y_{ij}} & n_{y_{ij}} \\ l_{z_{ij}} & m_{z_{ij}} & n_{z_{ij}} \end{bmatrix}. \quad (14.25)$$

Поскольку известны координаты концов элемента стержня в общей системе координат, значения направляющих косинусов осей x_{ij} могут быть определены с помощью следующих очевидных зависимостей:

$$l_{x_{ij}} = (x_j - x_i)/a_{ij}; \quad m_{x_{ij}} = (y_j - y_i)/a_{ij}; \quad n_{x_{ij}} = (z_j - z_i)/a_{ij}. \quad (14.27)$$

где

$$a_{ij} = \sqrt{(x_j - x_i)^2 + (y_j - y_i)^2 + (z_j - z_i)^2} \quad (14.28)$$

— длина элемента стержня.

Для определения остальных шести направляющих косинусов матрицы $[U]_{ij}$ можно воспользоваться известными тригонометриче-

скими соотношениями

$$\left. \begin{aligned} l_{x_{ij}}^2 + m_{x_{ij}}^2 + n_{x_{ij}}^2 &= 1; & l_{y_{ij}}^2 + m_{y_{ij}}^2 + n_{y_{ij}}^2 &= 1; \\ l_{x_{ij}}l_{y_{ij}} + m_{x_{ij}}m_{y_{ij}} + n_{x_{ij}}n_{y_{ij}} &= 0; \\ l_{x_{ij}}l_{z_{ij}} + m_{x_{ij}}m_{z_{ij}} + n_{x_{ij}}n_{z_{ij}} &= 0, \end{aligned} \right\} \quad (14.29)$$

дополненными данными о расположении главных центральных осей инерции сечения элемента, например (см. рис. 14.13) $l_{x_{ij}y} = -\cos \beta$; $l_{y_{ij}z} = \cos \gamma$.

4. Данные об интенсивностях $q_{x_{ij}}$, $q_{y_{ij}}$ поперечных нагрузок, $P_{x_{ij}}$ растягивающей нагрузки в направлении оси x_{ij} , крутящего момента $M_{x_{ij}}$, а также данные о внешних нагрузках, приложенных непосредственно к узлам (сосредоточенных силах и моментах).

5. Данные об условиях закрепления в опорных узлах рамы. Выбор основных неизвестных. В качестве основных неизвестных в каждом i -м узле пространственной рамы принимаются: u_i, v_i, w_i —

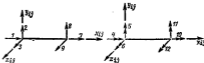


Рис. 14.14

поворотом на оси x, y и z линейного перемещения узла и осей прижимающих к нему сечений стержней соответственно α, β, γ — углы поворота узла относительно тех же осей.

В каждом сечении стержня, в том числе и в узловых, возникают внутренние силы упругости, которые эквивалентны силе и моменту, определяемым тремя значениями на оси общей системы координат, т. е. также величиной величин. В вычислениях этих величин и состоит основная часть расчета.

Определение матрицы жесткости и вектора узловых нагрузок конечного элемента в местной системе координат. Если заданные внешние нагрузки привести к узлам, то деформированное положение элемента стержня однозначно определяется заданием 12 узловых перемещений: трех линейных перемещений для каждого узла в направлении осей x_{ij}, y_{ij}, z_{ij} соответственно и трех углов поворота каждого из узловых поперечных сечений вокруг этих же осей.

Нумерация и положительное направление для узловых перемещений и узловых усилий приведены на рис. 14.14. Заметим, что приняты здесь нумерации для перемещений и усилий является наиболее удобной, если возникает необходимость преобразования

матрицы жесткости и вектора эквивалентных узловых усилий конечного элемента при переходе к другой системе координат.

Для рассматриваемого конечного элемента связь между вектором узловых усилий $\{R\}_U = \{R_1, R_2, \dots, R_{12}\}_U$ и вектора узловых перемещений $\{q\}_U = \{q_1, q_2, \dots, q_{12}\}_U$ в местной системе координат определяется зависимостью (11.85):

$$\{R\}_U = [K]_{ij} \{q\}_U \quad (14.30)$$

Остановимся теперь на вопросе приведения внешних нагрузок, действующих на конечный элемент, к узловому виду. Если интенсивности внешних поперечных q_{yU}, q_{zU} и продольных p_{xU} нагрузок постоянны, то вектор узловых приведенных нагрузок $\{P\}_U$ определяется зависимостью (11.86). Для нагрузок, изменяющихся по линейному закону, вектор $\{P\}_U$ можно вычислить по формуле (11.87). Если же по длине призматического стержня (конечного элемента) внешняя нагрузка изменяется по более сложному закону, то значения компонентов вектора узловых нагрузок можно найти либо по общим формулам приведения (11.31)–(11.33), либо с помощью таблиц изгиба жестко заделанных по торцевым сечениям призматических балок. При этом отдельные компоненты вектора $\{P\}_U$, если учесть принятое для них правило знаков (см. рис. 14.14), а также правило знаков для перемещающих сил $N(x)$ и изгибающих моментов $M(x)$ в технической теории изгиба балок (см. рис. 13.9), будут равны

$$\left. \begin{aligned} P_2 &= N_{yU}(0); & P_3 &= N_{zU}(0); & P_4 &= -N_{xU}(a_{12}); \\ P_5 &= -N_{yU}(a_{12}); & P_6 &= -M_{yU}(0); & P_8 &= M_{zU}(0); \\ P_{11} &= -M_{yU}(a_{12}); & P_{12} &= M_{zU}(a_{12}). \end{aligned} \right\} \quad (14.31)$$

где N_{yU} и M_{zU} — перемещающая сила и изгибающий момент жестко заделанного по торцам ij -го стержня, нагруженного приложенной к нему поперечной нагрузкой интенсивностью q_{yU} ; N_{zU} и M_{yU} — то же для действия на стержень нагрузки q_{zU} .

Преобразование матрицы жесткости $[K]_U$ и вектора узловых нагрузок $\{P\}_U$ конечного элемента при переходе от местной к общей системе координат. Эта операция выполняется с помощью зависимостей (11.88) и (11.89):

$$[\bar{K}]_{ij} = [T]_{ij}^T [K]_{ij} [T]_{ij}; \quad \{\bar{P}\}_{ij} = [T]_{ij}^T \{P\}_{ij} [T]_{ij} \quad (14.32)$$

где

$$[T]_{ij} = \begin{bmatrix} [I]_{ij} & [H]_{ij} & 0 \\ 0 & [I]_{ij} & [H]_{ij} \end{bmatrix} \quad (14.33)$$

Здесь $[I]_{ij}$ — матрица ориентации местной системы координат ij -го стержня относительно общей системы (14.26).

Матрица $[K]_{ij}$ позволяет связать вектор узловых усилий $\{R\}_U$ с вектором узловых перемещений $\{q\}_U$ ij -го стержня в общей системе координат: $\{\bar{R}\}_{ij} = [\bar{K}]_{ij} \{\bar{q}\}_{ij}$.

Положительные направления компонентов векторов $\{q\}$, $\{\bar{R}\}$ и $\{\bar{P}\}$ приведены на рис. 14.15.

Составление матрицы жесткости. Эта матрица формируется на основании данных об основных неизвестных узловых перемещениях $\{Q\}$ и узловых перемещениях конечных элементов $\{\bar{q}\}_U$ в общей системе координат.

Рассмотрим в качестве примера пространственную раму, изображенную на рис. 14.16. Приложенная к раме внешняя нагрузка вызвала в каждом из ее стержней все виды деформаций: кручение, растяжение-сжатие, изгиб в двух взаимно перпендикулярных плоскостях.

Если стержни рамы призматические, то каждый из стержней можно рассматривать в качестве конечного элемента. Если условия закрепления 1-, 3- и 4-го узловых сечений таковы, что линейные и угловые смещения в этих узлах отсутствуют, то вектор $\{Q\}$ основных узловых неизвестных в общей системе координат будет включать лишь три линейных и три угловых перемещения 2-го узла $\{Q\} = \{Q_1, Q_2, Q_3, Q_4, Q_5\}$.

Теперь, руководствуясь данными о компонентах вектора $\{Q\}$ и векторов $\{\bar{q}\}_U$, нетрудно составить для рассматриваемой пространственной рамы матрицу жесткости:

№ стержней	Надпись стержня $i-j$	Таблица 1. i — узловые перемещения $\{q\}_U$ элемента											
		1	2	3	4	5	6	7	8	9	10	11	12
		Таблица 2. i — перемещения $\{Q\}$ узловых точек											
I	1-2	0	0	0	0	0	1	2	3	4	5	6	
II	2-3	1	2	3	4	5	6	0	0	0	0	0	
III	2-4	1	2	3	4	5	6	0	0	0	0	0	

Составление основной системы уравнений МКЭ. Суммарные узловые усилия (реакции в узловых сечениях) ij -го стержня, вызванные действием на стержень внешней нагрузки и смещением его узловых сечений, определяются зависимостью

$$\{\bar{R}\}_{ij}^z = [\bar{K}]_{ij} \{\bar{q}\}_{ij} - \{\bar{P}\}_{ij} \quad (14.34)$$

Со стороны ij -го стержня на прилегающие к нему узлы будут действовать те же усилия, но с обратным знаком. Тогда из условия равновесия i -го узла получим следующие уравнение (предполагается, что все внешние нагрузки приложены к стержням рамы):

$$\sum (\bar{R})_{ij}^z = \sum [\bar{K}]_{ij} \{\bar{q}\}_{ij} - \sum \{\bar{P}\}_{ij} = 0, \quad i = 1, 2, \dots \quad (14.35)$$

Здесь суммирование производится по всем стержням, которые соединяются в i -м узле.

В общем случае матричное уравнение (14.35) эквивалентно шести скалярным уравнениям равновесия i -го узла.

Переход от перемещений $\{q\}_i$ к вектору основных узловых неизвестных $\{Q\}$ позволяет переписать систему уравнений (14.35) в виде одного матричного уравнения

$$[K^*]\{Q\} = \{F\}, \quad (14.36)$$

которое представляет собой основную систему уравнений равновесия МКЭ для рассматриваемой рамы. Составление этой системы сводится к определению общей матрицы жесткости рамы $[K^*]$ и вектора узловых нагрузок в общей системе координат $\{F\}$. Подробное описание процедуры определения этих величин с помощью матрицы индексов дано в § 11.8.

В рассматриваемом случае матричное уравнение (14.35) представляет собой совокупность шести скалярных уравнений равновесия 2-й узловой точки пространственной рамы, изображенной на рис. 14.16.

Определение основных узловых неизвестных. Решая систему алгебраических линейных уравнений (14.35), получаем значения компонентов вектора $\{Q\}$, располагая которыми нетрудно выписать значения векторов $\{q\}_i$ для каждого из стержней рамы, а затем с помощью зависимости (14.34) определить узловые усилия.

Зная значения внутренних усилий $\{R\}_i$ в узловых сечениях каждого из стержней рамы, не представляя особых затруднений построить для этих стержней акторы изменения внутренних усилий (осевое усилие, сдвигающие и крутящие моменты и калечащие моменты). После этого можно произвести оценку прочности

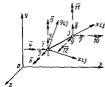


Рис. 14.15

каждого из стержней, а следовательно, и пространственной рамы в целом.

В заключение необходимо сделать ряд следующих дополнительных замечаний.



Рис. 14.16

1. Если рама не имеет опорных узлов (свободная рама) и, следовательно, нагружена самоуравновешенной нагрузкой, то необходимо позаботиться о таком закреплении рамы, при котором будут ликвидированы ее перемещения как абсолютно жесткого тела. Для этого достаточно произвольно задать все шесть перемещений одного из узлов рамы (например, положить их равными нулю). Уравнения равновесия, соответствующие этим перемещениям, исключают из системы (14.35), а в оставшихся уравнениях данной системы соответствующие этим перемещениям члены как уже известные переносят в правые части.

2. В упругих закрепленных отдельных узловых сечениях возникают реакции, которые должны вводиться в соответствующие уравнения равновесия. Процедура учета упругого закрепления отдельных узловых сечений подробно рассмотрена в § 11.9 на примере расчета плоской стержневой рамы по МКЭ.

3. При расчете пространственной рамы по МКЭ сравнительно просто для отдельных стержней (или рамы в целом) учитываются влияние деформаций сдвига, наличие упругого основания.

Также матрица жесткости известна [51, т. 2].

§ 14.3. Общая характеристика методов расчета стержневых систем

В предыдущей и настоящей главах были изложены методы расчета статически неопределимых стержневых систем нескольких типов. Несмотря на различия этих стержневых систем, можно заметить принципиальную общность методов их расчета. Как правило, стержневая система мысленно расчленяется на отдельные стержни с целью последующего расчета каждого такого стержня по известным из теории сопротивления материалов расчетным формулам. Однако для раздельного расчета стержней кроме заданной пролетной нагрузки необходимо знать еще граничные условия на их концах. Граничные условия определяются характером взаимодействия стержней в сечениях, где они соединяются, т. е. в узлах стержневой системы. Они представляют собой либо узловые перемещения, либо узловые усилия, либо комбинацию узловых перемещений и усилий.

Определение необходимого числа граничных значений элементов каждого такого стержня (элементов элемента в МКЭ) и является основной задачей расчета стержневой системы.

В зависимости от того, какие граничные значения элементов деформированной стержневой системы выбраны в качестве основных, вычисляемых в первую очередь, неизвестных, различают два основных метода расчета — метод сил и метод перемещений (деформаций). В методе сил в качестве основных неизвестных выбирают силовые факторы — крутящие и калечащие моменты, осевые и сдвигающие силы (реакция) в концах сечений стержней. В методе

перемещений за основные неизвестные принимают линейные и угловые перемещения конечных сечений (узлов).

В ряде случаев некоторые граничные значения элементов нагрузки бывают известны и без расчета. Например, для неразрезных балок на жестких опорах или для рам с несмещающимися узлами линейные перемещения узловых сечений равны нулю. В подобных случаях количество определяемых расчетом граничных величин уменьшается.

Элементы деформирования стержней в конечных сечениях должны удовлетворять как условиям совместности перемещений стержней в указанных сечениях, так и условиям равновесия узлов. Уравнения, составленные по указанным условиям, и дают возможность определить необходимые граничные значения элементов деформирования стержней.

Если за основные неизвестные принимают условия, то для статически неопределимой системы число этих условий окажется больше числа уравнений равновесия. Число лишних неизвестных всегда равно степени статической неопределимости системы. Уравнения равновесия позволяют выразить все некоторые граничные условия через те из них, которые приняты в качестве данных. Следовательно, уравнения равновесия каждого из стержней и системы в целом будут удовлетворяться при произвольных значениях лишних условий. Если теперь значения лишних условий определить так, чтобы удовлетворялись также и уравнения совместности перемещений, то тем самым будет получено решение задачи. Для этого необходимо в уравнениях совместности перемещений конечных сечений стержней выразить перемещения через лишние условия и решить полученную систему относительно последних. Всегда можно составить столько уравнений совместности перемещений, сколько в системе имеется лишних условий.

В методе перемещений принятые в качестве неизвестных перемещения конечных сечений отдельных стержней можно выразить в общем виде через некоторые основные узловые перемещения так, чтобы тождественно удовлетворялись все уравнения совместности перемещений. Это всегда выполняется очень просто. Если теперь основные перемещения определить так, чтобы удовлетворялись также и уравнения равновесия, то полученные значения перемещений и дадут решение задачи. Для этого необходимо в уравнениях равновесия выразить усилия через основные перемещения и решить полученную систему уравнений. Указанным уравнений равновесия можно всегда составить столько, сколько система имеет основных неизвестных перемещений.

Кроме двух изложенных выше основных методов — метода сил и метода перемещений — можно применить и так называемый смешанный метод. В этом методе за основные неизвестные могут приниматься как узловые перемещения, так и узловые усилия. В качестве примера использования смешанного метода может служить метод расчета неразрезной балки, лежащей на независимых упругих опорах, который был изложен в гл. 13.

Необходимо иметь в виду, что применение описанных выше методов не требует обязательного расчленения системы на отдельные стержни. Стержневую систему можно расчленить и на более сложные части, состоящие из нескольких соединенных стержней. В таком случае для применения метода сил необходимо располагать формулами, позволяющими выразить перемещения на границах каждой части через приложенную непосредственно к ней внешнюю нагрузку и усилия взаимодействия (основные неизвестные) с другими частями. Это требуется для составления уравнений совместности перемещений, выраженных через основные неизвестные — усилия.

Чтобы при этом применить метод перемещений, нужно иметь формулы, позволяющие выразить усилия взаимодействия данной части с другой частью через перемещения ее граничных сечений и приложенную нагрузку. Это необходимо для составления уравнений равновесия сил через перемещения (основные неизвестные). В остальной схеме расчета остаются прежними. Примером применения такого метода является описанное в § 14.2 раскрытие статической неопределимости аэросной рамы с подвижными узлами. Получаемые там общие формулы для перемещений части рамы, состоящей из произвольного числа последовательно соединенных стержней, позволяют рассматривать подобную часть рамы как один ее элемент.

В каждом конкретном случае можно выбирать тот метод расчета, при котором будем иметь меньшее количество основных неизвестных или они будут определяться из более простой системы уравнений. Если степень статической неопределимости системы больше числа основных неизвестных перемещений, которые необходимо определить для последующего раздельного расчета каждого стержня или части системы, то выгоднее применить метод перемещений. В противном случае предпочтением заслуживает метод сил. Поэтому, например, для расчета сложных рам удобнее использовать метод перемещений, а для расчета простых рам — метод сил.

При выборе основных неизвестных необходимо стремиться к тому, чтобы каждое неизвестное входило в возможно меньшее число уравнений разрешающей системы и чтобы при ее решении не возникали малые разности больших величин.

Примером удачного выбора основных неизвестных в методе сил для неоперной балки является выбор опорных моментов, а неудачного — выбор реакций опор.

Как уже указывалось, при выборе метода для программирования расчетов на ЭВМ первоочередное значение имеет простота его логической структуры, а другие соображения вторичны.

Необходимо также отметить полную принципиальную аналогию между методами расчета стержневых систем и методами решения основной задачи теории упругости.

В задачах теории упругости основным элементом упругой системы (тела) является бесконечно малый (элементарный) парал-

элементов, усилие взаимодействия которого со смежными элементами характеризуются напряжениями на гранях. Эти напряжения должны удовлетворять уравнениям равновесия элементарного параллелепипеда, а на границах тела и уравнениям равновесия элементарного тетраэдра. Уравнения закона Гука позволяют выразить деформации (перемещения) параллелепипеда через напряжения и наоборот, что, в свою очередь, позволяет записать уравнения равновесия в деформациях (перемещениях), а уравнения совместности деформаций (перемещений) через напряжения.

Как видно, стереию для составления стержневой соответствует элементарный параллелепипед, уравнения равновесия узлов стержневой системы — уравнения равновесия элементарного параллелепипеда, уравнения совместности деформаций Сен-Венана — уравнения совместности перемещений сечений на стыках стержней или частей системы. Однако в теории упругости в силу бесконечной малости и бесконечного множества элементов, из которых разделена система (тело), все уравнения являются дифференциальными, а в теории расчета стержневыми систем эти уравнения дискретные, алгебраические.

Методу сил соответствует прямая задача теории упругости в напряжениях, а методу перемещений — прямая задача теории упругости в перемещениях.

В заключение остановимся на использовании симметрии упругих свойств стержневых систем для упрощения расчетов. Упругая стержневая система является симметричной, если в каждой паре симметричных относительно некоторой оси точек все ее упругие свойства одинаковы. Указанная ось называется осью упругой симметрии системы. Следовательно, кроме геометрической симметрии все симметричные стержни и симметричные опоры системы должны обладать совершенно одинаковыми упругими характеристиками.

Если на систему действует нагрузка, симметричная относительно оси упругой симметрии, то элементы слева, включая и основные неизвестные, в каждой паре симметричных сечений будут равны по абсолютному значению, а их направления будут симметричны по отношению к оси симметрии. При действии обратнотангентной нагрузки элементы изгиба в симметричных сечениях также равны по значению, но направлены обратнотангентно по отношению к оси симметрии. Таким образом, расчет симметричной системы при действии на нее симметричной или обратнотангентной нагрузки значительно упрощается вследствие уменьшения числа основных неизвестных.

Если действующая на симметричную систему нагрузка является несимметричной, то она всегда может быть разложена на две составляющие — симметричную и обратнотангентную. Такое разложение для типичных нагрузок показано на рис. 14.17, а. Пусть в точке I действует сосредоточенная сила P , в точке 2 — сосредоточенный момент M и по линии $3-3$ — распределенная нагрузка q . Для разложения этих нагрузок на симметричную и обратнотангентную части необходимо в симметричных точках $1, 2, 3-3$ и по

симметричным направлениям приложить нулевые нагрузки, состоящие из противоположно направленных дольных и плечих разлагаемых нагрузок. Очевидно, что введение таких нулевых нагрузок не приводит к изменению состояния системы. Каждую из заданных нагрузок необходимо также представить состоящей из двух дольных частей. Комбинируя соответствующим образом дольные части заданных нагрузок и нулевых нагрузок, можно получить две системы нагрузок, одна из которых будет симметричной (рис. 14.17, б), а другая — обратнотангентной (рис. 14.17, в).

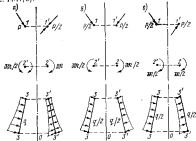


Рис. 14.17

При расчете упругой системы на действие каждой из этих нагрузок можно использовать преимущественно симметрию.

Если при расчете системы на несимметричную нагрузку общее число основных неизвестных было n , то при расчете на каждую из составляющих нагрузок число основных неизвестных будет $n/2$ и $n/2$ соответственно, причем $n/2 + n/2 = n$. Выигрыш заключается в том, что определение общего числа неизвестных n из общей системы n уравнений всегда сложнее по сравнению с определением того же числа неизвестных двумя группами $n/2$ и $n/2$ из двух самостоятельных систем уравнений.

Окончательные значения основных неизвестных находят суммированием значений, полученных при расчете на симметричную и обратнотангентную части нагрузки.

Контрольные вопросы

1. Какие конструкции называются рамами и как они классифицируются в зависимости от механизма?
2. На каких принципах основан метод расчета рам и можно ли считать этот допустимым?

3. В чем сущность метода сил и как он применяется при расчете простых рам с несомкнутыми узлами?
4. Почему для расчета сложных рам с неподвижными узлами левоборно равно приложить метод угловых деформаций, а не метод сил?
5. Объясните кратко схему расчета сложной рамы с неподвижными узлами методом угловых деформаций.
6. Как определяется степень линейной подвижности узлов рамы с известными перемещениями?
7. Какие дополнительные неизвестные появляются при расчете рам, имеющих подвижные узлы? Как устанавливается количество этих неизвестных и дополнительные условия для их определения?
8. Как адресные рассылкиваются простые рамы с подвижными узлами?
9. Выпишите в общем виде и объясните систему уравнений, из которых определяются угловые и поперечные линейные перемещения узлов рамы со свободными узлами и прямоугольными узлами.
10. Объясните основные зависимости в уравнении метода перемещений для пространственной рамы.
11. Дайте общую характеристику метода сил применительно к расчету стержневых систем.
12. В каких случаях метод перемещений имеет преимущества по сравнению с методом сил при расчете стержневых систем? В чем суть этого метода?
13. Как выделить равнодействующую систему нагрузок на симметричную и反对称ную части относительно заданной оси?
14. Какие уравнения при расчете стержневых систем можно получить, используя уравнения симметрично построенных?
15. В чем суть МКЭ применительно к задачам изгиба стержневых систем?

Глава 15. КРИВОЛИНЕЙНЫЕ РАМЫ

§ 15.1. Криволинейные рамы как конструктивный элемент судового корпуса. Основные допущения

Стержневые системы (плоские или пространственные), имеющие в своем составе стержни с криволинейной осью, принято называть криволинейными рамами.

Такие судовые конструкции, как привалутные рамы быстродвижного корабля (рис. 15.1) и подводной лодки (рис. 15.2) могут служить типичными примерами плоских криволинейных рам.

Для судовых криволинейных рам характерны следующие соотношения размеров: 1) отношение высоты h сечений профилей криволинейных стержней рамы к радиусам их кривизны ρ мало, практически $h/\rho < 0,1$; 2) жесткости рамы в целом и осей ее стержней настолько велики, что линейные перемещения узлов и сечений стержней можно считать пренебрежимо малыми по сравнению с давями входящих в раму стержней в их радиусах кривизны. Эти свойства реальных судовых криволинейных рам приняты в качестве основополагающих допущений рассматриваемого ниже метода их расчета.

Из указанных допущений следует, во-первых, применимость зависимостей, основанных на гипотезе плоских сечений теории изги-

ба прямых балок, к криволинейным стержням, во-вторых, возможность определения изгибающих моментов, перерезывающих и осевых сил в сечениях стержней исходя из первоначальной (недеформированной) формы рамы и ее стержней. Кроме того, как и в расчетах рам с прямолинейными стержнями, можно пренебречь влиянием осевых сил на параметры изгиба стержней и не учитывать их закручивания, считая поперевую нагрузку действующей в той же плоскости, где расположены центры изгиба стержней.

В целом совокупность принятых допущений позволяет распространить рассмотренные выше методы расчета балок и рам на криволинейные рамы.

На рис. 15.3 изображена часть стержня, ограниченная поперечными сечениями, нормальными к его криволинейной нейтральной



Рис. 15.1



Рис. 15.2



Рис. 15.3

ной оси, с координатами $s = s_1$ и $s = s_2$, где s отсчитывается вдоль оси стержня от некоторой точки, выбранной за начало отсчета.

Пусть $M(s)$, $N(s)$, $T(s)$ — изгибающий момент, поперечная (по нормали к нейтральной оси) и осевая (по касательной к нейтральной оси) силы, действующие в поперечном сечении с координатой s .

Положительные направления относительно осей местной (привалутной к нормальному сечению) системы координат осей внешней нагрузки $Q(s)$ и внутренних сил $M(s)$, $N(s)$, $T(s)$ показаны на рис. 15.3. Как следует из рисунка, изгибающий момент считается положительным, если стремится увеличить исходную кривизну оси стержня.

Сформулированные выше допущения позволяют развить теорию плоского изгиба криволинейных стержней, полностью эквивалентную технической теории изгиба прямых балок, и, в частности, вывести дифференциальные уравнения для отыскания перемещений точек нейтральной оси $u(s)$ и $w(s)$, направленных по касательной и по нормали к этой оси. Следует, однако, иметь в виду, что дифференциальные уравнения изгиба криволинейных стержней сложны и допускают относительно простые решения только для стержней постоянного сечения и постоянной кривизны (с осью, совпадающей с дугой окружности). Поэтому в практике расчета криволинейных

рам применяют методы, основанные на использовании начала наименьшей работы и теоремы Кастильяно (см. § 10.4). Большие возможности расчета сложных криволинейных рам открылись с началом использования в строительной механике МКЭ.

Потенциальная энергия деформации криволинейного стержня складывается из потенциальных энергий изгиба, сдвига и растяжения (сжатия) [см. формулу (10.12)]:

$$II = \frac{1}{2} \int_0^l \left[\frac{M^2(s)}{EI(s)} + \frac{N^2(s)}{G\omega(s)} + \frac{T^2(s)}{EF(s)} \right] ds, \quad (15.1)$$

где l — длина стержня, измеряемая по нейтральной оси; $I(s)$, $\omega(s)$, $F(s)$ — соответственно момент инерции, приведенная площадь стенки и площадь поперечного (нормального) сечения стержня. Если рама имеет упругие опоры и заделки, то их потенциальная энергия должна быть прибавлена к II .

Для судовых криволинейных рам роль слагаемых выражения (15.1) различна. Так, в большинстве случаев можно пренебречь влиянием сдвига на размеры изгиба криволинейных стержней, и в этом плане криволинейные и прикладные судовые балки обладают схожими свойствами. Последний член для криволинейных балок может играть заметную роль, и возможность пренебрежения им должна быть оценена в каждом конкретном случае.

§ 15.2. Определение перемещений статически определимых криволинейных рам с помощью теоремы Кастильяно. Раскрытие статической неопределенности рам с использованием начала наименьшей работы

Рассмотрим несколько примеров применения теоремы Кастильяно в начале наименьшей работы к расчету криволинейных рам.

Определение перемещения верхнего конца шлюзбалки (рис. 15.4). Шлюзбалка нагружена силой P , составляющей с вертикалью угол α .

Разложим силу P на вертикальную $P_1 = P \cos \alpha$ и горизонтальную $P_2 = P \sin \alpha$ составляющие и, пользуясь теоремой Кастильяно, найдем соответствующие проекции полного перемещения на направления осей x и z :

$$v_1 = \frac{\partial V}{\partial P_1}; \quad v_2 = \frac{\partial V}{\partial P_2}. \quad (15.2)$$

Согласно формуле (15.1) получим

$$v_i = \int_0^l \left[\frac{M(s)}{EI(s)} \frac{\partial M(s)}{\partial P_i} + \frac{N(s)}{G\omega(s)} \frac{\partial N(s)}{\partial P_i} + \frac{T(s)}{EF(s)} \frac{\partial T(s)}{\partial P_i} \right] ds, \quad i = 1, 2, \quad (15.3)$$

где S — полная длина оси шлюзбалки. Примем начало отсчета координаты s на свободном конце шлюзбалки. Интегралы в выра-

жениях (15.3) могут вычисляться как сумма интегралов по криволинейному и прямолинейному участкам.

На криволинейном участке переменную интегрирования заменим угловой координатой φ : $ds = r d\varphi$. Изгибающий момент, поперечная сила и осевое усилие на криволинейном участке шлюзбалки вычисляются по следующим очевидным формулам:

$$\left. \begin{aligned} M(s) &= P_1 r \sin \varphi + P_2 r (1 - \cos \varphi); \\ N(s) &= -P_2 \cos \varphi - P_1 \sin \varphi; \\ T(s) &= -P_1 \sin \varphi + P_2 \cos \varphi. \end{aligned} \right\} \quad (15.4)$$

На прямолинейном участке

$$\left. \begin{aligned} M(s) &= -P_2 r + P_1 (r + x); \\ N(s) &= -P_2; \\ T(s) &= -P_1. \end{aligned} \right\} \quad (15.5)$$



Рис. 15.4

В практических расчетах шлюзбалок можно не учитывать влияния деформаций сдвига и растяжения (сжатия), так как вносимые таким учетом поправки при обычных размерах шлюзбалок весьма незначительны.

Опуская в выражении (15.3) члены, зависящие от $N(s)$ и $T(s)$, получим

$$\left. \begin{aligned} v_1 &= \int_0^{\alpha} \frac{1}{EI} [P_1 \sin \varphi + P_2 (1 - \cos \varphi)] r^2 \sin \varphi d\varphi + \\ &+ \int_0^x \frac{1}{EI} [P_2 r + P_1 (r + x)] r dx; \\ v_2 &= \int_0^{\alpha} \frac{1}{EI} [P_1 \sin \varphi + P_2 (1 - \cos \varphi)] r^2 (1 - \cos \varphi) d\varphi + \\ &+ \int_0^x \frac{1}{EI} [P_1 r + P_2 (r + x)] (r + x) dx. \end{aligned} \right\} \quad (15.4')$$

Для шлюзбалки постоянного сечения, у которой $I = I_0$, после вычисления интегралов найдем

$$\left. \begin{aligned} v_1 &= \frac{r^3}{EI_0} \left[P_1 \left(\frac{\alpha}{4} + \frac{1}{r} \right) + P_2 \left(\frac{1}{2} + \frac{1}{r} + \frac{\alpha^2}{2r} \right) \right]; \\ v_2 &= \frac{r^3}{EI_0} \left[P_1 \left(\frac{1}{2} + \frac{1}{r} + \frac{\alpha^2}{2r} \right) + P_2 \left(\frac{2\alpha}{3} - 2 + \frac{1}{r} + \frac{\alpha}{r} + \frac{1}{3r} \right) \right]. \end{aligned} \right\} \quad (15.5')$$

а затем и полное перемещение конца шлюзбалки по формуле $v = \sqrt{v_1^2 + v_2^2}$.

Раскрытие статической неопределенности шланговой рамы тоннеля гребного вала (рис. 15.5). Рама нагружена реакцией шл-

дерев. Нижние концы стоек считаем свободно опирающимися на несжимаемые опоры. Конструкция рамы, как и ее форма, симметрична относительно вертикальной оси.

Вследствие симметрии рассматриваемая рама одноразно статически неопределима. За лишнюю неизвестную целесообразно принять изгибающий момент M_0 в наиболее нагруженном сечении на оси симметрии. Решивше полукруг, пренебрегая деформациями сдвига и удлинением нейтральной оси.

Рассматривая правую половину рамы (см. рис. 15.5), получим следующие выражения для изгибающего момента: на криволинейном участке ($0 \leq \varphi \leq \pi/2$)

$$M(s) = M_0 + (Pr/2)r \sin \varphi - Pr(1 - \cos \varphi); \quad (15.6)$$

на прямолинейном участке ($0 \leq y \leq l$)

$$M(s) = M_0 + Pr/2 - H(r + y). \quad (15.7)$$

Для нижней опоры рамы $y = l$, $M = 0$, или

$$M_0 + Pr/2 - H(r + l) = 0, \quad (15.8)$$

откуда

$$H = M_0/b + Pr/2b, \quad (15.9)$$

где $b = r + l$. Исключив H из зависимостей (15.6) и (15.7), найдем изгибающий момент: на криволинейном участке

$$M(s) = M_0 [1 - (r/b)(1 - \cos \varphi)] + (Pr/2)[\sin \varphi - (r/b)(1 - \cos \varphi)]; \quad (15.10)$$

на прямолинейном участке

$$M(s) = M_0(1 - \rho/b) + Pr(1 - \rho)/2b. \quad (15.11)$$

На основании начала о наименьшей работе получим уравнение для раскрытия статической неопределимости

$$\frac{\partial \Pi}{\partial M_0} = \int_0^{\pi/2} \frac{M(s)}{EI(s)} \frac{\partial M(s)}{\partial M_0} ds = 0. \quad (15.12)$$

Интервал интегрирования в (15.12) следует разбить на два участка: криволинейный и прямолинейный. Полагая на криволинейном участке $ds = r d\varphi$, а на прямолинейном $ds = dy$ и подставляя в выражение (15.12) значения $M(s)$ из формул (15.10) и (15.11), найдем

$$\begin{aligned} & \frac{Mr}{EI_0} \int_0^{\pi/2} \frac{I_0}{I(s)} \left[1 - \frac{r}{b}(1 - \cos \varphi) \right]^2 d\varphi + \\ & + \frac{Pr^2}{2EI_0} \int_0^{\pi/2} \frac{I_0}{I(s)} \left[\sin \varphi - \frac{r}{b}(1 - \cos \varphi) \right] \left[1 - \frac{r}{b}(1 - \cos \varphi) \right] d\varphi + \\ & + \frac{M_0 + 0.5Pr}{EI_0} \int_0^l \frac{I_0}{I(s)} \left(\frac{l+y}{b} \right)^2 dy = 0, \quad (15.13) \end{aligned}$$

где в качестве I_0 удобно выбрать одно из значений функции $I(s)$.

Для рамы постоянного сечения ($I(s) = I_0 = \text{const}$) из выражения (15.13) следует, что $M_0 = Pr/2$. Здесь

$$k_1 = 0.5 - \frac{(\gamma + 1) \{ 2\gamma(\alpha/2 - 1) + 1 \}}{4(\gamma^2 + \alpha\gamma^2 + 2\gamma + \alpha)}, \quad \text{где } \gamma = l/r.$$

Определение внутренних усилий T_0 , N_0 , M_0 в сечении кругового кольца (рис. 15.6). Кольцо нагружено в вектором произвольным сечением сосредоточенными силами P , Q и моментом M .

Под действием такой внешней нагрузки кольцо не может находиться в равновесии. Поэтому одно из сечений кольца будем считать жестко закрепленным, что обеспечит выполнение условий равновесия. При этом в закрепленном сечении кольца появятся реактивные силы и момент, которые и будем считать искомыми величинами T_0 , N_0 , M_0 .

Совместив начало отсчета угловой координаты φ с закрепленным сечением, считая нагрузку приложенной в произвольном сечении, определим угол α .

Для нахождения T_0 , N_0 и M_0 воспользуемся началом наименьшей работы:

$$\frac{\partial \Pi}{\partial T_0} = 0; \quad \frac{\partial \Pi}{\partial N_0} = 0; \quad \frac{\partial \Pi}{\partial M_0} = 0. \quad (15.14)$$

Пренебрегая влиянием деформаций сдвига и растяжения (сжатия) оси кольца, т. е. будем определять потенциальную энергию по формуле

$$\Pi = \frac{1}{2} \int_0^{2\pi} \frac{M^2(\varphi)}{EI} r d\varphi, \quad (15.15)$$

где $M(\varphi)$ — изгибающий момент в произвольном сечении кольца; I — момент инерции площади поперечного сечения кольца; r — радиус кольца.

Рассмотрим подробнее случай действия на кольцо только нормальной к его оси силы P .

Изгибающий момент в произвольном сечении кольца определяется следующей зависимостью:

$$M(\varphi) = M_0 + T_0 r (1 - \cos \varphi) - N_0 r \sin \varphi + \sigma(\varphi - \alpha) Pr \sin(\varphi - \alpha),$$

где $\sigma(\varphi - \alpha)$ — функция единичного скачка, обладающая следующим свойством:

$$\sigma(\varphi - \alpha) = \begin{cases} 0 & \text{при } \varphi - \alpha < 0; \\ 1 & \text{при } \varphi - \alpha \geq 0. \end{cases} \quad (15.16)$$

Свойства функции единичного скачка таковы, что выражение, стоящее за $\sigma(\varphi - \alpha)$, учитывается только при $\varphi \geq \alpha$.



Рис. 15.5



Рис. 15.6

Уравнения для отыскания неизвестных M_0 , T_0 , N_0 следуют из выражений (15.14) и (15.15):

$$\left. \begin{aligned} \int_0^{2\pi} M(\varphi) \frac{\partial M(\varphi)}{\partial M_0} r d\varphi &= 0; \\ \int_0^{2\pi} M(\varphi) \frac{\partial M(\varphi)}{\partial T_0} r d\varphi &= 0; \\ \int_0^{2\pi} M(\varphi) \frac{\partial M(\varphi)}{\partial N_0} r d\varphi &= 0. \end{aligned} \right\} (15.17)$$

После подстановки формулы (15.10) в уравнения (15.17) они приобретают следующий вид:

$$\left. \begin{aligned} 2\pi M_0 + 2\pi r T_0 + Pr(1 - \cos \alpha) &= 0; \\ 2\pi r M_0 + 3\pi r^2 T_0 + Pr^2(1 - \cos \alpha + [(2\pi - \alpha)/2] \sin \alpha) &= 0; \\ \pi r^2 N_0 - (Pr^2/2)[(2\pi - \alpha) \cos \alpha + \sin \alpha] &= 0. \end{aligned} \right\} (15.18)$$

Решение уравнений (15.18) следующее:

$$\left. \begin{aligned} M_0 &= \frac{Pr}{2\pi} [(2\pi - \alpha) \sin \alpha - (1 - \cos \alpha)]; \\ N_0 &= \frac{P}{2\pi} [\sin \alpha + (2\pi - \alpha) \cos \alpha]; \\ T_0 &= -\frac{P}{2\pi} [(2\pi - \alpha) \sin \alpha]. \end{aligned} \right\} (15.19)$$

Подобным образом могут быть получены выражения для M_0 , N_0 , T_0 при действии на кольцо сосредоточенного момента M :

$$\left. \begin{aligned} M_0 &= [MR/2\pi] [(2\pi - \alpha) - 2 \sin \alpha]; \\ N_0 &= [MR/2\pi] (1 - \cos \alpha); \\ T_0 &= [MR/2\pi] \sin \alpha; \end{aligned} \right\} (15.20)$$

сосредоточенной силы Q , направленной по касательной к оси кольца:

$$\left. \begin{aligned} M_0 &= \frac{Qr}{2\pi} (2\pi - \alpha) (1 - \cos \alpha); \\ N_0 &= \frac{Q}{2\pi} [(2\pi - \alpha) \sin \alpha + 2(1 - \cos \alpha)]; \\ T_0 &= \frac{Q}{2\pi} [(2\pi - \alpha) \cos \alpha + \sin \alpha]. \end{aligned} \right\} (15.21)$$

§ 15.3. Расчет круговых колец и конструкций из круговых дуг с распорками

Действие произвольной нагрузки. С помощью зависимостей (15.19) — (15.21) можно, используя метод наложения, найти внутренние усилия в сечениях кольца, нагруженного произвольной пор-

мальной, касательной или моментной нагрузкой, из распределение которой следует наложить лишь требования равенства нулю главного вектора и главного момента.

Пусть, например, круговое кольцо нагружено произвольной нормальной нагрузкой $q(\alpha)$. Выделим в сечении, определяемом углом α , элементарную силу $q(\alpha)rd\alpha$. Воспользуемся зависимостями (15.19) и суммируем влияние всех элементов сил, найдем для произвольно выбранного сечения, совпадающего с началом отсчета угловых координат,

$$\left. \begin{aligned} M_0 &= \frac{r^2}{2\pi} \int_0^{2\pi} q(\alpha) [(2\pi - \alpha) \sin \alpha - (1 - \cos \alpha)] d\alpha; \\ N_0 &= \frac{r}{2\pi} \int_0^{2\pi} q(\alpha) [\sin \alpha + (2\pi - \alpha) \cos \alpha] d\alpha; \\ T_0 &= -\frac{r}{2\pi} \int_0^{2\pi} q(\alpha) (2\pi - \alpha) \sin \alpha d\alpha. \end{aligned} \right\} (15.22)$$

В случае равномерно распределенного давления $q(\alpha) = q = \text{const}$
 $M_0 = 0$; $N_0 = 0$; $T_0 = -qr$. (15.23)

Из выражений (15.23) следует, что равномерно распределенное давление вызывает лишь сжимающие напряжения в сечениях кольца, равные

$$\sigma = -qr/F, \quad (15.24)$$

где F — площадь поперечного сечения.

Отметим顺便ную приближенность этого результата, поскольку равномерное обжатие кольца неизбежно сопровождается его кривизной (увеличением радиуса) и, следовательно, дополнительным изгибом. Можно показать, что значение наибольшего напряжения, вызванного изгибом кольца при его обжатии, удовлетворяет неравенству

$$|\sigma_{\text{изг}}|_{\text{max}} \ll |\sigma|_{\text{обр}}, \quad (15.25)$$

где h — высота профиля поперечного сечения кольца. Указанная погрешность неизбежно возрастает в рассматриваемых решениях, основанных на предположении о малости отношения высоты профиля поперечного сечения рамы к радиусу кривизны ее оси.

Действие равномерно распределенной по контуру нагрузки. Расчет существенно упрощается при использовании следующего свойства такой нагрузки: равномерно распределенных нагрузок, действующих на произвольной контур, статически эквивалентна нагрузке той же интенсивности, приложенной к хорде, соединяющей концы контура.

На рис. 15.7, а показан произвольный контур, имеющий концевые точки A и B , с приложенной к нему равномерно распределенной нагрузкой интенсивностью q , а на рис. 15.7, б — эквивалент-

кожур, в котором равномерно распределенная нагрузка той же интенсивности приложена к хорде, соединяющей концы исходного кожур.

Две изображенные на рисунке нагрузки статически эквивалентны, т. е. их равнодействующая при соединении рисунков совпадает. Убедиться в этом можно, приложив мысленно к замкнутому кожуре равномерно распределенную внешнюю нагрузку, показанную на рис. 15.7, в, равнодействующая которой равна нулю (диаметр любой формы находится в равновесии под действием равномерного внешнего или внутреннего давления).

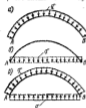


Рис. 15.7



Рис. 15.8

Заметим, что эти рассуждения останутся справедливыми, если хорду заменить любой линией, соединяющей концы кожур. С помощью отмеченного свойства легко найти как равнодействующую равномерно распределенной нормальную нагрузку, действующей на произвольный кожур, так и точку ее приложения.

Пример 7. Рассмотрим задачу об изгибе кругового кожур, подверженного внешнему и внутреннему равномерному распределенному давлению (рис. 15.8).

Решая ее. В этой задаче можно провести во внимание деформации растяжения-сжатия как кожур, так и подкрепляющего его шпалера. Будем считать, однако, возможным пренебречь деформации шпалера. Обозначим через T_0 и M_0 соответственно угловую и линейную моменты в сечении кожур, соединяющей с осью шпалера, через R радиус шпалера, координату точки нагрузки поведем кожур, показанную на рис. 15.8.

При определении наибольшего момента в осевой точке в произвольном сечении с угловой координатой φ необходимо учитывать отмеченные выше свойства равномерно распределенной нагрузки. Заметим, что длина хорды дуги окружности с центральным углом φ составляет $r \sqrt{2(1 - \cos \varphi)}$, малым изгибающим моментом

$$M(\varphi) = - (Rr \sin \varphi)^2 / 2 + M_0 + \varphi^2 (1 - \cos \varphi) + T_0 r (1 - \cos \varphi) \quad (15.26)$$

в осевую точку

$$T(\varphi) = T_0 \cos \varphi + (Rr \sin \varphi) / 2 - \varphi r (1 - \cos \varphi) \quad (15.27)$$

По условию равновесия в проекциях на горизонтальную ось $T_0 = -\varphi r$, поэтому

$$M(\varphi) = - (Rr \sin \varphi)^2 / 2 + M_0, \quad T(\varphi) = Rr \sin \varphi / 2 - \varphi r. \quad (15.28)$$

Учитывая симметрию конструкции и нагрузки, определяем потенциальную энергию кожур с шпалером:

$$U = 2 \int_0^{\pi/2} \frac{M^2(\varphi)}{2EI} r d\varphi + 2 \int_0^{\pi/2} \frac{T^2(\varphi)}{2EF} r d\varphi + \frac{1}{2} \frac{R^2 - 2r}{2l}. \quad (15.29)$$

где l — момент инерции шпалера поперечного сечения кожур; F и I — площади поперечных сечений кожур и шпалера соответственно. На основании теоремы о наименьшей работе должны удовлетворяться уравнениям $\frac{\partial U}{\partial M_0} = 0$; $\frac{\partial U}{\partial T_0} = 0$, откуда с учетом выражений (15.26) и (15.28) для кожур постоянного сечения получим

$$\left. \begin{aligned} \frac{r}{EI} \int_0^{\pi/2} \left(-\frac{R}{2} r \sin \varphi + M_0 \right) d\varphi &= 0 \\ -\frac{2r^2}{EI} \int_0^{\pi/2} \left(-\frac{R}{2} r \sin \varphi + M_0 \right) \sin \varphi d\varphi + \\ + \frac{2r}{EF} \int_0^{\pi/2} \left(\frac{R}{2} \sin \varphi - \varphi r \right) \sin \varphi d\varphi + \frac{2Rr}{2l} &= 0. \end{aligned} \right\} \quad (15.30)$$

Решение уравнений (15.30) дает

$$M_0 = Rr/l; \quad (15.31)$$

$$R = \left(\frac{r}{l} \right) \left[\frac{2l}{r} \right] \left(\frac{1}{1} + \eta \right) / (1 + \eta) + 0,0744 \eta / l. \quad (15.32)$$

Наибольший момент и осевая сила в произвольном сечении кожур могут быть легко вычислены с использованием значений (15.31).

Одним из типов шпалера на напряженном состоянии кожур. При отступлении шпалера ($\eta > 0$) в состоянии кожур действует сжимающая нагрузка, определяемая формулой (15.32).

Рассмотрим случай отступания шпалера подкрепляющего шпалера ($\eta > 0$). Формулу (15.32) запишем следующим образом:

$$R = \left(\frac{r}{l} \right) \left[\frac{2l}{r} \right] \left(1 + \eta \right) + 0,0744 \eta / l. \quad (15.33)$$

Для кожур малой площади поперечного сечения кожур можно использовать оценку

$$l = \eta F A^2 / 2, \quad (15.34)$$

где $\eta \approx 0,06$, и убедиться, что третий член в дробителе выражения (15.33) относительно пренебрежительно мал, поскольку $\eta r < 0,1$. Поэтому

$$R \approx 2r A^2 / l^2. \quad (15.35)$$

Наибольший изгибающий момент действует в осевой точке, совпадающей с осью шпалера, и равен M_0 . Наименьшие же угловые напряжения сосредоточены в сечении $\varphi = \pi/2$:

$$| \sigma_{\max} | < | M_0 / I |,$$

или с учетом формулы (15.31)

$$| \sigma_{\max} | < R r / (2 I) \approx 2,12 \eta r A^2 / (F I). \quad (15.36)$$

Наименьший шпалера на кожурку сжимающих напряжений момент будет осевым для сечения $\varphi = \pi/2$:

$$T(\pi/2) = Rr/2 - \varphi r \approx -\varphi r (1 - 2\eta)^2. \quad (15.37)$$

Как следует из выражений (15.36) и (15.37) и их сравнение с напряжениями в шпалере без шпалера (15.24), шпалера шпалера на напряженном состоянии кожур

нестоюки и лежит в плоскости точности рассматриваемой теории криволинейных рам. Отметим также, что установка выноска по диаметру кольца не только не увеличивает напряжений в его сечении, но приводит к некоторому их локальному ослаблению в области шлица.

Вместе с тем установка выносов и других выделений в кольцевом раме, нагруженной внешним равномерно распределенным давлением, может потребоваться из иных соображений, не связанных с обеспечением их прочности.

Особенности расчета составных колец, в которые входят круговые дуги, нагруженные равномерно распределенной нагрузкой, и распорки. Из решения уравнений (15.25) вытекает, что любая дуга, вырезанная мысленно из кругового кольца, нагруженного равномерной нагрузкой q , будет находиться в равновесии, если к ее концам приложены усилия $T_0 = -qr$, направленные по касательной к дуге (рис. 15.9). Следовательно, и воздействие любой дуги на остальную часть кольца можно заменить углами φ_0 , направленными по касательным в точках раздела.



Рис. 15.9

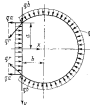


Рис. 15.10

Если в замкнутом равномерно нагруженном круговом кольце убрать его часть и заменить ее распоркой (рис. 15.10), то на распорку в ее концевых сечениях будут действовать силы qr , составляющие которых по направлениям осей координат ox и oy равны qa и qb (a — половина длины распорки; b — расстояние ее от центра кольца).



Рис. 15.11

Естественно, что в общем случае распорка будет вызывать изгиб кольца. Однако в реальных конструкциях, имеющих не нагруженные поперечной нагрузкой распорки, дополнительные напряжения связанные с изгибом кольца, будут иметь такую же относительно небольшую величину, как и в рассмотренной выше задаче об изгибе кольца, водоподдержанного.

Определим внутренние усилия в сечении стержней криволинейной рамы, состоящей из пересекающихся круговых балок, образующих замкнутый контур, и распорку (рис. 15.11). Применяя из-

ложенные выше правила определения внутренних усилий в дугах кольца и распорках, получим осевые усилия, действующие в частях круговых колец, $T_1 = \varphi r$, и осевые усилия в распорках $R = -qr\bar{O}_1\bar{O}_2$, где $\bar{O}_1\bar{O}_2$ — расстояние между центрами окружностей.

Этот метод расчета может быть распространяем на криволинейные рамы, состоящие из любого числа круговых дуг и распорок, при условии, что все узловые точки конструкции (точки соединения круговых дуг) располагаются на одной окружности. При выполнении этого условия рама в все ее стержни будет находиться в состоянии равновесия и в том случае, если в узловых точках расположить шарниры, что свидетельствует о близости напряженного состояния рассматриваемых рам к безмоментному (безмгновенному).

§ 15.4. Применение метода конечных элементов в расчетах криволинейных рам

Для расчета криволинейных рам, так же как для расчета любых стержневых систем, можно использовать МКЭ. В соответствии с основными идеями метода, криволинейная рама должна быть представлена как система конечного числа стержневых элементов, соединенных друг с другом в узловых точках. Поскольку любую точку оси стержня можно принять за узловую, для упрощения вычислений узловые точки целесообразно располагать таким образом, чтобы участки стержней между ними могли считаться призматическими стержневыми элементами.



Рис. 15.12

При таком подходе криволинейные оси стержней аппроксимируются ломаными линиями, а криволинейная рама в целом — многоэлементной косуголоубой рамой.

На рис. 15.12 показан пример аппроксимации шпандюльной рамы быстрозаходного корабля, изображенной на рис. 15.1. Исходные криволинейные переменного сечения стержни рамы заменимы совокупностью призматических элементов с помощью выбора положения 10 узловых точек. После такой замены расчет криволинейной рамы по МКЭ не отличается от расчета сложных рам с призматическими стержнями.

Отметим некоторые особенности метода применительно к задаче расчета плоской криволинейной рамы.

Наиболее целесообразно для расчета судовых криволинейных рам использовать метод переменной, первым шагом которого должно быть определение направлений возможных перемещений этих узловых точек. На этом этапе необходимо также установить ограничения смещений отдельных узлов, которые накладываются внешними связями (опорки, задельники и т. п.). Выполняя этот этап расчета, следует иметь в виду, что у судовых шпандюльных

рам податливости в направлениях, нормальных к контуру рамы, значительно превосходит податливость в направлениях касательной к их контуру. Это дает основание считать некоторые узлы рамы несмещаемыми.

Например, у рамы, изображенной на рис. 15.12, целесообразно считать узел I несмещаемым в вертикальном направлении. Кроме того, по симметричной конструкции и направленной нагрузке узлы J и K должны быть лишены свободы поворота и горизонтальных смещений.

Помимо общей системы координат осям должны быть введены локальные системы $o_i x_i y_i z_i$, число которых равно числу стержневых элементов, (i, j — номера узловых точек, ограничивающих элемент). Данные стержней $o_i x_i$ и их ориентация относительно осей общей системы координат осям являются известными, если определены координаты узловых точек x_i и y_i :

$$\left. \begin{aligned} l_{x_i j} &= \sqrt{(x_j - x_i)^2 + (y_j - y_i)^2}; & l_{x_i i} &= (x_j - x_i)/l_{ij}; \\ l_{y_i j} &= (y_j - y_i)/l_{ij}; & l_{y_i i} &= -(y_j - y_i)/l_{ij}; \\ l_{z_i j} &= (x_j - x_i)/l_{ij} \end{aligned} \right\} \quad (15.38)$$

где $l_{x_i j}, l_{y_i j}$ — направляющие косинусы оси $o_i x_i y_i z_i$; $l_{z_i j}, l_{z_i i}$ — то же оси $o_i y_i z_i$.

Как показано в предыдущих параграфах, в расчетах судовых криволинейных рам существенное значение имеет учет влияния деформаций изгиба деформаций растяжения-сжатия стержней. Поэтому наиболее подходящим талом конечного элемента является балочный элемент с шестью степенями свободы (рис. 15.13). Его матрица жесткости $[K]_{ij}$ в локальной системе координат может быть получена непосредственно из зависимости (11.85):

$$K_{ij} = \begin{bmatrix} 1 & 2 & 3 & 4 & 5 & 6 \\ EF/a & & & -EF/a & & \\ & 12EI/a^3 & 6EI/a^2 & & -12EI/a^3 & 6EI/a^2 \\ & & 4EI/a & & -6EI/a^2 & 2EI/a^2 \\ & & & EF/a & & \\ & & & & 12EI/a^3 & -6EI/a^2 \\ & & & & & 4EI/a \end{bmatrix} \quad (15.39)$$

В матрице (15.39) через F, I, a обозначены соответственно площадь поперечного сечения, момент инерции, длина i -го балочного конечного элемента.

Воспользовавшись данными § 11.7, нетрудно выписать также для каждого из конечных элементов рамы вектор узловых нагрузок $\{P\}_i$, эквивалентный внешним нагрузкам, приложенным к данному конечному элементу. В частности, если на элемент действуют продольная нагрузка интенсивностью $p_0 = \cos \varphi$ и поперечная интенсивностью $q_0 = \sin \varphi$, то вектор эквивалентных узловых усилий в местной системе координат примет вид:

$$\{P\}_i = \left\{ \frac{p_0 a}{2}, \frac{q_0 a}{2}, \frac{q_0 a^2}{12}, \frac{p_0 a}{2}, \frac{q_0 a}{2}, -\frac{q_0 a^2}{12} \right\}_i \quad (15.40)$$

Если интенсивности внешних нагрузок по длине элемента изменятся в соответствии с линейным законом $p(x) = p_0 x/a, q(x) = q_0 x/a$, то вектор эквивалентных узловых усилий запишется так:

$$\{P\}_i = \left\{ \frac{p_0 a}{6}, \frac{8q_0 a}{20}, \frac{q_0 a^2}{30}, \frac{p_0 a}{3}, \frac{7q_0 a}{20}, -\frac{q_0 a^2}{20} \right\}_i \quad (15.41)$$

Преобразование матрицы жесткости $[K]_{ij}$ и вектора эквивалентных узловых усилий $\{P\}_i$ при переходе от местной к общей системе координат осям выполняется с помощью зависимостей (11.47) и (11.48)

$$[K]_{ij} = [T]_{ij}^T [K]_{ij} [T]_{ij} \quad (15.42)$$

$$\{P\}_i = [T]_{ij}^T \{P\}_i \quad (15.43)$$

в которых применительно к рассматриваемому случаю матрица преобразования $[T]_{ij}$ имеет вид

$$[T]_{ij} = \begin{bmatrix} [I]_{ij} & 0 \\ 0 & [J]_{ij} \end{bmatrix}, \quad (15.44)$$

где

$$[I]_{ij} = \begin{bmatrix} l_{x_i i} & l_{x_i j} & l_{z_i i} \\ l_{y_i i} & l_{y_i j} & l_{z_i j} \\ l_{z_i i} & l_{z_i j} & l_{z_i j} \end{bmatrix} = \begin{bmatrix} l_{x_i} & m_{x_i} & 0 \\ l_{y_i} & m_{y_i} & 0 \\ 0 & 0 & 1 \end{bmatrix}$$

— матрица ориентации местной системы координат $o_i x_i y_i z_i$ относительно общей системы осям. Заметим, что в общей системе координат приняты тот же порядок нумерации и те же направления для положительных узловых перемещений (усилий), что и в местной системе координат (см. рис. 15.13).

После определения $[K]_{ij}$ и $\{P\}_i$ для всех конечных элементов рамы разрешающая система уравнений, перемещения узлов и усилия в узловых сечениях описываются с использованием наложенной в § 11.9 процедуры МКЭ.

Интересные вопросы

1. Какие стержневые системы называются криволинейными рамами?
2. Какие условия деформации принимаются при расчете судовых криволинейных рам?
3. Какие методы наиболее целесообразно применять для определения перемещений и раскрытия статической неопределенности криволинейных рам?

4. Какую характеристику possesses крутящее кольцо, нагруженное равномерно распределенной нагрузкой? Какое минимальное жесткое и изгибающее состояние возникает установка подпора?

5. Какого свойства равномерно распределенной нагрузки, действующей на криволинейную дугу, используется при определении изгибающих моментов, осевых и поперечных сил в произвольном сечении?

6. Как определяются условия в раскраске и других системах ям? При каких условиях изгиб ямки с раскраской можно считать пренебрежительно?

Глава 16. ИЗГИБ БАЛОК НА УПРУГОМ ОСНОВАНИИ И РОДСТВЕННЫЕ ЗАДАЧИ

§ 16.1. Балка на упругом основании как модель в расчетах судовых конструкций

Для судовых конструкций характерна регулярность (периодичность) структуры, что связано с постоянством ширины и размеров балок поперечного в продольном наборе на значительных участках корпуса судна. Такая регулярность приводит к необходимости расчета балок, опирающихся на большое число равностоящих упругих опор одинаковой жесткости (рис. 16.1).



Рис. 16.1



Рис. 16.2

Подобная расчетная схема применяется также и в задачах об изгибе судна на калыбках (и доке) или на спусковом устройстве на стапеле. В этих случаях корпус судна может быть представлен в виде балки, имеющей сложную структуру поперечного сечения, а калыбки или опоры спускового устройства в виде упругих опор (рис. 16.2).

Расчет балок на упругих опорах при любом их числе может быть выполнен методами, рассмотренными в гл. 13. Однако трудность расчета с увеличением числа упругих опор может оказаться значительной.

Для балок с большим количеством упругих опор, т. е. при $a/l \ll 1$ (l — длина балки, a — расстояние между упругими опорами), имеется возможность такой замены расчетной схемы, при которой упругая линия может быть найдена на основе решения дифференциального уравнения изгиба.

С целью получения такой схемы заменим реакцию i -й упругой опоры балки R_i нагрузкой r_i равномерно распределенной на ма-

лом участке длиной a , положим:

$$r_i = R_i/a, \quad (16.1)$$

[Имеется возможность оценить погрешность и значения изгибающих моментов в пролетах балки, возникающую при замене реакции всех промежуточных упругих опор распределенной криволинейной постоянной реактивной нагрузкой $r(x_i)$. Не останавливаясь на доказательстве, укажем, что эта погрешность имеет порядок $(a/l)^3$. Заметка, что реакция упругой опоры связана с ее просадкой ω_i соотношением

$$R_i = K_i \omega_i, \quad (16.2)$$

получим

$$r(x_i) = (K_i/a) \omega_i = k_i \omega(x_i), \quad (16.3)$$

где $k_i = K_i/a$ — погонный коэффициент жесткости.

Следующим шагом является аппроксимация кусочно-постоянной реактивной нагрузки $r(x_i)$ некоторой непрерывной функцией $r(x)$. Наиболее естественно это сделать, положим

$$r(x) = k(x) \omega(x). \quad (16.4)$$

Здесь $\omega(x)$ — упругая линия балки. Соотношением (16.4) выводится понятие непрерывного упругого основания переменной жесткости $k(x)$, обладающего тем свойством, что его реакция в любом сечении балки пропорциональна прогибу в этом сечении.

Понятие сплошного упругого основания, реакция которого удовлетворяет соотношению (16.4), широко используется в технике. Причем не всегда им заменяют большое число равностоящих упругих опор. Возможны случаи, когда нагруженная поперечной нагрузкой балка действительно покоится на сплошном основании. Конструкции стапелей и стальной палубы доков могут служить примерами таких сплошных оснований.

Однако соотношение (16.4) представляет лишь приближенное, предельно упрощенное описание свойств действительных сплошных оснований. Применительно к этим основаниям формула (16.4) выражает так называемую *модель Вимслера*, входящую широко примененные в расчетах прочности сооружений.

Отметим также, что упругое основание типа стальной или стальной-палубы дока не сопровождается срыванием, поэтому применять (16.4) можно только при условии $\omega(x) \geq 0$.

§ 16.2. Дифференциальное уравнение изгиба балки на сплошном упругом основании и его интеграл

Дифференциальное уравнение изгиба балки на упругом основании. Рассмотрим изгиб балки переменного сечения, лежащей на сплошном упругом основании, погонная жесткость которого $k(x)$ (рис. 16.3). Расположение осей координат, принята знаков для про-

гибкой, нагрузкой, перерезывающих сил и изгибающих моментов применены также же, как в задачах нагиба балок (см. гл. 13).

В соответствии с выражением (16.4) положительные реакции упругого основания направлены снизу вверх, поэтому полная нагрузка на балку равна

$$q_0(x) = q(x) - r(x), \quad (16.5)$$

где $q(x)$ — интенсивность внешней поперечной нагрузки на балку.

Дифференциальное уравнение изгиба балки переменного сечения (без учета деформаций сдвига)

$$[EI(x)w''(x)]'' = q_0(x) \quad (16.6)$$

после подстановки в него выражений (16.4) и (16.5) преобразуется к виду

$$[EI(x)w''(x)]'' + k(x)w(x) = q(x). \quad (16.7)$$

Уравнение (16.7) и представляет собой искомое дифференциальное уравнение изгиба балки, лежащей на сплошном упругом основании переменной жесткости.

Для балки постоянного сечения ($I = \text{const}$), лежащей на упругом основании постоянной жесткости ($k = \text{const}$), вместо формулы (16.7) получим

$$EIw''''(x) + k_0w(x) = q(x), \quad (16.8)$$

Общий интеграл уравнения (16.8) при $q(x) = 0$. Как известно, общий интеграл линейного дифференциального уравнения представляет собой сумму общего интеграла соответствующего однородного уравнения и частного решения, зависящего от вида правой части.

Общий интеграл $w_0(x)$ однородного уравнения 4-го порядка

$$EIw_0''''(x) + k_0w_0(x) = 0 \quad (16.9)$$

является суммой четырех линейно независимых частных решений, для отыскания которых можно воспользоваться подстановкой Эйлера:

$$w_0(x) = Ae^{\eta x}. \quad (16.10)$$

После подстановки формулы (16.10) в выражение (16.9) получим характеристическое уравнение

$$EI\eta^4 + k = 0, \quad (16.11)$$

четыре корня которого и определяет линейно независимые решения вида (16.10).

Из уравнения (16.11) следует, что

$$\eta^2 = \pm i \sqrt{k/4EI},$$

где $i = \sqrt{-1}$. Поскольку $\sqrt{i} = (1 + i)/\sqrt{2}$; $\sqrt{-i} = (1 - i)/\sqrt{2}$, все четыре корня уравнения (16.11) равны

$$\eta_1, 2, 3, 4 = \pm \alpha(1 \pm i). \quad (16.12)$$

Здесь

$$\alpha = \sqrt{k/4EI}. \quad (16.13)$$

Найденным значением η соответствует общий интеграл уравнения (16.9):

$$w_0(x) = e^{\alpha x} (A_1 e^{i\alpha x} + A_2 e^{-i\alpha x}) + e^{-\alpha x} (A_3 e^{i\alpha x} + A_4 e^{-i\alpha x}), \quad (16.14)$$

где A_1, A_2, A_3, A_4 — произвольные постоянные. Комплексные функции $e^{i\alpha x}$ и $e^{-i\alpha x}$ неудобны для вычисления, поэтому заменим их тригонометрическими с помощью формулы

$$e^{\pm i\alpha x} = \cos \alpha x \pm i \sin \alpha x.$$

Комплексные произвольные постоянные A_i также представим через вещественные:

$$A_{1,2} = (B_1 \pm iB_2)/2; \quad A_{3,4} = (B_3 \pm iB_4)/2.$$

В результате получим вместо выражения (16.14) формулу

$$w_0(x) = e^{\alpha x} (B_1 \cos \alpha x + B_2 \sin \alpha x) + e^{-\alpha x} (B_3 \cos \alpha x + B_4 \sin \alpha x). \quad (16.15)$$

Можно также воспользоваться известными зависимостями для гиперболических функций

$$\text{ch } \alpha x = (e^{\alpha x} + e^{-\alpha x})/2; \quad \text{sh } \alpha x = (e^{\alpha x} - e^{-\alpha x})/2. \quad (16.16)$$

Тогда из формулы (16.15) получим общий интеграл однородного уравнения в следующей форме:

$$w_0(x) = C_0 \text{ch } \alpha x \cos \alpha x + C_1 \text{ch } \alpha x \sin \alpha x + C_2 \text{sh } \alpha x \sin \alpha x + C_3 \text{sh } \alpha x \cos \alpha x. \quad (16.17)$$

Полученные выше три формы записи общего интеграла однородного уравнения, хотя их и используют для решения некоторых задач, неудобны для вычисления и, в частности, дифференцирования, так как содержат произведения функций. К тому же, ни одна из приведенных выше форм общего интеграла не позволяет получить решения по методу начальных параметров для балок на упругом основании. Целесообразно поэтому выразить общий интеграл однородного уравнения (16.9) через специально подобранные функции, которые удовлетворяли бы при $x = 0$ условиям, обеспечивающим применение метода начальных параметров.

Пусть $V_0(\alpha x), V_1(\alpha x), V_2(\alpha x), V_3(\alpha x)$ — четыре искомого функции, каждая из которых, кроме того, является частным решением уравнения (16.9). Тогда общий интеграл уравнения (16.9) можно представить в форме

$$w_0(x) = D_0 V_0(\alpha x) + D_1 V_1(\alpha x) + D_2 V_2(\alpha x) + D_3 V_3(\alpha x). \quad (16.18)$$

Естественно, что функции $V_i(\alpha x)$ линейно независимы между собой.



Рис. 16.3

Оценимо, каждую из функций $V_i(\alpha x)$ можно отыскивать в форме

$$V_i(\alpha x) = a_i \operatorname{ch} \alpha x \cos \alpha x + b_i \operatorname{ch} \alpha x \sin \alpha x + c_i \operatorname{sh} \alpha x \cos \alpha x + d_i \operatorname{sh} \alpha x \sin \alpha x, \quad i = 0, 1, 2, 3, \quad (16.19)$$

поскольку выражение в правой части (16.19) представляет собой общий интеграл уравнения (16.9). Что касается постоянных a_i, b_i, c_i, d_i , то для достижения поставленных целей будем их определять, подставив матрицу начальных значений функций $V_i(\alpha x)$ и их производных следующим образом:

$$\begin{cases} V_0(0) & V_0'(0) & V_0''(0) & V_0'''(0) \\ V_1(0) & V_1'(0) & V_1''(0) & V_1'''(0) \\ V_2(0) & V_2'(0) & V_2''(0) & V_2'''(0) \\ V_3(0) & V_3'(0) & V_3''(0) & V_3'''(0) \end{cases} = \begin{bmatrix} 1 & 0 & 0 & 0 \\ 0 & \sqrt{2} a & 0 & 0 \\ 0 & 0 & 2a^2 & 0 \\ 0 & 0 & 0 & 2\sqrt{2} a \end{bmatrix}. \quad (16.20)$$

Из общей теории линейных дифференциальных уравнений известно, что частные решения однородного дифференциального уравнения (16.9) будут линейно независимыми, если определитель матрицы начальных значений функций и их производных (определятель Вронского) отличен от нуля. Это условие при выборе значений (16.20) выполнено. Кроме того, начальные значения функций выбраны таким образом, чтобы сделать удобным применение метода начальных параметров.

Постоянные a_0, b_0, c_0, d_0 исходя из условий, определяемых первой строкой матричного равенства (16.20), равны $a_0 = 1, b_0 = c_0 = d_0 = 0$, следовательно, $V_0(\alpha x) = \operatorname{ch} \alpha x \cos \alpha x$. Используя вторую строку (16.20) для отыскания a_1, b_1, c_1, d_1 , получим $V_1(\alpha x)$. Аналогично находим $V_2(\alpha x)$ и $V_3(\alpha x)$. Таким образом определяем четыре линейно независимых решения уравнения (16.9):

$$V \begin{cases} V_0(\alpha x) = \operatorname{ch} \alpha x \cos \alpha x; \\ V_1(\alpha x) = \frac{1}{\sqrt{2}} (\operatorname{ch} \alpha x \sin \alpha x + \operatorname{sh} \alpha x \operatorname{ch} \alpha x); \\ V_2(\alpha x) = \operatorname{sh} \alpha x \sin \alpha x; \\ V_3(\alpha x) = \frac{1}{\sqrt{2}} (\operatorname{ch} \alpha x \sin \alpha x - \operatorname{sh} \alpha x \cos \alpha x). \end{cases} \quad (16.21)$$

Функции (16.21) были получены Н. П. Пузыревским и носят его имя.

Выполнив дифференцирование, обнаруживаем следующие правила отыскания производных функций Пузыревского:

$$V \begin{cases} V_1'(\alpha x) = \sqrt{2} a V_2(\alpha x); & V_2'(\alpha x) = \sqrt{2} a V_1(\alpha x); \\ V_1''(\alpha x) = \sqrt{2} a V_3(\alpha x); & V_3'(\alpha x) = -\sqrt{2} a V_2(\alpha x). \end{cases} \quad (16.22)$$

Итак, производная функции $V_i(\alpha x)$ равна функции $V_{i-1}(\alpha x)$, умноженной на $\sqrt{2} a$. Исключение составляет лишь функция $V_0(\alpha x)$, производная от которой равна $-a\sqrt{2} V_3(\alpha x)$.

Для определения значений $V_i(\alpha x)$ имеются таблицы [51, т. 1], чем значительно облегчается применение этих функций в расчетах.

Функции Пузыревского весьма удобны для использования в различных задачах кватерниона базиса на сложном удрутом основании, если аргумент $\alpha x_0 = \sqrt[4]{kx_0^2/4E}$ (x_0 — абсцисса сечения, для которого производят вычисление функции) имеет умеренные значения ($\alpha x_0 < 4$). При увеличении аргумента значения функций $V_i(\alpha x)$ быстро растут, что приводит к численным трудностям — погрешности малых разностей близких величин в решениях уравнений, определяющих произвольные постоянные D .

После подстановки в зависимости (16.21) выражений для гиперболических функций (16.16) получим, что каждая из функций Пузыревского представляет собой сумму убывающей и возрастающей частей. Например, $V_0(\alpha x) = e^{-\alpha x} \cos \alpha x / 2 + e^{\alpha x} \cos \alpha x / 2$. Для преодоления отмеченного выше вычислительного затруднения Г. В. Клишнев предложил использовать в расчетах лишь убывающие части функций Пузыревского, т. е. функции (множитель $1/2$ опускаем):

$$W \begin{cases} W_0(\alpha x) = e^{-\alpha x} \cos \alpha x; \\ W_1(\alpha x) = e^{-\alpha x} (-\cos \alpha x + \sin \alpha x) / \sqrt{2}; \\ W_2(\alpha x) = -e^{-\alpha x} \sin \alpha x; \\ W_3(\alpha x) = e^{-\alpha x} (\cos \alpha x + \sin \alpha x) / \sqrt{2}. \end{cases} \quad (16.23)$$

Для функций $W_i(\alpha x)$ также имеются таблицы [50, 51].

Функции Клишнева (16.23), очевидно, являются частными интегралами однородного уравнения (16.10) и подчиняются тому же правилу дифференцирования, что и функции Пузыревского. Однако функции (16.23) линейно зависимы, и выражение $F(x) = -c_0 W_0(\alpha x) + c_1 W_1(\alpha x) + c_2 W_2(\alpha x) + c_3 W_3(\alpha x)$ является общим интегралом уравнения (16.9). В линейной зависимости функций Клишнева нетрудно убедиться, поскольку, например, $W_3(\alpha x) = -[W_0(\alpha x) + W_2(\alpha x)] / \sqrt{2}$; $W_1(\alpha x) = [W_0(\alpha x) - W_2(\alpha x)] / \sqrt{2}$ и т. д. Вместе с тем любые две функции (16.23) линейно независимы, так как их отношение не равно постоянному числу. Это позволяет представить общий интеграл однородного уравнения (16.9) в виде

$$W \begin{cases} W_0(x) = AW_i(\alpha x) + BW_j(\alpha x) + CW_g [a(i-x)] + \\ + DW_h [a(j-x)], \end{cases} \quad (16.24)$$

где $i \neq j$ и $g \neq h$. Индексы i, j, g, h могут принимать любые значения от 0 до 3, их выбор определяется удобством удовлетворения граничным условиям.

При обращении аргумента в нуль функции Кандиевича принимают следующие значения:

$$W_1(0) = 1; W_2(0) = -1/\sqrt{2}; W_3(0) = 0; W_4(0) = 1/\sqrt{2}. \quad (16.25)$$

Общий интеграл (16.24) содержит два частных решения, убывающих с ростом абсциссы x , и два, возрастающих по мере увеличения x . Доказательство линейной независимости частных решений, входящих в выражение (16.24), можно получить, составив определитель Вронского и показав, что он не равен нулю.

Частные решения неоднородного уравнения (16.8). Остановимся далее на определении частных решений неоднородного уравнения (16.8). Рассмотрим прежде всего простейший случай, когда нагрузка $q(x)$ непрерывна на длине балки и может быть представлена полиномом n -ой степени не выше третьей:

$$q(x) = q_0 + q_1(x/l) + q_2(x/l)^2 + q_3(x/l)^3. \quad (16.26)$$

Подстановкой в уравнение (16.8) убеждаемся, что в этом случае

$$w_{n,p}(x) = q(x)/k. \quad (16.27)$$

Если нагрузка, действующая на балку, непрерывна, но изменяется по более сложному закону, ее можно представить в виде ряда Фурье по тригонометрическим функциям:

$$q(x) = q_0 + \sum_{n=1}^{\infty} q_n^{(1)} \sin n\pi x/l + \sum_{n=1}^{\infty} q_n^{(2)} \cos n\pi x/l. \quad (16.28)$$

Частное решение следует разыскивать также в виде ряда

$$w_{n,p}(x) = q_0/k + \sum_{n=1}^{\infty} A_n \sin n\pi x/l + \sum_{n=1}^{\infty} B_n \cos n\pi x/l, \quad (16.29)$$

коэффициенты которого A_n и B_n должны определяться после подстановки выражений (16.28) и (16.29) в уравнение (16.8):

$$A_n = q_n^{(1)}/[EI(\pi n/l)^2 + k]; \quad B_n = q_n^{(2)}/[EI(\pi n/l)^2 + k]. \quad (16.30)$$

Метод начальных параметров. Представление в форме ряда (16.28) может быть применено и в случаях действия нагрузок, имеющих вид разрывных функций. Однако значительно более удобным и универсальным в таких задачах является метод начальных параметров.

Пусть на балку, лежащую на сплошном упругом основании, действует в сечении $x = c_1$ сосредоточенная сила P (рис. 16.4). Выражение для нагрузки в рассматриваемом случае можно представить в виде

$$q(x) = P\delta(x - c_1). \quad (16.31)$$

Дифференциальное уравнение изгиба балки

$$EIw''''(x) + kw(x) = P\delta(x - c_1) \quad (16.32)$$

после однократного интегрирования перепишем в виде

$$EIw'''(x) + k \int w(x) dx = P\sigma(x - c_1) + N_0 = k_0 P + N_0, \quad (16.33)$$

где $\sigma(x - c_1)$ — функция единичного скачка (15.16); N_0 — произвольная постоянная, представляющая собой значение перерезывающей силы в начале координат.

Поскольку необходимое число произвольных постоянных, определяемых из граничных условий, содержится в общем интеграле однородного уравнения, при отыскании частного решения уравнения (16.33) достаточно найти такое выражение для $w(x)$, которое при подстановке в левую часть уравнения (16.33) обращает ее в $P\sigma(x - c_1)$. Непосредственной подстановкой убеждаемся, что выражение

$$w_{n,p}(x) = k_0 P V_3[\alpha(x - c_1)] / (2\sqrt{2} \alpha^2 EI) \quad (16.34)$$

удовлетворяет этому условию. При дифференцировании этого выражения следует иметь в виду, что в точке $x = c_1$ определяется правосторонняя производная (при $x - c_1 > 0$). Тогда

$$EIw''''_{n,p}(x) = k_0 P V_3[\alpha(x - c_1)];$$

$$k \int_0^x w_{n,p} dx - k \int_0^x w_{n,p} dx = -k_0 P [V_3[\alpha(x - c_1)] - 1].$$

Если в сечении $x = c_1$ действует сосредоточенный изгибающий момент (рис. 16.5, а), то его можно представить в виде двух направленных в противоположные стороны сосредоточенных сил $P = -M/\Delta c_1$, приложенных в сечениях $x = c_1$ и $x = c_1 + \Delta c_1$, при



Рис. 16.5

$\Delta c_1 \rightarrow 0$. При этом, если ввести в рассмотрение функцию Дирака, интенсивность потеревой нагрузки для балки, изображенной на рис. 16.5, б, определится выражением

$$q(x) = P\delta(x - c_1) - P\delta(x - c_1 - \Delta c_1). \quad (16.35)$$

Частное решение для каждого из слагаемых в правой части (16.35) может быть найдено по формуле (16.34):

$$w_{n,p}(x) = k_0 P [V_3[\alpha(x - c_1)] - V_3[\alpha(x - c_1 - \Delta c_1)]] / (2\sqrt{2} \alpha^2 EI).$$

Умножив в разделе правую часть полученного выражения на Δc_2 и перейдя к пределу при $\Delta c_2 \rightarrow 0$, получим искомого частное решение

$$w_{\Delta c_2}(x) = k_0 \Delta V_1 [\alpha(x - c_2)] / (2\alpha^2 EI), \quad (16.36)$$

Располагая формулами (16.34) и (16.36) и используя метод наложения, можно найти частное решение уравнения (16.8) при любом виде нагрузки $q(x)$. Пусть, например, произвольная поперечная нагрузка действует на участке длиной балки от $x = c_2$ до $x = l$ (рис. 16.6). Выделим на расстоянии c от начала координат элементарную силу $q(c)dc$. Соответствующее ей частное решение на основании выражения (16.34) равно

$$\Delta w_{\Delta c_2}(x) = k_0 q(x) dc V_1 [\alpha(x - c)] \times \\ \times I / (2\sqrt{2} \alpha^2 EI).$$

Суммируя действие всех элементарных сил для произвольного сечения $x \geq c_2$, получаем

$$w_{\Delta c_2} = k_0 \int_{c_2}^x q(c) V_1 [\alpha(x - c)] dc / (2\sqrt{2} \alpha^2 EI). \quad (16.37)$$

В частном случае при $q(x) = q = \text{const}$ из формулы (16.37) следует (удобно использовать замену переменных под интегралом $x - c = \xi$, $dc = -d\xi$)

$$w_{\Delta c_2} = k_0 \frac{q}{\alpha^2 EI} V_1(\alpha \xi) \Big|_{c_2}^x = k_0 \frac{q}{I} \left\{ 1 - V_1[\alpha(x - c_2)] \right\}. \quad (16.38)$$

Если нагрузка $q(x)$ действует на ограниченном участке длиной балки $c_2 \leq x \leq c_1$ ($c_1 < l$), ее следует продлить, сохранив непрерывность функции $q(x)$ до сечения $x = l$, приложив на участке балки $c_1 \leq x \leq l$ нагрузку той же интенсивности, но противоположно направленную. Этим приемом обеспечивается возможность применения решения (16.37) к общим нагрузкам и возможность искомого решения балки.

§ 16.3. Определение параметров изгиба однопролетных балок на упругом основании

При расчете некоторых судовых конструкций необходимо определять элементы изгиба однопролетных балок, лежащих на упругом основании и нагруженных нагрузками простейшего вида: распределенной равномерно или по линейному закону, имеющей вид сосредоточенной силы, сосредоточенного момента и т. д.

Важно поэтому для наиболее распространенных случаев нагрузки и условий закрепления располагать готовые решения в таблицах для определения параметров изгиба. Подчеркнем, что в рассматриваемых решениях не учитываются деформации сдвига.

Балка, свободно опертая на заданные опоры с коэффициентом податливости A и нагруженная равномерно распределенной нагрузкой (рис. 16.7). Вследствие симметрии устройства и нагрузки балка ее упругая линия также будет симметричной относительно середины пролета. Располагая начало координат посередине балки, получаем, что $w(x)$ должна быть функцией, симметричной относительно сечения $x = 0$, т. е. функцией четной. Поэтому в общем интеграле дифференциального уравнения изгиба балки $EIw'''' + k_0 w = q$ следует сохранить только четные функции.

Воспользуемся выражением (16.18) общего интеграла однородного уравнения через функции Пузыревского, заметив, что в соответствии с формулой (16.21) функции с четными индексами $V_2(\alpha x)$ и $V_4(\alpha x)$ являются четными, а $V_1(\alpha x)$ и $V_3(\alpha x)$ — нечетными. Частное решение представим в соответствии с зависимостью (16.27):

$$w(x) = q/k + D_1 V_0(\alpha x) + D_2 V_2(\alpha x). \quad (16.39)$$

Таким образом, понятие о четности функции $w(x)$ позволило определить две из четырех произвольных постоянных, содержащихся в интеграле (16.18): $D_1 = D_3 = 0$. Такой же результат, естественно, был бы получен и при удовлетворении граничных условий на обоих концах балки.

Постоянные D_2 и D_4 должны быть найдены из граничных условий

$$\text{при } x = 0, \quad w'' = 0; \quad w = AEIw'''. \quad (16.40)$$

После подстановки выражения (16.39) и (16.40) получим систему уравнений

$$\left. \begin{aligned} D_2 V_2(\alpha) - D_4 V_4(\alpha) &= 0; \\ -2\sqrt{2} \alpha^2 EIA \{ D_2 V_2(\alpha) + D_4 V_4(\alpha) \} &= q/k + D_0 V_0(\alpha) + D_2 V_2(\alpha), \end{aligned} \right\} \quad (16.41)$$

где

$$\alpha = 0,5\alpha_0 = 0,5\sqrt{k_0/(4EI)} = \sqrt{k_0/(64EI)}. \quad (16.42)$$

Величина α является безразмерной характеристикой жесткости упругого основания. В частности, $\alpha = 0$ означает, что упругое основание отсутствует.

Определим произвольные постоянные из уравнений (16.41), получим выражение для упругой линии

$$w(x) = \frac{q}{k} \left[1 - \frac{V_2(\alpha) V_2(\alpha x) + V_4(\alpha) V_4(\alpha x)}{V_2^2(\alpha) + V_4^2(\alpha)} \frac{1}{1 + B} \right], \quad (16.43)$$

Здесь

$$B = Ak/k_0(\alpha)^2, \quad (16.44)$$

Таблица 16.1. Значения аксиоматических функций для расчета фазовых диаграмм упрощенной системы

α	γ_0	γ_1	γ_2	γ_3	γ_4	γ_5	γ_6	γ_7	γ_8	γ_9	γ_{10}	γ_{11}	γ_{12}	γ_{13}	γ_{14}	γ_{15}
0,0	1,000	1,000	1,000	1,000	1,000	1,000	1,000	1,000	1,000	1,000	1,000	1,000	1,000	1,000	1,000	1,000
0,1	1,000	1,000	1,000	1,000	1,000	1,000	1,000	1,000	1,000	1,000	1,000	1,000	1,000	1,000	1,000	1,000
0,2	0,980	1,020	0,999	1,000	1,000	0,999	1,000	1,000	0,999	1,000	1,000	0,999	1,000	1,000	1,000	0,986
0,3	0,905	0,995	0,986	0,989	0,989	0,989	0,987	0,987	0,986	0,986	0,986	0,985	0,985	0,984	0,983	0,980
0,4	0,829	0,956	0,900	0,905	0,905	0,907	0,900	0,900	0,898	0,898	0,898	0,897	0,897	0,896	0,895	0,894
0,5	0,850	0,960	0,889	0,891	0,891	0,891	0,889	0,889	0,888	0,888	0,888	0,887	0,887	0,887	0,886	0,885
0,6	0,901	0,979	0,919	0,920	0,920	0,920	0,918	0,918	0,917	0,917	0,917	0,916	0,916	0,915	0,915	0,914
0,7	0,927	0,981	0,925	0,927	0,927	0,927	0,925	0,925	0,924	0,924	0,924	0,923	0,923	0,922	0,922	0,921
0,8	0,970	0,995	0,940	0,941	0,941	0,941	0,939	0,939	0,938	0,938	0,938	0,937	0,937	0,936	0,936	0,935
0,9	0,919	0,989	0,950	0,951	0,951	0,951	0,949	0,949	0,948	0,948	0,948	0,947	0,947	0,946	0,946	0,945
1,0	0,986	0,982	0,981	0,981	0,981	0,981	0,980	0,980	0,980	0,980	0,980	0,979	0,979	0,979	0,978	0,978
1,1	0,980	0,985	0,984	0,984	0,984	0,984	0,983	0,983	0,983	0,983	0,983	0,982	0,982	0,982	0,981	0,981
1,2	0,972	0,978	0,977	0,977	0,977	0,977	0,976	0,976	0,976	0,976	0,976	0,975	0,975	0,975	0,974	0,974
1,3	0,178	0,623	0,337	0,712	0,781	0,836	0,862	0,862	0,861	0,861	0,861	0,860	0,860	0,859	0,858	0,857
1,4	0,100	0,679	0,362	0,685	0,725	0,765	0,785	0,785	0,784	0,784	0,784	0,783	0,783	0,782	0,782	0,781
1,5	0,087	0,692	0,368	0,676	0,708	0,748	0,768	0,768	0,767	0,767	0,767	0,766	0,766	0,765	0,765	0,764

1,6	-0,013	0,411	0,354	0,589	0,591	0,610	0,620	0,620	0,619	0,619	0,619	0,618	0,618	0,617	0,617	0,616
1,7	-0,052	0,335	0,129	0,444	0,537	0,442	0,417	0,417	0,416	0,416	0,416	0,415	0,415	0,414	0,414	0,413
1,8	-0,081	0,264	0,301	0,384	0,483	0,417	0,384	0,384	0,383	0,383	0,383	0,382	0,382	0,382	0,381	0,381
1,9	-0,122	0,201	0,675	0,328	0,439	0,354	0,328	0,328	0,327	0,327	0,327	0,326	0,326	0,326	0,325	0,325
2,0	-0,117	0,144	0,662	0,279	0,397	0,375	0,375	0,375	0,374	0,374	0,374	0,373	0,373	0,373	0,372	0,372
2,1	-0,130	0,094	0,637	0,197	0,325	0,341	0,341	0,341	0,340	0,340	0,340	0,339	0,339	0,339	0,338	0,338
2,2	-0,133	0,054	0,637	0,137	0,325	-0,341	-0,341	-0,341	0,324	0,324	0,324	0,323	0,323	0,323	0,322	0,322
2,3	-0,135	-0,009	0,621	0,136	0,269	0,313	-0,011	0,055	0,294	0,294	0,294	0,293	0,293	0,293	0,292	0,292
2,4	-0,127	-0,051	0,611	0,092	0,225	0,290	-0,009	0,042	0,189	0,189	0,189	0,188	0,188	0,188	0,187	0,187
2,5	-0,114	-0,074	0,605	0,060	0,193	0,268	-0,006	0,024	0,177	0,177	0,177	0,176	0,176	0,176	0,175	0,175
2,6	-0,099	-0,085	0,602	0,058	0,167	0,250	-0,003	0,008	0,166	0,166	0,166	0,165	0,165	0,165	0,164	0,164
2,7	-0,081	-0,087	-0,000	0,053	0,146	0,234	-0,001	0,023	0,156	0,156	0,156	0,155	0,155	0,155	0,154	0,154
2,8	-0,064	-0,082	-0,030	0,042	0,129	0,221	0,000	0,019	0,147	0,147	0,147	0,146	0,146	0,146	0,145	0,145
2,9	-0,049	-0,073	-0,032	0,039	0,115	0,208	0,000	0,016	0,139	0,139	0,139	0,138	0,138	0,138	0,137	0,137
3,0	-0,035	-0,063	-0,032	0,032	0,104	0,177	0,000	0,014	0,132	0,132	0,132	0,131	0,131	0,131	0,130	0,130
3,1	-0,024	-0,052	-0,032	-0,061	0,094	0,168	0,000	0,012	0,125	0,125	0,125	0,124	0,124	0,124	0,123	0,123
3,2	-0,015	-0,041	-0,032	-0,032	0,085	0,179	0,000	0,010	0,119	0,119	0,119	0,118	0,118	0,118	0,117	0,117
3,3	-0,008	-0,031	-0,061	-0,069	0,079	0,171	0,000	0,009	0,114	0,114	0,114	0,113	0,113	0,113	0,112	0,112
3,4	-0,002	-0,022	-0,061	-0,063	0,071	0,163	0,000	0,008	0,108	0,108	0,108	0,107	0,107	0,107	0,106	0,106
3,5	0,001	-0,013	-0,061	-0,062	0,065	0,156	0,000	0,007	0,104	0,104	0,104	0,103	0,103	0,103	0,102	0,102
3,6	0,004	-0,009	-0,061	-0,062	0,060	0,150	0,000	0,006	0,100	0,100	0,100	0,099	0,099	0,099	0,098	0,098

где

$$\mu_2(u) = [V_2(u)V_1(u) + V_2(u)V_1(u)] \sqrt{\frac{1}{2} \alpha [V_2^2(u) + V_1^2(u)]}. \quad (16.45)$$

Используя выражение упругой линии (16.43), можно определить параметры изгиба (прогибы, углы поворота, изгибающие моменты, перерезывающие силы) в любом сечении балки. Практический интерес, однако, представляют лишь их наибольшие значения в некоторых характерных сечениях. Так, наибольшая средняя прогиба при $x=0$ равна

$$w(0) = (q/k) [1 - \varphi_1(\alpha) / (1 + B)], \quad (16.46)$$

где

$$\varphi_1(\alpha) = V_0(\alpha) \sqrt{[V_1^2(u) + V_2^2(u)]}. \quad (16.47)$$

Угол поворота сечений при $x = \pm 0,5l$ определяют по формуле

$$w'(\pm 0,5l) = \mp [q \alpha^2 / 24EI] [\Psi_2(\alpha) / (1 + B)], \quad (16.48)$$

в которой

$$\Psi_2(\alpha) = (3/2 \sqrt{2}) [V_0(\alpha) V_2(u) - V_1(\alpha) V_2(u)] / \alpha^2 [V_1^2(u) + V_2^2(u)]. \quad (16.49)$$

Изгибающий момент посередине пролета вычисляют так:

$$M(0) = EI w''|_{x=0} = - (q \alpha^2 / 8) [\chi_0(\alpha) / (1 + B)], \quad (16.50)$$

где

$$\chi_0(\alpha) = V_2(\alpha) \sqrt{[V_1^2(u) + V_2^2(u)]}. \quad (16.51)$$

Наибольшее значение перерезывающей силы равно

$$N(\pm 0,5l) = \pm w(\pm 0,5l) / A = \pm q \mu_1(\alpha) / [2(1 + B)]. \quad (16.52)$$

Интенсивность нагрузки балки посредине и в опорном сечении находят по формулам

$$\left. \begin{aligned} q_1(0) &= q - kw(0) = q [\mu_1(\alpha) / (1 + B)]; \\ q_1(0,5l) &= q - kw(0,5l) = q [1 / (1 + B)]. \end{aligned} \right\} \quad (16.53)$$

Выражения (16.48), (16.50), (16.52), (16.53) содержат в качестве первого сомножителя значение соответствующего параметра изгиба балки без упругого основания. Множителем $1/(1+B)$ учитывается влияние податливости упругих опор, причем $B=0$ при $A=0$ и $B=0$ при $\alpha=0$, поскольку при отсутствии упругого основания податливость опор не влияет на углы поворота, изгибающие моменты и перерезывающие силы расматриваемой балки. Функции $\varphi_0(\alpha)$, $\varphi_1(\alpha)$, $\chi_0(\alpha)$, $\mu_1(\alpha)$ учитываются в таблице жесткости упругого основания на параметры изгиба. Все эти функции образуются в единицу при $\alpha=0$. Численные значения данных функций приведены в табл. 16.1.

Балка, жестко заделанная на податливых опорах с коэффициентом податливости A и нагруженная равномерно распределенной нагрузкой (рис. 16.8). Эта задача отличается от предыдущей только тем, что общий интеграл (16.39) следует теперь дополнить граничным условием жесткой заделки на прогибающей опоре

$$\text{при } x=0,5l \quad w'=0; \quad w = AEI w''', \quad (16.54)$$

Выражение для упругой линии примет вид

$$w(x) = \frac{q}{k} \left[1 - \frac{V_1(\alpha) V_2(\alpha x) + V_2(\alpha) V_1(\alpha x)}{V_0(\alpha) V_1(\alpha) + V_2(\alpha) V_2(\alpha)} \cdot \frac{1}{1+B} \right], \quad (16.55)$$

где

$$B_1 = AEI \mu_1(\alpha) / 2. \quad (16.56)$$

В свою очередь,

$$\mu_1(\alpha) = [V_1^2(u) + V_2^2(u)] \sqrt{\frac{1}{2} \alpha [V_2(u) V_1(u) + V_2(u) V_2(u)]}. \quad (16.57)$$

Из выражения (16.55) следуют приведенные ниже формулы для параметров изгиба балки в характерных сечениях.



Рис. 16.8



Рис. 16.9

Наибольшая средняя прогиба при $x=0$

$$w(0) = (q/k) [1 - \varphi_1(\alpha) / (1 + B)], \quad (16.58)$$

где

$$\varphi_1(\alpha) = V_1(\alpha) \sqrt{[V_0(\alpha) V_1(u) + V_2(u) V_2(u)]}. \quad (16.59)$$

Изгибающий момент посредине балки

$$M(0) = - (q \alpha^2 / 24) [\chi_0(\alpha) / (1 + B)], \quad (16.60)$$

притом

$$\chi_0(\alpha) = 3V_2(\alpha) \sqrt{[V_0(\alpha) V_1(u) + V_2(u) V_2(u)]}. \quad (16.61)$$

Изгибающий момент в заделке

$$M(\pm 0,5l) = (q \alpha^2 / 12) [\chi_2(\alpha) / (1 + B)], \quad (16.62)$$

где

$$\chi_2(\alpha) = \frac{3}{\alpha^2} \frac{V_1(\alpha) V_2(\alpha) - V_2(\alpha) V_1(\alpha)}{V_0(\alpha) V_1(\alpha) + V_2(\alpha) V_2(\alpha)}. \quad (16.63)$$

Перерезывающая сила на опорах равна

$$N(\pm 0,5l) = \pm w(\pm 0,5l) / A = \pm (q/2) [\mu_1(\alpha) / (1 + B)]. \quad (16.64)$$

Интенсивность нагрузки балки посредине и в опорном сечении определяется соответствующими формулами

$$\left. \begin{aligned} q_1(0) &= q \mu_1(\alpha) / (1 + B); \\ q_1(0,5l) &= q / (1 + B). \end{aligned} \right\} \quad (16.65)$$

Численные значения функций $\psi_1(u)$, $\chi_1(u)$, $\chi_2(u)$, $\psi_2(u)$ приведены в табл. 16.1.

Балка, свободно опертая на жесткие опоры и нагруженная в правом опорном сечении сосредоточенным изгибающим моментом (рис. 16.9). Общий интеграл дифференциального уравнения изгиба рассматриваемой балки примет в следующем виде ($q=0$):

$$w(x) = D_0 V_0(ax) + D_1 V_1(ax) + D_2 V_2(ax) + D_3 V_3(ax). \quad (16.64)$$

Для определения произвольных постоянных должны быть использованы граничные условия

$$\left. \begin{aligned} \text{при } x=0 \quad w=0; \quad w''=0; \\ \text{при } x=l \quad w=0; \quad w''=M/(EI). \end{aligned} \right\} \quad (16.67)$$

Из условий при $x=0$ следует $D_0 = D_2 = 0$. Условия при $x=l$ позволяют получить следующую систему уравнений для отыскания D_1 и D_3 :

$$\left. \begin{aligned} D_1 V_1(2a) + D_3 V_3(2a) &= 0; \\ -D_1 V_1'(2a) + D_3 V_3'(2a) &= M/(2EIa^2). \end{aligned} \right\} \quad (16.68)$$

Определив постоянные D_1 и D_3 , на основании формул (16.66) получим выражение для упругой линии

$$w(x) = \frac{M}{2a^2 EI} \frac{V_1(2a) V_3(ax) - V_3(2a) V_1(ax)}{V_1^2(2a) + V_3^2(2a)}. \quad (16.69)$$

Угол поворота правого (нагруженного) опорного сечения равен

$$w'(l) = [M/(3EI)] \psi_0(a), \quad (16.70)$$

где

$$\psi_0(a) = \frac{3\sqrt{2}}{4a} \frac{V_1(2a) V_3(2a) - V_3(2a) V_1(2a)}{V_1^2(2a) + V_3^2(2a)}. \quad (16.71)$$

Аналогично для левого (незагруженного) сечения

$$w'(0) = -[M/(6EI)] \psi_1(a). \quad (16.72)$$

Здесь

$$\psi_1(a) = 3\sqrt{2} V_3(2a) [2a V_1'(2a) + V_3'(2a)]. \quad (16.73)$$

Формулы (16.70) и (16.72) построены таким образом, что функции $\psi_0(a)$ и $\psi_1(a)$ позволяют учесть влияние упругого основания на углы поворота опорных сечений балки, поскольку множители перед функциями представляют собой соответствующие углы поворота балки без упругого основания. При $a=0$ функции $\psi_0(a)$ и $\psi_1(a)$ равны единице. Численные значения функций приведены в табл. 16.1.

Расчет однопролетных балок на упругом основании. Приведенные выше примеры показывают, что параметры изгиба однопролетных балок удобно определять как произведение величин, входящих для соответствующих балок без упругого основания, и функций, зависящих от безразмерного коэффициента жесткости упругого основания. Для функций, определяющих влияние упругого

основания на параметры изгиба в характерных сечениях балок, могут быть составлены таблицы, что значительно упрощает практические расчеты. В справочных материалах (например, [5]) приводятся результаты решения задач для многих видов нагрузок однопролетных балок. Что касается устройства опор балок, то все известные формулы, за исключением рассмотренных выше, получены для случаев свободного опирания в жесткой заделке концевых сечений на непересекающихся опорах. Существуют также формулы для определения прогибов и других параметров изгиба балок, на выходящих внахлест, кроме упругого основания. Пример решения такой задачи рассмотрен в § 16.4.

§ 16.4. Расчет упруго заделанных и неразрезных балок, лежащих на сплошном упругом основании

Расчет балок на упругом основании при упругой заделке опорных сечений. Коэффициент опорной пары. Формулы для расчета однопролетных балок на упругом основании, которые были получены в § 16.3, относятся к двум предельным значениям коэффициентов податливости заделок опорных сечений: $\beta = \infty$ (свободное опирание) и $\beta = 0$ (жесткая заделка). Между тем в реальных конструкциях нередко случаются упругие заделки концов балок. Поэтому большой интерес представляет получение расчетов зависимостей для параметров изгиба балок при промежуточных значениях коэффициентов податливости.

Обратим внимание, что для балок на упругом основании влияние податливости заделок опорных сечений на параметры изгиба в пролете уменьшается с ростом аргумента a . Определим, например, отношение изгибающего момента в середине пролета балки, нагруженной равномерной нагрузкой, при изменении податливости заделок от бесконечно большой (свободное опирание) до нулевой (жесткая заделка).

В соответствии с выражениями (16.50) и (16.60), полагая опоры непересекающимися ($\beta = \beta_1 = 0$), получаем

$$P_0 = M(0)_{\infty} / M(0)_{0\infty} = 3\chi_0(a) \chi_2(a),$$

где $M(0)_{\infty}$ — момент свободно опертой балки в сечении $x=0$; $M(0)_{0\infty}$ — то же для жестко заделанной балки. Если для балки без упругого основания ($a=0$) $\beta_0=3$, то при $a=1$ $\beta_0=2,0$, а при $a=1,6$ $\beta_0=0,967$. Полученный результат свидетельствует, что опорные изгибающие моменты при $a > 1,5$ у рассматриваемой балки изменяют упругую линию только вблизи сечений, где они действуют, т. е. вызывают лишь локальный (красный) эффект. Это явление типично для балок на упругом основании.

Рассмотрим однопролетную балку на упругом основании, нагруженную симметрично относительно сечения посередине пролета, а коэффициенты податливости упругих заделок одинаковы (рис. 16.10).

Можно получить достаточно простые расчетные формулы, если наряду с коэффициентом податливости ввести сплюснутую характеристику податливости упругой заделки — коэффициент опорной пары κ , определяя его как отношение опорного момента при упругой заделке конца $M_{\kappa,2}$ к опорному моменту при жесткой заделке обоих концов той же балки $M_{\kappa,1}$:

$$\kappa = M_{\kappa,2}/M_{\kappa,1} \quad (16.74)$$

Для рассматриваемых однопролетных балок с одинаковой заделкой опорных сечений коэффициент опорной пары изменится от нуля (свободное опирание) до единицы (жесткая заделка).

Известно, что упругая линия балки является линейной функцией действующих на нее нагрузок и, в частности, опорных изгибающих моментов. Поскольку последние пропорциональны коэффициенту опорной пары, упругий прогиб в любом сечении балки, должен линейно зависеть от κ , причем при $\kappa = 0$ $w(x) = w_{\kappa=0}(x)$; а при $\kappa = 1$ $w(x) = w_{\kappa=1}(x)$. Где $w_{\kappa=0}(x)$ — упругая линия свободно опирной балки; $w_{\kappa=1}(x)$ — то же жестко заделанной балки. Этим условиям удовлетворяет зависимость

$$w(x) = (1 - \kappa)w_{\kappa=0}(x) + \kappa w_{\kappa=1}(x). \quad (16.75)$$

Выражение (16.75) и представляет собой упругую линию балки, нагруженной симметричной нагрузкой и симметрично заделанной на опорах.

Для случая действия на балку равномерно распределенной нагрузки на основании формулы (16.75), используя решения предыдущего параграфа, найдем

$$w(0) = \frac{q}{4} \left[1 - \frac{(1 - \kappa)}{1 + \kappa} \Phi_0(\alpha) - \kappa \frac{\Phi_1(\alpha)}{1 + \kappa} \right]; \quad (16.76)$$

$$w' \left(\pm \frac{l}{2} \right) = \mp (1 - \kappa) \frac{q l^2}{24 E I} \frac{\Phi_2(\alpha)}{1 + \kappa}; \quad (16.77)$$

$$M(0) = - \frac{q l^2}{8} \left[\frac{(1 - \kappa) \chi_1(\alpha)}{1 + \kappa} + \frac{\chi_2(\alpha)}{1 + \kappa} \right]; \quad (16.78)$$

$$M \left(\pm \frac{l}{2} \right) = \kappa \frac{q l^2}{12} \frac{\chi_2(\alpha)}{1 + \kappa}. \quad (16.79)$$

В практических расчетах прочности судовых конструкций коэффициент опорной пары иногда назначается по протоколу или на основании опыта. В тех случаях когда известен или может быть определен коэффициент податливости заделки, можно воспользоваться зависимостью между коэффициентом опорной пары κ и коэффициентом податливости \mathbb{K} . Для установления этой зависимости приравняем угол поворота, например, правого опорного сечения балки углу поворота опорной конструкции (см. рис. 16.10).

Воспользуемся формулами (16.70) и (16.72) для углов поворота, вызванных действием опорных моментов. Угол поворота опорного сечения, вызванный поперечной нагрузкой, обозначим через $\alpha(q)$. Получим уравнение

$$\frac{M_{\kappa,1}}{2 E I} \Phi_1(\alpha) + \frac{M_{\kappa,2}}{2 E I} \Phi_2(\alpha) + \alpha(q) = - \mathbb{K} M_{\kappa,1} \quad (16.80)$$

где $M_{\kappa,1}$ — изгибающий момент в опорных сечениях упруго заделанной балки.

Если заделка жесткая, то $\mathbb{K} = 0$, $M_{\kappa,1} = M_{\kappa,2}$, и уравнение (16.80) примет вид

$$\frac{M_{\kappa,1}}{2 E I} \Phi_1(\alpha) + \frac{M_{\kappa,2}}{2 E I} \Phi_2(\alpha) - \alpha(q) = 0. \quad (16.81)$$

Определив из уравнения (16.81) величину $\alpha(q)$ и подставив ее в уравнение (16.80), получим

$$\frac{M_{\kappa,1}}{2 E I} \left[\Phi_1(\alpha) + 2 \Phi_2(\alpha) + \frac{2 E I \kappa}{l} \right] = \frac{M_{\kappa,2}}{2 E I} \left[\Phi_1(\alpha) + 2 \Phi_2(\alpha) \right]. \quad (16.82)$$

По определению

$$M_{\kappa,2} = \kappa M_{\kappa,1} \quad (16.83)$$

что после подстановки в (16.82) позволяет найти

$$\kappa = \frac{1}{1 + \frac{2 E I \kappa}{l} \left[\Phi_1(\alpha) + 2 \Phi_2(\alpha) \right]}. \quad (16.84)$$

Из выражения (16.84) следует, что при симметричной нагрузке и одинаковых коэффициентах податливости упругих заделок коэффициент опорной пары не зависит ни от величины, ни от характера изменения нагрузки.

Если коэффициенты податливости упругих заделок балки неодинаковы, а нагрузка ее симметрична относительно середины пролета (рис. 16.11, а), то могут быть введены коэффициенты опорных пар для левой и правой опор соответственно

$$\kappa_1 = M_{\kappa,1}/M_{\kappa,1}; \quad \kappa_2 = M_{\kappa,2}/M_{\kappa,2} \quad (16.85)$$

где $M_{\kappa,1}$ и $M_{\kappa,2}$ — изгибающие моменты в опорных сечениях при упругой заделке балки.

Нагрузка, действующая на балку, может быть представлена в виде суммы симметричной (рис. 16.11, б) и косимметричной (рис. 16.11, в) относительно середины пролета нагрузок.

При действии косимметричной нагрузки прогиб и изгибающий момент в середине пролета балки равны нулю. Следовательно,



Рис. 16.10

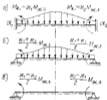


Рис. 16.11

эти элементы изгиба определяются исключительно симметричной составляющей нагрузки, для которой коэффициент опорной пары равен сумме коэффициентов (16.85):

$$\kappa_{cp} = (\kappa_1 + \kappa_2)/2. \quad (16.86)$$

С помощью найденного таким образом коэффициента κ_{cp} изгибающий момент и прогиб посередине симметрично нагруженной балки, уругие заданки которой имеют неодинаковую податливость, вычисляют по формулам

$$\left. \begin{aligned} M(0) &= M_{c,0}(0)(1 - \kappa_{cp}) + M_{ж,0}(0)\kappa_{cp}; \\ w(0) &= w_{c,0}(0)(1 - \kappa_{cp}) + M_{ж,0}(0)\kappa_{cp}. \end{aligned} \right\} \quad (16.87)$$

Угол поворота и перерезывающие силы в опорных сечениях рассматриваемых балок следует определять как сумму соответствующих величин от действия симметричной и косимметричной нагрузок. Элементы изгиба от действия симметричной части нагрузки определяются по формулам типа (16.87) с использованием коэффициента опорной пары (16.86). Косимметричная нагрузка для балок рассматриваемого типа всегда имеет вид двух опорных моментов, одинаковых по абсолютному значению и одинаково направленных (см. рис. 16.11,а). Для отскакивания элементов изгиба такой балки достаточно



Рис. 16.12

рассмотреть любую ее половину, например правую, считая сечение, соответствующее середине пролета исходной балки, свободной опорой (рис. 16.12).

Очевидно, к балке, изображенной на рис. 16.12, можно применять решение, полученное в § 16.3.

Для балки, имеющей в концевых сечениях упругую заданку различной податливости, могут быть получены формулы, связывающие коэффициенты опорной пары κ_1 и κ_2 с коэффициентами податливости Φ_1 и Φ_2 . Запишем для балки, изображенной на рис. 16.11, условия равенства углов поворота опорных сечений и опорных изгибов: для левой опоры

$$-\frac{M_{ж,0}l}{2EI} \Phi_2(a) - \frac{M_{ж,0}l}{2EI} \Phi_1(a) + \alpha(a) = -\Phi_1 M_{ж,0}; \quad (16.88)$$

для правой опоры

$$\frac{M_{ж,0}l}{2EI} \Phi_1(a) + \frac{M_{ж,0}l}{2EI} \Phi_2(a) - \alpha(a) = -\Phi_2 M_{ж,0}. \quad (16.89)$$

В случае жесткой заданки опорных сечений $\Phi_1 = \Phi_2 = 0$, $M_{ж,0} = -M_{ж,0} = M_{ж,0}$, и из любого уравнения (16.88) или (16.89) следует уравнение (16.81). Исключая из выражений (16.85) и (16.89) величину $\alpha(a)$ с помощью формул (16.81) и (16.85), получим два

уравнения относительно неизвестных κ_1 и κ_2 . Их решение может быть представлено в следующем виде:

$$\left. \begin{aligned} \kappa_1 &= \frac{(\Phi_1 + 2\Phi_2)(2\Phi_2 - \Phi_1 + 6EI/R_2J) - \Phi_1^2}{(2\Phi_2 + 6EI/R_2J)(2\Phi_2 + 6EI/R_2J) - \Phi_1^2}; \\ \kappa_2 &= \frac{(\Phi_2 + 2\Phi_1)(2\Phi_1 - \Phi_2 + 6EI/R_1J) - \Phi_2^2}{(2\Phi_1 + 6EI/R_1J)(2\Phi_1 + 6EI/R_1J) - \Phi_2^2}. \end{aligned} \right\} \quad (16.90)$$

где Φ_1 и Φ_2 — функции аргумента a .

Из формул (16.90) следует, что при симметричной поперечной нагрузке коэффициенты опорной пары не зависят как от значения, ни от характера изменения нагрузки.

Коэффициенты опорной пары могут быть применены для расчета однопролетных балок и в тех случаях, когда поперечная нагрузка несимметрична относительно середины пролета, а податливость концов концевых сечений различна. Нагрузку балки в этих случаях следует представлять в виде суммы симметричной и косимметричной частей. Средняя прогиба и изгибающий момент посередине пролета зависят только от симметричной части нагрузки и определяются по приведенным выше зависимостям. Для отскакивания параметров изгиба, зависящих от косимметричной нагрузки, следует рассмотреть половину балки, добавив к исходной схеме свободную опору в сечении посередине пролета.

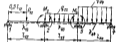


Рис. 16.13

Расчет неразрезных балок, лежащих на упругом основании. Решение, полученное для однопролетных балок на упругом основании, и таблицы вспомогательных функций позволяют относительно просто производить расчет неразрезных балок, лежащих на упругом основании с опорой на несомещающие опоры.

Рассмотрим балку, показанную на рис. 16.13. Пронумеруем опоры балки от 1 до 4, всем величинам, относящимся к пролету между i -й и j -й опорами присвоим два индекса i, j .

Разрежем мысленно балку на опорках, и действие прилегающих пролетов заменим сосредоточенными моментами $M_{i,j}$ и $M_{j,i}$. Воспользовавшись справочным материалом [51, табл. 7.4], найдем углы поворота, вызванные поперечной нагрузкой в пролетах балки. Так, для 1-го пролета найдем

$$\alpha_{1,2}(P_{12}) \pm \frac{P_{12}l_{12}}{16EI} \alpha_0(u_{12}).$$

Для 2-го и 3-го пролетов следует использовать решение § 16.3. Обычным путем составим уравнения равенства углов поворота

балок слева и справа от мысленно проведенных разрезов над опорами 2 и 3:

$$\left. \begin{aligned} -\frac{P_1 l^2}{16EI} \chi_0(u_{23}) + \frac{M_2 l}{2EI} \chi_0(u_{23}) &= \frac{q_2 l^2}{24EI} \chi_2(u_{23}) - \\ &- \frac{M_3 l}{2EI} \chi_2(u_{23}) - \frac{M_2 l}{4EI} \chi_1(u_{23}) \\ -\frac{q_2 l^2}{24EI} \chi_2(u_{23}) + \frac{M_2 l}{4EI} \chi_1(u_{23}) + \frac{M_3 l}{2EI} \chi_0(u_{23}) &= \\ &= -\frac{M_1 l}{2EI} \chi_0(u_{34}) + \frac{q_1 l^2}{24EI} \chi_2(u_{34}) \end{aligned} \right\} (16.91)$$

Аргументы вспомогательных функций определяются по формуле

$$u_{ij} = (l_{ij}/2) \sqrt{k_{ij}/(4EI_{ij})}. \quad (16.92)$$

После вычисления опорных моментов следует найти для всех пролетов коэффициенты опорной пары, для чего расчетные опорные моменты необходимо разделить на опорный момент при жесткой заделке конечных сечений рассматриваемого пролета. Затем для определения параметров изгиба в любом пролете можно использовать полученные выше формулы для однопролетных балок.

§ 16.5. Изгиб полубесконечной балки на упругом основании

Изгиб полубесконечной балки на упругом основании. Рассмотрим изгиб полубесконечной балки постоянного сечения, лежащей на упругом основании постоянной жесткости и нагруженной в сечении $x=0$ сосредоточенной силой P_1 и моментом M_1 (рис. 16.14). Как будет показано ниже, задача об изгибе такой балки имеет практический интерес в связи с расчетом прочности судна при постановке в док на клевую дорожку.

Граничные условия у такой балки имеют вид

$$\text{при } x=0 \quad EIw'' = -M_1; \quad EIw''' = P_1. \quad (16.93)$$

Поскольку балка предполагается полубесконечной, приемлемо лишь такое решение дифференциального уравнения изгиба, которое обеспечивается стремление к нулю при $x \rightarrow \infty$ как прогибов балки, так и всех других элементов изгиба.

Поперечная нагрузка на балку отсутствует, поэтому общий интеграл дифференциального уравнения изгиба балки совпадает с интегралом однородного уравнения. Учитывая требование о стремлении $w(x)$ к нулю при $x \rightarrow \infty$, общий интеграл примет в форме (16.24), предложенной Клиппштейном, вид: $w(x) = C + D$ равными нулю, так как соответствующие члены неограниченно возрастают с ростом абсциссы x :

$$w(x) = AW_1(ax) + BW_2(ax), \quad (16.94)$$

где индексы функций выбраны из соображений получения наиболее простых уравнений при удовлетворении граничных условий (16.93).

В соответствии с правилом дифференцирования функций W_2 и W_1

$$\left. \begin{aligned} EIw''(x) &= 2a^2 EI [-AW_2(ax) - BW_1(ax)], \\ EIw'''(x) &= 2\sqrt{2} a^3 EI [-AW_1(ax) - BW_2(ax)]. \end{aligned} \right\} (16.95)$$

На основании граничных условий (16.93) с учетом формул (16.95) находим

$$A = P_1/(2EIa^2); \quad B = -M_1/(\sqrt{2} a^2 EI). \quad (16.96)$$

Упругая линия балки определяется выражением

$$w(x) = [P_1 W_0(ax) - M_1 \sqrt{2} W_1(ax)] / (2a^2 EI), \quad (16.97)$$

Стрелка прогиба левого конца балки равна

$$w(0) = (P_1 + aM_1)/(2a^2 EI), \quad (16.98)$$

где, напомним,

$$a = \sqrt{k/(4EI)}. \quad (16.99)$$

Рассмотрим некоторые особенности полученного решения, ограничиваясь с целью наглядности простейшим случаем действия на балку сосредоточенной силы P_1 , т. е. полагая $M_1 = 0$.



Рис. 16.14

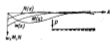


Рис. 16.15

На рис. (16.15) приведены эпюры изгибающих моментов и вращающих сил, а также упругая линия такой балки. Отметим колебательный характер кривых в затухающие их отклонений от нулевого значения по мере роста абсциссы x , что определяется множителем e^{-ax} , содержащимся в выражениях функций Клиппштейна. Это затухание происходит тем более интенсивно, чем выше значение коэффициента a . При больших значениях коэффициента a изгиб, вызванный сосредоточенной силой, локализуется области нагруженного сечения. Такой же вывод был бы получен и при рассмотрении воздействия на балку сосредоточенного момента. Это позволяет применять полученные решения к балкам конечной длины, если их длина, момент инерции и коэффициент жесткости упругого основания таковы, что аргумент $a = l/2$ превышает 1,5—2,0. В этом случае влияние сосредоточенных сил и моментов, приложенных, например, к левому концу балки, практически не проявляется в сечениях у правого конца, и наоборот.

Обратим также внимание, что прогиб полубесконечной балки при некоторых значениях абсциссы x оказывается отрицательным. Поэтому приведенное выше решение можно использовать только в тех случаях, если: а) упругое основание сопротивляется отрыву, т. е. является основанием двустороннего действия; б) прогиб балки, вызванный действием внешних нагрузок, всюду оказывается положительным. В противном случае балка на некоторых участках отрывается от упругого основания и его реакция на этих участках равна нулю.

Расположив выражение для упругой линии полубесконечной балки (16.97), можно получить решение задачи об изгибе бесконечной балки, нагруженной сосредоточенной силой (рис. 16.16). Расположив начало координат под силой, найдем, что выражение для упругой линии бесконечной балки должно удовлетворять условиям

$$\text{при } x=0 \quad w'=0; \quad EIw''' = P/2. \quad (16.100)$$

Заменив в (16.97) P_1 на $P/2$, из условия равенства нулю угла заворота получим

$$-P\mathcal{W}_2(0)/2 - M_0 \alpha \sqrt{2} \mathcal{W}_2(0) = 0, \quad (16.101)$$

или после подстановки значений функций (16.25)

$$M_1 = -P\beta(4\alpha). \quad (16.102)$$

Упругую линию бесконечной балки получим из (16.97), заменив P_1 на $P/2$ и подставив значение M_1 из формулы (16.102):

$$w(x) = P[\mathcal{W}_2(\alpha x) + \mathcal{W}_1(\alpha x \sqrt{2})]/(4\alpha^2 EI). \quad (16.103)$$

Выражение в квадратных скобках зависимости (16.103) после подстановки значений функций Клейншница (16.23) можно упростить:

$$\mathcal{W}_2(\alpha x) + \mathcal{W}_1(\alpha x \sqrt{2}) \sqrt{2} = \mathcal{W}_2(\alpha x \sqrt{2}) \sqrt{2}.$$

Таким образом, окончательно получим

$$w(x) = \sqrt{2} P \mathcal{W}_2(\alpha x \sqrt{2}) / (8\alpha^2 EI), \quad (16.104)$$

Наибольшая стрелка прогиба балки равна

$$w_{\max} = w(0) = P\beta(8\alpha^2 EI), \quad (16.105)$$

а наибольшее значение интенсивности реакций упругого основания

$$r_{\max} = k w_{\max} = P\beta(8\alpha^2 EI) = P\alpha/2. \quad (16.106)$$

Функция $\sqrt{2} \mathcal{W}_2(\alpha x)$ характеризует изменение прогиба и интенсивности реакций упругого основания при удалении от нагруженного сечения балки. Из таблицы значений функции $\sqrt{2} \mathcal{W}_2(\alpha x)$ следует, что уже при $\alpha x = 2$ прогиб и интенсивность реакции

узкого основания составляет 6,7% от соответствующих значений в начале координат. Это позволяет использовать решение (16.104) также для балок конечной длины, если удовлетворяется выражением $\alpha l_1 \geq 2,0$, где l_1 — расстояние точки приложения силы от ближайшей к ней опоры или концов сечения балки.

В качестве примера сравним прогиб, определенный по формуле (16.105), с прогибом в середине пролета свободно опертой балки, нагруженной в среднем сечении сосредоточенной силой:

$$w_{c,0}(0) = P^2 \Phi_2(\alpha l) / (48 EI). \quad (16.107)$$

Получим

$$\beta = w_{c,0}(0) / w_{\max}(0) = 4\Phi_2(\alpha) \alpha^2 / 3.$$

Например, при $\alpha = 2$ находим $\beta = 1,066$, т. е. погрешность при использовании выражения (16.105) вместо формулы (16.107) не превосходит 6%.

Изгиб судна при постановке в сухой док. Наиболее распространенным способом постановки судна в док для производства ремонта является постановка на один (основной случай), два или три ряда кильблоков и зависимости от размеров судна, наличия продольных переборок, состояния связей корпуса. Малые и средние суда, как правило, ставят на одну килевую дорожку.

Кильблоки представляют собой деревянные опоры, набранные из брусков (рис. 16.17).

Обжатие кильблоков при предположении, что усилие, сжимающее кильблок, равномерно распределено по опорной поверхности, определяют по формуле

$$T = \frac{N}{bc} \sum_{i=1}^N \frac{h_i}{E_i}, \quad (16.108)$$

где N — число брусков, образующих кильблок; h_i и E_i — высота отдельных брусков кильблока и их модуль упругости соответственно; b и c — длина и ширина бруска кильблока соответственно.

Коэффициент жесткости отдельного кильблока равен

$$K = R_{T-1} = bc \sum_{i=1}^N \frac{h_i}{E_i},$$

а погонный коэффициент жесткости упругой килевой дорожки

$$\delta_1 = K/\alpha = bc \sum_{i=1}^N \left(\frac{h_i}{E_i} \right), \quad (16.109)$$

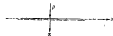


Рис. 16.16



Рис. 16.17

где a — расстояние между осями кильблоков. При постановке на два или три ряда кильблоков погонный коэффициент жесткости дорожки должен быть увеличен в два или три раза соответственно.

Постановка судна на килевую дорожку сопровождается также деформацией дельцового набора корпуса. При определении изгиба судна в доке находят смещения нейтральной оси корпуса, потому податливость дельца — это дополнительная податливость основания, на котором покоится балка-корпус.

Путь погонная жесткость дельцовых перекрытий при преложении реакцией кильблоков составляет величину k_2 . Тогда коэффициент жесткости упругого основания k при постановке судна в сухой док определяется зависимостью $1/k = 1/k_1 + 1/k_2$. Отсюда

$$k = k_1 k_2 / (k_1 + k_2). \quad (16.110)$$

При учете податливости дельца корпуса коэффициент жесткости k_2 , а следовательно, и k оказываются переменными по длине судна. Полный расчет прочности корпуса судна при постановке в док с учетом податливости дельцовых конструкций достаточно трудоемок и в настоящем учебнике не рассматривается. В приближенных расчетах, однако, можно принимать k постоянным, определяя k_2 как среднюю величину для отсеков корпуса, расположенных на длине килевой дорожки.

Нагрузка балки-корпуса определяется весом нагрузки судна $q(x)$ и представляется достаточно сложной функцией абсциссы x , заданной в виде таблицы для двенадцати теоретических шпанцев. Кроме того, дополнительная нагрузка на корпус возникает вследствие того, что анда судна может иметь начальную (независимую от действующей на судно нагрузки) выгиб, складывающийся из строительной погрешности, прогиб из-за не равномерного нагрева корпуса, возможных остаточных прогибов и т. п. В общем случае n линия, по которой выставляются вершины кромок кильблоков, может отличаться от прямой. В целом, между килевой линией судна и вершинами кромок кильблоков может существовать начальный зазор $\Delta(x)$.

При наличии начального зазора реакции упругого основания следует определять по формуле

$$r(x) = k(x) [w(x) - \Delta(x)]. \quad (16.111)$$

После подстановки $r(x)$ в зависимость (16.6) и дифференциальное уравнение (16.7), получим дополнительную нагрузку судна

$$q_{\text{доп}}(x) = k(x) \Delta(x). \quad (16.112)$$

Килевая дорожка выставляется только в пределах примыкающей участка килевой линии, что приводит к появлению частей корпуса судна в околосечностях, свешивающихся за пределы килевой дорожки. Свешивающиеся части корпуса эквивалентны сосредоточенным силам и моментам, приложенным в поперечных сечениях балки-корпуса.

Учитывая высказанные положения, получаем схему расчета корпуса при постановке судна в док, показанную на рис. 16.18.

Для определения упругой линии балки-корпуса необходимо решить интеграл дифференциального уравнения

$$EI(x) w''''(x) + k(x) w(x) = q(x), \quad (16.113)$$

удовлетворяющий следующим граничным условиям (начало координат принято посередине балки)

$$\text{при } x = -0,5l: EI w'' = -M_1; \quad EI w'' = P_1; \quad (16.114)$$

$$\text{при } x = 0,5l: EI w'' = M_2; \quad EI w'' = -P_2. \quad (16.115)$$

Решение поставленной задачи может быть получено численными методами, основные положения которых рассмотрены ниже.

Во многих случаях весьма полезным оказывается приближенный расчет, основанный на замене корпуса судна балкой постоянного сечения. Такая замена часто оказывается обоснованной, поскольку момент изгиба корпуса судна изменяется существенно лишь в пределах свешивающихся за килевую дорожку частей. Выше уже отмечалась возможность в приближенных расчетах принимать $k = \text{const}$.

При указанных упрощениях задача (16.113) — (16.115) может быть решена с использованием общего интеграла однородного уравнения (16.24) и частного решения в форме (16.37).

Принимая во внимание, однако, что жесткость упругого основания в задаче о постановке судна в док достаточно велика ($\alpha l \gg 2$), при учете влияния свешивающихся частей можно воспользоваться решением (16.97) от изгиба полубесконечной балки. В этом случае для балки, показанной на рис. 16.18, при $l = \text{const}$ и $k = \text{const}$ найдем

$$w(x) = [1/420^2 EI] \{ P_1 W_3 [\alpha(x+0,5l)] - M_1 \alpha \sqrt{2} W_1 [\alpha(x+0,5l)] + P_2 W_0 [\alpha(0,5l-x)] - M_2 \alpha \sqrt{2} W_1 [\alpha(0,5l-x)] \} + w_0(x), \quad (16.116)$$

где $w_0(x)$ — решение дифференциального уравнения

$$EI w_0''''(x) + k w_0(x) = q(x), \quad (16.117)$$

удовлетворяющее граничным условиям

$$\text{при } x = -0,5l: w_0'' = 0; \quad w_0''' = 0; \quad \text{при } x = 0,5l: w_0'' = 0; \quad w_0''' = 0, \quad (16.118)$$

При отыскании $w_0(x)$ целесообразно выделить из состава нагрузки составляющие, линейно зависящие от x :

$$q(x) = q_0 + 2q_1 x + q_2(x). \quad (16.119)$$

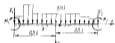


Рис. 16.18

Если выбрать q_0 и q_1 из условий

$$q_0 = \frac{1}{l} \int_{-0.5l}^{0.5l} q(x) dx; \quad q_1 = \frac{3}{l^2} \int_{-0.5l}^{0.5l} q(x) \frac{2x}{l} dx, \quad (16.120)$$

то нагрузка $q_1(x)$ будет иметь нулевые главный вектор и главный момент, т. е.

$$\int_{-0.5l}^{0.5l} q_1(x) dx = 0; \quad \int_{-0.5l}^{0.5l} q_1(x) \frac{2x}{l} dx = 0. \quad (16.121)$$

Определив ее из выражения (16.119) как разность

$$q_2(x) = q(x) - q_0 - 2q_1 \frac{x}{l}, \quad (16.122)$$

можно для $q_2(x)$ использовать представление в виде ряда по формам главных свободных колебаний, ограничиваясь одним-двумя наиболее значительными членами. Следует иметь в виду, что нагрузка $q_2(x)$ невелика по сравнению с q_0 и имеет по крайней мере две нулевые точки на длине килевой дорожки. Поэтому влиять нагрузка $q_2(x)$ на величину реакции упругого основания незначительно.

В общем случае

$$q_2(x) = \sum_{n=1}^N p_n \varphi_n(x). \quad (16.123)$$

Здесь N — число членов разложения нагрузки $q_2(x)$ в ряд; p_n — коэффициенты разложения; $\varphi_n(x)$ — фундаментальные функции — формы главных свободных колебаний безопорных балок, разные

$$\left. \begin{aligned} \varphi_n(x) &= \frac{\operatorname{ch} \mu_n x/l}{2 \operatorname{ch} 0.5 \mu_n} - \frac{\operatorname{sn} \mu_n x/l}{2 \operatorname{sn} 0.5 \mu_n} \text{ при } n=1, 3, \dots; \\ \varphi_n(x) &= -\frac{\operatorname{sh} \mu_n x/l}{2 \operatorname{sh} 0.5 \mu_n} - \frac{\operatorname{sn} \mu_n x/l}{2 \operatorname{sn} 0.5 \mu_n} \text{ при } n=2, 4, \dots \end{aligned} \right\} \quad (16.124)$$

где μ_n — известные числа:

$$\mu_1 = 4.73; \quad \mu_2 = 7.85; \quad \mu_3 = 11.0; \quad \mu_{n>3} = \frac{2n-1}{2} \pi. \quad (16.125)$$

Поскольку функции $\varphi_n(x)$ ортогональны, коэффициенты разложения p_n определяются зависимостью

$$p_n = \frac{4}{l} \int_{-0.5l}^{0.5l} q_2(x) \varphi_n(x) dx. \quad (16.126)$$

Функции $\varphi_n(x)$ удовлетворяют дифференциальному уравнению

$$\varphi_n^{IV}(x) - (\mu_n/l)^4 \varphi_n(x) \quad (16.127)$$

и граничными условиями

$$\text{при } x = \pm 0.5l \quad \varphi_n'' = \varphi_n^{IV} = 0. \quad (16.128)$$

С учетом представления нагрузки в форме (16.119) упругая линия $w_2(x)$ имеет вид суммы решений, найденных для каждой составляющей нагрузки. Решение для нагрузки $q_0 + 2q_1 x/l$, удовлетворяющее крайним условиям (16.121), определяется в соответствии с формулой (16.27). Чтобы отыскать решение, соответствующее составляющей нагрузке $q_2(x)$, применим

$$w_2(x) = \sum_{n=1}^N w_n \varphi_n(x). \quad (16.129)$$

Ряд (16.129) очевидно, удовлетворяет крайним условиям (16.118), поскольку функции $\varphi_n(x)$ удовлетворяют условиям (16.128). Подставляя выражение (16.129) в левую часть уравнения (16.117), а (16.125) и его правую часть вместо $q(x)$, получаем

$$w_n = p_n / [EI(\mu_n/l)^4 + k]. \quad (16.130)$$

Окончательно упругая линия получает вид

$$w_2(x) = \frac{1}{k} (q_0 + q_1 \frac{2x}{l}) + \sum \frac{p_n}{EI(\mu_n/l)^4 + k} \varphi_n(x). \quad (16.131)$$

Подчеркнем еще раз приближенность приведенного выше решения задачи о постановке судна в док, связанную с учетом как неприматичности балки-корпуса, так и зависимости коэффициента жесткости упругого основания от абсциссы x . При написании общего выражения упругой линии в форме (16.116) использовалось также предположение об относительно высокой жесткости упругого основания.

Задача, близкую к рассмотренной, приходится решать для оценки прочности конструкций судна и опорных устройств при спуске судна со стапеля. Как и в задаче о постановке в док, судно на стапеле может быть представлено в качестве балки переменного сечения, лежащей на упругом основании переменной жесткости и являющей сдвигающейся части. В первый период спуска, занимающий время от момента отрыва задерживаю до начала входа кормы в воду, реакция спускового устройства определяется теми же методами, что и реакция кильблоков при постановке судна в сухой док, причем влияние наклона стапеля в этих расчетах можно пренебречь. Во втором периоде спуска — от начала входа кормы судна в воду до начала его отрыва от стапеля (всплытия) — происходит непрерывное изменение расчетной длины балки на упругом основании и ее нагрузки вследствие появления и возрастания сил поддержания. При выполнении расчетов приходится рассматривать несколько положений судна относительно порога стапеля с тем, чтобы точнее определить момент начала всплытия, поскольку в этот момент резко возрастает нагрузка на носовую опору спускового устройства и возникает опасность ее разрушения.

§ 16.6. Учет влияния сдвига при определении прогибов балок на упругом основании

В расчетах прочности некоторых судовых конструкций приходится рассматривать балки на упругом основании, имеющие относительно небольшую площадь поперечного сечения стенки. Для таких балок деформации сдвига оказывают существенное влияние на прогибы и другие параметры изгиба.

Изгиб балки с учетом деформаций сдвига был рассмотрен в § 13.7. Напомним ряд зависимостей этого параграфа, которые нам потребуются ниже.

Изгибающий момент $M(x)$ и поперечную силу $N(x)$ балки определяются соответственно по формулам (13.57) и (13.58). Дифференциальное уравнение изгиба балки, нагруженной поперечной нагрузкой интенсивностью $q(x)$, имеет вид [см. формулу (13.59)]

$$[EI(x)w_1''(x)]'' = q(x), \quad (16.132)$$

где $w_1(x)$ — изгибающая стрелка прогиба балки. Стрелку прогиба от сдвига для частного случая $Gw = \text{const}$ находит по формуле (13.60) в предположении отсутствия сосредоточенных моментов в нагрузке:

$$w_2(x) = -EI(x)w_1'(x)/(Gw). \quad (16.133)$$

Заметим, что действующая на балку нагрузка складывается из внешней нагрузки $q(x)$ и интенсивности реакций упругого основания $k(x)(w_1 + w_2)$, получим из выражения (16.132)

$$[EI(x)w_1''(x)]'' = q(x) - k(x)[w_1(x) + w_2(x)],$$

или, если воспользоваться для $w_2(x)$ зависимостью (16.133),

$$[EI(x)w_1''(x)]'' - k(x)EI(x)w_1'(x)/(Gw) + k(x)w_1(x) = q(x). \quad (16.134)$$

При $EI(x) = \text{const}$, $k(x) = \text{const}$ уравнение (16.134) переключится в таком виде:

$$EIw_1^{IV}(x) - kEIw_1'''(x)/(Gw) + kw_1(x) = q(x). \quad (16.135)$$

Общий интеграл уравнения (16.135), как и любого линейного неоднородного дифференциального уравнения, является суммой общего интеграла однородного уравнения и частного решения.

Ограничимся наиболее важным случаем, когда нагрузка $q(x)$ описывается линейной функцией

$$q(x) = q_0 + q_1x. \quad (16.136)$$

Непосредственной подстановкой в уравнение (16.135) убеждаемся, что его частное решение имеет вид

$$w_{1, \text{ч}} = q(x)/k. \quad (16.137)$$

При более сложной зависимости интенсивности нагрузки от координаты x для отыскания частного решения следует применить разложение нагрузки в ряд Фурье, как это было сделано при получении частного решения (16.29).

Для вычисления общего интеграла однородного уравнения

$$EIw_1^{IV}(x) - kEIw_1'''(x)/(Gw) + kw_1(x) = 0 \quad (16.138)$$

воспользуемся подстановкой Эйлера

$$w_1 = Ae^{\eta x}, \quad (16.139)$$

где A — произвольная постоянная.

С помощью формулы (16.139) из выражения (16.138) получим характеристическое уравнение для отыскания значений η :

$$\eta^4 - (k/Gw)\eta^2 + k/EI = 0. \quad (16.140)$$

Уравнение (16.140) — биквадратное, и его корни определяются формулой

$$\eta_s = \pm \sqrt{k/(2Gw)} \pm \sqrt{[k/(2Gw)]^2 - k/(EI)}, \quad (16.141)$$

или

$$\eta_s = \pm \alpha \sqrt{2} (\beta \pm \sqrt{\beta^2 - 1}), \quad s = 1, 2, 3, 4, \quad (16.142)$$

где

$$\alpha = \sqrt{k/(4EI)}; \quad \beta = \sqrt{kEI/(2Gw)}. \quad (16.143)$$

Каждому из четырех значений η_s , вытекающих из формулы (16.142), соответствует решение вида (16.139), сумма которых и представляет собой общий интеграл уравнения (16.138)

$$w_1(x) = \sum_{s=1}^4 A_s e^{\eta_s x}. \quad (16.144)$$

Как видно из формулы (16.142), характер корней η_s зависит от значения β . Для оценки которого преобразуем второе выражение (16.143):

$$\beta = 4a^2 EI / (Gw^2), \quad (16.145)$$

где, как и ранее,

$$a = \alpha l / 2 = (l/2) \sqrt{k/(4EI)}. \quad (16.146)$$

Для типичных судовых балок на упругом основании отношение $l/(a^2 l^2)$ удовлетворяет неравенству

$$l/(a^2 l^2) < 0,02. \quad (16.147)$$

Учитывая, что $G = E/[2(1 + \mu)]$, получим $\beta < 0,03$. Величина β в задачах изгиба судовых балок, лежащих на упругом основании, в подавляющем большинстве случаев не превосходит 5, поэтому представляющим интерес значения β лежат в следующих пределах:

$$0 < \beta < 1. \quad (16.148)$$

На основании неравенства (16.148) во выражении (16.142) после выделены вещественной и мнимой частей находим

$$\alpha_s = \pm \delta \pm i\gamma, \quad s = 1, 2, 3, 4, \quad (16.149)$$

где

$$\delta = \alpha \sqrt{1 + \beta}; \quad \gamma = \alpha \sqrt{1 - \beta}. \quad (16.150)$$

Общий интеграл однородного уравнения (16.138) с учетом формулы (16.149) может быть выписан в следующей эквивалентной форме:

$$\omega_{10} = e^{\delta x} (A_1 e^{i\gamma x} + A_2 e^{-i\gamma x}) + e^{-\delta x} (A_3 e^{i\gamma x} + A_4 e^{-i\gamma x}), \quad (16.151)$$

или, переходя к вещественным функциям и вещественным постоянным,

$$\omega_{10} = e^{\delta x} (B_1 \cos \gamma x + B_2 \sin \gamma x) + e^{-\delta x} (B_3 \cos \gamma x + B_4 \sin \gamma x), \quad (16.152)$$

Наконец, показательные функции можно заменить гиперболическими:

$$\omega_{10} = C_1 \operatorname{ch} \delta x \cos \gamma x + C_2 \operatorname{sh} \delta x \cos \gamma x + C_3 \operatorname{sh} \delta x \sin \gamma x + C_4 \operatorname{sh} \delta x \cos \gamma x, \quad (16.153)$$

Таким образом, для широкого круга задач о деформациях балок на упругом основании с учетом влияния сдвига общий интеграл неоднородного дифференциального уравнения (16.135) может быть представлен как сумма выражений (16.137) и (16.153).

Оставшиеся из выписываемых типовых граничных условий для отыскания произвольных постоянных.

Балка свободно опирается на жесткие опоры. В этом случае стрелка прогиба и изгибающий момент на каждой из опор равны нулю, т. е.

$$\omega = \omega_1 + \omega_2 = 0; \quad EI \omega_1'' = 0,$$

Поскольку $\omega_2 = -EI \omega_1'' / (G\omega)$, первое условие можно переписать следующим образом: $\omega_1 - EI \omega_1'' / (G\omega) = 0$, откуда на основании условия равенства нулю изгибающего момента

$$\omega_1 = \omega_1'' = 0, \quad (16.154)$$

Балка жестко заделана на жестких опорах. Для такой балки

$$\omega = \omega_1 - EI \omega_1'' / (G\omega) = 0; \quad \omega_1' = 0, \quad (16.155)$$

Балка не имеет ни тех опор, кроме упругого основания. У этой балки $EI \omega_1'' = 0$; $EI \omega_1''' = 0$, т. е.

$$\omega_1'' = \omega_1''' = 0, \quad (16.156)$$

Балка опирается на упругие опоры с коэффициентом податливости A . Для этого случая

$$\omega_1'' = 0; \quad \omega_1 - EI \omega_1'' / (G\omega) = \pm AEI \omega_1''', \quad (16.157)$$

где верхний знак относится к правому опорному сечению, нижний к левому. Второе условие с учетом первого получит вид $\omega_1 = \pm AEI \omega_1'''$.

Балка упруго заделана на нежроседающих опорах с коэффициентом податливости заделки \mathcal{A} . У данной балки

$$\omega_1 - EI \omega_1'' / (G\omega) = 0; \quad \omega_1' = \mp \mathcal{A} EI \omega_1''', \quad (16.158)$$

После определения стрелки прогиба $\omega_1(x)$ от изгиба по формуле (16.133) может быть найдена стрелка прогиба от сдвига, а затем и упругая линия балки $\omega(x) = \omega_1(x) + \omega_2(x)$.

Следует, однако, заметить, что приведенный выше метод расчета балок на упругом основании с учетом влияния сдвига для вычисления неудобен, так как общий интеграл (16.153) содержит произведения функций и при удовлетворении граничных условий приводит к достаточно громоздким выражениям для коэффициентов системы уравнений относительно неизвестных произвольных постоянных C . Поэтому целесообразно рассуждать приближенным приемом, позволяющим достаточно просто оценить влияние деформации сдвига на прогибы балок и реакции упругого основания. Такой прием можно предложить для наиболее распространенных случаев, когда сдвиг умеренно влияет на прогибы балок, т. е. когда выполняется неравенство (16.147). Для обоснования приближенного приема заметим, что закон изменения нагрузки на длине балки существенно влияет на значения поправки на сдвиг к таким важнейшим параметрам изгиба, как прогиб и изгибающий момент посередине пролета, изгибающий момент в опорном сечении.

Рассмотрим в качестве примера прогиб посередине пролета свободно опираемой балки без упругого основания для следующих случаев нагружения: а) при действии равномерно распределенной нагрузки

$$q(x) = q_0 [1 + 9,6EI / (G\omega^2)]; \quad (16.159)$$

б) при действии сосредоточенной силы, приложенной посередине пролета,

$$q(x) = q_0 [1 + 12EI / (G\omega^2)], \quad (16.160)$$

где $\omega_0(0)$ — прогиб, найденный без учета влияния сдвига.

В формулах (16.159) и (16.160) величина в квадратных скобках представляет собой поправку на влияние сдвига к прогибу посередине пролета балки. При условии выполнения неравенства (16.147) величина этой поправки при переходе от равномерно распределенной нагрузки к сосредоточенной силе изменится меньше чем на 10%. Влияние закона изменения нагрузки будет еще меньше, если сравнить результаты расчета балок при действии на них распределенных нагрузок с различными законами изменения интенсивности по длине. Поэтому с достаточной для технических расчетов степенью точности поправка на сдвиг при

любой распределенной нагрузке может быть принята такой же, как для равномерной нагрузки.

Формулу, подобную (16.159), можно получить для симметрично заданной балки с коэффициентом опорной пары χ . Приведем ее без вывода:

$$w_1(0) = w_2(0) (1 + 48EI_0 / [(5 - 4\chi) G \alpha^2]). \quad (16.161)$$

Применение формулы типа (16.161) означает, что прогибы балки можно определять без учета влияния сдвига, если момент инерции площади поперечного сечения заменить его приведенным значением

$$I_{sp} = I / (1 + 48EI_0 / [(5 - 4\chi) G \alpha^2]). \quad (16.162)$$

При расчете прогибов балок, лежащих на упругом основании, с учетом влияния деформаций сдвига роль упругого основания сводится к появлению у балки дополнительной распределенной реактивной нагрузки $r(x)$. Поскольку значение поперечной на сдвиг практически не зависит от закона изменения распределенной нагрузки, для приближенного учета влияния сдвига достаточно вместо действительного значения момента инерции I воспользоваться приведенным I_{sp} , которое можно определять по формуле (16.162). Аргумент вспомогательных функций, характеризующих влияние упругого основания на параметры изгиба, следует также заменить приведенным значением

$$k_{sp} = (2 \sqrt{k \eta (4EI_{sp})}). \quad (16.163)$$

§ 16.7. Расчет непрямоугольных балок, лежащих на упругом основании переменной жесткости

В расчетах прочности судов и судовых конструкций достаточно часто встречаются задачи, в которых нельзя игнорировать их непрямоугольность балки, и зависимость коэффициента жесткости упругого основания от абсциссы x . Например, в расчетах прочности при постановке судна в док или при спуске со стеньги необходимо учитывать переменность по длине судна как момента инерции площади поперечного сечения корпуса, так и коэффициента жесткости упругого основания и лишь при получении сущего приближениях осяев, которые и были рассмотрены в § 16.5, эти величины можно принимать постоянными на всей длине балки.

Расчет непрямоугольных балок, лежащих на упругом основании переменной жесткости, можно свести к интегрированию дифференциального уравнения

$$[EI(x)w''(x)]'' + k(x)w(x) = q(x) \quad (16.164)$$

при удовлетворении граничных условий, вытекающих из существа задачи. При необходимости учитывать сдвиг под моментом инерции I можно понимать его приведенное значение (16.162).

Несмотря на кажущуюся простоту уравнения (16.164), точное его интегрирование возможно лишь при некоторых частях, не представляющих практического интереса закона изменения функций $I(x)$ и $k(x)$. Поэтому применение находит методы отыскания приближенных решений: Рунда, Бубнова — Галеркина, конечных разностей, МКЭ и многие другие. Содержание каждого из этих методов, включая многочисленные примеры их использования, было изложено в гл. 8—11. Поэтому ниже мы ограничимся лишь некоторыми краткими пояснениями и дополнениями.

Метод Рунда. Метод Рунда в пример его использования для приближенного решения задачи изгиба непрямоугольной балки на упругом основании переменной жесткости (см. рис. 10.8) был описан в § 10.6. Угнутая линия рассмотренной в этом примере балки задвалась в виде ряда

$$w(x) = \sum_{k=1}^N a_k f_k(x), \quad k = 1, 2, \dots, N, \quad (16.165)$$

где a_k — неизвестные параметры; $f_k(x)$ — фундаментальные функции (вспорсы, связанные с их выбором, подробно обсуждались в § 10.6).

Для определения параметров a_k с помощью метода Рунда была получена система алгебраических уравнений (10.76'):

$$\sum_{k=1}^N A_{ik} a_k = B_i, \quad k = 1, 2, \dots, N. \quad (16.166)$$

Здесь коэффициенты A_{ik} зависят от геометрических и жесткостных параметров балки и значений коэффициентов B_i — от параметров внешней нагрузки и закона ее изменения по длине балки.

Будем в дальнейшем полагать, что параметры a_k найдены и, следовательно, определено выражение (16.165) для угнутой линии балки. Остальные элементы изгиба, в частности избыточный момент и перерезывающая сила, как и прежде b_k , можно определить путем дифференцирования ряда (16.165) с последующим использованием известных зависимостей Журавского — Шведлера

$$M(x) = EI(x)w''(x); \quad N(x) = [EI(x)w'(x)]'. \quad (16.167)$$

Однако полученные при этом ряды сходится относительно плохо, что заставляет либо удерживать в рядах большое число членов, либо применять специальные приемы ускорения сходимости.

Одним из таких приемов является отыскание избыточных моментов и перерезывающих сил с помощью интегрирования суммарной поперечной нагрузки, действующей на балку. Реакции упругого основания при этом определяются зависимостью

$$r(x) = k(x) \sum_{k=1}^N a_k f_k(x). \quad (16.168)$$

а суммарная нагрузка на балку (см. рис. 13.8)

$$q_1(x) = q(x) + P\delta(x-a) + \mathfrak{M}'(x-b) - k(x) \sum_{k=1}^n a_k f_k(x). \quad (16.169)$$

Интегрируя выражение (16.169), находим

$$N(x) = \int_0^x q_1(x) dx + N_0; \quad M(x) = \int_0^x q_1(x) dx^2 + N_0 x + M_0,$$

или, если воспользоваться формулой (16.169) для $q_1(x)$ и учесть, что момент \mathfrak{M} является моментом второго рода,

$$\left. \begin{aligned} N(x) &= \int_0^x q(\xi) d\xi + \mathfrak{M}P - \sum_{k=1}^n a_k \int_0^x k(\xi) f_k(\xi) d\xi + N_0 \\ M(x) &= \int_0^x d\xi_1 \int_0^{\xi_1} q(\xi) d\xi + \mathfrak{M}P(x-a) + \\ &+ \mathfrak{M}\mathfrak{M} - \sum_{k=1}^n a_k \int_0^x d\xi_2 \int_0^{\xi_2} k(\xi) f_k(\xi) d\xi + N_0 x + M_0 \end{aligned} \right\} (16.170)$$

где M_0 , M_0 — постоянные интегрирования, представляющие собой значения перерезывающей силы и изгибающего момента в начале координат, которые для рассматриваемой балки определяются из граничных условий ее закрепления:

$$\text{при } x=I \quad M(I) = 0; \quad \varpi(I) = AN(I). \quad (16.171)$$

Внося сюда найденные выше значения $\varpi(I)$, $M(I)$ и $N(I)$, получаем два алгебраических уравнения, из которых сможем найти значения N_0 и M_0 .

Метод начальных параметров. Суть данного метода была изложена в гл. 8. Там же был приведен пример, иллюстрирующий его использование для приближенного решения задач изгиба трехгранчатых балок. С помощью этого метода сравнительно легко можно получить приближенное решение и для более сложных задач, в частности задач изгиба непрямоугольных балок, лежащих на упругом основании.

Изгиб таких балок с учетом деформаций сдвига описывается дифференциальным уравнением (16.134):

$$[EI(x) \varpi''(x)]'' - T(x) \varpi''(x) + k(x) \varpi_1(x) = q(x), \quad (16.172)$$

где

$$T(x) = k(x) EI(x) / G\omega_0. \quad (16.173)$$

Уравнение (16.172) можно переписать в виде совокупности четырех дифференциальных уравнений второго порядка:

$$\left. \begin{aligned} \varpi_1'(x) &= \vartheta(x); \\ \vartheta'(x) &= M(x) / [EI(x)]; \\ M'(x) &= N(x); \\ N'(x) &= q(x) + T(x) M(x) / [EI(x)] - k(x) \varpi_1(x). \end{aligned} \right\} (16.174)$$

Полученная система, в свою очередь, может быть представлена одним матричным уравнением

$$\mathbf{W}'(x) = \mathbf{A}(x) \mathbf{W}(x) + \mathbf{B}(x), \quad (16.175)$$

где

$$\left. \begin{aligned} \mathbf{W}(x) &= \begin{Bmatrix} \varpi_1(x) \\ \vartheta(x) \\ M(x) \\ N(x) \end{Bmatrix}; \quad \mathbf{B}(x) = \begin{Bmatrix} 0 \\ 0 \\ 0 \\ q(x) \end{Bmatrix}; \\ \mathbf{A}(x) &= \begin{bmatrix} 0 & 1 & 0 & 0 \\ 0 & 0 & 1/[EI(x)] & 0 \\ 0 & 0 & 0 & 1 \\ -k(x) & 0 & T/[EI(x)] & 0 \end{bmatrix} \end{aligned} \right\} (16.176)$$

Обратимся к граничным условиям и рассмотрим наиболее общий случай закрепления балки. Пусть левый и правый концы балки опираются на упругие опоры с коэффициентами податливости A_1 и A_2 и одновременно упруго зашпелены в закреплениях с коэффициентами \mathfrak{M}_1 и \mathfrak{M}_2 , т. е.

$$\text{при } x=0 \quad \varpi_1' = \mathfrak{M}_1 EI \varpi_1''; \\ \varpi_2 + \varpi_3 = \varpi_1 - EI \varpi_1'' / (G\omega_0) = -A_1 (EI \varpi_1'');$$

$$\text{при } x=I \quad \varpi_1' = -\mathfrak{M}_2 EI \varpi_1''; \\ \varpi_1 + \varpi_2 = \varpi_1 - EI \varpi_1'' / (G\omega_0) = A_2 (EI \varpi_1'');$$

или, если воспользоваться обозначениями для элементов вектора \mathbf{W} ,

$$\left. \begin{aligned} \text{при } x=0 \quad \vartheta(0) &= \mathfrak{M}_1 M(0); \quad \varpi_1(0) - M(0) / (G\omega_0) = -A_1 N(0); \\ \text{при } x=I \quad \vartheta(I) &= -\mathfrak{M}_2 M(I); \quad \varpi_1(I) - M(I) / (G\omega_0) = A_2 N(I). \end{aligned} \right\} (16.177)$$

Полученные граничные условия можно переписать в матричной форме:

$$\left. \begin{aligned} \text{при } x=0 \quad \mathbf{C}_1(0) \mathbf{W}(0) &= \mathbf{D}_1(0); \\ \text{при } x=I \quad \mathbf{C}_2(I) \mathbf{W}(I) &= \mathbf{D}_2(I). \end{aligned} \right\} (16.178)$$

Значения матриц C_0, C_1, D_1, D_2 легко выписать непосредственно путем сопоставления выражений (16.177) и (16.178). Таким образом, все основные зависимости, описывающие изгиб рассматриваемой балки, представлены в матричной форме: уравнение изгиба (16.172) — в форме матричного дифференциального уравнения (16.175), а граничные условия (16.174) — в виде двух матричных зависимостей (16.178).

Использование метода начальных параметров для приближенного интегрирования дифференциального матричного уравнения типа (16.175) при граничных условиях типа (16.178) подробно излагалось в гл. 8.

Алгоритм метода начальных параметров обладает простотой и наглядностью. Однако включение жесткости упругого основания приводит к появлению в расчетном алгоритме малых разностей близких значений и, как следствие, к потере точности всего расчета. Поэтому для получения удовлетворительных результатов вычисления часто приходится вести с сохранением в мантиссе числа 16—18 десятичных разрядов, т. е. применительно к машинным сериям ЕС с удвоенной разрядной сеткой.

Известны методы численного решения одномерных задач строительной механики, в которых преодолевается указанный выше недостаток метода начальных параметров. К ним относятся, в частности, метод прогонки¹ и метод парциальных отказов [64]. Эти методы в учебнике не рассматриваются, и желающим ознакомиться с ними следует обратиться к оригинальным работам авторов упомянутых методов. Изложение этих методов также содержится в работах [40; 51, т. 2].

Метод конечных элементов. При использовании МКЭ балка переменного сечения, лежащая на сплошном упругом основании переменной жесткости, может быть представлена в виде последовательности соединенных в узловых точках призматических элементов. Жесткость упругого основания в пределах длины каждого элемента можно считать постоянной.

Из материалов гл. II известны основные положения МКЭ применительно к расчету стержневых систем. Данная задача отличается от изученных ранее наличием упругого основания у балочных элементов, что скажется на их матрицах жесткости и векторах узловых сил.

Рассмотрим призматический балочный элемент на упругом основании постоянной жесткости. Элемент балки нагружен усилиями взаимодействия R_1, R_2, R_3, R_4 со смежными конечными элементами. Введем в анализ также вектор узловых перемещений $\{q\} = \{q_1, q_2, q_3, q_4\}$. Положительные направления узловых усилий (перемещающих сил и изгибающих моментов) и узловых перемещений (поперечных смещений и углов поворота) приведены на рис. 16.19.

¹ Гельфанд И. Н., Лоскутский О. В. Метод прогонки для решения разностных уравнений // Труды С. К. Федоскина В. С. Введенно в теории разностных схем. М., Физматлит, 1982. С. 402.

Вектор узловых усилий $\{R\}$ связан с вектором узловых перемещений $\{q\}$ зависимостью

$$\{R\} = [K] \{q\}, \quad (16.179)$$

где $[K]$ — матрица жесткости элемента балки на упругом основании, которую можно получить, применив для описания упругой линии общий интеграл однородного уравнения балки на упругом основании, выраженный, например, через функции Пуассона:

$$w(x) = D_0 V_3(ax) + D_1 V_1(ax) + D_2 V_2(ax) + D_3 V_3(ax).$$

Для отыскания первого столбца матрицы жесткости общий интеграл необходимо подставить условиям

$$\text{при } x=0 \quad q_1 = w(0) = 1; \quad q_2 = w'(0) = 0;$$

$$\text{при } x=a \quad q_3 = w(a) = 0; \quad q_4 = w'(a) = 0.$$

После определения произвольных постоянных должны быть найдены перемещающие силы и изгибающие моменты в конечных сечениях элемента, которые и представляют собой компоненты первого столбца матрицы жесткости. Также можно определить и остальные столбцы этой матрицы.

Матрица, найденная таким образом, обладает высокой точностью и пригодна для использования при любой длине элемента, но весьма неудобна для вычисления. Для получения упрощенного выражения матрицы заметим, что влияние упругого основания на параметры изгиба элемента зависит от значения параметра

$$\alpha = (aq/2) \sqrt{k/(4EI)}. \quad (16.180)$$

Величину α нетрудно оценить в каждой конкретной задаче и выбрать α (для каждого конечного элемента) таким, чтобы α не превосходило 0,1—0,2. При соблюдении этого условия упругая линия элемента, лежащего на упругом основании, будет балка с упругой линией такого же элемента, но без упругого основания [см. формулы (11.71), (11.72)]:

$$w(x) = \sum_{i=1}^4 q_i \Phi_i(x), \quad (16.181)$$

где

$$\left. \begin{aligned} \Phi_1(x) &= 1 - 3x^2/a^2 + 2x^3/a^3; & \Phi_2(x) &= x - 2x^2/a + x^3/a^2; \\ \Phi_3(x) &= 3x^2/a^2 - 2x^3/a^3; & \Phi_4(x) &= -x^3/a + x^4/a^2 \end{aligned} \right\} \quad (16.182)$$

— одномерные функции Эрмита.



Рис. 16.19

Для получения матрицы жесткости элемента воспользуемся приемом, который требует предварительного определения потенциальной энергии элемента балки

$$P = \frac{EJ}{2} \int_0^l (\omega''(x))^2 dx + \frac{k}{2} \int_0^l \omega^2(x) dx. \quad (16.183)$$

Первое слагаемое выражения (16.183) определяет потенциальную энергию изгиба элемента, второе — потенциальную энергию упругого основания.

Подставляя зависимость (16.181) в формулу (16.183), получаем

$$P = \frac{1}{2} \sum_{i=1}^4 \sum_{j=1}^4 (k_{ij}^{(1)} + k_{ij}^{(2)}) q_i q_j. \quad (16.184)$$

Здесь $k_{ij}^{(1)}$ — элементы матрицы жесткости балочного элемента $[K]_b = [k_{ij}^{(1)}]$ [см. формулу (11.77)], $k_{ij}^{(2)}$ — элементы матрицы жесткости упругого основания $[K]_{b, \text{с}}$ — $[k_{ij}^{(2)}]$, равные

$$k_{ii}^{(2)} = EJ \int_0^l \partial_i^* (x) \partial_i^* (x) dx; \quad k_{ij}^{(2)} = k \int_0^l \partial_i (x) \partial_j (x) dx. \quad (16.185)$$

Выполняя перемножение функций, входящих во второе выражение (16.185), и интегрирование, находим матрицу жесткости упругого основания

$$[K]_{b, \text{с}} = \frac{ak}{30} \begin{bmatrix} 13 & 11a/6 & 9/2 & -13a/12 \\ & a^2/3 & 13a/12 & -a^2/4 \\ & & 13 & -11a/6 \\ & & & a^2/3 \end{bmatrix}. \quad (16.186)$$

Симметрично

Матрица жесткости балочного элемента, работающего на изгиб и лежащего на упругом основании, будет равна

$$[K] = [K]_b + [K]_{b, \text{с}}. \quad (16.187)$$

Для определения эквивалентных узловых усилий $\{P\}$ следует воспользоваться формулой (11.32). В результате получим следующие выражения для определения i -го элемента матрицы $\{P\}$:

$$P_i = \int_0^l q(x) \partial_i(x) dx, \quad (16.188)$$

где $q(x)$ — интенсивность поперечной нагрузки, действующей на конечный элемент. Отсюда для $q(x) = q_0 = \text{const}$

$$\{P\} = \frac{q_0 l}{2} \left[1, \frac{a}{6}, 1, -\frac{a}{3} \right]; \quad (16.189)$$

для $q(x) = q_0 x/l$

$$\{P\} = \frac{q_0 l}{30} \left[3, \frac{2}{3} a, 7, -a \right]. \quad (16.190)$$

Раскладывая найденными выше значениями матрицы жесткости и вектора эквивалентных узловых нагрузок и руководствуясь схемой и последовательностью основных операций МКЭ (см. § 11.9), можно легко выполнить расчет любой неэрмитической балки, лежащей на сплошном упругом основании переменной жесткости.

§ 16.8. Изгиб составных стержней с упругими связями

Составным называется такой стержень, который состоит из двух или нескольких монолитных стержней, соединенных по продольным краям упругими связями.

В зависимости от вида усилий, которые передаются связями, различают связи сдвиг, передающие касательные усилия, и поперечные, передающие усилия, нормальные к оси стержня. В предельном случае, когда податливость связей равна нулю, составной стержень превращается в монолитный.

Расчет прочности ряда судовых конструкций сводится к рассмотрению изгиба составных стержней. Примером может служить задача о совместном изгибе плавучего дока и находящегося в нем судна. В этой задаче два стержня, моделирующие корпус судна и плавучего дока, соединены упругими поперечными связями (кальблонами) и совместно сопротивляются действующей на док и судно поперечной нагрузке. Другим примером является задача об изгибе корпуса судна, имеющего одноярусную или многоярусную надстройку. Простейшая модель такой конструкции — составной стержень, отдельные монолитные стержни которого соединены связями, имеющими конечную жесткость на сдвиг и растяжение-сжатие.

Дифференциальное уравнение изгиба составного стержня. В дальнейшем ограничимся рассмотрением плоских составных стержней, у которых изгиб всех составляющих стержней происходит в одной плоскости, совпадающей с одной из главных плоскостей поперечных сечений всех стержней. Будем считать, что связь между стержнями идеально упруга и непрерывна, а их совместное действие сдвиг может характеризоваться погонными коэффициентами жесткости на сдвиг k_c и на растяжение-сжатие k_n , равными

$$k_c = \tau/\delta_c; \quad k_n = r/\delta_n, \quad (16.191)$$

где τ — интенсивность касательного усилия на краях упругой связи; δ_c — относительное продольное перемещение краев упругой связи под действием усилий τ ; r — интенсивность нормального усилия на упругую связь; δ_n — относительное поперечное перемещение краев упругой связи под действием усилий r . Как следует из формул (16.191), коэффициенты жесткости k_c и k_n имеют размерность силы, деленной на квадрат длины. Для конкретных связей определение k_c и k_n производят путем измерения или измерения перемещений, вызванных приложением нагрузки единичной

интенсивности. Заметим, что по физическому смыслу величина k_1 совпадает с уже известным понятием коэффициента жесткости упругого основания.

Налагаемая ниже теория изгиба составных стержней разработана А. Р. Ржевницким и базируется на предположении о применимости технической теории изгиба балок к каждому из монолитных стержней, входящих в состав.

Рассмотрим стержень, состоящий из двух параллельных монолитных стержней, соединенных упругими связями с постоянными по длине стержня жесткостями на сдвиг и растяжение-сжатие (рис. 16.20).

Пусть первый стержень загружен поперечной нагрузкой $q_1(x)$, а к его концевым сечениям приложены растягивающие усилия T_1^* и

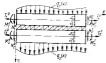


Рис. 16.20



Рис. 16.21

T_2^* , перерезывающие силы N_1^* и N_2^* и изгибающие моменты M_1^* и M_2^* . Ко второму стержню приложена аналогичная нагрузка, компоненты которой $q_2(x)$, T_2^* , N_2^* , M_2^* .

Для составления дифференциального уравнения изгиба разрежем мысленно связи, соединяющие стержни, и их действие заменим реактивными касательной $\tau(x)$ и нормальной $r(x)$ нагрузками.

Нагрузки, действующие на стержни, включая и реактивные нагрузки $\tau(x)$ и $r(x)$, показаны на рис. 16.21.

Найдем выражение для изгибающих моментов в поперечных сечениях первого и второго стержней:

$$\begin{aligned} M_1(x) &= \int_0^x \int_0^x [q_1(x) + r(x)] dx^2 + a_1 \int_0^x \tau(x) dx + N_1^* x + M_1^* \\ M_2(x) &= \int_0^x \int_0^x [q_2(x) - r(x)] dx^2 + b_2 \int_0^x \tau(x) dx + N_2^* x + M_2^* \end{aligned} \quad (16.192)$$

Изгибающие моменты связаны с упругими линиями стержней известными зависимостями

$$E_1 I_1 w_1'' = M_1(x); \quad E_2 I_2 w_2'' = M_2(x), \quad (16.193)$$

где E_1 , E_2 — модули упругости стержней; I_1 , I_2 — центральные моменты инерции площадей поперечных сечений стержней.

После двукратного дифференцирования выражений (16.193) с учетом формул (16.192) получим

$$\begin{aligned} E_1 I_1 w_1^{IV} &= q_1(x) + r(x) + a_1 \tau'(x) \\ E_2 I_2 w_2^{IV} &= q_2(x) - r(x) + b_2 \tau'(x). \end{aligned} \quad (16.194)$$

В уравнениях (16.194) входят две неизвестные реактивные нагрузки $r(x)$ и $\tau(x)$. Для их определения необходимо рассмотреть условия совместности деформаций первого и второго стержней. По условию связи разрыва перемещений верхней кромки второго стержня и нижней кромки первого связаны с условиями $r(x)$ и $\tau(x)$ зависимостями (16.191):

$$\begin{aligned} \delta_1 &= a_1^* [w_1''(x) - w_2''(x) - r(x)]/k_1 \\ \delta_2 &= a_2^* [w_2''(x) - w_1''(x) - \tau(x)]/k_2 \end{aligned} \quad (16.195)$$

или

$$\begin{aligned} r(x) &= k_1 [a_1^* w_1''(x) - a_1^* w_2''(x)] \\ \tau(x) &= k_2 [a_2^* w_2''(x) - a_2^* w_1''(x)]. \end{aligned} \quad (16.196)$$

Из уравнений (16.196) находим производную

$$\tau'(x) = k_2 [w_2'''(x) - w_1'''(x)], \quad (16.197)$$

где $w_1'''(x) = [w_1''(x)]'$, $w_2'''(x) = [w_2''(x)]'$ — линейные деформации в направлении оси x соответственно нижней кромки первого и верхней кромки второго стержней.

При определении деформаций w_1'' и w_2'' кромок стержней учтем влияние искривления плоских сечений стержней под действием касательных усилий $\tau(x)$. Перемещения кромок вследствие воздействия касательных усилий определим по приближенным зависимостям

$$\Delta w_1'' = \tau(x)/\lambda_1; \quad \Delta w_2'' = -\tau(x)/\lambda_2 \quad (16.198)$$

где λ_1 , λ_2 — коэффициенты жесткости на сдвиг первого и второго стержней соответственно.

Дополнительные деформации кромок, обусловленные сдвигом (искривлением поперечных сечений), равны

$$\Delta w_1'(x) = \tau'(x)/\lambda_1; \quad \Delta w_2'(x) = -\tau'(x)/\lambda_2 \quad (16.199)$$

Добавляя к деформациям (16.199) деформации кромок, определяемые в соответствии с гипотезой плоских сечений, получаем

$$\begin{aligned} w_1''(x) &= \tau'(x)/\lambda_1 - w_1''(x) a_1 + \left[T_1^* - \int_0^x \tau(x) dx \right] / (E_1 F_1) \\ w_2''(x) &= -\tau'(x)/\lambda_2 + w_2''(x) b_2 + \left[T_2^* + \int_0^x \tau(x) dx \right] / (E_2 F_2) \end{aligned} \quad (16.200)$$

Здесь $E_i F_i$ — жесткость на растяжение-сжатие i -го стержня; $w_i(x)$ — прогиб i -го стержня.

После подстановки выражений (16.200) в зависимость (16.197) последние преобразуются к следующему виду:

$$\frac{1}{k_2} r'(x) = -\frac{\int \tau(x) dx}{EF} + \frac{r_1^0}{E_1 F_1} - \frac{r_2^0}{E_2 F_2} = w_1^0 a_1 + w_2^0 b_2 \quad (16.201)$$

где

$$1/k_2 = 1/k_1 + 1/k_3 + 1/k_4; \quad 1/(EF) = 1/(E_1 F_1) + 1/(E_2 F_2). \quad (16.202)$$

Дифференцируя равенство (16.201) один раз по x , приходим к уравнению

$$r''(x) - k_2 \tau(x)/(EF) = k_2 (w_1'' a_1 + w_2'' b_2). \quad (16.203)$$

Исключая из равенств (16.194) неизвестные усилия $r(x)$ с помощью зависимости (16.196), находим

$$\left. \begin{aligned} E_1 F_1 w_1^{IV} + k_2 (w_1 - w_2) &= q_1(x) + a_1 r'(x); \\ E_2 F_2 w_2^{IV} + k_2 (w_2 - w_1) &= q_2(x) + b_2 r'(x). \end{aligned} \right\} \quad (16.204)$$

Совокупность уравнений (16.204) и (16.203) описывает изгиб составного стержня. Совместное интегрирование этих уравнений позволяет определить неизвестные функции $w_1(x)$, $w_2(x)$ и $r(x)$. Произвольные постоянные интегрирования, как обычно, определяются из граничных условий. Занять четыре граничных условия по концам каждого составляющего стержня не представляется особым затруднением, и здесь не приводится.

Нетрудно составить граничные условия и для определения двух произвольных постоянных, появляющихся при интегрировании уравнения (16.203). Действительно, составив уравнения равновесия каждого из стержней по направлению оси x , получаем

$$\left. \begin{aligned} T_1^l &= T_1^r - \int_0^l \tau(x) dx; \\ T_2^l &= T_2^r + \int_0^l \tau(x) dx. \end{aligned} \right\} \quad (16.205)$$

где T_i^l — осевые растягивающие силы, приложенные в правом сечении ($x=l$) i -го стержня. Тогда на основании выражений (16.201) с использованием зависимостей (16.205) и (16.202) можно получить известные граничные условия для функции $r(x)$:

$$\left. \begin{aligned} \frac{1}{k_2} r'(x) \Big|_{x=0} &= -\frac{r_1^0}{E_1 F_1} + \frac{r_2^0}{E_2 F_2} + w_1^0(0) a_1 + w_2^0(0) b_2; \\ \frac{1}{k_2} r'(x) \Big|_{x=l} &= -\frac{r_1^l}{E_1 F_1} + \frac{r_2^l}{E_2 F_2} + w_1^l(l) a_1 + w_2^l(l) b_2. \end{aligned} \right\} \quad (16.206)$$

Аналогично могут быть получены необходимые уравнения и граничные условия для описания поведения составного стержня, состоящего из произвольного числа n монолитных призматических стержней, соединенных непрерывными упругими связями.

Изгиб судна при постановке в плавучий док. При постановке в плавучий док судно обычно располагается на килевой дорожке, установленной на стальной-валуе дока. Схема постановки судна показана на рис. 16.22.

Система док — судно представляет собой составной стержень, состоящий из двух монолитных стержней (судна и дока), соединенных килевой дорожкой, обладающей конечной жесткостью в поперечном направлении и практически нулевой жесткостью в продольном, т. е. для килевой дорожки $k_2 = r(x) = 0$. Отсутствие касательных усилий взаимодействия между стержнями существенно

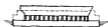


Рис. 16.22

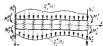


Рис. 16.23

упрощает задачу изгиба составного стержня, позволяя принять во внимание, что момент инерции площади поперечного сечения балок и коэффициент жесткости их упругой связи в общем случае зависят от координаты x .

При определении коэффициента жесткости поперечной связи k_2 учтем, что взаимное смещение нейтральных осей двух балок зависит от податливости кильблоков, поперечных ферм дока и днища судна. Если обозначить коэффициент жесткости кильблоков k_1 , коэффициент жесткости поперечных ферм дока при изгибе их между башнями k_3 , коэффициент жесткости днища судна k_4 , то коэффициент жесткости поперечной связи между судном и доком определится из следующей зависимости:

$$1/k_2 = 1/k_1 + 1/k_3 + 1/k_4. \quad (16.207)$$

При составлении уравнений следует также учесть, что между верхней кромкой кильблоков и линией кила судна может существовать зазор $\Delta(x)$, появление которого связано как со строительной погрешностью судна и технологической непрямолинейностью верхней кромки килевой дорожки, так и с прогибом поперечных ферм дока относительно башен дока, вызванным нагрузками, ее зависшими от реакции кильблоков (собственным весом конструкций, весом балласта и т. п.).

С учетом сказанного вместо зависимостей (16.196) следует записать

$$\left. \begin{aligned} r(x) &= k_2(x) [w_2(x) - w_1(x) - \Delta(x)]; \\ \tau(x) &= 0. \end{aligned} \right\} \quad (16.208)$$

где величину $\Delta(x)$ полагаем известной.

Подставляя выражение (16.208) в формулы (16.194) и учитывая неспряженность балок, находим

$$\left. \begin{aligned} [E_1 I_1(x) w_1''(x)]' + k_1(x) [w_1(x) - w_2(x)] &= q_1'(x) \\ [E_2 I_2(x) w_2''(x)]' + k_2(x) [w_2(x) - w_1(x)] &= q_2'(x) \end{aligned} \right\} (16.209)$$

Здесь

$$\left. \begin{aligned} q_1'(x) &= q_1(x) - k_1(x) \Delta(x) \\ q_2'(x) &= q_2(x) + k_2(x) \Delta(x) \end{aligned} \right\} (16.210)$$

Граничные условия для нахождения $w_1(x)$ и $w_2(x)$ определяются наличием сходящихся к пределу килевой дорожки частей судна и дока. На рис. 16.23 показаны сосредоточенные силы и моменты, действующие в поперечных сечениях балок, входящих в состав рассматриваемого составного стержня.

В соответствии с рис. 16.23 получим граничные условия:

$$\left. \begin{aligned} \text{при } x=0 \quad & E_1 I_1 w_1'' = M_1^0; \quad E_2 I_2 w_2'' = M_2^0; \\ & (E_1 I_1 w_1''') = N_1^0; \quad (E_2 I_2 w_2''') = N_2^0; \\ \text{при } x=l \quad & E_1 I_1 w_1'' = M_1^l; \quad E_2 I_2 w_2'' = M_2^l; \\ & (E_1 I_1 w_1''') = -N_1^l; \quad (E_2 I_2 w_2''') = -N_2^l \end{aligned} \right\} (16.211)$$

Здесь M_1^0, M_2^0 — моменты сил тяжести сходящихся частей судна относительно кромок килевой дорожки; N_1^0, N_2^0 — силы тяжести сходящихся частей судна; M_1^l, M_2^l — моменты сил N_1^l и N_2^l относительно кромок килевой дорожки; N_2^l, N_1^l — разности между силами тяжести и силами подерживаний частей дока, находящихся за пределами килевой дорожки.

Решение сформулированной задачи может быть получено одним из рассмотренных в § 16.7 методов.

Система двух балок (см. рис. 16.23), связанных упругим слоем, испытывает воздействие суммарного изгибающего момента $M(x)$, зависящего только от внешних нагрузок:

$$M(x) = (N_1^0 + N_2^0)x + M_1^0 + M_2^0 + \int_0^x (q_1 + q_2) dx. \quad (16.212)$$

Заметим, что

$$q_1' + q_2' = q_1 + q_2. \quad (16.213)$$

Распределение момента $M(x)$ между балками зависит от соотношения их жесткостей, жесткости упругого слоя, величина $\Delta(x)$.

Во всех случаях

$$M(x) = M_1(x) + M_2(x), \quad (16.214)$$

где $M_1(x)$ и $M_2(x)$ — изгибающие моменты в сечениях судна и дока соответственно.

В предельном случае, когда жесткость упругого слоя бесконечно велика, а зазор $\Delta(x)$ отсутствует, прогибы обеих балок одинаковы. Положим $w(x) = w_1(x) = w_2(x)$, из равенств (16.214) найдем

$$\left. \begin{aligned} M(x) &= (E_1 I_1 + E_2 I_2) w''(x); \\ M_1(x) &= E_1 I_1 w''(x) = E_1 I_1 M(x) / (E_1 I_1 + E_2 I_2); \\ M_2(x) &= E_2 I_2 w''(x) = E_2 I_2 M(x) / (E_1 I_1 + E_2 I_2). \end{aligned} \right\} (16.215)$$

В общем случае

$$w(x) = w_1(x) = w_2(x) \neq 0. \quad (16.216)$$

Уравнение (16.209) и граничные условия (16.211) позволяют сформулировать задачу по определению функции $w(x)$, представляющей собой разность упругих перемещений судна и дока.

Из уравнений (16.209) после двукратного интегрирования с учетом граничных условий (16.211) следует зависимость

$$\begin{aligned} w''(x) - w_1''(x) - w_2''(x) &= \frac{1}{E_1 I_1} \int_0^x q_1'(x) dx - \frac{1}{E_2 I_2} \int_0^x q_2'(x) dx - \\ &- \frac{1}{EI} \int_0^x k_2(x) [w_1(x) - w_2(x)] dx + \frac{M_1^0}{E_1 I_1} - \frac{M_2^0}{E_2 I_2} + x \left(\frac{N_1^0}{E_1 I_1} - \frac{N_2^0}{E_2 I_2} \right), \end{aligned} \quad (16.217)$$

где

$$1/(EI) = 1/(E_1 I_1) + 1/(E_2 I_2). \quad (16.218)$$

Умножив уравнение (16.217) на EI и проинтегрировав результат дважды, получим дифференциальное уравнение для отыскания $w(x)$:

$$[EI w''(x)]'' + k_2 w(x) = \bar{q}(x). \quad (16.219)$$

Здесь

$$\begin{aligned} \bar{q}(x) &= \frac{d^2}{dx^2} \left[\frac{EI}{k_2 l} \int_0^x q_1'(x) dx - \frac{EI}{k_2 l} \int_0^x q_2'(x) dx + \right. \\ &\left. + \frac{EI}{k_2 l} (M_1^0 + x N_1^0) - \frac{EI}{k_2 l} (M_2^0 + x N_2^0) \right]. \end{aligned}$$

Заметим, что для балок постоянного сечения

$$\bar{q}(x) = EI q_1'(x) / (E_1 I_1) - EI q_2'(x) / (E_2 I_2). \quad (16.220)$$

С помощью преобразований, аналогичных вышеприведенным, находим граничные условия, которым должна удовлетворять функция $w(x)$:

при $x=0$

$$\left. \begin{aligned} EI w''(x) &= \frac{EI}{E_1 I_1} M_1^0 - \frac{EI}{E_2 I_2} M_2^0; \\ [EI w''(x)]' &= \frac{EI}{E_1 I_1} N_1^0 - \frac{EI}{E_2 I_2} N_2^0 + \left(\frac{EI}{E_1 I_1} \right)' M_1^0 - \left(\frac{EI}{E_2 I_2} \right)' M_2^0 \end{aligned} \right\} (16.221)$$

при $x=1$

$$\left. \begin{aligned} EI\omega''(x) &= \frac{EI}{E_1J_1} M_1^* - \frac{EI}{E_2J_2} M_2^* \\ [EI\omega''(x)]' &= -\frac{EI}{E_1J_1} N_1^* + \frac{EI}{E_2J_2} N_2^* + \left(\frac{EI}{E_1J_1}\right)' M_1^* - \left(\frac{EI}{E_2J_2}\right)' M_2^* \end{aligned} \right\} (16.222)$$

После определения $\bar{w}(x)$ найдем

$$\bar{M}(x) = EI\omega''(x) = EIM_1(x)(E_1J_1)^{-1} - EIM_2(x)(E_2J_2)^{-1}, (16.223)$$

где $M_1(x)$ и $M_2(x)$ — изгибающие моменты в сечении доки и судна соответственно.

Из равенств (16.214) и (16.223) следует:

$$\left. \begin{aligned} M_1(x) &= E_1J_1M(x)(E_1J_1 + E_2J_2) + \bar{M}(x); \\ M_2(x) &= E_2J_2M(x)(E_1J_1 + E_2J_2) - \bar{M}(x). \end{aligned} \right\} (16.224)$$

Аналогично определяются значения передеформированных сил в корпусе судна и доки.

С помощью введения функции $\bar{w}(x)$ исходная задача, требовавшая решения системы двух дифференциальных уравнений 4-го порядка (16.209), была сведена к одному дифференциальному уравнению (16.219).



Совместный изгиб корпуса судна и одноосевой надстройки. Корпус судна с одноосевой надстройкой является примером составного стержня, имеющего в своем составе два монолитных стержня — надстройку и корпус судна (рис. 16.24).

Рис. 16.24

Будем считать, что борта судна и надстройки лежат в одной плоскости. Это позволяет принимать жесткость поперечных связей бесконечно большой ($k_s = \infty$). Что касается связей сдвига, то величину k_c также следует принимать бесконечно большой, поскольку борта надстройки соединены с бортами судна сварным швом. Однако, как выше уже отмечалось, необходимо учитывать искривление поперечных сечений как надстройки, так и корпуса судна вследствие сдвига, что приводит к конечной величине коэффициента жесткости на сдвиг. Воспользовавшись зависимостью (16.202), найдем коэффициент сдвиговой жесткости упругой связи:

$$k_0 = \lambda_1 \lambda_2 (\lambda_1 + \lambda_2),$$

где λ_1 и λ_2 — коэффициенты жесткости на сдвиг надстройки и судна, введенные зависимостями (16.198). Фактически определение коэффициентов λ_1 и λ_2 требует решения задачи теории упругости о перемещениях, вызванных касательными усилиями $\tau(x)$ в надстройке и корпусе судна. Не останавливаясь на этих решениях, будем считать λ_1 и λ_2 известными.

С учетом сказанного в системе уравнений (16.204), (16.203) следует положить $\omega_2(x) = \omega_1(x)$. В результате упомянутая система преобразуется к следующему виду:

$$\left. \begin{aligned} \tau''(x) - \frac{k_0}{2EI} \tau(x) - k_0 \omega''(x); \\ EI\omega''(x) = q_1(x) + q_2(x) + e\tau'(x), \end{aligned} \right\} (16.225)$$

где $e = a_1 + b_1$; $EI^* = E_1J_1 + E_2J_2$. Дифференцируя первое из уравнений по x и исключая из него $\omega''(x)$ с помощью второго, получаем

$$\tau'''(x) - a^2\tau'(x) = q(x), (16.226)$$

Здесь

$$a^2 = [k_0(EF) + e^2(E\Gamma)]/k_0; (16.227)$$

$$q(x) = [k_0e(E\Gamma)]/k_0 [q_1(x) + q_2(x)]. (16.228)$$

Величина $q_1(x) + q_2(x)$ представляет собой интенсивность суммарной нагрузки, действующей на судно и надстройку. Предполагая, что надстройка занимает относительно небольшую часть длины судна, будем считать нагрузку $q(x) = q_1(x) + q_2(x)$ изменяющейся на длине надстройки по линейному закону. Тогда общий интеграл уравнения (16.226) имеет следующий вид:

$$\tau'(x) = A \operatorname{ch} ax + B \operatorname{sh} ax - q(x)/a^2. (16.229)$$

Постоянные интегрирования надо определить из граничных условий (16.205), которые в рассматриваемом случае равны:

$$\text{при } x = -0,5l \quad \tau'(x)k_0 = M_0^*e(E\Gamma); \quad \text{при } x = 0,5l \quad \tau'(x)k_0 = M_0^*e(E\Gamma). (16.230)$$

Определив постоянные A и B из граничных условий (16.230), получаем

$$\tau'(x) = \frac{k_0 e}{EI} \left[\left(\frac{M_0^* + M_1^*}{2} + \frac{q}{a^2} \right) \frac{\operatorname{ch} ax}{\operatorname{ch} a \frac{l}{2}} + \frac{M_1^* - M_0^*}{2} \frac{\operatorname{sh} ax}{\operatorname{sh} a \frac{l}{2}} - \frac{q}{a^2} \right]. (16.231)$$

В дальнейшем ограничимся случаем, когда изгибающие моменты в сечении корпуса у концов надстройки одинаковы, а нагрузка в пределах надстройки постоянна: $M_0^* = M_1^* = M$; $q = \operatorname{const}$. В этом случае

$$\tau'(x) = [k_0 e(E\Gamma)]/EI (M + q/a^2) \operatorname{ch} ax / \operatorname{ch} a l / 2 - q/a^2. (16.232)$$

Интегрируя выражение (16.232), найдем

$$\tau(x) = [k_0 e(E\Gamma) a] / EI (M + q/a^2) \operatorname{sh} ax / \operatorname{ch} a l / 2 - qx/a^2 + D. (16.233)$$

Условие статического равновесия надстройки, мысленно отделенной от корпуса, а проекция сил на ось ox приводит к условию

$$\int_0^l \tau(x) dx = 0, \text{ на которого следует, что } D = 0.$$

Омнитательно для касательных усилий по линии присоединения надстройки к корпусу получим выражение

$$\tau(x) = [h_p e(E/a)] [(M + q/a^2) \sin \alpha x / ch \alpha l / 2 - q x / a^2]. \quad (16.234)$$

Для отыскания изгибающих моментов, действующих в сечении надстройки в корпусе, определим кривоизупругую линию рассматриваемого составного стержня. Из второго уравнения (16.225) следует, что

$$EI^* \omega''(x) = M(x) + e \int_{-L_1}^x \tau(x) dx, \quad (16.235)$$

где $M(x) = M_1^* + M_2^* x + \int_{-L_1}^x \int_{-L_2}^x q(x) dx^2$ — изгибающий момент, действующий в сечении x составного стержня.

Изгибающие моменты в надстройке и корпусе судна определяются соответственно по формулам $M_1(x) = EI_1 \omega''(x)$; $M_2(x) = -EI_2 \omega''(x)$. С учетом (16.235)

$$\begin{aligned} M_1(x) &= \frac{EI_1}{EI^*} \left[M(x) + e \int_{-L_1}^x \tau(x) dx \right]; \\ M_2(x) &= -\frac{EI_2}{EI^*} \left[M(x) + e \int_{-L_1}^x \tau(x) dx \right]. \end{aligned} \quad (16.236)$$

Как видно из формул (16.236), изгибающий момент на концах надстройки не равен нулю, что противоречит физическому смыслу задачи. Такой результат является следствием принятой модели титовым плоских сечений и допущения о бесконечной жесткости поперечных связей ($k_s = \infty$). Поэтому использовать полученное решение для определения напряжений в надстройке можно лишь для сечений, достаточно удаленных от ее концов.

Контрольные вопросы

1. При выполнении какого условия балка, прикрепленная по несимметричному упругому основанию, может быть рассмотрена как балка, лежащая на сплошном упругом основании? Каково выражение жесткости в лонжеронах прогиба и изгибающих моментов при такой модели расчетной связи?
2. Каково отличие дифференциального уравнения кривоизупругой балки, лежащей на сплошном упругом основании, от дифференциального уравнения кривоизупругой балки без упругого основания?
3. Каковы условия удовлетворения функции Пуассона? Каков принцип суперпозиции их произведений?
4. Являются ли линейно-изгибаемыми формулы Каваянаки? Каков их функциональный смысл применительно к расчету балок, лежащих на сплошном упругом основании?
5. Как определять частные решения дифференциального уравнения кривоизупругой балки, лежащей на сплошном упругом основании постоянной жесткости при изгибе балки равномерной нагрузкой, сосредоточенной силой в произвольном сечении?

6. Как построены табличные графики осредненных арзметических балок на упругом основании постоянной жесткости, нагруженных равномерной нагрузкой?

7. Как изменяется величина зазора между балкой на прогиб жесткости пролета одноосевой балки при возрастании жесткости упругого основания?

8. Что такое коэффициент опорной пары? Как он определяется и как вычисляется при расчете балок, лежащих на сплошном упругом основании?

9. Каковы приложения теоремы о трех моментах при учете влияния упругого основания?

10. В каких практических случаях стропильной системы корабля можно использовать решение об изгибе двухосевой балки, лежащей на сплошном основании?

11. К какому численному расчетной схеме приводит учет зазора между балкой и упругим основанием?

12. Как изменяется дифференциальное уравнение кривоизупругой балки на сплошном упругом основании при учете влияния деформации основы?

13. В чем состоит приближенный метод учета влияния деформации основы, лежащей на сплошном упругом основании?

14. Как определяется жесткость опорной пары балки на упругом основании?

15. В чем состоит основной недостаток обобщенного метода начальных параметров применительно к расчету кривоизупругой балки, лежащей на сплошном упругом основании?

16. Как изменяется матрица жесткости элемента балки при учете влияния сплошного упругого основания, если предположить, что форма кривоизупругой основы?

17. Какие нагрузки вызываются в колоннах теории кривоизупругой основы?

18. Какими силами взаимодействием определяется совместная работа колонн стержней, лежащих в основании? Какие уравнения необходимо составить для определения этих сил?

19. Каковы основные свойства кривоизупругой основы, соединяющей судно и якорную цепь как элементы составного стержня?

20. К какой расчетной схеме сводится задача об изгибе судна совместно с якорной цепью?

21. Каковы свойства упругих связей, обеспечивающих совместный изгиб корпуса судна и надстройки?

22. Как основаны дифференциальные уравнения для расчета кривоизупругой балки совместно с одноосевой надстройкой?

23. Каковы граничные условия для корпуса и одноосевой надстройки, рассматриваемых как составной стержень?

24. Можно ли точно вычислять граничные условия на концах надстройки, если применять теорию кривоизупругой основы стержня, одна из которых имеет конечную жесткость только на сгибе?

Глава 17. ИЗГИБ ПЛОСКИХ ПЕРЕКРЫТИЙ

§ 17.1. Плоские перекрытия как модели судовых конструкций. Основные допущения

Плоским перекрытием называется система соединенных в одной плоскости пересекающихся балок, жестко соединенных между собой в точках пересечения, способная воспринимать нагрузку, действующую как по нормали к плоскости расположения балок, так и в этой плоскости. Перекрытие опирается на опорный контур, принадлежащий кривоизупругой основе.

внешняя нагрузка. Плоским перекрытием следует, например, считать систему флоров и стрингеров, образующих днищевое перекрытие, систему бизсов и каранговов, составляющих палубное перекрытие, систему шангоутов и стрингеров, образующих перекрытие борта и т. п.

Опорный контур для перекрытия создается другими перекрытиями, расположенными в плоскостях, пересекающих рассматриваемую под углами, близкими к $\pi/2$.

Так, опорный контур днищевое перекрытия образуется бортами и поперечными переборками судна, опорный контур для бортового перекрытия создают динше, поперечные переборки и палубы и т. д.

Судовые перекрытия, как правило, имеют прямоугольный опорный контур, и образующие их балки пересекаются под прямыми углами.

То направление, параллельно которому идет большее число балок, называется главным направлением, а соответствующие балки — балками главного направления. Балки, расположенные перпендикулярно балкам главного направления, именуются поперечными балками или перекрестными балками.



Рис. 17.1

Характерной чертой конструкции днища, бортов, палуб и переборок является наличие силовых обшивок (настилов), к которым жестко прикреплен поперечный и продольный набор. Замена таких конструкций балочными системами производится с помощью называемых так называемых присоединочных поясков, включающих в состав балок набора.

На рис. 17.1, а в качестве примера показано поперечное сечение центральной днищевой продольной балки (вертикального кила) с присоединенными поясками днищевой обшивки и настила второго дна, а на рис. 17.1, б изображено поперечное сечение продольного ребра жесткости либо элемента поперечного набора (шангоута, банса) с присоединенным пояском обшивки.

Определение ширины присоединочных поясков — специальная задача, которая решается методами теории упругости и рассмотрена в § 6.3.

После определения присоединочных поясков конструкции днища, бортов, поперечных переборок и палуб ставятся системы пересекающихся балок (перекрытиями). Следует, однако, всегда иметь в виду условность такого подхода и учитывать наличие сплошных настилов при выборе схем расчета судовых перекрытий и оценке точности расчетов.

Перекрытие — многократно статически неопределимая система, для расчета прочности которой необходимо определить условия взаимодействия балок в узлах пересечения и реакции опорного контура. Будем учитывать, что силовые настилы (обшивки) обе-

щают очень высокую жесткость относительно перемещений в плоскости перекрытия, в силу чего узловые точки перекрытия имеют только три степени свободы: линейное перемещение по направлению оси z , вращательное в плоскости перекрытия, и угол поворота относительно осей ox и oy , лежащих в плоскости перекрытия. Между балками перекрытия в узловых точках появляются условия взаимодействия. Из них важнейшую роль играет реакция, перпендикулярная плоскости перекрытия.

Спротивление повороту узлов пересечения балок относительно осей ox и oy обусловлено не только изгибом соответствующей балки, но и закручиванием балки второго направления. Например, повороты сечений балки, ориентированной вдоль оси ox , вызовут закручивание балок, ориентированных вдоль оси oy , и наоборот.

Если жесткость на кручение балок велика, например у некоторых перекрытий типа двойного дна (с дугами настилами), то крутящие моменты, возникающие в балках, могут заметно сказаться на изгибе перекрытия и должны учитываться в расчетах. При этом перекрытие удобно представлять не как систему пересекающихся балок, а как сложную (составную) ортотропную пластину. Теория изгиба таких пластин, позволяющая учесть не только сопряжение балок закручиванию, но и появление плоского напряженного состояния в настилах при изгибе конструкции, в данном учебнике не рассматривается.

У подавляющего большинства судовых перекрытий жесткость балок на кручение значительно ниже жесткости на изгиб, что позволяет пренебречь упомянутыми крутящими моментами. Таким образом, условия взаимодействия между балками перекрытия в узловых точках сводятся в рассматриваемом приближении лишь к реакциям, перпендикулярными плоскости перекрытия. Таким образом, балки перекрытия помимо внешней нагрузки оказываются нагруженными неизвестными реакциями в сечениях, соответствующих узловым точкам, причем эти реакции обеспечиваются жесткостью изгиба балок обоих направлений, т. е. одинаковость их моментов в узловых точках.

Остановимся на определении внешней нагрузки балок перекрытия. Как уже отмечалось, балки судовых перекрытий имеют общий настил (обшивку), испытывающий действие внешней нагрузки, источником которой служат давление забортной воды, давление грузов, расположенных на перекрытии, вес оборудования и т. д. Во многих случаях действие внешней нагрузки локализовано на относительно малой части поверхности перекрытия и тогда нагрузка отдельных балок определяется очевидным образом в зависимости от зоны приложения нагрузки к перекрытию.

Рассмотрим распределение нагрузки между балками главного направления и перекрестными балками при действии на перекрытие равномерно распределенного давления p . Пусть перекрытие имеет относительно небольшое число балок главного направления и перекрестных связей (рис. 17.2). Выделим в перекрытии одну ячейку, например $ABCD$, ограниченную двумя балками главного

направления и двумя перекрестными связями, и выским, в какой пропорции приходящая на эту ячейку внешняя нагрузка делится между элементами набора, ее ограничивающими. Для получения исчерпывающего ответа на поставленный вопрос необходимо решить весьма трудную задачу о совместном изгибе пластины



Рис. 17.2



Рис. 17.3

и балки и закрепляющего ее набора. Для приближенного расчета можно воспользоваться следующим приемом: разделить ячейку $ABCD$ на четыре зоны, как это показано на рис. 17.3, а нагрузку, приходящую на каждую из зон, отнести к тому элементу набора, который к рассматриваемой зоне прилегает. Этот прием приводит к точному решению, когда ячейка $ABCD$ квадратная. Для прямоугольных ячеек с его помощью получаем удовлетворительное приближение.

Полученная с помощью указанного приема нагрузка балки главного направления и перекрестной связи перекрытия, приведенного на рис. 17.2, изображена на рис. 17.4, где показаны также



Рис. 17.4

реакции взаимодействия балок R , которые считаются положительными, если перекрестная связь поддерживает балку главного направления. Как видно из рисунка, рассмотренный прием приводит к достаточно сложной нагрузке балок перекрытия, и им следует пользоваться только в случаях проведения уточненных расчетов. В большинстве практических расчетов можно удовлетвориться заменой распределенных нагрузок, изображенных на рис. 17.4, равномерно распределенной средней интенсивностью (показанной на рисунке пунктиром).

При увеличении числа балок главного направления и уменьшении расстояния между ними [при $a/l \leq 0,1$ (a — расстояние между балками главного направления, l — длина балки главного на-

правления)] удовлетворительное приближение для значений изгибающих моментов и перерезывающих сил в поперечных сечениях балок можно получить, предполагая, что балками главного направления воспринимается вся внешняя нагрузка, действующая на заштрихованную полосу шириной a (см. рис. 17.2). Перекрестные

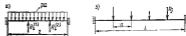


Рис. 17.5

связи считаются при этом загруженными только реакциями взаимодействия балок. Нагрузка балок, определенная в этом приближении, показана на рис. 17.5. Точность такого приближения тем выше, чем меньше отношение a/l .

Последний прием определения нагрузки на балки перекрытия широко используют в практических расчетах не только в случае нагружения перекрытия равномерным давлением, но и при действии других распределенных нагрузок (гидростатического напора; нагрузки, распределенной на части площади перекрытия, и т. п.).

§ 17.2. Изгиб перекрытий с небольшим числом балок

Перекрытия с небольшим числом (2—5) балок главного направления и одной или двумя перекрестными связями весьма часто встречаются в конструкциях корпуса нефтяных судов. В качестве примера рассмотрим децкое перекрытие танкера с двумя продольными переборками (рис. 17.6). Опорный контур перекрытия образован двумя поперечными и двумя продольными переборками, а перекрытие — вертикальным килем и тремя одинаковыми флорями. Перекрытие предполагается загруженным равномерно распределенным давлением. В силу особенности конструкции и нагрузки все балки перекрытия можно считать жестко заделанными на опорах.

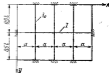


Рис. 17.6

При небольшом числе балок обеих направлений (небольшое число узловых точек) за лицевые неизвестные при раскрытии статической неопределенности удобно принять реакции взаимодействия балок. Необходимые уравнения следуют из условия равенства прогибов балок главного направления и перекрестных балок в узловых точках.

В данном случае имеется возможность выполнить анализ влияния двух направлений, упрощающих расчет перекрытия: допущения о возможности пренебрежения крутильной жесткостью балок; допущения о возможности отнесения всей внешней нагрузки к балкам главного направления (см. рис. 17.5). Выполним этот анализ путем последовательного изменения расчетной схемы.

Расчет перекрытия без учета влияния балок на кручение при отнесении всей внешней нагрузки к балкам главного направления. Нагрузка балок главного направления и поперечной связи показана на рис. 17.7, где принята во внимание симметрия устройства



Рис. 17.7



Рис. 17.8

и нагрузки перекрытия. Прогиб i -й балки главного направления в узловой точке определяется формулой

$$w_i = \beta R_i^2 / (E I_i) - \gamma R_i^2 / (E I_i), \quad (i = 1, 2), \quad (17.1)$$

где i — номер балки главного направления (средней балке принята номер 1); β — коэффициент влияния распределенной нагрузки на прогиб в узловой точке; I_i — момент инерции поперечного сечения; γ — коэффициент влияния сосредоточенной силы (реакции) на прогиб в узловой точке. Коэффициенты влияния определяют с помощью таблиц изгиба однопролетных балок. В рассматриваемом примере $\beta = 1/384 = 0.0026$; $\gamma = 1/192 = 0.0052$.

Прогиб поперечной балки в точках 1 и 2 (рис. 17.7, б) равен

$$\left. \begin{aligned} w_1 &= \gamma_{11} R_1^2 / (E I) + \gamma_{12} R_2^2 / (E I); \\ w_2 &= \gamma_{21} R_1^2 / (E I) + \gamma_{22} R_2^2 / (E I). \end{aligned} \right\} \quad (17.2)$$

Здесь γ_{11} и γ_{12} — коэффициенты влияния силы R_1 на прогибы в точках 1 и 2 соответственно; L — длина поперечной балки; I — момент инерции поперечного сечения поперечной балки; γ_{21} и γ_{22} — коэффициенты влияния двух одинаковых симметрично приложенных сил R_2 на прогибы в точках 1 и 2. Коэффициенты влияния на прогиб поперечной связи также могут быть найдены по таблицам изгиба. Для рассматриваемого примера $\gamma_{11} = 0.0052$; $\gamma_{12} = 0.0026$; $\gamma_{21} = 0.0026$; $\gamma_{22} = 0.0052$.

Приравняв прогибы балок главного направления и поперечной связи в узловых точках, получим уравнения для определения реакций R_i :

$$\left. \begin{aligned} \left(\gamma_{11} \frac{L^2}{EI} + \gamma \frac{I}{EI_0} \right) R_1 + \gamma_{12} \frac{2L^2}{EI} R_2 &= \beta \frac{qL^4}{EI_0} \rho; \\ \gamma_{21} \frac{L^2}{EI} R_1 + \left(\gamma_{22} \frac{L^2}{EI} + \gamma \frac{I}{EI_0} \right) R_2 &= \beta \frac{qL^4}{EI_0} \rho. \end{aligned} \right\} \quad (17.3)$$

Для практического выполнения вычислений необходимо задать соотношения I/L и I/I_0 . Примем для рассматриваемого примера $I/I_0 = 1.25$; $I/L = 1.0$ и приведем уравнения (17.3) к следующему виду:

$$\left. \begin{aligned} 1.17R_1 + 0.52R_2 &= 0.081\rho l^4; \\ 0.26R_1 + 0.976R_2 &= 0.081\rho l^4. \end{aligned} \right\} \quad (17.4)$$

откуда $R_1 = 0.036\rho l^4$; $R_2 = 0.073\rho l^4$.

Знание реакций позволяет провести расчет параметров изгиба для любой балки перекрытия.

Расчет перекрытия с учетом влияния кручения балок. В рассматриваемом примере поперечная балка и средняя балка главного направления расположены в плоскостях симметрии изогнутой поверхности перекрытия и не испытывают кручения. Закручиваться будут только первая и третья балки главного направления, и в соответствующих сечениях поперечной связи появятся два одинаковых по значению реактивных момента M_{tp} . Нагрузка поперечной связи и левой крайней балки главного направления при учете кручения балок показана на рис. 17.8.

Для составления уравнений, расширяющих статическую неопределимость перекрытия, необходимо приравнять прогибы балок в узловых точках, а также угол поворота сечения поперечной связи при $x = a$ углу закручивания соответствующей балки главного направления в сечении $y = l/2$.

Для первых уравнений вполне аналогичны уравнениям (17.3) с той лишь разницей, что прогибы поперечной балки в узловых точках теперь зависят дополнительно еще и от момента M_{tp} :

$$\left. \begin{aligned} \left(\gamma_{11} \frac{L^2}{EI} + \gamma \frac{I}{EI_0} \right) R_1 + \gamma_{12} \frac{2L^2}{EI} R_2 + \theta_1 \frac{M_{tp} L^2}{EI} &= \beta \frac{qL^4}{EI_0}; \\ \gamma_{21} \frac{L^2}{EI} R_1 + \left(\gamma_{22} \frac{L^2}{EI} + \gamma \frac{I}{EI_0} \right) R_2 + \theta_2 \frac{M_{tp} L^2}{EI} &= \beta \frac{qL^4}{EI_0}. \end{aligned} \right\} \quad (17.5)$$

Здесь θ_1 и θ_2 — коэффициенты влияния сосредоточенных моментов M_{tp} на прогибы поперечной связи в точках 1 и 2 соответственно (рис. 17.8, б).

Для получения третьего уравнения определяем угол поворота поперечной балки в точке приложения M_{tp} :

$$w_3' = \gamma_{31}' R_1^2 / (E I) + \gamma_{32}' R_2^2 / (E I) - \theta_3' M_{tp} / (E I), \quad (17.6)$$

где γ_{21} и γ_{22} — коэффициенты влияния сосредоточенных сил R_1 и R_2 на угол поворота перекрестной связи в сечении $x = a$; ξ — коэффициент влияния сосредоточенного момента M_{cp} на угол поворота перекрестной связи в сечении $x = a$.

Угол закручивания крайней балки главного направления, вызванный моментом M_{cp} (см. рис. 17.8, а), можно найти по формуле

$$\varphi = M_{cp} J(4C_{cp}). \quad (17.7)$$

Здесь C_{cp} — жесткость балки главного направления на закручивание.

Приравняв выражения (17.6) и (17.7), получаем

$$M_{cp} = (\gamma_{11}'R_1 + \gamma_{22}'R_2) L / [\xi' + EI / (4LC_{cp})]. \quad (17.8)$$

Коэффициент влияния ξ' — относительно небольшая величина (в рассматриваемом примере $\xi' = 0,125$), поэтому M_{cp} , как следует из (17.8), оказывается обратно пропорциональным отношению

$$\alpha_{cp} = EI / LC_{cp} \quad (17.9)$$

Если балки имеют открытый профиль, что типично для подавляющего большинства конструкций нефтяных судов, то соотношение жесткостей на изгиб и кручение для судовых балок имеет порядок 10^4 . Поэтому M_{cp} составляет не более $10^{-4}(\gamma_{11}'R_1 + \gamma_{22}'R_2) L$. Как следует из уравнений (17.5), учет влияния кручения балок имеет в этом случае поправку на значения реакций R_1 и R_2 , несомненно доли процента.

Из выполненного анализа следует, что учитывать кручение балок нужно в том случае, если порядок соотношения (17.9) не превосходит 10^4 .

Расчет перекрытия с учетом влияния распределения нагрузки между балками главного направления и перекрестной связью. Оценка, насколько изменяется реакция взаимодействия балок перекрытия и параметры их изгиба при переходе к схеме определенной нагрузки, показанной на рис. 17.4.

Имея в виду получение приближенных оценок, заменим действующие на балки распределения по закону треугольника нагрузкой равномерно распределенными средней интенсивности. При этом равномерно нагружен балки главного направления (см. рис. 17.5, а) уменьшаем на величину

$$\Delta q = \alpha_1 q, \quad (17.10)$$

а к нагрузке перекрестной связи (рис. 17.5, б) добавим равномерную нагрузку

$$q_{cp} = \alpha_2 q, \quad (17.11)$$

где $q = \rho a$. Соответственно заменяется формулы (17.1) и (17.2):

$$\left. \begin{aligned} \omega_i &= \beta \rho a^2 (1 - \alpha_i) / (EI_i) - \gamma_i R_i^2 / (EI_i), \quad i = 1, 2; \\ \omega_1 &= \gamma_{11} R_1^2 / (EI) + 2\gamma_{21} R_1 R_2 / (EI) + \alpha_1 L^2 \rho a / (2EI); \\ \omega_2 &= \gamma_{22} R_2^2 / (EI) + 2\gamma_{12} R_1 R_2 / (EI) + \alpha_2 L^2 \rho a / (2EI). \end{aligned} \right\} \quad (17.12)$$

Здесь α_1 и α_2 — коэффициенты влияния равномерной нагрузки q_{cp} на прогиб перекрестной связи в соответствующих точках. Вместо уравнений (17.3) получим

$$\left\{ \begin{aligned} (\gamma_{11} \frac{L^3}{EI} + \gamma_{21} \frac{L^3}{EI}) R_1 + \gamma_{12} \frac{L^3}{EI} R_2 - \\ - \beta \frac{\alpha_1^2}{EI} \rho \left[1 - \frac{\alpha}{L} - \alpha_1 \left(\frac{L}{T} \right)^2 \frac{L}{T} \right] \\ \gamma_{21} \frac{L^3}{EI} R_1 + (\gamma_{22} \frac{L^3}{EI} + \gamma_{12} \frac{L^3}{EI}) R_2 - \\ - \beta \frac{\alpha_2^2}{EI} \rho \left[1 - \frac{\alpha}{L} - \alpha_2 \left(\frac{L}{T} \right)^2 \frac{L}{T} \right] \end{aligned} \right\} \quad (17.13)$$

Поправки на влияние распределения внешней нагрузки между балками главного направления и перекрестной связью определяются величинами, стоящими в квадратных скобках уравнений (17.13).

Поскольку величины α_i относительно малы (в рассматриваемом примере $\alpha_1 = 0,0036$, $\alpha_2 = 0,00143$), основной вклад в поправку вносит член $1 - 2\alpha/L$. Пренебрегая в уравнениях (17.13) величинами, пропорциональными α_i , найдем, что реакции взаимодействия балок в рассматриваемом примере при учете перераспределения нагрузки уменьшаются на 25% и составляют $R_1 = 0,025\rho P$, $R_2 = 0,0547\rho P$.

Оценим также изменение изгибающего момента в осях сечения средней балки главного направления. При отнесении всей внешней нагрузки к балкам главного направления этот момент составляет $M_{cp} = \rho a P / 12 - R_1 P / 8 = 0,0653\rho a P$. При учете распределения нагрузки между балками по схеме, изображенной на рис. 17.4, он равен $M_{cp} = 0,049\rho a P$.

Как видно из выполненного расчета, для перекрытия, показанного на рис. 17.6, переход от уточненного распределения нагрузки между балками главного направления и перекрестной связью (см. рис. 17.4) к упрощенному (см. рис. 17.5) приводит к существенной ошибке в значениях как реакции взаимодействия балок, так и параметров изгиба.

Основным параметром, от которого зависит погрешность, является

$$\chi_0 = \alpha a / L, \quad (17.14)$$

где a — число перекрестных связей.

Для перекрытий, близких к квадратным, значение χ_0 сопоставимо с относительным уменьшением как реакции взаимодействия

балок, так и расчетного изгибающего момента средней балки главного направления в случае перехода от упрощенной схемы нагрузки к уточненной.

§ 17.3. Изгиб перекрытий с одной перекрестной связью и большим числом балок главного направления

В судовых конструкциях значительную долю составляют перекрытия, имеющие большое число балок главного направления (10 и более) и одну перекрестную связь.

Перекрытие с большим числом одинаковых балок главного направления. Рассмотрим прежде всего расчет перекрытия, имеющего большое число одинаковых равноотстоящих балок главного направления к одну призматическую перекрестную связь. Деформации сдвига на данном этапе учитывать не будем. Впервые и почти с исчерпывающей полнотой эта задача была решена И. Г. Бубновым [11]. Затем П. Ф. Павловым [36] внес в решение дополнения, распространив его на перекрытия, у которых некоторые из балок главного направления имеют измененную жесткость и иначе устроены на опорах.

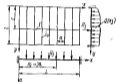


Рис. 17.9

Как было показано в § 17.2, для перекрытий с большим числом балок главного направления можно без большой погрешности считать, что внешняя нагрузка воспринимается балками главного направления, а перекрестная связь нагружена только реакциями взаимодействия балок (рис. 17.9).

Метод расчета перекрытий с большим числом балок главного направления основан на допущении о возможности замены сосредоточенных реакций R_i , действующих на перекрестную связь, непрерывной реактивной нагрузкой $r(x)$. Такая замена была использована ранее при переходе от задач изгиба балок, связанных на тепловые узлы опоры, к изгибу балок, лежащих на сплошном упругом основании (см. § 16.1). Погрешность при определении прогибов и изгибающих моментов балки в случае замены сосредоточенных сил R_i распределенной нагрузкой

$$r(x) = R_i/a \quad (17.15)$$

не превосходит величины $(a/L)^2$.

Замена ступенчато-постоянную функцию (17.15) непрерывной $r(x)$, получим, что упругая линия перекрестной балки определит-

ся дифференциальным уравнением

$$EI\omega''(x) = r(x) \quad (17.16)$$

и, следовательно, любая реакция взаимодействия балок может быть найдена из зависимости

$$R_i = aEI\omega''(x)|_{y=x_i} \quad (17.17)$$

Рассмотрим балку главного направления, расположенную при $x = x_i$, и определим ее прогиб в узловой точке, т. е. при $y = c$:

$$\omega(x_i) = \beta(x_i)Q(x_i)P'(E_i) - \gamma R_i P''(E_i), \quad (17.18)$$

где $\beta(x_i)$ и γ — коэффициенты влияния на прогиб в узловой точке распределенной нагрузки $Q(x_i)$ и сосредоточенной реакции R_i . Остальные обозначения ясны из рис. 17.9.

Зависимость (17.18) определяет прогибы узловых точек всех балок главного направления. Эта прогибы должны быть равны прогибам перекрестной балки в сечениях $x = x_i$, поэтому можно воспользоваться зависимостью (17.17), с помощью которой из (17.18) найдем

$$w(x_i) + \gamma \frac{a^2}{E_i} EI\omega''L_{x_i} = \beta(x_i) \frac{Q(x_i)P'}{E_i}. \quad (17.19)$$

Уравнение (17.19) выполняется лишь в узловых точках $x = x_i$. Учитывая, что число этих точек на длине перекрестной балки велико, распространим уравнение (17.19) на все значения x и интервале $0 \leq x \leq L$. Получим дифференциальное уравнение изгиба перекрестной балки

$$EI\omega''(x) + k\omega(x) = q(x), \quad (17.20)$$

где

$$k = E_i \beta(a\gamma P'); \quad (17.21)$$

$$q(x) = \beta(x)Q(x)P'(a\gamma). \quad (17.22)$$

Вид уравнения (17.20) доказывает, что перекрестная связь представляет собой балку, лежащую на упругом основании. Упругое основание создается балками главного направления, причем жесткость любой из них в точке соединения с перекрестной связью равна $K = E_i \beta(a\gamma P')$, деление которой на расстояние a между балками приводит к погонному коэффициенту жесткости упругого основания (17.21). Вместе с тем балка главного направления распределяют действующую на них нагрузку $Q(x_i)$ между опорами и перекрестной связью. Доля внешней нагрузки, приходящаяся на перекрестную связь, определяется выражением $P(x_i) = \beta(x_i)Q(x_i)/\gamma$, откуда и следует формула (17.22) для распределенной нагрузки перекрестной балки.

Подытая общий интеграл уравнения (17.20) граничным условиями, вытекающим из условий закрепления перекрестной балки,

найдем уравнение со упругой линией. После этого можно вычислить прогиб любой узловой точки и реакции взаимодействия балок:

$$R_j = ar(x_j) = aEIz^{IV}(x) \Big|_{x=x_j} = a[q(x) - kw(x)]_{x=x_j}. \quad (17.23)$$

Параметры изгиба любой из балок главного направления определяются известными методами, как для наклоненных призматических балок.

Перекрестия с большим числом балок главного направления, отделяемые из которых усилки. В конструкциях бортовых перекрестий сухогрузных судов и судов ледового плавания, а также в конструкциях мостов применяют ряды с обычными так называемые рамные шпангоуты к балкам, имеющие существенно увеличенную жесткость и иное закрепление опорных сечений, чем обычные (промежуточные) связи. Подобная система набора встречается и в двуполосных перекрестиях, где бракетные фермы могут чередоваться со сплошными.

Рассмотрим перекрестие с большим числом балок главного направления и одной призматической перекрестной связью, считая, что некоторые балки главного направления имеют измененный момент инерции в области поперечного сечения и иные закрепления опорных сечений.

Стрелка прогиба обычной балки главного направления в точке пересечения ее с перекрестной балкой определяется выражением (17.1). По аналогии для измененной балки главного направления найдем

$$\varphi_j = \beta^* Q(x_j) I_0 / (EI_0^2) - R_j^* I_0^* / (EI_0^2), \quad (17.24)$$

где I_0^* — момент инерции измененной балки; R_j^* — реакция перекрестной балки в месте пересечения с измененной балкой главного направления.

Воспользовавшись формулами (17.18) и (17.24), определим выражение реакции перекрестной связи, вызванное изменением момента инерции и условий закрепления соответствующей балки главного направления:

$$\Delta R = R_j^* - R_j = (\beta^* I_0^* - \beta I_0) Q(x_j) - (\gamma_0 I_0^* - I_0) E I_0 \beta_0 \gamma_0^2 \varphi_j. \quad (17.25)$$

Как видно из выражения (17.25), наличие измененной балки главного направления можно учесть путем приложения к перекрестной связи сосредоточенной силы

$$P = \beta^* Q(x_j) I_0^* \quad (17.26)$$

и установкой упругой опоры жесткостью

$$K = (\gamma_0 I_0^* - I_0) E I_0 \beta_0 \gamma_0^2 \quad (17.27)$$

в месте пересечения ее с измененной балкой главного направления.

§ 17.4. Анализ изгиба перекрестия с одной перекрестной связью

Судовые перекрестия представляют собой статически неопределимые стержневые системы, для проектирования которых необходимо принимать во внимание особенности взаимодействия балок, заменив их параболой из изгиба от соотношения жесткостей, длин и т. д. Наиболее целесообразно вычисление этих параметров на примере простейшего перекрестия с одной призматической перекрестной связью и большим числом одинаковых балок главного направления. Наибольший интерес представляет анализ изгиба перекрестия, нагруженного равномерно распределенным давлением p . Рассмотрим перекрестие с одной перекрестной связью, пересекающей балки главного направления посередине их длины.

Будем считать балки главного направления свободно опираемыми в поперечных сечениях, а перекрестную связь упруго заделанной по концам с одинаковым коэффициентом опорной пары k .

При расчетах прочности необходимо установить, в какой из балок главного направления и в каком ее сечении действуют наибольшийгибающий момент и наибольшая поперечная сила. В рассматриваемом случае балки главного направления нагружены равномерно распределенной нагрузкой $q = p$ и реакциями перекрестной балки

$$R = a[q - kw(x)], \quad (17.28)$$

где q — нагрузка перекрестной связи; $w(x)$ — упругая линия этой связи.

При известной реакции R изгибающий момент может быть найден в любом сечении балки главного направления. Из теории изгибающего момента, показанной на рис. 17.10 следует, что для практики достаточно ограничиться анализом значений изгибающего момента посередине пролета балки и в сечении, отстоящем от опоры на $l/4$. Эти величины составляют соответственно

$$\left. \begin{aligned} m_{1,2} &= -\rho a l^2 / 8 + R l / 4; \\ m_{1,2} &= m_{1,2} - \rho a l^2 / 32 = -3\rho a l^2 / 32 + R l / 8. \end{aligned} \right\} \quad (17.29)$$

Из выражений (17.29) следует, что $m_1 > m_2$, если $R > \rho a l^2 / 4$, и наоборот.

Таким образом, значение изгибающего момента и положение сечения балки главного направления, где действует наибольший изгибающий момент, зависят от значения реакции R . В соответствии с (17.28) реакция взаимодействия балок достигает наибольшего значения в сечении, где $w(x)$ близко к нулю (вблизи опор), и минимального там, где прогиб перекрестной связи наибольший.

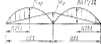


Рис. 17.10

Как показано в § 17.3, перекрестная связь представляет собой балку, лежащую на сплошном упругом основании, жесткостью

$$k = E I / (\gamma a^2), \quad (17.29)$$

нагруженную в рассматриваемом случае равномерной нагрузкой

$$q = B q_0 / (\gamma a) = \beta \rho l / \gamma. \quad (17.30)$$

Для балки на упругом основании, нагруженной равномерной нагрузкой, прогиб посередине пролета либо равен максимальному значению, либо близок к нему (при высокой жесткости упругого основания). Поэтому минимальное значение реакции взаимодействия определяется зависимостью

$$R = R_{\min} = a [q - k \psi(0)], \quad (17.31)$$

где $\psi(0)$ — прогиб посередине пролета перекрестной связи (начало координат системы $x=0$ располагается в центре перекрестия).

Используя формулу (16.76) при $B = B_1 = 0$, найдем реакцию на средней балке главного направления

$$R_{\text{ср}} = q a [1 - \alpha] \varphi_0(\alpha) + \alpha \varphi_1(\alpha), \quad (17.32)$$

В задаче определения изгиба перекрестной аргумент α функций И. Г. Бубнова $\varphi_0(\alpha)$ и $\varphi_1(\alpha)$ находят по следующей формуле:

$$\alpha = \sqrt[4]{k l^2 / (64 E I)} = (L/l) \sqrt[4]{q / (64 \gamma a)}. \quad (17.33)$$

Максимального значения реакция достигает в точке пересечения крайней балки главного направления с перекрестной связью. Прогиб перекрестной балки при $x = \pm L/2$ близка к нулю пренебрежимо мал, поэтому

$$R_{\text{ср}} = q a. \quad (17.34)$$

При $\alpha = 0$, т. е. в соответствии с (17.33) при бесконечно большой жесткости перекрестной связи ($I \rightarrow \infty$) все балки главного направления оказываются в одинаковых условиях, и из (17.32) следует (17.34). Поэтому достаточно выполнять анализ изменений реакции и изгибающих моментов при изменении аргумента α для средней балки главного направления, поскольку при $\alpha = 0$ значения этих параметров становятся такими же, как у крайней балки.

Для рассматриваемого перекрестия по таблицам изгиба балок находим $\beta = 5/384$; $\gamma = 1/48$, следовательно

$$q = 5 \rho l / 8. \quad (17.35)$$

Подставляя (17.35) в (17.32) и (17.28'), находим для средней балки главного направления

$$\left. \begin{aligned} R &= (5 \rho l / 8) [1 - \alpha] \varphi_0(\alpha) + \alpha \varphi_1(\alpha); \\ m_0 &= (\rho a l^2 / 32) [5 [1 - \alpha] \varphi_0(\alpha) + 6 \alpha \varphi_1(\alpha) - 4]; \\ m_{\text{ср}} &= (\rho a l^2 / 64) [5 [1 - \alpha] \varphi_0(\alpha) + 6 \alpha \varphi_1(\alpha) - 6]. \end{aligned} \right\} \quad (17.36)$$

В формулах (17.36) множители перед квадратной скобкой представляют собой значения реакции, опорного и пролетного изгибающих моментов для крайней балки главного направления. Функции аргумента α , стоящие в квадратных скобках, характеризуют зависимость соответствующих параметров от относительной жесткости перекрестной связи.

На рис. 17.11 приведены кривые изменения безразмерных параметров $\bar{R} = 8R / (5 \rho a l)$; $m_0 = 32 m_0 / (\rho a l^2)$; $m_{\text{ср}} = 32 m_{\text{ср}} / (\rho a l^2)$ в функции от аргумента α для перекрестия, у которого $\alpha = 0,75$. Как следует из рассмотренных кривых, можно выделить четыре характерных диапазона изменений аргумента α :

1) при $\alpha < 0,95$ жесткость перекрестной связи относительно велика, и наибольшим оказывается изгибающий момент в узловом сечении крайней балки главного направления;

2) при $0,95 \leq \alpha \leq 1,5$ уменьшение реакции, действующей на среднюю балку главного направления, достигает таких значений, что наибольшим становится изгибающий момент $m_{\text{ср}}$ в ее пролете;

3) при $1,5 < \alpha < 2,1$ перекрестная связь относительно слабая и расчетным становится изгибающий момент в узловом сечении средней балки главного направления;

4) при $\alpha \geq 2,1$ реакция, действующая на среднюю балку главного направления, становится отрицательной; это означает, что перекрестная связь не только не поддерживает среднюю балку, но дополнительно ее нагружает, потому установка слабой перекрестной связи приводит у перекрестия, нагруженного равномерным давлением, к необходимости усиливать балки главного направления по сравнению с конструкцией, в которой перекрестная связь отсутствует полностью; однако даже слабая перекрестная связь может оказаться весьма полезной при воздействии на перекрестия сосредоточенных нагрузок, происходящих которых может быть связано с воздействием льда, усилив при швартовках, посадках на мель и т. п.

Разрушающее влияние перекрестной балки оказывается особенно сильным, если сосредоточенная сила приложена вблизи узлового сечения балки главного направления.

Выполненный анализ надо рассматривать как качественный, и же следует ориентироваться на полученные граничные значения аргумента α , поскольку они относятся к конкретному перекрестию. Однако он показывает, что для решения вопросов прочности балок главного направления необходимо поостроить эпюры изгибающих

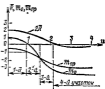


Рис. 17.11

моментов для средней и крайней балок и по ним определить расчетный изгибающий момент.

Изгибающие моменты и перерезывающие силы в перекрестной связи рассматриваются известными методами, как в балке, лежащей на сплошном упругом основании.

§ 17.5. Изгиб перекрытий с несомкнутыми перекрестными связями и большим числом балок главного направления

Метод главных изгибов. Рассмотрим перекрытие, имеющее большое число одинаковых балок главного направления и несомкнутыми перекрестными связями (рис. 17.12). Перекрестные связи считаем архаическими, т.е. имеем различные моменты инерции поперечных сечений I_j ($j = 1, 2, \dots, n$). Будем считать, что внешняя нагрузка полностью воспринимается балками глав-



Рис. 17.12

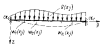


Рис. 17.13

ного направления, перекрестные связи нагружены лишь реакциями взаимодействия балок.

Для произвольной балки главного направления определим прогиб в i -й узловой точке:

$$w_i = \beta_i(x) \frac{Q(x) l^3}{E_0} - \frac{l^3}{E_0} \sum_{j=1}^n \gamma_{ij} R_j, \quad i = 1, 2, \dots, n, \quad (17.37)$$

где $\beta_i(x)$ — коэффициент влияния нагрузки $Q(x)$ на прогиб балки главного направления в i -й точке; γ_{ij} — коэффициент влияния j -й реакции на прогиб балки главного направления в i -й точке; n — число перекрестных связей. Остальные обозначения те же, что рис. 17.12.

Значения коэффициентов β_i и γ_{ij} зависят от устройства опор балки главного направления, вида распределенной нагрузки $Q(x)$, расположения узловых точек. Определение этих коэффициентов, как обычно, можно выполнить по таблицам изгиба балок. В некоторых, особенно сложных случаях необходимо найти упругую линию изолированной балки главного направления (рис. 17.13).

По условию число балок главного направления велико, что позволяет действующие на j -ю перекрестную связь реакции заме-

нить распределенной нагрузкой $r_j(x) = R_j(x)/a$. Следовательно, упругая линия любой перекрестной балки определяется дифференциальным уравнением

$$EI_j w_j^{IV}(x) = R_j(x)/a. \quad (17.38)$$

Прогны перекрестных балок и балок главного направления в узловых точках совпадают. Это позволяет в результате подстановки уравнения (17.38) в формулу (17.37) и распространения полученных равенств на любое значение x получить следующую систему дифференциальных уравнений:

$$w_i(x) = \beta_i(x) \frac{Q(x) l^3}{E_0} - \frac{a l^3}{E_0} \sum_{j=1}^n \gamma_{ij} EI_j w_j^{IV}(x), \quad i = 1, 2, \dots, n. \quad (17.39)$$

Система уравнений (17.39), впервые полученная П. Г. Бубновым, описывает изгиб всех перекрестных связей перекрытия. Ее интегрирование возможно с помощью известных методов решения линейных дифференциальных уравнений с постоянными коэффициентами, например с использованием подстановки Эйлера. Однако это приводит при $n > 2$ к весьма сложным расчетам при определении произвольных постоянных.

Более рационален другой путь. С помощью замены переменных систему (17.39) можно преобразовать в систему, состоящую из независимых друг от друга дифференциальных уравнений, в каждой из которых вводит лишь одна переменная. Таких подстановок известно две: подстановка Даламбера и подстановка Лагранжа. П. Г. Бубнов использовал для интегрирования системы (17.39) подстановку Даламбера, П. Ф. Павлович — подстановку Лагранжа. Более удобной является подстановка Лагранжа, которой и воспользуемся ниже:

$$w_i(x) = \frac{l^3}{E_0} \sum_{k=1}^n \nu_{ik} p_k(x), \quad i = 1, 2, \dots, n, \quad (17.40)$$

где l^3/E_0 — некоторая постоянная величина, имеющая размерность момента инерции; ν_{ik} — неизвестные пока коэффициенты; $p_k(x)$ — функции, удовлетворяющие дифференциальному уравнению изгиба балки, лежащей на упругом основании,

$$EI_k p_k^{IV}(x) + k_2 p_k(x) = q_k(x), \quad (17.41)$$

в котором постоянная k_2 и функция $q_k(x)$ подлежат определению.

Функция $p_k(x)$ была названа П. Ф. Павловичем *главными функциями*, а коэффициенты ν_{ik} — *формами главных изгибов*.

Так как на основании выражений (17.40) в (17.41)

$$EI_i w_i^{IV}(x) = EI_0 \sum_{k=1}^n \nu_{ik} p_k^{IV}(x) - \sum_{k=1}^n \nu_{ik} [q_k(x) - k_2 p_k(x)], \quad (17.42)$$

то подставляя выражения (17.40) и (17.42) в систему (17.39), получаем

$$\sum_{k=1}^n \left[v_{ik} \frac{I_k}{l_k} - \frac{\alpha^2 \gamma_{ik}}{E I_0} \sum_{j=1}^n v_{ij} v_{jk} \right] \rho_k(x) = \beta_i \frac{Q(x)}{E I_0} - \frac{\alpha^2 \gamma}{E I_0} \sum_{j=1}^n v_{ij} \sum_{k=1}^n v_{jk} \rho_k(x), \quad (17.43)$$

Воспользовавшись произвольностью коэффициентов v_{ik} , определим их из условия обращения в нуль всех квадратных скобок в левой части полученной системы уравнений:

$$v_{ik} \frac{I_k}{l_k} \lambda_k = \sum_{j=1}^n \gamma_{ij} v_{jk}, \quad i=1, 2, \dots, n, \quad (17.44)$$

где

$$\lambda_k = E I_0 (\alpha l^2 \beta_k), \quad (17.45)$$

или

$$\beta_k = E I_0 (\alpha l^2 \lambda_k). \quad (17.46)$$

Система алгебраических уравнений (17.44) может иметь решение, отличное от нуля, при условии равенства нулю основного определителя системы:

$$\begin{vmatrix} \gamma_{11} - I_1 \lambda_1 / l_1 & \gamma_{12} & \dots & \gamma_{1n} \\ \gamma_{21} & \gamma_{22} - I_2 \lambda_2 / l_2 & \dots & \gamma_{2n} \\ \dots & \dots & \dots & \dots \\ \gamma_{n1} & \gamma_{n2} & \dots & \gamma_{nn} - I_n \lambda_n / l_n \end{vmatrix} = 0. \quad (17.47)$$

Так как коэффициенты матрицы γ_{ij} обладают свойством взаимности, т. е.

$$\gamma_{ij} = \gamma_{ji} \quad (17.48)$$

приводим к симметричным элементам матрицы определитель (17.47) относительно главной диагонали, уравнение (17.47) имеет n вещественных положительных корней λ_k ($k=1, 2, \dots, n$). Зная λ_k по формуле (17.46) определяем β_k ($k=1, 2, \dots, n$).

Поскольку определитель системы однородных уравнений (17.44) равен нулю, формы главных изгибов v_{ik} могут быть найдены с точностью до произвольного множителя, который обычно выбирается так, чтобы $v_{kk} = 1$, если только $v_{kk} \neq 0$. Коротко говоря, полагаем $v_{kk} = 1$, отбрасываем одну из уравнений системы (17.44), подставляем в остальные значения корней λ_k и определяем формы главных изгибов v_{ik} ($i, k=1, 2, \dots, n$).

Формы главных изгибов v_{ik} обладают так называемым свойством ортогональности. Приводим его без доказательства:

$$\sum_{i=1}^n \frac{I_i}{l_i} v_{ik} v_{il} = 0 \quad \text{при } l \neq k. \quad (17.49)$$

Найденные значения для форм главных изгибов v_{ik} обращают в нуль квадратные скобки левой части уравнений (17.43). В ре-

зультате упомянутые уравнения упрощаются и принимают такой вид:

$$\sum_{k=1}^n q_k(x) \sum_{j=1}^n v_{ij} v_{jk} = \beta_i Q(x) \rho_k, \quad i=1, 2, \dots, n, \quad (17.50)$$

или, если воспользоваться зависимостью (17.44),

$$\sum_{k=1}^n q_k(x) v_{ik} \frac{I_k}{l_k} \lambda_k = \beta_i \frac{Q(x)}{\alpha}, \quad i=1, 2, \dots, n. \quad (17.51)$$

Для определения функций $q_k(x)$ умножим i -е уравнение (17.51) на v_{il} и просуммируем по всем значениям l . Получим

$$\sum_{k=1}^n q_k(x) \lambda_k \sum_{l=1}^n \frac{I_l}{l_l} v_{il} v_{lk} = \frac{Q(x)}{\alpha} \sum_{l=1}^n \beta_l v_{il},$$

откуда на основании условия ортогональности (17.49) следует

$$q_k(x) = Q(x) \sum_{l=1}^n \beta_l v_{il} / \left(\alpha \lambda_k \sum_{l=1}^n \frac{I_l}{l_l} v_{il}^2 \right). \quad (17.52)$$

Итак, значения постоянных β_k и функций $q_k(x)$ уравнений (17.41) найдены. Чтобы получить возможность определить из этих уравнений главные изгибы, необходимо раскладывать граничные условия для функций $\rho_k(x)$.

Выразим предельно точно функции $\rho_k(x)$ через перемещение $w_i(x)$, воспользовавшись свойством ортогональности форм главных изгибов.

Умножив выражения (17.40) на v_{il} и просуммировав по всем i , получим

$$\sum_{i=1}^n v_{il} w_i(x) = \sum_{k=1}^n \rho_k(x) \sum_{i=1}^n \frac{I_i}{l_i} v_{ik} v_{il}.$$

Отсюда, воспользовавшись условием ортогональности (17.49), найдем

$$\rho_k(x) = \sum_{i=1}^n v_{ik} w_i(x) / \sum_{i=1}^n \frac{I_i}{l_i} v_{ik}^2. \quad (17.52')$$

Дифференцируя результат (7.52'), нетрудно получить выражения для производных $\rho_k'(x)$, $\rho_k''(x)$ и $\rho_k'''(x)$.

В общем случае, когда опорные сечения перекрестных балок упруго заданы или упруго оперты, невозможно воспользоваться формулой (17.52') для определения граничных условий функции $\rho_k(x)$ по заданным граничным условиям для функций $w_i(x)$.

Если же все перекрестные сечения заданы одинаково, то главные изгибы в граничных условиях не будут связаны между собой,

и постоянные интегрирования в каждом главном изгибе могут быть определены из своей системы уравнений.

Рассмотрим некоторые частные случаи.

Все перекрестные связи свободно открыты на жесткие опоры. В этом случае при $x=0$ и $x=L$ $w_i=0$ и $w_i''=0$. Подставляя эти значения в выражение (17.52') и в формулу для $\rho_k''(x)$, находим

$$\rho_k(0) = \rho_k(L) = 0; \quad \rho_k'(0) = \rho_k'(L) = 0. \quad (17.53)$$

Все перекрестные связи жестко заделаны на жестких опорах. Для такого перекрытия $w_i(0) = w_i(L) = 0$; $w_i'(0) = w_i'(L) = 0$. На основании формулы (17.52')

$$\rho_k(0) = \rho_k(L) = 0; \quad \rho_k'(0) = \rho_k'(L) = 0. \quad (17.54)$$

Все перекрестные связи свободно открыты на независимые упругие опоры, жесткость которых пропорциональна жесткости поддерживаемых балок. В этом случае функции $\rho_k(x)$ в граничных условиях не будут связаны. Докажем это. Пусть при $x=L$ перекрестные связи свободно открыты на упругие опоры указанного типа. Тогда

$$\left. \begin{aligned} \text{при } x=L \quad w_i = A_i E I_i w_i''', \\ w_i'' = 0, \end{aligned} \right\} \quad (17.55)$$

где A_i — коэффициент податливости опоры i -й перекрестной связи. Но так как по условию $E I_i : \frac{1}{A_i} = A E I_0$, ($A I_0$ — постоянная величина, не зависящая от номера i), первое из условий (17.55) примет вид

$$w_i = A E I_0 w_i'''. \quad (17.56)$$

Подставив сюда выражение (17.40), получим

$$\frac{1}{I_0} \sum_{k=1}^n v_{ik} \rho_k(L) = A E I_0 \frac{1}{I_0} \sum_{k=1}^n v_{ik} \rho_k'''(L).$$

Умножив обе части этого равенства на v_{ik} , проинтегрировав по всем i и воспользовавшись условием ортогональности (17.49), будем иметь

$$\rho_k(L) = A E I_0 \rho_k'''(L). \quad (17.57)$$

Нетрудно показать (представляем это читателю), что в том случае, когда все перекрестные связи упруго заделаны на жестких опорах, причем коэффициенты жесткости заделок пропорциональны жесткости соответствующей перекрестной связи, т. е.

$$E I_i A_i = A E I_0 = \text{const}, \quad (17.58)$$

функции $\rho_k(x)$ в граничных условиях разделяются. Граничные условия в этом случае имеют вид

$$\left. \begin{aligned} \rho_k' = A E I_0 \rho_k'' = 0; \\ \rho_k = 0. \end{aligned} \right\} \quad (17.59)$$

Перечислим в заключение последовательность вычислительных операций при расчете перекрытия по методу главных изгибов.

1. В зависимости от закона размещения внешней нагрузки, воспринимаемой балками главного направления, устройства их опор и расположения узловых точек определяются коэффициенты влияния на прогиб в узловых точках β_i от распределенной нагрузки и ψ_i от реактивной перекрестных связей.

2. Из решения характеристического уравнения (17.47) находят корни λ_k ($k=1, 2, \dots, n$).

3. Для каждого найденного значения λ_k из системы уравнений (17.44) определяют соответствующие этому корню формы главных изгибов $v_{k1}, v_{k2}, \dots, v_{kn}$ при условии $v_{k1} = 1$ (если $v_{k1} \neq 0$). После этого полезно проверить правильность вычисления v_{k2} путем проверки выполнения из условий ортогональности (17.49).

4. По формулам (17.46) и (17.52) рассчитывают коэффициент жесткости упругого основания λ_k и интенсивность поперечной нагрузки $q_k(x)$ для каждого главного изгиба.

5. Из условий закрепления концевых сечений перекрестной связи определяют граничные условия для главных изгибов $\rho_k(x)$.

6. Из дифференциальных уравнений (17.41), дополненных соответствующими граничными условиями, находят главные изгибы $\rho_k(x)$.

7. С помощью формулы (17.40) определяют упругие линии и другие параметры изгиба перекрестных связей.

8. Выделают характерные балки главного направления (при одинаковой нагрузке балок — среднюю и крайнюю балки главного направления) и для них строят опоры перерезывающих сил и изгибающих моментов.

Отметим некоторые особенности метода главных изгибов, которые необходимо учесть при практическом расчете перекрытий:

а) вычисление коэффициентов влияния β_i , ψ_{ik} , а также чисел λ_k должно выполняться с большой степенью точности, так как определение форм главных изгибов v_{k1} из системы однородных уравнений (17.44) и значений q_k по формуле (17.52') связано с вычислением малых разностей близких величин;

б) обычно нет необходимости определять все функции $\rho_k(x)$; достаточна для практических целей точность может быть достигнута при сохранении в зависимости (17.40) двух или трех главных изгибов, соответствующих наибольшим значениям чисел λ_k ;

в) учет симметрии в нагрузке и конструкции перекрытия приводит к значительному снижению трудоемкости расчета, так как позволяет ограничиться рассмотрением половины перекрытия.

Укажем на некоторые особенности вычисления коэффициентов влияния η_{ij} для симметричных перевернут. Коэффициенты влияния η_{ij} можно определять для положения балки главного направления, считая угол поворота и перемещающую силу на ось симметрии равными нулю. Однако то же значение коэффициентов получится, если рассмотреть всю балку главного направления и определять прогиб в i -й узловой точке от двух единичных сил, приложенных симметрично относительно средине пролета в j -м сечении. При этом нумерацию узловых точек балки главного направления следует производить, начиная от ближайших к середине пролета и присывая симметричным точкам одинаковые номера. Если число поперечных связей в симметричном коротком члене нечетно, то одна из узловых точек балки главного направления лежит на оси симметрии. Этой точке следует присвоить номер 1, и приложить в ней две единичные силы. Одновременно в расчетах необходимо принять среднюю поперекрестную балку состоящей из двух балок половинной жесткости.

Пример 8. Рассчитать перевернуты (рис. 17.14), имеющие три симметрично расположенные поперекрестные связи, жестко заделанные по концам на поперекрестном опором. Балка главного направления свободно опирается по концам, нагрузка на перевернуты — равномерное распределение q .

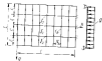


Рис. 17.14

Решение. Введем следующие обозначения: I_1, I_2 — моменты инерции пролета и крайних поперекрестных балок; η_0 — момент инерции балки главного направления. Положим $I_1 = 2I_0$; $I_2 = I_0$; $I_0 = 0,5I_1$; $L = 1,2c$; $a = L/2$, $c = 0,5L$. Положим, как вычислится радиус инерции, осевую инерцию введем отсюда поделительности.

Определим коэффициенты влияния. В рассмотренном примере нагрузка на перевернуты не является в зависимости от координаты x , поэтому все балки главного направления нагружены одинаковой равномерной распределенной нагрузкой, сумма которой составляет $Q = qL$.

Угловая линия свободно опирается балки, нагруженной равномерной нагрузкой (линия опорной заделки пролета), следовательно выразимся

$$w(x) = \frac{qL^3}{24E_0I_0} \left[\left(\frac{x}{L}\right)^4 - \frac{3}{2} \left(\frac{x}{L}\right)^3 + \frac{5}{16} \right] = \frac{E_0I_0 Q L^3}{24E_0I_0}, \quad (17.60)$$

$$F_1 = F_2 = \frac{1}{24} \left[\left(\frac{x}{L}\right)^4 - \frac{3}{2} \left(\frac{x}{L}\right)^3 + \frac{5}{16} \right], \quad (17.61)$$

Положим $a_1 = 0$; $a_2 = 1/4$, получим $F_1 = 0,584$; $F_2 = 1,6204$.

Для определения коэффициентов η_{ij} рассмотрим свободно опирающую балку, нагруженную симметрично двумя сосредоточенными силами, действующими на рас-

стоянии c от середины пролета (рис. 17.15). Угловая линия такой балки выразится выражением

$$w(x) = \frac{Pc^2}{24E_0I_0} \frac{1}{6} \left\{ \left(\frac{1}{2} - \frac{c}{L}\right) \left[\frac{3}{4} - \left(\frac{c}{L} - \frac{x}{L}\right)^2 \right] - 3 \left(\frac{x}{L}\right)^3 \left(1 - \frac{c}{L}\right) + \frac{4x - cL}{L^3} \sigma(x - c) \right\}. \quad (17.62)$$

Из зависимости (17.62) следует

$$\eta_{ij} = \frac{1}{6} \left\{ \left(\frac{1}{2} - \frac{c_j}{L}\right) \left[\frac{3}{4} - \left(\frac{1}{2} - \frac{c_j}{L}\right)^2 \right] - 3 \left(\frac{x_i}{L}\right)^3 \left(1 - \frac{c_j}{L}\right) + \frac{(x_i - c_j)^2}{L^3} \sigma(x_i - c_j) \right\}. \quad (17.63)$$

Прислав $c_1 = c$, получим, соответствующие значениям узловых точек, получим $\eta_{11} = 1,24$; $\eta_{12} = 11,384$; $\eta_{21} = 11,384$; $\eta_{22} = 3,48$.

Определим характеристические числа λ_k . Подставим значение η_{ij} в определитель (17.67) при $n = 2$, имеем

$$\begin{vmatrix} 1,24 - \lambda_k & 11,384 \\ 11,384 & 3,48 - \lambda_k \end{vmatrix} = 0, \quad (17.64)$$

Заметим, что в рассмотренном перевернутом среднем поперекрестном балке лежит на оси симметрии. Поэтому используем представление не в виде двух балок половинной жесткости, т. е. в определитель (17.67) вместо I_0 подставим $I_0^* = I_0/2$.

В разгруппированном виде (17.64) представляет собой квадратное уравнение

$$\lambda_k^2 - 62,5 \cdot 10^{-3} \lambda_k + 47,5 \cdot 10^{-3} = 0, \quad (17.65)$$

откуда $\lambda_1 = 61,71 \cdot 10^{-3}$; $\lambda_2 = 0,79 \cdot 10^{-3}$.

Определим форму главных модальностей ψ_k . Система уравнений (17.64) при $n = 2$ принимает вид

$$\left. \begin{aligned} (\eta_{11} - I_0 \lambda_k / I_0^*) \psi_{1k} + \eta_{12} \psi_{2k} - \psi_{1k} \\ \eta_{21} \psi_{1k} + (\eta_{22} - I_0 \lambda_k / I_0^*) \psi_{2k} - \psi_{2k} \end{aligned} \right\} \quad (17.66)$$

Поскольку определитель системы (17.66) равен нулю, одно из ее уравнений есть следствие другого. Поэтому, подставив в ее первое уравнение $\lambda_k = \lambda_1$ и подставив $\psi_{1k} = 1$, найдем $\psi_{2k} = 0,7$. Из ее второго уравнения при $\lambda_k = \lambda_2$, $\psi_{2k} = 1$ следует, что $\psi_{1k} = -0,7$.

Определим характеристические жесткости λ_k . Найдем ψ_k и формулы главных модальностей $\psi_k(x)$. По формулам (17.61) и (17.62) найдем $F_1 = 16,25 I_0 / (qL^3)$; $F_2 = 50,25 I_0 / (qL^3)$; $\psi_1 = 0,21202 I_0$; $\psi_2 = 0,15149 I_0$.

При жесткой связи поперекрестных балок на опорных узлах опор угловые прогибы для главных модальностей имеют вид (17.64): $\psi_k \pm L/2 = \psi_k^*$ (на $L/2$) $\Rightarrow 0$.

Таким образом, задание на функции $\psi_k(x)$ представляет собой угловую линию жестко заделанной на концах балки, лежащей на упругих опорах основной жесткостью I_0 в нагруженной равномерной нагрузкой жесткостью qL . Для определения $\psi_k(x)$, а также характеров ишибо в характерных сечениях поперекрестных балок (завершено, при $x = 0$ и $x = \pm L/2$) можно воспользоваться формулами И. Т. Бурбана для балки на упругих опорах.

Определим параметром модальности перевернутой балки и деформации модальностей. Не останавливаясь на результате вычислений, привели только формулы для расчета параметром модальности перевернутой балки и решают их аналогичным со средним в крайних балках главного направления.

Используя формулы Н. Г. Бубнова, в соответствии с (17.40) имеем:
 а) прогибы поперечного пролета перекрестных балок

$$w_i(x) = -\frac{L^2}{I_i} \sum_{k=1}^{\infty} v_{ik} \rho_k^2(x) = -\frac{L^2}{I_i} \sum_{k=1}^{\infty} v_{ik} \frac{v_k}{\alpha_k} [1 - v_i(v_k x)], \quad (17.67)$$

где $v_i(v_k)$ — взаимные значения функции Н. Г. Бубнова;

$$v_k = (L/2) \sqrt{v_k} / (4EL_i^2) = (L/2) \sqrt{v_k} / (64k^2 L_i^2 \alpha_k^2) \quad (17.68)$$

заметьте, что при $i = 1$ вместо L_i в формулу (17.67) следует подставить $L_i^* = -L_i/2$.

б) приближенные моменты поперечно пролета перекрестных балок

$$M_i(x) = EI_i w_i''(x) = -\sum_{k=1}^{\infty} v_{ik} E_i L_i \rho_k''(x) = -\sum_{k=1}^{\infty} v_{ik} \frac{q_k L^2}{24} X_1(v_k x) \quad (17.69)$$

в) приближенные моменты в опорной секции перекрестных балок

$$M_i\left(\frac{L}{2}\right) = -\sum_{k=1}^{\infty} v_{ik} \frac{q_k L^2}{12} X_2(v_k x) \quad (17.70)$$

г) реакция, действующая на среднем балку главного направления со стороны j -й перекрестной связи

$$R_j(x) = \alpha \sum_{k=1}^{\infty} v_{jk} \varphi_k^2(v_k x) \quad (17.71)$$

д) реакция, действующая на крайнюю балку главного направления со стороны j -й перекрестной связи

$$R_j\left(\frac{L}{2}\right) = \alpha \sum_{k=1}^{\infty} v_{jk} \rho_k^2 \quad (17.72)$$

Вспомогательные функции φ_k , X_1 и X_2 определяются по таблице 16.1 в зависимости от значений аргумента u .

Как известно, функция Н. Г. Бубнова с ростом аргумента u быстро убывает. Анализировав результаты вычисления коэффициента жесткости K_0 , видно, что сходящиеся аргументы u_0 и u_1 составляют α рассматриваемого пролета $u_0/u_1 = \sqrt{30,419} = 5,51$. Уменьшая аргумента u более чем в 2 раза по сравнению с u_0 , приводит к существенному уменьшению значения второго члена ряда по сравнению с первым в выражениях для параметров кривой перекрестных балок. Итоженное соотношение лишь повышает (17.72), для первой и второй члены суммы симметричны.

§ 17.6. Учет влияния деформаций сдвига при расчете перекрытий

Учет деформаций сдвига может иметь существенное значение при расчете линейных перекрытий, балок которых вследствие наличия вырезов в стенках и применения бракетных флангов могут иметь относительно низкую жесткость на сдвиг. Поскольку речь идет главным образом о линейных конструкциях судов с двойным дном, ограничимся рассмотрением перекрытий с большим числом

балок главного направления и одной или несколькими поперекрестными связями.

Деформация сдвига необходимо учитывать как при определении коэффициентов влияния на прогиб в узловых точках балок главного направления, так и при расчете угругих линий перекрестных связей.

Расмотрим перекрытие с одной поперекрестной связью, показанное на рис. 17.9. Для определения прогиба балки поперечного пролета при учете влияния сдвига можно использовать вместо выражения (17.18) зависимость

$$w(x) = \beta(x) s_d Q^0(x) / EI_0 - \nu s_d R_j \rho_j^2(x) / EI_0, \quad (17.73)$$

где s_d — поправка на сдвиг при действии распределенной нагрузки; $s_d = 0$ — то же при действии сосредоточенной силы.

Значения s_d и ν можно определить с помощью известных методов расчета прогибов балок с учетом сдвига. Например, при равномерной нагрузке на перекрытие и расположении перекрестной связи поперечного пролета балок главного направления (при $\alpha = 0,5$)

$$\left. \begin{aligned} s_d &= 1 + 48EI_0/[5 - 4\kappa] G\alpha_j^2 L^2, \\ \nu &= 1 + 60EI_0/[5 - 4\kappa] G\alpha_j^2 L^2. \end{aligned} \right\} \quad (17.74)$$

Здесь κ — коэффициент поворота пары угругой заделки; α_j — площадь стенки балки главного направления. Используя выражение (17.73) вместо (17.18), найдем, что при учете сдвига балок главного направления изменяется нагрузка перекрестной связи и коэффициент жесткости угругого основания:

$$q(x) = \beta s_d Q^0(x) / EI_0; \quad R = EI_0 \alpha^2 \nu \rho_j^2. \quad (17.75)$$

Из формул (17.75) вытекает, что в тех случаях, когда поправка на сдвиг s_d прогибу умеренны и не превосходит 20—30% от прогибов, вызванных изгибом, сдвиг в балках главного направления можно не учитывать. Это обусловлено тем, что отношение s_d/s_0 близко к единице, а изменение жесткости угругого основания не может существенно изменить параметры изгиба перекрестной балки.

Учет влияния сдвига в перекрестной связи приводит к необходимости интегрирования дифференциального уравнения [см. уравнение (16.134)]

$$EI_0 w_1^{(4)}(x) - EI_0 w_1''(x) / GQ + \kappa w_1(x) = q(x), \quad (17.76)$$

где $w_1(x)$ — угругая линия перекрестной связи, обусловленная изгибом; Q — площадь стенки перекрестной связи.

Далее по формуле (16.133) определяем прогиб перекрестной связи от сдвига:

$$w_1(x) = -EI_0 w''(x) / GQ,$$

Заметим, что решение подобной задачи изложено в § 16.6.

При расчете перекрытий с несколькими перекрестными связями можно рекомендовать следующий приближенный прием учета деформаций сдвига, предложенный В. В. Коллаковым. Согласно этому приему при вычислении корней характеристического уравнения (17.47), формы главных изгибов w_{ik} из системы (17.44), интенсивности нагрузок (17.46) необходимо вместо действительных значений моментов вращений перекрестных связей I_i пользоваться приведенными их значениями, равными

$$\bar{I}_i = I_i/S_i \quad (17.77)$$

$$S_i = 1 + 48EI_{i0}(\Omega_i L_i^2 (5 - 6\kappa)) \quad (17.78)$$

Коэффициенты же влияния γ_i и β_i должны быть найдены с учетом деформаций сдвига в балках главного направления.

Элементы изгиба перекрестных связей будут при этом определяться формулами

$$\left. \begin{aligned} w_i &= w_i^{(0)} S_i = \frac{I_i}{T_i} S_i \sum_{k=1}^n v_{ik} p_k(x); \\ [w_i^{(0)}]' &= \frac{I_i}{T_i} \sum_{k=1}^n v_{ik} p_k'(x); \\ M_i &= EI_i [w_i^{(0)}]'' = \sum_{k=1}^n v_{ik} \mathfrak{M}_k; \\ N_i &= EI_i [w_i^{(0)}]''' = \sum_{k=1}^n v_{ik} \mathfrak{N}_k \end{aligned} \right\} \quad (17.79)$$

где $p_k(x)$ — главные изгибы, определяемые дифференциальными уравнениями (17.41); p_k' , \mathfrak{M}_k , \mathfrak{N}_k — соответственно угол поворота, изгибающий момент, опережающая сила в k -м главном изгибе.

§ 17.3. Приближенные методы расчета плоских перекрытий

Расчет перекрытий с $n \geq 3$ по методу главных изгибов оказывается достаточно трудным. Наиболее сложными являются операции вычисления корней характеристического уравнения Δ_k и последующее определение форм главных изгибов w_{ik} на основе решения систем однородных уравнений.

Нельзя не отметить, однако, определенную противоречивость применения метода главных изгибов в расчетах судовых перекрытий. При некоторых ограничениях, касающихся условий изометрии характеристик жесткости на длине перекрестных балок, устройств опорных заделок и т. п., этот метод позволяет получить практически точное решение системы дифференциальных уравнений

(17.39). Вместе с тем плоское перекрытие (система пересекающихся балок) лишь приближенно отражает свойства реальных судовых конструкций. Основным источником погрешности схемы плоского перекрытия как модели реальной судовой конструкции уже частично обсуждался. Эти связи с приближенным распределением внешней нагрузки между балками главного направления и перекрестными связями, учетом кручения балок, плоского напряженного состояния в валах. Следует также иметь в виду, что такие исходные данные расчета, как коэффициенты податливости опор балок и внешняя нагрузка перекрытия, известны лишь приближенно.

Все это делает зачастую бессмысленным получение легкой трудоемких вычислений точного решения дифференциальных уравнений, описывающих поведение модели, которая сама является лишь приближением к действительности. Поэтому для расчетов перекрытий большую ценность представляют приближенные методы, позволяющие значительно снизить трудоемкость вычислений, не внося в расчет больших погрешностей, чем погрешность самой модели. Приближенные методы позволяют также произвести расчет перекрытий, перекрестные балки которых имеют произвольные граничные условия.

Метод подбора нагрузки перекрестных связей. Расчет перекрытий по методу подбора нагрузки перекрестных связей был предложен Б. Л. Николаем и независимо от него М. Я. Марколом. Метод применяют при расчете перекрытий с большим числом одинаковых балок главного направления и несколькими перекрестными связями. При этом перекрестные связи могут быть непрямоугольными, и их устройство на опорах различно. Предполагая, что нагрузка, действующая на перекрытие, воспринимается балками главного направления, а перекрестные связи загружены реакциями взаимодействия, представим интенсивность нагрузки на j -ю перекрестную связь состоящей из двух слагаемых:

$$r_j(x) = q_j^{(0)}(x) - q_j p_j(x), \quad (17.80)$$

где $q_j^{(0)}(x)$ — интенсивность нагрузки j -й перекрестной связи, определенная в предположении, что перекрестные связи не деформируются; q_j — неизвестные коэффициенты, подлежащие определению; $p_j(x)$ — выбравшая функция, близкая по форме к огибающей угругой линии j -й перекрестной балки, нормированная так, что для середины пролета перекрестной балки $p_j(L/2) = 1$.

Систему уравнений для определения неизвестных q_j получим из условия равенства прогиба перекрестных балок посередине пролета и средней балки главного направления.

Поскольку под действием внешней нагрузки в реакциях

$$R_j^{(0)} = \alpha q_j^{(0)}(x) \quad (17.81)$$

прогибы балок главного направления в узловых точках отсутствуют, нагрузкой, вызывающей перемещение узловых точек средней

балки главного направления, являются сосредоточенные силы

$$R_i = \alpha q_i, \quad (17.82)$$

продолженные в этих точках.

Стрелка прогиба средней балки главного направления в i -й узловой точке определяется зависимо

$$\omega_i = \sum_{j=1}^n Y_{ij} \frac{R_j l^3}{6EI_0} = \frac{l^3}{6EI_0} \sum_{j=1}^n Y_{ij} q_j, \quad (17.83)$$

где n — число перекрестных связей.

Если балка главного направления непрямоугольная, под I_0 понимаем некоторое среднее значение момента инерции поперечного сечения.

Уругие линии j -й перекрестной балки определяются дифференциальным уравнением

$$[EI_j(x) \omega_j''(x)]'' = r_j(x) - q_j''(x) - q_j \psi_j(x) \quad (17.84)$$

и граничными условиями, соответствующими характеру закрепления перекрестной балки в опорных сечениях. Уравнение (17.84) интегрируется известными методами, и уругие линии $\omega_j(x)$ могут быть определены для любых функций $I_j(x)$ и $r_j(x)$.

Пусть для $x = L/2$ решение уравнения (17.84) имеет вид

$$\omega_i\left(\frac{L}{2}\right) = \frac{I_0}{EI_0} (\alpha_i^0 \psi_i^0 - \alpha_i q_i), \quad i = 1, 2, \dots, n, \quad (17.85)$$

где I_0 — некоторое среднее значение функции $I_i(x)$; α_i^0 , ψ_i^0 — определенные в результате решения уравнения (17.84) коэффициенты влияния соответствующих нагрузок на прогиб i -й перекрестной балки посередине пролета; ψ_i^0 — среднее значение нагрузки $q_i^0(x)$.

Привлекая правые части выражений (17.83) и (17.85), получим следующую систему уравнений для определения неизвестных q_i :

$$\sum_{j=1}^n Y_{ij} q_j + \frac{EI_0}{\omega l^3} \alpha_i q_i = \frac{l_0}{l_0} \left(\frac{L}{l_0}\right)^3 \frac{l_0}{6} \alpha_i^0 \psi_i^0, \quad (17.86)$$

Определив q_i из системы уравнений (17.86), можно с помощью (17.84) выполнить расчет перекрестных связей. Элементы прогиба средней балки главного направления при заданных сведениях узловых сечений ω_i могут быть вычислены по теореме трех моментов.

Метод Ростоваева¹. В этом методе используют приближенное разделение системы уравнений Бубнова

$$\omega_i(x) = \beta_i \frac{Q_i(x) l^3}{EI_0} - \frac{\alpha_i^0}{EI_0} \sum_{j=1}^n Y_{ij} EI_j \omega_j^{IV}(x) \quad (17.87)$$

на n независимых уравнений.

¹ Ростоваев Д. М. Приближенный метод расчета перекрестных связей // Труды ЛКИ. 1982. Вып. XXXVIII. С. 135–144.

Рассмотрим сначала перекрестие, у которого все балки главного направления одинаково устроены на опорах и имеют одинаковый закон изменения нагрузки, так что коэффициенты β_i и ψ_i^0 не зависят от x . Перекрестные связи заделаем на опорах с произвольными, но сопоставимыми друг с другом по значению коэффициентами податливости.

Уругие линии балок главного направления при оговоренных условиях можно считать подобными. Поэтому для прогиба балок главного направления в узловых точках можно записать следующее выражение:

$$\omega_i(y) |_{x=L/2} = \omega_i |_{x=L/2} \varphi(y), \quad (17.88)$$

где x_0 — абсцисса рассматриваемой n -й балки главного направления; $\omega_i(x)$ — неизвестная функция, имеющая размерность прогиба; $\varphi(y)$ — выбранная безразмерная функция, описывающая форму изгиба балки главного направления и, следовательно, удовлетворяющая граничным условиям и ее опорных сечениях.

Поскольку прогибы балок главного направления в j -х узловых точках и прогиб j -й перекрестной связи совпадают, из выражения (17.88) следует формула для уругие линии j -й перекрестной связи

$$\omega_j(x) = \omega_j(x) \varphi(y), \quad (17.89)$$

Для i -й перекрестной балки получим выражение, аналогичное (17.89):

$$\omega_i(x) = \omega_i(x) \varphi(y), \quad (17.90)$$

Исключив из зависимости (17.89) с помощью (17.90) неизвестную функцию $\omega_i(x)$, найдем

$$\omega_j(x) = \omega_i(x) \varphi(y) / \varphi(y), \quad (17.91)$$

Подстановка (17.91) в систему уравнений (17.87) позволяет преобразовать ее к следующему виду

$$EI_i \omega_i^{IV}(x) \sum_{j=1}^n Y_{ij} \frac{l_j}{l_j} \frac{\varphi(y)}{\varphi(y)} + \frac{EI_0}{\omega l^3} \omega_i(x) = \beta_i \frac{Q_i(x)}{\alpha}, \quad (17.92)$$

Обозначив

$$\sum_{j=1}^n Y_{ij} \frac{l_j}{l_j} \frac{\varphi(y)}{\varphi(y)} = \delta_i, \quad (17.93)$$

получим для каждой перекрестной балки дифференциальное уравнение

$$EI_i \omega_i^{IV}(x) + k_i \omega_i(x) = q_i(x), \quad (17.94)$$

где

$$k_i = EI_0 (\omega l^3)^{-1}, \quad (17.95)$$

$$q_i(x) = \beta_i Q_i(x) / (\delta_i \alpha). \quad (17.96)$$

Выписав интеграл уравнения (17.94) и подчинив его граничным условиям, найдем уругие линии и все параметры изгиба

перекрестных связей. В большинстве практических задач удается определить наиболее важные параметры кривоизгиба с помощью формул и вспомогательных функций И. Г. Бубнова.

Для вычисления величин δ необходимо располагать отношениями $\varphi(y_i)/\varphi(y_j)$, где $i=1, 2, \dots, n$; $j=1, 2, \dots, n$. Заметим, что в качестве $\varphi(y)$ можно принять форму изогнутой линии балки главного направления, нагруженной заданной нагрузкой без учета влияния реакций перекрестных связей, получим

$$\varphi(y_i)/\varphi(y_j) = \beta_j/\beta_i. \quad (17.97)$$

Следовательно,

$$\delta_{ij} \approx \sum_{l=1}^n \nu_{il} \frac{I_j}{I_l} \frac{\beta_l}{\beta_i}. \quad (17.98)$$

После определения прогибов перекрестных балок балки главного направления рассматривают как многопролетные с заданными смещениями опор.

Приведенный метод при нагрузках, главным образом вдоль перекрестных связей, и при ограничении отношений I_j/I_l акцентирован не превышающих 2—3, дает результаты, практически совпадающие с результатами, получаемыми методом главных изгибов. Метод можно применить и в тех случаях, когда нагрузка действует лишь на некоторую часть балок главного направления или когда в перекрестно приложены сосредоточенные силы. Однако ошибка в значениях параметров кривоизгиба перекрестных балок может при этом достигать 10—15%.

Учет влияния сдвига производится в рамках рассматриваемого метода таким же образом, как и при расчете перекрытий с одной перекрестной связью.

Метод конечных элементов. Рассмотрение в предыдущих параграфах метода расчета перекрытий базировалось на предположении о существовании определенной регулярности в конструкции перекрытий: балки главного направления считались расположенными на равных расстояниях друг от друга, перекрестные связи — ортогональными, опорный контур — аржироугольным. Выделив также ряд других ограничений. Реальные судовые конструкции лизин, бортов, палуб, вертерборк отличаются большой многообразностью и присутствием элементов, вносящих существенные искажения в упомянутую регулярность структуры. К таким элементам относятся аржироугольные фрагменты, полупереборки, различные выгородки, жестко связанные с балками перекрытий, большие вырезы в палубах и т. п. В одноэтажных суднах опорный контур перекрытий весьма часто аржироугольным. Ранее уже отмечалось, что для ряда перекрытий типа двойного дна и двойного борта оказывается важным учет сопротивления балок закручиванию.

Во всех подобных случаях расчет перекрытий с помощью метода конечных элементов может оказаться наиболее приемлемым. Естественно, метод конечных элементов как универсальный метод

анализа напряженного состояния конструкций может быть с успехом применен для расчета любого перекрытия, однако в регулярных многоэлементных системах методом, ориентированным на составление и решение дифференциальных уравнений, оказываются менее трудоемкими.

Рассмотренный в предыдущих главах ориентированно и балкам и рамам алгоритм МКЭ является универсальным для расчета любых стержневых систем, в том числе и перекрытий. Поэтому, не повторяя основ метода, изложенных в гл. 11, ограничимся лишь отдельными замечаниями.

Каждую узловую точку плоского перекрытия следует считать имеющей три возможных перемещения: одно линейное, нормальное к плоскости перекрытия, и два угловых, соответствующих поворотам относительно осей ox и oy , расположенных в плоскости перекрытия.

При решении задачи без учета сопротивления балок закручиванию следует применять простейший стержневой элемент, имеющий четыре степени свободы концевых перемещений (см. рис. 11.15). Более сложный стержневой элемент с шестью возможными перемещениями концевых сечений используется в случае учета кручения балок (в узловом перемещении элемента, изображенного на рис. 11.15, добавляются углы закручивания в узловых точках).

Контрольные вопросы

1. Какую конструкцию называют перекрестной? Правильно ли приняты размеры судных перекрытий?
2. Как распределится между балками перекрытия равномерно нагрузка, действующая по площади палубы?
3. Какую ошибку допустимо допустить при расчете балок перекрытия в узловых точках, если бы существовали элементы на его МКЭ?
4. Как составить уравнения, рассматривая статическую неопределенность перекрытия с двумя балками обеих направлений?
5. Какие допущения можно принять при расчете перекрытий с большим числом балок главного направления и одной или несколькими аржироугольными связями?
6. Всегда ли перекрестная связь поддерживает стержневую балку главным направлением?
7. Каким роль перекрестной связи перекрытия при действии на нее сосредоточенной нагрузки?
8. Как изменится схема расчета перекрестной связи, если одна из балок главного направления усилена?
9. Как переписать формулы влияния линейно перемещений с большим числом балок главного направления и несколькими аржироугольными связями?
10. Какими основными свойствами с физической точки зрения обладают мембраны?
11. Как можно учесть влияние деформаций связей в балках главного направления на метод перекрытия? Насколько важно это влияние для судовых перекрытий?
12. Как пишется дифференциальное уравнение влияния перекрестной связи при угле сдвига?
13. Какими основными допущениями аржироугольных методов расчета перекрытий?
14. Какие возможные преимущества угловых точек аржироугольных следует учитывать во внимание при расчете их с использованием МКЭ?

§ 18.1. Основные зависимости теории
степенного кручения и изгиба
тонкостенных стержней открытого профиля

В гл. 5 рассматривалось свободное кручение тонкостенных стержней открытого и замкнутого профиля.

На рис. 18.1 показан пример изгиба со степенной деформацией тонкостенного стержня, происходящей под воздействием внешних, приложенных к торцам крутящих моментов. Как видно, в условиях свободного кручения происходит деформация торцов, а следовательно, и поперечных сечений.

Если деформации стержня жестко, например одна из торцов стержня жестко присоединена к массивной плите (рис. 18.2, а), то деформация поперечного сечения при продвижении от свободного



Рис. 18.1



Рис. 18.2

торца к противоположному заделанному торцу уменьшится и в заделанном торце равна нулю — сечение остается плоским (рис. 18.2, б). Уменьшение деформации — это показатель степени степенной деформации, происходящей в уменьшенных перпендикулярных точках стержня в направлении, параллельном его оси. Величина такого степенного деформации в поперечных сечениях стержня приближается нормальные напряжения.

Различие в характере деформаций при свободном и степенном кручении становится особенно наглядным при рассмотрении кручения двутавровой балки (рис. 18.3). При свободном кручении, когда поперечные сечения могут свободно сдвигаться (рис. 18.3, а), полки скрученной балки практически остаются прямыми. При этом соприкосновенность балки на сдвигание обеспечивается жесткостью каждой из составляющих ее полки (полки и стенки) при чистом кручении [см. формулу (5.48)]. Когда же одна из торцов балки заделана и тем самым исключено в этом сечении деформация, кручение балки сопровождается изгибом полок (рис. 18.3, б). Внеш-

ний изгибающий момент в каждом из поперечных сечений балки уравновешивается частью момента от касательных напряжений при свободном кручении, а частично перерезывающими силами, возникающими в полках балки при их изгибе и образующими в каждом из поперечных сечений двутавра пару сил. Изгиб

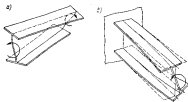


Рис. 18.3

полки двутавра приводят к появлению в поперечных сечениях нормальных продольных напряжений, о которых уже выше шла речь. Степенная деформация возникает и в случае, когда крутящий момент изменяется по длине стержня.

Степенность кручения может существенно увеличивать жесткость на кручение и изменять всю картину напряженно-деформированного состояния тонкостенных стержней открытого профиля. В меньшей степени влияние степенности проявляется при кручении тонкостенных закрытых (многослойных) стержней и еще в меньшей степени, если стержни имеют монолитные сечения.

Точное решение задачи о степенном кручении отсутствует. Излагаемая ниже приближенная теория основана на некоторых допущениях, и достаточной степени справедлива применительно к тонкостенным стержням.

В общем случае поперечное сечение стержня может быть многослойным, а некоторые из присоединяемых элементов могут быть попарно соединены упругими связями, представляющими из окосительную связь в продольном направлении (рис. 18.4, а). Путем введения соответствующих продольных разрезов в замкнутых контурах и удаления имеющихся упругих связей между продольными

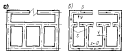


Рис. 18.4

кромками поперечное сечение из изогнутого переводим в односечение (рис. 184, б). На кромках продольных разрезов, а также вдоль кромок, где удалены упругие связи, необходимо приложить поперечные усилия взаимодействия между кромками $T_1(x)$ (i — номер указанных кромок). Полученный таким образом одноосный профиль будем называть а дальнейшим основным.

На противоположных кромках каждого из продольных разрезов, а также на кромках, имеющих упругие связи, поперечные усилия взаимодействия T_1 и T_2 (i, j — номера кромок) должны быть равны по значению и противоположны по направлению. Определение усилий $T_1(x)$ из условий совместности перемещений кромок вдоль фактических разрезов рассмотрено ниже.

Излагаемая ниже теория кручения и изгиба тонкостенных стержней позволяет одновременно рассмотреть осевое растяжение, поперечные изгибы в двух ортогональных плоскостях и закручивание. Качественно новым по сравнению с ранее изложенным в предыдущих главах является учет стеснения деформации. Последнее можно было бы выполнять независимо от осевой деформации и изгиба стержня. Однако представляет интерес сам факт построения теории, учитывающей одновременно все основные виды деформации тонкостенных стержней. Тем более, что при стесненном кручении в общем случае одновременно с закручиванием в стержне могут возникать и все другие виды деформаций (растяжение вдоль его оси, изгиб в какой-либо плоскости).

Основные гипотезы и допущения. В основу излагаемой ниже теории положим следующие гипотезы.

1. Контур поперечного сечения не испытывает деформации в своей плоскости. Однако допускается выход из плоскости точек, лежащих до деформации в одной плоскости (деформация сечения).

Напомним, что гипотеза плоских сечений, используемая при построении технической теории изгиба балок, также предполагает недеформируемость поперечного сечения в своей плоскости при допустимом ограничении: точки, лежащие до деформации в плоскости поперечного сечения, остаются в одной плоскости и после деформации. Поэтому гипотеза плоских сечений — частный случай сформулированной выше гипотезы о недеформируемости контура поперечного сечения.

2. Сдвиги в срединной поверхности тонкостенного стержня отсутствуют. Эта гипотеза выводится лишь при определенных осевой деформации волокна стержня, параллельных его оси, и связанных с ней напряжениях.

Рассмотрим приращенный одноосный тонкостенный стержень. Ось ox направим параллельно образующей, а ось oy и oz совместим с главными центральными осями инерции площади поперечного сечения. Изначно такое направление координатных осей устанавливалось при изложении теории изгиба балок, которая, как будет показано ниже, является лишь частным случаем более общей теории — теории изгиба и кручения тонкостенных стержней.

Следует заметить, что при изложении теории чистого кручения, которую также можно рассматривать как частный случай приведенной ниже теории, принимались другие направления координатных осей: ось ox и oy совмещались с главными центральными осями инерции площади поперечного сечения, а ось oz направлялась параллельно образующей. Такая несогласованность в выборе направлений координатных осей, хотя и не вносит в дальнейшее изложение каких-либо принципиальных затруднений, требует от читателя повышенного внимания при использовании результатов, полученных ранее в иной системе координат.

В дальнейшем, как и в случае чистого кручения, в плоскости сечения профили наряду с координатами y и z будем использовать

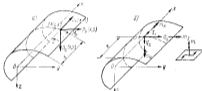


Рис. 185

криволинейную координату s , направленную вдоль срединной линии профиля, а также нормаль n к этой линии в рассматриваемой точке. Положительное направление оси s — вправо, если смотреть в сторону положительного направления оси x . Тогда положение произвольной точки M срединной поверхности тонкостенного стержня (рис. 185, б) можно определять координатами x и s . Криволинейная координата s изменяется вдоль контура поперечного сечения от некоторой точки $M_0 (s=0)$, являющейся началом отсчета (рис. 185, а). Направление координаты s , принимаемое за положительное, как и начало отсчета этой координаты, можно выбирать произвольно. Следует лишь помнить, что точка начала отсчета ($s=0$) делит открытый контур на две части: для одной из них $s > 0$, а для другой — $s < 0$ (рис. 186). Таким образом,

$$\sigma_M = \sigma(x, s); \quad z_M = z(x, s). \quad (18.1)$$

Внешние силы. Будем считать, что к срединной поверхности стержня приложена распределенная нагрузка, составляющие жесткости которой по осям x, y, z суть

$$p_x = p_x(x, s); \quad p_y = p_y(x, s); \quad p_z = p_z(x, s). \quad (18.2)$$

В каждом поперечном сечении нагрузку (18.2) приведем к точке, расположенной на оси x . Таким образом, статическим эквивалентом нагрузки (18.2) оказываются следующие силовые и моментные распределенные нагрузки:

$$\left. \begin{aligned} q_1 &= \int \rho_s ds; & q_2 &= \int \rho_y ds; & q_3 &= \int \rho_z ds; \\ m_1 &= \int [\rho_x(x, s)y(s) - \rho_y(x, s)x(s)] ds; \\ m_2 &= \int \rho_x(x, s)x(s) ds; & m_3 &= - \int \rho_x(x, s)y(s) ds. \end{aligned} \right\} (18.3)$$

Положительные направления этих сил и моментов указаны на рис. 18.5, б.

Перемещения. Рассмотрим произвольную точку $M(x, s)$ на средней поверхности тонкостенного стержня. Проекции перемеще-



Рис. 18.5

ний этой точки на оси x, y, z обозначим соответственно через $u(x, s)$, $v(x, s)$ и $w(x, s)$.

Согласно гипотезе о недеформируемости контура поперечного сечения стержня перемещения точек контурной линии определяются перемещением контура как жесткого целого в плоскости поперечного сечения. Такое перемещение можно описать, задавая перемещение некоторой точки A , принадлежащей контуру или жестко связанной с ним, и поворот контура относительно этой точки.

На рис. 18.7 показано сечение, содержащее точку A , жестко связанную с контуром. Перемещение этой точки, а также угол поворота поперечного сечения как жесткого тела относительно этой точки обозначим соответственно через $u_A(x)$, $v_A(x)$ и $\theta(x)$. Угол поворота θ считается положительным при вращении против часовой стрелки (если смотреть в положительном направлении оси x).

Из кинематических соображений легко выразить перемещения некоторой точки $B(y_B, z_B)$, жестко связанной с контуром поперечного сечения, но не обязательно расположенной на нем, через перемещение точки A :

$$u_B = u_A + (x_B - x_A)\theta; \quad v_B = v_A - (y_B - y_A)\theta, \quad (18.4)$$

Если точку B совместить с точкой $M(x, s)$, расположенной на са-
мой контуре поперечного сечения, то формулы (18.4) приобретают вид

$$\left. \begin{aligned} v(x, s) &= v_A(x) + [z(s) - z_A]\theta; \\ w(x, s) &= w_A(x) - [y(s) - y_A]\theta. \end{aligned} \right\} (18.5)$$

Здесь $y(s)$ и $z(s)$ — координаты точки M контурной линии.

Заметим, что и в теории чистого кручения формулы для компонентов перемещений выражали собой смещение поперечного сечения стержня в своей плоскости как жесткого тела [см. выражение (5.19)].

В дальнейшем нам потребуется располагать проекцией перемещения точки контура $M(x, s)$ по положительному направлению касательной к контуру.

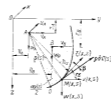


Рис. 18.7



Рис. 18.8

Для определения этой величины, которую обозначим через ξ (см. рис. 18.7), воспользуемся следующей очевидной зависимостью:

$$\xi(x, s) = v(x, s) \cos \alpha(s) - w(x, s) \sin \alpha(s), \quad (18.6)$$

где $\alpha(s)$ — угол между осью y и положительным направлением касательной к контуру сечению; считается положительным при отсчете против часовой стрелки.

Подставляя выражения (18.5) в (18.6), получаем

$$\begin{aligned} \xi(x, s) &= v_A(x) \cos \alpha - w_A(x) \sin \alpha + \\ &+ \{ [z(s) - z_A] \cos \alpha + [y(s) - y_A] \sin \alpha \} \theta(x). \end{aligned} \quad (18.7)$$

Из чисто геометрических соображений, если воспользоваться данными рис. 18.7, можно установить, что

$$[z(s) - z_A] \cos \alpha + [y(s) - y_A] \sin \alpha = \rho(s) \cos \beta(s). \quad (18.8)$$

Здесь $\rho(s)$ — длина отрезка, соединяющего точку A с точкой $M(x, s)$ на контуре; $\beta(s)$ — угол между положительным направлением касательной к контуру и положительным направлением

$\rho(s)\delta\Phi(s)$ — вектором перемещения точки $M(x, y)$ при вращении контура вокруг точки A .

Величина

$$h(s) = \rho(s) \cos \beta(s) \quad (18.9)$$

есть длина перпендикуляра, опущенного из точки A на касательную к контуру в точке $M(x, s)$. Эта величина, как видно из формулы (18.9), в зависимости от знака $\cos \beta(s)$ может быть положительной или отрицательной. Установлено правило определения знака величины $h(s)$. Рассматривая рис. 18.8, можно убедиться в том, что в точках H и H_1 проекция перемещающей $\rho\delta$ направлена в положительном направлении касательной и при перемещении этих точек по контуру в положительном направлении радиус ρ вращается также в положительном направлении (против движения часовой стрелки). В точке H_2 проекция перемещающей $\rho\delta$ совпадает с отрицательным направлением касательной к контуру, а радиус ρ вращается в отрицательном направлении (по ходу часовой стрелки) при перемещении точки H_2 по контуру в положительном направлении.

Таким образом, справедливо следующее правило: если при перемещении от рассматриваемой точки по контуру в положительном направлении радиус-вектор $\rho(s)$ поворачивается против движения часовой стрелки, то $h(s) > 0$, если же радиус-вектор поворачивается по движению часовой стрелки, то $h(s) < 0$.

Воспользовавшись зависимостями (18.8) и (18.9), формуле (18.7) можно придать вид

$$\xi(x, y) = v_A(x) \cos \alpha - w_A(x) \sin \alpha + h(s) \delta \Phi(x). \quad (18.10)$$

Для определения перемещения $u(x, z)$ точек контура в направлении оси x воспользуемся допущением об отсутствии деформаций сдвига в средней поверхности:

$$\tau_{xz} = \frac{\partial u}{\partial z} + \frac{\partial z}{\partial x} = 0. \quad (18.11)$$

Отсюда

$$u(x, z) = f(x) - \int_0^z \frac{\partial z}{\partial x} dz, \quad (18.12)$$

где $f(x)$ — произвольная функция переменной x . Подставляя в формулу (18.12) выражение (18.10) и замечая, что

$$dz \cos \alpha = dx; \quad dz \sin \alpha = -dz, \quad (18.12')$$

после интегрирования находим

$$u(x, z) = f(x) - w'_A(x) [z(s) - z(0)] - v'_A(x) [\rho(s) - \rho(0)] - \Phi'(x) \omega(s). \quad (18.13)$$

Здесь $\omega(s)$ — секториальная площадь, определяемая по формуле

$$\omega(s) = \int_0^s h(s) ds. \quad (18.14)$$

Величина $\omega(s)$ представляет собой удвоенную площадь сектора, ограниченного дугой радиусами, которые соединяют точку A с краямими точками дуги контура (см. рис. 18.7).

При перемещении точки $M(s)$ по контуру в положительном направлении координаты x секториальной площади возрастает, если радиус-вектор ρ поворачивается против часовой стрелки.

Поскольку $f(x)$ — произвольная функция, выражение (18.13) можно переписать в виде

$$u(x, z) = u(x) - v'_A(x) y(s) - w'_A(x) z(s) - \Phi'(x) \omega(s), \quad (18.15)$$

где $u(x)$ — продольное перемещение поперечного сечения при осевой деформации; $v'_A(x)$ — прогиб при изгибе в плоскости xy ; $w'_A(x)$ — прогиб при изгибе в плоскости xz . Этой формулой выражены закон изменения продольных перемещений тонкостенного открытого прismaticского стержня, обладающего в поперечном сечении кривыми контурами и не имеющего деформаций сдвига в средней поверхности. Первые три члена в правой части зависимости (18.15) выражают гипотезу плоских сечений, согласно которой поперечные сечения, плоские до деформации, остаются плоскими и после деформации.

Последний член в правой части формулы (18.15) определяет ту часть перемещения $u(x, z)$, которая не следует уже закону плоских сечений. Этим членом определяется так называемая деформация (искажение) первоначально плоского сечения, возникающая при кручении и изменяющаяся по закону секториальных площадей $\omega(s)$.

Полученный закон деформации поперечных сечений очень близок к закону деформации поперечных сечений при чистом кручении одноосновного стержня. Отличие состоит лишь в том, что при чистом кручении угол поворота $\Phi(x)$ является линейной функцией координат x , а при стесненном кручении $\Phi(x)$ может быть произвольной функцией x .

Напряжения. На основании закона Гука для изотропного тела

$$\sigma_x = [\sigma_x - \mu(\sigma_x + \sigma_y)]/E, \quad (18.16)$$

где σ_x и σ_y — нормальные напряжения для точек срединной поверхности стержня соответственно по направлениям координат x и y .

Как и в технической теории изгиба балок, напряжениями σ_x и σ_y можно пренебречь по сравнению с напряжениями σ_z . Тогда на основании зависимости (18.16) $\sigma_x \approx E\epsilon_x = E \frac{\partial u(x, z)}{\partial x}$, или, если ввести сюда выражение для $u(x, z)$ согласно формуле (18.15),

$$\sigma_x(x, z) = E [u'(x) - v'_A(x) y(s) - w'_A(x) z(s) - \Phi''(x) \omega(s)]. \quad (18.17)$$

Переходим к определению касательного напряжения τ_{xz} в срединной поверхности стержня. Оно может быть представлено в виде сумм касательных напряжений, возникающих при чистом кручении одноосновного (основного) стержня τ_1^0 , и дополнительных

касательных напряжений, возникающих вследствие изгиба τ_x^b , многосвязности и стесненности его кручения τ_x^k :

$$\tau_{xy} = \tau_x^b + \tau_x^k + \tau_x^c \quad (18.18)$$

Касательные напряжения τ_x^b определяются по формуле (5.24) из теории чистого кручения, которая в принятых здесь обозначениях представляется в виде

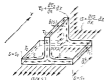


Рис. 18.9

равенстве отсеченной части профиля длиной dx . Положительные направления напряжений, характеризующих действие отбрасываемой части стержня, а также внешних нагрузок и обхода по контуру показаны на рис. 18.9. Составляя уравнение прощаний всех сил, действующих на отсеченную часть профиля, за ось ox , получаем

$$\begin{aligned} \tau_y(x, s) \delta(s) dx - \int_{s_{\text{св}}}^s \sigma_x(x, s) \delta(s) dx + \int_{s_{\text{св}}}^s \sigma_x(x, s) \delta(s) dx + \\ + \frac{\partial}{\partial x} \left[\int_{s_{\text{св}}}^s \sigma_x(x, s) \delta(s) ds \right] dx + \\ + \left[\int_{s_{\text{св}}}^s \rho_x(x, s) dx \right] dx + \sum_{i=1}^n T_i(x) dx = 0, \quad (18.19) \end{aligned}$$

где s — координата сечения, в котором определяется τ_x ; $\delta(s)$ — толщина профиля в точке s ; $T_i(x)$ — касательные усилия взаимодействия на крошках продольных разрезов и на крошках с отброшенными упругими связями; i — номер конечных точек средней линии профиля, расположенных по одну сторону от точки s (включая точки на крошках продольных разрезов и на крошках с отброшенными упругими связями). Положительные направления $T_i(x)$ приняты совпадающими с положительным направлением оси ox .

Из уравнения (18.19) получим

$$\tau_x \delta(s) = - \sum_{i=1}^n T_i - \frac{\partial}{\partial x} \int_{s_{\text{св}}}^s \sigma_x(x, s) \delta(s) ds - \int_{s_{\text{св}}}^s \rho_x(x, s) ds. \quad (18.20)$$

Подставляя в формулу (18.20) выражение для $\sigma_x(x, s)$ согласно (18.17), получим следующую формулу для определения касательных напряжений:

$$\begin{aligned} \tau_x(x, s) = \tau_x^b + \tau_x^k = \\ = - \frac{E}{\delta(s)} \left[\mu''(x) F''''(s) - \omega_2''(x) S_2''(s) - \nu_A''(x) S_2''(s) \right] + \\ + \frac{1}{\delta(s)} \left[- \sum_{i=1}^n T_i(x) - \int_{s_{\text{св}}}^s \rho_x(x, s) ds + E \theta''(x) S_2''(s) \right]. \quad (18.21) \end{aligned}$$

Здесь первым слагаемым в правой части определяется касательное напряжение τ_x^b , возникающее при растяжении и изгибе стержня, вторым слагаемым — касательное напряжение τ_x^k , возникающее из-за многосвязности стержня и стесненности его кручения. В формуле (18.21) использованы следующие обозначения:

$$\left. \begin{aligned} F''''(s) &= \int_{s_{\text{св}}}^s \delta(s) ds; & S_2''(s) &= \int_{s_{\text{св}}}^s 2\delta(s) ds; \\ S_2''(s) &= \int_{s_{\text{св}}}^s \rho(s) ds; & S_2''(s) &= \int_{s_{\text{св}}}^s \alpha(s) \delta(s) ds. \end{aligned} \right\} \quad (18.22)$$

Первой из формул (18.22) определяется площадь конкретного сечения отсеченной части профиля, второй и третьей — статические моменты отсеченной площади сечения относительно осей oy и oz соответственно, четвертой — новая характеристика, называемая секторальными статическим моментом площади. Секторальными характеристиками будут предметом изучения в § 18.2.

Уравнения равновесия. Для определения четырех неизвестных функций $\mu(x)$, $\omega_2(x)$, $\nu_A(x)$ и $\theta(x)$ составим четыре уравнения равновесия элемента стержня, выделенного сечением x и $x+dx$: три уравнения прощаний всех сил соответственно по направлениям x , y , z и одно уравнение моментов относительно оси, параллельной оси x и проходящей через точку A . Уравнения моментов относительно осей, параллельных осям y и z , удовлетворяются вследствие использования при определении касательных напряжений теоремы о парности касательных напряжений.

Итак, проектируя все силы, действующие на выделенный элемент, на ось ox , получаем первое из упомянутых выше уравнений равновесия

$$\sum X = \frac{\partial}{\partial x} \int_{s_{\text{св}}}^s \tau_x(x, s) \delta(s) ds + q_x(x) = 0; \quad (18.23)$$

где $q_x(x)$ определяется по формуле (18.3). При получении уравнения (18.23) было учтено, что

$$\sum_{i=1}^n T_i(x) = 0. \quad (18.23')$$

Здесь n — общее число продольных кромок стержня, которые образовались при введении фиктивных продольных разрезов для получения одноосового основного профиля.

При составлении уравнений проекций на ось ou и oz следует учесть, что проекции нормальных напряжений на эти оси равны нулю.

Уравнение проекций всех сил на ось ou запишется в следующем виде:

$$\sum Y - \oint \tau_{\theta} \delta(x) \cos \alpha \, ds + \oint \tau_{\theta} \delta(x) \sin \alpha \, ds + \frac{\partial}{\partial x} \left[\oint \tau_{\theta} \delta \cos \alpha \, ds \right] dx + q_y \, dx = 0, \quad (18.24)$$

или, если дополнительно учесть (18.12'),

$$\sum Y - \frac{\partial}{\partial x} \oint \tau_{\theta} \delta(x, s) \delta(x) \, ds + q_y(x) = 0. \quad (18.25)$$

По аналогии с (18.25) можно выписать уравнение проекций всех сил на ось oz :

$$\sum Z - \frac{\partial}{\partial x} \oint \tau_{\theta} \delta(x, s) \delta(x) \, ds + q_z(x) = 0. \quad (18.26)$$

При составлении уравнения моментов относительно точки A будем считать положительными моменты, направленные против часовой стрелки, т. е. по направлению вращения от оси oz к оси ou по кратчайшему пути. В результате получим

$$\sum M_A = - \oint \tau_{\theta} \delta(x) h(x) \, ds + \oint \tau_{\theta} \delta(x) h(x) \, ds + \frac{\partial}{\partial x} \left[\oint \tau_{\theta} \delta(x) h(x) \, ds \right] dx + C_x \theta''(x) dx + m_x(x) dx = 0,$$

или

$$\frac{\partial}{\partial x} \oint \tau_{\theta} \delta(x) h \, ds + C_x \theta''(x) + m_x(x) = 0, \quad (18.27)$$

где $C_x \theta''(x)$ — часть крутящего момента, воспринимаемая стержнем при чистом кручении. Задача о чистом кручении рассматривалась в гл. 5.

Интегралы, входящие в уравнения равновесия (18.25) — (18.27), имеют одинаковую структуру:

$$\frac{\partial}{\partial x} \oint \tau_{\theta} \delta(x) \, ds = \oint (\tau_{\theta} \delta)' \, ds, \quad (18.28)$$

где знаком $(\)'$ обозначена производная по x , а r имеет в разных уравнениях значения y , z и θ .

Для удобства дальнейших вычислений эти интегралы целесообразно преобразовать. Заметим, что $d[(\tau_{\theta} \delta)'] = r \frac{\partial}{\partial x} (\tau_{\theta} \delta)' dx + (\tau_{\theta} \delta)' dr$, или

$$(\tau_{\theta} \delta)' \, dr = d[(\tau_{\theta} \delta)'] - r \frac{\partial}{\partial x} (\tau_{\theta} \delta)' \, ds. \quad (18.29)$$

Тогда интеграл (18.28) можно привести к такому виду:

$$\frac{\partial}{\partial x} \oint \tau_{\theta} \delta \, dr = \sum_{i=1}^n r(x_i) J_i'(\theta) - \oint r(x) \frac{\partial}{\partial x} (\tau_{\theta} \delta)' \, ds. \quad (18.30)$$

Здесь $(\tau_{\theta} \delta)'_{x=x_i} = J_i'(\theta)$. Заметим далее, что согласно (18.20)

$$\frac{\partial}{\partial x} (\tau_{\theta} \delta)' = -\delta(x) \frac{\partial^2 \delta_{\theta}(x, s)}{\partial x^2} - \frac{\partial \delta_{\theta}(x, s)}{\partial x},$$

кравую часть (18.30) можно преобразовать к такому виду:

$$\frac{\partial}{\partial x} \oint \tau_{\theta} \delta \, dr = \sum r(x_i) J_i'(\theta) + \oint \tau_{\theta} \delta \frac{\partial^2 \delta_{\theta}(x, s)}{\partial x^2} \, ds + \oint r \frac{\partial \delta_{\theta}(x, s)}{\partial x} \, ds. \quad (18.31)$$

С помощью полученной зависимости (18.31) уравнения равновесия (18.25) — (18.27) приводятся к виду

$$\left. \begin{aligned} \sum Y - \oint \tau_{\theta} \delta \frac{\partial^2 \delta_{\theta}(x, s)}{\partial x^2} \, ds + \oint \tau_{\theta} \delta \frac{\partial \delta_{\theta}(x, s)}{\partial x} \, ds + q_y(x) &= 0; \\ \sum Z - \oint \tau_{\theta} \delta \frac{\partial^2 \delta_{\theta}(x, s)}{\partial x^2} \, ds + \oint \tau_{\theta} \delta \frac{\partial \delta_{\theta}(x, s)}{\partial x} \, ds + q_z(x) &= 0; \\ \sum M_A - \oint \tau_{\theta} \delta h \frac{\partial^2 \delta_{\theta}(x, s)}{\partial x^2} \, ds + \oint \tau_{\theta} \delta h \frac{\partial \delta_{\theta}(x, s)}{\partial x} \, ds + C_x \theta''(x) + \\ &+ m_x(x) + \sum_{i=1}^n \omega(x_i) J_i'(\theta) = 0. \end{aligned} \right\} \quad (18.32)$$

При получении выражений (18.32) учтено, что

$$\sum_{i=1}^n y_i J_i'(\theta) = 0; \quad \sum_{i=1}^n z_i J_i'(\theta) = 0.$$

Подставляя далее в уравнения (18.32) выражение (18.17) и принимая во внимание, что ось ou и oz совпадают с главными осями инерции поперечного сечения, и, следовательно,

$$\oint \tau_{\theta} \delta \, ds = 0; \quad \oint \tau_{\theta} z \delta \, ds = 0; \quad \oint \tau_{\theta} y \delta \, ds = 0, \quad (18.33)$$

получаем

$$\left. \begin{aligned} E F \theta''(x) - \theta''''(x) E \oint \omega \delta \, ds &= -q_y(x); \\ E I_y \theta''(x) + \theta''''(x) E \oint \omega y \delta \, ds &= -q_y(x) + \oint y \frac{\partial p_y}{\partial x} \, ds; \\ E I_z \theta''(x) + \theta''''(x) E \oint \omega z \delta \, ds &= -q_z(x) + \oint z \frac{\partial p_z}{\partial x} \, ds; \\ -\theta''''(x) E \oint \omega \delta \, ds + \tau_{\theta}''(x) E \oint \omega y \delta \, ds + \\ &+ \omega_y''(x) E \oint \omega \delta \, ds + \theta''''(x) E \oint \omega z \delta \, ds - C_x \theta''(x) = \\ &= -m_x(x) + \oint \omega \frac{\partial p_x}{\partial x} \, ds + \sum_{i=1}^n \omega J_i'(\theta). \end{aligned} \right\} \quad (18.34)$$

где $F = \int \delta ds$ — площадь поперечного сечения; $I_y = \int y^2 \delta ds$ и $I_z = \int z^2 \delta ds$ — главные центральные моменты инерции площади поперечного сечения относительно осей oz и oy соответственно; $I_{yz} = \int yz \delta ds$ — главный секторальный момент инерции площади поперечного сечения.

Ниже будет показано, что координаты точки A и начало отсчета криволинейной координаты s_0 (точка M_0) могут быть всегда выбраны таким образом, что

$$\int y \delta ds = 0; \quad \int z \delta ds = 0; \quad \int yz \delta ds = 0. \quad (18.35)$$

Это приводит к дальнейшим упрощениям системы уравнений равновесия (18.34), которая преобразуется к четырем независимым дифференциальным уравнениям:

$$\left. \begin{aligned} E F u''(x) &= -q_x(x); \\ E I_y v''(x) &= q_y(x) + \int y \frac{\partial p_x}{\partial x} ds; \\ E I_z w''(x) &= q_z(x) + \int z \frac{\partial p_x}{\partial x} ds; \\ E I_{yz} \theta''(x) - C_s \theta'(x) &= m(x) + \int yz \frac{\partial p_x}{\partial x} ds + \sum_i \omega_i T_i. \end{aligned} \right\} (18.36)$$

В дифференциальные уравнения (18.36) входят неизвестные криволинейные усилия $T_i(x)$. Для их определения необходимо составить условия совместности продольных перемещений соединенных между собой кромок. Пусть номера двух таких кромок будут i и j , а связь между ними осуществляется в общем случае через изогнутый слой, создающий при относительном смещении кромок в продольном направлении реактивное касательное усилие

$$T_{ij} = -T_j = k_{ij}(x)[\bar{u}_i(x) - \bar{u}_j(x)], \quad (18.37)$$

где $k_{ij}(x)$ — коэффициент жесткости упругого слоя, работающего на сдвиг; $\bar{u}_i(x)$ и $\bar{u}_j(x)$ — волные продольные перемещения соответствующих кромок.

Равно найденные перемещения $u(x, z)$ [см. формулу (18.15)] не учитывают влияния криволинейных касательных усилий, т. е. влияния касательных напряжений τ_{yz} [второе слагаемое в правой части формулы (18.21)], появляющихся в поперечных сечениях стержня в результате его многосвязности и скрученности кручением. Эти напряжения вызывают в стержне дополнительные перемещения в направлении оси ox , которые будем обозначать через $u^*(x, z)$.

Определим разность перемещений u^* для двух произвольных точек i и j в средней линии контура поперечного сечения. На основании закона Гука $u_{ij} = \frac{\partial u^*}{\partial x} + \frac{\partial v^*}{\partial z} = \frac{\tau_{yz}}{G}$. Здесь \bar{u}^* — дополнитель-

ное перемещение от сдвига и многосвязности точек средней линии поперечного сечения вдоль оси x . Производная от этого перемещения по x мала по сравнению с величиной $\frac{\partial v^*}{\partial z}$, поэтому $\frac{\partial u^*}{\partial x} \approx \frac{\tau_{yz}}{G}$. Отсюда

$$u_j^* - u_i^* = \int_{s_i}^{s_j} \frac{\partial u^*}{\partial x} dx = \frac{1}{G} \int_{s_i}^{s_j} \tau_{yz}(x, s) ds. \quad (18.38)$$

Разность полных перемещений тех же точек равна

$$\bar{u}_j - \bar{u}_i = (u_j - u_i) + (u_j^* - u_i^*), \quad (18.39)$$

или, если учесть формулу (18.15) и то, что в нашем случае $y_i = y_j$; $z_i = z_j$,

$$\bar{u}_j - \bar{u}_i = -\theta'(x)(w_j - w_i) + (u_j^* - u_i^*). \quad (18.40)$$

С учетом полученных замечаний (18.38) и (18.40) условие совместности перемещений (18.37) принимает следующий вид:

$$T_{ij} = -T_j = k_{ij}(x) \left[\frac{1}{G} \int_{s_i}^{s_j} \tau_{yz}(x, s) ds - \theta'(x)(w_j - w_i) \right]. \quad (18.41)$$

Если кромки i и j принадлежат произвольному разрезу в замкнутом контуре, то их относительное смещение равно нулю и в последней формуле следует положить $k_{ij} = \infty$. Отсюда

$$\int_{s_i}^{s_j} \tau_{yz} ds - G\theta'(x)(w_j - w_i) = 0. \quad (18.42)$$

Чтобы развернуть левую часть условия (18.41) или (18.42), необходимо разложить путь интегрирования $s_i - s_j$ на участки между смежными разветвленными контурами и для каждого участка составить по формуле (18.21) выражение для касательного напряжения τ_{yz} . При полном составе полученных выражений для τ_{yz} под знак интеграла в (18.41) или (18.42) у них необходимо менять знак на обратный на тех участках, где движение происходит против положительного направления оси x .

Как видно из уравнений (18.36) и условий совместности перемещений (18.41), в рассматриваемом случае задачи сдвига стержня кручение, растяжение и изгиб тонкостенного стержня разделены. Последнее дифференциальное уравнение системы (18.36) совместно с условиями совместности перемещений связанных между собой кромок (18.41) описывает стесненное кручение стержня. Решение этой задачи определяет угол поворота поперечных сечений $\theta(x)$ и усилия взаимодействия $T_i(x)$. Далее, первое из уравнений (18.36) описывает осевую деформацию, второе и третье — изгиб стержня соответственно в плоскостях oxy и oxz .

§ 18.2. Секторальные характеристики сечения. Центр изгиба и его определение

Центр изгиба. Определим теперь положение точки A (см. рис. 18.7) в плоскости поперечного сечения и положении начальной точки на контуре поперечного сечения, при которых выполняются условия (18.35). Точка A называется центром изгиба, так как при отсутствии продольной нагрузки ($p_x = 0$, $T_x = 0$) и приложении равнодействующей поперечной нагрузки через точку A , интенсивность крутящего момента $M_x(x) = 0$ и, следовательно, как это видно из последнего уравнения (18.96), $\phi(x) = 0$, т. е. в этом случае изгиб стержня не сопровождается кручением.

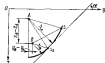


Рис. 18.10

Для определения положения точки A необходимо воспользоваться условиями (18.35). Но предварительно установим связь между секторальными площадями ω_A и ω_B , соответствующими двум различным полюсам; полюс B считается вспомогательным.

На основании рис. 18.10 можно записать

$$d(\omega_A - \omega_B) = (h_A - h_B) ds, \quad (18.43)$$

где

$$h_A - h_B = (z_B - z_A) \cos \alpha + (y_B - y_A) \sin \alpha, \quad (18.44)$$

Подставляя зависимость (18.44) в формулу (18.43) и используя соотношения (18.12'), после интегрирования полученного выражения найдем

$$\omega_A(s) - \omega_B(s) + (z_B - z_A) y(s) - (y_B - y_A) z(s) + D, \quad (18.45)$$

где D — произвольная постоянная. В выражении (18.45) величины y_A , z_A и ω_B являются известными, так как при вычислении вспомогательной секторальной площади $\omega_B(s)$ мы должны задать как положение полюса B , так и начало отсчета дуги s ($s = s_0$).

Внося выражение (18.45) в условия (18.35), получим

$$\oint \omega_A \delta ds + DF = 0; \quad \oint y_A \delta ds + (z_A - z_A) I_z = 0;$$

$$\oint z \omega_A \delta ds - (y_B - y_A) I_y = 0,$$

где F , I_z и I_y — площадь и главные центральные моменты инерции площади поперечного сечения соответственно. Из полученных уравнений следует, что

$$D = -\frac{1}{F} \oint \omega_A \delta ds; \quad (18.46)$$

$$y_A - y_B - \frac{1}{I_y} \oint z \omega_A \delta ds; \quad (18.47)$$

$$z_A - z_B + \frac{1}{I_z} \oint y \omega_A \delta ds. \quad (18.47)$$

Формулами (18.47) определяется положение центра изгиба. Можно показать, что положение центра изгиба не зависит от выбора вспомогательного полюса B .

Секторальную площадь, удовлетворяющую условиям (18.35), будем называть главной секторальной площадью. Начало отсчета при определении главной секторальной площади (так называемую главной секторальной точкой) найдем из условия $\omega_A(s) = 0$, или согласно выражению (18.45)

$$\omega_A(s) + (z_B - z_A) y(s) - (y_B - y_A) z(s) + D = 0, \quad (18.48)$$

где z_A , y_A и D — величины, определяемые по формулам (18.46) и (18.47), а s отсчитывается от вспомогательного начала отсчета. Внося значения y_A , z_A и D из (18.47) в (18.46) и (18.45), получим окончательное выражение для определения главной секторальной площади

$$\omega_A - \omega_B - \frac{y}{I_y} \oint y \omega_B \delta ds - \frac{z}{I_z} \oint z \omega_B \delta ds - \frac{1}{F} \oint \omega_B \delta ds. \quad (18.49)$$

Рекомендации по определению положения центра изгиба и нулевой секторальной точки. 1. Если профиль имеет ось симметрии, то центр изгиба лежит на этой оси, а секторальная нулевая точка — на пересечении этой оси с контуром. Это утверждение легко доказать. В самом деле, пусть ось oy есть ось симметрии и вспомогательный полюс B выбран на этой оси, т. е. $z_B = 0$. Тогда при начале отсчета на оси симметрии секторальная площадь ω_B в симметричных относительно оси oy точках профиля должна быть равна по значению и обратна по знаку, так что $\oint y \omega_B \delta ds = 0$, и, следовательно, из основания второй формулы (18.47) $z_A = 0$, т. е. точка A лежит на оси симметрии.

2. Если с осью симметрии совпадает стенка профиля, главную секторальную точку можно взять в любой точке стенки.

3. Если профиль имеет две оси симметрии, то центр изгиба расположен на их пересечении.

Заметим, что для наиболее распространенных типов профилей составлены таблицы, по которым можно определить положение центра изгиба и секторальные характеристики профиля.

В качестве примера рассмотрим определение секторальных характеристик профиля, показанного на рис. 18.11. Полюс A располагается на оси симметрии oy , поэтому и вспомогательный полюс B целесообразно расположить на этой оси, например в точке ее пересечения с контуром. Что же касается нулевой секторальной точки, то ее местоположение известно — она располагается на пересечении оси симметрии oy с контуром, т. е. в точке B .

Так как в рассматриваемом случае $z_A = 0$, то для определения положения центра изгиба нужно вычислить по формуле (18.47) лишь координату y_A или отстояние центра изгиба от стенки профиля $y_A - y_B = -\frac{1}{I_y} \oint z \omega_B(s) \delta(s) ds$.

Записав излобного в последнюю зависимость, интеграл легко вычислить, если воспользоваться эпюрами изменения вдоль координаты функций $z(s)$ и $\omega_2(s)$, которые приведены на рис. 18.11, б и в соответственно. В результате получим $\int_{\omega_2} z(s) \delta(s) ds = -\frac{1}{4} d_1^2 d_2^2 \delta_1$, и, следовательно, $y_A - y_D = -\frac{1}{4d_1} d_1^2 d_2^2 \delta_1$. Видно, что центр изгиба находится справа от точки В.

Поскольку в рассматриваемом случае $x_A = x_D = 0$ и $D = 0$ [результат вычисления по формуле (18.46)], то для определения главной секторальной площади из выражения (18.45) получим сле-

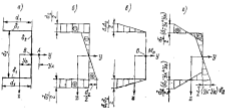


Рис. 18.11

дующую формулу: $\omega_2 = \omega_1 + (y_A - y_D)z$. Эпюра главной секторальной площади ω_2 приведена на рис. 18.11, в. Расположив эпюру ω_2 петлюю вычислим значение главного секторального момента вперед поперечного сечения:

$$I_{\omega_2} = \int_{\omega_2} \omega_2^2(s) \delta(s) ds = \frac{1}{4} [d_1^2 - 3(y_A - y_D)] d_1 d_2^2 \delta_1 + (y_D - y_A)^2 I_{\omega_1}$$

§ 18.3. Обобщенные силы при изгибе и кручении тонкостенных профилей

Если ввести обозначения

$$\left. \begin{aligned} EF \omega''(x) &= P(x); & EI_y \omega''(x) &= M_y(x); \\ EI_x \omega''(x) &= M_x(x); & -EI_{\omega} \theta''(x) &= B(x), \end{aligned} \right\} \quad (18.50)$$

то полученное ранее выражение (18.17) для определения нормальных напряжений переписывается в виде

$$\sigma_x(x, y) = \frac{P(x)}{F} - \frac{M_y(x)}{I_y} z(s) - \frac{M_x(x)}{I_x} y(s) + \frac{B(x)}{I_{\omega}} \omega(s). \quad (18.51)$$

Формула (18.51) отличается от используемой в технической теории изгиба балок лишь наличием последнего члена в правой части. Величины $P(x)$, $M_y(x)$ и $M_x(x)$ — уже известные продольная сила и изгибающие моменты относительно осей oy и oz соответственно. Величина $B(x)$ представляет собой новую обобщенную силу, называемую изгибно-крутящим моментом или просто моментом. Моменту соответствуют самоуравновешенные нормальные напряжения, распределенные в поперечном сечении по закону секторальной площади $\omega(s)$.

Если обе части формулы (18.51) поочередно умножить на 1, z , y , ω и проинтегрировать каждое из полученных при этом выражений по площади поперечного сечения сечения, то с учетом зависимостей (18.33) и (18.35) можно получить следующие выражения для определения обобщенных сил:

$$\left. \begin{aligned} P(x) &= \int_{\omega} \sigma(x, y) \delta(s) ds; \\ M_y(x) &= - \int_{\omega} z(s) \sigma(x, y) \delta(s) ds; \\ M_x(x) &= - \int_{\omega} y(s) \sigma(x, y) \delta(s) ds; \\ B(x) &= \int_{\omega} \omega(s) \sigma(x, y) \delta(s) ds. \end{aligned} \right\} \quad (18.52)$$

Касательные напряжения в средней поверхности тонкостенного сечения, определяемые по формуле (18.21), также можно выразить через обобщенные усилия. В частном случае, когда продольные внешние нагрузки отсутствуют ($P_x = 0$), формула (18.21) преобразуется к виду

$$\tau_x = \tau_x^1 + \tau_x^2 = \left[\frac{N_x(x) S_{\omega}^{\text{отн}}(z)}{I_{\omega} \delta(z)} + \frac{N_y(x) S_{\omega}^{\text{отн}}(y)}{I_{\omega} \delta(y)} \right] + \left[-\frac{1}{\delta(z)} \sum_{\text{отн}} T_i(z) - \frac{B'(x) S_{\omega}^{\text{отн}}(z)}{I_{\omega} \delta(z)} \right], \quad (18.53)$$

где

$$N_x(x) = EI_x \omega'''(x) - M'_y(x); \quad N_y(x) = EI_y \omega'''(x) - M'_x(x) \quad (18.54)$$

— переопределенные силы от поперечной нагрузки в направлении осей oz и oy соответственно; $S_{\omega}^{\text{отн}}(z)$, $S_{\omega}^{\text{отн}}(y)$ и $S_{\omega}^{\text{отн}}(s)$ — статические моменты и секторальный статический момент отсеченной части площади поперечного сечения соответственно, определяемые по формулам (18.22);

$$B'(x) = -EI_{\omega} \theta''''(x). \quad (18.55)$$

Главный вектор касательных напряжений $\tau_x = \tau_x^1 + \tau_x^2$ в каждом из поперечных сечений сечения равен нулю; их действие статически эквивалентно крутящему моменту, который должен уравновешивать во всех поперечных сечениях внешний крутящий момент $M_x(x)$.

Пользуясь рис. 18.12, составим выражение для крутящего момента:

$$M_x(x) = \int (\tau_1^2 + \tau_2^2) h(x) dF \approx M_c + M_{\text{вн}}; \quad (18.56)$$

где h — длина перпендикуляра, опущенного из центра загиба на направление x в рассматриваемой точке сечения; $M_{\text{вн}} = \int \tau_2^2 h dF$



Рис. 18.12

и $M_c = \int \tau_1^2 h dF$ — составляющие полного крутящего момента, соответствующие напряжению чистого и стесненного кручения. Интегрирование в (18.56) производится по всей площади поперечного сечения стержня.

Крутящий момент, создаваемый напряжениями чистого кручения, определяется формулой (3.45):

$$M_{\text{вн}} = \theta'(x) C_2. \quad (18.57)$$

Здесь C_2 — жесткость основного (односиманного) стержня при чистом кручении.

Выражение для крутящего момента, создаваемого напряжениями τ_2^2 , можно получить, если воспользоваться формулами (18.56) и (18.21):

$$M_c(x) = \int \tau_1^2 h dF = E\theta''(x) \int S_{\alpha}(s) ds + \sum_{i=1}^n T_i(x) \omega_i = E I_{\alpha} \theta''(x) + \sum_{i=1}^n T_i(x) \omega_i. \quad (18.58)$$

Подставляя выражения (18.57) и (18.58) в формулу (18.56), получим

$$E I_{\alpha} \theta''(x) - C_2 \theta'(x) = -M_{\text{вн}}(x) + \sum_{i=1}^n T_i(x) \omega_i(x)$$

или, после дифференцирования по координате x ,

$$E I_{\alpha} \theta'''(x) - C_2 \theta''(x) = m_x(x) + \sum_{i=1}^n T_i(x) \omega_i(x), \quad (18.59)$$

где $m_x(x) = -\frac{dM_{\text{вн}}(x)}{dx}$ — интенсивность внешнего крутящего момента.

Уравнение (18.59) при $p_r(x) = 0$ точно совпадает с четвертым из уравнений (18.36).

§ 18.4. Интегрирование уравнений равновесия. Граничные условия. Алгоритм решения

Интегрирование уравнений равновесия. Первое из уравнений (18.30), дополненное соответствующими граничными условиями по торцам, определяет продольные перемещения поперечных сечений стержня; второе и третье — его изгиб в двух взаимно ортогональных плоскостях (xOy и xOz). Подобные задачи — растяжение призматического стержня под действием осевой нагрузки и его изгиб при действии поперечной нагрузки — детально рассматривались нами ранее и здесь мы на них не останавливаемся.

Четвертым из уравнений (18.36)

$$E I_{\alpha} \theta''(x) - C_2 \theta'(x) = m(x) \quad (18.60)$$

описывается закручивание стержня.

Общий интеграл уравнения (18.60) складывается из общего интеграла соответствующего однородного уравнения и какого-либо частного решения уравнения (18.60):

$$\theta(x) = C_1 + C_2 x + C_3 \operatorname{sh} kx/l + C_4 \operatorname{ch} kx/l + \theta_{\text{вн}}(x), \quad (18.61)$$

где

$$k = l \sqrt{C_2/(E I_{\alpha})}; \quad (18.62)$$

l — длина стержня; C_i — постоянные интегрирования.

Граничные условия. Для определения постоянных C_i необходимо выписать на каждом торце стержня по два из следующих граничных условий:

- 1) значение угла поворота θ ;
- 2) значение производной θ' ; при $\theta' = 0$ отсутствует деформация конского сечения, т. е. оно остается плоским;
- 3) значение вихремента $B = -E I_{\alpha} \theta''$; если $B = 0$, то стеснение деформации торцевого сечения отсутствует, и тогда мы наблюдаем случай так называемой свободной деформации;
- 4) значение крутящего момента; в случае когда продольные силы отсутствуют, $M_x = M_c + C_2 x \theta' = B'(x) + C_2 \theta'$.

Несколько сложнее выписать граничные условия при наличии упругой заделки торцевого сечения по отношению к его закручиванию и деформации. Здесь нам может помочь очевидная аналогия в структуре уравнения (18.60) и уравнения сложного изгиба призматической балки, находящейся под действием поперечной нагрузки $q(x)$ и осевой растягивающей силы T ,

$$E I \omega''(x) - T \omega'(x) = q(x). \quad (18.63)$$

Видно, что функции $\omega(x)$ и $\omega'(x)$ в задаче изгиба балки аналогичны функциям $\theta(x)$ и $\theta'(x)$ в задаче стесненного кручения толстого стержня.

Напомним граничные условия балки, торцевые сечения которой упруго защемлены и упруго оперты ($x=0, l$):

$$\left. \begin{aligned} w' &= \pm \bar{A} EI w''; \\ w &= \mp A (EI w''' - T w'). \end{aligned} \right\} \quad (18.64)$$

В выражениях (18.64) верхний знак относится к граничным условиям на левой торце ($x=0$), а нижний — к условиям на правом ($x=l$); \bar{A} — коэффициент податливости упругой заделки, A — коэффициент податливости упругой опоры.

При наличии упругой заделки в отношении закручивания торцевого сечения и в отношении его деформации по аналогии с (18.64) можно записать соответствующие граничные условия для функции $\theta(x)$:

$$\left. \begin{aligned} \theta' &= \pm \bar{A} EI \theta''; \\ \theta &= \mp \bar{A} (EI \theta''' - C_0 \theta'). \end{aligned} \right\} \quad (18.65)$$

Здесь \bar{A} — коэффициент упругого защемления торцевого сечения стержня в отношении его деформации; A — то же в отношении его угла поворота.

Алгоритм решения задачи. Общая схема решения задачи о стесненном кручении тонкостенного стержня в соответствии с полученными выше результатами будет следующей:

1. Если поперечное сечение стержня имеет замкнутые участки или соединяемые упругими связями кромки, то необходимо стержень превратить в односвязный (основной) устройством сплошных продольных разрезов и отбрасыванием упругих связей. В разрезах и во местах присоединения кромок к отброшенным упругим связям представляются неизвестные продольные усилия взаимодействия $T_i(x)$.

2. Для осевого (односвязного) профиля устанавливают положительное направление координаты s для всего контура, определяют центр тяжести, начало отсчета координаты s , главную секториальную площадь $\omega(s)$, секториальный статический момент площади $S_0(s)$, секториальный момент инерции площади I_0 и жесткость стержня при чистом кручении C_0 . Функции $\omega(s)$ и $S_0(s)$ проще всего получать графически в виде змеев на среднем контуре профиля s .

3. Составляют выражения для напряжений τ_s^* [второго слагаемого в правой части формулы (18.21)] по участкам контура s с учетом знака для $S_0(s)$ и принятых направлений для $T_i(x)$.

4. Составляют уравнения совместности перемещений связанных между собой кромок (18.41). Всего таких уравнений будет столько, сколько продольных разрезов было сделано при образовании основного односвязного профиля.

5. Внося в уравнения совместности напряжения τ_s^* из (18.21), получают систему алгебраических уравнений относительно $T_i(x)$, при решении которой находят

$$T_i(x) = -T_j(x) = a_{ij}(x) \theta''(x) + b_{ij}(x) \theta'(x), \quad (18.66)$$

где $a_{ij}(x)$ и $b_{ij}(x)$ — функции, зависящие от коэффициентов жесткости упругих связей $K_{ij}(x)$; если все $K_{ij} = \text{const}$, то все $a_{ij} = \text{const}$, $b_{ij} = \text{const}$. Здесь i и j — номера продольных кромок стержня, принадлежащих к одному и тому же разрезу.

6. Значения $T_i(x)$, полученные из формул (18.66), вносят в четвертое уравнение системы (18.36). Получаемое при этом дифференциальное уравнение будет иметь вид

$$F_1(x) \theta^{(IV)}(x) + F_2(x) \theta^{(III)}(x) + F_3(x) \theta''(x) + F_4(x) \theta'(x) = m(x). \quad (18.67)$$

При $K_{ij} = \text{const}$ $F_1(x) = EI_0$; $F_2(x) = F_4(x) = 0$; $F_3(x) = -C_0$ и уравнение (18.67) примет вид

$$EI_0 \theta^{(IV)}(x) - C_0 \theta''(x) = m(x). \quad (18.68)$$

7. Выписывают общее решение уравнения (18.67) или (18.68), содержащее четыре постоянные интегрирования. Решение дифференциального уравнения с переменными коэффициентами (18.67) может быть получено с помощью одного из численных методов, изложенных в гл. 8.

8. Выписывают условия закрепления торцевых сечений стержня, после чего общее решение $\theta(x)$, найденное в п. 7, подчиняют граничным условиям. Из полученной при этом системы четырех алгебраических уравнений определяют постоянные интегрирования. Определения отсчетов функции $\theta(x)$ закончена.

9. На основании формул (18.66) определяют усилия $T_i(x)$, а затем по формулам

$$\left. \begin{aligned} \sigma_s^* &= -\frac{1}{\delta(s)} \left[\sum_{i=1}^n T_i(x) + \int_{s_0}^s p_s(x, s) ds + \theta''(x) S_0^{*n}(s) \right]; \\ \sigma_s^* &= -E \theta''(x) \omega(s) \end{aligned} \right\} \quad (18.69)$$

касательные и нормальные напряжения, возникающие при стесненном кручении тонкостенного стержня.

Контрольные вопросы

1. Чем отличается стесненное кручение от чистого кручения?
2. Какие основные допущения приняты в основе приближенной теории стесненного кручения?
3. Почему при стесненном кручении тонкостенного стержня имеют большую жесткость, чем при чистом кручении?
4. Чем характеризуются отступления от гипотезы плоских сечений при кручении тонкостенных стержней?
5. Как образуются нормальные и касательные напряжения при расчете тонкостенных стержней?
6. Как распределяются касательные напряжения по толщине тонкостенного профиля?
7. Каков физический смысл граничных условий дифференциальных уравнений равновесия?
8. Почему точка A называется центром тяжести и как определяется ее координаты? Где располагается центр тяжести в случае тороидного профиля, в случае профиля с одной, двумя осями симметрии?

9. Как определяется начало отсчета дуга s на контуре? Что такое главная центральная ось инерции и из каких условий она определяется?
10. Почему при рассмотрении кручения тонкостенных профилей является важной обобщенная сила — бикоммент? Каков его физический смысл?
11. Какие граничные условия можно поставить на концах тонкостенного стержня?
12. Установите взаимосвязь между статическим кручением тонкостенного стержня и сложным изгибом балки.
13. Какие образцы выводятся дифференциальные уравнения пространственной устойчивости тонкостенных стержней?

Глава 19. СЛОЖНЫЙ ИЗГИБ СТЕРЖНЯ

§ 19.1. Основные понятия, зависимости и уравнения теории сложного изгиба стержня

Сложным или продольно-поперечным изгибом называется деформация стержня, вызванная совместным действием поперечной нагрузки и продольных (осевых) усилий — растягивающих или сжимающих.

Задача о сложном изгибе стержней представляет для строительной механики корабля значительный практический интерес. Большинство продольных балок судового корпуса одновременно испытывает действие поперечных и продольных нагрузок, вызванных давлением воды или грузов и усилиями растяжения-сжатия от общего изгиба корпуса судна. Сложному изгибу подвергаются также стойки поперечных переборок, расположенные под воздействием грузовых палуб и воспринимающие гидростатическое давление воды и продольную нагрузку в виде реакций карлингоса. Совместное действие поперечной нагрузки и усилий растяжения-сжатия испытывают пластины обшивки корпуса судна, а в ряде случаев оценка их прочности базируется на теории сложного изгиба стержней. При сложном изгибе существенное значение имеют начальные погрешности стержней, являющиеся следствием неизбежных технологических отклонений от правильной геометрической формы и конструктивного искривления осей.

В некоторых случаях продольная сила значительно изменяет параметры изгиба стержня, вызванные поперечной нагрузкой, что требует разработка соответствующих методов расчета.

В теории сложного изгиба стержней для поперечной нагрузки и параметров изгиба сохраняются те же обозначения и правила знака, что и в теории поперечного изгиба (см. гл. 13). Рассматривая сложный изгиб стержня в плоскости xoz (рис. 19.1), будем использовать те же допущения и гипотезы, что и в теории поперечного изгиба: гипотезу плоских сечений, закон Гука и предположения о малости прогибов по сравнению с пролетом и малости напряжений в параллельных оси балки сечениях.

Распределенные продольные усилия $p_z(x)$ считаются положительными, если они действуют в положительном направлении оси x . Продольное внутреннее усилие $T(x)$ в произвольном поперечном сечении считается положительным, если оно вызывает растяжение. Начальная погрешность стержня $w_0(x)$ предпологается относительно малой и считается положительной при отклонении стержня в положительном направлении оси oz .

Основные зависимости. Основные зависимости сложного изгиба можно получить так же, как и в случае поперечного изгиба. В уравнениях должна быть учтена продольная сила T , которая при появлении изгиба стержня создает дополнительные изгибающие моменты и перерезающую силу. Эти дополнительные внутренние усилия даже при относительно малых деформациях могут достигать существенных значений и должны учитываться в уравнениях



Рис. 19.1



Рис. 19.2

равновесия элемента стержня. Следовательно, уравнение равновесия необходимо составлять для деформированного состояния стержня.

Рассмотрим элемент стержня, вырезанный двумя бесконечно близкими поперечными сечениями с координатами x и $x + dx$. На рассматриваемый элемент после деформации будут действовать внешние нагрузки q , p и внутренние силовые факторы в концевых сечениях T , N , M , показанные на рис. 19.2.

Уравнение равновесия элемента для проекций сил на ось x , на ось z и для момента инерциально составим, пользуясь рис. 19.2 и приняв за малыми высшие порядки:

$$\frac{dN}{dx} = q; \quad -\frac{dT}{dx} = p; \quad N = \frac{dM}{dx} - T(\omega_0 + \omega)', \quad (19.1)$$

где q и p — интенсивности поперечной и продольной внешних нагрузок; $(\omega_0 + \omega)'$ — угол поворота элемента dx .

Зависимость между изгибающим моментом и прогибом стержня, очевидно, остается той же, что и при поперечном изгибе:

$$M(x) = EIw'', \quad (19.2)$$

Если в последнее уравнение (19.1) подставить выражение (19.2), то будем иметь

$$N = (EIw''') - T(\omega_0 + \omega)', \quad (19.3)$$

Дифференцируем по x обе части равенства (10.3) и учитывая первое из уравнений (19.1), получим следующее дифференциальное уравнение сложного изгиба:

$$(EIw''') - (T_0 w' - q(x) + T_0 \alpha_0' w). \quad (19.4)$$

Интегрируя второе из уравнений (19.1), найдем

$$T(x) = T_0 - \int_0^x p(x) dx, \quad (19.5)$$

где T_0 — продольная сила в сечении стержня $x=0$ (см. рис. 19.1).

Таким образом, при заданных нагрузках $q(x)$ и $T(x)$ задача сводится к определению прогиба w из дифференциального уравнения (19.4) при заданных граничных условиях, потом внутренних усилий $M(x)$ и $N(x)$ — по формулам (19.2) и (19.3), а затем и напряжений — по формулам

$$\sigma = T/F - Mz/I; \quad \tau = NS/(Ib). \quad (19.6)$$

Здесь F — площадь поперечного сечения стержня, а остальные обозначения имеют тот же смысл, что и в формулах (13.9) и (13.42) для поперечного изгиба.

Формулы (19.6) отличаются от аналогичных формул для поперечного изгиба только членом T/F , учитывающим нормальные напряжения от продольной силы T , которые считаются равномерными по площади сечения. Однако роль продольной силы этим не ограничивается, так как данная сила входит в основное дифференциальное уравнение (19.4) и тем самым влияет на $w(x)$ и на силовые факторы изгиба M и N .

Для прогибов, углов поворота и изгибающих моментов граничные условия выписываются при сложном изгибе точно так же, как и при поперечном изгибе, поскольку элементы изгиба симметричны с прогибом одинаковыми зависимостями в обоих случаях. Граничные условия при сложном изгибе, если в них входит перерезывающая сила N , могут быть получены из соответствующих граничных условий поперечного изгиба при замене в них члена $(EIw'')'$ на $[(EIw''') - T(w_0 + w)']$.

В соответствии с этим из основан формул (13.23) — (13.24), граничные условия сложного изгиба в общем случае упирающегося и упругих заделок запишутся так (см. рис. 19.1):

$$\text{при } x=0 \quad \left. \begin{aligned} w(0) &= -A_1 [(EIw''') - T(w_0 + w)']_{x=0} \\ w'(0) &= \alpha_0 EI(0) w''(0); \end{aligned} \right\} \quad (19.7)$$

$$\text{при } x=l \quad \left. \begin{aligned} w(l) &= A_2 [(EIw''') - T(w_0 + w)']_{x=l} \\ w'(l) &= -\alpha_2 EI(l) w''(l). \end{aligned} \right\} \quad (19.8)$$

В более простых случаях заделки концов стержня можно получить: для свободно опертого на жесткую опору конца стержня ($A_1 = 0, \alpha_0 = \infty$)

$$w=0; \quad w''=0;$$

для жестко заданного конца на жесткой опоре ($A_1 = \alpha_0 = 0$)

$$w=0; \quad w'=0;$$

для совершенно свободного конца ($A_1 = \alpha_0 = \infty$)

$$EIw''=0; \quad (EIw''') - T(w_0 + w)' = 0. \quad (19.9)$$

Потенциальная энергия и работа внешних сил. При малых прогибах зависимость между изгибающим моментом и прогибом выражается формулой (19.2), поэтому, как и при поперечном изгибе, потенциальная энергия изгиба при сложном изгибе будет равна

$$U = \frac{1}{2} \int_0^l \frac{M^2(x)}{EI(x)} dx = \frac{1}{2} \int_0^l EI(x) (w'')^2 dx. \quad (19.10)$$

Силовая функция внешней поперечной нагрузки при сложном изгибе выражается через прогиб теми же формулами, что и при поперечном изгибе. Например, в случае распределенной поперечной нагрузки

$$U_1 = \int_0^l q(x) w(x) dx. \quad (19.11)$$

Силовая функция внешней продольной нагрузки определяется как работа этих сил в предположении, что их значение постоянно и в процессе деформации. Деформации растяжения-сжатия оси стержня, как правило, интереса не представляют вследствие своей малости, а при необходимости могут быть найдены по элементарным формулам. Поэтому работу продольных сил следует вычислять только на перемещениях, вызванных изгибом стержня.

Рассматривая элемент dx (см. рис. 19.2), можно установить, что работа сил T равна работе создаваемого этими силами момента на угловом перемещении w' при изгибе деформации стержня. При условии постоянства сил T в процессе деформации указанный момент можно представить как сумму следующих составляющих: момента в начальном недеформированном состоянии $\Delta M_1 = -T\alpha_0' dx$, который в процессе деформации остается постоянным, и момента $\Delta M_2 = -T\alpha' dx$, который в процессе деформации изменяется пропорционально w' . Суммарная работа (силовая функция) обеих составляющих, очевидно, будет равна

$$dU_2 = \Delta M_1 w' + \frac{1}{2} \Delta M_2 w' = -T\alpha' (w_0 + w'/2) dx,$$

и силовая функция всей осевой нагрузки

$$U_2 = -\frac{1}{2} \int_0^l T(x) [(w')^2 + 2w_0'(x)'] dx. \quad (19.12)$$

Знак «минус» в полученных формулах учитывает, что возмущающая (растягивающая) сила $T(x)$ при изгибе всегда производит отрицательную работу, так как создает момент, направленный против углового перемещения w' .

Этот результат можно также получать, если работу продольных сил, действующих на элемент dx , вычислять как произведение силы на изменение расстояния между точками приложения сил в результате поворота элемента.

На основании формул (19.10)–(19.12) при сложном изгибе стержня суммарная силовая функция будет равна

$$\begin{aligned} \Pi - U = \Pi - (U_1 + U_2) = & \frac{1}{2} \int_0^l EI(x) (w'')^2 dx - \\ & - \int_0^l q(x) w(x) dx + \frac{1}{2} \int_0^l T(x) [(w')^2 + 2w_0'(x)'] dx. \end{aligned} \quad (19.13)$$

Здесь $(U_1 + U_2)$ — силовая функция всех внешних сил. Выражение (19.13) используют при расчете стержней на сложный изгиб энергетическими методами.

Принцип независимости действия сил при сложном изгибе. Из дифференциального уравнения сложного изгиба (19.4) и граничных условий (19.7) и (19.8) видно, что изгиб w линейно зависит от поперечной нагрузки и нелинейно от продольной силы T . Поэтому принцип независимости действия сил в способ наложения применимы только в отношении поперечных нагрузок, т. е.

$$w(T, Q_1, Q_2, \dots, Q_n) = \sum_{i=1}^n w_i(T, Q_i), \quad (19.14)$$

где w — изгиб стержня при совместном действии на него поперечных нагрузок Q_1, Q_2, \dots, Q_n и продольной силы T ; w_1, w_2, \dots, w_n — прогибы стержня от поперечных нагрузок Q_1, Q_2, \dots, Q_n при действии совместно с каждой из них силы T .

Очевидно, аналогичные формулы можно написать также для перерезывающих сил, изгибающих моментов и углов поворота w' поперечных сечений стержня, т. е. для всех элементов изгиба, линейно зависящих от прогиба w .

Принцип наложения позволяет находить параметры сложного изгиба стержня при комбинированных поперечных нагрузках суммированием соответствующих параметров сложного изгиба стержня от элементарных поперечных нагрузок при одной и той же продольной силе.

§ 19.2. Сложный изгиб призматического стержня. Оценка влияния осевых сил на параметры изгиба

Для призматического стержня, находящегося под действием какой-либо поперечной нагрузки и постоянной по длине продольной силы T , в уравнении (19.4) следует положить $EI = \text{const}$, $T = \text{const}$:

$$EI w'''' - Tw'' = q(x) + Tw_0'''. \quad (19.15)$$

Аналогичные упрощения необходимо сделать и в формулах (19.3)–(19.9). Дифференциальное уравнение (19.15) является линейным уравнением четвертого порядка с постоянными коэффициентами и в свободной правой частью. Общий интеграл такого уравнения при растягивающей продольной силе T может быть получен в виде

$$w = w_{\alpha, \beta}(x) + A_2 + A_1 \beta x + A_3 \text{ch } \beta x + A_4 \text{sh } \beta x, \quad (19.16)$$

где $w_{\alpha, \beta}(x)$ — частное решение уравнения (19.15), соответствующее заданной правой части; A_i , $i = 0, 1, 2, 3$ — произвольные постоянные;

$$\beta = \sqrt{|T|/EI}. \quad (19.17)$$

Если продольная сила T является сжимающей, то, как видно из формулы (19.17), β окажется мнимым. Обозначив в этом случае

$$\beta^* = \sqrt{|T|/EI}, \quad (19.18)$$

общий интеграл уравнения (19.15) можно записать в виде

$$w = w_{\alpha, \beta^*}(x) + B_2 + B_1 \beta^* x + B_3 \cos \beta^* x + B_4 \sin \beta^* x. \quad (19.19)$$

Здесь B_i , $i = 0, 1, 2, 3$ — произвольные постоянные.

Если при $T < 0$ учесть, что на основании (19.17) и (19.18) $\beta = i\beta^*$, а также известные формулы Эйлера

$$\text{sh } i\beta^* x = i \sin \beta^* x, \quad \text{ch } i\beta^* x = \cos \beta^* x, \quad (19.20)$$

то решение (19.19) в случае сжимающей продольной силы нетрудно получить из решения (19.16) для растягивающей продольной силы.

Формулы (19.20) позволяют очень просто переходить от случая растягивающей продольной силы к сжимающей. Для этого необходимо поменять знак с «минус» на «плюс» у силы T , а β в формулах (19.16) заменить на $i\beta^*$ с одновременным переходом от гиперболических функций к тригонометрическим по формулам (19.20).

Частное решение $w_{\alpha, \beta}$ уравнения (19.15) в общем случае может быть найдено известными на курсе математики методом Лагранжа (вариация произвольных постоянных). В простых и практически важных случаях, когда поперечная нагрузка $q(x)$ и начальная погибь $w_0(x)$ заданы в виде

$$q(x) = q_0 + q_1 x^2; \quad w_0(x) = \alpha_2 \sin \alpha_1 x/l, \quad (19.21)$$

частное решение уравнения (19.15) можно представить следующим образом: $w_{\text{чр}} = Ax^2 + Bx^3 + C \sin \pi x/l$, где A, B, C — известные пока постоянные, а l — длина стержня. После подстановки $w_{\text{чр}}$ и выражений (19.21) в дифференциальное уравнение (19.15) и сравнения в левой и правой его частях коэффициентов при одинаковых функциях получаем

$$w_{\text{чр}}(x) = - \left(\frac{8q^2 x^2}{2l^2} + \frac{8q^2 x^3}{3l^3} + \frac{T \sin \pi x/l}{T + \pi^2 EI/l^2} \right). \quad (19.22)$$

В выражении (19.22) продольная сила положительна в случае растяжения и отрицательна при сжатии.

Таким образом, общее решение дифференциального уравнения сложного изгиба прismaticского стержня (19.15) при нагрузках (19.21) дается в зависимости от знака продольной силы T формулами (19.16), 19.19 и (19.22). Входящие в общее решение постоянные должны быть определены из граничных условий по концам стержня, что будет показано ниже на примерах.

Свободно опертый prismaticский стержень с равномерной поперечной нагрузкой (рис. 19.3). Положим, что

начальная погиба у такого стержня отсутствует ($w_0 = 0$), а продольная сила растягивающая ($T > 0$). Учитывая симметрию прогиба w , начало координат расположим посредине длины стержня. В рассматриваемом случае $q_1 = 0$; $q_2 = q_3 = 0$. Выражение для прогиба w на основании формул (19.16) и (19.22) будет следующим:

$$w = -qx^2/(2T) + A_1 + A_2 \operatorname{ch} \beta x,$$

где в силу симметрии прогиба относительно точки $x=0$ опущены нечетные функции x , т. е. $A_1 = A_3 = 0$.

Произвольные постоянные A_0 и A_2 должны быть определены из условий свободного сдвига стержня $w = 0$, $w' = 0$ на концах $x = \pm 0,5l$. Подставляя выражение для прогиба w в указанные граничные условия, получаем

$$A_1 + A_2 \operatorname{ch} \beta l/2 = q^2/8T; \quad A_1 \beta^2 \operatorname{ch} \beta l/2 = q/T.$$

Определим A_0 и A_2 и подставляя их значения в выражение для w , после преобразований находим

$$w(x) = [q^2/(2\alpha^2 EI)] \left[\operatorname{ch} \beta x \operatorname{ch} \alpha - 1 + \frac{1}{2}(\alpha^2 - \beta^2 x^2) \right], \quad (19.23)$$

где
$$\alpha = \beta l/2 = (l/2) \sqrt{T/EI}. \quad (19.24)$$

Углы поворота поперечных сечений и изгибающие моменты будут равны

$$w'(x) = [q^2/(2\alpha)^2 EI] (\operatorname{sh} \beta x \operatorname{ch} \alpha - \beta x); \quad (19.25)$$

$$M(x) = EI w'' = [q^2/(2\alpha)^2] (\operatorname{ch} \beta x \operatorname{ch} \alpha - 1). \quad (19.26)$$

Наибольших значений прогиб и изгибающий момент достигают посредине пролета при $x=0$, а углы поворота на опорах при $x = \pm 0,5l$:

$$\left. \begin{aligned} w(0) &= 5q^2 l^3 (\alpha) / (384 EI); \\ w'(\pm l/2) &= \mp q^2 \psi_0(\alpha) / (24 EI); \\ M(0) &= -q^2 \psi_0(\alpha) / 8, \end{aligned} \right\} \quad (19.27)$$

где
$$f_0(\alpha) = \frac{24}{5\alpha^2} \left(\frac{\alpha^2}{2} + \frac{1}{\operatorname{ch} \alpha} - 1 \right), \quad \psi_0(\alpha) = \frac{3}{\alpha^2} (\alpha - \operatorname{th} \alpha);$$

$$\psi_0(\alpha) = \frac{3}{\alpha^2} \left(1 - \frac{1}{\operatorname{ch} \alpha} \right). \quad (19.28)$$

Функции f_0, ψ_0, ψ_0 аргумента α были введены И. Г. Бубновым и называются его именем. Нетрудно заметить, что эти функции в выражениях (19.27) являются множителями при параметрах изгиба стержня в случае поперечного изгиба, т. е. при $T=0$. Таким образом, указанные функции учитывают влияние продольной силы T , входящей в выражения посредством аргумента α , на моменты изгиба стержня. Очевидно, при $T=0$ аргумент $\alpha=0$ и все функции И. Г. Бубнова должны быть равны единице, в чем нетрудно убедиться, вычисляя пределы функций (19.28) при $\alpha \rightarrow 0$.

С ростом значения растягивающей силы T функции f_0, ψ_0, ψ_0 убывают и при $T \rightarrow \infty (\alpha \rightarrow \infty)$ они стремятся к нулю, как и все элементы изгиба стержня. Физически это вполне понятно, поскольку растягивающая сила стремится «разравнять» стержень.

В случае сжимающей продольной силы ($T < 0$) выражение для прогиба w может быть получено из формулы (19.23) при замене β на $i\beta'$ с учетом формулы (19.20):

$$w(x) = \frac{q^2}{(2\alpha')^2 EI} \left[\frac{\cos \beta' x}{\cos \alpha'} - 1 - \frac{1}{2}(\alpha'^2 - \beta'^2 x^2) \right], \quad (19.29)$$

где β' — определяется формулой (19.18), а
$$\alpha' = 0,5\beta' l. \quad (19.30)$$

Аналогично из формул (19.27) и (19.28) можно получить выражения для наибольших значений элементов изгиба в случае сжимающей продольной силы, для чего необходимо заменить α на $i\alpha'$ и учесть формулы (19.20):

$$\left. \begin{aligned} w(0) &= 5q^2 l^3 (\alpha') / (384 EI); \\ w'(\pm l/2) &= \mp q^2 \psi_0'(\alpha') / (24 EI); \\ M(0) &= -q^2 \psi_0'(\alpha') / 8, \end{aligned} \right\} \quad (19.31)$$

Здесь
$$f_0'(\alpha') = \frac{24}{5(\alpha')^2} \left(\frac{1}{\cos \alpha'} - \frac{\alpha'^2}{2} - 1 \right); \quad \psi_0'(\alpha') = \frac{3}{\alpha'^2} (\operatorname{tg} \alpha' - \alpha');$$

$$\psi_0'(\alpha') = \frac{3}{\alpha'^2} \left(\frac{1}{\cos \alpha'} - 1 \right). \quad (19.32)$$

Функции f_0 , ψ_0 , χ_0 при $T = \alpha^* = 0$ (поверхностный изгиб) равны единице и с ростом сжимающей силы T возрастают. Это показывает, что продольная сжимающая сила увеличивает элементы изгиба стержня.

Если $\alpha^* = 0,5\alpha$, значение сжимающей силы оказывается равным $T = \alpha^2 EI / R$, стержень теряет устойчивость, а функции И. Г. Бубнова (19.32) и элементы изгиба (19.31) обращаются в бесконечность. При оценке этого теоретического результата необходимо иметь в виду, что он получен на базе зависимостей, справедливых лишь в случае малых прогибов, и его не следует понимать буквально. В действительности при некотором значении прогиба начнется эластичная деформация, а затем разрушение



Рис. 19.4

стержня. Для точного описания поведения стержня при больших прогибах необходимо пользоваться более точной нелинейной теорией.

Жестко заделанный призматический стержень с равномерной поперечной нагрузкой (рис. 19.4). Выражение для прогиба этого стержня такое же, как и в предыдущем примере:

$$w(x) = -qx^2/2l + A_0 + A_1 \operatorname{ch} \beta x,$$

а граничные условия в жестко заделке при $x = \pm 0,5l$ следующие: $w = w' = 0$. Подставляя в эти условия выражение w , получим

$$A_0 + A_1 \operatorname{ch} \mu = q l^2 / (8EI); \quad A_1 \beta \operatorname{sh} \mu = q l / (2EI).$$

Находя A_0 и A_1 из этих уравнений, выражение для прогиба стержня можно представить в виде

$$w(x) = -\frac{q l^2}{(2\alpha)^2 EI} \left(\frac{\alpha^2 - \beta^2 x^2}{2} + \frac{\mu \operatorname{ch} \beta x}{\operatorname{sh} \mu} - \frac{\mu}{\operatorname{th} \mu} \right). \quad (19.33)$$

Изгибающий момент равен

$$M = EI w'' = [q l^2 / (4\alpha^2)] (\mu \operatorname{ch} \beta x / \operatorname{sh} \mu - 1). \quad (19.34)$$

Максимальный прогиб при $x = 0$ и изгибающие моменты в среднем сечении $x = 0$ и на опорах $x = \pm 0,5l$ равны

$$\left. \begin{aligned} w(0) &= q l^2 f_0(\alpha) / (384 EI); \\ M(0) &= -q l^2 \psi_0(\alpha) / 24; \quad M(\pm 0,5l) = q l^2 \chi_0(\alpha) / 12, \end{aligned} \right\} \quad (19.35)$$

где

$$f_0(\alpha) = \frac{24}{\alpha^2} \left(\frac{\mu}{2} - \operatorname{th} \frac{\mu}{2} \right); \quad \psi_0(\alpha) = \frac{6(\operatorname{sh} \mu - \mu)}{\alpha^2 \operatorname{sh} \mu}; \quad \chi_0(\alpha) = \frac{3(\alpha - \operatorname{th} \alpha)}{\alpha^2 \operatorname{th} \alpha}. \quad (19.36)$$

Функции И. Г. Бубнова f_0 , ψ_0 , χ_0 учитывают влияние продольной силы на элементы изгиба рассматриваемого жестко заделанного стержня. При $T = \alpha = 0$ все они равны единице, а при $T \rightarrow \infty$ стремятся к нулю.

В случае действия сжимающей продольной силы в формулах (19.33) — (19.36) необходимо положить $\alpha = i\alpha^*$ и перейти от функций $f_0(\alpha)$, $\psi_0(\alpha)$, $\chi_0(\alpha)$ к функциям $f_0^*(\alpha^*)$, $\psi_0^*(\alpha^*)$, $\chi_0^*(\alpha^*)$, которые при $T = \alpha^* = 0$ равны единице, а при $\alpha^* \rightarrow \infty$ обращаются в бесконечность, что соответствует потере устойчивости жестко заделанного стержня при сжимающей нагрузке $T = 4\alpha^2 EI / R$.

Свободно опертый стержень, нагруженный моментами в опорных сечениях (рис. 19.5). В рассматриваемом случае $q(x) = 0$ и $\omega_0 = 0$, следовательно, частное решение $\omega_0 = 0$ и прогиб на основании выражения (19.16) равен

$$w(x) = A_0 + A_1 \beta x + A_2 \operatorname{ch} \beta x + A_3 \operatorname{sh} \beta x.$$

Для определения произвольных постоянных A_0 вышнем граничные условия при $x = 0$ и $x = l$, полагая пока $M_1 = 0$, $M_2 \neq 0$; $w(0) = w'(0) = \omega(0) = 0$, $El w''(l) = M_2$. Подняв прогиб w граничным условиям, находим произвольные постоянные:

$$A_0 = A_2 = 0; \quad A_1 = -M_2 / (2\alpha^2 EI); \quad A_3 = M_2 / (\beta^2 EI \operatorname{sh} 2\alpha),$$

подставив которые в выражение для прогиба w , получим следующие элементы изгиба:

$$\left. \begin{aligned} w(x) &= [M_2 l^2 / (4\alpha^2 EI)] \left[\operatorname{sh} \beta x / \operatorname{sh} 2\alpha - \beta x / (2\alpha) \right]; \\ w'(x) &= [M_2 l / (2\alpha EI)] \left[\operatorname{ch} \beta x / \operatorname{sh} 2\alpha - 1 / (2\alpha) \right]; \\ M(x) &= M_2 \operatorname{sh} \beta x / \operatorname{sh} 2\alpha. \end{aligned} \right\} \quad (19.37)$$

Углы поворота опорных сечений $x = 0$ и $x = l$ равны

$$w'(0) = -M_2 \psi_1(\alpha) / (6EI); \quad w'(l) = M_2 \psi_2(\alpha) / (3EI), \quad (19.38)$$

где

$$\psi_1(\alpha) = \frac{3}{2\alpha} \left(\frac{1}{15\alpha} - \frac{1}{2\alpha} \right); \quad \psi_2(\alpha) = \frac{3}{\alpha} \left(\frac{1}{2\alpha} - \frac{1}{15\alpha} \right). \quad (19.39)$$

Выражение (19.38) отличается от аналогичных выражений при поперечном изгибе наличием множителей $\psi_1(\alpha)$ и $\psi_2(\alpha)$, которые являются функциями И. Г. Бубнова и учитывают влияние растягивающей силы на углы поворота опорных сечений.

Если принять также и $M_2 \neq 0$, то все элементы изгиба можно найти, пользуясь методом наложения. В частности, для углов поворота опорных сечений с учетом зависимостей (19.38) получим

$$\left. \begin{aligned} w'(0) &= -M_1 \psi_1(\alpha) / (3EI) - M_2 \psi_2(\alpha) / (6EI); \\ w'(l) &= M_1 \psi_2(\alpha) / (6EI) + M_2 \psi_1(\alpha) / (3EI). \end{aligned} \right\} \quad (19.40)$$

Если продольная сила сжимающая, то в формулы (19.38) и (19.40) вместо функций $\psi_1(\alpha)$ и $\psi_2(\alpha)$ следует вводить функции

$$\psi_1^*(\alpha^*) = \frac{3}{2\alpha^*} \left(\frac{1}{2\alpha^*} - \frac{1}{15\alpha^*} \right); \quad \psi_2^*(\alpha^*) = \frac{3}{\alpha^*} \left(\frac{1}{15\alpha^*} - \frac{1}{2\alpha^*} \right). \quad (19.41)$$

Выражения (19.40) использованы в дальнейшем при расчете многослойных стержней. Они будут играть ту же роль, что и аналогичные формулы при поперечном изгибе.

Стержень с начальной синусоидальной гибкостью (рис. 19.6). В реальных случаях ось стержня может иметь начальную кривизну, в связи с чем представляет интерес оценить влияние этого фактора на элементы сложного изгиба.

При начальной синусоидальной гибкости (19.21) и при отсутствии поперечной нагрузки ($q=0$) общее выражение для упругого прогиба w на основании формул (19.16) и (19.22) имеет вид

$$w(x) = A_0 + A_1 \beta x + A_2 \beta x^2 + A_3 \sin \beta x - T_0 \sin \beta x / (EI \beta^2 + \pi^2 EI / l^2). \quad (19.42)$$

Для свободно опертго стержня $w = w' = 0$ при $x=0$ и $x=l$, все произвольные постоянные равны нулю и выражение (19.42) принимает следующий простой вид:

$$w(x) = - [T_0 \beta l^2 + \pi^2 EI / \beta^2] \sin \beta x / l. \quad (19.43)$$

Изгибающий момент равен

$$M(x) = EI w'' = [T_0 \beta (1 + T_0^2 / (\pi^2 EI \beta^2))] \sin \beta x / l. \quad (19.44)$$

а нормальные напряжения в наиболее опасном среднем сечении $x=0,5l$ на основании (19.6) равны

$$\sigma = \frac{T}{F} \left\{ 1 - \frac{F \alpha_1 x}{T(1 + T_0^2 / (\pi^2 EI \beta^2))} \right\}. \quad (19.45)$$

Если $\alpha_1 > 0$, т. е. начальная гибкость направлена вниз, то наибольшие нормальные напряжения будут в верхних волокнах стержня при $x < 0,5l$. Если $\alpha_1 < 0$, наибольшие нормальные напряжения будут в нижних волокнах стержня при $x > 0,5l$. Выразим в фигурных скобках формулы (19.43) для максимального напряжения всегда больше единицы, и следовательно, эти напряжения при заданной начальной гибкости всегда больше, чем напряжения растяжения или сжатия прямого стержня, равные $\sigma_0 = T/F$. Итак,



Рис. 19.6

начальная гибкость отрицательно влияет на прочность как растянутой, так и сжатой стержней. Особенно существенно отрицательное влияние начальной гибкости при сжимающих продольных силах. В этом случае по мере роста силы элементы изгиба интенсивно возрастают, а при сжимающей силе $T = -\pi^2 EI / \beta^2$ прогиб, изгибающий момент и наибольшее нормальное напряжение, определенные формулами (19.43) — (19.45), обращаются в бесконечность, что свидетельствует о потере устойчивости стержня.

Качественно аналогичное влияние начальной гибкости будет и при других условиях закрепления концов стержней. Например, для

жестко заделанного по концам стержня, подчиняя прогиб (19.42) условиям $w = w' = 0$ при $x=0$ и $x=l$, получим в случае растягивающей продольной силы

$$w(x) = \frac{T_0}{T + \pi^2 EI / l^2} \left\{ \frac{x}{2l} \beta x \left[1 - \frac{\sin \beta(x-0,5l)}{\sin \beta l} \right] - \sin \frac{\beta x}{l} \right\}, \quad (19.46)$$

а в случае сжимающей продольной силы

$$w(x) = \frac{|T| T_0}{\pi^2 EI / l^2 - |T|} \left\{ \sin \frac{\beta x}{l} + \frac{\pi [\cos \alpha^* - \cos \beta^* (x-0,5l)]}{2\alpha^* \sin \alpha^*} \right\}. \quad (19.47)$$

По формулам (19.2) и (19.6) можно найтигибающие моменты и нормальные напряжения, соответствующие прогибам (19.46), (19.47), и показать, что и в этом случае начальная синусоидальная гибкость отрицательно влияет на прочность.

Отрицательное влияние начальной гибкости, имеющей форму n -узловой синусоиды, сокращается, хотя и уменьшается по мере увеличения числа полуволн n . Поэтому вывод об отрицательном влиянии начальной гибкости на прочность стержней, особенно при сжимающих продольных силах, относится к начальной гибкости любой формы, что и заставляет регламентировать начальные изгибы при построении и ремонте судов соответствующими технологическими допусками.

Влияние осевых продольных сил на элементы изгиба балок судового набора. В условиях сложного изгиба балки являются главным образом продольные балки судового набора, которые одновременно нагружены поперечной нагрузкой и продольными силами из общего изгиба корпуса судна. Элементы сложного изгиба балок в рассмотренных выше случаях заделаны на концы могут быть определены по полученным выше формулам как произведения элементов поперечного изгиба на соответствующие функции Бубнова. Аргументами этих функций являются величины, связанные с продольной силой и параметрами балки следующими

$$m = \alpha^* = (l/2) \sqrt{|T| |EI|}. \quad (19.48)$$

Расчеты показывают, что для балок судового набора при характеристиках для них указанных значениях l, T, EI аргументы m и α^* оказываются равными примерно 0,5. При $m = \alpha^* = 0,5$ полученные выше функции Бубнова имеют следующие значения [51, табл. 6.3—6.5]: $f_0^* = 0,938$; $\varphi_0 = 0,939$; $\psi_0 = 0,935$; $f_1^* = 1,11$; $\varphi_1^* = 1,1$; $\psi_1^* = -1,12$; $f_2^* = 0,976$; $\varphi_2^* = 0,972$; $\chi = 0,984$; $\psi_1 = -0,933$; $\psi_2 = 0,894$; $\varphi_1^* = 1,07$; $\psi_2^* = 1,13$.

Таким образом, все функции при $m \leq 0,5$ незначительно отличаются от единицы, что свидетельствует о несущественном влиянии продольных сил на элементы изгиба судовых балок. Поэтому в практических расчетах балок судового набора, как правило, прогибы, изгибающие моменты, поперечные силы вычисляют по формулам для поперечного изгиба, т. е. без учета влияния продольных сил. Напряжения определяют по формулам (19.6) с учетом

продольной силы T . Следует иметь в виду, что, не учитывая влияния продольной силы на элементы поперечного изгиба, делается ошибка в безопасную сторону в случае растяжения и в опасную в случае сжатия.

При аргументах $\alpha = \alpha^* > 0,5$, т. е. для гибких стержней (относительно большая длина l или малая изгибная жесткость EI), влияние продольных сил значительно и пренебрегать им нельзя. Такие случаи будут рассматриваться при расчете пластин (см. § 21.11). Значительным оказывается влияние продольной силы на изгиб стоек поперечных переборок, расположенных под карнизами грузовых палуб, в это должно учитываться при практических расчетах стоек на прочность.

В случае $\alpha = \alpha^* > 0,5$ практический расчет призматических стержней при сложном изгибе может быть выполнен с помощью справочных таблиц сложного изгиба балок [51, с. 172], составленных для простейших поперечных нагрузок и постоянных (растягивающих и сжимающих) продольных сил. При действии совокупности поперечных нагрузок и постоянных продольных сил определяются с помощью указанных таблиц методом наложения в соответствии с принципом независимости действия сил (см. § 19.1). Поэтому общее решение (19.6) или (19.9) дифференциального уравнения (19.15) приходится использовать при практических расчетах только в случаях, выходящих за рамки справочных таблиц сложного изгиба призматических стержней.

§ 19.3. Сложный изгиб стержня с упругим распором

В рассмотренных выше задачах сложного изгиба предполагалось, что продольная сила является заданной и неизменной в процессе изгиба стержня, что возможно при беспротягиваемом перемещении опор стержня в продольном направлении. Если опоры балки совершенно не могут перемещаться в продольном направлении или их перемещение в этом направлении связано упругими силами, то такие опоры препятствуют сближению концов стержня, которое происходит при его изгибе. В результате возникает продольная сила. Значение ее, очевидно, будет тем больше, чем больше дробь стержня. В этом случае возникает взаимное влияние продольной силы на прогиб балки и прогиб на продольную силу. Последнее становится статически неопределимой. Такие случаи сложного изгиба приходится рассматривать при расчете очень гибких стержней и особенно пластин судового корпуса, снабженно опорных сечений которых препятствуют соседние с ними упругие связи.

Связи, препятствующие сближению опорных сечений стержня при его изгибе, называются распорами. Распоры будем считать линейно деформируемыми.

Схематический стержень с распором представлен на рис. 19.7. В концевых сечениях системы стержень — распор приложена внеш-

няя продольная сила T , а к стержню — внешняя поперечная нагрузка q . Стержень и распор считаются в дальнейшем призматическими с площадью поперечных сечений F_1 и F_2 соответственно и одинаковым модулем упругости E .

Стержень вместе с распором является статически неопределимой системой, в которой внешняя продольная сила T распределяется так, что стержнем воспринимается сила T_1 , а распором сила T_2 , которые связаны очевидным условием статик $T_1 + T_2 = T$.

Обозначив через σ_1 и σ_2 нормальные напряжения, возникающие в поперечных сечениях стержня и распора под действием продольных усилий, получим $\sigma_1 = T_1/F_1$; $\sigma_2 = T_2/F_2$. Выразив усилия T_1



Рис. 19.7



Рис. 19.8

и T_2 через σ_1 и σ_2 в написанном выше условии статик, получим $\sigma_1 F_1 + \sigma_2 F_2 = T$. Если обозначить

$$\sigma_0 = T/(F_1 + F_2); \quad K = F_2/(F_1 + F_2), \quad (19.49)$$

то последнее уравнение нетрудно привести к виду

$$\sigma_1 (1 - K) + \alpha_2 K = \sigma_0 \quad (19.50)$$

где σ_0 — среднее нормальное напряжение в конструкции стержень — распор.

Величина K , определяемая второй формулой (19.49) и представляющая собой отношение площади F_2 поперечного сечения распора к суммарной площади конструкции стержень — распор, называется коэффициентом распора. Коэффициент распора K может изменяться в пределах от нуля ($F_2 = 0$) до единицы (абсолютно жесткий распор, у которого $F_2 = \infty$).

Для определения напряжений σ_1 и σ_2 в стержне и распоре дополнительно к условию статик (19.50) необходимо составить условие совместности деформаций стержня и распора в продольном направлении. Очевидно, продольное перемещение одного конца стержня при неподвижном другом конце будет равно удлинению (или сжатию) распора. Удлинение распора, входящегося в условиях растяжения-сжатия под действием напряжений σ_2 , определяется выражением

$$\Delta l_2 = \sigma_2 l/E, \quad (19.51)$$

где E — модуль упругости; l — длина распора.

Определив продольное перемещение Δl_1 подвижного конца стержня (рис. 19.8). Так как при сложном изгибе длина оси

стержня изменяется под действием продольного усилия, то длина оси стержня до и после деформации будет связана зависимостью

$$S_2 = S_0 + \Delta S, \quad (19.52)$$

где S_0 и S_1 — длины оси стержня до и после деформации соответственно; ΔS — удлинение (или укорочение) оси стержня под действием напряжений σ .

На основании известной формулы для длины дуги кривой в соответствии с рис. 19.8 имеем

$$S_0 = \int_0^l \sqrt{1 + (w_0')^2} dx; \quad S_1 = \int_0^l \sqrt{1 + (w_0' + w')^2} dx.$$

Учитывая малость прогибов w_0 и w , разложим в подынтегральных выражениях можно заменить дуги дугами членами биномиальных рядов и после этого нетрудно вычислить

$$S_0 \approx \int_0^l \left[1 + \frac{1}{2} (w_0')^2 \right] dx = l + \frac{1}{2} \int_0^l (w_0')^2 dx;$$

$$S_1 \approx \int_0^l \left[1 + \frac{1}{2} (w_0' + w')^2 \right] dx = l + \Delta l_1 + \frac{1}{2} \int_0^l (w_0' + w')^2 dx.$$

Удлинение ΔS оси стержня при его растяжении-сжатии определяется по закону Гука формулой $\Delta S = \sigma_0 S_0 / E \approx \sigma_1 l / E$, т. е. при малых начальных прогибах стержня w_0 длину его оси допустимо заменить длиной его пролета l .

Подставляя полученные выражения для S_0 , S_1 и ΔS в зависимость (19.52), найдем продольное перемещение свободного конца стержня:

$$\Delta l_1 = \frac{\sigma_1}{E} l - \frac{1}{2} \int_0^l [(w_0' + w')^2 - (w_0')^2] dx.$$

Приравняв продольное перемещение Δl_1 удлинению распора Δl_2 с учетом последнего выражения и формулы (19.51) получим

$$\sigma_1 = \sigma_2 + \frac{E}{2l} \int_0^l [(w')^2 + 2w_0' w'] dx. \quad (19.53)$$

Уравнения (19.50) и (19.53) определяют напряжения σ_1 и σ_2 в поперечных сечениях стержня и распора. При этом напряжение σ_1 в левую часть уравнения (19.53) входит явно, а в правую — явно через укороченный прогиб стержня w , зависящий от продольной силы $T_1 = \sigma_1 F_1$ и определяемый дифференциальным уравнением сложного изгиба стержня

$$EI w'' - T_1 w'' = q(x) + T_1 w_0''. \quad (19.54)$$

Если из уравнения (19.53) исключить σ_2 с помощью зависимости (19.50), то получим

$$\sigma_1 = \sigma_0 + \frac{EK}{2l} \int_0^l [(w')^2 + 2w_0' w'] dx. \quad (19.55)$$

В этом уравнении содержится лишь одно неизвестное напряжение σ_1 , входящее явно в его левую часть и неявно в правую. Уравнение (19.55) было впервые получено И. Г. Бубновым, применявшим его к исследованию сложного изгиба пластин, не участвующих в общем изгибе корпуса судна.

Практический интерес представляют следующие две постановки задачи:

1) задана продольная сила в распоре T_2 ; необходимо определить силу в стержне T_1 ;

2) задана суммарная продольная сила T , действующая на стержень и распор; необходимо найти продольные усилия в стержне и распоре.

Решение обеих задач оказывается сложным, так как уравнение (19.53) и (19.55) после исключения из них прогиба и вычисления интегралов будут трансцендентными относительно напряжений σ . Поэтому решать уравнения приходится численными или графическими методами, для чего необходимо задать рядом значений σ_1 , найти точное выражение для прогиба из дифференциального уравнения (19.54) при заданных граничных условиях, а затем вычислить соответствующие значения σ_2 или σ_0 по формулам (19.53) или (19.55). Распознавая зависимости σ_1 и σ_0 в функции от σ_1 , нетрудно найти значения σ_1 по заданным значениям σ_2 или σ_0 .

В практических расчетах для упрощения вычислений в уравнениях (19.53) и (19.55) точное выражение прогиба часто заменяют приближенным. Так, можно воспользоваться формулой для прогиба w в виде только одного члена тригонометрического ряда. Например, для свободно опертого по концам стержня, нагруженного равномерной поперечной нагрузкой $q = \text{const}$ и имеющего начальную синусоидальную выгиб в форме (19.21), приближенное решение уравнения (19.54) можно получить в виде одного члена ряда Фурье $w \approx A \sin \pi x / l$. Неизвестную постоянную A можно определить следующим образом: подставим в уравнение (19.54) выражение w , заменим нагрузку $q = \text{const}$ одним членом разложения ее в ряд по синусам и подставим в уравнение (19.54) выражение w_0 из (19.21). Тогда из полученного уравнения найдем постоянную A , что позволит окончательно выписать выражение для прогиба

$$w \approx [4q^2 l^4 / \pi^2 EI (1 + \alpha)] - [\alpha w_0 (1 + \alpha)] \sin \pi x / l, \quad (19.56)$$

где

$$\alpha = T_1 F_1 / (\pi^2 EI) = \sigma_1 F_1 F_1 / (\pi^2 EI), \quad (19.57)$$

Подставляя зависимости (19.21) и (19.56) в уравнения (19.53) и (19.55), приведен к следующей форме:

$$\alpha(1 + \alpha^2) = (\alpha - \beta)(1 + \alpha^2) + \beta\alpha \quad (19.58)$$

$$\alpha(1 + \alpha^2) = (\alpha - K\beta)(1 + \alpha^2) + K\beta\alpha \quad (19.59)$$

Здесь

$$\left. \begin{aligned} \alpha &= \alpha_2 F_2 / (\lambda^2 EI); & \beta &= \alpha_1 F_1 / (\lambda^2 EI); \\ \beta_1 &= F_2 \alpha_2^2 / (4I); & \beta_2 &= [F_1 / (4I)] [4\eta^2 (\lambda^2 EI) + \alpha_1]. \end{aligned} \right\} \quad (19.60)$$

Если задано напряжение в распоре α_2 (или α_1), то из кубического уравнения (19.58) можно найти неизвестный параметр α , а затем из формулы (19.57) и зависимости в стержне α_1 . Если заданы средние напряжения в конструкции α_1 и α_2 для определения α , используют кубическое уравнение (19.59) и зависимость (19.57). Формулы (19.53) и (19.55) могут быть использованы для вычисления напряжений σ_1 и продольных усилий T_2 в стержне и в том случае, когда опорные его сечения неподвижны (распор является абсолютно жестким, $F_2 = \infty$). В этом случае в уравнении (19.53) необходимо положить $\alpha_2 = 0$, а в уравнении (19.55) $\alpha_1 = 0$ и $K = 1$.

Отметим, что приближенные уравнения (19.58) и (19.59) позволяют довольно точно определять значения параметра $\alpha(\sigma_1)$ и поэтому широко используются при практических расчетах свободно опертых стержней, подверженных действию разноразмерной поперечной нагрузки. Аналогичные приближенные уравнения можно получить и для жестко заделанных стержней [37, 51].

После раскрытия статической неопределенности продольная сила T_1 станет известной. Дальнейший расчет стержня производят по полученным ранее формулам сложного изгиба.

§ 19.4 Расчет многопролетных стержней при сложном изгибе

Рассмотрим многопролетный стержень на упругих независимых опорах, нагруженный поперечной нагрузкой и продольной силой [рис. 19.9, а]. В пределах каждого пролета стержень является прismaticким. Величины, относящиеся к отдельным пролетам, снабжаются нижним индексом в соответствии с номером левой опоры (например, Q_i, l_i, i), а коэффициенты податливости упругих опор A_i — с номером опоры.

Для раскрытия статической неопределенности рассматриваемого стержня воспользуемся методом сил, приняв за основные неизвестные опорные моменты M_i стержня. После деформации стержня упругие опоры получат просадки w_i , а его каждый пролет окажется нагруженным опорными моментами и заданной внешней нагрузкой. Учитывая скатанное, вырежем из деформированного стержня два соседних пролета ($i-1, i$) и ($i, i+1$), показанные на рис. 19.9, б, и составим условие совместности угловых деформаций на i -й опоре. Угол поворота опорных сечений вызывается заданной в пролете внешней поперечной нагрузкой, опорными мо-

ментами и просадками упругих опор. При этом углы поворота от внешней поперечной нагрузки и опорных моментов должны быть определены с учетом влияния продольной силы. Таким образом, условие совместности угловых деформаций на i -й опоре двух соседних пролетов в соответствии с рис. 19.9, б можно записать в виде

$$\begin{aligned} \alpha_i(T, Q_{i-1}) + \frac{M_{i-1} l_{i-1}}{6EI} \psi_2(\alpha_{i-1}) + \frac{M_{i+1} l_{i+1}}{3EI} \psi_1(\alpha_{i+1}) + \frac{w_{i-1} - w_i}{l_{i-1}} = \\ = \alpha_i(T, Q_i) - \frac{M_i l_i}{3EI} \psi_1(\alpha_i) - \frac{M_{i+1} l_{i+1}}{6EI} \psi_2(\alpha_{i+1}) + \frac{w_{i+1} - w_i}{l_i} \quad (19.61) \end{aligned}$$

где $\alpha_i(T, Q_{i-1})$ и $\alpha_i(T, Q_i)$ — углы поворота на i -й опоре от внешней нагрузки пролетов ($i-1, i$) и ($i, i+1$) с учетом влияния продольной силы в предположении свободного опирания каждого пролета на жесткие опоры;

$$\alpha_i = (l_i/2) \sqrt{T/(EIJ)}. \quad (19.62)$$

Выражение в левой части уравнения (19.61) представляет суммарный угол поворота пролета ($i-1, i$) на i -й опоре, а в правой — угол поворота пролета ($i, i+1$) на той же опоре. Функции $\psi_1(\alpha)$ и $\psi_2(\alpha)$ учитывают влияние продольной растягивающей силы на углы поворота опорных сечений при действии опорных моментов в соответствии с формулами (19.40). Очевидно, уравнение типа (19.61) можно составить для каждой опоры, на которой не известен опорный момент, получив в результате столько уравнений, сколько неизвестных опорных моментов.

В уравнение (19.61) входят также неизвестные просадки упругих опор w_i . Однако их можно исключить из этих уравнений с помощью зависимостей между просадками упругих опор и опорными моментами. Очевидно, что $w_i = A_i R_i$, где R_i — реакция i -й опоры. Реакцию R_i можно выразить через пролетные нагрузки, опорные моменты и продольную силу следующим образом (см. рис. 19.9, б):

$$\begin{aligned} R_i = R_i(Q_{i-1}) + \frac{M_i - M_{i-1}}{l_{i-1}} - T \frac{w_i - w_{i-1}}{l_{i-1}} + \\ + R_i(Q_i) + \frac{M_{i+1} - M_i}{l_i} + T \frac{w_{i+1} - w_i}{l_i} \end{aligned}$$

где $R_i(Q_{i-1})$ и $R_i(Q_i)$ — реакции на i -й опоре от пролетных нагрузок Q_{i-1} и Q_i , вычисленные в предположении свободного опирания пролетов на опоры. Члены, содержащие M_{i-1} , M_i , M_{i+1} , дают реакцию от опорных моментов, а члены, содержащие продольную силу, — реакцию от моментов продольной силы T , возникающих в результате разницы просадок соседних опор.

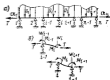


Рис. 19.9

Подставляя выражения для R_i в формулы для просадок w_i , получаем

$$w_i = A_i \left[R_i(Q_{i-1}) + R_i(Q_i) + \frac{M_i - M_{i-1}}{l_{i-1}} + \frac{M_i - M_{i+1}}{l_i} + \right. \\ \left. + \Gamma \left(\frac{w_{i+1} - w_i}{l_i} - \frac{w_i - w_{i-1}}{l_{i-1}} \right) \right]. \quad (19.63)$$

Совместное решение систем уравнений типа (19.61) и (19.63) позволяет найти неизвестные опорные моменты M_i и просадки w_i , после определения которых статическая неопределенность многопролетного стержня будет раскрыта, а его расчет сведется к расчету сложного изгиба каждого пролета в отдельности с учетом внешних поперечных нагрузок, опорных моментов и продольной силы. Отметим, что системы линейных уравнений (19.61) и (19.63) в каждом конкретном случае удобнее решать в численном виде, предварительно вычислив функции Бубнова ψ_1 и ψ_2 , углы поворота сечений на опорах $\alpha_i(\Gamma, Q_i)$ и реакции $R_i(Q_i)$ от поперечной внешней нагрузки по справочным таблицам [5], т. 1, с. 159.

Если продольная сила Γ будет сжимающей, то схема и порядок расчета остаются прежними, но в уравнениях (19.61) и (19.63) у силы Γ необходимо поменять знак на обратный и заменить функции $\psi_1(u)$ и $\psi_2(u)$ на функции $\psi_1'(u')$ и $\psi_2'(u')$.

Отметим один частный случай, важный для дальнейшего. Пусть стержень по всей длине является прямилинейным ($l_i = l = \text{const}$); все его пролеты одинаковы ($l_i = a$) и коэффициенты податливости упругих опор равны ($A_i = A$). Тогда уравнения (19.61) и (19.63) с учетом выражений (19.62) после несложных преобразований можно записать в виде

$$\left. \begin{aligned} (M_{i-1} + M_{i+1}) \psi_2(u) + 4M_i \psi_1(u) + \\ + (6EI/a^2) (2w_i - w_{i-1} - w_{i+1}) = \\ = (6EI/a) [\alpha_i(\Gamma, Q_i) - \alpha_i(\Gamma, Q_{i-1})]; \\ 2M_i - M_{i-1} - M_{i+1} - \\ - (6a^2 EI/a^2) \{ [2 + Ka^2(4a^2 EI)] w_i - w_{i-1} - w_{i+1} \} = \\ = -a [R_i(Q_{i-1}) + R_i(Q_i)]. \end{aligned} \right\} \quad (19.64)$$

где $a = (a/2) \sqrt{\Gamma K/EI}$; $K = 1/A$ — коэффициент жесткости упругих опор.

В случае сжимающей продольной силы Γ с учетом выражений (19.61) получим

$$\left. \begin{aligned} (M_{i-1} + M_{i+1}) (2u' - \sin 2u') + 2M_i (\sin 2u' - 2u' \cos 2u') + \\ + (2a^2 \gamma \frac{EI}{a^2}) (2w_i - w_{i-1} - w_{i+1}) \sin 2u' = \\ = (2a^2 \gamma \frac{EI}{a}) [\alpha_i(\Gamma, Q_i) - \alpha_i(\Gamma, Q_{i-1})] \sin 2u'; \end{aligned} \right\}$$

$$\left. \begin{aligned} 2M_i - M_{i-1} - M_{i+1} + \\ + (2a^2 \gamma \frac{EI}{a^2}) \left[\left(2 - \frac{Ka^2}{4a^2 EI} \right) w_i - w_{i-1} - w_{i+1} \right] = \\ = -a [R_i(Q_{i-1}) + R_i(Q_i)]. \end{aligned} \right\} \quad (19.65)$$

Здесь $a' = (a/2) \sqrt{\Gamma K/EI}$.

Система уравнений (19.65) позволяет раскрыть статическую неопределенность призматического стержня на одинаковых равностоящих упругих опорах в случае продольной сжимающей силы, а система (19.64) — в случае растягивающей. В более общем случае для раскрытия статической неопределенности стержня необходимо использовать полученные выше уравнения (19.61) и (19.63).

Не трудно заметить, что уравнения (19.61) и (19.63) при $\Gamma = 0$ превращаются в уравнения теоремы пяти моментов для раскрытия статической неопределенности многопролетной балки на упругих независимых опорах при поперечном изгибе.

§ 19.5. Расчет однопролетных непризматических стержней при сложном изгибе

В общем случае непризматического стержня и переменной по длине продольной силы, когда дифференциальное уравнение сложного изгиба (19.4), как правило, нельзя точно проинтегрировать и выразить его решение через конечное число элементарных функций, приходится использовать приближенные методы, из которых наиболее распространенными являются методы Рунге, метод Бубнова — Галеркина и метод конечных элементов. Ниже кратко излагаются указанные методы применительно к задачам сложного изгиба.

Метод Рунге. Обыная схема вычислений при определении элементов сложного изгиба стержней, очевидно, остается такой же, как и в § 10.6. Прогиб стержня представляется в виде ряда

$$w = \sum_{i=1}^n \alpha_i \varphi_i(x), \quad (19.66)$$

где n — число удерживаемых членов ряда, зависящее от требуемой точности; α_i — неизвестные коэффициенты ряда (обобщенные координаты); $\varphi_i(x)$ — фундаментальные функции. Система фундаментальных функций, как известно, должна быть полной и обязательно удовлетворять кинематическим граничным условиям, а по возможности и силовым.

Неизвестные коэффициенты α_i ряда (19.66) находят из системы уравнений (10.56) $\frac{\delta(U-G)}{\delta \alpha_i} = 0$, $i = 1, 2, \dots, n$, представляющих математическое выражение принципа возможных перемещений.

Как было показано, суммарная силовая функция $(P-U)$ при сложном изгибе однопролетных стержней под действием продольной силы и распределенной поперечной нагрузки выражается формулой (19.13). При этом функция $(P-U)$, согласно формуле (19.66), зависит от коэффициентов a_i , которые находят тогда через ω . Учитывая это и дифференцируем выражение (19.13) по a_i , получим

$$\int_0^l EI \omega'' \frac{\partial \omega''}{\partial a_i} dx + \int_0^l T (\omega' + \omega'_0) \frac{\partial \omega'}{\partial a_i} dx - \int_0^l q \frac{\partial \omega}{\partial a_i} dx = 0, \quad (19.67)$$

$i = 1, 2, \dots, n.$

Вследствие формулы (19.66) имеем

$$\frac{\partial \omega}{\partial a_i} = \varphi_i(x); \quad \frac{\partial \omega'}{\partial a_i} = \varphi'_i(x); \quad \frac{\partial \omega''}{\partial a_i} = \varphi''_i(x),$$

а уравнения (19.67) можно записать в виде

$$\int_0^l EI \left[\sum_{k=1}^n a_k \varphi''_k(x) \right] \varphi''_i(x) dx + \int_0^l T \left[\omega'_0 + \sum_{k=1}^n a_k \varphi'_k(x) \right] \varphi'_i(x) dx - \int_0^l q \varphi_i(x) dx = 0, \quad i = 1, 2, \dots, n. \quad (19.68)$$

Обозначая

$$\left. \begin{aligned} \int_0^l EI(x) \varphi''_k(x) \varphi''_i(x) dx &= A_{ki}; \\ \int_0^l T \varphi'_k(x) \varphi'_i(x) dx &= T_{ki}; \\ \int_0^l q(x) \varphi_i(x) dx - \int_0^l T(x) \omega'_0(x) \varphi'_i(x) dx &= B_i \end{aligned} \right\} \quad (19.69)$$

уравнения (19.68) можно представить в виде

$$\sum_{k=1}^n (A_{ki} + T_{ki}) a_k = B_i, \quad i = 1, 2, \dots, n. \quad (19.70)$$

Для гладкости уравнения (19.70) запишем в развернутом виде:

$$\left. \begin{aligned} (A_{11} + T_{11}) a_1 + (A_{12} + T_{12}) a_2 + \dots + (A_{1n} + T_{1n}) a_n &= B_1; \\ (A_{21} + T_{21}) a_1 + (A_{22} + T_{22}) a_2 + \dots + (A_{2n} + T_{2n}) a_n &= B_2; \\ \dots &\dots \\ (A_{n1} + T_{n1}) a_1 + (A_{n2} + T_{n2}) a_2 + \dots + (A_{nn} + T_{nn}) a_n &= B_n. \end{aligned} \right\} \quad (19.71)$$

Таким образом, решение задачи сводится к выбору фундаментальных функций $\varphi_i(x)$, определению коэффициентов A_{ki} , T_{ki} и B_i

по формулам (19.69) и к решению системы алгебраических линейных уравнений (19.71) относительно a_i . Остальные элементы изгиба легко найти по общим формулам (19.2) и (19.3), подставив в них прогиб (19.66).

Важным при применении метода Рунда является удачный выбор фундаментальных функций. Чем меньшим числом таких функций можно ограничиться в ряду (19.66) для достаточно точной аппроксимации прогиба, тем меньше число определенных коэффициентов a_i . Наиболее просто решается задача, если удается всего лишь одной функцией представить форму изгиба балки в рассматриваемом конкретном случае.

Метод Бубнова — Галеркина. Прогиб ω размыкают в форме (19.66) при обязательном удовлетворении фундаментальными функциями $\varphi_i(x)$ всех граничных условий. Коэффициенты a_i ряда (19.66) определяют из уравнений ряда [см. выражение (19.62)]

$$\int_0^l [EI \omega'' \varphi''_i - T \omega' \varphi'_i] \varphi_i(x) dx = \int_0^l [q + T \omega'_0 \varphi'_i] \varphi_i(x) dx, \quad (19.72)$$

$i = 1, 2, \dots, n,$

которые получают после умножения дифференциального уравнения сложного изгиба (19.4) на $\varphi_i(x)$ и интегрирования в пределах длины стержня. Очевидно, что таких уравнений можно выписать столько, сколько членов ряда содержится в выражении для прогиба (19.66).

Если выражение (19.66) подставить в уравнение (19.72), то после перемем порядка интегрирования и суммирования получим

$$\sum_{k=1}^n (\bar{A}_{ki} + \bar{T}_{ki}) a_k = \bar{B}_i, \quad i = 1, 2, \dots, n, \quad (19.73)$$

где

$$\left. \begin{aligned} \bar{A}_{ki} &= \int_0^l [EI \varphi''_k \varphi''_i] \varphi_i(x) dx; \quad \bar{T}_{ki} = - \int_0^l [T \varphi'_k \varphi'_i] \varphi_i(x) dx; \\ \bar{B}_i &= \int_0^l [q + T \omega'_0 \varphi'_i] \varphi_i(x) dx. \end{aligned} \right\} \quad (19.74)$$

Таким образом, выбрав фундаментальные функции $\varphi_i(x)$, вычислив по формулам (19.74) коэффициенты \bar{A}_{ki} , \bar{T}_{ki} и \bar{B}_i системы (19.73) и решив ее относительно a_i , найдем прогиб (19.66).

Метод Бубнова — Галеркина дает те же результаты, что и метод Рунда, если фундаментальные функции $\varphi_i(x)$ удовлетворяют всем граничным условиям и в обоих методах приняты одинаковыми. В этом можно убедиться, если интегрированием по частям с учетом граничных условий преобразовать формулы (19.74) и виду (19.69). Системы уравнений (19.73) и (19.70) окажутся эквивалентными.

Метод конечных элементов. При раскоге МКЭ стержень разбивается на конечные элементы такой длины, чтобы в пределах каждого элемента изгибную жесткость EI и продольную силу T можно было бы считать практически постоянными. Стержень оканчивается представлением в виде совокупности последовательно соединенных в узловых точках призматических элементов.

В гл. II изложены основные положения МКЭ применительно к расчету стержневых систем. Постановка здесь задача отличается от рассмотренных в гл. II тем, что конечный элемент, находящийся под воздействием поперечной нагрузки интенсивностью $q(x)$ и продольной сил T , испытывает сложный изгиб. Это, естественно, должно сказаться на содержании его матрицы жесткости.



Рис. 19.10

ство обобщенных перемещений элемента ϕ_i примем приближенно в углу поворота его узловых сечений:

$$\phi_1 = \omega(0); \quad \phi_2 = \frac{\partial \omega}{\partial x}(\ell); \quad \phi_3 = \omega(\ell); \quad \phi_4 = \frac{\partial \omega}{\partial x}(\ell). \quad (19.75)$$

Положительные направления узловых перемещений (19.75) и соответствующих им обобщенных узловых усилий R_i (перерезывающих сил изгибающих моментов) приведены на рис. 19.10.

Против конечного элемента аппроксимируем с помощью выражения (11.71):

$$\omega(x) = \sum_{i=1}^4 \phi_i \Phi_i(x), \quad (19.76)$$

где

$$\left. \begin{aligned} \Phi_1(x) &= 1 - 3x^2/\ell^2 + 2x^3/\ell^3; & \Phi_2(x) &= x - 2x^2/\ell + x^3/\ell^2; \\ \Phi_3(x) &= 3x^2/\ell^2 - 2x^3/\ell^3; & \Phi_4(x) &= -x^2/\ell + x^3/\ell^2 \end{aligned} \right\} \quad (19.77)$$

— одномерные функции Эрмита (11.72).

До сих пор для каждого из рассмотренных конечных элементов мы раздельно определяли его матрицу жесткости и вектор узловых эквивалентных внешних усилий. Однако в данном случае для получения основных уравнений МКЭ целесообразно использовать несколько иной подход. Суть его состоит в следующем. Дополнительно к внешней нагрузке $q(x)$, продольным усилиям T конечный элемент нагружен усилиями взаимодействия R_i со смежными конечными элементами. Полная энергия такого элемента равна

$$\mathcal{E} = \Pi - U - U_{\text{вн}}, \quad (19.78)$$

где Π — потенциальная энергия изгиба элемента; U — полная функция работы поперечной нагрузки $q(x)$ и продольных усилий T ;

$$U_{\text{вн}} = \sum_{i=1}^4 R_i \phi_i \quad (19.79)$$

— полная функция обобщенных узловых усилий.

Для призматического конечного элемента при $T = \text{const}$ на основании выражений (19.13) и (19.79) имеем

$$\mathcal{E} = -\frac{EI}{2} \int_0^\ell (\omega'')^2 dx + \frac{T}{2} \int_0^\ell (\omega')^2 dx + \int_0^\ell (T\omega' \omega' - q\omega) dx - \sum_{i=1}^4 R_i \phi_i. \quad (19.80)$$

Для определения неизвестных узловых перемещений ϕ_i элемента, находящегося в положении равновесия, воспользуемся методом Рунца (см. § 10.6):

$$\frac{\partial \mathcal{E}}{\partial \phi_i} = 0, \quad i = 1, 2, 3, 4. \quad (19.81)$$

Последовательно подставляя выражение (19.76) в формулу (19.80), а (19.80) в (19.81), получаем

$$R_i = \sum_{k=1}^4 (k_{ik} + s_{ik}) \phi_k - P_i, \quad i = 1, 2, 3, 4, \quad (19.82)$$

где

$$k_{ik} = EI \int_0^\ell \Phi_i'(x) \Phi_k'(x) dx; \quad (19.83)$$

$$s_{ik} = T \int_0^\ell \Phi_i'(x) \Phi_k'(x) dx; \quad (19.84)$$

$$P_i = \int_0^\ell [q(x) \Phi_i(x) - T \Phi_i'(x) \Phi_i'(x)] dx. \quad (19.85)$$

Соотношения (19.82) удобно переписать в виде одного матричного уравнения

$$[R] = ([K] + [S]) \{\phi\} - \{P\}, \quad (19.86)$$

где $[R]$ — вектор обобщенных узловых усилий с компонентами R_i (положительные направления указаны на рис. 19.10); $[K]$ — $[K_{ik}]$ — матрица жесткости призматического элемента, работающего на изгиб [см. формулу (11.77)]; $[S]$ — $[s_{ik}]$ — так называемая геометрическая матрица с компонентами (19.84);

$$[S] = T \begin{bmatrix} 6/5\alpha & 1/10 & -6/5\alpha & 1/10 \\ & 2\alpha/15 & -1/10 & -\alpha/30 \\ & & 6/5\alpha & -1/10 \\ \text{Симметрично} & & & 2\alpha/15 \end{bmatrix}; \quad (19.87)$$

$\{q\}$ — вектор узловых перемещений; $\{P\}$ — вектор узловых усилий (19.85), эквивалентных действию на рассматриваемый элемент поперечной нагрузки интенсивностью $q(x)$ и продольной силе T .

Если величину $w_0^*(x)$ в пределах конечного элемента аппроксимировать линейной функцией

$$w_0^*(x) \approx \theta_0(1 - x/a) + \theta_1 x/a, \quad (19.88)$$

где

$$\theta_0 = w_0^*(0); \quad \theta_1 = w_0^*(a) \quad (19.89)$$

и интенсивность поперечной нагрузки q считать постоянной, то по формулам (19.85) с учетом выражений (19.77) можно дать

$$\{P\} = \{qa + T(\theta_0 + \theta_1)\}/2, \quad a[qa - T(\theta_0 - \theta_1)]/12, \\ [qa - T(\theta_0 + \theta_1)]/2, \quad -a[qa + T(\theta_0 - \theta_1)]/12. \quad (19.90)$$

Вернемся к матричному уравнению (19.86). Оно представляет собой систему уравнений равновесия рассматриваемого конечного элемента балки, работающего в условиях сложного изгиба. Это уравнение по форме тождественно уравнению равновесия балочного элемента, работающего на простой изгиб. Разница заключается лишь в том, что матрица жесткости $[K]$ в (19.86) дополнена матрицей $[S]$. Легко понять, что схема расчета по МКЭ стержневых систем, изложенная в § 11.9, полностью применима для расчета по МКЭ сложного изгиба стержней. При этом лишь необходимо вводу матрицу жесткости $[K]$ дополнять матрицей $[S]$.

Все рассмотренные выше приближенные методы сводят задачу о сложном изгибе нелинейноэластического стержня к решению систем линейных алгебраических уравнений. В случае релаксационной продольной силы главный определитель систем (19.70), (19.73) и системы разрывных уравнений в МКЭ не равен нулю и эти системы имеют единственное ограниченное решение. В случае сжимающей продольной силы главный определитель указанных систем при некоторых значениях этой силы может обратиться в нуль. Тогда при неравных нулю свободных членах решение систем будет неограниченным, что свидетельствует о стремлении прогиба стержня (и других параметров изгиба) к бесконечности и соответствует случаю потери стержнем устойчивости.

Контрольные вопросы

1. Что является сложным или продольно-изверженным изгибом стержня?
2. Какими основными уравнениями описывается сложный изгиб стержня?
3. Как вычисляются главные узловые усилия при сложном изгибе стержня?
4. Каковы особенности применения возможности действия сил при сложном изгибе стержня?
5. Назовите обычно схему решения задачи сложного изгиба для одномерного нелинейноэластического стержня.
6. Как влияет продольная сила на параметры изгиба стержня?
7. Каково влияние поперечной силы на параметры сложного изгиба стержня?

8. Как обеспечивается практическая жесткость стержней при сложном изгибе? Чем такое явление и Г. Г. Бубнова?

9. Чем такое явление стержня? В чем состоит особенность изгиба стержня с упругим раствором?

10. Каким образом рассматривается статическая неустойчивость нелинейноэластического стержня при сложном изгибе?

11. Кратко изложите суть основных приближенных методов расчета нелинейноэластического стержня при сложном изгибе: метода Рунге, Бубнова — Галларса; МКЭ.

Глава 20. УСТОЙЧИВОСТЬ СТЕРЖНЕЙ И СТЕРЖНЕВЫХ СИСТЕМ

§ 20.1. Общие понятия об устойчивости упругих систем и методах ее исследования

Из курса теоретической механики известно, что механическая система может находиться в одном из трех возможных равновесиях: устойчивом, неустойчивом, безразличном.

Положение равновесия системы является устойчивым, если при любом возможном малом отклонении от указанного положения система, будучи предоставлена самой себе, возвращается в это положение.

Положение равновесия системы является неустойчивым, если хотя бы при одном возможном малом отклонении от исходного положения система, будучи предоставлена самой себе, не возвращается в это положение и продолжает от него отклоняться.

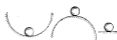


Рис. 20.1



Рис. 20.2

Положение равновесия системы является безразличным, если при любом возможном малом отклонении ее от исходного положения система, будучи предоставлена самой себе, остается в отклоненном положении.

Наглядным примером устойчивого, неустойчивого и безразличного положений равновесия являются положения тяжелого шара соответственно на волнутой, изгнутой и плоской поверхностях (рис. 20.1).

Изложенная выше постановка вопроса об устойчивости или неустойчивости механических и, в частности, упругих систем имеет большой практический интерес, так как в реальных условиях всегда

существуют какие-либо причины, которые по малости не учитывались при выборе расчетной модели конструкции и которые могут вызвать малые отклонения от исходного положения равновесия с последующим переходом системы в состояние нового состояния.

Из приведенных выше определений видно, что об устойчивости или неустойчивости положения системы судят по ее поведению после возможного малого отклонения от исходного положения. Однако для полного решения вопроса об устойчивости системы недостаточно последовать ее поведению только при малых, а точнее говоря, при бесконечно малых отклонениях. В некоторых случаях характер поведения системы различен при бесконечно малых и при конечных отклонениях.

Для пояснения этого рассмотрим тяжелый шар, находящийся на криволинейной поверхности сложного профиля (рис. 20.2). Поведение шара при конечных отклонениях существенно зависит от значения отклонения и от характера поверхности в пределах этого отклонения. Если шар, находящийся, например, в положении 2, которое является при малых отклонениях устойчивым, отклонить влево до положения 1, то он уже не вернется в исходное положение и окажется в состоянии безразличного равновесия. При отклонении шара вправо за точку 3 он будет продолжать удаляться от исходного положения, пока не придет в новое положение 4. Это новое положение при отклонениях в некоторых пределах будет устойчивым, а при превышении этих пределов (за точки 5 или 6) снова окажется неустойчивым. Следовательно, если конечное отклонение от исходного положения не превышает определенного значения, то поведение системы в трении остается таким же, как и при бесконечно малых отклонениях — она возвращается в исходное положение. Очевидно, значение конечных отклонений, при которых меняется характер поведения шара, зависит от размеров ступеньки, в которой он находится. Поскольку размеры ступеньки можно сделать сколь угодно малыми, тем самым можно довести до сколь угодно малых значений и предельные значения конечных отклонений, при которых меняется характер равновесия системы. Указанные предельные значения конечных отклонений характеризуют степень устойчивости системы. Например, положение шара в точках 4 и 6 являются устойчивыми при малых отклонениях. Однако, если положение 4 обладает высокой степенью устойчивости, для нарушения которой требуется преодолеть значительные барьеры, то положение 6 обладает лишь минимальной степенью устойчивости и в случае незначительных отклонений в любую сторону эта устойчивость исчезает.

При некоторых видах нагрузки для упругих систем характерны такие же состояния, как и описанные выше состояния шара на криволинейной поверхности. С возрастанием нагрузки от нуля упругая система вначале может находиться в устойчивом равновесии при любых отклонениях, не выходящих за пределы упругости, — как при малых, так и при конечных. Затем, если значения

нагрузки превышают некоторый предел, наступает состояние упругой системы, все еще устойчивое при малых отклонениях, но не устойчивое при конечных отклонениях определенного значения. Если же нагрузка доведена до некоторого критического значения, упругая система переходит в безразличное или неустойчивое состояние равновесия также и по отношению к малым отклонениям.

В последнем случае при сохранении критического значения сил возможны следующие три состояния: а) система получает конечное упругое отклонение и переходит в новое, устойчивое по отношению к малым отклонениям положение; б) система переходит в новое положение устойчивого равновесия в результате значительных отклонений и возможна неупругая деформация; в) система разрушается.

При исследовании устойчивости упругих систем в зависимости от конечных отклонений можно пользоваться упрощенными геометрически линейными уравнениями. В случае же исследования устойчивости по отношению к конечным отклонениям необходимо применять уточненные нелинейные уравнения, справедливые во всем диапазоне значений исследуемых деформаций, что существенно усложняет задачу.

В качестве иллюстрации изложенных положений рассмотрим устойчивость упругой системы, состоящей из абсолютно жесткого стержня, шарнирно опертого на одну жесткую и одну упругую опоры, при действии на систему продольной сжимающей силы (рис. 20.3).

Упругая опора представляет собой три совместно работающих на растяжение и сжатие идеально упругих стержня или арматуры. Коэффициенты жесткости при продольной деформации взаимных арматур есть K_1 и вертикальной — K . Зависимость между реакцией такой опоры R и ее просадкой φ при конечных значениях последней будет нелинейной и ее можно получить в следующем виде:

$$R = K\varphi \left[1 + 2 \frac{K_1}{K} \left(\frac{1}{\varphi} - 1 \right) \frac{1 - \sqrt{1 - (2 - \varphi) \varphi \sin^2 \alpha}}{\sqrt{1 - (2 - \varphi) \varphi \sin^2 \alpha}} \right]. \quad (20.1)$$

Здесь $\varphi = \varphi/h$, а остальные обозначения показаны на рис. 20.3.

Если ограничиться рассмотрением только малых просадок $\varphi \ll 1$, то зависимость (20.1) можно упростить и превратить в линейную, пренебрегая в числителе дроби величинами порядка φ^2 по сравнению с φ , а в знаменателе теми же величинами по сравнению с единицей:

$$R = K_0 \varphi, \quad (20.2)$$

где $K_0 = K + 2K_1 \sin^2 \alpha$.

Составим теперь уравнения равновесия стержня в отклоненном положении (см. рис. 20.3). Для упрощения выкладки предположим,

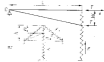


Рис. 20.3

что просадки упругой опоры w во всех случаях по крайней мере на порядок меньше длины стержня L . Это даст право, составляя уравнение, не учитывать горизонтальное смещение подвижного конца стержня при вывороте. Пренебрегая нулю сумму моментов всех сил относительно жесткой опоры, получим

$$T w - R L = 0, \text{ или } w(T - R L / \cos \varphi) = 0. \quad (20.3)$$

Отклоненное положение равновесия при $w \neq 0$, очевидно, будет возможно только при равенстве нулю выражения в скобках в уравнении (20.3), т. е. при

$$T = R L / \cos \varphi. \quad (20.4)$$

Исследование устойчивости при бесконечно малых отклонениях можно производить с помощью линейной зависимости (20.2), подстановка которой в формулу (20.4) дает

$$T - T_0 = K_0 L = (K + 2K_1 \sin^2 \alpha) L. \quad (20.5)$$

Таким образом, при значении сжимающей силы $T = T_0$ исходное положение системы становится безразличным для малых отклонений, так как при этом возможны другие равновесные положения $\varphi \neq 0$. Если $T < T_0$, исходное положение при малых отклонениях всегда устойчиво.



Рис. 20.4

Для установления зависимости между значениями силы T и просадки w , соответствующим равновесным состояниям при конечных отклонениях, необходимо воспользоваться общей формулой (20.1) для реакции R , после подстановки которой в уравнение (20.4) получим

$$T = K L \left[1 + 2 \frac{K_1}{K} \left(\frac{1}{\cos \varphi} - 1 \right) \frac{1 - \sqrt{1 - (2 - \varphi) \sin^2 \alpha}}{\sqrt{1 - (2 - \varphi) \sin^2 \alpha}} \right]. \quad (20.6)$$

На рис. 20.4 изображена кривая T равновесных состояний системы, представляющая зависимость (20.6) между величиной T/T_0 и φ при частных значениях параметров $\sin \alpha = 0,4$ и $K_1 = 3,125 K$.

Анализ полученных для рассматриваемого примера результатов показывает, что в диапазоне $0 < T < 0,42 T_0$ не существует таких значений силы T , при которых возможны отклоненные формы равновесия для малых или конечных отклонений. Следовательно, в этом диапазоне единственным и явным устойчивым положением равновесия будет исходное ($\varphi = 0$).

В диапазоне $0,42 T_0 < T < T_0$ каждому значению силы T соответствует три положения равновесия, одним из которых является

исходное положение, устойчивое при малых отклонениях. Два других положения равновесия при $\varphi \neq 0$ находятся на пересечении линии $T = \text{const}$ с кривой равновесных состояний. Например, сила $T = 0,7 T_0$ соответствует равновесным положениям при $\varphi = 0$, $\varphi = \varphi_1$ и $\varphi = \varphi_2$. Следовательно, отклонение системы от исходного положения равновесия ($\varphi = 0$) на величину $\varphi < \varphi_1$ не приводит к нарушению устойчивости и система будет возвращаться в это исходное состояние. При отклонении $\varphi \rightarrow \varphi_2$ система окажется в новом равновесном состоянии, которое, однако, является неустойчивым, как и все другие состояния на нисходящей ветви кривой ветви равновесных состояний. Действительно, для сохранения равновесия необходимо, чтобы при увеличении отклонения $\varphi > \varphi_2$ сила T увеличивалась, а при уменьшении отклонения $\varphi < \varphi_2$ уменьшалась. Если сила T сохраняет свое значение, то отклонение будет непрерывно увеличиваться или уменьшаться, пока система не придет к одному из двух других устойчивых положений при $\varphi = 0$ или $\varphi = \varphi_1$. При $\varphi = \varphi_2$, как и во всех других точках восходящей ветви кривой равновесных состояний, для увеличения отклонения требуется увеличение силы T , а для уменьшения — уменьшение силы T , следовательно, при неизменной силе система будет находиться в устойчивом состоянии. Таким образом, при отклонении $\varphi > \varphi_2$ система совершает перескок на исходное положение с $\varphi = 0$ в положении с $\varphi = \varphi_1$, и наоборот, если в положении при $\varphi = \varphi_1$ отклонить систему в сторону исходного положения, так что $\varphi < \varphi_1$, то система переключится в исходное положение с $\varphi = 0$.

Аналогичное положение занимает система при $T = 0,9 T_0$: при $\varphi = 0$, $\varphi = \varphi_3$, $\varphi = \varphi_4$. Предельное значение конечного термения, вызывающего перескок системы, с увеличением силы T все время уменьшается. Таким образом, по мере приближения значения силы T к значению T_0 исчерпывается запас устойчивости как по отношению к малым, так и по отношению к конечным отклонениям.

Значение $T = T_0 = 0,42 T_0$ является наименьшим значением, при котором возможна отклоненная форма равновесия при $\varphi = \varphi_5$. Это положение устойчиво в малом по отношению к отклонениям $\varphi < \varphi_1$ и неустойчиво по отношению к отклонениям $\varphi > \varphi_1$.

Наибольшая нагрузка T_0 , выше уровня которой система оказывается устойчивой не только при бесконечно малых, но и при конечных отклонениях, называется *максималь критической нагрузкой*. При нагрузках $T < T_0$ исходное положение является единственным устойчивым состоянием системы.

Значение $T = T_0$ соответствует неустойчивому исходному состоянию при $\varphi = 0$ даже по отношению к малым отклонениям. При этом значении системы аэрокосмический переходит в новое устойчивое положение при $\varphi = \varphi_5$. Наименьшая нагрузка T_0 , выше уровня которой система оказывается неустойчивой не только при конечных, но и при бесконечно малых отклонениях, называется *максималь критической нагрузкой*.

Большое значение для устойчивости имеют начальные отклонения системы от равновесной геометрической формы. Например, если при монтаже рассмотренной выше системы установить упругую опору так, что в деформированном состоянии подвешенный конец стержня будет отклонен от горизонтали на величину w_0 , а сила T будет по-прежнему действовать горизонтально, то уравнение равновесия системы (20.3) запишется в виде

$$T(w + w_0) - RL = 0, \text{ или } T = RL/(w + w_0). \quad (20.7)$$

Зависимость (20.7) при тех же значениях параметров, что и выше, и при $w_0 = w_0/h = 0,1$ представлена кривой II на рис. 20.4. Как видно, дополнительное отклонение w возрастает по мере возрастания силы T от нуля. Сначала этот процесс протекает медленно, а затем при $T = 0,6 T_c$ система совершает перескок, т. е. теряет устойчивость первоначального положения и переходит в положение с $w = -w_0$. Таким образом, ввиду наличия начального отклонения верхнее критическое значение силы снизилось в данном случае до 0,6 первоначальной величины. Нижнее критическое значение при этом уменьшилось незначительно.

Следует иметь в виду, что соотношение между верхней и нижней критическими силами, которое в приведенном примере составило $T_{up}/T_c = 0,42$, может колебаться для разных систем в определенных пределах: от единицы до отрицательных значений. Так, если в системе, показанной на рис. 20.3, наклонные пружины в упругой опоре расположить углом вниз, то можно получить, что исходное положение с $w = 0$ будет абсолютно устойчивым до значения $T = T_c$, после чего при возрастании значения силы $T > T_c$ возможны отклоненные состояния равновесия. При начальном отклонении кривая равновесных состояний также является все время восходящей, т. е. каждому значению силы T соответствует одно отклоненное устойчивое положение. Если наклонные пружины в упругой опоре убрать, то по отношению к достаточно малым отклонениям при $T = T_c$ система перейдет в безразличное состояние. Следовательно, в последних случаях понятие нижней критической силы теряет смысл. Именно последние случаи характерны для устойчивости стержня в стержневых системах, которые и будут рассматриваться в данной главе.

Для таких систем характеристикой устойчивости, как правило, является значение верхней критической нагрузки. Потеря устойчивости до отклонения к конечным перемещениям, связанная с перескоками (хлопками) системы при нагрузках, превышающих нижнее критическое значение, характерна для оболочек и будет подробнее рассмотрена в процессе их изучения.

Еще один фактор оказывает существенное влияние на устойчивость — физическая нелинейность (отступление от закона Гука), которая неизбежно проявляется при определенном уровне напряженности элементов упругой системы. Это вкратце будет рассмотрено в § 20.4. Сейчас же необходимо отметить, что по установившейся терминологии значения нагрузок, вызывающих потерю

устойчивости и определенных теоретически в предположении справедливости линейного закона Гука, называются алгебраическими нагрузками в честь Л. Эйлера, впервые решившего задачу об устойчивости свободно опертого скалоного стержня в 1744 г. Те же значения нагрузок, определенные экспериментально или теоретически, но с учетом отступлений от линейного закона Гука, называются критическими нагрузками.

Примененный выше метод исследования устойчивости систем называется статическим. Сущность статического метода, заключается в следующем. Система, находящаяся в положении статического равновесия, прилется малое отклонение и составляют дифференциальные или алгебраические (в зависимости от числа степеней свободы упругой системы) уравнения равновесия в отклоненном положении; силы инерции не учитывают, считая, что малое отклонение совершается весьма медленно. Если указанные дифференциальные или алгебраические уравнения равновесия системы в отклоненном положении допускают только одно решение, соответствующее исходному положению равновесия, то это положение системы является устойчивым. Если некоторым значениям нагрузки соответствует несколько решений, то наряду с исходной формой равновесия возможны отклонения. Следовательно, исходное положение равновесия является неустойчивым и происходит потеря устойчивости системы при статическом действии такой нагрузки. Как правило, уравнения равновесия системы удобнее составлять и исследовать относительно малых отклонений от исходного положения равновесия. Тогда исходному положению равновесия будет соответствовать нулевое решение уравнений равновесия, а наличие ненулевых решений этих уравнений будет свидетельствовать о потере устойчивости системы.

В статическом методе исследования устойчивости можно определять возможные равновесные положения системы не только посредством решения соответствующих дифференциальных уравнений равновесия, но и с помощью энергетических теорем, что не приводит к принципиальным изменениям самого статического метода.

Другим методом исследования устойчивости упругих систем является динамический метод. Динамический метод, подобно статическому, основан на решении уравнений равновесия в отклоненном (возмущенном) положении, которые, однако, составляются с учетом сил инерции и выступают уже как уравнения движения системы. По свойствам возмущенного движения можно судить об устойчивости или неустойчивости системы. Если возмущенное движение представляет затухающие колебания или незначительные малые колебания около исходного положения равновесия, то положение системы устойчиво. Если же возмущенное движение является колебательным или аperiodическим с возрастающей во времени амплитудой отклонения от исходного положения, то это положение системы будет неустойчивым. Динамический метод, являясь более общим по сравнению со статическим, оказывается и

более трудным в математическом отношении. Область применения динамического метода практически по ограничена и охватывает не только вопросы статической устойчивости, но и вопросы так называемой динамической устойчивости при переменных во времени нагрузках. В статических задачах устойчивости при консервативных, т. е. неизменяемых по значению и направлению силах, статический и динамический методы, как правило, дают одинаковые результаты. В других случаях статический метод или дает другие результаты по сравнению с динамическим (например, при неконсервативных силах), или неприменим вовсе (при быстро изменяющихся во времени динамических нагрузках). В динамическом методе также могут быть использованы энергетические теоремы.

В данном курсе излагаются только вопросы статической устойчивости упругих систем, как наиболее характерные и практически наиболее важные для строительной механики корабля.

В составе корпуса корабля многие элементы и конструкции — балки, пластины, оболочки, перекрытия, работают в условиях осевого сжатия как сплошное непрерывное состояние, при котором возможна потеря устойчивости, представляющая большую опасность для целостности и прочности корпуса. Этим и предопределяется значительное развитие теории устойчивости упругих систем в рамках строительной механики корабля.

§ 20.2. Устойчивость однопролетных центрально-сжатых стержней

При общем изгибе корпуса судна продольные балки судового набора (особенно палубные и днищевые) сжимаются значительными силами, которые могут вызвать потерю устойчивости. Для оценки степени устойчивости сжатых балок необходимо определить значения эйлеровых или критических сжимающих сил.

В этом параграфе будут изложены методы определения эйлеровых сил для однопролетных центрально-сжатых стержней с учетом того, что в ряде случаев для оценки устойчивости балок судового набора достаточно рассмотреть лишь один их пролет. При решении задач устойчивости для стержней будут применяться те же гипотезы и допущения, что и при сложном изгибе (см. § 19.1).

Дифференциальное уравнение устойчивости сжатого однопролетного стержня и граничные условия. Рассмотрим прямой центрально-сжатый однопролетный стержень, нагруженный и соответствующим образом закрепленный, как показано на рис. 20.5. Пользуясь статическим методом, для исследования устойчивости в плоскости Ox_1x_2 необходимо отклонить его в этой плоскости на малую величину $\omega(x)$. В отклоненном положении стержень будет испытывать сложный изгиб и его

деформированное состояние может быть описано дифференциальным уравнением (19.4), в котором следует принять в соответствии с условиями задачи $q = \omega_0 = 0$. Поскольку в задачах устойчивости сжимающую силу удобнее считать положительной в отличие от правила знаков при сложном изгибе (см. § 19.1), уравнение (19.4) применительно к данной задаче можно записать в виде

$$(EI\omega''')' + T\omega'' = 0, \quad (20.8)$$

где $EI = EI(x)$ — изгибная жесткость сечения стержня в плоскости Ox_1x_2 ; $T = T_2 + \int_0^x p(x) dx$ — сжимающая сила в сечении стержня с координатой x .

Граничные условия для дифференциального уравнения (20.8) можно получить из граничных условий для сложного изгиба (19.7) и (19.8), полагая $\omega_0 = 0$:

$$\left. \begin{aligned} \text{при } x=0 \\ \omega(0) = -A_1 [(EI\omega''')' + T\omega'']_{x=0} \quad \omega'(0) = A_2 EI(0) \omega''(0) \\ \text{при } x=l \\ \omega(l) = -A_3 [(EI\omega''')' + T\omega'']_{x=l} \quad \omega'(l) = -A_4 EI(l) \omega''(l) \end{aligned} \right\} (20.9)$$

Как дифференциальное уравнение (20.8), так и уравнения граничных условий (20.9), являются однородными относительно прогиба ω и его производных. Указанные уравнения имеют тривиальное решение $\omega = 0$.

Если данное решение оказывается единственно возможным при любых значениях параметра T , то прямолинейное положение стержня всегда устойчиво по отношению к любым малым отклонениям $\omega \neq 0$. Если при некоторых значениях силы T существует ненулевое решение $\omega \neq 0$ уравнений (20.8) и (20.9), то это значит, что при данном значении T стержень сможет иметь искривленные формы равновесия и его прямолинейное положение не будет устойчивым. Следовательно, задача сводится к исследованию возможных ненулевых решений уравнений (20.8) и (20.9), что сделано ниже для конкретных случаев.

Устойчивость прямолинейного однопролетного стержня при осевой сжимающей силе. Для указанных стержней $EI = \text{const}$, $T(x) = T_2 = T = \text{const}$ и дифференциальное уравнение (20.8) упрощается:

$$EI\omega'''' + T\omega'' = 0. \quad (20.10)$$

Общее решение этого уравнения в соответствии с формулой (19.19) можно записать так:

$$\omega = B_0 + B_1 \beta x + B_2 \cos \beta x + B_3 \sin \beta x, \quad (20.11)$$

где

$$\beta = \sqrt{T/EI}. \quad (20.12)$$

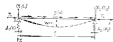


Рис. 20.5

Произвольные постоянные B_1 должны определяться из граничных условий задачи, в результате чего и может быть решен вопрос о существовании ненулевого решения (20.11).

Устойчивость свободно открытого стержня (рис. 20.6). В этом случае $A_1 = A_2 = 0$, $\mathfrak{B}_1 = \mathfrak{B}_2 = \infty$ и граничные условия при $x=0$ и $x=l$ в соответствии с (20.9) имеют вид $\omega(0) = \omega'(0) = \omega(l) = \omega'(l) = 0$. Подставляя выражение (20.11)

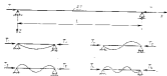


Рис. 20.6

в данные условия при $x=0$ и сокращая на коэффициент $\beta \neq 0$, получаем $B_1 + B_2 = 0$; $B_2 = 0$, или $B_1 = 0$. Используя полученные значения x подставляя прогиб (20.11) в граничные условия при $x=l$, находим

$$\left. \begin{aligned} B_1 \beta l + B_1 \sin \beta l &= 0; \\ B_1 \beta^2 \sin \beta l &= 0. \end{aligned} \right\} \quad (20.13)$$

Эта система имеет очевидное нулевое решение $B_1 = B_2 = 0$, которому вследствие выражения (20.11) соответствует неискривленная форма равновесия стержня $\omega = 0$.

Ненулевое решение $B_1 \neq 0$, $B_2 \neq 0$ полученная система может иметь в том случае, когда ее определитель равен нулю:

$$\begin{vmatrix} \beta l & \sin \beta l \\ 0 & \beta^2 \sin \beta l \end{vmatrix} = \beta^3 l \sin \beta l = 0.$$

Так как $\beta^3 l \neq 0$, определитель будет равен нулю, если $\sin \beta l = 0$, т. е. при $\beta l = n\pi$, где n — любое целое число. В этом случае система (20.13) имеет решение $B_1 = 0$, $B_2 \neq 0$, причем величина B_2 может быть произвольной. Таким образом, при $\beta l = n\pi$ стержень может находиться в отклоненном состоянии равновесия с

$$\omega = B_2 \sin n\pi x/l, \quad (20.14)$$

где B_2 имеет неопределенное значение. Условие $\beta l = n\pi$ будет выполнено, если

$$T = \beta^2 EI = n^2 \pi^2 EI/l^2. \quad (20.15)$$

Полученные результаты можно суммировать следующим образом. Значения силы T при $n = 1$

$$T = T_1 = \pi^2 EI/l^2 \quad (20.16)$$

соответствуют вследствие неопределенности величины B_2 бесконечное множество положений равновесия изогнутого стержня по форме

$$\omega_1 = B_2 \sin \pi x/l. \quad (20.17)$$

Следовательно, в этом случае стержень переходит в безразличное состояние равновесия по отношению к отклонениям от первоначального положения по одной половине синусоиды (20.17). При других значениях $n = 2, 3, \dots$ значениями силы $T_2 = 4T_1$, $T_3 = 9T_1$ и т. д. соответствуют свои формы безразличного равновесия с $\omega_2 = B_2 \sin 2\pi x/l$, $\omega_3 = B_2 \sin 3\pi x/l$ и т. д. (см. рис. 20.6). Однако эти значения силы T не представляют интереса, так как уже при $T \geq T_1$ стержень переходит в неустойчивое положение равновесия по отношению к изгибу по первой форме ω_1 . Поэтому значение (20.16) силы T_1 является эйлеровой силой свободно открытого призматического центрально-сжатого стержня ($T_1 = T_E$).

Как было упомянуто выше, форма потери устойчивости определяется с точностью до постоянного множителя, который теоретически может быть сколь угодно большим. Этот результат является следствием использования приближенных линейных уравнений, которые справедливы, как известно, только при малых перемещениях. Для исследования поведения стержня при больших отклонениях после потери устойчивости ($T > T_E$) необходимо было бы применить более точные нелинейные уравнения теории упругости и пластичности. Однако расчеты и опыты показывают, что в зависимости от степени начальных несовершенств при значениях сжимающих сил, близких к эйлеровым значениям, в стержнях появляются значительные упругие и пластические деформации, которые, как правило, недопустимы для несущих элементов. Поэтому эйлерово значение сжимающей силы является одной из важнейших характеристик несущего элемента — стержня.

Устойчивость жестко заделанного стержня (рис. 20.7). По сравнению с предыдущим в данном случае изменяются только граничные условия: $A_1 = A_2 = \mathfrak{B}_1 = \mathfrak{B}_2 = 0$, поэтому уравнения (20.9) запишутся так: $\omega(0) = \omega'(0) = \omega(l) = \omega'(l) = 0$.

Подняв прогиб (20.11) граничным условиям при $x=0$, находим $B_2 = -B_1$, $B_3 = 0$, а подыняв его граничным условиям при $x=l$, с учетом последних результатов получаем

$$\left. \begin{aligned} B_1(1 - \cos \beta l) + B_1(\beta l - \sin \beta l) &= 0; \\ B_0 \sin \beta l + B_1(1 - \cos \beta l) &= 0. \end{aligned} \right\} \quad (20.18)$$



Рис. 20.7

Не нулевые решения этой системы для B_1 возможны только в случае равенства ее определителя нулю. Раскрывая определитель, после простых тригонометрических преобразований получим следующее уравнение:

$$(\operatorname{tg} \beta/2 - \beta/2) \sin \beta/2 = 0, \quad (20.19)$$

которое можно записать в виде двух самостоятельных уравнений: $\sin \beta/2 = 0$; $\operatorname{tg} \beta/2 = \beta/2$. Решение первого уравнения очевидно: $\beta l = 2\pi n$, где n — любое целое число. Решение второго уравнения не может быть получено точно, но нетрудно показать, что значения его корней β больше соответствующих корней первого уравнения.

Таким образом, представляющий интерес наименьший корень уравнения (20.19) будет $\beta_1 = 2\pi/l$ (при $n = 1$), что соответствует следующему значению эйлеровой силы:

$$T_1 = 4\pi^2 EI/l^2, \quad (20.20)$$

Форма потери устойчивости жестко заданного стержня, соответствующая эйлеровой силе (20.20), будет определяться выражением:

$$\omega_1 = B_0(1 - \cos 2\pi x/l).$$

Такая форма получается после подстановки в выражение (20.11) значений произвольных постоянных $B_1 = 0$, $B_2 = B_0$ и $B_3 = 0$. Значение $B_1 = 0$ можно найти из второго уравнения (20.18) при $\beta l = 2\pi n$.

Таким образом, эйлерова сила для жестко заданного стержня в четыре раза больше эйлеровой силы для свободно опираемого стержня. Следовательно, увеличение жесткости заданки повышает однопролетного стержня приводит к увеличению эйлеровой силы. При упругой заданке опорных сечений эйлерова сила имеет промежуточные значения $\pi^2 EI/l^2 \leq T_1 \leq 4\pi^2 EI/l^2$. Это обстоятельство может быть использовано для увеличения устойчивости сваяных стержней путем увеличения жесткости заданки опорных сечений.

Общая схема расчета призматического стержня на устойчивость. Для решения задачи устойчивости однопролетного стержня при любых граничных условиях по концам необходимо:

1) на основании выражения (20.9) выписать граничные условия для рассматриваемого стержня;

2) подставить в граничные условия выражения прогиба (20.11) и получить систему однородных линейных алгебраических уравнений для определения произвольных постоянных B_i ;

3) приравнять нулю определитель полученной однородной системы и найти наименьший корень β характеристического уравнения;

4) подставить β в формулу (20.12) и найти эйлерову силу $T_1 = \beta^2 EI$;

5) для отыскания форм потерю устойчивости подставить β в однородную систему, полученную в п. 2, выразить все коэффициенты B_i через один из них и в результате подставить в формулу (20.11).

Математические трудности связаны в основном с выполнением п. 3, поскольку для отыскания β приходится в общем случае решать сложные трансцендентные уравнения.

Общая формула для эйлеровой силы призматического однопролетного стержня может быть представлена в виде

$$T_1 = \mu^2 EI/l^2, \quad (20.21)$$

где μ — коэффициент приведенной длины, зависящий от устройства опор стержня. Так, из формул (20.16) и (20.20) видно, что для свободно опираемого стержня $\mu = 1$, а для жестко заданного $\mu = 0,5$. Численные значения коэффициента μ при других граничных условиях приведены в справочной литературе [51, т. 3]. Например, для консольного стержня, один конец которого жестко заделан, а другой совершенно свободен, $\mu = 2$; для стержня, один конец которого свободно опирается, а другой жестко заделан, $\mu = 0,7$.

Формула (20.21) показывает, что эйлерова сила прямо пропорциональна изгибной жесткости стержня EI и обратно пропорциональна квадрату его длины l . Поэтому при необходимости повысить эйлерову силу следует увеличить размеры опорного сечения с целью увеличения EI или, если конструктивно возможно, уменьшить длину пролета стержня, например, установкой дополнительных опор.

Устойчивость непризматических однопролетных стержней при переменной по длине сжимающей силе. Общее решение уравнения (20.8) в общем случае при $l = l(x)$ и $T = T(x)$ не может быть получено в замкнутом виде и поэтому изложенная выше схема решения задачи об устойчивости призматических стержней при постоянных силах оказывается неприменимой. Для решения поставленной задачи используются приближенные методы Рунге, Вульфа — Галеркина, МКЭ, которые применительно к задаче сложного изгиба были рассмотрены в § 19.5. Так как дифференциальное уравнение устойчивости (20.8) является частным случаем уравнения сложного изгиба, все результаты, полученные в § 19.5, можно использовать и для решения задач устойчивости. Отличие будет состоять лишь в том, что в задачах устойчивости поперечная нагрузка q и начальный прогиб ω_0 равны нулю, вследствие чего разрешающее алгебраическое уравнение метода Рунге (19.70), метода Вульфа — Галеркина (19.73) и МКЭ для определения обобщенных координат, характеризующих прогиб стержня в отклоненном положении, будут однородными.

Чтобы обобщенные координаты имели ненулевые значения, т. е. для существования искривленной формы равновесия стержня, определители указанных выше однородных линейных систем

уравнений должны быть равны нулю, что и позволит получить характеристическое уравнение для вычисления эйлеровой силы.

Форма потерь устойчивости характеризуется некоторыми значениями обобщенных координат, определенных из однородных систем уравнений после подстановки в них эйлероваго значения силы. Указанная общая схема иллюстрируется ниже примерами.

Определение методом Рунта эйлеровой нагрузки свободно опертого стержня. Жесткость стержня и сжимающая сила меняются по линейному закону:

$$EI(x) = EI_0(1 - 0,5\xi); \quad T(x) = T_0(1 - \xi), \quad (20.22)$$

где $\xi = x/l$.

Учитывая, что координатные функции — синусы кратких дуг — удовлетворяют как каноническим, так и силовым условиям свободного опирания, применим формулу потерь устойчивости в виде

$$\omega = a_1 \sin n\xi + a_2 \sin 2n\xi. \quad (20.23)$$

Следует приведенной выше схеме определения эйлеровой нагрузки, составив систему уравнений для определения обобщенных координат a_1 и a_2 .

На основании формул (19.13) суммарная силовая функция для стержня в отклоненном положении будет равна ($q = q_0 = 0$)

$$H - U = \frac{1}{2} \int_0^l (EI\omega''^2 - T\omega'^2) dx, \quad (20.24)$$

Подставив выражения (20.22) и (20.23) в формулу (20.24) и используя уравнения метода Рунта $\frac{\partial(H-U)}{\partial a_1} = 0$; $\frac{\partial(H-U)}{\partial a_2} = 0$, после преобразований найдем

$$\left. \begin{aligned} (3-2\lambda)a_1 + [32/(9n^2)](4-5\lambda)a_2 &= 0, \\ [4/(9n^2)](4-5\lambda)a_1 + (6-\lambda)a_2 &= 0, \end{aligned} \right\} \quad (20.25)$$

где $\lambda = T_0 l^2 / (n^2 EI_0)$.

Приравняв нулю определитель этой системы, получаем следующее квадратное уравнение $\lambda^2 - 9\lambda + 11,1 = 0$, корни которого равны $\lambda_1 = 1,48$; $\lambda_2 = 7,53$. Меньший корень определяет приближенное значение эйлеровой нагрузки для рассматриваемого стержня

$$T_{0a} = \lambda_1 n^2 EI_0 / l^2 = 14,6 EI_0 / l^2. \quad (20.26)$$

Форму потерь устойчивости найдем по формуле (20.23), выражая a_2 через a_1 из любого уравнения системы (20.25) при $\lambda = 1,48$:

$$\omega = a_1 (\sin n\xi + 0,038 \sin 2n\xi).$$

Если бы в выражении (20.23) был оставлен только один первый член ($a_2 = 0$), то система (20.25) превратилась бы в одно

уравнение $(3-2\lambda)a_1 = 0$, корень которого $\lambda = 1,5$. В этом случае эйлерова сила равна

$$T_{0a} = 1,5n^2 EI_0 / l^2 = 14,8 EI_0 / l^2. \quad (20.27)$$

Значения (20.26) и (20.27) различаются всего на 1,4%. Это показывает, что результат (20.27) является практически точным, поскольку увеличение числа членов в выражении (20.23) не приводит к существенному изменению эйлеровой силы.

Для установления достоверности метода Рунта обычно поступают, как указано выше: определяют разницу в значениях T_0 , полученных для n и $(n+1)$ членов ряда в выражении для формы потерь устойчивости.

Существенно то, что метод Рунта дает зависящее или точное значение эйлеровых сил. Точное значение можно получить лишь в том случае, если форма потерь устойчивости точно аппроксимируется принятой для нее выражением. В других случаях значения эйлеровых сил будут заниженными. Однако это с тем, что определение положения системы ограниченным числом обобщенных координат равносильно возложению на нее дополнительных связей, увеличивающих жесткость системы и ее эйлерову нагрузку.

Таким образом, метод Рунта дает ошибку в осязную сторону, преувеличивая значение T_0 .

Определение методом Бубнова — Галеркина эйлеровой нагрузки стержня с характеристиками (20.22).

Поскольку координатные функции в выражении (20.23) удовлетворяют как каноническим, так и силовым граничным условиям, что является обязательным требованием в методе Бубнова — Галеркина, применим формулу потерь устойчивости в том же виде. Составили уравнения Бубнова — Галеркина для дифференциального уравнения устойчивости (20.8), получаем

$$\int_0^l [(EI\omega''')' + (T\omega')'] \sin n\xi d\xi = 0; \quad \int_0^l [(EI\omega'')'' + (T\omega'')'] \sin 2n\xi d\xi = 0.$$

Подставив в эти уравнения выражения (20.22) и (20.23), после интегрирования получим ту же, что и при расчете методом Рунта, систему (20.25) для определения a_1 . Следовательно, методы Бубнова — Галеркина и Рунта дадут одинаковые результаты, если координатные функции приняты одинаковыми.

Определение методом конечных элементов эйлеровой нагрузки призматического стержня. В этом случае стержень мысленно разбивается на конечные элементы, в пределах длины которых гибкость и сжимающая сила могут считаться практически постоянными. После отклонения от исходного положения равновесия сжатый стержень и каждый конечный элемент будет испытывать сложный изгиб при отсутствии поперечной нагрузки и начальной пошибы ($q = q_0 = 0$).

Положив в уравнении (19.86) вектор $\{P\}$ равным нулю и заменив растягивающую прикладываемую силу на сжимающую, получим следующее уравнение равновесия конечного элемента балки:

$$\{R\} = \{K\} - \{S\} \{v\}, \quad (20.28)$$

которое и используется для решения задач устойчивости стержневых систем по МКЭ.

Весь последующий алгоритм получения системы разрешающих уравнений для определения неизвестных узловых перемещений аналогичен тому, который был описан в § 11.9. При этом вместо матрицы конечного элемента $\{K\}$ всюду следует вносить матрицу $\{K\} - \{S\}$.

Устойчивость свободно опертого призматического стержня, лежащего на упругом основании. Рассмотрим случай, когда упругое основание имеет постоянный коэффициент жесткости k , а сила постоянна по длине (рис. 20.8).

В отклоненном положении стержень будет испытывать сложный изгиб под действием сжимающей силы T и поперечной нагрузки $q(x) = -kx(x)$, представляющей реакцию упругого основания. Поэтому дифференциальное уравнение (19.15) в данном случае будет иметь вид

$$EIw^{IV} + Tw'' + kw = 0, \quad (20.29)$$

а граничные условия при свободном опертении концов $w(0) = w''(0) = w(l) = w''(l) = 0$.

Решение дифференциального уравнения (20.29) можно искать в следующем удовлетворяющем всем граничным условиям виде:

$$w(x) = a \sin \alpha x / l, \quad (20.30)$$

где a — произвольная постоянная; n — любое целое число, определяющее число полуволн формы потери устойчивости.

Подставляя выражение (20.30) в уравнение (20.29), получаем

$$EI(\alpha l)^4 - T(\alpha l)^2 + k l^4 \sin^2 \alpha x / l = 0.$$

Для однозначного удовлетворения этого равенства при $a \neq 0$ необходимо приравнять нулю выражение в квадратной скобке, в результате чего можно найти значение силы T , при которой возможны отклоненные формы равновесия стержня:

$$T = \frac{\alpha^2 EI \alpha^2}{l^2} + k l^2 (\alpha l)^2. \quad (20.31)$$

Эйлера сила стержня будет равна наименьшему значению силы T . Поэтому целое число n должно быть определено из условия минимума выражения (20.31), которое представим в виде

$$T = (\alpha^2 EI / l^2) (n^2 + \gamma / \alpha^2), \quad (20.32)$$

$$\gamma = k l^4 (\alpha l)^2 EI, \quad (20.32')$$

где

Если упругое основание отсутствует ($k = 0$), то $\gamma = 0$ и минимум выражения (20.32) будет при $n = 1$. По мере увеличения γ минимум этого выражения оказывается при $n = 2, 3, \dots$ и в зависимости от этого стержень будет терять устойчивость по двум, трем и большому числу полуволн. Действительное число полуволн n должно давать меньшее значение для T , чем числа $(n-1)$ и $(n+1)$, т. е. должны соблюдаться неравенства

$$[(n-1)^2 + \frac{\gamma}{(\alpha l)^2}] > (n^2 + \frac{\gamma}{\alpha^2}) < [(n+1)^2 + \frac{\gamma}{(\alpha l)^2}].$$

Эти неравенства после простых преобразований можно записать так: $n^2(n-1)^2 < \gamma \leq n^2(n+1)^2$, откуда следует, что $0 \leq \gamma \leq 4$ при $n = 1$; $4 \leq \gamma \leq 36$ при $n = 2$; $36 \leq \gamma \leq 144$ при $n = 3$; $144 \leq \gamma \leq 400$ при $n = 4$ и т. д. Следовательно, при значениях γ , лежащих в указанных пределах, потеря устойчивости будет происходить по одной, двум, трем и большому числу полуволн. Если $\gamma = 4$, происходит переход от формы потери устойчивости по одной полуwave к стержню с двумя полуwave, при $\gamma = 36$ от двух полуволн к трем и т. д. Вообще, когда $\gamma = n^2(n+1)^2$, происходит переход от n -й полуwaveной формы потери устойчивости к $(n+1)$ -й, т. е. при указанных значениях γ возможны обе рассмотренные формы равновесия для одного и того же значения сжимающей силы.

С ростом коэффициента жесткости упругого основания увеличивается γ , число полуволн n , а следовательно, и эйлерова сила. При относительно жестком упругом основании, когда γ оказывается очень большим (10^4 и более), число полуволн и также большие (10 и более). В полученных выше неравенствах можно пренебречь единицей по сравнению с n , что приведет к приближенным зависимостям

$$n = \sqrt[4]{\gamma} = \sqrt[4]{k l^4 / (n^2 EI)}; \quad T_n = 2 \sqrt{k EI}.$$

Из этих формул следует, что в случае относительно жесткого упругого основания эйлерова сила стержня перестает зависеть от его длины.

При практическом росте скачала опережают параметр γ во формуле (20.32'), затем целое число n , удовлетворяющее приведенным выше неравенствам, и, наконец, по формуле (20.32) эйлерова сила.

Рассмотренные в данном параграфе методы определения устойчивости одноосевых стержней при малых отклонениях от первоначального положения равновесия позволяют решать точно либо приближенно любые задачи в этой области. Учет деформаций сдвига в реальных случаях для одноосевых по материалу стержней с незначительной стеской приводит к уменьшению эйлеровой силы всего лишь на доли процента. Поэтому методика учета указанного фактора здесь не приведена. Учет отступлений от закона Гука имеет более существенное значение. Данный вопрос будет рассмотрен в § 20.3.

§ 20.3. Влияние отступлений от закона Гука на устойчивость стержней

Полученные в § 20.2 формулы для эйлеровых сил не применимы, если потеря устойчивости сжатого стержня происходит при напряжениях, превышающих предел пропорциональности материала. Чтобы установить пределы применимости формулы (20.21) для эйлеровых сил, вычислим напряжения, соответствующие этой силе, — эйлеровым напряжениям σ_e . Разделив обе части формулы (20.21) на площадь поперечного сечения стержня F , получим

$$\sigma_e = T_e/F = \pi^2 EI / [(kL)^2 F] = \pi^2 E I_0 / \lambda_e^2 F \quad (20.33)$$

где $I_0 = I_0 / l^2$ — гибкость стержня ($l = \sqrt{IF}$ — радиус инерции поперечного сечения стержня).

Если в формуле (20.33) положить σ_e равным пределу пропорциональности материала $\sigma_{пр}$, то без труда установить, что эта формула применима, когда $\lambda_e \gg \pi \sqrt{EI_0 / \sigma_{пр}}$. Для малоуглеродистой стали при $\sigma_{пр} = 200$ МПа и $E = 2 \cdot 10^5$ МПа формула (20.33) применима при $\lambda_e \gg 100$.

В большинстве случаев размеры стержней в судовых конструкциях таковы, что для них $\lambda_e < 100$, и поэтому при исследовании устойчивости необходимо учитывать отступления от закона Гука. Следовательно, задача сводится к определению критической силы в соответствующих им критических напряжениях, которые, как уже указывалось, отличаются от эйлеровых сил и эйлеровых напряжений вследствие отступлений от закона Гука.

Как известно, состояние упругопластического тела зависит не только от значений действующих нагрузок, но и от порядка их приложения или изменения. Поэтому в упругопластической области, в отличие от упругой, возможны различные определения устойчивости и разнее постановка задачи.

Первая из таких постановок применительно к сжатым стержням принадлежит Ф. С. Яенскому (1895 г.), Ф. Энгесеру (1895 г.) и Т. Карману (1899 г.) и состоит в следующем.

Устойчивость стержня исследуется для некоторого постоянного значения сжимающей силы T при малых отклонениях от первоначальной формы равновесия. Иначе говоря, исследуется устойчивость одного из состояний равновесия сжатого стержня во время действия силы T без учета того, каким образом это состояние стержня достигнуто.

Пусть при напряжениях $\sigma > \sigma_{пр}$ происходит потеря устойчивости сжатого стержня, материал которого имеет диаграмму сжатия $\sigma - \epsilon$, показанную на рис. 20.9, а.

Когда стержень начинает изгибаться, то при неизменной сжимающей силе на вогнутой стороне стержня сжимающие напряжения увеличиваются, а на выпуклой — уменьшаются. Таким образом, на вогнутой стороне стержня происходит догрузка волокон, а на выпуклой — их разгрузка (рис. 20.9, б). В области попереч-

ного сечения, где происходит догрузка, между дополнительными напряжениями σ_1 и деформацией ϵ_1 справедлива зависимость

$$\sigma_1 = E_0 \epsilon_1 \quad (20.34)$$

где $E_0 = da/d\epsilon$ — касательный модуль упругости материала при напряжениях σ_1 , определяемый как тангенс угла α_1 наклона касательной AB к кривой механической диаграммы при $\sigma = \sigma_1$ (см. рис. 20.9, а). В области разгрузки по прямой AC между дополнительными напряжениями σ_2 и деформацией ϵ_2 имеется связь

$$\sigma_2 = E_0 \epsilon_2 \quad (20.35)$$

где E — модуль продольной упругости, определяемый как тангенс угла α и равный модулю Юнга в упругой области.

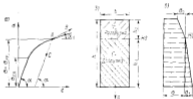


Рис. 20.9

Так как сжимающая сила при потере устойчивости предполагается неизменной, то равнодействующая дополнительных напряжений, возникающих при погibe, равна нулю, т. е.

$$\int_{F_1} \sigma_1 dF + \int_{F_2} \sigma_2 dF = 0, \quad (20.36)$$

где интегрирование ведется по площадям F_1 и F_2 зон догрузки и разгрузки (см. рис. 20.9, б).

В соответствии с гипотезой плоских сечений относительная деформация произвольного волокна равна $\epsilon = -z/\rho$, где z — расстояние произвольного волокна от нейтральной оси (НО) сечения; ρ — радиус кривизны НО стержня. Тогда зависимости (20.34) и (20.35) представим в виде

$$\sigma_1 = -E_0 z/\rho; \quad \sigma_2 = -E z/\rho \quad (20.37)$$

и подставим их в условие (20.36). После сокращений найдем условие для определения положения НО:

$$E_0 S_1 + E S_2 = 0, \quad (20.38)$$

где $S_1 = \int y dF$ и $S_2 = \int z dF$ — статические моменты площадей F_1 и F_2 относительно НО.

Приравняв сумму моментов внутренних сил относительно НО сечения внешнему изгибающему моменту M , получим $\int \sigma_x z dF + \int \sigma_y x dF = -M$. После подстановки выражений (20.37) в это равенство приходим к соотношению

$$(E_1 I_1 + E I_2) \varphi = M. \quad (20.39)$$

Здесь $I_1 = \int y^2 dF$ и $I_2 = \int z^2 dF$ — моменты инерции площадей F_1 и F_2 относительно НО.

Введем величину E_* , называемую приведенным модулем упругости и равную

$$E_* = (E_1 I_1 + E I_2) / I, \quad (20.40)$$

где I — центральный момент инерции всего поперечного сечения стержня. Тогда зависимость (20.39) можно переписать в виде

$$E_* \varphi = E_* I \varphi'' = M. \quad (20.41)$$

Формула (20.41) имеет ту же структуру, что и для упругой области при замене модуля упругости E приведенным модулем упругости (20.40). Это означает, что для получения зависимостей, характеризующих гибку стержня при потере устойчивости за пределом упругости, в аналогичные зависимости упругого материала необходимо вместо E подставить приведенный модуль E_* . Поэтому критические нагрузки и напряжения будут определяться формулами для эйлеровых сил и напряжений при замене в них E на E_* . Таким образом, для неупругой области вместо выражений (20.21) и (20.33) будут иметь

$$T_{cr} = \pi^2 E_* I / (\mu l)^2; \quad \sigma_{cr} = \pi^2 E_* \rho^2 / \mu^2 l^2. \quad (20.42)$$

Сопоставляя формулы (20.21), (20.33) и (20.42), получаем

$$T_{cr} = \varphi T_e; \quad \sigma_{cr} = \varphi \sigma_e. \quad (20.43)$$

где $\varphi = E_* / E$ — безразмерный коэффициент, учитывающий влияние отсталости от закона Гука. Зависимости (20.43) показывают, что для определения критических нагрузок и напряжений необходимо знать величину эйлеровых нагрузок и напряжений, а также коэффициент φ , учитывающий отсталость от закона Гука.

Коэффициент φ зависит от приведенного модуля E_* , который, в свою очередь, вследствие выражения (20.40) зависит от σ_{cr} , ведь диаграммы сжатия и формы поперечного сечения стержня. Сопоставительные расчеты показывают, что влиятельные формы поперечного сечения на значения приведенного модуля E_* и коэффициента φ

небольшо. Поэтому обычно значения этих величин определяют для прямоугольного или двутаврового поперечного сечения.

Для прямоугольного сечения с размерами b и h (см. рис. 20.9, б) условие (20.38) нетрудно привести к виду $E_1 h^3 - E h^3 = 0$, откуда, учитывая, что $k_1 + k_2 = h$, можно получить $k_1 = h \sqrt{E_1} / (\sqrt{E} + \sqrt{E_1})$; $k_2 = h \sqrt{E_1} / (\sqrt{E} + \sqrt{E_1})$. Используя эти значения для вычисления I_1 и I_2 и подставляя их в формулу (20.40), найдем

$$E_* = \frac{E_1 h^3 / 3 + E h^3 / 3}{\alpha^2 / 12} = \frac{4 E E_1}{(\sqrt{E} + \sqrt{E_1})^2}. \quad (20.44)$$

Согласно формулам (20.43) и (20.44)

$$\varphi = 4 E_* / (\sqrt{E} + \sqrt{E_1})^2. \quad (20.45)$$

Так как касательный модуль E_* зависит от значений напряжений, по формуле (20.45) и диаграмме сжатия материала стержня может быть построена зависимость коэффициента φ от напряжений $\sigma = \sigma_{cr}$ или же с помощью второго выражения (20.43) — зависимости критических напряжений σ_{cr} от эйлеровых σ_e . Расстояние одной из этих зависимостей, при известном эйлеровом напряжении σ_e , нетрудно найти коэффициент φ и критическое напряжение σ_{cr} .

Таким образом, формулы (20.43) и (20.45), в которых используется понятие приведенного модуля E_* , позволяют определить значения критических сил и напряжений за пределом упругости, когда потеря устойчивости происходит при неизменной сжимающей силе.

Вторая постановка задачи устойчивости стержней за пределом упругости была предложена Ф. Шелли (1946 г.). В этой постановке предполагается, что потеря устойчивости происходит при возрастающей сжимающей нагрузке. Поэтому зоны разгрузки могут появиться лишь по мере увеличения прогибов стержня в тех поперечных сечениях, где достигнутые изгибающие напряжения наибольшие (т. е. в районе наибольшей кривизны оси стержня). В момент потери устойчивости, когда прогибы бесконечно малы, разгрузка будет происходить лишь в близлежащей малой зоне к длине, так и по высоте стержня. Практически можно считать, что в момент потери устойчивости при возрастающей нагрузке зоны разгрузки отсутствуют и что дополнительные изгибающие напряжения во всех сечениях стержня определяются через деформации (прогибы) по касательному модулю E_* . Тогда формулы для критических сил и напряжений, отвечающих моменту потери устойчивости, будут следующими:

$$T_{cr} = \pi^2 E_* I / (\mu l)^2; \quad \sigma_{cr} = \pi^2 E_* \rho^2 / \mu^2 l^2. \quad (20.46)$$

Так как всегда $E_* < E$, то критическая нагрузка (20.46) меньше нагрузки (20.42), определенной по приведенному модулю E_* . Указанное различие значений критических нагрузок, очевидно, объясняется различиями постановками задачи устойчивости стержней.

Если исследуется устойчивость стержня при неизменной сжимающей нагрузке, то при значении силы $T < T_{cr}$ будет устойчивое состояние равновесия — сжатие. В случае $T = T_{cr}$ стержень перейдет в безразличное состояние равновесия и его прогиб w останется неизменяемым (рис. 20.10, кривая 1).

Если исследуется устойчивость стержня в постановке Шелли, т. е. при возрастающей сжимающей нагрузке, то при значении силы $T < T_{cr}$ будет одно состояние равновесия — сжатие. При $T > T_{cr}$ происходит увеличение деформации сжатия и непрерывное увеличение нагрузки. Каждому значению силы $T > T_{cr}$ соответствует также определенное значение прогиба (рис. 20.10, кривая 2). При бесконечно малых приращениях сжимающей силы возможен только

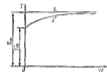


Рис. 20.10



Рис. 20.11

бесконечно малые прогибы стержня с появлением бесконечно малых зон разгрузки и лишь при больших приращениях силы появляются значительные зоны разгрузки, сопротивление стержня изгибу возрастает, а сжимающая сила T стремится к T_{cr} .

Таким образом, касательно-модульная нагрузка T_{cr} и приведенно-модульная нагрузка T_{cr} имеют вполне определенное физическое содержание: при нагрузке T_{cr} излучивание лишь начинается, а при нагрузке T_{cr} прогибы стержня становятся бескрайневыми.

При испытаниях стержней на устойчивость обычно реализуются условия Шелли: нагрузка, создаваемая испытательной машиной, непрерывно возрастает. Однако при $T = T_{cr}$ прогиб прямого стержня еще равен нулю. Потеря устойчивости регистрируется в момент появления явной выраженной формы потери устойчивости, когда прогиб стержня w достигает некоторого конечного значения. Поэтому измеренная критическая сила T будет находиться между T_{cr} и T_{cr} , как правило, ближе к касательно-модульной нагрузке T_{cr} .

Для реальных материалов касательно-модульная и приведенно-модульная нагрузки мало отличаются одна от другой. Но в то же время расчет стержней на устойчивость по касательно-модулю

дает нижнюю границу для критических напряжений σ_{cr} и поэтому позволяет принять наиболее осторожные решения.

В практике судостроительных расчетов используют обобщенные графики, построенные по экспериментальным данным, или справочные таблицы, устанавливающие зависимость между σ_{cr} и λ . На рис. 20.11 приведены указанные графики для судостроительных сталей (кривая 1) и алюминивно-магниевых сплавов (кривая 2) [54, т. 3]. По осам координат отложены безразмерные величины σ_{cr}/σ_0 и σ_0/σ_0 , где σ_0 — предел текучести материала.

Эти графики позволяют весьма просто решать следующие две задачи устойчивости стержней за пределом текучести.

1. Заданы размеры стержня, его материал и устройство опор. Необходимо определить критические напряжения σ_{cr} .

По теоретическим формулам типа (20.33) находят эйлерово напряжение σ_E ; вычисляют отношение σ_E/σ_0 и по графикам рис. 20.11 определяют σ_{cr}/σ_0 , а затем и σ_{cr} .

2. Заданы устройство опор стержня, его длина, материал и критические напряжения σ_{cr} . Необходимо подобрать поперечное сечение стержня, чтобы ему была обеспечена устойчивость при данных σ_{cr} .

Для заданного σ_{cr} определяется отношение σ_{cr}/σ_0 , затем по графику рис. 20.11 находят σ_E/σ_0 и по формуле (20.43) — коэффициент

$$\varphi = \sigma_{cr}/\sigma_E \quad (20.47)$$

Используя этот результат и выражения (20.42), можно получить следующую формулу:

$$I/F = \sigma_{cr} (\mu L)^2 / (\varphi \pi^2 E),$$

а затем подбором определять размеры поперечного сечения стержня.

Из зависимостей между σ_{cr} и λ следует важный вывод о том, что при допущении сжимающими напряжениями σ стержень теряет устойчивость. Поэтому σ можно считать верхним пределом критических напряжений σ_{cr} , если материал имеет площадку текучести.

§ 10.4. Устойчивость многопролетного стержня на равноотстоящих упругих опорах

Расчет на устойчивость многопролетных стержней на упругих опорах имеет в строительной механике корабля самостоятельное значение и, кроме того, применяется при определении устойчивости силных судовых переборок.

Рассмотрим задачу об устойчивости сжатого двухпролетного стержня со средней упругой опорой (рис. 20.12), а затем обобщим эти результаты на случай большего числа пролетов. На крайних опорах стержень свободно оперт, имеет одинаковые пролеты a и постоянную по длине гибкую жесткость EI . Для исследования

стержня на устойчивость, отклоним его от положения равновесия так, что упругая опора получит просадку φ и в сечении стержня на опоре возникнет изгибающий момент M . Статическая неопределенность стержня на основании общих формул (19.65) раскрывается уравнением

$$\left. \begin{aligned} (\sin 2\alpha - 2\nu \cos 2\alpha) M + 4\alpha^2 \sin 2\alpha \frac{EI}{l^2} \varphi &= 0; \\ 2M + \frac{8\alpha^2 EI}{\pi^2} \left(1 - \frac{K\alpha^2}{8\pi^2 EI}\right) \varphi &= 0, \end{aligned} \right\} \quad (20.48)$$

где $\alpha = (a/2) \sqrt{T/KEI}$. При записи уравнений (20.48) как частного случая уравнений (19.65) было учтено, что на упругой опоре $M_1 = M$ и $\varphi_1 = \varphi$, на свободных опорах $M_{1+1} = M_{1-1} = 2M_1 = 2M$ и поперечная нагрузка $Q_1 = 0$.

Для уравнения (20.48), представляющие условие совместности угловых деформаций на упругой опоре и зависимость между прогибом и реакцией этой опоры, определяют M и φ в отклоненном



Рис. 20.12



Рис. 20.13

положении стержня. В общем случае при отклонении стержня одновременно $M \neq 0$ и $\varphi \neq 0$. Необходимо приравнять нулю определитель системы (20.48), чтобы были возможны ненулевые решения. Приравняв нулю определитель системы, после преобразований получим

$$\operatorname{tg} 2\alpha = 2\alpha \left[1 - \frac{8\alpha^2 EI(K\alpha^2)}{\pi^2}\right]. \quad (20.49)$$

Уравнение (20.49) является трансцендентным и поэтому может быть решено лишь приближенно, например графическим способом. Наименьший корень уравнения α_c на основании указанной выше зависимости между T и α определяет эйлерову силу для рассматриваемого стержня

$$T_c = (2\alpha_c)^2 EI/a^2. \quad (20.50)$$

Однако формула (20.50) применима лишь до тех пор, пока удовлетворяет условию $T_c \ll \pi^2 EI/a^2$, а следовательно, аргумент $2\alpha_c$ — неравенству $2\alpha_c \ll \pi$. Верхний предел означает случай, когда потеря устойчивости происходит с образованием на длине стержня двух волн и каждый его пролет ведет себя как отделившаяся свободно опертая балка (рис. 20.13).

Интересным является тот факт, что своего верхнего предела T_c балка достигает раньше, чем жесткость опор оказывается бесконечно большой, т. е. при конечной жесткости упругой опоры. Чтобы найти эту жесткость, подставим предельное значение аргумента $2\alpha_c = \pi$ в уравнение (20.49):

$$K_{\text{кр}} = 2\pi^2 EI/a^2. \quad (20.51)$$

Жесткость упругой опоры (20.51), при которой эйлерова сила T_c достигает предельного значения $\pi^2 EI/a^2$, такого же, как и при абсолютной жесткой опоре, называется критической.

Зависимость T_c от жесткости K упругой опоры показана на рис. 20.14. Как видно из рисунка, нижний предел T_c отвечает случаю, когда упругая опора отсутствует ($K=0$) и эйлерова сила для стержня длиной $l=2a$ определяется формулой (20.16). С увеличением жесткости упругой опоры эйлерова сила увеличивается и достигает своего предельного значения при $K=K_{\text{кр}}$, а при дальнейшем увеличении жесткости остается постоянной. Таким образом, повышать устойчивость стержня за счет увеличения жесткости упругой опоры можно лишь до тех пор, пока эта жесткость не превышает критического значения. Это обстоятельство следует



рис. 20.14



Рис. 20.15

всегда иметь в виду при проектировании упругих опор исходя из условия устойчивости многораздельного стержня.

Полученные формулы нетрудно обобщить на случай потери устойчивости стержня за пределом упругости. Для этого в соответствии с результатами § 20.3 необходимо заменить модуль E на приведенный модуль E_r . Тогда, учитывая во внимание (20.43), зависимость (20.49)—(20.51) можно преобразовать следующим образом:

$$\left. \begin{aligned} \operatorname{tg} 2\alpha = 2\alpha \left[1 - \frac{8\alpha^2 E_r I(K\alpha^2)}{\pi^2}\right]; \\ T_{\text{кр}} = (2\alpha_c)^2 \eta EI/a^2; \quad K_{\text{кр}} = 2\pi^2 \eta EI/a^2. \end{aligned} \right\} \quad (20.52)$$

Формулы (20.52) позволяют найти значение критической силы $T_{\text{кр}}$ с учетом отстатичной от закона Гука.

Рассмотрим теперь сжатый призматический стержень, свободно опертый по концам на жесткие опоры и поддерживаемый одинаковыми равноотстоящими упругими опорами, число которых n (рис. 20.15).

Если стержень отклонить от прямолинейной формы равновесия, то упругие опоры получат просадки φ , а в опорных сечениях стержня возникнут изгибающие моменты M . Следовательно, в отклоненном положении рассматриваемый стержень будет испытывать сложный изгиб.

Для раскрытия статической неопределенности стержня в отклоненном положении воспользуемся уравнениями (19.65). Так как поперечная нагрузка отсутствует (все $Q_i = 0$), то для i -й опоры

уравнения (19.65) можно записать в виде

$$\left. \begin{aligned} (2\mu - \sin 2\mu)(M_{i-1} + M_{i+1}) + 2(\sin 2\mu - 2\mu \cos 2\mu)M_i + \\ + (2\mu)^2 EI \sin 2\mu (2\omega_i - \omega_{i-1} - \omega_{i+1}) = 0; \\ 2M_i - M_{i-1} - M_{i+1} + \\ + (2\mu)^2 EI (2[1 - K\alpha^2]/8\mu^2 EI) \omega_i - \omega_{i-1} - \omega_{i+1} = 0. \end{aligned} \right\} (20.53)$$

Уравнения (20.53), составленные для каждой упругой опоры, в совокупности дадут систему $2n$ уравнений, описывающую поведение стержня в отклоненном положении.

Решение системы (20.53) следующее:

$$M_i = M \sin j\mu/\alpha + 1; \quad \omega_i = \omega \sin j\mu/\alpha + 1, \quad (20.54)$$

где M и ω — некоторые постоянные; j — целое положительное число. Искомое решение удовлетворяет условиям свободного опирания на крайние жесткие опоры с номерами $i=0$ и $i=n+1$, так как при указанных значениях j выражения (20.54) дают $M_0 = -M_n = 0$; $M_{n+1} = \omega_{n+1} = 0$.

Подставляя выражения (20.54) в уравнения (20.53) и учитывая формулу для суммы синусов $\sin j(i+1)\mu/\alpha(n+1) + \sin j(i-1)\mu/\alpha(n+1) = 2 \sin j\mu/\alpha(n+1) \cos j\mu/\alpha(n+1)$, получаем

$$\left\{ \begin{aligned} [(2\mu - \sin 2\mu) \cos \frac{j\mu}{\alpha+1} + \sin 2\mu - 2\mu \cos 2\mu] M + \\ + \frac{4\mu^2 EI}{\alpha^2} \sin 2\mu \left(1 - \cos \frac{j\mu}{\alpha+1}\right) \omega \sin \frac{j\mu}{\alpha+1} = 0; \\ \left[\left(1 - \cos \frac{j\mu}{\alpha+1}\right) M + \right. \\ \left. + \frac{4\mu^2 EI}{\alpha^2} \left(1 - \frac{K\alpha^2}{32\mu^2 EI} - \cos \frac{j\mu}{\alpha+1}\right) \omega \right] \sin \frac{j\mu}{\alpha+1} = 0. \end{aligned} \right\} (20.55)$$

Таким образом, если соотношения (20.55) удовлетворены, то уравнения (20.53) для каждой i -й опоры будут также удовлетворены.

Из выражений (20.54) видно, что целое число j есть количество полуволн на всей длине стержня в отклоненном положении, т. е. при потере устойчивости. Очевидно, что минимальное число полуволн при потере устойчивости может быть равно числу пролетов стержня $(n+1)$, когда в каждом пролете образуется по одной полуволне, а минимальное их число равно единице, так что $1 \leq j \leq (n+1)$.

Если $j = n+1$, то $\sin j\mu/\alpha + 1 = 0$ и уравнения (20.55), в следовательно, и (20.53) удовлетворены. При этом из выражений (20.54) следует, что на каждой упругой опоре наибольшие моменты и провалы опор $M_i = \omega_i = 0$ и каждый пролет находится в условиях свободного опирания на жесткие опоры. Эйлерова сила для всего стержня определяется как эйлерова сила одного пролета длиной α при свободном его опирании на жесткие опоры по полученной ранее формуле (10.16):

$$T_0 = \pi^2 EI/\alpha^2. \quad (20.56)$$

Если $j \leq n$, то $\sin j\mu/\alpha + 1 \neq 0$ и уравнения (20.55) можно сократить на ненулевой множитель. Определяя систему (20.55) следует приравнять нулю, так как только в этом случае возможны ненулевые решения для M и ω , т. е. потеря устойчивости полой формы равновесия стержня.

Параметры жёстко определитель системы (20.55) и решая полученное уравнение относительно коэффициента жесткости K упругих опор, получим следующее уравнение, устанавливающее зависимость между параметрами упругой системы и значением силы T_0 , при котором происходит потеря устойчивости:

$$K = \alpha^2 EI/T_0(\lambda/\alpha)^2, \quad (20.57)$$

где

$$x_j(\lambda) = \frac{2\lambda(\lambda)}{\alpha^2} \left(1 - \cos \frac{j\mu}{\alpha+1}\right) \frac{\cos \mu/\alpha(n+1) - \cos \mu \sqrt{\lambda}}{\cos \mu/\alpha(n+1) + B(\lambda)}; \quad (20.58)$$

Здесь

$$\lambda = (2\mu/\alpha)^2. \quad (20.59)$$

$$A(\lambda) = \frac{6\mu \sqrt{\lambda} F}{\alpha \sqrt{\lambda} - 6\mu \alpha \sqrt{\lambda}}; \quad B(\lambda) = \frac{\sin \mu \sqrt{\lambda} - \mu \sqrt{\lambda} \cos \mu \sqrt{\lambda}}{\alpha \sqrt{\lambda} - 6\mu \alpha \sqrt{\lambda}}.$$

В уравнении (20.57) целочисленный параметр j изменяется в пределах $1 \leq j \leq n$.

Параметр λ , определяемый формулой (20.59), введен для удобства вычислений. Если подставить в (20.59) выражение для μ и учесть (20.56), то получим

$$\lambda = T_0 \alpha^2 (\pi^2 EI) = T_0/T_0, \quad (20.60)$$

т. е. параметр λ представляет отношение эйлеровой силы T_0 для всего стержня к эйлеровой силе T_0 одного пролета при свободном опирании его на жесткие опоры. Так как T_0 есть верхний предел эйлеровой нагрузки для стержня на упругих опорах, из формулы (20.60) следует, что всегда $\lambda \leq 1$.

Расчет устойчивости стержня на упругих опорах связан с решением уравнения устойчивости (20.57). Если параметры стержня и упругих опор заданы, то в уравнении (20.57) надо подобрать также число полуволн j , при котором λ оказывается минимальным, после чего эйлерова сила определяется из формулы (20.60):

$$T_0 = \lambda_{\min} T_0. \quad (20.61)$$

При определении коэффициента жесткости K , обеспечивающего стержню устойчивость при заданной эйлеровой силе T_0 , значение j должно быть подобрано так, чтобы при заданном $\lambda = T_0/T_0$ функция $x_j(\lambda)$ и, следовательно, K были наибольшими, поскольку при меньших значениях коэффициента жесткости упругой опоры эйлерова нагрузка окажется меньше.

Если стержень теряет устойчивость за пределами пропорциональности, то для определения критической сил T_0 модуль E в уравнении устойчивости надо заменить на предельный модуль

$E, -\varphi E$. Тогда формулы (20.56), (20.57) и (20.59) запишутся так:

$$T_{22} = \varphi T_{21}, \quad \lambda = T_{21}(\varphi T_{11}) = T_{21} \varphi^2 / \varphi n^2 EI; \quad (20.62)$$

$$K = \varphi n^4 EI \chi_2(\lambda) / \lambda^2, \quad (20.63)$$

Совместно с графиками, устанавливающими зависимость σ_{22} от σ_2 (см. рис. 20.11), формулы (20.62) и (20.63) позволяют решить задачу устойчивости рассматриваемого стержня за пределом упругости материала.

На рис. 20.16 приведены графики $\chi_2(\lambda)$, соответствующие $n=3$. Из графиков видно, что необходимые для расчета максимальные значения $\chi_{2 \max}(\lambda)$ находятся на кривой $ABCD$, обвивающей совокупность кривых $\chi_2(\lambda)$.



Рис. 20.16

При $\lambda=1$ теоретически возможны формы потери устойчивости с числом полуволн, равным n или $(n+1)$; в таблице указаны только меньшее из этих чисел. При $n \geq 8$ значения функции (20.58), практически не зависящие от n , приведены в столбце $n=\infty$. Физически это объясняется тем, что в этом случае $n \geq 6$ упругие опоры можно заменить эквивалентным сплошным упругим основанием (см. § 20.2).

Число полуволн форм потери устойчивости стержня определяется из равенства

$$f^2(j-1)^2 < \gamma < f^2(j+1)^2, \quad (20.64)$$

где

$$\gamma = Kn^2(n+1)^2 / (\pi^2 EI) \quad (20.65)$$

для рассматриваемого случая определяется по формуле (20.32') при значении коэффициента жесткости упругого основания $k=K/a$ и полной длине стержня $l=a(n+1)$.

В заключение остановимся на определении критической жесткости опор $K_{кр}$, т. е. той жесткости, при достижении которой упругие опоры начинают вести себя при потере устойчивости стержня как абсолютно жесткие. Было уже выяснено, что верхним пределом критической нагрузки при абсолютно жестких опорах является величина T_{22} , соответствующая двукратной силе (20.56); при этом вследствие (20.62) верхней предел $\lambda=1$. Поэтому критическая жесткость упругих опор $K_{кр}$ определяется при $\lambda=1$ из уравнения устойчивости (20.63):

$$K_{кр} = (\varphi n^4 EI / \lambda^2) \chi_{2 \max}(1),$$

Таблица 20.1. Значения $\chi_{2 \max}$ и числа j

λ	$n=1$		$n=2$		$n=3$		$n=4$	
	$\chi_{2 \max}$	j	$\chi_{2 \max}$	j	$\chi_{2 \max}$	j	$\chi_{2 \max}$	j
0	-0,852	1	-0,012	—	-0,004	—	-0,002	—
0,1	-0,837	1	-0,001	—	0,002	1	0,002	1
0,2	-0,813	1	0,010	1	0,009	1	0,006	1
0,3	0,203	1	0,021	1	0,015	1	0,023	2
0,4	0,238	1	0,032	1	0,026	2	0,039	2
0,5	0,264	1	0,044	1	0,034	2	0,055	2
0,6	0,280	1	0,072	2	0,050	2	0,090	3
0,7	0,317	1	0,121	2	0,117	2	0,139	3
0,8	0,344	1	0,175	2	0,161	3	0,171	3
0,9	0,373	1	0,235	2	0,224	3	0,216	3
0,95	0,388	1	0,268	2	0,256	3	0,270	4
1	0,393	1	0,304	2	0,246	3	0,290	4

λ	$n=5$		$n=6$		$n=7$		$\chi_{2 \max}$
	$\chi_{2 \max}$	j	$\chi_{2 \max}$	j	$\chi_{2 \max}$	j	
0	-0,001	—	-0,000	—	-0,000	—	0,000
0,1	0,002	1	0,007	1	0,002	2	0,008
0,2	0,010	2	0,010	2	0,009	2	0,011
0,3	0,021	2	0,022	3	0,023	3	0,028
0,4	0,038	3	0,040	3	0,038	4	0,041
0,5	0,064	3	0,059	3	0,054	4	0,064
0,6	0,090	3	0,092	4	0,090	4	0,092
0,7	0,121	3	0,126	4	0,126	5	0,129
0,8	0,175	4	0,165	5	0,173	5	0,174
0,9	0,235	4	0,239	5	0,234	6	0,238
0,95	0,262	5	0,281	5	0,285	6	0,285
1	0,278	5	0,285	6	0,291	7	0,295

где значение j должно быть принято таким, чтобы $\chi_2(1)$ была наибольшей. Подставив $\lambda=1$ в формулах (20.58), находим

$$\chi_2(1) = (2/n^2) [1 - \cos \pi n / (n+1)].$$

Функция $\chi_2(1)$ достигает наибольшего значения при $j=n$. Поэтому

$$\chi_{2 \max}(1) = (2/n^2) [1 - \cos \pi n / (n+1)] = (2/n^2) [1 + \cos \pi n / (n+1)].$$

Подставляя значение $\chi_{2 \max}(1)$ в выражение для $K_{кр}$, окончательно получим

$$K_{кр} = (\varphi n^4 EI / \lambda^2) [1 + \cos \pi n / (n+1)]. \quad (20.66)$$

Значения жесткости K в пределах от нуля до некоторой величины K_1 соответствуют потерю устойчивости по одной полуwave с отклонением всех опор в одну сторону. При изменении K в пределах $K_1 < K < K_2$, $K_2 < K < K_3$, ..., $K_n < K < K_{n+1}$ форма потери устойчивости будет соответственно иметь число полуwave, равное

2, 3, ..., $(n+1)$. В случае точного совпадения значения K с одним из значений K_0, K_1, \dots, K_{n+1} возможны одновременно обе смежные формы потерь устойчивости — по одной и двум полуосям, по двум и трем полуосям и, наконец, по n и $(n+1)$ полуосям при одной и той же критической силе. С увеличением K от нуля до K_{cr} монотонно увеличивается также кратчайшая и абсолютная сила, а при дальнейшем увеличении $K > K_{cr}$ вплоть до $K = \infty$ эти силы сохраняют постоянные значения, соответствующие значению $K = K_{cr}$ (см. рис. 20.14).

§ 20.5. Устойчивость плоских судовых перекрытий

Задача об устойчивости сжатых плоских перекрытий, особенно палубных перекрытий, наиболее нагруженных при обходе килебана и имеющих относительно небольшие размеры связей, представляет большой практический интерес.

Как и в задачах изгиба, в задачах устойчивости перекрытия рассматривается в виде плоской стержневой системы, состоящей из продольных и поперечных балок. Обшивка перекрытия включается в поперечные сечения балок полностью или частично в качестве присоединенных поясков, значения которых назначаются так же, как при изгибе перекрытий. Это объясняется тем, что при потере устойчивости плоского перекрытия возникает изгиб балок в плоскости, перпендикулярной плоскости перекрытия.

Конструкция палубных перекрытий современных судов бывает довольно сложной, а решение задач об устойчивости перекрытий оказывается трудным в математическом отношении. Здесь будут приведены только основные случаи, представляющие наибольший практический интерес и позволяющие изменить особенности расчета перекрытий на устойчивость.

Перекрытие, состоящее из большого числа одинаковых равноотстоящих продольных балок, сжатых одинаковыми силами T , и одинаковых равнонастроенных поперечных балок-бимсов (рис. 20.17). Упругих заделок всех бимсов вдоль каждой стороны обводного контура одинаковы. Продольные балки при $x=0$ и $x=l$ свободно оперты на жесткие опоры.

Таким простейшим перекрытием может быть участок палубного перекрытия или палубное перекрытие в целом. В последнем случае опорами перекрытия при $y=0$ и $y=L$ являются борты судна, а при $x=0$ и $x=l$ — поперечные переборки.

Для параметров перекрытия приняты следующие обозначения: Φ_1, Φ_2 — коэффициенты податливости упругих заделок бимсов при $y=0$ и $y=L$;

$$n_i = 1/(1 + 2\Phi_i E I_d / L), \quad i = 1, 2,$$

— коэффициенты опорных пар упругих заделок бимсов при $y=0$, $y=L$; I — момент инерции поперечного сечения продольных балок с присоединенным пояском; I_d — момент инерции поперечного сечения бимсов с присоединенным пояском; E — модуль Юнга материала перекрытия в упругой области. График для определения коэффициента Φ , учитывающего отступление от закона Гука, задан.

Предположим, что перекрытие потеряло устойчивость и получило некоторый малый прогиб $w(x, y)$. Прогиб перекрытия $w(x, y)$ при потере устойчивости можно представлять в следующем виде:

$$w(x, y) = X(x)Y(y), \quad (20.67)$$

где $X(x)$ — функция от x , являющаяся формой изгиба продольных балок; $Y(y)$ — функция от y , характеризующая форму изгиба бимсов.

При появлении прогиба перекрытия w между продольными балками и бимсами в узлах возникнут вертикальные реакции $R(x, y)$.

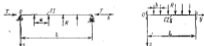


Рис. 20.18

Поэтому каждую продольную балку можно считать нагруженной в узлах вертикальными реакциями и сжимающей силой T , а каждый бимс — только вертикальными реакциями обратного направления (рис. 20.18). Поскольку форма изгиба всех продольных балок одинакова, их прогибы при одинаковых силах T должны быть пропорциональны поперечной нагрузке R и, следовательно,

$$R = K w, \quad (20.68)$$

где K — постоянный коэффициент пропорциональности между прогибом и узловыми реакциями.

Формулу (20.68) можно также получить, рассматривая соотношение между реакциями R и прогибами бимсов w , форма изгиба которых на основании (20.67) будет одинаковой.

Соотношение (20.68) показывает, что воздействие бимсов на продольные балки эквивалентно воздействию упругих опор с жесткостью K . Это позволяет свести расчет продольной балки, представленной на рис. 20.18, к расчету балки на упругих опорах с известной пока жесткостью K (рис. 20.19).

Для определения K рассмотрим изгиб бруса, создающего упругие опоры для продольных балок. Сосредоточенные реакции (20.68), действующие на брус со стороны продольных балок, при большом числе последних можно заменить распределенной нагрузкой R/b . Тогда дифференциальное уравнение изгиба бруса запишется в виде

$$EI \frac{d^4 w}{dy^4} = \frac{R}{b} - \frac{K}{b} w. \quad (20.69)$$

Если в уравнение (20.69) подставить выражение (20.67), то получим следующее уравнение для определения формы изгиба бруса $Y(y)$:

$$Y'''' - (\mu/L)^4 Y = 0, \quad (20.70)$$

где

$$(\mu/L)^4 = K/(bEI_0). \quad (20.71)$$

Общее решение линейного дифференциального уравнения (20.70) с постоянными коэффициентами можно записать в виде

$$Y = A \operatorname{ch} \mu y/L + B \operatorname{sh} \mu y/L + C \cos \mu y/L + D \sin \mu y/L, \quad (20.72)$$

где A, B, C, D — произвольно постоянные, определяемые из граничных условий для бруса.

Далее необходимо подчинить выражение (20.72) четырем однородным граничным условиям в опорных сеченьях бруса при $y=0$

и $y=L$ и получить систему однородных линейных алгебраических уравнений для расчета постоянных A, B, C, D . Так как при волеи устойчивости все эти постоянные одновременно не могут равняться нулю (иначе $Y=w=0$), определитель указанной однородной системы должен равняться нулю. Это условие дает характеристическое уравнение для вычисления неизвестного параметра μ , а тем самым, и K .

Характеристическое уравнение будет иметь бесконечное множество корней μ , и каждому значению μ будет соответствовать на основании формулы (20.71) определенное значение K . Из всех возможных значений K интерес представляет наименьшее значение, соответствующее наименьшему положительному корню μ , так как именно этому значению K отвечает наименьшее значение силы T , при которой возможны отклоненные формы равновесия, т. е. потеря устойчивости. Предела указанные вычисления, можно получить изтекая наименьших корней μ в зависимости от коэффициентов опорной пары брусом x_1 и x_2 . Результаты таких расчетов представлены в табл. 20.2, где даны значения $(x/\mu)_c$.

Подставляя в уравнение (20.63) устойчивости стержня на упругих опорах значение K , соответствующее наименьшему корню μ ,

получаем следующее уравнение устойчивости рассматриваемого простейшего перекрытия:

$$I_0 = (x/\mu)_c^2 (L/\alpha)^2 (L/b) q I_{x_{\max}}(\lambda). \quad (20.73)$$

Критическая сила входит в это уравнение через параметр λ , определенный второй формулой (20.62).

Анализируя уравнение (20.73), можно установить следующее. Так как функция $x_{\max}(\lambda)$ является возрастающей функцией аргумента λ , то и момент инерции брусом I_0 будет возрастать функцией λ . Это означает, что с увеличением момента инерции брусом, т. е. с ростом их жесткости, увеличивается и критическая нагрузка для перекрытия.

Предельную значение $\lambda = 1$ соответствует так называемое критическое значение момента инерции брусом

$$I_{0, \text{кр}} = (x/\mu)_c^2 (L/\alpha)^2 (L/b) q I_{x_{\max}}(1). \quad (20.74)$$

Если, не меняя остальных размеров перекрытия, увеличивать момент инерции брусом сверх $I_{0, \text{кр}}$, то критическая нагрузка перекрытия возрастать не будет. Это объясняется тем, что уже при критическом значении момента инерции брусом сослужат для продольных балок перекрытия абсолютно жесткие опоры. В этом случае продольные балки терять устойчивость в пределах между брусом не выходя изгиба последних. Характер влияния величины I_0 на устойчивость перекрытия нетрудно представить, если на графике рис. 20.14 заменить K на I_0 и $K_{\text{кр}}$ на $I_{0, \text{кр}}$. Как видно, повысить устойчивость перекрытия за счет увеличения момента инерции брусом можно только при $I_0 < I_{0, \text{кр}}$. Дальнейшее увеличение I_0 сверх критического значения не приводит к увеличению критической нагрузки.

В практических расчетах приходится решать две задачи, которые излагаются ниже.

Задача 1. Заданы размеры перекрытия l и L , число продольных балок m и число брусом n , момент инерции I и площадь f поперечного сечения продольных балок с присоединенными поперечными коэффициентами опорных пар уружков заделок брусом x_1 и x_2 , механические характеристики материала перекрытия $E, \nu, \phi(\sigma)$,

Таблица 20.2. Значения $(x/\mu)_c$ в зависимости от коэффициентов опорных пар брусом

α	x_1				
	0	0,25	0,50	0,75	1,00
0	1,000	0,889	0,758	0,600	0,450
0,25	0,889	0,769	0,644	0,545	0,379
0,50	0,758	0,664	0,585	0,479	0,335
0,75	0,600	0,545	0,479	0,398	0,379
1,00	0,450	0,379	0,335	0,279	0,188

Рис. 20.13.

критическое напряжение для продольных балок перекрытия $\sigma_{кр}$. Надо определить необходимый момент инерции бимсов I_0 , при котором обеспечивается устойчивость перекрытия при заданных напряжениях $\sigma_{кр}$.

Решение этой задачи выполняют следующим образом. Значения $(\mu/\mu_0)^4$ определяют по табл. 20.2 в зависимости от μ_0 и μ . Для заданных $\sigma_{кр}$ и σ_0 по графику рис. 20.11 находят отношение $\sigma_0/\sigma_{кр}$, а затем по формулам (20.47) и (20.62) вычисляют коэффициент φ , учитывающий отступление от закона Гука, и аргумент λ :

$$\varphi = \sigma_{кр}/\sigma_0; \quad \lambda = \sigma_{кр}/\sigma_0^2 (\varphi \mu^2 E). \quad (20.75)$$

По табл. 20.1 в зависимости от найденного значения λ и заданного числа бимсов n определяют $\chi_{1max}(\lambda)$. Далее рассчитывают необходимый момент инерции бимса I_0 по уравнению устойчивости (20.73).

Следует иметь в виду, что решение рассмотренной задачи возможно только в том случае, если полученное по формуле (20.75) значение $\lambda \leq 1$. При $\lambda = 1$ необходимый момент инерции бимсов, очевидно, окажется равным критическому $I_{0,кр}$. Если $\lambda > 1$, то поставленная задача не имеет решения, так как устойчивость заданных продольных балок не может быть доведена до заданного уровня $\sigma_{кр}$ даже при установке абсолютно жестких бимсов. В этом случае для повышения устойчивости приходится увеличивать число бимсов, т. е. уменьшать пролет a или увеличивать профиль продольных балок так, чтобы оказалось $\lambda \leq 1$.

При проектировании перекрытий по условиям устойчивости можно варьировать количеством и жесткостью бимсов и продольных балок. Исследования показывают, что оптимальные несомые и конструктивные показатели перекрытия получаются при сочетаниях варьируемых параметров, соответствующих значениям λ , близким к 0,8. Этот результат трудно объяснить: при $\lambda \geq 0,8$ функция $\chi_{1max}(\lambda)$ и, следовательно, необходимый момент инерции бимсов I_0 начинают резко возрастать, что приводит к большим размерам бимсов.

Задача 2. Задаками являются значения $l, L, a, b, I, I_0, \mu_0, \mu, E, \sigma_0$, зависимость для коэффициента φ и искомым — критическое напряжение $\sigma_{кр}$.

Решение выполняют с помощью уравнения устойчивости (20.73), представленного в виде

$$\chi_{1max}(\lambda) = (\mu_0/\mu)^4 (a/L)^2 (b/L) (I_0/I). \quad (20.76)$$

Правую часть этого уравнения легко вычисляют по известным данным, а искомое напряжение $\sigma_{кр}$ находят, исходя из коэффициентов φ и λ в левую часть уравнения. Поэтому решение уравнения (20.76) можно получить только численно, для чего необходимо задаться рядом значений λ в ожидаемом диапазоне и для каждого значения λ рассчитать $\chi_{1max}(\lambda)$, последовательно заполняя столбцы табл. 20.3. При этом на основании (20.75)

$$\sigma_0 = \lambda \mu_0; \quad \sigma_{кр} = \mu^2 E I / (I_0 \mu_0^2); \quad \varphi = (\sigma_{кр}/\sigma_0) / (\sigma_0/\sigma_{кр}).$$

Таблица 20.3. Формы для вычисления значений $\chi_{1max}(\lambda)$ по заданным значениям λ

λ	$\sigma_0/\sigma_{кр}$	$\sigma_{кр}/\sigma_0$	φ	$\chi_{1max}(\lambda)$	$\chi_{1max}(\lambda)$

Отношение $\sigma_{кр}/\sigma_0$ определяют по графику рис. 20.11 в зависимости от $\sigma_0/\sigma_{кр}$, а функция $\chi_{1max}(\lambda)$ находят по табл. 20.1. В качестве исходных значений λ в табл. 20.3 следует принимать значения λ , приведенные в табл. 20.1. Это обусловит интерполяции при определении $\chi_{1max}(\lambda)$ и тем самым сократит объем вычислений.

По данным табл. 20.3 графически или интерполяцией находят значение $\sigma_{кр}$, соответствующее значению правой части формулы (20.76).

Рассмотренная задача всегда имеет решение и возникает при проверочном расчете на устойчивость аэрокрытия, все размеры и материал которого выразим по другим соотношениям. Особым будет только случай, когда заданное значение $I_0 > I_{0,кр}$, т. е. когда бимсы являются жесткими опорами для продольных балок, а критическое напряжение легко определяется при рассмотрении одного пролета продольной балки между бимсами как свободно опертого изолированного стержня. Для этого случая уравнение (20.76) не имеет решения. Поэтому практический расчет следует начинать с вычисления по формуле (20.74) значения $I_{0,кр}$ и в зависимости от того, будет ли заданное значение I_0 меньше или больше $I_{0,кр}$, применять тот или иной способ.

Реальные судовые перекрытия часто не могут быть представлены решеткой с одной простейшей перекрытием. К таким перекрытиям относятся палубные перекрытия, водерделашные карлингсы, рамные бимсы, пиллерсы, а также перекрытия, имеющие значительные вырезы. Общий ход решения задачи об устойчивости перекрытия таких типов будет прежним; необходимо составить уравнение сложного изгиба сжатых балок с поперечного изгиба для бимсов при отклонении пологости перекрытия и дополнить их уравнениями совместности деформаций балок обеих направлений в узловых точках. Когда указанные уравнения изгиба и совместности деформаций будут выписаны, решение задачи устойчивости сводится к описанию вынужденных решений системы данных уравнений при заданных граничных условиях по концам балок перекрытия. Несмотря на принципиальную простоту, решение этой задачи в общем случае связано с большими математическими выкладками, что не позволяет включить их в данный курс. Некоторые результаты, имеющие важное практическое значение, приводятся ниже без выводов.

Перекрытия, у которого продольные балки расположены на части его ширины симметрично относительно середины (рис. 20.20).

Все продольные балки перекрытия одинаковы; бимсы также одинаковы и одинаково заданы по концам (коэффициент опорной пары κ).

Уравнение устойчивости для рассматриваемого перекрытия записывается в виде (20.73) с сохранением смысла входящих в него величин и выводится так же, как и для простейшего перекрытия, исходя из выражения (20.67) для прогиба в момент потери устойчивости. Поскольку в средней части перекрытия продольные балки отсутствуют, в дифференциальном уравнении (20.69) изгиба бимсов

в этом районе следует положить $R = K = 0$ и интегрировать уравнение (20.70) по участкам. Поэтому наименьший корень n зависит не только от условий заде-



Рис. 20.20

Рис. 20.21

ния бимсов, но и от относительной ширины среднего участка c . Значения $(\chi/\mu)^4$ приведены в табл. 20.4.

Таблица 20.4. Значения $(\chi/\mu)^4$ в зависимости от c и κ

c	κ				
	0	0,25	0,5	0,75	1,0
0	1,000	0,700	0,583	0,500	0,195
0,3	0,443	0,348	0,353	0,315	0,066
0,4	0,307	0,287	0,310	0,310	0,040
0,5	0,189	0,145	0,305	0,310	0,020

Практический расчет устойчивости рассматриваемого перекрытия аналогичен расчету простейшего. Расчетная схема перекрытия (см. рис. 20.20) может быть использована для оценки устойчивости лубочного перекрытия в районе грузовой люка.

Перекрытие, состоящее из большого числа равностоящих продольных балок, часть из которых усилена (рис. 20.21), бимсы перекрытия одинаковы и расположены на равных расстояниях, а усиленные балки являются карнизными. Во всех продольных балках и карнизных действуют одинаковые сжимающие напряжения.

Уравнение устойчивости такого перекрытия имеет вид

$$I_0 = (\pi/\mu)^4 (L/a)^2 (L/b) \varphi [1 - (b/b_0) I_{\chi_0}(\lambda) + 6I_{\chi_0}(\lambda_0) b_0], \quad (20.77)$$

$$\lambda_0 = \sigma_{\text{сж}} a^2 / (\mu \pi^2 E I_0) \quad (20.78)$$

(I_0 и I_0 — площади и момент инерции поперечного сечения карнизца с присоединенным пояском). Формула (20.77) применима, когда число карнизцов не меньше двух.

Если размеры продольных балок и карнизцов известны, то по формуле (20.77) с учетом (20.75) и (20.76) можно легко подобрать необходимый момент инерции бимсов I_0 . Число полуволн j в формуле (20.77) необходимо выбирать так, чтобы момент инерции I_0 принимал наибольшее значение из возможных. Для расчета в этом случае используются волновые таблицы функций $\chi_0(\lambda)$ [51, т. 3, табл. 13.3].

Если все размеры перекрытия заданы, критические напряжения $\sigma_{\text{кр}}$ можно определить аналогично решению задачи 2, задавая несколько значений λ . Число полуволн j должно подбираться так, чтобы выражение в квадратной скобке правой части уравнения (20.77) было небольшим. Приведенное решение получено А. А. Курдюмовым (1953 г.).

Решения для других типов перекрытий приведены в справочниках [50, 51].

В тех случаях, когда реальное перекрытие не может быть сведено к расчетным схемам, для которых имеются готовые решения, определять критическую нагрузку следует приближенными методами: Ритца, Бубнова — Галеркина, МКЭ.

5 20.6. Понятие о потере устойчивости плоской формы изгиба

Изгиб тонкостенных стержней в плоскости наибольшей жесткости может сопровождаться потерей устойчивости плоской формы изгиба, т. е. изгибом в плоскости наименьшей жесткости и кручением стержня относительно его оси. Качественно это явление можно воспринять, изгибая толстую металлическую линейку в плоскости ее наибольшей жесткости.

Для установления основных закономерностей потери устойчивости плоской формы изгиба рассмотрим простейший пример чистого изгиба прямоугольной полосы (рис. 20.22, а). Условия закрепления концов сечений полосы допускают свободный поворот в плоскостях xz и yz и исключают поворот вокруг оси x .

До потери устойчивости полоса изгибается в плоскости xz , и при малых прогибах этот изгиб описывается известным уравнением

$$EI u'' = M, \quad (20.79)$$

где EI — изгибная жесткость поперечного сечения полосы в плоскости xz .

Отклонив полосу от исходного положения равновесия, допустим, что помимо изгиба $w(x)$ в плоскости xz она получила малый прогиб $v(x)$ в плоскости xy и поворот на малый угол $\theta(x)$ относительно оси x , как показано для произвольного сечения x на рис. 20.22, б. В результате угловых перемещений поперечного сечения вектор полного момента M , который сохраняет свое направ-

левая до оси y , разлагается на составляющую M'_x — проекцию на главную ось поперечного сечения x' и составляющую M'_y — проекцию на ось деформированного стержня x'' (рис. 20.22, в):

$$M'_x = -M\theta; \quad M'_y = M\theta'. \quad (20.80)$$

Момент M'_x — вызывает изгиб стержня в плоскости наименьшей жесткости, а момент M'_y — кручение. Между моментами и перемещениями можно задаться следующими известными соотношениями: $EJ_x \theta''(x) = M'_x$; $C\theta = C\theta' = M'_y$, где J_x — момент инерции поперечного сечения относительно оси x ; C — погонный коэффициент жест-

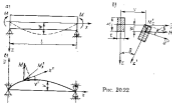


Рис. 20.22

ности полосы при чистом кручении; $\alpha = \theta'(x)$ — погонный угол закручивания. После подстановки в последние уравнения выражений (20.80) получим

$$EJ_x \theta'' + M\theta = 0; \quad C\theta' - M\theta' = 0. \quad (20.81)$$

Система дифференциальных однородных уравнений (20.81) представляет собой условия равновесия полосы в отклоненном положении. Если у этой системы возможны ненулевые решения для θ и θ' , то полоса потеряет устойчивость, так как наряду с плоской формой изгиба будут возможны отклоненные формы равновесия, связанные с кручением и изгибом в плоскости наименьшей жесткости. Поскольку и рассматриваемом случае граничные условия для полосы имеют вид $\theta = \theta' = 0$ при $x = 0, l$, ненулевые решения системы (20.81) можно искать в форме $\theta = \theta_0 \sin \alpha x / l$; $\theta' = \theta_0 \alpha \cos \alpha x / l$. Подставив данные выражения в систему (20.81), получим однородную систему линейных алгебраических уравнений относительно постоянных θ_0 и $\theta_0 \alpha$. Приравняв нулю определитель этой системы, найдем те значения M , при которых возможны отклоненные формы равновесия полосы: $M = (\pi n / l)^2 \sqrt{EJ_x C}$.

Наименьшее эйлерово значение момента будет при $n = 1$

$$M_0 = \pi \sqrt{EJ_x C} / l. \quad (20.82)$$

Если учесть, что для прямоугольной полосы $J_x = bh^3/12$; $C = = G^2 A / 3 = E^2 A^3 / 6(1 + \mu)$; $l \ll h$, то

$$M_0 = \pi E A^2 / 6 \sqrt{2(1 + \mu)}, \quad (20.83)$$

где h и l — высота и толщина полосы.

Напряжения в крайних фибрах, соответствующие моменту (20.83), будут равны

$$\sigma = M_0 A / (2I) = \pi E / \sqrt{2(1 + \mu)} (h/6) (h/6) \approx 1,65 E^{1/2} (h/6).$$

Полученные формулы показывают, что наиболее склонны к потере устойчивости плоской формы изгиба тонкостенные длинные стержни. Выражение (20.82) может быть использовано не только для прямоугольной полосы, но и для других открытых профилей при изгибе их в плоскости наибольшей жесткости.

Решение более сложных задач в принципе производится так же, как и в рассмотренном примере: для отклоненного из плоскости основного изгиба положения составляют дифференциальные уравнения равновесия и разыскивают ненулевое решение. Однако в общем случае дифференциальные уравнения для θ , θ' и θ'' оказываются связанными между собой, поэтому придется совместно интегрировать систему трех уравнений. Указанные величины могут быть, кроме того, связаны и в граничных условиях, что еще больше усложняет решение. Рассмотренные решения таких задач выходят за рамки данного курса.

Необходимо подчеркнуть, что опасность потери устойчивости плоской формы изгиба возникает в тех случаях, когда жесткость на кручение и изгибная жесткость в плоскости наименьшей жесткости оказываются малымя по сравнению с изгибной жесткостью в основной плоскости изгиба. Одновременное действие изгибающих моментов и сжимающих сил возникает, а растягивающих сил увеличивает эйлерово значение изгибающего момента.

Расчет на устойчивость плоской формы изгиба балок судового набора имеет ряд особенностей по сравнению с рассмотренным выше примером. Один из поисков — всегда часть сжатияго настила, что стесняет свободу кручения и изгиба в плоскости наименьшей жесткости. Осью кручения является в данном случае линия соединения стенок баки с настилом. Эти обстоятельства усложняют решение задачи.

Для строительной механики корабля наибольший интерес представляет исследование устойчивости плоской формы изгиба стоек водонепроницаемых переборок, поскольку такие стойки имеют обычно большие пролеты и высоту стенки и предвзначены воспринимать значительную поперечную нагрузку, вызываемую их изгиб. Решение для этого случая было получено Я. Н. Коротким (1949 г.) и представлено в удобном для практического использования виде [56]

Контрольные вопросы

1. Какими основными свойствами обладает устойчивая, неустойчивая и безразличное положение равновесия системы?
2. Как выявить путем вариаций вид положения равновесия системы?
3. Как обеспечивается устойчивость упругих систем при малых и больших отклонениях от положения равновесия?
4. Чем различаются статический и динамический методы исследования устойчивости упругих систем?
5. Что такое критическая и критическая нагрузка упругой системы?
6. Как влияет изменение несовершенства упругой системы на критическую и некую критическую нагрузку?
7. Что такое критические и обочерные нагрузки? Чем они различаются?
8. Как записываются дифференциальные уравнения устойчивости и граничные условия для сжатых одноосевых стержней?
9. Как влияет граничное условие, длина стержня, его жесткость на обочерную критическую нагрузку?
10. Какими методами решаются задачи устойчивости сжатых одноосевых непрямоугольных стержней?
11. Как влияет на обочерные нагрузки сжатых стержней соотношение с ними упругое осознание?
12. Как влияет отступание от закона Гука на устойчивость стержней и как они учитываются в практических расчетах?
13. Как решается задача об устойчивости сжатого непрямоугольного стержня на упругих обочерах?
14. Как влияет жесткость упругих опор на величину обочерных и критических нагрузок?
15. Что такое необходимая и критическая жесткость упругих опор?
16. Как ставится и решается задача об устойчивости сжатых вершинчат?
17. Как влияет жесткость балок и продольных балок на критические нагрузки сжатых вершинчат?
18. Что такое необходимая и критическая жесткость балок?
19. В чем заключается значение потер устойчивости двоякой формы изгиба и как определяется обочерная нагрузка в этом случае?

Теория тонких пластин и оболочек является в настоящее время одним из важнейших разделов механики твердого деформируемого тела, которому уделяется значительное внимание. Объясняется это тем, что конструкции, образованные из тонких пластин и оболочек, сочетают в себе легкость с высокой прочностью. Поэтому пластины и оболочки широко применяются в судостроении, самолетостроении, ракетостроении и других областях техники. В судостроении — это корпуса судов и глубоководных аппаратов, в авиационном — фюзеляжи и крылья самолетов, в ракетостроении — корпуса ракет.

Как правило, во всех указанных конструкциях тонкостенная часть подкреплена ребрами одного или двух направлений. Поэтому разработка методов расчета подкреплённых пластин и оболочек также представляет большой практический интерес.

Так называемая техническая теория изгиба тонких изотропных пластин, основанная на использовании гипотезы прямих нормалей, была, по существу, разработана в начале XIX в. в трудах С. Жермена, С. Пуассона, Л. Навье, Г. Кирхгофа.

Большой вклад в развитие теории и разработку эффективных методов расчета пластин внесли русские и советские ученые: И. Г. Бубнов, С. П. Тимошенко, Б. Г. Галеркин, П. Ф. Панкович, П. А. Соколов, П. М. Варвак, А. С. Вольмар, В. М. Даревский, Г. Г. Ростовцев, В. И. Слепов и др. И. Г. Бубнову принадлежит первая исследования по нелинейной теории изгиба пластин. Им был предложен метод редуцированных коэффициентов, позволяющий оценивать несущую способность тонкостенной конструкции, потерявшей из элементов которой потеряла устойчивость. Эти идеи И. Г. Бубнова сегодня широко используют во всех областях техники в расчетах прочности тонкостенных инженерных сооружений.

Многочисленные решения об изгибе и устойчивости гладких и подкреплённых пластин содержатся в работе П. Ф. Панковича [37].

Теория оболочек, основанная на гипотезе Кирхгофа, была впервые разработана Г. Ареном (1874 г.), который допустил и ней ряд неточностей, замеченных и исправленных А. Лявом (1888 г.).

Различным вопросам теории оболочек и методам расчета оболочечных конструкций посвящены опубликованные в последние

несколько десятилетий монографии В. З. Власова, А. Л. Гольденвейдера, А. И. Лурье, В. В. Новожилова, Х. М. Мушгара и К. З. Галимова, А. С. Волмара, П. М. Отгбалова и М. А. Колтунова, К. Ф. Черных и др.

Ниже, в гл. 21, дан вывод основных зависимостей теории изгиба тонких пластин. Изложены наиболее эффективные численные методы решения задач изгиба и устойчивости гладких и подкрепленных прямоугольных пластин, которые являются наиболее распространенными элементами судового корпуса. В гл. 22 изложены общие сведения по теории круглых цилиндрических оболочек. Рассмотрим задачи изгиба и устойчивости таких оболочек, как гладких, так и подкрепленных кольцевыми шпангоутами.

Глава 21. ИЗГИБ И УСТОЙЧИВОСТЬ ПЛОСКИХ ПРЯМОУГОЛЬНЫХ ПЛАСТИН

§ 21.1. Основные определения, гипотезы и зависимости

Плоскими пластинами называют упругие тела, имеющие форму прямой призмы, высота которой мала по сравнению с размерами оснований. Геометрическое место точек, равноудаленных от оснований, именуют срединной плоскостью пластины. Длину отрезка перпендикуляра к срединной плоскости, заключенного между основаниями, называют толщиной пластины.

Пластинки разделяют на толстые (плиты) и тонкие. К тонким относятся пластинки, у которых отношение толщины к наименьшему размеру оснований в плане составляет меньше 1/5.

Пластинками судового корпуса являются листы наружной обшивки, настельки залуб, плацформ, второго дна, обшивки переборки, тонкие стенки и носки балок судового набора (вертикального келя, стрингеров, карагзов, флоров). Все судовые пластинки относятся к категории тонких. Пластинки корпуса судна составляют его основную весовую часть, и поэтому вопросы проектирования и расчета пластинки из условий прочности и устойчивости имеют важное практическое значение.

Обшивка и настельки представляют собой пластины, открытые на балки судового набора, которые образуют опорный контур для пластины. Жесткость балок набора при изгибе обычно намного больше изгибной жесткости пластины, и поэтому пластины, как правило, можно рассматривать как открытые на жесткий контур.

Судовые пластинки могут испытывать отдельно или в совокупности нагрузки двойного рода: 1) действующие в их плоскости и вызывающие плоское напряженное состояние; 2) нормальные к их плоскости и вызывающие изгиб пластин. Плоское напряженное

состояние пластины было изложено в гл. 6. В данной главе будут рассмотрены изгиб и устойчивость пластин.

Изгиб судовых пластин вызывается действием поперечных нагрузок, распределенных по их поверхности (давлением воды, грузов и др.). Чаще всего эти нагрузки близки к равномерно распределенным (у пластин днища и палубы) или к уменьшающимся по линейному закону (у пластин бортов и переборок). В отдельных случаях изгиб пластин вызывается сосредоточенными или распределенными на части поверхности поперечными нагрузками (у длинных пластин в условиях постановки судла в док или при спуске с продольного стапеля). Плоское напряженное состояние судовых пластин вызывается общим изгибом корпуса судна, изгибом балок судового набора и изгибом самих пластин при наличии распор.

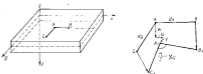


Рис. 21.1

Поскольку балки судового набора, как правило, пересекаются под прямыми углами, пластинки судового корпуса имеют в большинстве случаев прямоугольный опорный контур. Именно эти пластинки, которые в дальнейшем называются прямоугольными, и будут предметом дальнейшего рассмотрения.

При исследовании напряженного состояния прямоугольных пластин воспользуемся декартовой системой координат, совмещая плоскость oxy со срединной плоскостью пластины (рис. 21.1), сохраняя для переменной z , a , b то же правило знаков, что и в теории упругости.

Классическая теория изгиба тонких пластин основана на следующих основных гипотезах и допущениях (гипотеза Кирхгофа):

- 1) перемещение z (пронгб пластины) постоянно по толщине пластины и является малым;
- 2) перемещения x и y в направлении осей ox и oy намного меньше перемещения z ;
- 3) применима гипотеза прямых нормалей: линейные элементы пластины, перпендикулярные к ее срединной плоскости до деформации, остаются прямыми и перпендикулярными к срединной поверхности пластины после деформации;
- 4) любой слой пластины, параллельный срединной плоскости, находится в плоском напряженном состоянии, а давление одних слоев на другие пренебрежимо мало;

5) материал пластины является изотропным линейно деформируемым по закону Гука.

Третье допущение есть аналог гипотезы плоских сечений в теории изгиба балок и выполняется тем точнее, чем меньше отношение толщины пластины к ее меньшему размеру в плане; четвертое допущение следует из того, что внешнее поперечное давление на поверхность эластичного материала (примерно в 1000 раз) меньше внешних напряжений, и поэтому существенного сжатия слоев пластины не вызывает; и, наконец, последнее предположение справедливо до предела пропорциональности материала пластины.

На основании указанных выше гипотез ниже будут получены основные зависимости теории изгиба изотропных пластин.

Зависимости между перемещениями и деформациями пластины. Эти зависимости могут быть получены на основе первых двух допущений теории изгиба пластин относительно перемещений u, v, w .

Рассмотрим два взаимно перпендикулярных бесконечно малых элемента $AB = dx$ и $AC = dy$, лежащих до деформации в плоскости, параллельной средней плоскости пластины (см. рис. 21.1). В результате деформации эластичной точки $A(x, y, z)$, $B(x + dx, y, z)$, $C(x, y + dy, z)$ получают перемещения u и направления осей координат x соответственно займут новое положение: $A_1(x + u, y + v, z + w)$; $B_1(x + dx + u + \frac{\partial u}{\partial x} dx, y + v + \frac{\partial v}{\partial x} dx, z + w + \frac{\partial w}{\partial x} dx)$; $C_1(x + u + \frac{\partial u}{\partial y} dy, y + dy + v + \frac{\partial v}{\partial y} dy, z + w + \frac{\partial w}{\partial y} dy)$, где u, v, w — перемещения точек $A(x, y, z)$ в направлениях осей x, y, z . При определении координат точек B_1, C_1 было учтено, что точки B, C отличаются от точки A координатами x и y соответственно. Поэтому все перемещения точек B по сравнению с перемещениями точки A получают приращение по координате x , а перемещения точки C — по координате y .

Относительные линейные деформации ϵ_x, ϵ_y бесконечно малых элементов dx, dy и угол сдвига γ_{xy} как величину скачивания прямого угла между этими элементами найдем из соотношений

$$\epsilon_x = (A_1B_1 - dx)/dx; \quad \epsilon_y = (A_1C_1 - dy)/dy;$$

$$\sin \gamma_{xy} = \cos [\alpha(2) - \gamma_{xy}] = \frac{(A_1B_1 \cdot A_1C_1)}{A_1B_1 \cdot A_1C_1}.$$

где в круглых скобках числителя последней дроби стоит скалярное произведение векторов $\vec{A_1B_1}$ и $\vec{A_1C_1}$.

Вычитая из координат точек B_1, C_1 одноименные координаты точки A_1 , находим проекции на оси x, y, z векторов $\vec{A_1B_1}, \vec{A_1C_1}$, их длины A_1B_1, A_1C_1 и скалярное произведение:

$$\vec{A_1B_1} = \left\{ \left(1 + \frac{\partial u}{\partial x}\right) dx, \frac{\partial v}{\partial x} dx, \frac{\partial w}{\partial x} dx \right\};$$

$$\vec{A_1C_1} = \left\{ \frac{\partial u}{\partial y} dy, \left(1 + \frac{\partial v}{\partial y}\right) dy, \frac{\partial w}{\partial y} dy \right\};$$

$$A_1B_1 = \sqrt{\left(1 + \frac{\partial u}{\partial x}\right)^2 + \left(\frac{\partial v}{\partial x}\right)^2 + \left(\frac{\partial w}{\partial x}\right)^2} dx;$$

$$A_1C_1 = \sqrt{\left(\frac{\partial u}{\partial y}\right)^2 + \left(1 + \frac{\partial v}{\partial y}\right)^2 + \left(\frac{\partial w}{\partial y}\right)^2} dy;$$

$$(\vec{A_1B_1} \cdot \vec{A_1C_1}) = \left[\left(1 + \frac{\partial u}{\partial x}\right) \frac{\partial u}{\partial y} + \frac{\partial v}{\partial x} \left(1 + \frac{\partial v}{\partial y}\right) + \frac{\partial w}{\partial x} \frac{\partial w}{\partial y} \right] dx dy.$$

Так как прогиб пластины w на порядок больше перемещений u, v и все перемещения считаются малыми, в трех последних равенствах можно пренебречь нелинейными слагаемыми относительно u и v и заменить радикалы двумя членами бинома Ньютона:

$$A_1B_1 \approx \left[1 + \frac{\partial u}{\partial x} + \frac{1}{2} \left(\frac{\partial w}{\partial x}\right)^2 \right] dx; \quad A_1C_1 \approx \left[1 + \frac{\partial v}{\partial y} + \frac{1}{2} \left(\frac{\partial w}{\partial y}\right)^2 \right] dy;$$

$$(\vec{A_1B_1} \cdot \vec{A_1C_1}) = \left(\frac{\partial u}{\partial x} \frac{\partial u}{\partial y} + \frac{\partial v}{\partial x} \frac{\partial v}{\partial y} \right) dx dy.$$

Подставляя данные выражения в формулы для деформаций $\epsilon_x, \epsilon_y, \gamma_{xy}$, получаем

$$\left. \begin{aligned} \epsilon_x &= \frac{\partial u}{\partial x} + \frac{1}{2} \left(\frac{\partial w}{\partial x}\right)^2; & \epsilon_y &= \frac{\partial v}{\partial y} + \frac{1}{2} \left(\frac{\partial w}{\partial y}\right)^2; \\ \gamma_{xy} &= \frac{\partial u}{\partial y} + \frac{\partial v}{\partial x} + \frac{\partial w}{\partial x} \frac{\partial w}{\partial y}. \end{aligned} \right\} \quad (21.1)$$

Здесь $u = u(x, y, z)$, $v = v(x, y, z)$, $w = w(x, y, z)$. При знании последней формулы (21.1) вследствие малости деформаций считалось, что $\sin \gamma_{xy} \approx \gamma_{xy}$, $A_1B_1 \approx dx$, $A_1C_1 \approx dy$.

Для точек средней плоскости пластины $z = 0$ согласно зависимостям (21.1) имеем

$$\left. \begin{aligned} \epsilon_{x0} &= \frac{\partial u_0}{\partial x} + \frac{1}{2} \left(\frac{\partial w_0}{\partial x}\right)^2; & \epsilon_{y0} &= \frac{\partial v_0}{\partial y} + \frac{1}{2} \left(\frac{\partial w_0}{\partial y}\right)^2; \\ \gamma_{xy0} &= \frac{\partial u_0}{\partial y} + \frac{\partial v_0}{\partial x} + \frac{\partial w_0}{\partial x} \frac{\partial w_0}{\partial y}. \end{aligned} \right\} \quad (21.2)$$

где перемещения $u_0 = u(x, y, 0)$, $v_0 = v(x, y, 0)$, $w_0 = w(x, y, 0)$ и компоненты деформации $\epsilon_{x0}, \epsilon_{y0}, \gamma_{xy0}$ средней плоскости являются функциями x, y . Отметим, что выражения (21.1), (21.2) можно было бы также получить на основании формул (2.12), (2.13).

Для точек пластины, лежащих в слое $z = \text{const}$, зависимости между перемещениями и деформациями устанавливаются на основании гипотезы прямых нормалей. Рассмотрим с этой целью в сечении $y = \text{const}$ точку A на расстоянии z от средней плоскости до и после деформации (рис. 21.2). Перпендикуляр AB к средней плоскости займет после деформации положение A_1B_1 и останется прямым и перпендикулярным средней поверхности пластины. При этом он окажется повернутым относительно первоначального положения на угол α , который до малости прогибов будем считать равным первой производной от прогиба $\frac{\partial w}{\partial x}$.

Учитывая сказанное, нетрудно установить зависимость между перемещением z произвольной точки A и перемещением z_0 точки B срединной плоскости:

$$\alpha = \alpha_0 - z \frac{d\alpha}{dx}; \quad \varphi = \varphi_0 - z \frac{d\varphi}{dy}. \quad (21.3)$$

Второе соотношение (21.3) является для сечения $x = \text{const}$ по аналогии с первым. Подставляя выражения (21.3) в зависимости (21.1) и учитывая формулы (21.2), для деформаций пластинки в плоскости $z = \text{const}$ получим

$$\left. \begin{aligned} \epsilon_x &= \epsilon_{xx} - z \frac{\partial^2 w}{\partial x^2}; & \epsilon_y &= \epsilon_{yy} - z \frac{\partial^2 w}{\partial y^2}; \\ \gamma_{xy} &= \gamma_{xy} - 2z \frac{\partial^2 w}{\partial x \partial y}. \end{aligned} \right\} \quad (21.4)$$

Деформации ϵ_{xx} , ϵ_{yy} , γ_{xy} срединной плоскости пластинки зависят лишь от x и y , и поэтому определяются в выражениях (21.4) постоянные по толщине пластинки составляющие полных деформаций.



Рис. 21.2

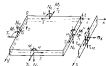


Рис. 21.3

Члены формулы (21.4), содержащие z , определяют изгибные составляющие полных деформаций.

Деформации срединной плоскости связаны следующим уравнением совместности:

$$\frac{\partial^2 \epsilon_{xx}}{\partial y^2} + \frac{\partial^2 \epsilon_{yy}}{\partial x^2} - \frac{\partial^2 \gamma_{xy}}{\partial x \partial y} = \left(\frac{\partial^2 w}{\partial x \partial y} \right)^2 - \frac{\partial^2 w}{\partial x^2} \frac{\partial^2 w}{\partial y^2}. \quad (21.5)$$

справедливость которого нетрудно доказать, вычисляя соответствующие производные от ϵ_{xx} , ϵ_{yy} , γ_{xy} по выражениям (21.2). При условиях (21.5) деформации (21.4) также окажутся совместными.

Полученные геометрические зависимости (21.1)–(21.5) будут справедливы в том случае, когда деформации малы по сравнению с единицей и когда прогибы пластинки таковы, что при выводе зависимостей (21.3) можно заменить значения синусов и тангенсов значительным углом в радианах. Если допустить погрешность менее 3%, то такая замена возможна при углах поворота нормали $\alpha \leq 0,3$ рад. Задавая прогиб в каком-либо сечении пластинки в форме синусоиды и беря различные значения производной от прогиба

в пределах (0–0,3), нетрудно показать, что прогибы не должны превышать 1/10 наименьшего в плане размера пластинки.

Усилия и моменты в сечениях пластинки. Уравнения равновесия бесконечно малого элемента. Рассмотрим сечение пластинки, перпендикулярные осям ox и oy (рис. 21.3). Напряженное состояние пластинки удобно характеризовать усилиями, приходящимися на единицу длины соответствующего сечения и являющимися равнодействующими напряжений по толщине пластинки.

В сечениях $x = \text{const}$ действующие напряжения σ_x , τ_{xy} , τ_{yx} в пределах единицы длины создают следующие погонные усилия и моменты:

$$\left. \begin{aligned} T_1 &= \int_{-0,5}^{0,5} \sigma_x dz; & S &= \int_{-0,5}^{0,5} \tau_{xy} dz; & N_1 &= \int_{-0,5}^{0,5} \tau_{yx} dz; \\ M_1 &= \int_{-0,5}^{0,5} \sigma_x z dz; & H &= \int_{-0,5}^{0,5} \tau_{xy} z dz. \end{aligned} \right\} \quad (21.6)$$

Аналогично в сечениях $y = \text{const}$ будем иметь

$$\left. \begin{aligned} T_2 &= \int_{-0,5}^{0,5} \sigma_y dz; & S &= \int_{-0,5}^{0,5} \tau_{yx} dz; & N_2 &= \int_{-0,5}^{0,5} \tau_{xy} dz; \\ M_2 &= \int_{-0,5}^{0,5} \sigma_y z dz; & H &= \int_{-0,5}^{0,5} \tau_{yx} z dz. \end{aligned} \right\} \quad (21.7)$$

В формулах (21.6) и (21.7) следующие обозначения: T_1 , T_2 и S — нормальные и касательные усилия, которые иногда называют длинными усилиями; N_1 , N_2 — поперечные силы; M_1 и M_2 — изгибающие моменты, действующие в сечениях $x = \text{const}$ и $y = \text{const}$ соответственно; H — крутящие моменты.

Касательные усилия S и крутящие моменты H в сечениях $x = \text{const}$ и $y = \text{const}$ определяются одинаковыми формулами в силу закона парности касательных напряжений $\tau_{xy} = \tau_{yx}$.

Усилия и моменты (21.6)–(21.7), положительные направления которых показаны на рис. 21.3, характеризуют интенсивность внутренних сил упругости в сечениях пластинки, зависят лишь от x и y и в каждой точке срединной плоскости подымаются условиями равновесия бесконечно малого элемента пластинки. Для вывода этих условий рассмотрим бесконечно малый элемент пластинки с размерами dx и dy , вырезанный после деформации в окрестности точки $A(x, y)$ бесконечно близкими сечениями, перпендикулярными осям x' и y' (рис. 21.4). На грани этого элемента будут действовать внутренние усилия и моменты, а на поверхности — распределенная в направлении оси oz нагрузка $\rho(x, y)$, которую будем считать положительной.

Усилия и моменты, действующие на параллельные грани бесконечно малого элемента, отличаются на величину соответствующих

частным дифференциалом и с учетом обозначений, приведенных на рис. 21.4, связав зависимостями

$$\left. \begin{aligned} T_1^* &= T_1 + \frac{\partial T_1}{\partial x} dx; & S_1^* &= S + \frac{\partial S}{\partial x} dx; & N_1^* &= N_1 + \frac{\partial N_1}{\partial x} dx; \\ M_1^* &= M_1 + \frac{\partial M_1}{\partial x} dx; & H_1^* &= H + \frac{\partial H}{\partial x} dx; \\ T_2^* &= T_2 + \frac{\partial T_2}{\partial y} dy; & S_2^* &= S + \frac{\partial S}{\partial y} dy; & N_2^* &= N_2 + \frac{\partial N_2}{\partial y} dy; \\ M_2^* &= M_2 + \frac{\partial M_2}{\partial y} dy; & H_2^* &= H + \frac{\partial H}{\partial y} dy. \end{aligned} \right\} (21.8)$$

В результате деформации грани рассматриваемого элемента окажутся наклонными по отношению к плоскости oxy . Поэтому нормальные и касательные усилия на гранях элемента в деформированном состоянии составят малые углы $\alpha_1, \beta_1, \alpha_2, \beta_2$ по отношению к осям ox и oy . Эти углы можно считать равными

$$\alpha_1 \approx \beta_1 = \frac{\partial w}{\partial x}; \quad \alpha_2 \approx \beta_2 = \frac{\partial w}{\partial y}, \quad (21.9)$$

высказав указание произвольное в точке $A(x, y)$ с точностью до бесконечно малых высшего порядка малости.

Углы наклона граней с координатами $x+dx = \text{const}$ и $y+dy = \text{const}$ по сравнению с углами наклона граней с координатами $x = \text{const}$ и $y = \text{const}$ получат обращение и будут равны

$$\left. \begin{aligned} \alpha_1^* &= \alpha_1 + \frac{\partial \alpha_1}{\partial x} dx; & \beta_1^* &= \beta_1 + \frac{\partial \beta_1}{\partial x} dx; \\ \alpha_2^* &= \alpha_2 + \frac{\partial \alpha_2}{\partial y} dy; & \beta_2^* &= \beta_2 + \frac{\partial \beta_2}{\partial y} dy. \end{aligned} \right\} (21.10)$$

Определив усилия и моменты, действующие на бесконечно малый элемент, и установив его положение по отношению к плоскости oxy после деформации, составим уравнения равновесия элемента. Приравняв нулю суммы проекций на оси ox^*, oy^*, oz всех сил, действующих на рассматриваемый элемент, получим

$$\left. \begin{aligned} (T_1^* - T_1) dy + (S_2^* - S) dx - N_2^* (\beta_2^* - \beta_2) dx - \\ - N_1^* (\alpha_1^* - \alpha_1) dy = 0; \\ (T_2^* - T_2) dx + (S_1^* - S) dy - N_1^* (\alpha_1^* - \alpha_1) dx - \\ - N_2^* (\beta_2^* - \beta_2) dy = 0; \\ (T_1^* \alpha_1^* - T_1 \alpha_1) dy + (T_2^* \alpha_2^* - T_2 \alpha_2) dx + \\ + (S_1^* \beta_1^* - S \beta_1) dy + (S_2^* \beta_2^* - S \beta_2) dx + \\ + (N_1^* - N_1) dy + (N_2^* - N_2) dx + p dx dy = 0. \end{aligned} \right\} (21.11)$$

При этом косинусы всех малых углов α и β считались равными единице, а синусы — значениям углов.

Приравняв нулю суммы моментов всех сил относительно осей ox^* и oy^* , находим

$$\left. \begin{aligned} N_1^* dx dy + (M_1 - M_1^*) dy + (H - H_1^*) dx = 0; \\ N_2^* dx dy + (M_2 - M_2^*) dx + (H - H_2^*) dy = 0. \end{aligned} \right\} (21.12)$$

При составлении уравнений (21.12) были отброшены бесконечно малые третьего порядка: моменты усилий $T_1^*, T_2^*, S_1^*, S_2^*$, составляющих с наклонной площадью $dxdy$ бесконечно малые углы, и моменты распределенной поперечной нагрузки p .

Сумма моментов всех сил относительно осей ox с точностью до бесконечно малых третьего порядка равна нулю [с учетом закона парности касательных напряжений $\tau_{xy} = \tau_{yx}$ в выражениях (21.6) и (21.7) для S и H].

Подставляя выражения (21.8)–(21.10) в первые два уравнения равновесия (21.11) и пренебрегая малыми проекциями перерезывающих сил N_1 и N_2 на оси ox и oy при упругом наклоне грани элемента $dxdy$, получим

$$\frac{\partial T_1}{\partial x} + \frac{\partial S}{\partial y} = 0; \quad \frac{\partial S}{\partial x} + \frac{\partial T_2}{\partial y} = 0. \quad (21.13)$$

С учетом (21.8) уравнения (21.12) можно записать так:

$$N_1 = \frac{\partial M_1}{\partial x} + \frac{\partial H}{\partial y}; \quad N_2 = \frac{\partial M_2}{\partial y} + \frac{\partial H}{\partial x}. \quad (21.14)$$

Третье уравнение равновесия (21.11) после подстановки в него выражений (21.8)–(21.10) и сокращения на $dxdy$ с учетом (21.13) приводится к виду

$$T_1 \frac{\partial^2 w}{\partial x^2} + 2S \frac{\partial^2 w}{\partial x \partial y} + T_2 \frac{\partial^2 w}{\partial y^2} + \frac{\partial N_1}{\partial x} + \frac{\partial N_2}{\partial y} + p = 0. \quad (21.15)$$

Итак, пять уравнений равновесия (21.13)–(21.15) бесконечно малого элемента эластичности содержат восемь силовых факторов $T_1, T_2, S, N_1, N_2, M_1, M_2, H$, поэтому задача об изгибе пластины оказывается статически неопределимой.

Зависимости между напряжениями, деформациями и перемещениями. Для решения статически неопределимой задачи об изгибе пластины полученные геометрические и статические уравнения необходимо дополнить физическими уравнениями. Так как каждый слой, параллельный срединной плоскости пластины, находится в плоском напряженном состоянии, для изотропного материала уравнения закона Гука могут быть записаны в виде (6.5) или (6.7). Подставляя выражение (21.4) в уравнения (6.7), при

плоском напряженном состоянии получим

$$\left. \begin{aligned} \sigma_x &= \frac{E}{1-\mu^2} \left[(\epsilon_{0x} + \mu \epsilon_{0y}) - z \left(\frac{\partial^2 w}{\partial x^2} + \mu \frac{\partial^2 w}{\partial y^2} \right) \right]; \\ \sigma_y &= \frac{E}{1-\mu^2} \left[(\epsilon_{0y} + \mu \epsilon_{0x}) - z \left(\frac{\partial^2 w}{\partial y^2} + \mu \frac{\partial^2 w}{\partial x^2} \right) \right]; \\ \tau_{xy} &= \frac{E}{2(1+\mu)} \left(\gamma_{0xy} - 2z \frac{\partial^2 w}{\partial x \partial y} \right). \end{aligned} \right\} \quad (21.16)$$

Если подставить выражения (21.16) в формулы (21.5) и (21.7), то после интегрирования найдем

$$\left. \begin{aligned} T_1 &= [E(1-\mu^2)](\epsilon_{0x} + \mu \epsilon_{0y}); \quad T_2 = [E(1-\mu^2)](\epsilon_{0y} + \mu \epsilon_{0x}); \\ S &= E^2 \gamma_{0xy} / [2(1+\mu)]; \\ M_1 &= -D \left(\frac{\partial^2 w}{\partial x^2} + \mu \frac{\partial^2 w}{\partial y^2} \right); \quad M_2 = -D \left(\frac{\partial^2 w}{\partial y^2} + \mu \frac{\partial^2 w}{\partial x^2} \right); \\ H &= -D(1-\mu) \frac{\partial^2 w}{\partial x \partial y}, \end{aligned} \right\} \quad (21.18)$$

где

$$D = E \rho^2 / [12(1-\mu^2)] \quad (21.19)$$

— изгибная жесткость пластины.

Если подставить выражения (21.18) в уравнения (21.14), то перерезывающие силы можно выразить через прогиб по формулам

$$N_x = -D \frac{\partial}{\partial x} \nabla^2 w; \quad N_y = -D \frac{\partial}{\partial y} \nabla^2 w. \quad (21.20)$$

Из формул (21.16) с учетом (21.17) — (21.19) нетрудно получить следующие зависимости между напряжениями и усилиями:

$$\left. \begin{aligned} \sigma_x &= T_1 / \delta + 12M_1 z / \delta^3; \quad \sigma_y = T_2 / \delta + 12M_2 z / \delta^3; \\ \tau_{xy} &= S / \delta + 12H z / \delta^3. \end{aligned} \right\} \quad (21.21)$$

Среднее значение касательных напряжений τ_{0x} и τ_{0y} определяется по формулам

$$(\tau_{0x})_{cp} = N_x / \delta; \quad (\tau_{0y})_{cp} = N_y / \delta. \quad (21.22)$$

Нетрудно доказать, что τ_{0x} и τ_{0y} по толщине пластины меняются по закону параболы второй степени и наибольшие их значения в толщине раз больше средних.

Приведенные здесь зависимости в дополнение к геометрическим и статическим уравнениям позволяют составить разрешающие уравнения теории изгиба пластины и отыскать все элементы изгиба.

§ 21.2. Теория изгиба тонких прямоугольных пластины. Система дифференциальных уравнений и граничные условия

Наиболее удобной схемой решения задачи изгиба пластины является такая, когда за основные неизвестные принимаются прогиб пластины $w(x, y)$ и функция напряжений $F(x, y)$, связанная с ус-

лыми зависимостями

$$T_1 = I \frac{\partial^2 F}{\partial x^2}; \quad T_2 = I \frac{\partial^2 F}{\partial y^2}; \quad S = -I \frac{\partial^2 F}{\partial x \partial y}. \quad (21.23)$$

Удобство такой схемы объясняется тем, что элементы изгиба легко выражаются через прогиб w и функцию напряжений F . Кроме того, уравнения равновесия (21.13), характеризующие плоское напряженное состояние пластины, удовлетворяются автоматически. Остается удовлетворить лишь уравнение совместности деформаций (21.6) и условие равновесия (21.15).

Если деформации ϵ_{0x} , ϵ_{0y} , γ_{0xy} выразить по формулам (21.17) через усилия T_1 , T_2 , S и подставить их в (21.5), то после замены усилий выражениями (21.23) получится одно из разрешающих уравнений. Второе уравнение нетрудно получить из условия равновесия (21.15), для чего необходимо исключить из всего усилия T_1 , T_2 , S и перерезывающие силы N_x , N_y с помощью формул (21.23) и (21.20). В результате приходим к следующей системе уравнений:

$$\left. \begin{aligned} \nabla^4 \nabla^2 F - E \left[\left(\frac{\partial^2 w}{\partial x \partial y} \right)^2 - \frac{\partial^2 w}{\partial x^2} \frac{\partial^2 w}{\partial y^2} \right]; \\ D \nabla^6 \nabla^2 w - p(x, y) + \\ + I \left(\frac{\partial^2 F}{\partial y^2} \frac{\partial^2 w}{\partial x^2} - 2 \frac{\partial^2 F}{\partial x \partial y} \frac{\partial^2 w}{\partial x \partial y} + \frac{\partial^2 F}{\partial x^2} \frac{\partial^2 w}{\partial y^2} \right). \end{aligned} \right\} \quad (21.24)$$

Эта система нелинейных уравнений в частных производных представляет основную систему разрешающих уравнений в теории изгиба изогнутых пластины. Она была получена Т. Карманом (1907 г.) и носит его имя. Уравнения Кармана относятся к деформированному состоянию пластины, так как уравнение равновесия (21.15) составлено для бесконечно малого элемента в отклоненном положении и после деформации. Поэтому они могут быть использованы не только для решения задач изгиба, но и для решения задачи об устойчивости пластины.

Если решение уравнений Кармана найдено при заданных граничных условиях, то элементы изгиба определяются по формулам (21.18), (21.20) — (21.22), (21.23).

Граничные условия при изгибе прямоугольных пластины. Граничные условия на контуре пластины должны быть заданы для функции напряжений $F(x, y)$ и для прогиба $w(x, y)$.

Для функции напряжений F граничные условия на сторонах пластины задаются так же, как и в плоской задаче теории упругости. Если на сторонах пластины заданы нормальные и касательные условия, то граничные условия нетрудно составить, используя выражения (21.23) и приравняв значения соответствующих внутренних и внешних усилий на контуре (см. § 6.1). Сложнее составить граничные условия, если на контуре заданы перемещения точек средней плоскости w_0 и v_0 , поскольку в этом случае приходится сначала отыскать выражения для ϵ_{0x} и ϵ_{0y} , соответствующие выбранной функции напряжений F . Вблизи это

всегда можно сделать с помощью формул (21.23), (21.17) и (21.1). Однако в этом случае целесообразнее принять за основные неизвестные w_0 , w_1 , ψ и вместо уравнений Кармана (21.24) пользоваться системой разрешающих уравнений и перемещений.

Для прогиба пластины $w(x, y)$ и зависимости от условий закрепления ее опорных кромок на контуре могут быть заданы: прогиб, угол поворота, изгибающие моменты, перерезывающие силы или соотношения между этими величинами. На каждой стороне пластины должно быть задано по два независимых граничных условия для указанных элементов изгиба, что определяется порядком второго дифференциального уравнения Кармана (21.24). Согласование граничных условий для прогиба рассмотрим ниже на конкретных примерах.

Кромка пластины $x = \text{const}$ свободно опирается на жесткую опору. Прогиб и изгибающий момент на такой кромке равны нулю:

$$w = 0; \quad M_1 = -D \left(\frac{\partial^2 w}{\partial x^2} + \mu \frac{\partial^2 w}{\partial y^2} \right) = 0.$$

Так как кромка $x = \text{const}$, будучи опирающейся на жесткую опору, искривляться в плоскости док не может, то $\frac{\partial^2 w}{\partial y^2} = 0$. Поэтому записанные выше граничные условия равносильны следующим двум:

$$w = 0; \quad \frac{\partial^2 w}{\partial x^2} = 0. \quad (21.25)$$

Кромка пластины $x = \text{const}$ жестко заделана на жесткой опоре. В этом случае прогиб и угол поворота опорной кромки невозможны и граничные условия следующие:

$$w = 0; \quad \frac{\partial w}{\partial x} = 0. \quad (21.26)$$

Кромка пластины $x = \text{const}$ совершенно свободна. На такой кромке отсутствует всякая нагрузка и поэтому будут иметь место три условия:

$$M_1 = 0; \quad N_1 = 0; \quad H = 0. \quad (21.27)$$

В то же время, как было указано раньше, на каждой кромке должно быть задано не более двух граничных условий. Чтобы устранить избыточное проговорение необходимо заменить три граничных условия (21.27) двумя равносильными. Покажем, как заменить условия $N_1 = 0$ и $H = 0$ одним условием. Рассмотрим кромку пластины с координатой $x = a$ (рис. 21.5, а) и посчитаем работу усилий N_1 и H при изгибе кромки. Учитывая, что пологительные направления крутящих моментов H и углов поворота $\frac{\partial w}{\partial y}$ противонаправлены, а у перерезывающей силы N_1 и прогиба w одинаково,

наконец, получим формулу для работы этих усилий на кромке $x = a$:

$$U = \int_0^b \left(N_1 \frac{\partial w}{\partial x} - H \frac{\partial w}{\partial y} \right) dy. \quad (21.28)$$

Интегрируем по частям второе слагаемое этого выражения, находим

$$U = N_1 w_0 + H_1 w_1 + \int_0^b r_1 w dy, \quad (21.29)$$

где $w_0 = w(a, 0)$, $w_1 = w(a, b)$, $H_0 = H(a, 0)$, $H_1 = H(a, b)$ — значения функций $w(x, y)$ и $H(x, y)$ в точках $(a, 0)$ и (a, b) пластины;

$$r_1 = N_1 + \frac{\partial H}{\partial y}. \quad (21.30)$$

Сравним выражения (21.28) и (21.29) для работы усилий на кромке $x = a$, можно сделать вывод, что действие крутящих моментов H и перерезывающих сил N_1 эквивалентно действию на эту кромку распределенных усилий r_1 и сосредоточенных усилий H_0 , H_1 по углам пластины (рис. 21.5, б). Усилия r_1 , статически эквивалентные перерезывающим силам N_1 и крутящим моментам H , называют *приведенными перерезывающими силами*.

Подставляя в формулу (21.30) выражения (21.20) и (21.18), для приведенной перерезывающей силы в сечении $x = \text{const}$ получим

$$r_1 = -D \left[\frac{\partial^2 w}{\partial x^2} + (2 - \mu) \frac{\partial^2 w}{\partial x \partial y^2} \right]. \quad (21.31)$$

Теперь условия (21.27) можно заменить двумя равносильными условиями $M_1 = r_1 = 0$, что с учетом (21.18) и (21.31) дает

$$\frac{\partial^2 w}{\partial x^2} + \mu \frac{\partial^2 w}{\partial y^2} = 0; \quad \frac{\partial^2 w}{\partial x^2} + (2 - \mu) \frac{\partial^2 w}{\partial x \partial y^2} = 0. \quad (21.32)$$

Кромка пластины $y = \text{const}$ совершенно свободна. В этом случае три условия $M_2 = N_2 = H = 0$ можно заменить двумя статически эквивалентными $M_2 = r_2 = 0$, где r_2 — приведенная перерезывающая сила в сечении $y = \text{const}$, которая по аналогии с (21.31) определяется формулой

$$r_2 = -D \left[\frac{\partial^2 w}{\partial y^2} + (2 - \mu) \frac{\partial^2 w}{\partial x \partial y^2} \right]. \quad (21.33)$$

Поэтому граничные условия будут следующими:

$$\frac{\partial^2 w}{\partial x^2} + \mu \frac{\partial^2 w}{\partial y^2} = 0; \quad \frac{\partial^2 w}{\partial x^2} + (2 - \mu) \frac{\partial^2 w}{\partial x \partial y^2} = 0. \quad (21.34)$$

При замене крутящих моментов H и перерезывающих сил N_1 приведенными перерезывающими силами r_1 в углах пластины



Рис. 21.5

должны быть приложены сосредоточенные силы $2H$, положительное направление которых показано на рис. 21.6. Происхождение этих сил объясняется действием крутящих моментов на каждой из двух пересекающихся кромок. Таким образом, на кромки пластины помимо распределенных давлений r_1 и r_2 в каждом углу действуют сосредоточенные реакции $2H$, которые препятствуют отрыву углов от опорного контура.

Кромка $x=a$ загружена заданными усилиями: M_1 в определенной поперечной нагрузкой $p(y)$ и изгибающими моментами $M_0(y)$ (рис. 21.7). При указанных

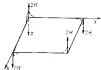


Рис. 21.6

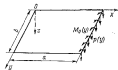


Рис. 21.7

на рис. 21.7 направлениях M_1 и p с учетом положительных направлений для M_1 и r_1 граничные условия запишутся так: $M_1(a, y) = M_0(y)$; $r_1(a, y) = p(y)$. После подстановки в них выражений (21.18) и (21.31) окончательно получим

$$\left. \begin{aligned} \frac{\partial^2 w}{\partial x^2} + \mu \frac{\partial^2 w}{\partial y^2} &= -\frac{M_0(y)}{D}; \\ \frac{\partial^2 w}{\partial x^2} + (2-\mu) \frac{\partial^2 w}{\partial x \partial y^2} &= -\frac{p(y)}{D}. \end{aligned} \right\} \quad (21.35)$$

Заметим, что аналогично могут быть составлены граничные условия и на других кромках пластины при загрузке их заданными поперечными нагрузками и изгибающими моментами.

Кромка $x=a$ охвачена на упругое ребро, сопротивляющееся изгибу и кручению (рис. 21.8). Отделим упругое ребро от кромки пластины и приложим к нему усилия взаимодействия. Запишем дифференциальное уравнение изгиба ребра, учитывая, что кромки ребра и пластины на кромке равны $EI \frac{\partial^2 w}{\partial y^2} = -r_1$. Подставляя в это соотношение равенство (21.31), получаем первое граничное условие

$$\frac{\partial^2 w}{\partial y^2} = \frac{D}{EI} \left[\frac{\partial^2 w}{\partial x^2} + (2-\mu) \frac{\partial^2 w}{\partial x \partial y^2} \right], \quad (21.36)$$

определяющее совместность работы пластины и ребра при изгибе.

Для составления условия совместности деформаций кромки пластины и ребра при кручении запишем выражения для погон-

ного угла закручивания θ и крутящего момента $M_{кр}$: $\theta = M_{кр} C /$

$$M_{кр} = \int_0^a M_1(y) dy, \quad \text{где } C \text{ — жесткость ребра при чистом кручении.}$$

При этом выражение для θ есть известное соотношение из теории чистого кручения, а выражение для $M_{кр}$ записано с учетом того, что крутящие моменты в сечениях ребра создаются распределен-

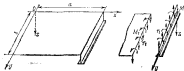


Рис. 21.8

ными по его длине моментами (см. рис. 21.8). Исключая $M_{кр}$ из двух последних формул и дифференцируя их по y , получаем

$$C \frac{\partial \theta}{\partial y} = M_1. \quad (21.37)$$

Погонный угол закручивания ребра можно найти по полному углу поворота ребра, который как и для кромки пластины, равен $\frac{\partial w}{\partial x}$.

Поэтому $\theta = \frac{\partial}{\partial y} \left(\frac{\partial w}{\partial x} \right) = \frac{\partial^2 w}{\partial x \partial y}$.

Если из соотношения (21.37) исключить θ и подставить в него выражение (21.18) для M_1 , то получим второе граничное условие

$$\frac{\partial^2 w}{\partial x \partial y^2} = -\frac{D}{C} \left(\frac{\partial^2 w}{\partial x^2} + \mu \frac{\partial^2 w}{\partial y^2} \right). \quad (21.38)$$

Рассмотренные выше примеры, охватывая наиболее характерные случаи, показывают, как составлять граничные условия для прогиба пластины в зависимости от условий закрепления ее кромок: с учетом принятого правила знака следует выразить заданные элементы изгиба через прогиб или составить условия совместности деформаций кромки пластины и ее опорной конструкции.

§ 21.3. Классификация пластины

Нелинейная система дифференциальных уравнений Кармана (21.24), описывающая изгиб пластинки при заданных граничных условиях, не может быть решена в общем виде. Даже приближенный метод ее решения недостаточно разработан. Поэтому имеются частные решения полной системы уравнений (21.24) немногочисленны. Однако в ряде случаев напряженное состояние

пластин таково, что в уравнениях Кармана могут быть сделаны упрощения, после чего их интегрирование существенно облегчается.

Принято различать следующие типы пластин по роду их напряженного состояния и вытекающим отсюда методам расчета.

Жесткие пластины. Прогиб этих пластин настолько мал, что влиянием целых усилий T_1 , T_2 , S на прогиб можно пренебречь. Тогда второе уравнение Кармана (21.24) упрощается так:

$$D\nabla^4 w = p(x, y), \quad (21.39)$$

т. е. прогиб удается определять независимо от функции напряжений $F(x, y)$.

К категории жестких пластин, как правило, относятся пластины днищевой обшивки морских транспортных судов.

Очевидно, что в решении уравнения (21.39) сводится расчет пластины и при отсутствии целых усилий в ее срединной плоскости.

Гибкие пластины (или пластины конечной жесткости) небольшого прогиба. Из-за малости прогиба таких пластин можно пренебречь нелинейными относительно w членами правой части первого уравнения (21.24). Уравнения Кармана для этих пластин принимают вид

$$\left. \begin{aligned} \nabla^2 \nabla^2 w &= 0; \\ D\nabla^2 \nabla^2 w &= p(x, y) + \\ &+ i \left(\frac{\partial F}{\partial y^2} \frac{\partial w}{\partial x^2} - 2 \frac{\partial F}{\partial x \partial y} \frac{\partial w}{\partial x \partial y} + \frac{\partial F}{\partial x^2} \frac{\partial w}{\partial y^2} \right). \end{aligned} \right\} \quad (21.40)$$

Как видно из уравнений (21.40), функция $F(x, y)$ определяется из первого уравнения при своих граничных условиях независимо от прогиба w . После определения $F(x, y)$ можно найти w из второго уравнения (21.40), которое хотя и линейно относительно w , но имеет переменные коэффициенты. Поэтому интегрирование данного уравнения связано с определенными трудностями. Уравнения (21.40) еще мало используются для практических расчетов, и решения их, доведенные до числовых справочных данных, немногочисленны.

Уравнения (21.40) представляют особый интерес для исследования устойчивости пластин в «малом», т. е. в линейной теории устойчивости. В этих целях уравнения (21.40) будут использованы позже (см. § 21.7).

Гибкие пластины (или пластины конечной жесткости) большого прогиба. Напряженное состояние этих пластин описывается полной системой уравнений Кармана (21.24), так как возмозное влияние прогиба и целых усилий оказывается значительным. Обычно к категории гибких пластин большого прогиба относятся судовые пластины, несущие большие поперечные нагрузки при наличии распоров.

Полная система уравнений Кармана представляет для строительной механики корабля значительный интерес при исследова-

нии напряженного состояния сжатых пластин после потери устойчивости.

Абсолютно гибкие пластины (мембраны), у которых возмозная жесткость пренебрежимо мала и которые могут воспринимать только целые усилия. Напряженное состояние таких мембран описывается уравнениями (21.24) при $D = 0$:

$$\left. \begin{aligned} \nabla^2 \nabla^2 F &= F \left[\left(\frac{\partial w}{\partial x \partial y} \right)^2 - \frac{\partial^2 w}{\partial x^2} \frac{\partial^2 w}{\partial y^2} \right]; \\ \frac{\partial F}{\partial y^2} \frac{\partial w}{\partial x^2} - 2 \frac{\partial F}{\partial x \partial y} \frac{\partial w}{\partial x \partial y} + \frac{\partial F}{\partial x^2} \frac{\partial w}{\partial y^2} &= -\frac{p}{i}. \end{aligned} \right\} \quad (21.41)$$

Абсолютно гибкие пластины (мембраны) в судовых конструкциях не встречаются. Отметим только один частный случай, когда мембрана сильно растянута усилиями $T_1 = T_2 = T$, $S = 0$ и поперечная нагрузка p вызывает малые прогибы. Тогда нелинейные члены в первом уравнении (21.41) пренебрежимо малы и оно удовлетворяется тождественно. Второе же уравнение с учетом (21.23) принимает вид $\nabla^2 w = -p/T$. Это уравнение использовалось в аналогии Прандтля при расчете кручения стержней (см. § 5.1).

Приведенной выше классификации пластин по роду напряженного состояния носит условный характер. Строго говоря, тип пластины можно установить лишь после выполнения точного расчета на основании полных уравнений Кармана (21.24). Однако в ряде практических случаев тип пластины можно определить по ее конструктивным особенностям и характеру действующей на нее нагрузки.

§ 21.4. Изгиб жестких изотропных прямоугольных пластин

Рассмотрим жесткую прямоугольную пластину, нагруженную произвольным поперечным давлением $p(x, y)$ (рис. 21.9).

Прогиб жесткой пластины определяется уравнением (21.39), которое в развернутом виде имеет вид

$$\frac{\partial^4 w}{\partial x^4} + 2 \frac{\partial^4 w}{\partial x^2 \partial y^2} + \frac{\partial^4 w}{\partial y^4} = p(x, y) / D. \quad (21.42)$$

Расчет жесткой пластины требует решения уравнения (21.42) относительно прогиба пластины $w(x, y)$ при заданных граничных условиях. Ниже рассмотрены известные решения этого уравнения для прямоугольных пластин при различных граничных условиях.

Решение Л. Навье (1820 г.) для свободно опертой на кромках пластины. На основании зависимостей (21.25) граничные условия

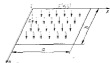


Рис. 21.9

на краяхах $x=0$; a , $y=0$; b (см. рис. 21.9) при свободном оперании пластины на жесткий контур будут следующими:

$$\left. \begin{aligned} w(0, y) = w(a, y) = 0; \\ \frac{\partial w}{\partial x}(0, y) = \frac{\partial w}{\partial x}(a, y) = 0; \\ w(x, 0) = w(x, b) = 0; \\ \frac{\partial w}{\partial y}(x, 0) = \frac{\partial w}{\partial y}(x, b) = 0. \end{aligned} \right\} \quad (21.43)$$

Решение уравнения (21.42) с граничными условиями (21.43) может быть получено в двойных рядах Фурье по синусам:

$$w(x, y) = \sum_{m=1}^{\infty} \sum_{n=1}^{\infty} \alpha_{mn} \sin m\pi x \sin n\pi y, \quad (21.44)$$

где α_{mn} — неизвестные коэффициенты;

$$\xi = x/a; \quad \eta = y/b. \quad (21.45)$$

Форма решения (21.44) тождественно удовлетворяет граничным условиям (21.43), в чем легко убедиться посредством обычной подстановки выражения (21.44) в соотношения (21.43).

Для удовлетворения дифференциального уравнения (21.42) необходимо подставить в него выражение для прогиба (21.44). В результате получим

$$\sum_{m=1}^{\infty} \sum_{n=1}^{\infty} (\pi^2 + \pi^2 \gamma^2) \alpha_{mn} \sin m\pi \xi \sin n\pi \eta = p(x, y) \delta^4 / (\pi^4 D). \quad (21.46)$$

Здесь $\gamma = b/a$. (21.46')

Разлагая правую часть равенства (21.46) в двойные ряды по синусам и сравнивая коэффициенты при одинаковых членах рядов в левой и правой частях, находим

$$\alpha_{mn} = \rho_{mn} \delta^4 / (\pi^4 D (\pi^2 + \pi^2 \gamma^2)); \quad (21.47)$$

где ρ_{mn} — коэффициенты Фурье функции $p(x, y)$, равные

$$\rho_{mn} = 4 \int_0^1 \int_0^1 p(\xi, \eta) \sin m\pi \xi \sin n\pi \eta d\xi d\eta. \quad (21.48)$$

Подставляя (21.47) в ряд (21.44), получаем

$$w(x, y) = \frac{\delta^4}{\pi^4 D} \sum_{m=1}^{\infty} \sum_{n=1}^{\infty} \frac{\rho_{mn} \sin m\pi \xi \sin n\pi \eta}{(\pi^2 + \pi^2 \gamma^2)}. \quad (21.49)$$

Таким образом, прогиб жесткой свободно опертой на краяхах прямоугольной пластины определяется выражением (21.49). Это решение будет справедливо для любого закона изменения опорной нагрузки $p(x, y)$ по площади пластинки. Вычисляя ρ_{mn} по

формулам (21.48), можно определить прогиб пластинки (21.49), а затем выразить силовые факторы (21.18), (21.20) и напряжения (21.21).

Рассмотрим некоторые частные нагружения пластины.

Изгиб пластины равноиерным давлением. В этом случае $p(x, y) = p = \text{const}$, а коэффициенты ряда Фурье (21.48) будут равны

$$\rho_{mn} = 4p \int_0^1 \int_0^1 \sin m\pi \xi \sin n\pi \eta d\xi d\eta = 4p [1 - (-1)^m] [1 - (-1)^n] / (\pi^2 mn).$$

Из данного выражения следует, что при нечетных m и n

$$\rho_{mn} = 16p / (\pi^2 mn), \quad (21.50)$$

а в остальных случаях $\rho_{mn} = 0$, что является следствием симметрии нагрузки относительно центра пластины.

Подставляя значения коэффициентов (21.50) в выражение (21.49) и используя формулы (21.18), находим

$$\left. \begin{aligned} w &= \frac{16p\delta^4}{\pi^4 D} \sum_{m=1,3,5,\dots} \sum_{n=1,3,5,\dots} \frac{\sin m\pi \xi \sin n\pi \eta}{\pi^2 \Delta_{mn}}; \\ M_1 &= \frac{16p\delta^4}{\pi^2} \sum_{m=1,3,5,\dots} \sum_{n=1,3,5,\dots} \frac{(\pi^2 \gamma^2 + \mu \pi^2)}{\pi \Delta_{mn}} \sin m\pi \xi \sin n\pi \eta; \\ M_2 &= \frac{16p\delta^4}{\pi^2} \sum_{m=1,3,5,\dots} \sum_{n=1,3,5,\dots} \frac{(\pi^2 + \mu \pi^2 \gamma^2)}{\pi \Delta_{mn}} \sin m\pi \xi \sin n\pi \eta; \\ H &= \frac{16(1-\mu)p\delta^4}{\pi^2} \sum_{m=1,3,5,\dots} \sum_{n=1,3,5,\dots} \frac{\cos m\pi \xi \cos n\pi \eta}{\Delta_{mn}}, \end{aligned} \right\} \quad (21.51)$$

где

$$\Delta_{mn} = (\pi^2 + \pi^2 \gamma^2)^2. \quad (21.52)$$

Приведенные переформулированные схемы в соответствии с формулами (21.31) и (21.33) будут равны

$$\left. \begin{aligned} r_1 &= \frac{16p\delta^4}{\pi^2} \sum_{m=1,3,5,\dots} \sum_{n=1,3,5,\dots} \frac{\pi^2 \gamma^2 + (2-\mu)\pi^2}{\pi \Delta_{mn}} \cos m\pi \xi \sin n\pi \eta; \\ r_2 &= \frac{16p\delta^4}{\pi^2} \sum_{m=1,3,5,\dots} \sum_{n=1,3,5,\dots} \frac{\pi^2 + (2-\mu)\pi^2 \gamma^2}{\pi \Delta_{mn}} \sin m\pi \xi \cos n\pi \eta. \end{aligned} \right\} \quad (21.53)$$

Максимальный прогиб и изгибающие моменты возникают в центре пластины и согласно формулам (21.51) и (21.52) определяются выражениями

$$w_{\text{max}} = 2,16\delta^4/D; \quad M_1 = k_1 p \delta^4; \quad M_2 = k_2 p \delta^4, \quad (21.54)$$

$$\begin{aligned}
 k_1 &= \frac{16}{\pi^2} \sum_{m=1}^{1,3,5,\dots} \sum_{n=1}^{1,3,5,\dots} \frac{(-1)^{\frac{m+n}{2}} (-1)^{\frac{n-1}{2}}}{\pi \alpha \Delta_{mn}}; \\
 k_2 &= \frac{16}{\pi^2} \sum_{m=1}^{1,3,5,\dots} \sum_{n=1}^{1,3,5,\dots} \frac{(\mu^2 \gamma^2 + \mu^2 \gamma^2)}{\pi \alpha \Delta_{mn}} (-1)^{\frac{n+m+1}{2}}; \\
 k_3 &= \frac{16}{\pi^2} \sum_{m=1}^{1,3,5,\dots} \sum_{n=1}^{1,3,5,\dots} \frac{(\mu^2 + \mu^2 \gamma^2)}{\pi \alpha \Delta_{mn}} (-1)^{\frac{m+n+1}{2}}.
 \end{aligned} \quad (21.55)$$

Из формул (21.55) видно, что значения k_i зависят от коэффициента Пуассона μ и отношения длин сторон пластины (21.46). Для судостроительных сталей значение $\mu \approx 0,3$. Поэтому в таблицах справочников [50, 51] k_i приводятся и зависят только от γ .

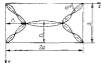


Рис. 21.10

С точки зрения воздействия пластины на опорный контур интересно проследить за изменением реакций r_1 и r_2 (21.53) вдоль опорного контура. Зноры этих реакций приведены на рис. 21.10 при $\gamma = 0,5$ (сплошные линии). Пунктирными линиями изображены приближенные зноры реакций, предложенные Н. Г. Бубновым. Как видно из знора, основная часть равномерного давления на пластину передается на длинные стороны опорного контура пластины. Это обстоятельство было использовано при определении нагрузок на балки главного направления судовых переборок (см. § 17.3).

Большой интерес представляет анализ решения об изгибе рассматриваемой пластины, когда длина одной из сторон намного больше другой (поперечная система набора конструкций). В этом случае $a \gg b$, $\gamma \approx 0$ и формулы (21.55) примут вид

$$k_1 = 5/384; \quad k_2 = \mu/8; \quad k_3 = 1/8. \quad (21.56)$$

С учетом формул (21.54) и (21.56) наибольшие параметры изгиба будут равны

$$w_{\max} = 5\rho b^4/(384D); \quad M_1 = \mu\rho b^2/8; \quad M_2 = \rho b^2/8. \quad (21.57)$$

Формулы (21.51) и (21.57) показывают, что в средней по длине части пластины прогибы и изгибающие моменты не зависят от x , т. е. в средней части пластинки изгибается по цилиндрической поверхности $w = w(y)$ при отсутствии кривизны в плоскости гола (рис. 21.11). Это означает, что в средней части пластины любая балка-полоска, выделенная линиями, передается равномерным длинным кромкам, находится в одинаковых условиях с соседними. Поэтому

при цилиндрическом изгибе расчет пластины можно свести к расчету балки-полоски единичной ширины. Этот интересный и очевидный факт впервые был использован Н. Г. Бубновым (1912 г.) для расчета обшивки судов с поперечной системой набора.

Изгиб пластины сосредоточенной силой. Рассмотрим теперь пластину (рис. 21.12), нагруженную сосредоточенной силой P в некоторой точке с относительными координатами

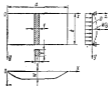


Рис. 21.11

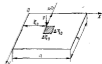


Рис. 21.12

т. е. η [см. формулы (21.45)]. Заменим эту силу равномерно распределенной нагрузкой

$$p = P/(\alpha b \Delta_x \Delta_y) \quad (21.58)$$

в пределах малой площадки с относительными размерами Δ_x , Δ_y . Тогда поперечная нагрузка $p(x, y)$ окажется равной нулю за пределами указанной малой площадки, а в пределах площадки будет определяться формулой (21.58).

Учитывая формулу (21.48) для коэффициентов Фурье произвольной нагрузки и подставляя туда (21.58) с учетом локального действия нагрузки, получим

$$P_{mn} = \frac{4P}{\alpha b \Delta_x \Delta_y} \int_{-\Delta_x/2}^{+\Delta_x/2} \int_{-\Delta_y/2}^{+\Delta_y/2} \sin \alpha x \xi \sin \pi n y \eta d\xi d\eta.$$

Интегрируя в числителе предел P_{mn} при $\Delta_x \rightarrow 0$, $\Delta_y \rightarrow 0$, т. е. при стягивании площадки в точку, найдем

$$P_{mn} = 4P \sin \pi \xi_0 \sin \pi \eta_0 / (\alpha b). \quad (21.59)$$

Подстановка (21.59) в формулу (21.49) даст выражение для прогиба при действии на пластину сосредоточенной силы

$$w = \frac{4Pb^3}{\pi^2 D \alpha} \sum_{m=1}^{\infty} \sum_{n=1}^{\infty} \frac{\sin \pi \xi_0 \sin \pi \eta_0 \sin \pi m x \sin \pi n y}{\Delta_{mn}}. \quad (21.60)$$

Полученное выражение для прогиба может быть использовано для расчета пластины при сосредоточенных нагрузках.

В крайних решениях Навье (21.49), (21.51), (21.60) для общего и частных случаев изменения давления $p(x, y)$ приводятся суммированные двойные бесконечные ряды. Поскольку они могут быть вычислены только весьма редко, при практических расчетах в рядах для параметра изгиба удерживается конечное число членов. Сходимость рядов, а следовательно, и число удерживаемых членов при заданной точности зависит от закона изменения нагрузки $p(x, y)$ и отношения сторон η . Для квадратной пластины ($\eta = 1$) сходимость оказывается наилучшей во всех случаях. Чем ближе нагрузка $p(x, y)$, тем быстрее убывают коэффициенты (21.48) и члены ряда (21.49). Кроме того, ряды для прогибов (21.49), (21.51), (21.60) сходятся быстрее, чем ряды для углов поворота, изгибающих и крутящих моментов, а также перерезывающих сил. Ряды для последних сходятся медленнее всего, так как эти силы выражаются формулами (21.20), (21.31), (21.33) через третьи производные от прогиба. А сходимость рядов Фурье, как известно, ухудшается после каждого дифференцирования. Поэтому наименьшее число членов, которое необходимо удерживать при расчетах для обеспечения заданной точности, окажется при вычислении прогибов, а наибольшее — при вычислении перерезывающих сил.

Решение Мориса Леви (1899 г.). Оно относится к более широкому классу задач изгиба пластин. Предполагается свободное опирание на жесткий контур только на двух противоположных кромках. Будем для определенности считать, что кромки $x=0$; x свободно открыты (см. рис. 21.9). Тогда решение уравнения (21.42) можно искать в виде

$$w(x, y) = \sum_{n=1}^{\infty} f_n(y) \sin n\pi x, \quad (21.61)$$

где $f_n(y)$ — неизвестная пока функция.

Подставляя (21.61) в уравнение изгиба жесткой пластины (21.42), получаем

$$\sum_{n=1}^{\infty} \left[\left(\frac{n\pi}{a} \right)^4 f_n - 2 \left(\frac{n\pi}{a} \right)^2 f_n'' + f_n^{IV} \right] \sin n\pi x = \frac{p(x, y)}{D}.$$

Раскладывая $p(x, y)$ в ряд Фурье по синусам кратных дуг вдоль координаты x и сравнивая коэффициенты этих рядов в правой и левой частях последнего равенства, найдем

$$f_n^{IV} - 2 \left(\frac{n\pi}{a} \right)^2 f_n'' + \left(\frac{n\pi}{a} \right)^4 f_n = p_n(y)/D. \quad (21.62)$$

Здесь $\alpha_n = n\pi b/a = n\pi \eta$;

$$p_n(y) = 2 \int_0^1 p(x, y) \sin n\pi x dx. \quad (21.63)$$

Общее решение обыкновенного линейного дифференциального уравнения четвертого порядка (21.62) состоит из общего интеграла

однородного дифференциального уравнения и частного решения неоднородного уравнения. Это решение можно представить в виде

$$f_n(y) = (B_{1n} + B_{2n}y) \operatorname{sh} \alpha_n \eta + (B_{3n} + B_{4n}y) \operatorname{ch} \alpha_n \eta + f_{1n}(y), \quad (21.64)$$

где B_{jn} , $j = 1, 2, 3, 4$ — произвольные постоянные; $f_{1n}(y)$ — частное решение уравнения (21.62), отыскиваемое по виду правой части.

При линейном законе изменения давления $p(x, y)$ вдоль оси ox и произвольном законе изменения вдоль оси oy функция $p_n(y)$ изменяется линейно:

$$p_n(y) = p_{0n} + p_{1n}y. \quad (21.65)$$

Здесь p_{0n} , p_{1n} — коэффициенты, определяемые в соответствии с формулой (21.63).

Частное решение уравнения (21.62) при условии (21.65) будет следующим:

$$f_{1n}(y) = \frac{p_{0n}(y)}{\alpha_n^4} y^2 + \frac{(p_{1n} + p_{0n}y)}{\alpha_n^4} y^3. \quad (21.66)$$

На основании формул (21.61) и (21.64) выражение для прогиба пластин принимает вид

$$w(x, y) = \sum_{n=1}^{\infty} [f_n(y) + (B_{1n} + B_{2n}y) \operatorname{sh} \alpha_n \eta + (B_{3n} + B_{4n}y) \operatorname{ch} \alpha_n \eta] \sin n\pi x. \quad (21.67)$$

Для вычисления прогиба по выражению (21.67) необходимо найти частное решение $f_{1n}(y)$ и произвольные постоянные B_{jn} . Частное решение уравнения (21.62) с учетом формул (21.63) отыскивают по виду правой части известными и математике способами. В случае линейного изменения давления $p(x, y)$ вдоль оси oy справедливы зависимости (21.65) и (21.66). Четыре постоянные B_{jn} определяют из четырех граничных условий на кромках $y=0$; b . При этом указанные условия могут быть заданы произвольно. После определения прогиба по (21.67) производят дальнейший расчет по формулам (21.18), (21.20)–(21.22), что позволяет последовательно найти изгибающие и крутящие моменты, перерезывающие силы, нормальные и касательные напряжения в сечениях пластины, перпендикулярных осям Ox и Oy .

Для иллюстрации изложенной схемы вычислений рассмотрим следующий пример.

Пример 3. Произвести расчет пластины с тремя свободно открытыми кромками в одной жестко заделанной кромке под действием гидростатического давления (рис. 21.13). Кромки пластины $x=0$; x , $y=0$ свободно открыты из жесткой кромки, а кромка $y=b$ жестко заделана.

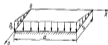


Рис. 21.13

Режимом. Граничные условия из оснований формул (21.25) и (21.26) могут быть записаны в виде

$$\psi(x_0, y) = \frac{\partial^2 \psi}{\partial x^2}(x_0, y) = 0, \quad x_0 = 0; \quad x; \quad (21.68)$$

$$\psi(x, 0) = \frac{\partial \psi}{\partial y}(x, 0) = 0; \quad (21.69)$$

$$\psi(x, b) = \frac{\partial \psi}{\partial y}(x, b) = 0. \quad (21.70)$$

Для рассмотренной системы нагрузка равна

$$p(x, y) = p_0 \psi. \quad (21.71)$$

где p_0 — максимальное давление (см. фиг. 21.13).

Используя режим М. Лева (21.67), удовлетворяющее граничным условиям (21.68), определим частные решения $f_n(x, y)$ для давления (21.71) в прямоугольной пластине с помощью решений (21.69) и (21.70).

Подставляя (21.71) в (21.65), на базе формул (21.65) и (21.66) находим

$$f_{1n}(y) = p_{1n} \delta^4 / (D_0 \alpha_n^4); \quad p_{1n} = 2[1 - (-1)^n] p_0 / (\alpha_n \delta). \quad (21.72)$$

Выполнив теперь первое тригонометрическое условие (21.69), подставив в выражение (21.67) $\psi = 0$, получим

$$\sum_{n=1}^{\infty} [f_{1n}(0) + \delta_{1n}] \sin \alpha_n z = 0. \quad \text{Для обращения в нуль ряда Фурье, спящего в любой части этого равенства, необходимо превратить право его коэффициенты:}$$

$$\delta_{1n} + f_{1n}(0) = 0. \quad (21.73)$$

Выделив произвольную $\frac{\partial^2 \psi}{\partial y^2}$ от пробной (21.67) и вставляя по второму граничному условию (21.65), выделенно предыдущему получим

$$\alpha_n \delta_{2n} + 2\delta_{2n} = 0. \quad (21.74)$$

Поскольку $f_{1n}(0) = 0$ вследствие (21.72), из уравнений (21.73) и (21.74) находим

$$\delta_{1n} = \delta_{2n} = 0. \quad (21.75)$$

Подставляя пробой (21.67) и его производную $\frac{\partial \psi}{\partial y}$ в граничные условия (21.70), с учетом (21.75) получаем

$$\left. \begin{aligned} B_{1n} \operatorname{sh} \alpha_n + B_{2n} \operatorname{ch} \alpha_n &= -p_{1n} \delta^4 / (D_0 \alpha_n^4); \\ (\alpha_n B_{1n} + \delta_{2n} \alpha_n) \operatorname{ch} \alpha_n + \delta_{1n} \operatorname{sh} \alpha_n &= -p_{1n} \delta^4 / (D_0 \alpha_n^4). \end{aligned} \right\}$$

Из этой системы найдем

$$\left. \begin{aligned} B_{1n} &= -p_{1n} \delta^4 \varphi(\alpha_n) / (D_0 \alpha_n^4 \operatorname{sh} \alpha_n); \\ B_{2n} &= -p_{1n} \delta^4 [1 - \varphi(\alpha_n)] / (D_0 \alpha_n^4 \operatorname{ch} \alpha_n); \\ \varphi(\alpha_n) &= \frac{\operatorname{sh} \alpha_n \operatorname{sh}^2 \alpha_n}{\operatorname{sh} 2\alpha_n - 2\alpha_n}. \end{aligned} \right\} \quad (21.76)$$

Таким образом, граничные условия (21.68) и (21.70) привели к соотношениям (21.75) и (21.76); определим произвольные постоянные B_n .

Подстановка (21.72), (21.75), (21.76) в выражение (21.67) дает

$$\psi(x, y) = \frac{4p_0 \delta^4}{\pi D} \sum_{n=1}^{\infty} \frac{1}{\alpha_n^4} \left[\varphi \left(1 - \frac{\operatorname{ch} \alpha_n \eta}{\operatorname{ch} \alpha_n} \right) + \right. \\ \left. + \varphi(\alpha_n) \left(\frac{\eta \operatorname{ch} \alpha_n \eta}{\operatorname{ch} \alpha_n} - \frac{\operatorname{sh} \alpha_n \eta}{\operatorname{sh} \alpha_n} \right) \right] \sin \alpha_n x. \quad (21.77)$$

Отсюда пробой (21.77) рассмотренной пластины, можно найти моменты (21.14) и перемещения (21.50), действующие в сечении пластины. Приближенным изложением это не является, однако выражения годятся для доказательства и в учебном по предмету. В справочниках [30, 31] имеются численные результаты, необходимые для практического расчета пластин в форме (21.74).

Аналогично рассмотренному примеру на основе (21.67) изучим и другие режимы деформации изгибной пластины для произвольных краевых условий свободной опоры [30, 31].

Сложность бесконечных односторонних рядов (21.67) и (21.77) оказывается хорошей. При вычислении пробоев оказывается достаточным 3—5 членов, а приближенных моментов — до 15 членов ряда, для обеспечения точности порядка 1%. Объем расчетов, как правило, весьма и достояние малых ЭВМ и даже микрокалькуляторов.

Формы общего решения задачи об изгибе жесткой прямоугольной пластины. Полученные выше решения (21.49), (21.67) Л. Навье и М. Лева непригодны при произвольных граничных условиях на всех четырех краях пластины. В связи с этим представляется интерес привести общее решение дифференциального уравнения (21.42), применимое вря любых граничных условиях на краях прямоугольной пластины. Это решение может быть получено в виде

$$\psi(x, y) = \psi_0(x, y) + \psi_1(x, y), \quad (21.78)$$

где $\psi_0(x, y)$ — общее решение однородного уравнения (21.42), т. е. при $p(x, y) = 0$; $\psi_1(x, y)$ — какое-либо частное решение неоднородного уравнения (21.42).

В качестве частного решения всегда может быть использовано решение Л. Навье (21.49), поскольку оно применимо для любого закона изменения давления $p(x, y)$ в поле пластины. Однако в частных случаях можно выбрать частные решения в более простой форме. Например, при действии на пластину гидростатического давления, когда $p(x, y)$ изменится по линейному закону, частные решения могут быть выбраны в виде соответствующих полиномов пятой степени. Такими формами частных решений широко пользовались И. Г. Бубнов, Б. Г. Галеркин, П. Ф. Панкович, С. П. Тимошенко при исследовании изгиба пластин с произвольными граничными условиями.

Общее решение $\psi_0(x, y)$ однородного уравнения (21.42) может быть записано так:

$$\psi_0(x, y) = \sum_{n=1}^{\infty} f_n(\eta) \sin \alpha_n x + \sum_{m=1}^{\infty} \varphi_m(\xi) \sin m \pi y. \quad (21.79)$$

Здесь $f_n(\eta)$; $\varphi_m(\xi)$ — неизвестные пока функции.

Подставляя (21.79) в однородное уравнение (21.42) и приравняв к нулю функциональные коэффициенты при синусах, получаем:

$$\left. \begin{aligned} f_{\eta\eta}'' - 2\alpha_0 f_{\xi\xi}'' + \alpha_0^2 f_{\xi\xi}'' &= 0; \\ q_{\eta\eta}'' - 2\beta_0 q_{\xi\xi}'' + \beta_0^2 q_{\xi\xi}'' &= 0, \end{aligned} \right\} \quad (21.80)$$

где дифференцирование выполняется по переменным ξ и η :

$$\alpha_0 = \pi a / y, \quad \beta_0 = \pi b / y. \quad (21.81)$$

Общие решения однородных обыкновенных линейных дифференциальных уравнений (21.80) могут быть записаны в виде

$$\left. \begin{aligned} f_{\alpha}(\eta) &= (B_{1\alpha} + B_{2\alpha}\eta) \sin \alpha_0 \eta + (B_{3\alpha} + B_{4\alpha}\eta) \cos \alpha_0 \eta; \\ q_{\alpha}(\xi) &= (A_{1\alpha} + A_{2\alpha}\xi) \sin \beta_0 \xi + (A_{3\alpha} + A_{4\alpha}\xi) \cos \beta_0 \xi. \end{aligned} \right\} \quad (21.82)$$

Здесь A_{α}, B_{α} — произвольные постоянные.

Первое слагаемое выражения (21.79) [с учетом (21.82) и (21.67)] является решением М. Леви при $p(x, y) = 0$ для пластины, свободно опёртой на кромках $x = 0$; a . Это решение позволяет удовлетворить любые граничные условия на кромках $y = 0$; b за счет выбора произвольных постоянных B_{α} . Аналогично второе слагаемое выражения (21.79) будет решением М. Леви при $p(x, y) = 0$ в случае свободного опирания кромок $x = 0$; a с произвольными граничными условиями на кромках $x = 0$; a , которые можно удовлетворить за счет выбора постоянных A_{α} . Таким образом, восемь групп произвольных постоянных A_{α}, B_{α} , входящих в общее решение (21.79) однородного уравнения (21.42), позволяют удовлетворить восемь граничных условий на контуре пластины (по два граничных условия на каждой из четырех кромок).

Суммируя полученные результаты, на основании формул (21.78), (21.49), (21.79) общее решение уравнения (21.42) можно представить в виде

$$\begin{aligned} w(x, y) &= \frac{\delta^3}{x^3 y^3} \sum_{\alpha=1}^{\infty} \sum_{\beta=1}^{\infty} \frac{f_{\alpha\beta} \sin \alpha \xi \sin \beta \eta}{(\alpha^2 + \beta^2)^2} + \\ &+ \sum_{\alpha=1}^{\infty} f_{\alpha}(\eta) \sin \alpha \xi + \sum_{\alpha=1}^{\infty} q_{\alpha}(\xi) \sin \alpha \eta + (C_2 + C_2^{\beta} + C_2^{\eta} + C_2^{\beta\eta}). \end{aligned} \quad (21.83)$$

Последнее слагаемое в круглых скобках выражение (21.83) содержит четыре постоянных C_i и одновременно удовлетворяет однородному уравнению (21.42). Постоянными C_i характеризуются прогибы в углах пластины, так как все ряды, входящие в (21.83), равны нулю в указанных точках. При этом линейному члену $(C_2 + C_2^{\xi} + C_2^{\eta})$ соответствует перемещение пластины как твёрдого тела, а члену $C_2^{\beta\eta}$ — деформация пластины с постоянной кривизной кручения $\frac{\partial^2 w}{\partial x \partial y} = \frac{C_2^{\beta\eta}}{ab}$. Выражение (21.83) включает упомя-

нутое слагаемое в тех случаях, когда углы пластины могут перемещаться, например при опирании пластины на деформируемый контур. Если же при изгибе пластины ее углы оказываются неподвижными, то все $C_i = 0$.

Для определения произвольных постоянных A_{α}, B_{α} используют заданные граничные условия на четырех кромках пластины. После подстановки (21.83) в граничные условия получают восемь групп линейных алгебраических уравнений (в общем случае бесконечных) относительно A_{α} и B_{α} . Отыскать эти неизвестные и подставить в формулу (21.83), найдём прогиб пластины $w(x, y)$, после чего вычисление остальных параметров изгиба принципиальных затруднений не вызывает. Разумеется, что расчет производится при конечном числе членов рядов, входящих в (21.83).

В заключение отметим, что выражение (21.82), входящее в (21.83), не вполне удобно для выполнения всех указанных вычислений. Поэтому предложены иные формы решений (21.82) с использованием специальных функций, которые являются линейными комбинациями, содержащимися в (21.82) частями решений уравнений (21.80). Одна из таких форм, эквивалентная (21.83), а также подробный алгоритм ее расчета приведены в учебнике [55].

§ 21.5. Изгиб жестких ортотропных прямоугольных пластин

Техническая теория изгиба тонких ортотропных пластин обычно базируется на тех же гипотезах, что и теория изгиба изотропных пластин. Поэтому различие в основных уравнениях изгиба изотропных и ортотропных пластин будет лишь в зависимости закона Гука и вытекающих из него соотношений между напряжениями и перемещениями.

Ниже будут рассмотрены жесткие ортотропные прямоугольные пластины с главными направлениями ортотропии материала, параллельными кромкам пластины. Поскольку на изгиб жестких пластин влияет только поперечная нагрузка, при выводе основных уравнений изгиба жестких ортотропных пластин центральные условия можно считать равными нулю.

Уравнения закона Гука для ортотропной пластины при плоском напряженном состоянии каждого слоя, параллельного срединной плоскости, можно получить из формул (2.29) при $\sigma_z = 0$

$$\begin{aligned} \sigma_x &= \frac{E_x}{E_x} \varepsilon_x - \frac{\nu_{xy}}{E_y} \sigma_y; & \sigma_y &= \frac{\nu_{yx}}{E_x} \sigma_x + \frac{E_y}{E_y} \varepsilon_y; & \gamma_{xy} &= \frac{\tau_{xy}}{G_{xy}}; \quad (21.84) \\ \sigma_x &= \frac{E_x (\varepsilon_x + \nu_{xy} \varepsilon_y)}{1 - \nu_{xy} \nu_{yx}}; & \sigma_y &= \frac{E_y (\varepsilon_y + \nu_{yx} \varepsilon_x)}{1 - \nu_{xy} \nu_{yx}}; & \tau_{xy} &= G_{xy} \gamma_{xy}. \end{aligned} \quad (21.85)$$

где $E_x, E_y, \nu_{xy}, \nu_{yx}$ — модули продольной упругости и коэффициенты Пуассона для главных направлений ортотропии пластины вдоль осей x и y соответственно; G_{xy} — модуль сдвига ортотропного материала в плоскости пластины.

Между узурными постоянными ортотропной пластины имеют место соотношения [см. выражение (2.30)]

$$E_x \mu_{xy} = E_y \mu_{yx} \quad (21.85)$$

Полученные ранее основные зависимости (21.1)–(21.7) и (21.13)–(21.15) будут справедливы и для ортотропных пластин. Совместно с законом Гука (21.84), (21.85) эти зависимости позволяют получить разрешающие уравнения изгиба гибких ортотропных пластин типа уравнений Кармана (21.24). Для жестких ортотропных пластин в основных зависимостях (21.1)–(21.7) и (21.13)–(21.15) следует положить $T_1 = T_2 = S = 0$. Тогда, повторяя выводы § 21.1 и 21.2, с учетом закона Гука (21.85) для жесткой ортотропной пластины получим такие основные уравнения:

$$D_1 \frac{\partial^4 w}{\partial x^4} + 2D_2 \frac{\partial^4 w}{\partial x^2 \partial y^2} + D_3 \frac{\partial^4 w}{\partial y^4} = p(x, y); \quad (21.87)$$

$$\left. \begin{aligned} M_x &= -D_1 \left(\frac{\partial^2 w}{\partial x^2} + \mu_{xy} \frac{\partial^2 w}{\partial y^2} \right); \\ M_y &= -D_1 \left(\frac{\partial^2 w}{\partial y^2} + \mu_{yx} \frac{\partial^2 w}{\partial x^2} \right); \\ H &= -2D_2 \frac{\partial^2 w}{\partial x \partial y}; \end{aligned} \right\} \quad (21.88)$$

$$\left. \begin{aligned} N_1 &= -D_1 \left(\frac{\partial^2 w}{\partial x^2} + \delta_1 \frac{\partial^2 w}{\partial x \partial y^2} \right); \\ N_2 &= -D_1 \left(\delta_2 \frac{\partial^2 w}{\partial y^2} + \delta_3 \frac{\partial^2 w}{\partial x^2 \partial y} \right); \end{aligned} \right\} \quad (21.89)$$

$$\left. \begin{aligned} r_1 &= -D_1 \left(\frac{\partial^2 w}{\partial x^2} + \delta_4 \frac{\partial^2 w}{\partial x \partial y^2} \right); \\ r_2 &= -D_1 \left(\delta_5 \frac{\partial^2 w}{\partial y^2} + \delta_6 \frac{\partial^2 w}{\partial x^2 \partial y} \right). \end{aligned} \right\} \quad (21.90)$$

где для параметров изгиба сохранены обозначения § 21.1, а, кроме того,

$$\left. \begin{aligned} D_1 &= E_x \delta^3 [12(1 - \mu_{xy} \mu_{yx})]; & D_2 &= E_y \delta^3 [12(1 - \mu_{xy} \mu_{yx})]; \\ D_3 &= C_{xy} \delta^3 / 12; & D_4 &= 2D_2 + D_1 \mu_{yx} = 2D_2 + D_1 \mu_{xy}; \\ \delta_1 &= D_2 / D_1; & \delta_2 &= D_2 / D_1; & \delta_3 &= 2\delta_1 - \mu_{xy} \end{aligned} \right\} \quad (21.91)$$

[D_1 , D_2 — изгибные жесткости ортотропной пластины в направлении осей x и y ; D_3 — жесткость ее на кручение].

Изгибные напряжения в жесткой ортотропной пластине определяются формулами (21.21) при $T_1 = T_2 = S = 0$.

Расчет ортотропной пластины сводится к решению дифференциального уравнения (21.87) при заданных граничных условиях и поперечной нагрузке $p(x, y)$ и к вычислению параметров изгиба по формулам (21.85)–(21.90), (21.21), (21.22). Аналитическое решение уравнения (21.87) относительно прогиба $w(x, y)$, так же как и уравнения (21.42), может быть получено в виде двойных или одварных бесконечных рядов.

Изгиб жесткой ортотропной прямоугольной пластины, свободно опертой на всех краях. Как и для изотропной пластины, граничные условия при свободном опирании всех краев ортотропной пластины можно представить соотношениями (21.43). Решение уравнения (21.87) может быть получено в виде двойного ряда (21.44), тождественно удовлетворяющего граничным условиям (21.43). Подставляя (21.44) в уравнение (21.87), раскладывая $p(x, y)$ в двойной ряд по синусам кратных дуг и почленно сравнивая коэффициенты Фурье левой и правой частей полученного равенства, находим

$$w_{mn} = p_{mn} \delta^3 (D_1 D_{mn})^{-1}; \quad D_{mn} = x^4 (n^4 y^4 + 2\delta_1 n^2 m^2 y^2 + \delta_2 m^4), \quad (21.92)$$

где коэффициенты Фурье p_{mn} , функции $p(x, y)$ определяются по формуле (21.48).

Выражение (21.44) для прогиба ортотропной пластины с учетом (21.92) примет вид

$$w(x, y) = \frac{\delta^3}{D_1} \sum_{m=1}^{\infty} \sum_{n=1}^{\infty} \frac{p_{mn}}{D_{mn}} \sin m\pi x \sin n\pi y. \quad (21.93)$$

По формулам (21.88)–(21.90) нетрудно вычислить погонные моменты и перерезывающие силы в сечениях пластин, а затем и напряжения (21.21), (21.22).

Решение (21.93), как и аналогичное решение (21.49) для изотропной пластины, применимо для любого закона изменения поперечной нагрузки $p(x, y)$ по площади пластин, включая случай сосредоточенных сил.

Решение в форме М. Леви для ортотропной прямоугольной пластины, свободно опертой на двух противоположных краях $x = 0$; a . В этом случае решение уравнения (21.87) можно искать в виде (21.61) при тождественном удовлетворении граничных условий свободного опирания краев $x = 0$; a .

Подставляя (21.61) в уравнение (21.87), получаем

$$\sum_{n=1}^{\infty} \left[\left(\frac{n\pi}{a} \right)^4 f_n - 2\delta_1 \left(\frac{n\pi}{a} \right)^2 + \delta_2 n^4 \right] \sin n\pi x = \frac{p(x, y)}{D_1}.$$

Раскладывая $p(x, y)$ вдоль координаты x в ряд Фурье по синусам и сравнивая коэффициенты рядов в правой и левой частях последнего равенства, находим

$$\delta_2 f_n'' - 2\delta_1 \left(\frac{n\pi}{a} \right)^2 f_n' + \left(\frac{n\pi}{a} \right)^4 f_n = \frac{p_n(y)}{D_1}, \quad (21.94)$$

где $p_n(y)$ определяется формулой (21.63).

Общее решение обыкновенного линейного дифференциального уравнения (21.94) состоит из общего интеграла однородного дифференциального уравнения и частного решения неоднородного уравнения:

$$f_n(y) = f_{nh}(y) + f_{nc}(y), \quad (21.95)$$

При линейном изменении $p(x, y)$ вдоль оси y функция $p_0(y)$ изменяется по линейному закону (21.65). Частное решение уравнения (21.94) в этом случае будет следующим:

$$f_{1c}(y) = \frac{p_0(y)y^2}{2^2 D_1 \omega^2} = \frac{(2p_0 + p_1 y) y^2}{2^2 D_1 \omega^2}. \quad (21.96)$$

Общее решение $f_{1c}(y)$ однородного уравнения (21.94) находим по формулам Л. Эйлера

$$f_{1c}(y) = e^{\pm \delta y} \omega^k, \quad (21.97)$$

где k — неизвестная пока постоянная величина. После подстановки (21.97) в однородное уравнение (21.94) получим характеристическое уравнение $\delta^2 k^2 - 2\delta k^2 + 1 = 0$, из которого найдем четыре значения k :

$$k_{1,2,3,4} = \pm \delta \sqrt{1 \pm \sqrt{1 - \omega^2}}, \quad (21.98)$$

где с учетом (21.91)

$$\delta^2 = \delta_y^2 / D_2 = D_2 / D_1; \quad \omega^2 = \delta_x^2 / \delta_y^2 = D_1 D_2 / D_2^2. \quad (21.99)$$

В зависимости от величин ω и δ корни (21.98) характеристического уравнения в частном решении (21.97) однородного уравнения (21.94) будут иметь различную структуру.

1. При $\omega < 1$ четыре корня (21.98) вещественны и различны. На основании (21.97) общее решение однородного уравнения (21.94) может быть представлено в этом случае в форме

$$f_{1c}(y) = B_{1c} \operatorname{sh} \alpha_{1c} y + B_{2c} \operatorname{ch} \alpha_{1c} y + B_{3c} \operatorname{sh} \alpha_{2c} y + B_{4c} \operatorname{ch} \alpha_{2c} y, \quad (21.100)$$

где B_{1c} — произвольные постоянные интегрирования;

$$\left. \begin{aligned} \alpha_{1c} &= \delta_1 \omega y; & \alpha_{2c} &= \delta_2 \omega y; \\ s_1 &= \delta \sqrt{1 + \sqrt{1 - \omega^2}}; & s_2 &= \delta \sqrt{1 - \sqrt{1 - \omega^2}}. \end{aligned} \right\} \quad (21.101)$$

2. При $\omega = 1$ четыре корня (21.98) мнимы и попарно одинаковы. Тогда на основании (21.98) имеем

$$f_{1c}(y) = (B_{1c} + B_{2c} y) \operatorname{sh} \alpha_{1c} y + (B_{3c} + B_{4c} y) \operatorname{ch} \alpha_{1c} y. \quad (21.102)$$

Здесь $\alpha_{1c} = \delta \omega y$. Для изотропной пластины ($\omega = 1$, $\delta = 1$) выражение (21.102) совпадает с общим решением (21.64) однородного уравнения (21.62).

3. При $\omega > 1$ корни (21.98) оказываются попарно комплексно-сопряженными. В этом случае вследствие (21.97) получим

$$f_{1c}(y) = (B_{1c} \cos \beta_{1c} y + B_{2c} \sin \beta_{1c} y) \operatorname{sh} \beta_{1c} y + (B_{3c} \sin \beta_{2c} y + B_{4c} \cos \beta_{2c} y) \operatorname{ch} \beta_{1c} y, \quad (21.103)$$

где $\beta_{1c} = \delta \omega y \sqrt{1 + \omega^2}$; $\beta_{2c} = \delta \omega y \sqrt{\omega^2 - 1}$.

Представляет интерес особый случай $\omega \gg 1$, когда жесткость D_2 намного меньше изгибных жесткостей D_1 , D_3 в главных направ-

лениях пластин (вдоль осей x и y). В этом случае на основании (21.91), (21.99), (21.103) имеем

$$\beta_{1c} \approx \beta_{2c} \approx \beta_{3c} \approx \beta_{4c} \approx \delta \omega y \sqrt{D_1 / (4D_2)}. \quad (21.104)$$

При условиях (21.104) общее решение (21.103) аналогично решению дифференциального уравнения изгиба балки на упругом основании и может быть записано в виде

$$f_{1c}(y) = C_{1c} V_0(\beta_{1c} y) + C_{1c} V_1(\beta_{1c} y) + C_{2c} V_2(\beta_{1c} y) + C_{2c} V_3(\beta_{1c} y), \quad (21.105)$$

где C_{1c} — произвольные постоянные; $V_i(\beta_{1c} y)$ — функции Пуазиревского, определенные формулами (16.21).

После отыскания решений $f_{1c}(y)$ и $f_{1x}(y)$ на основании формул (21.61) и (21.95) найдем выражение для прогиба ортотропной пластины

$$w(x, y) = \sum_{n=1}^{\infty} [f_{1c}(y) + f_{1x}(y)] \sin n\pi x / L, \quad (21.106)$$

где в зависимости от соотношения жесткостей ортотропной пластины $f_{1c}(y)$ определяется формулами (21.100), (21.102), (21.103), (21.105). Входящие в решение (21.106) четыре группы произвольных постоянных B_{1c} (или C_{1c}) получают из четырех граничных условий на краях $y = 0$; в ортотропной пластине.

Частное решение $f_{1c}(y)$ неоднородного уравнения (21.94) в общем случае определяется по виду правой части или методом Лагранжа, а при линейном изменении вдоль y давления $p(x, y)$ по выражению (21.96).

После нахождения прогиба (21.106) погонные усилия и моменты, действующие в координатных сечениях ортотропной пластины, вычисляются по формулам (21.88) — (21.90).

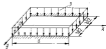


Рис. 21.14

Пример 18. Рассчитать жесткую ортотропную прямоугольную пластину (рис. 21.14), на которую действует равномерно распределенное давление $p(x, y)$. Предположим, что края пластины $x = 0$ и $x = L$ свободно опираются, а края $y = \pm 0,5b$ жестко защемлены. Изгибные жесткости D_1 , D_2 в направлениях осей x и y отличны от нуля, а $D_3 = 0$.

Решение. Поскольку давление по площади пластины постоянно, частное решение $f_{1c}(y)$, заданное в выражении для прогиба (21.106), определится формулами (21.96), (21.62), (21.65) и может быть представлено в виде

$$f_{1c}(y) = 2[1 - (-1)^n] p_0 y^2 / (2^2 D_1 \omega^2). \quad (21.107)$$

Так как при $D_3 = 0$ значение ω не определено, выражение для $f_{1c}(y)$ должно быть записано в форме (21.105). Таким образом, прогиб рассматриваемой ортотропной пластины следует вычислять по формулам (21.105) — (21.107).

Главные усилия на краях пластин будут следующими:

$$w(x, y) = \frac{\partial^2 w}{\partial x^2}(\pm 0,5b) = 0, \quad x_2 = 0, \quad x \quad (21.108)$$

$$w(x, \pm 0,5b) = \frac{\partial w}{\partial y}(x, \pm 0,5b) = 0. \quad (21.109)$$

При этом граничные условия (21.108) удовлетворяются выражением (21.109) автоматически, а граничные условия (21.109) должны быть выполнены за счет выбора произвольных постоянных C_n выражением (21.108).

Учитывая симметрию прогиба дальной пластины относительно центра ее средней плоскости $x = 0,5a$, $y = 0$, на основании (21.105)–(21.107) можно записать

$$\varphi(x, y) = \sum_n^{1, 2, 3, \dots} \left[C_{2n} V_n(\beta_n x) + C_{2n} V_n(\beta_n a) + \frac{6qa^2}{\pi^2 D_1 a^2} \right] \sin n\pi y, \quad (21.110)$$

где постоянные C_{2n} , C_{2n} равны нулю при нечетных функциях Пуассона.

Подставляя прогиб (21.110) в граничные условия (21.109), получим

$$\left. \begin{aligned} C_{2n} V_n(\alpha_n) + C_{2n} V_n(\alpha_n) + 4qa^2(\pi^2 D_1 a^2)^{-1} &= 0; \\ C_{2n} V_n(\alpha_n) - C_{2n} V_n(\alpha_n) &= 0. \end{aligned} \right\} \quad (21.111)$$

Здесь

$$\alpha_n = \beta_n a / 2 = (n\pi/2) \sqrt{D_2 / (4D_1)}. \quad (21.112)$$

Определив постоянные C_{2n} , C_{2n} из системы уравнений (21.111) и подставив их значение в выражение (21.110), найдем прогиб пластины:

$$\varphi(x, y) = \frac{6qa^2}{\pi^2 D_1} \sum_n^{1, 2, 3, \dots} \frac{\varphi_n(\eta)}{\alpha_n^2} \sin n\pi y,$$

где функция

$$\varphi_n(\eta) = 1 - \frac{V_1(\alpha_n) V_2(\beta_n \eta) + V_2(\alpha_n) V_1(\beta_n \eta)}{V_2(\alpha_n) V_1(\alpha_n) + V_1(\alpha_n) V_2(\alpha_n)}$$

известна прогибом жестко заделанной по краям прямоугольной балки на упругом основании μ (рис. 21.12) при $\eta/a = 1$ (см. § 16.3).

Зная прогиб $w(x, y)$, изгибающего момента и перемещения изгиба (21.88)–(21.93).

Форма общего решения дифференциального уравнения изгиба для прямоугольной жесткой ортотропной пластины. Рассмотренные выше частные решения типа решений Навье и Леви не применимы при произвольных граничных условиях на всех краях пластины. Общее решение для ортотропной пластины может быть получено (по аналогии с решением для изотропной пластины) в форме (21.83). При этом в (21.83) вместо записанного там двойного ряда будет ходить ряд (21.93); функции $f_n(\eta)$ и $\varphi_n(\xi)$ вместо выражений (21.82) будут определяться выражениями типа (21.100), (21.102), (21.103), (21.105). В полученное таким образом общее решение для ортотропной пластины войдут восемь групп произвольных постоянных, распоряжаться которыми можно удовлетворить для любых граничных условия на каждой из четырех краев принципиально так же, как и для изотропной пластины (см. § 21.4). Однако расчет ортотропной пластины осложняется тем, что в зависимости от степени ортотропии материала функции $f_n(\eta)$ и $\varphi_n(\xi)$ представляются тремя различными выражениями (21.100), (21.102), (21.103), что приводит к трем вариантам вычислительного алгоритма. Поэтому более универсальной и удобной для расчетов является единая форма общего решения, не зависящая от степени ортотропии материала пластины, которая приведена в учебнике [55].

Практическое применение теории изгиба жестких ортотропных пластин. Рассмотренная теория изгиба прямоугольных жестких ортотропных пластин имеет большое практическое значение. Она применяется при расчете на изгиб обычных судов из синтетических материалов, которые, как правило, являются ортотропными. Кроме того, по указанной теории могут быть рассчитаны на изгиб так называемые конструктивно-ортотропные пластины, являющиеся расчетной моделью реальных конструкций с различными упругими свойствами по двум взаимно перпендикулярным направлениям (гофрированные конструкции, пластины, ортогонально подкрепленные ребрами жесткости, днищевые перекрытия судов при двойном числе балок обоих направлений). В последнем случае

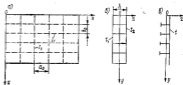


Рис. 21.15

необходимо так подбирать жесткости конструктивно-ортотропной пластины D_1 , D_2 , D_3 , чтобы они были эквивалентны жесткости реальной конструкции, подвергнутой изгибу.

В случае перекрытия типа двойного дна (рис. 21.15, а и б) для жесткости приведенной ортотропной пластины изгибу можно получить формулы

$$D_1 = \frac{E I_1}{I_1(1 - \mu_1 \mu_2 \mu_3)}; \quad a_2 = \frac{E I_2}{a_2(1 - \mu_1 \mu_2 \mu_3)}; \quad D_3 = \frac{G I_3}{I_1 + I_2} h^2,$$

где E , G , μ — упругие постоянные изотропного материала перекрытия; I_1 и I_2 — моменты инерции продольных и поперечных связей перекрытия с присоединенными полками; I_1 , I_2 и I_3 — толщины настила перекрытия и его высота.

Коэффициенты Пуассона ортотропной пластины, эквивалентной перекрытию, могут быть приняты одинаковыми: $\mu_{12} \approx \mu_{21} \approx \mu$. При значительном различии I_1 и I_2 эти коэффициенты для повышения точности и удовлетворения условию (21.86) следует принять равными: при $a_2 I_1 > I_2 b_2 \mu_{21} = \mu$, $\mu_{12} = \mu I_2 b_2 / (I_1 a_2)$ при $b_2 I_2 > I_1 a_2 \mu_{21} = \mu$, $\mu_{21} = \mu I_1 a_2 / (I_2 b_2)$.

Если перекрытие не имеет второго настила (рис. 21.15, а и в), то в записанной выше формуле для жесткости D_3 нужно положить

$\beta_1 \neq 0$, после чего D_1 станет равным нулю, поскольку в этом случае сопротивляние кручению настала и ребер жесткости пренебрежимо мало по сравнению с изгибными жесткостями.

После определения жесткостных характеристик перекрытия как приведенной ортотропной пластины его расчет может быть выполнен на основании уравнения (21.87), метод решения которого указан в данном параграфе.

Замена перекрытия ортотропной пластиной возможна, если число балок перекрытия в каждом направлении больше четырех.

В заключение укажем, что расчет на изгиб судовых перекрытий как ортотропной пластины был предложен акад. Ю. А. Шимдяковым (1934 г.) и развит в дальнейшем П. Ф. Павловичем, А. А. Курдюмовым и В. А. Постовым.

§ 21.6. Приближенные методы решения задач изгиба жестких пластин

Приведенные в § 21.4 и § 21.5 решения задач об изгибе жестких прямоугольных пластин не могут охватить всех встречающихся на практике случаев. Кроме того, использование аналитических решений при сложной форме контура пластин, при наличии отверстий и вырезов в пластинах, при переменной толщине пластин оказывается затруднительным и малоэффективным в числительном отношении. В указанных случаях для расчета пластин целесообразно применение приближенных методов высшего анализа: Бубнова — Галеркина, Рунца, МКЭ, коллокаций, сеток и др. Ниже будут рассмотрены методы Бубнова — Галеркина, Рунца и МКЭ. Принципиальная схема применения указанных методов и к решению задач изгиба пластин естественно остается такой же, как и в приведенных ранее задачах теории упругости и изгиба стержней.

Метод Бубнова — Галеркина. Следуя этому методу, прогиб жесткой пластины ищем в виде ряда, например,

$$w(x, y) = \sum_{m=0}^{\infty} \sum_{n=0}^{\infty} w_{mn} \varphi_m(x) \psi_n(y), \quad (21.113)$$

где w_{mn} — неизвестные пока коэффициенты ряда; $\varphi_m(x)$, $\psi_n(y)$ — координатные функции, выбираемые так, чтобы выполнялись все граничные условия на контуре пластины.

Для жесткой изотропной пластины, прогиб которой определяется дифференциальным уравнением (21.42), уравнения Бубнова — Галеркина можно записать в виде

$$\iint_{\Omega} [D \nabla^4 w - p(x, y)] \varphi_i(x) \psi_j(y) dx dy = 0, \quad (21.114)$$

Если выражение (21.113) подставить в (21.114), то после интегрирования по всей площади пластины Ω получим систему алге-

браических уравнений для вычисления неизвестных коэффициентов w_{mn} ряда (21.113), а тем самым и прогиба w .

Для ортотропной пластины, прогиб которой определяется дифференциальным уравнением (21.87), уравнение Бубнова — Галеркина нетрудно составить по аналогии с уравнением (21.114).

Метод Рунца. Прогиб пластины, как и в предыдущем случае, аппроксимируется выражением (21.113). Исходными уравнениями для определения w_{mn} являются зависимости метода Рунца

$$\frac{\partial(P-U)}{\partial w_{mn}} = 0, \quad (21.115)$$

где U — силовая функция всех внешних нагрузок, а P — потенциальная энергия изгиба пластины.

Если пластина нагружена поперечной нагрузкой с интенсивностью $p(x, y)$ и выражение (21.113) удовлетворяет всем граничным условиям, то силовая функция U равна работе нагрузки $p(x, y)$:

$$U = \iint_{\Omega} p(x, y) w(x, y) dx dy. \quad (21.116)$$

Выражение для потенциальной энергии изгиба пластины можно найти из общих формул (3.38) и (3.40), учитывая, что каждой слой пластины, параллельный средней плоскости лор, находится в плоском напряженном состоянии:

$$P = \frac{1}{2} \iint_{\Omega} \int_{-z/2}^{z/2} (\sigma_x \epsilon_x + \sigma_y \epsilon_y + \tau_{xy} \gamma_{xy}) dx dy dz.$$

Так как изгибные деформации и напряжения выражаются через прогиб пластины формулами (21.4) и (21.16) при $\epsilon_{xx} = \epsilon_{yy} = -\nu \sigma_{yy} = 0$, после интегрирования по z получим следующее выражение для потенциальной энергии изгиба пластины:

$$P = \frac{1}{2} \iint_{\Omega} D \left\{ \left(\frac{\partial^2 w}{\partial x^2} + \frac{\partial^2 w}{\partial y^2} \right)^2 + 2(1-\nu) \left[\left(\frac{\partial^2 w}{\partial x \partial y} \right)^2 - \frac{\partial^2 w}{\partial x^2} \frac{\partial^2 w}{\partial y^2} \right] \right\} dx dy, \quad (21.117)$$

Распавая выражениями (21.116) и (21.117) при условии (21.113), можно составить уравнение (21.115) для определения w_{mn} и, следовательно, прогиба пластины.

Не останавливаясь подробно на практической расчетной схеме, отметим два существенных обстоятельства.

При выборе фундаментальных функций $\varphi_m(x)$ и $\psi_n(y)$ можно подчинять их только кинематическим граничным условиям, поскольку уравнение (21.115) является условием равновесия пластины на любом кинематически возможном перемещении и статические граничные условия будут удовлетворены автоматически. Однако в этом случае в выражении силовой функции (21.116) долж-

на быть обязательно учтена работа заданных на контуре пластины внешних усилий.

Выражения (21.116) и (21.117) справедливы и для пластин переменной толщины, так как при выводе данных выражений никаких ограничений в отношении толщины пластин не делалось. Поэтому уравнения (21.115), полученные методом Рунда, с учетом выражений (21.116) и (21.117), могут быть использованы и при расчете пластин переменной толщины.

Метод конечных элементов. Общая схема расчета жестких пластин на изгиб по МКЭ остается такой же, как и при решении задач теории упругости: разбиение пластины на конечные элементы, аппроксимация прогиба в пределах конечного элемента с соответствующим числом обобщенных перемещений, вычисление зависи-

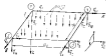


Рис. 21.16

мости между обобщенными перемещениями и обобщенными силами в узлах конечного элемента, составление условий равновесия узлов при использовании варианта метода перемещений или условий совместности перемещений в случае применения варианта метода сил, решение уравнений равновесия относительно узловых обобщенных перемещений или уравнений совместности деформаций относительно обобщенных узловых усилий, расчет параметров напряженно-деформированного состояния пластины по найденным обобщенным перемещениям или усилиям. Наиболее употребительным является МКЭ в варианте метода перемещений, что и будет предметом дальнейшего рассмотрения. Чаще всего при решении задач изгиба жестких пластин используют конечные элементы треугольной или прямоугольной формы, в пределах которых прогиб пластины аппроксимируется полиномами вех степеней. Им ограничим вывод основных зависимостей для прямоугольного изотропного конечного элемента (рис. 21.16) с размерами \$a_0\$ и \$b_0\$ вдоль осей \$x\$ и \$y\$ соответственно.

В качестве обобщенных перемещений примем прогибы \$w\$ и углы поворота нормали к срединной поверхности $\frac{\partial w}{\partial x}$, $\frac{\partial w}{\partial y}$ в 1-, 2-, 3- и 4-м узлах конечного элемента. Тогда прогиб пластины будет определяться 12 обобщенными координатами и его можно аппроксимировать степенным полиномом из 12 линейно независимых членов:

$$w(x, y) = a_1 + a_2^2 + a_3\eta + a_4\eta^2 + a_5\eta^3 + a_6\eta^4 + a_7\eta^5 + a_8\eta^6 + a_9\xi^2 + a_{10}\xi\eta + a_{11}\eta^2 + a_{12}\eta^3, \quad (21.118)$$

где \$a_i, i=1, 2, \dots, 12\$ — неизвестные коэффициенты; \$\xi = x/a_0\$; \$\eta = y/b_0\$. Выражение (21.118) полностью удовлетворяет однородному дифференциальному уравнению изгиба жестких изотропных пластин (21.42).

В сечении \$x = \text{const}\$ и \$y = \text{const}\$ прогиб \$w(x, y)\$ определяется параболом третьей степени текущих координат \$\eta\$ или \$\xi\$. Каждый такой погон на двух соседних краяхках смежных элементов дает одинаковые прогибы, поскольку здесь равны узловые значения прогибов и первые производные по нормальному направлению краев. Следовательно, выражение (21.118) обеспечивает непрерывность прогиба в любой точке пластины. Имеющее место нарушение непрерывности вторых производных по нормали к линиям стыка смежных элементов заметно ухудшает гладкость решения к точному при уменьшении размера конечного элемента.

Представим выражение (21.118) в зависимости от указанных ранее обобщенных перемещений:

$$q_1 = w(0, 0), \quad q_2 = \frac{\partial w}{\partial y}(0, 0), \quad q_3 = -\frac{\partial w}{\partial x}(0, 0), \dots, \\ q_4 = w(a_0, 0), \quad q_5 = \frac{\partial w}{\partial y}(a_0, 0), \quad q_6 = -\frac{\partial w}{\partial x}(a_0, 0). \quad (21.119)$$

Нумерация узловых обобщенных перемещений \$q_i\$ соответствует рис. 21.16. При этом перемещения \$q_1, q_2, q_3, q_4\$ являются прогибами в узлах конечного элемента, а остальные восемь величин \$q_i\$ представляют собой углы поворота нормали срединной поверхности в узлах элемента в соответствии с обозначениями (21.119) и изображены векторами с двойными стрелками. Также принято изображать моменты сил.

Подставляя выражение (21.118) в правые части равенств (21.119), получим 12 линейных уравнений, устанавливающих зависимость между \$q_i\$ и \$a_i\$. Выразив из этой системы коэффициенты \$a_i\$ через \$q_i\$ и подставляя их в (21.118), представим прогиб конечного элемента в виде

$$w(x, y) = \sum_{i=1}^{12} q_i \Delta_i(\xi, \eta), \quad (21.120)$$

где \$\Delta_i(\xi, \eta)\$ — функции Эрмита, определяемые формулами

$$\Delta_1(\xi, \eta) = 1 - 3\xi^2 - \xi\eta - 3\eta^2 + 2\xi^3 + 3\xi\eta^2 + \\ + 2\eta^3 - 2\xi^2\eta - 2\xi\eta^2 + 3\xi^2\eta\xi; \\ \Delta_2(\xi, \eta) = b_0(\eta - \xi\eta - 2\eta^2 + 2\xi\eta^2 + \eta^3 - \xi\eta^3); \\ \Delta_3(\xi, \eta) = a_0(-\xi + \xi\eta + 2\xi^2 - 2\xi^2\eta - \xi^3 + \xi^2\eta\xi); \\ \Delta_4(\xi, \eta) = 3\eta^2 + \xi\eta - 2\eta^3 - 3\xi\eta^2 - 3\xi^2\eta + \\ + 2\xi\eta^2 + 2\xi^2\eta\xi; \\ \Delta_5(\xi, \eta) = b_0(-\eta^2 + \eta^3 + \xi\eta^2 - \xi\eta^3); \\ \Delta_6(\xi, \eta) = a_0(-\xi\eta + 2\xi^2\eta - \xi^2\eta\xi); \\ \Delta_7(\xi, \eta) = -\xi\eta + 3\xi^2\eta + 3\xi\eta^2 - 2\xi^2\eta - 2\xi\eta^2; \\ \Delta_8(\xi, \eta) = b_0(-\xi\eta^2 + \xi\eta^3); \\ \Delta_9(\xi, \eta) = a_0(\xi^2\eta - \xi^2\eta\xi);$$

и восемью узловыми моментами

$$\left. \begin{aligned} P_2 = -P_3 = -P_8 = -P_{11} = -\rho_0 a_0^2 / 24; \\ -P_4 = P_5 = P_6 = -P_{12} = \rho_0 a_0^2 / 24, \end{aligned} \right\} \quad (21.131')$$

Следующим этапом расчета является составление условий равновесия узлов пластин, разделенной (мысленно) на конечные элементы. Для этого необходимо приравнять нулю сумму всех внешних и внутренних обобщенных усилий, действующих на рассматриваемый узел в одном направлении:

$$\sum_j R_{in}^{(j)} - \sum_j P_{in}^{(j)} = 0, \quad (21.132)$$

где индексами $n = 1, 2, 3$ соответствуют векторы усилий, действующих в направлении осей x, y, z соответственно, а суммирование по j производится для всех конечных элементов, сходившихся в узле n . Число уравнений (21.132) равно утроенному числу узлов.

Если узловые усилия R в (21.132) выразим через обобщенные координаты q с помощью зависимости (21.127), то получим систему уравнений относительно неизвестных $q_{in}^{(j)}$, общее число которых равно утроенному числу узлов. Решение этой системы позволит найти все неизвестные q , а затем и прогибы (21.120) в пределах каждого конечного элемента. Когда известны прогибы конечных элементов, отыскание внутренних усилий и напряжений легко выполняется с помощью формул (21.18), (21.20) — (21.22). В конечном счете усилия и напряжения в пластине можно выразить через узловые перемещения q , для чего получены необходимые расчетные формулы [40, 51].

Уравнения равновесия (21.132) в узловых перемещениях в настоящее время составляются на ЭВМ автоматически с помощью так называемой матрицы жесткости. На ЭВМ производится также и решение указанных уравнений, вычисление компонентов напряженно-деформированного состояния с выдачей на печать необходимых результатов. Обычно весь комплекс расчетов выполняется по специально разработанным программам.

§ 21.7. Устойчивость прямоугольных пластин

В случае действия сжимающих и сдвигающих усилий в плоскости пластины при определенном значении этих нагрузок пластины могут потерять устойчивость и частично вывалиться из рамы конструкции. Поэтому вопросы устойчивости прямоугольных пластин имеют для строительной механики корабля важное значение.

Для исследования устойчивости пластин необходимо иметь уравнения их равновесия в отклоненном положении. Такие уравнения были получены в § 21.3. Ограничиваясь рассмотрением устойчивости пластин при малых отклонениях, на основании урав-

нений (21.40) и (21.23) дифференциальное уравнение устойчивости можно записать в виде

$$D\nabla^4 w + T_1 \frac{\partial^2 w}{\partial x^2} - 2S \frac{\partial^2 w}{\partial x \partial y} + T_2 \frac{\partial^2 w}{\partial y^2} = 0, \quad (21.133)$$

где T_1, T_2 — сжимающие усилия, S — сдвигающее усилие в плоскости пластины, которые в общем случае определяются решением плоской задачи теории упругости — интегрированием первого уравнения (21.40).

Граничные условия для прогиба выписываются так же, как и при поперечном изгибе пластины.

Задача об устойчивости пластины сводится к отысканию ненулевых решений уравнения (21.133) при заданных граничных условиях и законах изменения усилий T_1, T_2, S . Методы решения задач устойчивости прямоугольных пластин рассмотрим на конкретных примерах.

Устойчивость свободно опертой пластины, сжатой нормальными равномерно распределенными усилиями T_1 (рис. 21.17). Ненулевые решения уравнения (21.133) будем искать в виде двойного ряда по синусам, который удовлетворяет граничным условиям свободного опирания (21.43):

$$w = \sum_{n=1}^{\infty} \sum_{m=1}^{\infty} A_{nm} \sin n \pi x \sin m \pi y, \quad (21.134)$$

где m и n — целые положительные числа.

Подставив прогиб (21.134) в дифференциальное уравнение устойчивости (21.133), при $T_2 = S = 0$ получим

$$\sum_{n=1}^{\infty} \sum_{m=1}^{\infty} A_{nm} \left\{ D \left[\left(\frac{n\pi}{a} \right)^2 + \left(\frac{m\pi}{b} \right)^2 \right]^2 - T_1 \left(\frac{n\pi}{a} \right)^2 \right\} \sin n \pi x \sin m \pi y = 0.$$

Чтобы найти ненулевые значения A_{nm} , необходимо приравнять нулю выражение в фигурной скобке, что дает

$$T_1 = (\pi^2 D / b^2) (m^2 \gamma / n + n \gamma / m), \quad \gamma = a / b. \quad (21.135)$$

Так как при условии (21.135) обращается в нуль только одна фигурная скобка при коэффициенте A_{nm} , то только этот коэффициент ряда (21.134) отличен от нуля, а форма потери устойчивости определяется выражением

$$w = A_{nm} \sin n \pi x \sin m \pi y. \quad (21.136)$$

Для определения эйлеровой нагрузки T_1 целые числа m и n в выражении (21.135) должны быть выбраны так, чтобы T_1 было минимальным. Минимум выражения (21.135) будет всегда при



Рис. 21.17

$n=1$, т. е. пластина обязательно терит устойчивость с образованием одной полуволны синусоиды в направлении, перпендикулярном направлению сжимающих усилий

$$T_1 = (\pi^2 D/b^2) (\eta/n + \kappa/\gamma)^2. \quad (21.137)$$

Если минимум выражения (21.137) достигается при некотором фиксированном числе полуволн n в направлении сжимающей нагрузки, то значения T_1 при $(n-1)$ и $(n+1)$ будет больше значения T_1 , и поэтому $\{\eta/n(n-1) + (\kappa-1)/\gamma\} > \{\eta/n + \kappa/\gamma\} < \{\eta/(n+1) + (\kappa+1)/\gamma\}$. Эти неравенства можно преобразовать к виду

$$\sqrt{n(n-1)} < \gamma < \sqrt{n(n+1)}. \quad (21.138)$$

Неравенства (21.138) являются условиями минимума выражения (21.137) и позволяют найти интервалы значений γ для разных

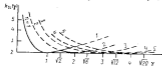


Рис. 21.18

чисел полуволн n при потере пластинчатой устойчивости. Если $n=1$, то $0 < \gamma < \sqrt{2}$; при $n=2$ $\sqrt{2} < \gamma < \sqrt{6}$; если $n=3$, то $\sqrt{6} < \gamma < \sqrt{12}$; при $n=4$ $\sqrt{12} < \gamma < \sqrt{20}$ и т. д. Это означает, что пластины при $0 < \gamma < \sqrt{2}$ терит устойчивость с образованием одной полуволны синусоиды в направлении сжимающей нагрузки, в случае $\sqrt{2} < \gamma < \sqrt{6}$ — двух полуволн, при $\sqrt{6} < \gamma < \sqrt{12}$ — трех полуволн и т. д.

В пределах каждого интервала изменения отношения сторон $\gamma = a/b$, при котором число n одинаково, значение эйлеровых сил будет зависеть от γ . Эта зависимость иллюстрируется рис. 21.18, где по вертикальной оси отложены значения

$$k_n(\gamma) = \eta/n + \kappa/\gamma. \quad (21.139)$$

Как видно из рисунка, величина $k_n(\gamma)$ весьма мало отклоняется от своего минимума $k_n(\gamma) = 2$ при $\gamma \gg 1$. Наибольшее отклонение получается при $\gamma = \sqrt{2}$ и $n=1$, когда $k_1(\gamma) = \sqrt{2} + \frac{1}{\sqrt{2}} = 2,13$.

Поэтому с ошибкой в безразличную сторону при $\gamma \gg 1$ можно считать $k_n(\gamma) \approx 2$, а на основании (21.137) и (21.139) записать

$$T_n = 4\pi^2 D/b^2; \quad \sigma_n = T_n/b = 4\pi^2 D/b^3, \quad (21.140)$$

где σ_n — эйлеровы напряжения пластины.

Если $\gamma < 1$, то $n=1$ и по формуле (21.137) получим

$$T_1 = \pi^2 D(1 + \gamma^2/\alpha^2); \quad \sigma_1 = \pi^2 D(1 + \gamma^2/\alpha^2). \quad (21.141)$$

Для пластины, у которой $b \gg a$ и $\gamma \gg 1$, согласно последним формулам

$$T_n = \pi^2 D/b^2; \quad \sigma_n = \pi^2 D/\alpha^2, \quad (21.142)$$

т. е. эйлеровы усилия определяются как для свободно опертой балки — полоски с изгибной жесткостью D и длиной пролета a .

Таким образом, для пластин, сжатых по направлению длинных кромок ($\gamma > 1$), справедливы формулы (21.140), а для пластин, сжатых по направлению коротких кромок ($\gamma < 1$), — формулы (21.141). Для стальных пластин при $E = 2 \cdot 10^6$ МПа, $\nu = 0,3$ после подстановки выражения D в формулы (21.140) и (21.141), получим: при сжатии пластины по направлению длинных кромок

$$\sigma_n \approx 80(100/\beta)^2 \text{ МПа}; \quad (21.143)$$

при сжатии пластины по направлению коротких кромок

$$\sigma_n \approx 20(100/\alpha)^2(1 + \gamma^2) \text{ МПа}. \quad (21.144)$$

Формулы (21.143) и (21.144) используют для расчета устойчивости пластин, в которых действуют сжимающие напряжения от общего изгиба корпуса судна. Из этих формул следует, что при продольной системе набора, когда пластины сжаты в направлении длинной стороны, эйлеровы напряжения складываются примерно в четыре раза больше, чем при поперечной системе набора, когда пластины сжаты в направлении короткой стороны, если в обоих случаях расстояние между ребрами жесткости одинаково. Это одно из главных преимуществ продольной системы набора, при которой пластины более устойчивы.



Рис. 21.19

Устойчивость пластины, свободно опертой двумя противоположными кромками (рис. 21.19). Пусть кромка $x=0$; а свободно оперта, а кромка у кромки $y=0$; b заданы произвольным образом. При сжатии пластины в направлении оси x постоянными усилиями T , дифференциальное уравнение устойчивости (21.133) примет вид

$$D \nabla^4 \psi + T_1 \frac{\partial^2 \psi}{\partial x^2} = 0. \quad (21.145)$$

Решение уравнения (21.145) будем искать в виде одночленного ряда

$$\psi = \sum_{m=1}^{\infty} f_m(\eta) \sin m\pi x/a, \quad (21.146)$$

каждый член которого удовлетворяет условиям свободного опирания при $x=0$; a .

Подставляя прогиб (21.146) в дифференциальное уравнение (21.145) и приравняв нулю каждый член полученного ряда, найдем

$$I_n'' - 2 \left(\frac{\alpha n}{a} \right)^2 I_n'' + \left(\frac{\alpha n}{a} \right)^2 \left[\left(\frac{\alpha n}{a} \right)^2 - \frac{T_1}{D} \right] I_n = 0. \quad (21.147)$$

Если бы пластина на краях $y=0$; b была совершенно свободна, то эйлерово условие, соответствующее потере устойчивости с образованием n полуциклов, равнялось бы $T_n = (\alpha n)^2 D$. При закреплении краев $y=0$; b эйлерово условие всегда больше указанного выше значения. Поэтому характеристическое уравнение соответствующее линейному дифференциальному уравнению (21.147), имеет два вещественных и два мнимых корня, а общее решение уравнения (21.147) следующее:

$$I_n(y) = A_n \operatorname{ch} \alpha_n y + B_n \operatorname{sh} \alpha_n y + C_n \cos \beta_n y + D_n \sin \beta_n y, \quad (21.148)$$

где A_n , B_n , C_n , D_n — произвольные постоянные;

$$\alpha_n = \sqrt{\left(\frac{\alpha n}{a} \right)^2 + \frac{\alpha n}{a} \sqrt{\frac{T_1}{D}}}; \quad \beta_n = \sqrt{\frac{\alpha n}{a} \sqrt{\frac{T_1}{D}} - \left(\frac{\alpha n}{a} \right)^2}. \quad (21.149)$$

Граничные условия на краях $y=0$; b приводят к системе четырех однородных уравнений для вычисления произвольных постоянных A_n , B_n , C_n , D_n , нулевые значения которых возможны лишь при обращении в нуль определителя системы. Условие равенства нулю определителя дает уравнение для расчета эйлеровых нагрузок пластины, которая войдет в это уравнение через α_n и β_n .

Пример 11. Рассчитать устойчивость пластины, у которой край $y=0$ свободно опирается, а край $y=b$ закреплен жестко.

Решение. В этом случае граничные условия на оставшихся формул (21.20) и (21.34) записываются в виде:

$$\text{при } y=0 \quad w=0; \quad \frac{\partial^2 w}{\partial y^2} = 0; \quad (21.150)$$

$$\text{при } y=b \quad \frac{\partial^2 w}{\partial y^2} + \mu \frac{\partial^2 w}{\partial x^2} = 0; \quad \frac{\partial^2 w}{\partial y^2} + (2-\mu) \frac{\partial^2 w}{\partial x^2 \partial y} = 0. \quad (21.151)$$

Эти граничные условия для краев (21.146) приводят к соотношениям

$$I_n(0) = I_n'(0) = 0; \quad (21.152)$$

$$I_n''(b) - \mu \left(\frac{\alpha n}{a} \right)^2 I_n(b) = 0; \quad I_n'''(b) - (2-\mu) \left(\frac{\alpha n}{a} \right)^2 I_n'(b) = 0. \quad (21.153)$$

Подставляя выражение (21.148) условиям (21.152), находим $A_n = C_n = 0$, а функцию $I_n(x)$ записываем в виде

$$I_n(x) = B_n \operatorname{ch} \alpha_n x + D_n \operatorname{sh} \beta_n x. \quad (21.154)$$

Подставляя выражение (21.154) в граничные условия (21.153), получим следующую систему уравнений:

$$\begin{cases} B_n (\alpha_n^2 - \mu \alpha^2 n^2 / a^2) \operatorname{ch} \alpha_n b + D_n (\beta_n^2 + \mu \alpha^2 n^2 / a^2) \operatorname{sh} \beta_n b = 0 \\ B_n \alpha_n [\alpha_n^2 - (2-\mu) \alpha^2 n^2 / a^2] \operatorname{ch} \alpha_n b - D_n \beta_n [\beta_n^2 + (2-\mu) \alpha^2 n^2 / a^2] \operatorname{ch} \beta_n b = 0. \end{cases}$$

Приравняв нулю определитель этой системы, после преобразований имеем

$$F_n (\alpha_n^2 - \mu \alpha^2 n^2 / a^2) \operatorname{th} \alpha_n b - \alpha_n (\beta_n^2 + \mu \alpha^2 n^2 / a^2) \operatorname{tg} \beta_n b. \quad (21.155)$$

Наименьшее значение корня T_n , который входит в уравнение устойчивости (21.155) через посредство α_n и β_n , определяет эйлерово значение сжимающей нагрузки. Исследования показывают, что наименьшее значение сжимающей нагрузки получается всегда при $n=1$ независимо от соотношения a/b . Следовательно, критическое значение устойчивости по формуле (21.155) с образованием одного полуцикла вдоль оси x .

Наименьшее значение корня уравнения (21.155) при $n=1$ может быть найдено графически. Результаты вычисления удобно представлять формулой $\alpha_n = \alpha_n D(1/\mu)$, где значение коэффициента α_n вычислит от оставшихся сторон a/b и приводится в справочник [13].

Если a/b велико, то при $E = 2 \cdot 10^6$ МПа, $\mu = 0,3$ из уравнения (21.155) можно получить

$$\alpha_n \approx 8,4(1001/a)^2 \text{ МПа}. \quad (21.160)$$

Формулу (21.160) используют при расчетах на устойчивость свободных поперечных балок суженого профиля.

Отметим, что решение (21.146), (21.148) позволяет рассмотреть и другие возможные случаи закрепления краев пластины $y=0$; b .

Расчетные формулы для определения эйлеровых сил пластины в различных случаях опирания приводятся в справочной литературе [30, 51].

Устойчивость прямоугольной свободно опираемой пластины при линейном распределении сжимающих напряжений (рис. 21.30). Пусть край $x=0$, a нагружен напряжением

$$\sigma_x = \sigma_0 (1 - \beta y/b), \quad (21.157)$$

где β — заданный параметр. При $\beta=0$ на пластину действует равномерная нагрузка, при $\beta=1$ — треугольная, а при $\beta=2$ наблюдается чистый изгиб.

Подставляя в уравнениях (21.133) $T_1 = \sigma_0 t$, $T_2 = S = 0$, получаем уравнение устойчивости

$$D \nabla^4 w + \sigma_0 t \left(1 - \beta \frac{y}{b} \right) \frac{\partial^2 w}{\partial x^2} = 0. \quad (21.158)$$

Уравнение (21.158) имеет переменные коэффициенты и не может быть решено точно. Для его приближенного решения воспользуемся методом Бубнова — Галеркина (см. § 21.6).

Выражение для прогиба отсчитываем в виде ряда (21.134), удовлетворяя условиям свободного опирания на всех краях пластины. Подставляя выражение для прогиба (21.134) в дифференциальное уравнение (21.158), находим

$$\sum_{n=1}^{\infty} \sum_{m=1}^{\infty} A_{nm} \left[(\pi^2 + \pi^2 \gamma^2 - \frac{\sigma_0 t a^2}{D D_0} \pi^2 (1 - \beta \eta)) \sin m \xi \sin n \eta - 0. \right]$$



Рис. 21.30

Умножим обе части этого уравнения на $\sin \alpha z \sin \beta y$ и проинтегрируем результат по всей площади пластины. Учитывая соотношения

$$\int_0^l \sin \alpha z \sin \beta z dz = \begin{cases} 0 & \text{при } \alpha \neq \beta; \\ l/2 & \text{при } \alpha = \beta; \end{cases}$$

$$\int_0^b \eta \sin \alpha \eta \sin \beta \eta d\eta = \begin{cases} 1/4 & \text{при } \alpha = \beta; \\ 0 & \text{при } (\alpha \pm \beta) \text{ четном}; \\ -\frac{4\alpha\beta}{\alpha^2(\alpha^2 - \beta^2)^2} & \text{при } (\alpha \pm \beta) \text{ нечетном,} \end{cases}$$

после интегрирования получим следующую систему линейных однородных уравнений при четных $(m \pm k)$:

$$A_{mn} \left[(\alpha^2 + \alpha^2 \gamma^2) - \frac{\alpha^2 \beta^2}{\alpha^2 D} \left(1 - \frac{\beta}{\alpha} \right) \alpha^2 \right] - \frac{\beta \alpha \beta \alpha^2 \beta^2}{\alpha^2 D} \sum_k \frac{A_{kmn\beta}}{(\alpha^2 - \beta^2)^2} = 0, \quad m, n = 1, 2, 3, \dots \quad (21.159)$$

При конечном числе членов ряда в выражении для прогиба (21.134) система уравнений (21.159) будет содержать конечное число неизвестных A_{mn} . Приближенное значение эйлеровых напряжений может быть найдено из условия равновесия пучка определителя этой системы. Система (21.159) распадается на подгруппы, в каждую из которых входят коэффициенты A_{mn} с одинаковым номером n . Это показывает, что потеря устойчивости пластинки происходит с образованием n -синусoidalных полуволн в направлении оси x . Для



Рис. 21.21

определении эйлеровой нагрузки необходимо взять подгруппу уравнений с таким номером n , чтобы α_n принадлежало наименьшему значению из всех возможных.

Результаты вычислений по указанной выше схеме позволяют получить формулу для эйлеровых напряжений в следующем виде:

$$\sigma_{0m} = k_1 \alpha^2 D / \beta^4.$$

Значения коэффициента k_1 , зависящего от β и γ , приведены в справочнике [51].

Устойчивость свободно опертой прямоугольной пластины при чистом сдвиге (рис. 21.21). Пусть пластина по краям нагружена равномерными касательными напряжениями $\tau_{12} = -\tau$. Тогда, полагая в уравнении (21.133) $T_1 = T_2 = 0$, $S = -\tau t$, получаем уравнение устойчивости в виде

$$D \nabla^4 w + 2\tau t \frac{\partial^2 w}{\partial x \partial y} = 0. \quad (21.160)$$

Решение уравнения (21.160) выполним методом Бубнова — Галеркина, отыскивая прогиб в виде ряда (21.134), который удовлетворяет условиям свободного опирания (21.43) на всех краях пластины. Подставим ряд (21.134) в уравнение (21.160), умножим обе части уравнения на $\sin \alpha z \sin \beta y$ и проинтегрируем по всей площади пластины. Учитывая, что

$$\int_0^l \sin \alpha z \sin \beta z dz = \begin{cases} 0 & \text{при } \alpha \neq \beta; \\ l/2 & \text{при } \alpha = \beta; \end{cases}$$

$$\int_0^b \cos \alpha z \sin \beta z dz = \begin{cases} 0 & \text{при } (\alpha \pm \beta) \text{ четном}; \\ \frac{2}{\alpha^2(\alpha^2 - \beta^2)} & \text{при } (\alpha \pm \beta) \text{ нечетном,} \end{cases}$$

после интегрирования получим

$$A_{mn} (\alpha^2 + \alpha^2 \gamma^2) + \frac{32\alpha^2 \beta^2 \gamma}{\alpha^2 D} \sum_i \sum_k \frac{A_{ikm\beta}}{(\alpha^2 - \beta^2)(\beta^2 - \alpha^2)} = 0, \quad (21.161)$$

где суммирование по i и k ведется для значений, при которых $(m \pm i)$ и $(m \pm k)$ — нечетные числа.

Система уравнений (21.161) распадается на две независимые системы однородных уравнений, в одну из которых входят коэффициенты A_{mn} с четной суммой номеров $(m+n)$, а в другую — с нечетной суммой $(m+n)$. Исследовать приходится только первую из этих систем, так как из второй получаются большие значения напряжений τ .

Если, например, оставить в ряду (21.134) только два члена ряда A_{11} и A_{33} с четной суммой $(m+n)$, то в соответствии с уравнениями (21.161)

$$\begin{cases} A_{11}(1 + \gamma^2) + 128\alpha^2 \beta^2 A_{33} / (9\alpha^2 D) = 0; \\ 128\alpha^2 \beta^2 A_{11} / 9\alpha^2 D + 16(1 + \gamma^2) A_{33} = 0. \end{cases}$$

Приравняв нулю определитель этой системы и разрешив полученное уравнение относительно τ , находим следующие приближенные значения эйлеровых касательных напряжений: $\tau_1 = 9(1 + \gamma^2) \alpha^2 D / (32\beta^2 \gamma^2 D)$. Более точные значения τ можно получить при удержании в ряду (21.134) большего числа членов:

$$\tau_1 = k_1 \alpha^2 D / \beta^4. \quad (21.162)$$

Значения коэффициента k_1 в зависимости от γ приведены в справочнике [51].

Коэффициент k_1 уменьшается в пределах 9,34—5,35 при $1 \leq \gamma \leq \infty$. Таким образом, для очень вытянутых пластин τ примерно вдвое меньше, чем для квадратных.

Формулу (21.162) используем для расчета на устойчивость стенок балок, находящихся под действием касательных напряжений, а также для расчета обшивки переборки при действии касательных усилий в их плоскости.

Рассмотренные в данном параграфе основные решения задач устойчивости изотропных прямоугольных пластин не охватывают всех встречающихся на практике случаев. В настоящее время получено большое число решений при различных граничных условиях на контуре и законах изменения нагрузки. Наиболее полно эти решения представлены в справочнике [31], который и рекомендуется для практических расчетов. Для приближенного решения задач устойчивости пластин в более сложных случаях, которые не вошли в справочную литературу, можно использовать методы Бубнова — Галеркина, Рунда и др. (см. § 21.6).

Влияние отступлений от закона Гука на устойчивость пластин. Полученные выше формулы для расчета пластин на устойчивость справедливы только в пределах применимости закона Гука. Например, при сжатии стальной пластины в направлении длинных кромок формула (21.143) применима, если $\sigma_x \ll \sigma_{0.2}$, где $\sigma_{0.2}$ — предел пропорциональности материала пластин. Из этого следует, что отношение ширины пластин к ее толщине должно удовлетворять условию

$$b/t \geq 100 \sqrt{80/\sigma_{0.2}}. \quad (21.163)$$

При сжатии пластин вдоль коротких кромок ($b \geq a$), как это следует из формул (21.144), должно выполняться условие

$$a/t \geq 100 \sqrt{20b/\sigma_{0.2}}. \quad (21.164)$$

Для мягкой судостроительной стали при $\sigma_{0.2} = 200$ МПа из последних формул получим, что $b/t \geq 63$ и $a/t \geq 31.5$. Первое условие относится к продольной, а второе — к поперечной системе набора.

При поперечной системе набора условие (21.164), как правило, выполняется. В случае продольной системы набора условие (21.163) не всегда выполняется, а учет отступлений от закона Гука может дать некоторую поправку к величине эйлеровых напряжений.

Напомним путь решения задачи об устойчивости пластин за пределами применимости закона Гука.

В § 20.8 было показано, как усложняется решение задачи об устойчивости стержней в упругопластической области. Исследование устойчивости пластин за пределами пропорциональности оказывается более трудным, поскольку в отличие от стержней в каждом слое пластин, параллельном оси срединной плоскости, образуется плоское напряженное состояние.

Строгое исследование устойчивости пластин в упругопластической области может быть выполнено методами теории пластичности с привлечением основных физических уравнений, зависящих для плоского напряженного состояния (см. § 4.5, 4.6). Эти уравнения, введенные в теорию изгиба пластин вместо уравнений закона Гука, дадут возможность получить уравнение устойчивости пластин за пределами пропорциональности материала и затем определить значения критических напряжений [51, т. 2]. Отметим, что

при таком подходе исследование устойчивости изотропных пластин в упругопластической области сводится к задаче об устойчивости в упругой области ортотропной пластин с различными жесткостями на изгиб в двух направлениях и на кручение. Соотношение между жесткостями ортотропной пластин зависит от того, в какой мере напряжения, вызывающие потерю устойчивости, превышают предел пропорциональности.

В ряде случаев отношение между жесткостями можно установить приближенно. Если допустить, что влияние отступлений от закона Гука по всем направлениям одинаково, то в дифференциальное уравнение устойчивости пластин вместо D надо ввести значение жесткости, равное ψD , где ψ — коэффициент, учитывающий отступления от закона Гука и определяемый так же, как и при одноосном напряженном состоянии (см. § 20.3). Тогда, очевидно, между критическими и эйлеровыми напряжениями будет справедливо соотношение (20.45), а чем нетрудно убедиться, имея в формулах (21.140) и (21.141) изгибную жесткость D на ψD . Указанное допущение приводит к занижению критических напряжений.

Для пластин, сжатых в одном направлении, можно сделать другое крайнее допущение и считать, что пластинка в направлении сжатия находится в пластической стадии как совокупность балочек с изгибной жесткостью $D_1 = \psi D$, а в перпендикулярном направлении представляет совокупность балок-ролков, находящихся в упругой стадии и имеющих изгибную жесткость $D_2 = D$. Тогда вместо дифференциального уравнения устойчивости (21.135) при сжатии пластин вдоль осей x усиления T_1 (см. рис. 21.17) можно получить

$$\psi D \frac{\partial^4 w}{\partial x^4} + 2D_2 \frac{\partial^2 w}{\partial x^2 \partial y^2} + D \frac{\partial^4 w}{\partial y^4} + T_1 \frac{\partial^2 w}{\partial x^2} = 0,$$

где D_2 — правленная жесткость ортотропной пластинки (см. § 21.5). По принятому допущению значение D_2 лежит в пределах $\psi D < D_2 < D$. Приближенно часто принимают $D_2 = \sqrt{\psi} D$.

Для свободной сферой пластинки из последнего дифференциального уравнения при указанном значении D_2 , прямая выражения для прогиба в виде ряда (21.134), вместо формул (21.140) и (21.141) соответственно получим

$$\sigma_{0x} = \sqrt{\psi} 4\pi^2 D_2 (\delta^2 t); \quad \sigma_{0y} = \pi^2 D (\sqrt{\psi} + \psi^2) (\delta^2 t).$$

Сравняя эти формулы с формулами (21.140) и (21.141), найдем для критических напряжений следующие формулы для продольной и поперечной систем набора соответственно:

$$\sigma_{0x} = \sqrt{\psi} \sigma_0; \quad \sigma_{0y} = [(\sqrt{\psi} + \psi)(1 + \psi)]^2 \sigma_0.$$

Сравнение последних формул для пластин с аналогичной формулой (20.45) для стержней показывает, что влияние отступлений от закона Гука для пластин оказывается меньшим.

Так как при расчете прочности связей корпуса, как правило, не допускается переход напряжений за предел текучести материала, а до предела текучести коэффициент μ мало отличается от единицы, при напряжениях, меньших предела текучести, отступления от закона Гука в практике расчетов устойчивости пластин не учитываются.

§ 21.8. Устойчивость сжатых пластин, подкреплённых ребрами жесткости

Задача об устойчивости сжатых пластин, подкреплённых ребрами жесткости, представляет для строительной механики корабля значительный практический интерес, поэтому при расчетах судовых конструкций необходимо,



Рис. 21.22

во-первых, установить расстояние между ребрами жесткости судовых переборок, во-вторых, определить ту необходимую нагабуку жесткость, которую должны иметь ребра, чтобы служить для пластин жесткими опорами, и, в-третьих, выяснить, как влияет жесткость кручения ребер на устойчивость пластин.

Устойчивость пластин, подкреплённых продольными ребрами жесткости (рис. 21.22). Пусть прямоугольная свободно опертая на контуре пластина подкреплена продольными ребрами жесткости и нагружена сжимающими равномерно распределёнными напряжениями σ_x . В таких условиях обычно находится участок сжатого

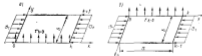


Рис. 21.23

при общем изгибе палубного перекрытия между бимсами при продольной системе набора.

Рассмотрим одно поле пластины шириной b , заключенное между k -м и $(k+1)$ -м ребрами жесткости. Направим ось x вдоль k -го ребра, а ось y — как показано на рис. 21.23, а. Дифференциальное уравнение устойчивости рассматриваемого поля следующее:

$$D \nabla^4 w + \sigma_x \frac{\partial^2 w}{\partial x^2} = 0. \quad (21.165)$$

Нулевые решения уравнения (21.165) разыскиваем в виде

$$\omega_x = f_k^{(0)}(y) \sin n k x / a, \quad (21.166)$$

удовлетворяя при этом условию свободного опирания на сторонах $x=0$; a . Подставляя выражение (21.166) в уравнение (21.165) так же, как и в § 21.7, найдем функцию $f_k^{(0)}(y)$:

$$f_k^{(0)}(y) = A_k^{(0)} \operatorname{ch} \alpha_k y + B_k^{(0)} \operatorname{sh} \alpha_k y + C_k^{(0)} \cos \beta_k y + D_k^{(0)} \sin \beta_k y, \quad (21.167)$$

где

$$\alpha_k = \frac{\sigma_x}{a} \sqrt{1 + \frac{a}{n k} \sqrt{\frac{\sigma_x^2}{D}}}; \quad \beta_k = \frac{\sigma_x}{a} \sqrt{\frac{a}{n k} \sqrt{\frac{\sigma_x^2}{D}} - 1}. \quad (21.168)$$

Произвольные постоянные в выражении (21.167) должны быть определены из условий совместности деформаций рассматриваемого поля пластинки с соседними полями в подкреплённых ребрами жесткости. Для удобства дальнейших вычислений выразим произвольные постоянные $A_k^{(0)}$, $B_k^{(0)}$, $C_k^{(0)}$, $D_k^{(0)}$ через значения функции $f_k^{(0)}(y)$ и ее вторых производных на линиях расположения ребер, обозначив эти значения через f_k и M_k соответственно на k -м ребре жесткости. Тогда выражение (21.167) для участка пластины между k -м и $(k+1)$ -м ребрами жесткости нетрудно привести к виду

$$f_k^{(0)}(y) = f_k \theta_k(b-y) + M_k \psi_k(b-y) + f_{k+1} \theta_k(y) + M_{k+1} \psi_k(y), \quad (21.169)$$

где

$$\left. \begin{aligned} \theta_k(y) &= \frac{1}{\alpha_k^2 + \beta_k^2} \left(\beta_k^2 \frac{\operatorname{sh} \alpha_k y}{\operatorname{sh} \alpha_k b} + \alpha_k^2 \frac{\sin \beta_k y}{\sin \beta_k b} \right); \\ \psi_k(y) &= \frac{1}{\alpha_k^2 + \beta_k^2} \left(\frac{\operatorname{sh} \alpha_k y}{\operatorname{sh} \alpha_k b} - \frac{\sin \beta_k y}{\sin \beta_k b} \right). \end{aligned} \right\} \quad (21.170)$$

Для участка пластины между k -м и $(k-1)$ -м ребрами жесткости (рис. 21.23, б) аналогично (21.166) и (21.169) можно получить

$$\left. \begin{aligned} \omega_{k-1} &= f_{k-1}^{(0)}(y) \sin n k x / a; \\ f_{k-1}^{(0)}(y) &= f_k \theta_k(b-y) + M_k \psi_k(b-y) + \\ &+ f_{k-1} \theta_k(y) + M_{k-1} \psi_k(y). \end{aligned} \right\} \quad (21.171)$$

Составим условие сопряжения соседних участков пластин на k -м ребре и дифференциальное уравнение сложного загиба k -го ребра жесткости (при $y=0$):

$$\left. \begin{aligned} \frac{\partial \omega_k}{\partial y}(0) &= -\frac{\partial \omega_{k-1}}{\partial y}(0); \\ E I \frac{\partial^2 \omega_k}{\partial x^2}(0) + \sigma_x \beta \frac{\partial^2 \omega_k}{\partial x^2}(0) &= r_{k-1} + r_{k+1}, \end{aligned} \right\} \quad (21.172)$$

где EI — изгибная жесткость поперечного сечения ребра жесткости (с присоединенным пояском); F — площадь поперечного сечения ребра жесткости; r_{k-1} , r_{k+1} — давление на k -е ребро жесткости со стороны участков пластин, расположенных соответственно между k -м и $(k-1)$ -м и между k -м и $(k+1)$ -м ребрами жесткости.

Подставляя в условия (21.172) выражения (21.166), (21.171) и используя формулу (21.33) для определения давлений r_{k-1} и r_{k+1} на ребро жесткости, получаем

$$\left. \begin{aligned} 2I_k \theta_k''(b) + 2M_k \psi_k'(b) - (f_{k+1} + f_{k-1}) \theta_k''(0) - \\ - (M_{k+1} + M_{k-1}) \psi_k'(0) = 0; \\ \left[\frac{\sigma_1^2 \pi^2}{6\alpha^2} (\pi^2 a^2 EI / a^2 - \sigma_1 F) - 2\theta_k''(b) \right] f_k - \\ - 2M_k \psi_k''(b) + (f_{k+1} + f_{k-1}) \theta_k''(0) + \\ + (M_{k+1} + M_{k-1}) \psi_k''(0) = 0. \end{aligned} \right\} \quad (21.173)$$

Условия (21.173) можно составить для каждого ребра жесткости и получить систему однородных уравнений с неизвестными значениями f_k и M_k . Эта система уравнений аналогична системе (20.53) и может быть решена в явном виде. Неудобные решения системы уравнений (21.173) будем искать в виде

$$f_k = f \sin k\pi/g + 1; \quad M_k = M \sin k\pi/g + 1, \quad (21.174)$$

где f и M — некоторые постоянные; g — число ребер жесткости; j — целое число, лежащее в пределах $1 \leq j \leq g$. Искомое решение удовлетворяет условиям свободного опирания пластины на жесткие опоры при $k=0$ и $k=g+1$, т. е. $f_0 = M_0 = f_{g+1} = M_{g+1} = 0$.

Подставляя (21.174) в систему (21.173) и учитывая, что

$$\sin \frac{(k+1)\pi}{g+1} + \sin \frac{(k-1)\pi}{g+1} = 2 \sin \frac{k\pi}{g+1} \cos \frac{\pi}{g+1},$$

получим

$$\left[\cos \frac{k\pi}{g+1} \theta_k''(0) - \theta_k''(b) \right] f + \left[\cos \frac{k\pi}{g+1} \psi_k'(0) - \psi_k'(b) \right] M = 0; \\ \left[\cos \frac{k\pi}{g+1} \theta_k''(0) - \theta_k''(b) + \frac{\sigma_1^2 \pi^2}{20\alpha^2} (EI \frac{\sigma_1^2 \pi^2}{a^2} - \sigma_1 F) \right] f + \\ + \left[\cos \frac{k\pi}{g+1} \psi_k''(0) - \psi_k''(b) \right] M = 0.$$

Приравняв нулю определитель этой системы уравнений и учитывая выражения (21.170), можно найти уравнение устойчивости в таком виде:

$$EI = (\sigma_1 a^2 \pi^2) (F/a^2 + \delta \epsilon \psi_g), \quad (21.175)$$

где

$$\psi_g = \frac{2\alpha^2 \Omega}{\sigma_1 a^2 \pi^2} \left(\frac{\gamma}{\pi h} \right)^2 \frac{\alpha_1 \alpha_2 (\alpha_1^2 + \alpha_2^2) \chi_{\alpha_1} \Theta_{\alpha_2}}{\chi_{\alpha_1 \alpha_2} \sin \alpha_1 - \gamma \Theta_{\alpha_1 \alpha_2} \sin \alpha_2}. \quad (21.176)$$

Здесь

$$\gamma = a/b; \quad \alpha_1 = \alpha_1 b; \quad \alpha_2 = \beta_1 b; \\ \chi_{\alpha_1} = \cos \alpha_1 (g+1) - \text{ch} \alpha_1; \quad \Phi_{\alpha_1} = \cos \alpha_1 (g+1) - \cos \alpha_1.$$

По формуле (21.175) при заданном значении сжимающего напряжения σ_1 можно определить необходимый момент инерции подкрепляющих ребер жесткости. Значения чисел n и j надо выбирать так, чтобы момент инерции I был наибольшим. Обычно наибольшее значение I получается при $j = n = 1$.

Существует критическое значение момента инерции поперечного сечения ребер жесткости, при котором ребра являются жесткими опорами для пластин. Увеличение момента инерции сверх критического значения не приводит к повышению устойчивости пластин. Для определения критического значения момента инерции в формулах (21.175) и (21.176) необходимо принять напряжения σ_1 равными эйлеровым напряжениям для пластин размерами a и b , свободно опёртой на жесткой контур, т. е. считать ребра абсолютно жесткими.



Рис. 21.24

Условие устойчивости отдельного ребра можно записать в виде (21.175), положив $\psi_g = 1$ и $n = 1$. При достаточно большом числе ребер, характерном для судовых пластин, функция ψ_g близка к единице. Поэтому условие устойчивости (21.175) приближенно можно записать в виде

$$EI = (\sigma_1 a^2 \pi^2) (F + \delta \epsilon).$$

Последнее условие при заданном значении сжимающих напряжений позволяет вычислить необходимую жесткость продольных подкрепляющих ребер.

Расстояние между ребрами определяют из условия устойчивости пластины между ребрами жесткости по формулам (21.140) или (21.143).

Устойчивость связей пластин, подкрепленных поперечными ребрами жесткости (рис. 21.24). Решение задачи об устойчивости скатой свободно опёртой пластины, подкрепленной поперечным набором, можно получить аналогично предыдущему. Дифференциальное уравнение устойчивости одного участка пластины запишется в виде (21.165). Разыскивая ненулевые решения этого уравнения в пределах каждого участка в форме $w = f_n(x) \sin \alpha y / b$ и составив условия сопряжения двух соседних участков в условиях совместной работы ребер и пластин, можно получить точное уравнение устойчивости пластин, подкрепленной поперечными ребрами жесткости.

На практике расстояние между ребрами a намного меньше ширины пластин b . В этом случае легко свести задачу к задаче

об устойчивости перекрытия и получить ее приближенное решение в виде (20.73). Пластину можно рассматривать как совокупность продольных балок-полосок единичной ширины с изгибной жесткостью D , опертых на концевые ребра с изгибной жесткостью EI . Если в уравнении устойчивости перекрытия (20.73) положить $EI = D$, $\delta = 1$, $I_0 = I$ и заменить ширину перекрытия L на ширину пластины B , то получим уравнение устойчивости пластины в виде

$$EI = D\delta(\delta l)^2 \chi_l(\lambda), \quad (21.177)$$

где $\chi_l(\lambda)$ — функция, определяемая формулой (20.58); λ — параметр, равный для балки-полоски [см. формулу (20.60)]

$$\lambda = \sigma \rho \sqrt{I} / (\pi^2 D). \quad (21.178)$$

Так как концевые ребра жесткости предполагаются свободно опертыми по концам и не учитываются отступления от закона Гука для пластины, в уравнении (20.73) при выводе (21.177) было принято $\mu = \alpha$, $\varphi = 1$.

Уравнение устойчивости пластины (21.177) определяет необходимый момент инерции поперечных ребер жесткости. Используют его так же, как и уравнение устойчивости перекрытия (20.73).

Существует критическое значение момента инерции подкрепляющих ребер жесткости, при котором они, подобно абсолютно жестким, не изгибаются и эйлеровы напряжения пластины достигают максимального значения. Числа определяют критический момент инерции, в формуле (21.177) необходимо положить $\lambda = 1$.

Расстояние между ребрами жесткости a может быть вычислено с помощью формулы (21.142) при заданных эйлеровых напряжениях $\sigma_x = \sigma_y$.

Таким образом, рассмотренные выше решения позволяют определять необходимую жесткость ребер и расстояние между ними при продольной и поперечной системах набора.

Влияние жесткости кручения ребер на устойчивость пластин. В решениях (21.175) и (21.177) об устойчивости пластин, подкрепленных ребрами жесткости, предполагалось, что ребра жесткости не препятствуют повороту опорных кромок пластин и не создают заделку на контуре. В действительности при потере пластиной устойчивости ребра жесткости, assuming деформацию стесненного кручения, будут поворачиваться на те же углы, что опорные кромки пластины, и создавать пластине заделку. Это повышает устойчивость пластин. Решение задач об устойчивости пластин с учетом жесткости кручения ребер было получено А. И. Мысловым (1947 г.), А. А. Курдюмовым (1947 г.), В. А. Постновым (1953 г.).

Полученные решения показывают, что жесткость кручения ребер в судовых конструкциях может увеличивать эйлеровы напряжения до 30 %.

При практических расчетах, делая ошибку в безопасную сторону, обычно не учитывают влияние жесткости кручения подкреп-

ляющих ребер, считая их свободно опертыми по контуру. Этот поправляется увеличение эйлеровых напряжений, которое может происходить за счет отступлений от закона Гука.

§ 21.9. Приближенные методы решения задач устойчивости пластин

При сложной геометрии пластины, произвольных граничных условиях и действиях в срединной плоскости совокупности усилий T_1 , T_2 , S , изменяющихся в поле пластины, аналитическое решение дифференциального уравнения устойчивости (21.133) затруднительно. В этих случаях решение задач устойчивости пластин получают приближенными численными методами Бубнова — Галеркина, Рунта, МКЭ, методом сеток и др. Ниже применительно к указанным задачам будут изложены метод Рунта, МКЭ и метод сеток.

Будем предполагать, что сжимающие и сдвигающие усилия T_1 , T_2 , S , действующие в срединной плоскости пластины, изменяются в поле пластины пропорционально одному параметру:

$$T_1 = T_0 f_1(x, y); \quad T_2 = T_0 f_2(x, y); \quad S = T_0 f_3(x, y). \quad (21.179)$$

Здесь T_0 — параметр, имеющий размерность погонных усилий; $f_1(x, y)$, $f_2(x, y)$ — законы изменения погонных усилий в поле пластины, которые считаются далее заданными.

Вообще говоря, законы $f_i(x, y)$ в выражениях (21.179) вводятся в каждом конкретном случае решением плоской задачи теории упругости при соответствующих граничных условиях [см. гл. 6, а также первое уравнение (21.40) и соотношения (21.23) для плоского напряженного состояния пластины].

Метод Рунта. Следуя этому методу, необходимо задать форму потерь устойчивости пластины (ее предель в отклоненном от исходного положения равновесия) и воспользоваться затем уравнением метода Рунта в виде (21.115) и выражением (21.113) для формы потерь устойчивости. В замкнутом выражении (21.115) U представляет собой потенциальную энергию изгиба пластины (21.117) в отклоненном положении равновесия, а U является силовой функцией усилий T_1 , T_2 , S , включенной как работа указанных усилий на дополнительных перемещениях, которые вызваны деформацией изгиба пластины.

Если вырезать из пластины бесконечно малый элемент с размерами в плане dx и dy , то работа погонных усилий T_1 , T_2 , S , приложенных к границе рассматриваемого элемента, будет равна

$$\delta U = (T_1 \delta u_0 + T_2 \delta u_9 + S \delta v_0) dx dy,$$

где u_0 , u_9 , v_0 — деформации срединной плоскости пластины, вызванные изгибом пластины, которые определяются формулами (21.2) при $u_0 = v_0 = 0$. Поэтому последние выражение можно записать так:

$$\delta U = \frac{1}{2} \left[T_1 \left(\frac{\partial w}{\partial x} \right)^2 + 2S \frac{\partial w}{\partial x} \frac{\partial w}{\partial y} + T_2 \left(\frac{\partial w}{\partial y} \right)^2 \right] dx dy.$$

Интегрируя это равенство по всей площади Ω срединной плоскости пластины, получаем

$$U = \frac{1}{2} \iint_{\Omega} \left[T_1 \left(\frac{\partial w}{\partial x} \right)^2 + 2S \frac{\partial w}{\partial x} \frac{\partial w}{\partial y} + T_2 \left(\frac{\partial w}{\partial y} \right)^2 \right] dx dy. \quad (21.180)$$

Эти сжимающие усилия T_1 , T_2 считаются положительными, как это принято в задачах устойчивости.

Подставляя теперь форму потерю устойчивости (21.113) в выражения (21.117) и (21.180), на основании соотношений (21.115) с учетом (21.179) находим

$$\sum_{i=1}^m \sum_{j=1}^m (k_{ij,ms} - s_{ij,ms}) w_{ij} = 0, \quad (21.181)$$

где

$$m = 1, 2, \dots, \infty; \quad n = 1, 2, \dots, \infty;$$

$$\left. \begin{aligned} s_{ij,ms} = T_0 \iint_{\Omega} [f_1' \psi_i' \psi_j' \psi_m + f_2 \psi_i' \psi_j' \psi_m + \\ + f_3 (\psi_i' \psi_j' \psi_m' + \psi_i \psi_j' \psi_m')] dx dy; \\ k_{ij,ms} = D \iint_{\Omega} [(\psi_i'' \psi_j'' + \psi_i \psi_j'') (\psi_m'' \psi_m + \psi_m \psi_m'') + \\ + 2(1-\nu) (\psi_i' \psi_j' \psi_m' - \psi_i'' \psi_j \psi_m' - \psi_i \psi_j'' \psi_m')] dx dy. \end{aligned} \right\} \quad (21.182)$$

В формулах (21.182) для простоты записи не указана зависимость функций $\psi_m(x)$, $\psi_m(y)$, $f_i(x, y)$ от аргументов x и y .

Если пластина теряет устойчивость, то однородная система уравнений (21.181) должна иметь ненулевые решения $w_{ij} \neq 0$, а определитель этой системы должен обратиться в нуль:

$$\det \| (k_{ij,ms} - s_{ij,ms}) \| = 0 \quad (21.183)$$

Наименьшее значение $T_0 = T_{ms}$, как корня уравнения (21.183) определяет величину эйлеровых нагрузок (21.179). Форму потерю устойчивости вычисляют по выражению (21.113) после подстановки туда ненулевых значений коэффициентов w_{ms} , найденных из системы (21.181) при $T_0 = T_{ms}$.

При практических расчетах в выражении (21.113) удерживают конечное число членов N_0 . Тогда условие (21.183) дает для T_0 алгебраическое уравнение степени N_0 , а система (21.181) превращается в систему $(N_0 - 1)$ линейных неоднородных уравнений при фиксации численного значения одного из коэффициентов w_{ij} (чаще всего принимают $w_{11} = 1$). При конечном числе членов получается, как правило, приближенное решение, точность которого увеличивается с ростом числа членов ряда (21.113).

Как и в задачах устойчивости стержневых систем, метод Рунда дает зависящее значение эйлеровой нагрузки. Это объясняется тем, что, задавая форму потерю устойчивости конечным числом членов ряда (21.113), мы сужаем для нее класс допустимых функ-

ций. Тем самым на пластину накладываются дополнительные связи, которые увеличивают ее жесткость и, как следствие, эйлерову нагрузку. Точное решение по методу Рунда можно получить только в том случае, если конечное число членов ряда (21.113) точно описывает форму потерю устойчивости пластин.

Метод конечных элементов. Как и в задачах поперечного изгиба, представим пластину в виде совокупности конечных элементов, взаимодействующих между собой соответствующими образом. При потере устойчивости пластина приобретает некоторый изгиб $w(x, y)$ и каждый конечный элемент будет также изгибаться.

Полная энергия деформирования конечного элемента определяется выражением

$$g = \Pi - U, \quad (21.184)$$

где справедливы соотношения (21.117), (21.180), если Ω — область, занятая срединной плоскостью конечного элемента.

Далее будем рассматривать прямоугольный конечный элемент (см. рис. 21.16), аппроксимируя его прогиб выражениями (21.120) и (21.121) в зависимости от узловых перемещений φ . Обобщенные условия связи R_i , соответствующие обобщенным условиям перемещений φ , с учетом (21.184) найдем

$$R_i = \frac{\partial g}{\partial \varphi_i} = \frac{\partial (\Pi - U)}{\partial \varphi_i}. \quad (21.185)$$

Последовательно подставляя выражения (21.117), (21.180), (21.179), (21.120) в соотношения (21.185), получаем зависимость

$$R_i = \sum_{j=1}^{12} (k_{ij} - s_{ij}) \varphi_j, \quad i = 1, 2, \dots, 12, \quad (21.186)$$

где k_{ij} определяются формулами (21.123) и образуют матрицу жесткости (21.124) конечного элемента;

$$s_{ij} = T_0 \iint_{\Omega} \left[f_1 \frac{\partial \psi_i}{\partial x} \frac{\partial \psi_j}{\partial x} + f_2 \frac{\partial \psi_i}{\partial y} \frac{\partial \psi_j}{\partial y} + f_3 \left(\frac{\partial \psi_i}{\partial x} \frac{\partial \psi_j}{\partial y} + \frac{\partial \psi_i}{\partial x} \frac{\partial \psi_j}{\partial y} \right) \right] dx dy. \quad (21.187)$$

Коэффициенты s_{ij} образуют так называемую матрицу [S] геометрических жесткостей, поскольку она учитывает влияние изменений геометрии пластинки на ее напряженное состояние в отклоненном положении. Указанная матрица имеет вид

$$[S] = \begin{bmatrix} s_{11} & s_{12} & \dots & s_{1n} \\ s_{21} & s_{22} & \dots & s_{2n} \\ \dots & \dots & \dots & \dots \\ s_{n1} & s_{n2} & \dots & s_{nn} \end{bmatrix}. \quad (21.188)$$

Компоненты матрицы геометрических жесткостей (21.188) вычисляют по формулам (21.187) с учетом выражений (21.121) и заданных законов изменения $f_i = f_i(x, y)$ усилий (21.179). В связи с большим разнообразием последних вычислить интегралы

(21.187) в общем виде невозможно, поэтому коэффициенты (21.187) определяются, аппроксимируя функции f_i в пределах конечного элемента. В справочнике [51, т. 2] приведены формулы для δ_{ij} , полученные для линейного изменения функций f_i, f_j вдоль одной из осей и постоянного значения f_i . Эти формулы довольно громоздки и в настоящем учебнике не приводятся.

Если воспользоваться обозначениями (21.124), (21.125), (21.127), (21.188), то зависимость (21.186) можно получить в компактной матричной форме:

$$\{R\} = \{[K] - [S]\} \{q\}. \quad (21.189)$$

Условия равновесия узлов пластины в отклоненном положении записываются в виде уравнений (21.132) при $P_{ij}^{(0)} = 0$, поскольку внешняя нагрузка в задачах устойчивости пластины отсутствует. Подставляя в (21.132) выражение (21.186) или (21.189), получаем $3N_0$ однородных уравнений относительно неизвестных обобщенных перемещений $q_i^{(0)}$ с общим числом $3N_0$, где N_0 — число узлов пластины. Приравняв нулю определитель полученной системы, составим уравнение для отыскания λ_0 , меньший корень которого будет давать значения эйлеровых нагрузок (21.179). Форма потери устойчивости характеризуется значениями прогибов пластины в узлах конечных элементов. Эти значения находятся из указанной выше системы $3N_0$ уравнений с точностью до постоянного множителя, определяемого обычно так, чтобы наибольшая ордината формы потери устойчивости равнялась единице.

Как и метод Рунга, МКЭ дает заниженное значение эйлеровых нагрузок.

Отметим, что алгебраические уравнения для отыскания λ_0 в МКЭ имеют весьма большие степени и для их решения используются специальные приемы [40]. Расчет в целом из-за большого объема вычислений, как правило, выполняется на ЭВМ по специально разработанным программам.

Метод сеток. При решении задачи устойчивости пластин методом сеток срединная плоскость пластины покрывается сеткой. За основные неизвестные принимают прогибы пластины в узлах сетки, а дифференциальные уравнения устойчивости (21.133) и заданные граничные условия заменяют конечно-разностными аналогами. Как было показано в § 9.3 [см. формулу (9.57)], для прямоугольной сетки с размерами h_x и h_y в направлении осей x и y соответственно производные функции $w(x, y)$, входящие в уравнение (21.133) в узле сетки с номером k , будут равны

$$\left. \begin{aligned} \left(\frac{\partial^2 w}{\partial x^2} \right)_{k1} &= \frac{\Gamma_{10}(w_{k1})}{h_x^2}; & \left(\frac{\partial^2 w}{\partial y^2} \right)_{k1} &= \frac{\Gamma_{01}(w_{k1})}{h_y^2}; \\ \left(\frac{\partial^2 w}{\partial x \partial y} \right)_{k1} &= \frac{\Gamma_{11}(w_{k1})}{4h_x h_y}; & \left(\frac{\partial^2 w}{\partial y \partial x} \right)_{k1} &= \frac{\Gamma_{10}(w_{k1})}{h_x^2}; \\ \left(\frac{\partial^2 w}{\partial y^2} \right)_{k1} &= \frac{\Gamma_{01}(w_{k1})}{h_y^2}; & \left(\frac{\partial^2 w}{\partial x \partial y} \right)_{k1} &= \frac{\Gamma_{11}(w_{k1})}{4h_x h_y}. \end{aligned} \right\} \quad (21.190)$$

где $\Gamma_{ij}(w_{k1})$ — конечно-разностные операторы в узле k 1 сетки с координатами $x = x_k, y = y_1$, определяемые формулами

$$\left. \begin{aligned} \Gamma_{10}(w_{k1}) &= w_{k+1,1} - 2w_{k1} + w_{k-1,1}; \\ \Gamma_{01}(w_{k1}) &= w_{k,1+1} - 2w_{k,1} + w_{k,1-1}; \\ \Gamma_{11}(w_{k1}) &= w_{k+1,1+1} - w_{k+1,1-1} - w_{k-1,1+1} + w_{k-1,1-1}; \\ \Gamma_{00}(w_{k1}) &= w_{k,1+1} - 2w_{k1} + w_{k,1-1}; \\ \Gamma_{00}(w_{k1}) &= w_{k+1,1} - 4w_{k+1,1} + 6w_{k1} - 4w_{k-1,1} + w_{k-3,1}; \\ \Gamma_{11}(w_{k1}) &= w_{k+1,1+1} + w_{k+1,1-1} + w_{k-1,1+1} + w_{k-1,1-1} + \\ &+ 4w_{k1} - 2(w_{k+1,1} + w_{k-1,1} + w_{k,1+1} + w_{k,1-1}); \\ \Gamma_{01}(w_{k1}) &= w_{k,1+2} - 4w_{k,1+1} + 6w_{k1} - 4w_{k,1-1} + w_{k,1-2}. \end{aligned} \right\} \quad (21.191)$$

Относительные погрешности вычисления простых и смешанных производных по x, y составляют:

$$\delta_x = O(h_x/c_1)^2; \quad \delta_y = O(h_y/c_2)^2; \quad \delta_{xy} = O(h_x h_y/c_1 c_2). \quad (21.192)$$

Здесь c_1, c_2 — характерные размеры пластины вдоль осей x, y соответственно.

Заменяя производные в дифференциальном уравнении устойчивости пластины (21.133) их конечно-разностными зависимостями (21.190) в k 1-м узле сетки, с учетом (21.179) получаем

$$\begin{aligned} & \gamma^2 \Gamma_{00}(w_{k1}) + 2\Gamma_{11}(w_{k1}) + \frac{1}{\gamma^2} \Gamma_{10}(w_{k1}) + \\ & + \lambda^2 \left[2\gamma f_{10} \Gamma_{10}(w_{k1}) - f_{00} \Gamma_{00}(w_{k1}) + \frac{2}{\gamma} f_{11} \Gamma_{11}(w_{k1}) \right] = 0, \end{aligned} \quad (21.193)$$

где

$$\gamma = h_y/h_x; \quad \lambda = T_0 h_x h_y / 2D; \quad f_{10} = f_1(x_k, y_1). \quad (21.194)$$

В общем случае уравнения (21.193) с учетом (21.191) и (21.194) составляют для всех узлов сетки, включая и сеточный контур. Помимо неизвестных w_{k1} во внутренних и граничных точках области в систему уравнений (21.193) войдут также значения w_{k1} в двух соседних с краем законтурных точках. Для определения этих законтурных значений используют граничные условия (по два в каждой точке сеточного контура), записанные в конечно-разностной форме. Таким образом, значения прогибов пластины в узлах сетки w_{k1} определяются совместной системой однородных уравнений (21.193) и конечно-разностных уравнений, вытекающих из граничных условий. Для того чтобы такая однородная система имела ненулевые решения $w_{k1} \neq 0$, необходимо приравнять нулю ее определитель. В результате получается алгебраическое степенное уравнение относительно параметра λ ; меньший корень этого уравнения $\lambda_{кр1}$ с учетом второй формулы (21.194) и выражений (21.179) позволяет найти эйлерову нагрузку пластины. Форма потери устойчивости определяется значениями прогибов w_{k1} в узлах сетки, которые находятся из совместной системы (21.193) и конечно-разностных граничных уравнений при $\lambda = \lambda_{кр1}$.

Оценки погрешности (21.192) показывают, что для обеспечения точности порядка 5% необходимо разбить пластину в каждом на-

кравления на пять участков ($k_1/c_1 = k_2/c_2 = 1/5$). Даже при такой разнице количество неизвестных ω_{ij} окажется более 20. Поэтому расчет пластин на устойчивость методом сеток приходится выполнять с применением ЭВМ.

Методом сеток целесообразно пользоваться при сложной конфигурации пластин и при задании условий (21.179) таблично, графически или сложными аналитическими выражениями, когда вычисление матрицы геометрических жесткостей (21.187), (21.188) при МКЭ требует значительного объема вычислений.

§ 21.10. Изгиб пластин большого прогиба. Участие пластин, термочувствительность, в восприятии сжимающей нагрузки

Напряженно-деформированное состояние пластин большого прогиба описывается волной системой уравнений Кармана (21.24). Аналитическое решение этой нелинейной системы затруднительно, и связи с тем на практике эта система может быть решена только приближенными методами: малого параметра, Рунга, Бубнова — Галеркина, сеток, МКЭ, Канторонца — Власова и др. [51, т. 2].

Первые решения нелинейных задач изгиба пластин по цилиндрической поверхности получены И. Г. Бубновым (1902 г.), которые применяют и сейчас для расчета прочности обшивки переборки.

К настоящему времени имеется довольно много частных решений уравнений Кармана для прямоугольных и круглых пластин. Значительное число конкретных результатов, доведенных до справочных таблиц, получено методом сеток М. С. Корашинным. Как правило, пластины наружной обшивки корпуса судна, в частности наиболее нагружаемые пластины днища, относятся к категории жестких, для расчета прочности которых используются зависимости § 21.4—21.6 и готовые справочные таблицы [51, т. 2]. Поэтому примеры решения уравнений Кармана (21.24) для гибких пластин при действии поперечной нагрузки здесь не приводятся.

Рис. 21.25

Наже мы рассмотрим очень важный случай нелинейного деформирования пластин, потерявших устойчивость, в составе сжатого судового перекрытия (как правило, алуэбонного) с точки зрения деформирования пластин, потерявших устойчивость, в составе сжатого судового перекрытия (как правило, алуэбонного) с точки зрения теории Кармана. При этом наибольший интерес представляет определение нагрузок, которые воспринимают потерявшие устойчивость пластины в составе сжатого перекрытия. Этот вопрос возникает при расчете напряжений в связях хордуса при его общем изгибе.

Пусть пластины обшивки сжатого перекрытия (рис. 21.25) теряют устойчивость. При этом средние напряжения в обшивке равны σ_x , а напряжения в продольных ребрах жесткости (жестких

связях) $\sigma_{xc} = T/F$ [T — сила, действующая на продольное ребро; F — площадь поперечного сечения ребра жесткости (без присоединенного пояска)]. Сжимающая сила, приходящаяся на одну панель продольного ребра, будет равна

$$T_0 = T + \sigma_x \Delta l = \sigma_{xc} F + \sigma_x B, \quad (21.195)$$

где l — толщина обшивки.

Если пластины устойчивы, то $\sigma_x = \sigma_{xc}$ и напряжения в связях перекрытия распределены равномерно. При потере пластинами устойчивости напряжения в обшивке и ребрах жесткости различны: $\sigma_1 < \sigma_{xc}$. Это противоречит гипотезе плоских сечений, принятой при определении нормальных напряжений в перекрытии от общего изгиба корпуса, согласно которой эти напряжения в связях, равноудаленных от нейтральной оси поперечного сечения, одинаковы по значению. Для устранения этого противоречия пластины обшивки надо засчитать за эквивалентный брус с меньшей площадью B_{eq} , где B_{eq} — некоторая эквивалентная ширина пластинки в пределах ширины продольного набора. Тогда продольная сила может быть определена по формуле

$$T_0 = \sigma_{xc} (F + B_{eq} l) \quad (21.196)$$

в предположении, что нормальные напряжения в обшивке и продольных ребрах жесткости перекрытия одинаковы.

Сравнивая правые части равенств (21.195) и (21.196), получаем

$$B_{eq} = \varphi B; \quad \varphi = \sigma_1 / \sigma_{xc} \quad (21.197)$$

где φ является так называемым *редуцированным коэффициентом*, для определения которого необходимо знать напряжения σ_1 в потерявших устойчивость пластинках.

Для вычисления напряжений σ_1 и потерявших устойчивость пластинок необходимо исследовать совместную работу настила перекрытия и подкрепляющего его набора, учитывая, что после потери устойчивости у пластины появляются изгибные деформации. С этой целью рассмотрим одну пластину, заключенную между балками набора сжатого палубного перекрытия (см. рис. 21.25). До потери пластинной устойчивости в продольных ребрах и пластине как в связях, практически одинаково расположенных от нейтральной оси поперечного сечения судна, будут действовать одинаковые сжимающие напряжения. После потери устойчивости пластины будет испытывать изгиб дополнительно к указанному равномерному напряженному состоянию. Если бы пластина была изолированной, то при потере устойчивости ее противоположные кромки стремились бы обжаться и оказались бы искривленными, как показано на рис. 21.25. В действительности благодаря взаимосодействию с соседними полями настила кромки рассматриваемой пластины искривляться не могут. Поэтому пластина после потери устойчивости будет изгибаться при сохранении прямолинейности кромок,

что приведет к появлению дополнительных напряжений по ее краям.

Таким образом, потерявшая устойчивость пластина в сжатом состоянии перекрывается и испытывает плоское напряженное состояние в прогиб. Поэтому для исследования ее напряженного состояния в общем случае необходимо использовать уравнение Кармана (21.24) при отсутствии поперечной нагрузки $[p(x, y) = 0]$. Граничными условиями для функции напряжений будут условия неискривляемости кромок и совместности их деформаций с продольными ребрами.

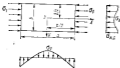


Рис. 21.26

Если принять за ось z ось координат в соответствии с рис. 21.26 и обозначая средние сжимающие напряжения в пластине через σ_0 , будем искать решение уравнений Кармана (21.24) в таком виде:

$$w = \sum_{m=1}^{\infty} \sum_{n=1}^{\infty} a_{mn} \cos(2m-1)\pi x \cos(2n-1)\pi y; \quad (21.198)$$

$$F = -\frac{\sigma_0 b^2}{2} + \frac{E b^4}{16a^4} \sum_{m=1}^{\infty} \sum_{n=1}^{\infty} \frac{b_{mn} \cos 2m\pi x \cos 2n\pi y}{(\sigma^2 + \alpha^2 \pi^2)^2}; \quad (21.199)$$

где a_{mn} и b_{mn} — известные коэффициенты рядов для прогиба и функции напряжений.

Принятое выражение для прогиба (21.198) удовлетворяет условиям свободного опирания кромок пластинкам. Функция напряжений должна отвечать следующим граничным условиям равенства на краях x и y условиям неискривляемости кромок $x = \pm 0,5a$, $y = \pm 0,5b$:

$$\int_{-0,5a}^{0,5a} \sigma_x dx = \int_{-0,5a}^{0,5a} \frac{\partial^2 F}{\partial x^2} dx = 0, \quad \int_{-0,5a}^{0,5a} \sigma_y dy = \int_{-0,5a}^{0,5a} \frac{\partial^2 F}{\partial y^2} dy = -\sigma_0 b; \quad (21.200)$$

$$v'_x = \int_{-0,5a}^{0,5a} \frac{\partial v_x}{\partial x} dx = \text{const}; \quad v'_y = \int_{-0,5a}^{0,5a} \frac{\partial v_y}{\partial y} dy = \text{const}. \quad (21.201)$$

Выполнение условий (21.200) при задании функции напряжений $F(x, y)$ в виде (21.199) легко проверяется непосредственной подстановкой.

Рассмотрим теперь условия (21.201) неискривляемости кромок. На основании зависимостей (21.2), (21.23) и закона Гука (21.17) имеем соотношения

$$\left. \begin{aligned} \epsilon_{xx} &= \frac{\partial v_x}{\partial x} + \frac{1}{2} \left(\frac{\partial w}{\partial x} \right)^2 = \frac{1}{E} \left(\frac{\partial^2 F}{\partial x^2} - \mu \frac{\partial^2 F}{\partial y^2} \right); \\ \epsilon_{yy} &= \frac{\partial v_y}{\partial y} + \frac{1}{2} \left(\frac{\partial w}{\partial y} \right)^2 = \frac{1}{E} \left(\frac{\partial^2 F}{\partial y^2} - \mu \frac{\partial^2 F}{\partial x^2} \right). \end{aligned} \right\} \quad (21.202)$$

Если выразить $\frac{\partial v_x}{\partial x}$ и $\frac{\partial v_y}{\partial y}$ из (21.202) и подставить эти выражения в условия (21.201), то после интегрирования получим

$$v'_x = -\frac{\sigma_0 a}{2E} - \frac{\sigma^2}{16a} \sum_{m=1}^{\infty} \sum_{n=1}^{\infty} a_{mn}^2 (2m-1)^2; \quad (21.203)$$

$$v'_y = \frac{\mu \sigma_0 a}{2E} - \frac{\sigma^2}{16a} \sum_{m=1}^{\infty} \sum_{n=1}^{\infty} a_{mn}^2 (2m-1)^2; \quad (21.204)$$

Поскольку выражение (21.203) и (21.204) не зависят от координат x и y , условия (21.201) выполняются.

Зависимость (21.203) определяет величину обложения соседней пластины $x = 0$ и $x = 0,5a$, равную сжатию подкрепляющих пластину ребер:

$$\sigma'_x = -\sigma_0 \epsilon_0 \sqrt{2E}. \quad (21.205)$$

Подставляя выражение (21.205) в формулу (21.203), получаем

$$\sigma_{x,c} = \sigma_0 + \frac{E \sigma_0^2}{a^2} \sum_{m=1}^{\infty} \sum_{n=1}^{\infty} a_{mn}^2 (2m-1)^2. \quad (21.206)$$

Формула (21.206) устанавливает зависимость между средними напряжениями в пластине σ_0 и напряжениями в жестких связях $\sigma_{x,c}$ через коэффициенты a_{mn} , характеризующие прогиб потерявшей устойчивость пластины.

Для определения a_{mn} необходимо сначала выразить b_{mn} через a_{mn} с помощью первого уравнения (21.24) и выражений (21.198), (21.199), а затем проинтегрировать второе уравнение (21.24) методом Бубнова — Галеркина при $p(x, y) = 0$. При этом будут получены дополнительные уравнения относительно a_{mn} .

Так, задавая прогиб w двумя членами ряда

$$w = (a_{11} \cos \pi x + a_{12} \cos 3\pi x) \cos \pi y, \quad (21.207)$$

из первого уравнения (21.24) получим для коэффициентов b_{mn} ряда (21.199) следующие выражения:

$$\left. \begin{aligned} b_{10} = b_{20} = 0; \quad b_{12} = \frac{1}{2} (a_{11} - 2a_{12}) a_{11}; \quad b_{30} = -b_{10} = 4a_{12} a_{11}; \\ b_{32} = 9a_{12}^2/2; \quad b_{40} = -(a_{11}^2 + 9a_{12}^2)/2; \quad b_{20} = a_{11} a_{12}. \end{aligned} \right\} \quad (21.208)$$

Если подставить функцию напряжений (21.199) с учетом (21.208) во второе уравнение Кармана (21.24), то при задании

прогиба в виде (21.207) методом Бубнова — Галеркина можно получить систему двух кубических уравнений для определения α_1 и α_2 . После вычисления этих коэффициентов из уравнения (21.206) найдем средние напряжения σ_x в пластине при известных напряжениях $\sigma_{x,c}$.

Степень участия пластин в восприятии сжимающей нагрузки после потери устойчивости принято характеризовать коэффициентом $\varphi = \sigma_x / \sigma_{x,c}$. Разделив соотношение (21.206) на $\sigma_{x,c}$, получим

$$\varphi = 1 - \frac{\alpha^2 E}{8\sigma_{x,c} c} \sum_{m=1}^{\infty} \sum_{k=1}^{\infty} a_{mk} (2m - 1)^2. \quad (21.209)$$

На рис. 21.27 представлена зависимость коэффициента φ от параметра $\kappa = \sigma_{x,c} / \sigma_{x,c}$, построенная на основании вычислений П. А. Соколова (1932 г.) по формуле (21.209) при сохранении

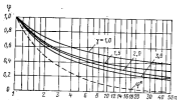


Рис. 21.27

в выражении для прогиба (21.198) трех членов ряда. Пунктирной линией обозначены значения редуцированного коэффициента $\varphi^* = \sigma_x / \sigma_{x,c} = 1/\kappa$, предложенного И. Г. Бубновым для оценки степени участия пластин в восприятии сжимающей нагрузки после потери устойчивости. Из рисунка видно, что редуцированный коэффициент φ стремится к редуцированному коэффициенту φ^* при возрастании отношения $\gamma = b/a$, т. е. редуцированный коэффициент φ^* дает правильные результаты лишь для очень широких судовых пластин при поперечной системе набора.

С помощью графиков рис. 21.27 и средней формулы (21.197) можно определить приведенную ширину пластин $b_{пр}$, которая напряжена так же, как и жесткая связь, и воспринимает ту же суммарную нагрузку, что и потерявшая устойчивость пластина. Это позволяет вместо реальной пластины шириной b вводить в расчет некоторую эквивалентную ей пластину шириной $b_{пр}$. На основе формулы (21.209) и графиков рис. 21.27 разработаны практические рекомендации для вычисления φ и $b_{пр}$. На части

ширины пластины, непосредственно примыкающей к жестким связям, напряжения можно считать равными $\sigma_{x,c}$, а в средней части — равными эквивалентным напряжениям σ_x (см. рис. 21.26).

Для пластин, сжатой вдоль длинной стороны ($b < a$), к жестким связям могут быть отнесены части пластин шириной 0,22b, примыкающие к продольным кромкам (рис. 21.28, а), а для пластины, сжатой вдоль короткой стороны ($b > a$), жесткими связями можно считать полоски шириной 0,22a, примыкающие к продольным кромкам (рис. 21.28, б).

Указанный выше результат был получен П. Ф. Папкоичем в результате обработки числовых данных П. А. Соколова методом

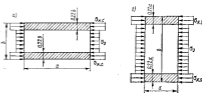


Рис. 21.28

наименьших квадратов. На основании рекомендаций П. Ф. Папкоича о распределении сжимающих напряжений по ширине пластины на условий статической эквивалентности усечен, воспринимаемых пластиной, можно записать: при сжатии по направлению длинных сторон $\sigma_x b = 0,44b\sigma_{x,c} + 0,56b\sigma_x$, при сжатии по направлению коротких сторон $\sigma_x b = 0,44a\sigma_{x,c} + (b - 0,44a)\sigma_x$. Разделив обе части этих равенств на $b\sigma_{x,c}$ и учитывая формулу (21.197), для случая сжатия пластины по направлению длинных и коротких сторон соответственно получим

$$\varphi = 0,44 + 0,56\varphi^*; \quad (21.210)$$

$$\varphi = \frac{0,44}{\gamma} + \left(1 - \frac{0,44}{\gamma}\right)\varphi^*. \quad (21.211)$$

При практических расчетах вместо формул (21.210), (21.211) часто используют соответственно формулы

$$\varphi = 0,5(1 + \varphi^*); \quad (21.212)$$

$$\varphi = 0,5(1 - \varphi^*)/\gamma + \varphi^*, \quad (21.213)$$

которые предполагают размеры участков пластины, отнесенных к жестким связям, равными 0,25 размера короткой стороны (вместо 0,22, рекомендованных П. Ф. Папкоичем).

С погрешностью в безопасную сторону можно определить значение q по приближенной формуле

$$q = 1/\sqrt{n} = \sqrt{\sigma_{\text{д}} \sigma_{\text{м}}}, \quad (21.214)$$

Приведенные выше формулы для редуцированных коэффициентов дают близкие результаты и могут быть использованы при практических расчетах.

Таким образом, расчет сжатого судового перекрытия с пластинами, обеспечившими устойчивость, сводится к определению редуцированных коэффициентов q , приведенной ширины пластины по формуле (21.197) и впадения в рабочую площадь сжатого перекрытия пластин приведенной ширины $b_{\text{пр}}$ вместо реальной. Естественно, что до потери устойчивости пластинками их площадь должна засчитываться полностью ($q = 1$).

На редуцированные коэффициенты пластины оказывают влияние и начальные прогибы, но чем мы остаемся в следующем параграфе.

§ 21.16. Сложный изгиб пластин по цилиндрической поверхности. Определение цепных напряжений и редуцированных коэффициентов

Многие судовые прямоугольные пластины, например пластины паружной обшивки днища и валубы при поперечной системе набора, листы обшивки вербеков, имеют большое отношение сторон, одинаковые граничные условия вдоль длинных кромок и оказываются под действием



Рис. 21.29

нагрузки, которая в направлении длинных сторон не изменяется. В указанных условиях пластины с отношением сторон 2,5 и более на средней по длине участке изгибаются по цилиндрической поверхности, что уже было обнаружено ранее для свободно опертой пластины (см. § 21.4).

Рассмотрим пластину с отношением сторон $\gamma \geq 2,5$, на которую действуют поперечная нагрузка $p(x, y) = p(x)$ и нормальные усилия T_1 , равномерно распределенные по длинной кромке (рис. 21.29). Если условия закрепления вдоль длинной кромки не меняются, то в средней части прогиб

пластины $w(x, y)$ будет зависеть только от координаты x . Подставив во второй уравнение Кармана (21.24) $w = w(x)$ и учитывая, что производные от прогиба по y равны нулю, а также исключив функцию напряжений с помощью выражений (21.23), получаем

$$Dw^{\text{IV}} - T_1 w'' = p(x), \quad (21.215)$$

где верхние индексы у прогиба w означают дифференцирование по x .

Основные зависимости (21.17), (21.18) и (21.20) при $T_2 = S = 0$, $\omega = w(x)$ принимают вид

$$T_1 = Ew_{xx}; \quad M_1 = -Dw''; \quad M_2 = \mu M_1; \quad N_1 = -Dw'''; \quad N_2 = 0, \quad (21.216)$$

а формулы (21.21) для неравных нулю напряжений — вид

$$\sigma_x = \sigma_{xx} + \frac{12M_1 x}{b^3}; \quad \sigma_y = -\frac{12\mu M_1 x}{b^3}; \quad \sigma_{xy} = \frac{T_1}{t}, \quad (21.217)$$

где σ_{xx} — так называемые цепные напряжения в сечениях пластины $x = \text{const}$.

Дифференциальное уравнение (21.215), определяющее прогиб пластины w , является уравнением сложного изгиба балки-полоски сдвинутой шарниры с изгибной жесткостью D под действием поперечной нагрузки $p(x)$ и растягивающих усилий T_1 . Поэтому расчет пластины при цилиндрическом изгибе сводится к расчету балки-полоски, что позволяет использовать полученные в гл. 19 результаты для сложного изгиба балок. При отсутствии растягивающей или сжимающей нагрузки ($T_1 = 0$) расчет пластины сводится к расчету балок при поперечном изгибе.

Ниже будут рассмотрены некоторые задачи изгиба пластины по цилиндрической поверхности, представляющие практический интерес.

Оценка влияния цепных напряжений на суммарные напряжения в сечениях пластин. Рассмотрим балку-полоску свободно опертой на длинные кромок пластины, нагруженной равномерным давлением p (см. рис. 21.29). Для определения суммарных напряжений σ , воспользуемся формулой (21.217). Поскольку напряжения от изгиба имеют в крайних волокнах $x = \pm 0,5b$ разные знаки, то в одном из крайних волокон всегда будет преобладать арифметическое суммирование цепных напряжений σ_{xx} и изгибных. Полагая $x = -0,5b$ в формулах (21.217) для σ , и используя выражение (19.27) для наибольшего изгибающего момента свободно опертого стержня, в случае растягивающей силы T_1 для максимальных суммарных напряжений получаем

$$\sigma_{\text{max}} = \sigma_{xx} + 3p(a/b)^2 \varphi_0(a/b^2), \quad (21.218)$$

где для балки-полоски

$$\mu = (a/2) \sqrt{T_1/D} = (a/b) \sqrt{3(1-\mu^2)\sigma_{xx}/E}; \quad \varphi_0(u) = 2(\text{ch } u - 1)/u^2 \text{ch } u, \quad (21.219)$$

Выражая σ_{xx} из формулы (21.219) через аргумент u , зависимость (21.218) представим в виде

$$\sigma_{\text{max}} = 3p(a/b)^2 \Phi(u^2, A)/4, \quad (21.220)$$

Здесь

$$\Phi(u^2, A) = \varphi_0(u) + Au^2; \quad A = \{4E\} [9(1-\mu^2)\rho] / (a/b)^2. \quad (21.221)$$

Коэффициент перед функцией $\Phi(u^2, A)$ в формуле (21.220) определяет напряжения от изгибного изгиба балки-полоски, а сама функция учитывает влияние ценных напряжений $\sigma_{\text{ср}}$ на значения суммарных напряжений.

На рис. 21.30 построен график функции $\Phi(u^2, A)$, где ее ординаты заключены между кривой $\varphi_0(u)$ и прямой Au^2 . Из графика видно, что суммарные напряжения сначала падают из-за уменьшения изгибной составляющей, а затем растут за счет увеличения ценных напряжений.

При значении α , определенном из уравнения $2(Au^2 - 2) \operatorname{ch} \alpha + 2i \operatorname{th} \alpha + 4 = 0$, функция $\Phi(u^2, A)$ достигает мини-



Рис. 21.30

мум. В этом случае влияние ценных растягивающих напряжений $\sigma_{\text{ср}}$ наиболее благоприятно.

Пример 12. Найти влияние растягивающих ценных напряжений на суммарные напряжения в осях изгибной пластины.

Исходные данные: $h^2 = 103$ мм²; опорное давление $p = 0,1$ МПа; длина пластины $l = 100$ мм; $E = 2 \cdot 10^4$ МПа; $\alpha = 0,3$.
Решение. По формулам (21.919)–(21.921) для рассматриваемой стальной пластины найдем

$$\alpha = 3,7; \quad \varphi_0(\alpha) = 0,14; \quad A = 0,9103; \quad \Phi(u^2, A) = 0,284; \quad \sigma_{\text{ср, макс}} = 212,5 \text{ МПа.}$$

Без учета растягивающих ценных напряжений ($\sigma_{\text{ср}} = 0$, $\Phi(u^2, A) = 1$) формула (21.220) дала бы $\sigma_{\text{ср}} = 750$ МПа. Таким образом, а растягивающие напряжения суммарные напряжения с учетом их без учета влияния растягивающих ценных напряжений в три раза.

В случае жестко защемленной балки-полоски суммарные напряжения в опорном сечении аналогично выражаются (21.220) можно представить в виде

$$\sigma_{\text{ср, макс}} = (\alpha/2) (\alpha/l)^2 [3Au^2/2 + \chi(u)], \quad (21.222)$$

где функция $\chi(u)$ определяется формулой (19.36).

Вычисления по формулам (21.220) и (21.222) применительно к судовым стальным пластинам с распором показывают, что суммарные напряжения при $\alpha \ll 1$ в случае свободного опорения и при $\alpha \ll 2$ в случае жесткого защемления отличаются менее чем на 10–15% от изгибных напряжений, вычисленных без учета влияния ценных напряжений. Поэтому при характерных значениях $\sigma_{\text{ср}} = 50 \div 100$ МПа из формул (21.919) для α следует, что свободно оперные пластины при $a/l < 30$ и жестко защемленные пла-

стины при $a/l < 60$ можно отнести к категории жестких и принять за основу расчета на наибольшие напряжения.

Изгиб пластин конечной жесткости, не участвующих в общем изгибе корпуса. Особольность расчета судовых пластин, не участвующих в общем изгибе корпуса судла, является статическая неопределенность ценных усилий, возникающих в опорных сечениях пластин ввиду наличия распоров. После раскрытия статической неопределенности расчет балки-полоски может быть выполнен по справочным таблицам сложного изгиба балок.

Общую схему вычислений проиллюстрируем на примере расчета обычных шверборк, закрепленных стойками, на гидростатическое давление. При большом числе стоек расчет обычных из-за симметрии нагрузки и конструкции сводится к расчету на сложный изгиб жестко защемленной на стойках балки-полоски с распором (рис. 21.31). Для раскрытия статической неопределенности воспользуемся уравнением (19.55). Полагая, что начальная кривая изгиба отсутствует $\varphi_0 = 0$ и что для рассматриваемой балки-полоски $i = a$, $\sigma_1 = \sigma_{\text{ср}}$, а средние напряжения в конструкции $\sigma_2 = 0$, уравнение (19.55) приведем к виду

$$\sigma_{\text{ср}} = \frac{EK}{2i} \int_0^l (\omega'')^2 dx, \quad (21.223)$$

где K — коэффициент распора, а прогиб ω определяется дифференциальным уравнением (21.215), которое при $T_1 = \sigma_{\text{ср}} l$ и $p = \text{const}$ запишется так:

$$D\omega^{IV} - \sigma_{\text{ср}} \omega'' = p. \quad (21.224)$$

Решение этого уравнения для жестко защемленной балки-полоски может быть получено из выражения (19.33) при замене El на D , T на $\sigma_{\text{ср}} l$ и переносе начала координат. В преобразованном таким образом выражении для прогиба балки-полоски войдет неизвестное усилие $\sigma_{\text{ср}} l$. Однако если подставить это выражение для ω в уравнение (21.223), то получится весьма сложное уравнение для определения $\sigma_{\text{ср}}$.

Чтобы упростить решение уравнения (21.223), проинтегрируем уравнение (21.224) приближенно по методу Бубнова — Галеркина, задав прогиб балки-полоски в виде

$$\omega = A(1 - \cos 2\pi x/a), \quad (21.225)$$

и тем самым удовлетворим граничные условия жесткого защемления $\omega = \omega' = 0$ при $x = 0; a$.

Подставляя значение прогиба (21.225) в уравнение (21.224) и умножив его на фундаментальную функцию $(1 - \cos 2\pi x/a)$, после



Рис. 21.31

интегрирования обеих частей уравнения по всей длине балки-полоски находим

$$A = \rho a^4 / [2a^4 D (4 + \alpha)]; \quad \alpha = \sigma_{\text{сж}} / a^2 (\pi^2 D). \quad (21.226)$$

Подставим теперь выражения (21.225) и (21.226) в уравнение (21.223), нетрудно получить

$$\alpha(1 + \alpha/4)^2 = 3(1 - \mu^2)K(\omega_2 D)^2, \quad (21.227)$$

где $\omega_2 = \rho a^4 / (4\pi^2 D)$ является значением прогиба (21.225) при $x = 0,5a$ и $\alpha = 0$, т. е. от поперечной равномерной нагрузки p .

Решая кубическое уравнение (21.227), из второй формулы (21.225) находят $\sigma_{\text{сж}}$, после чего значения изгиба балки-полоски вычисляют по формулам (19.35). Аргумент α определяется по формуле (21.219), которая с учетом выражения (21.226) дает $\mu = 0,5a/\sqrt{K}$.

Наибольшие суммарные напряжения будут в опорных сечениях балки-полоски, т. е. на линиях стоек. На основании формул (19.35) и (21.217) найдем

$$\sigma_{\text{сжз}} = \sigma_{\text{сж}} + 6M_0/l^2 = \sigma_{\text{сж}} + (p/2)(a/l)^2 \chi(a). \quad (21.228)$$

Если балку-полоску считать свободно опирной на стойках переборки, то для определения α можно использовать уравнение (19.59), положив в нем $\alpha_0 = \alpha = 0$, $\alpha_2 = \beta_1 = 0$, $EI = D$, $F_1 = l$ и преобразовав его к виду

$$\alpha(1 + \alpha^2) = 3(1 - \mu^2)K(\omega_2 D)^2, \quad (21.229)$$

где $\omega_2 = 4\rho a^4 / (\pi^2 D)$ является наибольшим прогибом балки-полоски от поперечной нагрузки.

После определения α из уравнения (21.229) и $\sigma_{\text{сж}}$ из формулы (21.226) наибольшие суммарные напряжения посередине пролета свободно опирной балки-полоски вычисляют по формуле (21.218).

Исследования показывают, что влияние коэффициента распора K на суммарные напряжения (21.228) и (21.218) относительно мало; значения $\mu = 0,5a/\sqrt{K}$ оказываются приблизительно пропорциональными \sqrt{K} , следовательно, увеличив и меняются в узких пределах для реальных значений K . С ростом коэффициента распора K абсолютные напряжения $\sigma_{\text{сж}}$ возрастают, а избыточные напряжения убывают, так что суммарные напряжения (21.218) и (21.228) изменяются незначительно. Поскольку на практике установить значение K обычно установить затруднительно, учитывая малое влияние этого коэффициента на суммарные напряжения, при расчетах обшивки переборок приближенно считают $K = 0,5$.

И. Г. Бубновым и Ю. А. Шиманским составлены сравнительные таблицы [50, 51] для определения средних и суммарных напряжений в случае свободного опирания и жесткого защемления обшивки на стойках переборки при значениях $K = 0,5 \div 1$ и $\mu = 0,3$.

Необходимость расчета обшивки при свободном опирании на стойки возникает тогда, когда в опорных сечениях балок-полосок

возникают значительные пластические деформации, что обычно наблюдается у относительно тонких пластин (при больших отношениях a/l). Поэтому, если суммарные напряжения (21.228) в опорных сечениях превышают предел текучести материала обшивки, то суммарные напряжения в середине пролета вычисляют по предложению Ю. А. Шиманского (1916 г.) как среднюю величину для случая жесткого защемления и свободного опирания балки-полоски. Допустимость такого расчета объясняется тем, что для областей конечной жесткости суммарные напряжения в пролете при прочих равных условиях мало зависят от условий закрепления балки-полоски (в случае жесткого защемления балка-полоска испытывает напряжения меньше, а изгибные напряжения больше, чем соответствующие напряжения при свободном опирании).

Участие пластины, несущих поперечную нагрузку и имеющих начальную погобь, в общем изгибе корпуса судна. Способность пластин воспринимать сжимающие или растягивающие усилия в основном зависит от начальной погоби и поперечной нагрузки, действующей на пластину. Это объясняется тем, что начальная погобь и поперечная нагрузка вызывают сложный изгиб пластины, происходящий при наличии распора. Вследствие этого изменяется значение средних условий или, что равносильно, значение воспринимаемых пластинами напряжений в случае общего изгиба корпуса. Учет этого изменения особенно важен для судов с тонкой обшивкой при поперечной системе набора, когда обшивка является основным несущим элементом судовой корузы.

Рассмотрим участок обшивки, подкрепленной ребрами жесткости при поперечной системе набора со шириной a , на который действуют растягивающие усилия (рис. 21.32).

В случае действия поперечной нагрузки пластину с начальной погобью будут испытывать сложный изгиб. Так как их кромки не могут искривиться, средняя часть пластины и их участки в районе продольных ребер по-разному воспринимут растягивающие усилия. Как было показано в § 21.10, участки пластины, принимающие к продольным ребрам, шириной 0,22 размера широты стороны будут работать так же, как и продольные ребра жесткости. Поэтому участки пластины шириной 0,44а и продольные ребра как жесткие связи воспринимут напряжения $\sigma_{\text{сж.с}}$ в средней части пластины — напряжения $\sigma_{\text{сж}}$. Строго говоря, если у пластины имеется начальная погобь, то оставить участки шириной 0,44а и жесткими связями можно лишь условно, учитывая жесткость этих участков при поперечной системе набора.

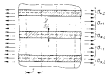


Рис. 21.32

Поскольку жесткие связи являются для пластин распором, возникающие в распорах и пластичных напряжения $\sigma_{x,c}$ и $\sigma_{x,t}$ оказываются взаимно зависимыми. Найдем эту зависимость.

Ввиду того что при поперечной системе набора пластины, несущие поперечные нагрузки и имеющие начальную погибь, будут изгибаться по цилиндрической поверхности, зависимость между $\sigma_{x,t}$ и $\sigma_{x,c}$ пластин, так же как и стержней, будет выражаться формулой (19.53). Полагая в ней $\sigma_1 = \sigma_{x,t}$, $\sigma_2 = \sigma_{x,c}$, $l = a$, получим

$$\sigma_{x,t} = \sigma_{x,c} + \frac{E}{2a} \int_0^a [(\omega_0' + \omega')^2 - (\omega_0'')^2] dx, \quad (21.230)$$

где ω_0 — начальная погибь, а ω — упругий прогиб балки-полоски.

В рассматриваемом случае на основании (19.4) при $EI = D$, $T = \sigma_{x,t}l$, $q = p$, прогиб балки-полоски ω определяется уравнением

$$D\omega^{IV} - \sigma_{x,t}\omega'' = p + \sigma_{x,c}\omega'', \quad (21.231)$$

Если начальная погибь $\omega_0(x)$ и интенсивность поперечной нагрузки p заданы, то после решения дифференциального уравнения (21.231) при данных граничных условиях и подстановке их в формулу (21.230) получим зависимость между $\sigma_{x,t}$ и $\sigma_{x,c}$. Из этой зависимости при заданных напряжениях $\sigma_{x,c}$ можно найти напряжения $\sigma_{x,t}$.

В случае свободного опирания пластин к поперечные ребра при наличии синусоидальной погиби и равномерной поперечной нагрузки зависимость (21.230) после исключения из нее прогиба ω приводит к ранее полученному уравнению (19.58). Полагая в этом уравнении $\sigma_1 = \sigma_{x,t}$, $\sigma_2 = \sigma_{x,c}$, $F_1 = l$, $EI = D$, $q = p$, $l = a$, применительно к рассматриваемому случаю получим

$$\alpha(1 + \alpha)^2 = (\pi - \beta_1)(1 + \alpha)^2 + \beta_2, \quad (21.232)$$

где

$$\alpha = \sigma_{x,t}/\sigma_{x,c}; \quad \pi = \sigma_{x,c}/\sigma_{x,c}; \quad \sigma_x = \pi^2 D / (a^2 \sigma_{x,c}^2); \quad \beta_1 = E\omega_0^2 / 4D; \\ \beta_2 = [E l / (4D)] [\omega_0 + 4pa^2 / (\pi^2 D)]^2 \quad (21.233)$$

(ω_0 — наибольшая стрелка синусоидальной погиби).

Уравнение (21.232) через безразмерные параметры α и π устанавливает зависимость между напряжениями $\sigma_{x,t}$ и $\sigma_{x,c}$. В общем случае $\sigma_{x,t} \neq \sigma_{x,c}$ и, следовательно, пластины и жесткие связи по-разному участвуют в общем изгибе корпуса.

Степень участия пластин в общем изгибе характеризуется редуцированным коэффициентом φ , представляющим собой отношение

$$\varphi = \sigma_{x,t} / \sigma_{x,c} = \alpha / \pi. \quad (21.234)$$

Редуцированный коэффициент позволяет найти приведенную площадь пластин F_{pl} , выбранную так, чтобы действующие в ней напряжения были равны напряжениям в жестких связях, а воспри-

нимаемое ею суммарное усилие равнолось суммарному усилию пластин. По определению α с учетом формулы (21.234) имеем

$$F_{pl} \sigma_{x,c} = F_{st} \sigma_{x,t}; \quad F_{pl} = \varphi F_{st}, \quad (21.235)$$

где F_{st} — площадь пластин, воспринимающих напряжения $\sigma_{x,t}$.

Последняя формула удобна тем, что позволяет перевести пластину в категорию жестких связей и рассматривать реальную «неоднородную» конструкцию как однородную, состоящую только из жестких связей. Однако при практических расчетах дело осложняется тем, что напряжения $\sigma_{x,t}$ и $\sigma_{x,c}$ нельзя определять независимо одно от другого, и расчет приходится выполнять методом последовательных приближений.

Обычно схема вычисления следующая.

1. Считают, что в первом приближении все пластины полностью участвуют в общем изгибе, и вычисляют напряжения $\sigma_{x,c}^{(1)}$ первого приближения.

2. Определяют значение эйлеровых напряжений σ_e и параметр $\pi^{(1)}$ по формулам (21.233), а затем из уравнения (21.232) находят $\alpha^{(1)}$.

3. По формулам (21.234) и (21.235) вычисляют $\varphi^{(1)}$ и $F_{pl}^{(1)}$ в первом приближении.

4. Вместо реальных площадей пластин вводят в расчет приведенные площади $F_{pl}^{(1)}$, затем уточняют значения момента инерции, координаты нейтральной оси поперечного сечения корпуса судна и по этим данным определяют напряжения $\sigma_{x,c}^{(2)}$ во втором приближении.

Указанный процесс последовательных приближений заканчивают при практическом совпадении результатов двух соседних приближений.

Для упрощения вычислений по уравнению (21.232) удобно построить график зависимости $\alpha = \pi(\alpha)$, используя который в каждом приближении по заданному значению π легко найти соответствующее значение α .

Оценим теперь влияние начальной погиби пластины на значение коэффициента φ , определяющего степень участия пластин в общем изгибе корпуса. Для этого предположим, что поперечная нагрузка отсутствует ($p = 0$). Тогда с учетом (21.233) уравнение (21.232), разделив его относительно π , можно записать так:

$$\alpha = \alpha + 3(1 - \mu^2) (\omega_0/a)^2 [1 - 1/(1 + \alpha)^2]. \quad (21.236)$$

Из формулы (21.236) следует, что при $\alpha > 0$ параметр $\pi > \alpha$. Если $\alpha < 0$, то $\pi < 0$ и $|\pi| > |\alpha|$. Поэтому всегда $\varphi < 1$. Так как положительными значениями π и α соответствуют растягивающие напряжения $\sigma_{x,c}$ и $\sigma_{x,t}$, а отрицательными π и α — сжимающие, начальная погибь снижает степень участия пластин в общем изгибе и всегда является отрицательным фактором.

Необходимо отметить, что пластина не может воспринять сжимающих нормальных напряжений σ_{xx} , больших чем значение σ_c . Поэтому $\alpha \geq -1$, так как уже при $\sigma_{xx} = -\sigma_c$, $\alpha = -1$ пластина теряет устойчивость. В этом случае reduцированный коэффициент будет равен $\varphi = \sigma_c / \sigma_{xx} = 1/m$. Он убывает с ростом напряжений в жестких связях и не зависит от начальной погиба.

Имеющиеся теоретические решения и опыт эксплуатации судов показывают, что сделанные выше выводы о вредном влиянии начальных погيبов sinusoidalной формы практически остаются справедливыми для погيبов любой формы. Поэтому необходимо направлять искусственные стрелки начальных погيبов пластин и добавлять их уменьшения.

Влияние поперечной нагрузки p на reduцированные коэффициенты пластин можно учесть по формуле (21.232) при отсутствии начальной погиба, положив $\alpha_0 = 0$. Тогда

$$m = \alpha - [3(1 - \mu^2)(1 + \alpha^2)(\omega_2/r)^2 - \omega_2 = 4\mu\alpha^2(\mu^2 D). \quad (21.237)$$

Как видно из формул (21.237) и (21.234), влияние поперечной нагрузки на reduцированный коэффициент может быть различным. Например, при растягивающих напряжениях в жестких связях ($m > 0$) оказывается $\alpha > m$ и $\varphi > 1$. Это означает, что $\sigma_{xx} > \sigma_{xx,0}$ и что пластина помимо напряжений от общего изгиба воспринимает дополнительные большие растягивающие усилия при расворе ее жесткими связями. Если же в жестких связях и пластинах напряжения оказываются сжимающими ($m < 0$, $\alpha < 0$), то $|m| > |\alpha|$ и $\varphi < 1$.

Так как при наличии начальных погيبов всегда $\varphi < 1$, а при действии поперечной нагрузки $\varphi > 1$ или $\varphi < 1$ в зависимости от знака напряжений в жестких связях, поперечная нагрузка увеличивает reduцированные коэффициенты пластин с начальной погибом при растягивающих напряжениях в жестких связях и уменьшает их в случае сжимающих напряжений.

Для пластин днища морских транспортных судов отношение ω_2/r в формуле (21.237) мало, и поэтому влиянием поперечной нагрузки на reduцированные коэффициенты можно пренебречь. Однако этого нельзя делать применительно к речным и озерам судам с тонкой обшивкой, у которых указанное отношение ω_2/r оказывается значительным.

Влияние поперечной нагрузки на reduцированные коэффициенты обшивки морских транспортных судов мало, поэтому влияние начальной погиба на reduцированные коэффициенты пластин можно учитывать по формулам (21.234) и (21.236). Указанные зависимости остаются справедливыми и для неразрезной пластин с reduцирующей sinusoidalной начальной погибом в пределах каждой шпангоута. Расчет такой неразрезной пластин при отсутствии поперечной нагрузки сводится к расчету одного пролета балки-полки.

5 21.12. Общая схема расчета судовых тонкостенных конструкций

Корпус судна представляет собой сложную пространственную тонкостенную конструкцию. Наружная обшивка, создающая водонепроницаемый объем судна, является тонкой оболочкой, имеющей значительные по размерам плоские изгибы, бортовые и днищевые участки. Поскольку такая оболочка плохо сопротивляется поперечным к ее поверхности нагрузкам, во избежание чрезмерного увеличения толщины и веса внутри этой оболочки, устанавливаются переборки и подкрепляющий набор, стески которого являются пластинами, перпендикулярными к наружной обшивке. К таким пластинам относятся стенки шпангоутов, стрингеров, вертикального киль, флоров, кэрингов, бимсов, ребер жесткости. Для увеличения жесткости и прочности набора при его минимальной высоте по свободной стороне стенок устанавливаются полски. Аналогичным образом подкрепляют набором полки переборки (см. рис. 13.1, 13.2).

При указанной конструкции корпуса все обшивку и пластины набора разбивают на прямоугольные или близкие к ним по форме практически плоские поля (пластины). Каждое такое поле опирается по краям на перпендикулярные ему пластины, которые создают весьма жесткий контур, поддерживающий это поле при действии на него поперечной нагрузки. Например, для пластины днища жесткий контур создают флоры, стрингеры, вертикальный киль, ребра жесткости, а для пластины шалубы — бимсы, кэрингсы и ребра жесткости.

Таким образом, можно считать, что корпус судна — совокупность взаимосвязанных прямоугольных пластин, подкрепленных ребрами жесткости, которые, как правило, создают для пластин жесткий осяевой контур.

Каждая пластина может испытывать два вида деформаций — плоское напряженное состояние и поперечный изгиб. Например, стенка стрингера, являющаяся стенкой застерны, при действии дна испытывает плоское напряженное состояние, а при действии давления жидкости в цистерне — поперечный изгиб. Днищевая обшивка испытывает поперечный изгиб вследствие давления воды и плоское напряженное состояние вследствие растяжения-сжатия дна при общем изгибе корпуса судна.

Точное решение задачи о напряженно-деформированном состоянии пластин можно получить на основании дифференциальных уравнений технической теории изгиба тонких пластин. При этом придется составлять граничные условия для каждого поля с учетом взаимодействия со смежными полями и подкрепляющими пластинами. Следовательно, точный расчет корпуса при действии любой нагрузки может быть сведен к расчету системы из множества связанных пластин, испытывающих плоское напряженное состояние и изгиб. Нетрудно представить себе всю сложность такого подхода к решению задачи о напряженном состоянии корпуса. Даже

Если применяются современные математические методы и вычислительные средства, они практически трудно осуществимы, тем более, что расчет приходится производить для множества вариантов нагрузок. Поэтому возникает необходимость в упрощении расчетов при сохранении практически необходимой точности. Возможности упрощения расчета вытекают из следующего соображения.

1. Как правило, многие пластины относятся к категории жестких, у которых нет взаимного влияния плоского напряженного состояния и изгиба, и, следовательно, их расчет может выполняться при независимом действии нагрузок, возникающих одна из другой над деформацией. Это позволяет применять метод наложения, т. е. рассчитывать пластины или составленные из них конструкции из ряд нагрузок, а результаты затем суммировать.

2. При определенных видах деформации можно совокупности некоторых пластин рассматривать как балки и применять к их расчету теоретическую теорию изгиба балок, не прибегая к более сложным решениям плоской задачи теории упругости. Например, стенку днищевого стрингера совместно с примыкающими к ней участками днищевой обшивки и второго дала представляют как балку, упруго-деформированное состояние которой при ее изгибе определяют на основании известной плоских сечений. Если же жесткость указанной балки слишком широкая, то необходимо ввести в расчет присоединенные жесткости в соответствии с полученными ранее результатами. Аналогично к расчету балок можно свести расчет флоры, карлингсов, ребер жесткости, шпангоутов и т. п.

3. Анализ условий работы конструкций корпуса при действии нагрузок определенного вида позволяет зачастую установить без расчета характер силового взаимодействия между элементами (балками и пластинами) и составить для них независимые граничные условия. Это дает возможность производить расчет систем элементов или даже отдельных элементов вне связи с другими. При установлении граничных условий используют полную или приближительную симметрию нагрузки и конструкции, учитывают единичность жесткостей разных элементов, затухание влияния деформации данного элемента на расположенные вдали от него элементы, принцип Сен-Венана и другие особенности.

Основываясь на указанных соображениях подход к расчетам прочности позволяет с допустимой для практики точностью сводить строгий расчет корпуса судна как системы, состоящей из взаимосвязанных элементов и имеющей большую степень статической неопределенности, к расчету пластин, балок и типичных стержневых конструкций. После того как будут выполнены расчеты по упрощенным схемам всех элементов и на все виды одновременно действующих нагрузок, окончательно определяют напряженное состояние суммированным результатом.

В свете вышесказанного рассмотрим общую схему расчета корпуса судна при плавании на тихой воде, когда на него действуют две системы сил: статическое давление воды на наружную обшивку и силы тяжести.

Давление воды вызывает изгиб каждой прямоугольной пластины наружной обшивки, опирающейся на стенки набора. Стенки набора воспринимают нагрузку со стороны пластин и соответствующими силами тяжести, в результате чего возникает изгиб ребер жесткости и перекрытий. Набор днищевых перекрытий передает всю приходящуюся на перекрытия нагрузку в виде реакций на продольные и поперечные переборки и борты, на которых и уравновешиваются силы тяжести и силы поддержания воды. Это приводит к общему изгибу корпуса судна.

При расчете общего изгиба часто корпус судна можно считать балкой, стенками которой являются борты и продольные переборки, а топками — продольные связи днища, шалуб и платформы. Расчет подобной балки по техническим теории же представляется затруднительным. При общем изгибе обшивка днища, бортов, шалубы, шалубы, полотно продольных переборок будут испытывать поперечное напряженное состояние, а такие связи, как ребра жесткости, — простое растяжение-сжатие.

В качестве примера расчета изгиба перекрытий рассмотрим днищевые перекрытия, имея в виду, что для шалубных и бортовых перекрытий предлагаемый ниже подход также справедлив.

При расчете изгиба днищевых перекрытий их опорный контур, образованный бортами, продольными и поперечными переборками, можно считать несмещаемым в силу большой жесткости указанных конструкций в своей плоскости. Нестормыми искривлением кромок борта и продольных переборок за счет общего изгиба корпуса допустимо пренебречь вследствие малости этого искривления между поперечными переборками по сравнению с собственными прогибами перекрытия. Можно установить в условии заделки основных балок днищевого набора на опорном контуре. Например, флоры во многих случаях допустимо считать свободно опертыми на борты ввиду относительной малости изгибной жесткости шпангоутов, а стрингеры и киль — жестко заделанными на поперечных переборках вследствие приближительной симметрии конструкции и нагрузок. Это позволяет выполнять расчет днищевого перекрытия, не рассматривая совместно систему днищевых, бортовых и шалубных перекрытий и не связывая этот расчет с общим изгибом корпуса. После расчета перекрытий на изгиб будут определены напряжения и деформации балок перекрытий (в этом случае во всех элементах — стенках и поперечных балках — возникает плоское напряженное состояние).

При расчете изгиба ребер жесткости и соответствующими присоединенными поперечными их можно рассматривать как многоопорные балки, опоры для которых являются флоры и поперечные переборки. Флоры в результате изгиба перекрытия смещаются, но для ребер жесткости их можно считать жесткими опорными, так как указанные смещения из-за относительной малости вызывают пренебрежимо малый дополнительный изгиб ребер. В большинстве случаев принимают жесткую заделку пролетов в опорных сечениях в силу точной или приближительной симметрии пролетов и на-

грузки относительно любой оси. Это позволяет рассчитывать каждый пролет ребра жесткости как отдельную балку.

Наконец, при расчете пластин на изгиб можно считать, что каждое поле опирается на жесткий контур и жестко заделано во углах. Первое допущение вытекает из того, что прогибы поперечного набора во своей относительно малости могут вызывать лишь незначительные дополнительные напряжения в пластинках, а второе является следствием точной или приближенной симметрии полей и нагрузок относительно любой продольной оси (это наблюдается в среднем районе перекрытия при большом числе полей).

Таким образом, в рассматриваемом случае, по существу, единая задача о напряженном состоянии днищевой перекрытия сделана к ряду более простых независимых задач — расчету пластины на изгиб, расчету ребер жесткости, расчету ячеек перекрытия как стержневой системы основных балок — флоров, стрингеров и килей, расчету напряжений от общего изгиба корпуса судна. Для определения суммарного напряженного состояния в отдельных точках или элементах перекрытия необходимо алгебраически сложить соответствующие компоненты напряжений. Например, определяя суммарное напряженное состояние пластины днищевой обшивки, следует учитывать, что такая пластина входит в состав пояска корпуса судна при его общем изгибе, а состав пояска стрингеров и флоров как основных балок днищевых перекрытий, является пояском ребра жесткости и, кроме того, работает на изгиб под действием собственной поперечной нагрузки. При расчете ребра жесткости нужно иметь в виду, что оно работает в составе пояска корпуса и стрингеров, а также испытывает собственный изгиб между флорами.

В результате сложения напряженных состояний всех одновременно возникающих видов деформации выявляются характерные опасные точки, по которым и проверяют условия прочности. Как правило, эти точки располагаются в опорных сечениях и на середине пролетов элементов.

Расчетные схемы судовых конструкций существенно усложняются, когда два основных вида деформаций пластин — плоское напряженное состояние и изгиб — оказывают существенное взаимное влияние или когда происходит потеря устойчивости отдельных связей. В этом случае задача нахождения, а именно нахождения не применима, т. е. полное напряженное состояние нельзя найти алгебраическим сложением простых независимых напряженных состояний. Расчетная схема строится за основе метода последовательных приближений. В первом приближении все связи считают жесткими и определяют главные напряжения (при общем изгибе корпуса, при изгибе перекрытия и ребер жесткости). Затем находят элементы изгиба пластины с учетом влияния плоского напряженного состояния и вычисляют редуцированные коэффициенты. Во втором приближении сначала вычисляют главные напряжения с учетом уточненного в первом приближении участия пластин в работе конструкции, затем снова определяют элементы изгиба пластин и т. д. При-

мером такого расчета служит схема определения напряжений при общем изгибе корпуса, когда жесткие пластины терпят устойчивость или имеют начальную погреш.

Описанная выше упрощенная схема построения расчета корпуса судна, восходящая еще к И. Г. Бузинову (1912 г.), является типичной для судов традиционных типов. Поэтому методы расчета изгиба и устойчивости балок, рам, перекрытий и пластин, взаимодействующие, представляют большой практический интерес.

Особенно эффективно применение схемы поэтапного расчета и задачам проектирования корпуса судна, когда по заданным внешним нагрузкам и нормам прочности необходимо определить размеры связей. Это позволяет при заданной технологии конструкций корпуса относительно просто определить толщину обшивки, расстояние между балками судового набора, размеры их поперечных сечений. Полученный вариант конструкции можно принять в качестве базового, что в последующем с учетом конструктивных и технологических требований, с использованием более строгих расчетных схем (методов) существенно облегчает отыскание наиболее приемлемого (оптимального) варианта конструкции в рамках системного подхода. При этом для судов традиционных типов базовой и оптимальной варианты оказываются довольно близкими. Если учесть, что задача оптимизации корпуса судна по многоцелевому критерию или критерию металлоемкости является, вообще говоря, многофакторной, то наличие базового варианта, близкого к оптимальному, существенно упрощает отыскание оптимума при решении этой сложной задачи.

Интересные вопросы

1. Каков уprung тего назидается пластиней?
2. На каких гланиках основана теория изгиба пластин?
3. Какими основными уравнениями описывается напряженное состояние пластины при изгибе?
4. Объясните физический смысл уравнений Кармана.
5. Какие традиционные условия должны быть заданы на контуре пластины?
6. Как записать граничные условия для прогиба: на свободной кромке пластины; на кромке пластины, опирающейся на уprung ребра?
7. Как классифицируются пластины по роду напряженного состояния?
8. Объясните смысл редуцированных коэффициентов и дайте формулы для их вычисления.
9. Как производится расчетная работа на изгиб жестких прямоугольных пластин?
10. Какими особенностями решения задачи об изгибе ортотропной жесткой прямоугольной пластины?
11. Какой практический интерес для строительства жидких кораблей представляет теория изгиба жестких ортотропных пластин?
12. Какие условия должны быть заданы при определении методов решения задач изгиба жестких пластин: метода Бузинова — Гауссова; метода Релла; МКЭ.
13. Какие условия имеет задача об устойчивости пластины для простейшей модели корабля?
14. Как влияет жесткость подкрепляющих ребер на устойчивость пластины?
15. Какие условия основывают критерии ребор на устойчивость пластины?
16. Как влияет опускание от донца Губа на устойчивость пластины?
17. Какую роль играют следующие приближенные методы решения задачи устойчивости пластины: метода Релла; метода Гетто; МКЭ.

18. В какую сторону поворачивает валовый при опрессовке эбонитовой пружиной пластики антолит (Плал) МКС и почему?

19. Как участвует в общем деформации полимеров упругость элементов и чем объясняется эффект из Упалита?

20. Как характерная разность деформаций коэффициента пластика, термическая устойчивость?

21. Какие элементы склеивают канальную ленту на стержне участка пластика в общем валобе и на радиальных коэффициентах?

22. Как влияет поперечная нагрузка на степень усадки пластики в общем валобе для обшивки корпусов транспортных судов?

23. При каких условиях и средней части пластики происходит отрыв во деформированной поверхности?

24. Каково влияние трещин на прочность и жесткость резина на суммарные напряжения пластики при деформировании валобе?

25. Как практически определять задрозины в обшивке корпусных переборок при гидростатическом давлении воды?

Глава 22. ИЗГИБ И УСТОЙЧИВОСТЬ ТОНКИХ КРУГОВЫХ ЦИЛИНДРИЧЕСКИХ ОБОЛОЧЕК

§ 22.1. Основные понятия и допущения

Оболочкой называется тело, ограниченное двумя криволинейными поверхностями, расстояние между которыми мало по сравнению с прочими размерами тела. Поверхность, расположенная на равном расстоянии от этих двух наружных криволинейных поверхностей, является *средней поверхностью оболочки* (поверхность ABCD на рис. 22.1, а). По форме средней

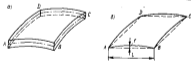


Рис. 22.1

поверхности различают сферические, цилиндрические, конические, торообразные и другие оболочки.

Если оболочка не имеет иных границ, кроме двух вышесказанных, ее называют *замкнутой*. Оболочка державшей, наружная обшивка прочного корпуса подводных аппаратов является примером замкнутой оболочки. Если же оболочка имеет еще и граничный контур, то она является *незамкнутой* (см. рис. 22.1, а). Примерами незамкнутых оболочек могут служить изогнутые крышки различных павильонов и зданий, криволинейные участки наружной обшивки корпуса судна и т. д.

Толщина оболочки в данной точке средней поверхности — расстояние между внешними поверхностями, измеренное по нормали к средней поверхности. Толщина оболочки может быть постоянной или переменной. Различают *толстые* и *тонкие оболочки*.

Оболочка называется *тонкой*, если отношение ее толщины к минимальному радиусу кривизны средней поверхности t/R можно пренебречь по сравнению с единицей. В технических расчетах, как правило, допускается погрешность порядка 5%. Отсюда получаем допустимое отношение t/R , характерное для тонких оболочек:

$$\max(t/R) \leq 0,05. \quad (22.1)$$

Заметим, что условие (22.1) весьма грубо определяет границу между тонкими и толстыми оболочками. В действительности она зависит еще и от других геометрических параметров оболочки, от характера ее граничных условий, от гладкости изменения внешней нагрузки по поверхности оболочки. Разделение оболочек на тонкие и толстые — условное и связано с возможностью упрощения основных уравнений теории тонких оболочек благодаря применимости к таким оболочкам некоторых доволнительных гипотез.

Незамкнутые оболочки могут быть *плоскими* и *неплоскими*. Плоскими называют оболочки, у которых площадь средней поверхности близка к площади ее проекции на плоскость основания оболочки (рис. 22.1, б). К плоским относятся оболочки с плавной средней поверхностью, если при этом

$$f/l \leq 0,2, \text{ или } l/R_0 \leq 1,2,$$

где f — максимальная стрелка дуги в характерном сечении оболочки; l — длина хорды этой дуги; R_0 — средний радиус кривизны дуги в характерном сечении.

К замкнутым оболочкам в целом понятие плоскости не применимо. Однако отдельные участки замкнутой оболочки в ряде случаев могут рассматриваться как *плоские незамкнутые оболочки*. Признаком плоскости такого участка служит отношение наибольшего размера участка к среднему радиусу его кривизны.

Тонкие оболочки как элемент отдельных инженерных сооружений широко используют в самых различных областях техники (судостроении, самолетостроении, ракетостроении, машиностроении и т. д.) в связи с тем, что оболочки обладают большой прочностью при сравнительно малой массе.

Теория расчета тонких оболочек развита хорошо. Получены общие дифференциальные уравнения, характеризующие напряженное состояние тонких оболочек с произвольной формой средней поверхности, а также разработаны общие схемы и методы их решения. Для большинства практически важных случаев оболочек простейших геометрических форм найдено решение указанных уравнений в виде, удобном для практического использования.

Большой вклад в теорию тонких оболочек внесли советские ученые В. З. Власов, А. Л. Гольденвейзер, В. В. Новожилов, Х. М. Мухтаров, А. Н. Лураев, А. С. Вольмар и многие др.

Наче будут рассмотрены лишь тонкие круговые цилиндрические оболочки постоянной толщины, применяющиеся в корпусах подводных аппаратов и судов. При исследовании таких оболочек удобно пользоваться цилиндрической системой координат (рис. 22.2). Ось x совмещена с образующей средней поверхности оболочки в ее недеформированном состоянии, ось z направлена по радиусу кривизны оболочки к центру, а ось y — по окружности поперечного сечения средней поверхности. До деформации оболочка расположена в плоскости точки средней поверхности определяется координатой x вдоль образующей и окружной координатой y , отсчитываемой по дуге окружности средней поверхности. Положение других точек определяется, кроме того, координатой z , отсчитываемой от средней поверхности по нормали к ней. Положительные направления координат x , y , z показаны на рис. 22.2.



Рис. 22.2

Для точек средней поверхности $z = 0$, а для точек наружной и внутренней поверхностей $z = \pm 0,5t$. Радиус кривизны средней поверхности оболочки в недеформированном ее состоянии обозначим через R , а проекцию полного перемещения точек оболочки на змываемую ось координат x , y , z — через u , v , w соответственно. Радиальное перемещение w принято входить знаком оболочки.

Теория изгиба и устойчивости тонких оболочек, как и теория тонких пластин, основывается на следующих гипотезах и допущениях:

- прогиб оболочки w является постоянным по ее толщине (не зависит от координаты z) и считается в общем случае величиной одного порядка с толщиной оболочки малого прогиба;
- перемещения u и v на порядок меньше изгиба w ;
- применяется гипотеза прямых нормалей, согласно которой предполагается, что параллельные элементу оболочки, перпендикулярные к ее средней поверхности до деформации, остаются параллельными и перпендикулярными к изогнутой средней поверхности и после деформации;
- нормальные напряжения в плоскостях, параллельных средней поверхности, пренебрежимо малы по сравнению с остальными напряжениями и могут приниматься равными нулю ($\sigma_z \approx 0$);
- материал оболочки считается упругим и линейно-деформируемым по закону Гука.

Аналогичные гипотезы уже использовались при построении теории изгиба толстых пластин. Этим и объясняется близость

сходство математических зависимостей теории пластин и теории оболочек.

Задача о напряженном состоянии оболочки является статической неопределимой и для ее решения приходится прибегать к совместному рассмотрению уравнений равновесия, совместности деформаций и физических уравнений.

§ 22.2. Компоненты деформации круговой цилиндрической оболочки

Общие зависимости между деформациями и перемещениями, полученные в § 2.2 и справедливые для любого сплошного геометрически неизменяемого тела, применительно к круговой цилиндрической оболочке могут быть значительно упрощены, если использовать прежде три из указанных в § 22.1 допущения теории тонких оболочек.

Обозначим перемещения точек средней поверхности по направлению осей x , y и z соответственно через u , v и w . Эти перемещения являются функциями координат x и y , которыми определяется положение рассматриваемой точки средней поверхности оболочки. Учитывая, что согласно второму допущению $u \approx v \ll w$, из формул (2.12) могут быть получены следующие зависимости между деформациями и перемещениями точек средней поверхности круговой цилиндрической оболочки:



Рис. 22.3

$$\left. \begin{aligned} \epsilon_x &= \frac{\partial u}{\partial x} + \frac{1}{2} \left(\frac{\partial w}{\partial x} \right)^2; \\ \epsilon_y &= \frac{\partial v}{\partial y} + \frac{1}{2} \left(\frac{\partial w}{\partial y} \right)^2 - \frac{w}{R}; \\ \gamma_{xy} &= \frac{\partial v}{\partial x} + \frac{\partial u}{\partial y} + \frac{\partial w}{\partial x} \frac{\partial w}{\partial y}. \end{aligned} \right\} \quad (22.2)$$

где ϵ_x , ϵ_y , γ_{xy} — компоненты деформации средней поверхности.

Во второй формуле (22.2) добавлен член $-w/R$. Он учитывает деформацию, связанную с изменением радиуса кривизны элемента dy вследствие перемещения w . Действительно, рассмотрим элемент дуги средней поверхности оболочки dy , радиус кривизны которого равен R (рис. 22.3). Если все точки этого элемента получат перемещение w , то длина элемента уменьшится на величину $(R-w)d\theta - R d\theta = -w d\theta$, следовательно, рассматриваемый элемент получит в направлении координаты y дополнительную деформацию $\epsilon_y = -w d\theta / (R d\theta) = -w/R$.

Между компонентами деформации ϵ_x , ϵ_y и γ_{xy} можно установить определенную связь, если исключить перемещения u и v из выражений (22.2). Для этого продифференцируем ϵ_y два раза по

ρ , ν_y два раза по x и вычтем из их сумм смешанную производную ν_{xy}^2 по x и y . Получим

$$\frac{\partial^2 \epsilon_x^2}{\partial y^2} + \frac{\partial^2 \epsilon_y^2}{\partial x^2} - \frac{\partial^2 \nu_{xy}}{\partial x \partial y} = \left(\frac{\partial^2 \omega}{\partial x \partial y} \right)^2 - \frac{\partial^2 \nu_x}{\partial x^2} \frac{\partial^2 \omega}{\partial y^2} - \frac{1}{R} \frac{\partial^2 \omega}{\partial x^2}. \quad (22.3)$$

Выполнение уравнения (22.3) обеспечивает отсутствие разрыва средней поверхности в деформированном состоянии оболочки. Отсюда и название этого уравнения — уравнение неразрывности деформации средней поверхности.

Выражения (22.2) определяют деформацию средней поверхности. Переходим теперь к выводу выражений для деформаций в любой поверхности оболочки, находящейся на расстоянии z от средней поверхности. Вначале определим перемещения u и v в произвольной точке оболочки, находящейся на расстоянии x по нормали от средней поверхности. Для этого рассмотрим в сечении оболочки плоскость, перпендикулярную оси оболочки, две точки O и O_1 , лежащие на одном перпендикуляре к средней поверхности (рис. 22.4). Пусть точка O лежит на средней поверхности, а точка O_1 — на расстоянии z от нее.



Рис. 22.4

После деформации оболочки точка O получит перемещение u_0 и перейдет в положение O' , точка O_1 получит перемещение v и займет положение O_1' . Перемещение точки O по кривой координате y на величину ϵ_y вызывает поворот нормали к средней поверхности на угол ϵ_y/R . Прогиб средней поверхности вызывает дополнительный поворот нормали на угол $\frac{\partial \omega}{\partial y}$. Полный угол, на который повернется нормаль к средней поверхности, будет равен $\alpha_0 + \frac{\partial \omega}{\partial y}$.

На основании гипотезы прямых нормалей точка O' и O_1' должны располагаться на одном перпендикуляре к средней поверхности деформированной оболочки. Это позволяет вывести следующее выражение для определения перемещения точки O_1 , отстоящей от средней поверхности на расстоянии z , по направлению y :

$$v = v_0 - z \left(\frac{\partial \nu_y}{\partial x} + \frac{\partial \omega}{\partial y} \right). \quad (22.4)$$

Пренебрегая, как и при выводе основных уравнений теории оболочек, членами порядка ϵ_y/R по сравнению с единицей, выражение (22.4) можно упростить и представить в таком виде:

$$v = v_0 - z \frac{\partial \omega}{\partial y}. \quad (22.4')$$

По аналогии с формулой для v может быть получено выражение для перемещения произвольной точки оболочки в направлении координаты x . В результате получим

$$u = u_0 - z \frac{\partial \omega}{\partial x}; \quad v = v_0 - z \frac{\partial \omega}{\partial y}. \quad (22.5)$$

Для определения деформаций в произвольной точке оболочки можно воспользоваться формулами (22.2), куда вместо u_0 , v_0 и R следует подставить те же величины, но относящиеся к поверхности, отстоящей от средней поверхности на расстоянии z , т. е. u , v и $R - z$:

$$\left. \begin{aligned} \epsilon_x &= \frac{\partial u}{\partial x} + \frac{1}{2} \left(\frac{\partial \omega}{\partial x} \right)^2; \\ \epsilon_y &= \frac{\partial v}{\partial y} + \frac{1}{2} \left(\frac{\partial \omega}{\partial y} \right)^2 - \frac{v}{R - z}; \\ \nu_{xy} &= \frac{\partial u}{\partial y} + \frac{\partial v}{\partial x} + \frac{\partial \omega}{\partial x} \frac{\partial \omega}{\partial y}. \end{aligned} \right\} \quad (22.6)$$

Подставляя сюда выражение (22.5) и принимая во внимание (22.2), получаем

$$\left. \begin{aligned} \epsilon_x &= \epsilon_x^0 - z \frac{\partial^2 \omega}{\partial x^2}; \\ \epsilon_y &= \epsilon_y^0 - z \left(\frac{\partial^2 \omega}{\partial y^2} + \frac{v}{R^2} \right); \\ \nu_{xy} &= \nu_{xy}^0 - 2z \frac{\partial^2 \omega}{\partial x \partial y}. \end{aligned} \right\} \quad (22.7)$$

Члены, стоящие множителями при z , в первых двух формулах (22.7) определяют изгибные кривизмы оболочки в направлениях осей x и y соответственно, а в третьей формуле — кривизну кручения средней поверхности оболочки.

Формулы (22.7) для оболочки отличаются от соответствующих формул (21.1) для пластины наличием лишь члена v/R^2 . Естественно, что при $R = \infty$ указанные формулы совпадают.

§ 22.3. Погонные усилия и моменты. Уравнения равновесия элемента оболочки

Напряжения. В § 22.2 были установлены геометрические соотношения для оболочек, т. е. связь между компонентами деформаций и компонентами перемещений. Переходим к рассмотрению возникающих в оболочке напряжений. Будем полагать, что оболочка выполнена из ортотропного упругого материала, главные направления которого совпадают с главными осями x и y . Каждый слой оболочки, параллельный средней поверхности, находится в плоском напряженном состоянии. Следовательно, для

определения компонентов напряжений по заданным компонентам деформации можно воспользоваться формулами (21.85):

$$\begin{aligned} \sigma_x &= \frac{E_x}{1 - \mu_{xy}\mu_{yx}} (\epsilon_x + \mu_{xy}\epsilon_y); \\ \sigma_y &= \frac{E_y}{1 - \mu_{xy}\mu_{yx}} (\epsilon_y + \mu_{yx}\epsilon_x); \quad \tau_{xy} = G_{xy}\gamma_{xy}. \end{aligned} \quad (22.6)$$

Внося вместо компонентов деформации их выражения (22.7), можно получить следующие окончательные формулы для опреде-

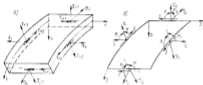


Рис. 22.5

ления компонентов напряжений в произвольной точке оболочки по известным перемещениям средней поверхности u_0, v_0, w_0 :

$$\left. \begin{aligned} \sigma_x &= \sigma_x^0 - \frac{E_x z}{1 - \mu_{xy}\mu_{yx}} \left[\frac{\partial^2 u_0}{\partial x^2} + \mu_{xy} \left(\frac{\partial^2 w_0}{\partial y^2} + \frac{w_0}{R^2} \right) \right]; \\ \sigma_y &= \sigma_y^0 - \frac{E_y z}{1 - \mu_{xy}\mu_{yx}} \left[\left(\frac{\partial^2 v_0}{\partial y^2} + \frac{v_0}{R^2} \right) + \mu_{yx} \frac{\partial^2 u_0}{\partial x^2} \right]; \\ \tau_{xy} &= \tau_{xy}^0 - 2G_{xy} z^2 \frac{\partial^2 w_0}{\partial x \partial y}. \end{aligned} \right\} \quad (22.9)$$

Р20

$$\left. \begin{aligned} \sigma_x^0 &= \frac{E_x}{1 - \mu_{xy}\mu_{yx}} (\epsilon_x^0 + \mu_{xy}\epsilon_y^0); \\ \sigma_y^0 &= \frac{E_y}{1 - \mu_{xy}\mu_{yx}} (\epsilon_y^0 + \mu_{yx}\epsilon_x^0); \\ \tau_{xy}^0 &= G_{xy}\gamma_{xy}^0 \end{aligned} \right\} \quad (22.10)$$

— компоненты напряжений точек средней поверхности.

Положительные направления напряжений приняты такими же, как и в теории упругости (рис. 22.5, а).

Усилия и моменты в сечениях оболочки. Поскольку компоненты напряжений изменяются по толщине оболочки по линейному закону, представляется целесообразным, как и в теории жёстка

пластин, вместо напряжений ввести статически им эквивалентные погонные усилия и моменты (рис. 22.5, б):

$$\left. \begin{aligned} T_1 &= \int_{-0.5h}^{0.5h} \sigma_x dz; \quad T_2 = \int_{-0.5h}^{0.5h} \sigma_y dz; \quad S = \int_{-0.5h}^{0.5h} \tau_{xy} dz; \\ M_1 &= \int_{-0.5h}^{0.5h} \sigma_x z dz; \quad M_2 = \int_{-0.5h}^{0.5h} \sigma_y z dz; \quad H = \int_{-0.5h}^{0.5h} \tau_{xy} z dz; \\ N_1 &= \int_{-0.5h}^{0.5h} \tau_{xz} dz; \quad N_2 = \int_{-0.5h}^{0.5h} \tau_{yx} dz, \end{aligned} \right\} \quad (22.11)$$

где T_1, T_2, S — растягивающие (сжимающие) по направлениям x, y и сдвигающие усилия в средней поверхности; M_1, M_2 и H — изгибающие и крутящие моменты; N_1, N_2 — порезывающие силы. Положительные направления этих усилий и моментов показаны на рис. 22.5, б. В силу закона парности $\tau_{xy} = \tau_{yx}$ и поэтому сдвигающие усилия S и крутящие моменты H одинаковы на площадках, перпендикулярных осям x и y .

Уравнения равновесия бесконечно малого элемента оболочки. Замена напряжений статически эквивалентными усилиями и моментами позволяет при составлении уравнений равновесия вместо пространственного элемента, вырезанного из оболочки, рассматривать соответствующий ему элемент средней поверхности, по сторонам которого приложены эти усилия и моменты. Такая замена напряжений усилиями и моментами окончательно переводит задачу о деформированном состоянии оболочки из класса объёмных в класс двумерных задач.

Итак, рассмотрим бесконечно малый элемент размерами dx и dy , вырезанный из средней поверхности оболочки после ее деформации сечениями, перпендикулярными осям x и y (рис. 22.6). По сторонам элемента действуют усилия и моменты (ими характеризуется действие отброшенной части средней поверхности на рассматриваемый ее элемент), а по площадке $dxdy$ в радиальном направлении — внешняя распределенная нагрузка интенсивностью $p(x, y)$.

Усилия и моменты являются функциями переменных x и y и на сторонах элемента $x+dx$ и $y+dy$ получают приращения по

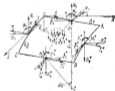


Рис. 22.6

соответствующим координатам:

$$\left. \begin{aligned} T_1^* &= T_1 + \frac{\partial T_1}{\partial x} dx; & S_1^* &= S + \frac{\partial S}{\partial x} dx; & N_1^* &= N_1 + \frac{\partial N_1}{\partial x} dx; \\ M_1^* &= M_1 + \frac{\partial M_1}{\partial x} dx; & H_1^* &= H + \frac{\partial H}{\partial x} dx; & T_2^* &= T_2 + \frac{\partial T_2}{\partial y} dy; \\ S_2^* &= S + \frac{\partial S}{\partial y} dy; & N_2^* &= N_2 + \frac{\partial N_2}{\partial y} dy; & M_2^* &= M_2 + \frac{\partial M_2}{\partial y} dy; \\ H_2^* &= H + \frac{\partial H}{\partial y} dy. \end{aligned} \right\} (22.12)$$

Стороны рассматриваемого элемента в его деформированном состоянии будут иметь определенные углы наклона по отношению к плоскости oxy , касательной в точке o к средней поверхности элемента до его деформации. Деформация элемента вызовет изменение в направлениях усилий, приложенных по сторонам элемента.

Направления усилий для деформированного элемента по отношению к осям x, y, z можно определять с помощью углов $\alpha_x, \beta_x, \alpha_y, \beta_y, \alpha_z, \beta_z, \alpha_x', \beta_x', \alpha_y', \beta_y'$, показанных на рис. 22.6. С точностью до бесконечно малых первого порядка можно считать, что для усилий приложенных к сторонам OA и OC ,

$$\left. \begin{aligned} \alpha_x &= \angle(T_1, x) = \frac{\partial v}{\partial x}; & \alpha_y &= \angle(T_2, y) = \frac{\partial w}{\partial y}; \\ \beta_x &= \angle(S_1, y) = \frac{\partial u}{\partial y} + \frac{\partial v}{\partial x}; & \beta_z &= \angle(S_2, x) = \frac{\partial w}{\partial x}. \end{aligned} \right\} (22.13)$$

Для усилий, приложенных к сторонам AB и BC , эти углы получат выражения:

$$\left. \begin{aligned} \alpha_x' &= \angle(T^*, x) = \alpha_x + \frac{\partial \alpha_x}{\partial x} dx \\ \alpha_y' &= \angle(T^*, y) = \alpha_y + \frac{\partial \alpha_y}{\partial y} dy + d\theta; \\ \beta_x' &= \angle(S_1', y) = \beta_x + \frac{\partial \beta_x}{\partial x} dx \\ \beta_z' &= \angle(S_1', x) = \beta_z + \frac{\partial \beta_z}{\partial y} dy. \end{aligned} \right\} (22.14)$$

В выражения для некоторых углов поворота вошел угол $d\theta$. Он учитывает кривизну среза $dy = const$ относительно сечения $y = 0$ вследствие кривизны элемента dy :

$$d\theta = \frac{dy}{R - w} = \frac{dy}{R} \approx \frac{dy}{R} \left(1 + \frac{w}{R}\right) = \left(\frac{1}{R} + \frac{w}{R^2}\right) dy. \quad (22.15)$$

При составлении уравнений равновесия рассматриваемого элемента срединной поверхностью считается углы (22.13) и (22.14) малыми настолько, что их косинусы можно принять равными единице, а синусы равными самим углам.

Приравняв нулю суммы проекций на направления x, y, z всех сил, действующих на рассматриваемый элемент, получаем

$$\left. \begin{aligned} (T_1^* - T_1) dy + (S_2^* - S) dx - (N_2^* \beta_z' - N_1 \beta_z) dx - \\ - (N_1^* \alpha_x' - N_1 \alpha_x) dy = 0; \\ (T_2^* - T_2) dx + (S_1^* - S) dy - (N_2^* \alpha_x' - N_1 \alpha_x) dx - \\ - (N_1^* \beta_x' - N_1 \beta_x) dy = 0; \\ (T_1^* \alpha_x' - T_1 \alpha_x) dy + (T_2^* \alpha_y' - T_2 \alpha_y) dx + \\ + (S_1^* \beta_x' - S_1 \beta_x) dy + (S_2^* \beta_z' - S_2 \beta_z) dx + \\ + (N_1^* - N_1) dy + (N_2^* - N_2) dx + \rho(x, y) dx dy = 0. \end{aligned} \right\} (22.16)$$

Приравняв нулю суммы моментов всех сил относительно осей y и x , находим еще два уравнения равновесия для элемента срединной поверхности оболочки

$$\left. \begin{aligned} N_1^* dx dy + (M_1 - M_1^*) dy + (H - H_1^*) dx = 0; \\ N_2^* dx dy + (M_2 - M_2^*) dx + (H - H_2^*) dy = 0. \end{aligned} \right\} (22.17)$$

При составлении уравнений (22.17) были отброшены члены третьего порядка малости: моменты от действия растягивающих и сдвигающих усилий и моменты от распределенной поперечной нагрузки $\rho(x, y)$. Последнее уравнение равновесия, которым выражается равенство нулю суммы моментов всех сил относительно оси oz , тождественно выполняется с точностью до малых членов.

Подставляя в первые два уравнения (22.16) выражения для усилий (22.12) и углов поворота (22.13), (22.14), после сложных преобразований и отбрасывания членов третьего порядка малости получаем

$$\frac{\partial T_1}{\partial x} + \frac{\partial S}{\partial y} = 0; \quad \frac{\partial S}{\partial x} + \frac{\partial T_2}{\partial y} - \frac{N_2}{R} = 0. \quad (22.18)$$

Третье уравнение (22.16) после некоторых очевидных преобразований и отбрасывания малых членов принимает вид

$$\left(\alpha_1 \frac{\partial T_1}{\partial x} + \beta_2 \frac{\partial S}{\partial y} \right) + \left(\beta_1 \frac{\partial S}{\partial x} + \alpha_2 \frac{\partial T_2}{\partial y} \right) + T_1 \frac{\partial \alpha_x}{\partial x} + \\ + S \left(\frac{\partial \beta_x}{\partial x} + \frac{\partial \beta_z}{\partial y} \right) + T_2 \left(\frac{\partial \alpha_x}{\partial y} + \frac{1}{R} + \frac{w}{R^2} \right) + \frac{\partial N_1}{\partial x} + \frac{\partial N_2}{\partial y} + \rho(x, y) = 0.$$

Подставляя далее в него значения углов α_x и β_x согласно (22.13) и учитывая соотношения (22.15), находим

$$\frac{\partial N_1}{\partial x} + \frac{\partial N_2}{\partial y} + \frac{N_2}{R} \frac{\partial w}{\partial y} + T_1 \frac{\partial^2 w}{\partial x^2} + 2S \frac{\partial^2 w}{\partial x \partial y} + \\ + T_2 \left(\frac{\partial^2 w}{\partial y^2} + \frac{1}{R} + \frac{w}{R^2} \right) + \rho = 0. \quad (22.19)$$

Уравнения (22.17), если учесть выражения (22.12), приводятся к виду

$$N_1 = \frac{\partial M_1}{\partial x} + \frac{\partial H}{\partial y}; \quad N_2 = \frac{\partial M_2}{\partial y} + \frac{\partial H}{\partial x}. \quad (22.20)$$

Таким образом, условия равновесия бесконечно малого элемента оболочки дают нам пять уравнений (22.18)–(22.20), в которые вводит восемь неизвестных усилий: $T_1, T_2, S, M_1, M_2, N_1, N_2$, т. е. задача теории оболочек «внутренне» статически неопределима (при рассмотрении бесконечно малого элемента оболочки). Ее решение не может быть получено до тех пор, пока силы и моменты не будут связаны посредством определенного закона с деформациями оболочки.

§ 22.4. Зависимости между напряжениями, усилиями и перемещениями

Подставляя выражения для напряжений (22.9) в зависимости (22.11) и производя интегрирование по z , получаем

$$\left. \begin{aligned} T_1 &= \frac{E_p h}{1 - \mu_{sp} \mu_{ps}} (\epsilon'_x + \mu_{ps} \epsilon'_y); \\ T_2 &= \frac{E_p h}{1 - \mu_{sp} \mu_{ps}} (\epsilon'_y + \mu_{sp} \epsilon'_x); \quad S = G_{sp} A' \epsilon'_{xy}; \end{aligned} \right\} (22.21)$$

$$\left. \begin{aligned} M_1 &= -D_1 \left[\frac{\partial^2 w}{\partial x^2} + \mu_{sp} \left(\frac{\partial^2 w}{\partial y^2} + \frac{w}{R^2} \right) \right]; \\ M_2 &= -D_2 \left[\left(\frac{\partial^2 w}{\partial y^2} + \frac{w}{R^2} \right) + \mu_{ps} \frac{\partial^2 w}{\partial x^2} \right]; \quad H = -2D_3 \frac{\partial^2 w}{\partial x \partial y}. \end{aligned} \right\} (22.22)$$

где

$$D_1 = \frac{E_p h^3}{12(1 - \mu_{sp} \mu_{ps})}; \quad D_2 = \frac{E_p h^3}{12(1 - \mu_{ps} \mu_{sp})}; \quad D_3 = \frac{G_{sp} h^3}{12}. \quad (22.23)$$

Величины D_1 и D_2 определяют изгибную жесткость оболочки вдоль образующей и в окружном направлении, а величина D_3 — жесткость оболочки на кручение.

Перемещаемые силы N_1 и N_2 можно выразить через прогиб $w(x, y)$, подставив выражения для моментов из (22.22) в уравнения равновесия (22.20):

$$\left. \begin{aligned} N_1 &= - \left(D_1 \frac{\partial^2 w}{\partial x^2} + D_2 \frac{\partial^2 w}{\partial x \partial y} + D_1 \mu_{sp} \frac{1}{R^2} \frac{\partial w}{\partial x} \right); \\ N_2 &= - \left(D_2 \frac{\partial^2 w}{\partial y^2} + D_3 \frac{\partial^2 w}{\partial x \partial y} + D_2 \mu_{ps} \frac{1}{R^2} \frac{\partial w}{\partial y} \right). \end{aligned} \right\} (22.24)$$

где величина

$$D_3 = D_1 \mu_{sp} + 2D_2. \quad (22.25)$$

называется приведенной жесткостью оболочки.

Важно заметить, что введенные выше усилия T_1, T_2, S, N_1, N_2 и моменты M_1, M_2, H полностью характеризуют напряженное состояние оболочки, так как их знание позволяет определить компоненты напряжения в любой точке оболочки:

$$\sigma_x = \frac{T_1}{h} + \frac{12M_1 z}{h^3}; \quad \sigma_y = \frac{T_2}{h} + \frac{12M_2 z}{h^3}; \quad \tau_{xy} = \frac{S}{h} + \frac{12H z}{h^3}. \quad (22.26)$$

В справедливости зависимости (22.26) можно убедиться путем непосредственной их подстановки в правые части приведенных выше выражений для $T_1, T_2, S, N_1, N_2, M_1, M_2, H$.

Определение касательных напряжений τ_{xy} и τ_{yx} по значениям N_1 и N_2 не является столь определенным и точным. Здесь, как и в теории изгиба балок, исходит обычно из предположения о ларангольском законе распределения поперечных касательных напряжений:

$$\tau_{xz} = \frac{6}{h} \frac{N_x}{t} \left[1 - \left(\frac{2z}{t} \right)^2 \right]; \quad \tau_{yx} = \frac{6}{h} \frac{N_y}{t} \left[1 - \left(\frac{2z}{t} \right)^2 \right]. \quad (22.27)$$

§ 22.5. Дифференциальные уравнения теории тонких круговых цилиндрических оболочек

Полученные выше геометрические уравнения (22.2), (22.7), уравнения равновесия (22.18)–(22.20) и физические уравнения (22.21), (22.24) позволяют решить задачу о изгибно-деформированном состоянии оболочки, принимая за основные неизвестные перемещения или усилия. Однако для рассматриваемого класса оболочек более удобной и менее трудоемкой в вычислительном отношении окажется смешанная схема решения, когда за основные неизвестные принимают прогиб оболочки $w(x, y)$ и функцию напряжений $F(x, y)$, связавшую с условиями T_1, T_2 и S зависимостями

$$\left. \begin{aligned} T_1 &= \sigma'_x t = t \frac{\partial^2 F}{\partial x^2}; \quad S = (\tau'_{xy} - t \frac{\partial^2 F}{\partial x \partial y}); \\ T_2 &= t \frac{\partial^2 F}{\partial x^2} - \frac{1}{R} \left[D_1 \left(\frac{\partial^2 w}{\partial y^2} + \frac{w}{R^2} \right) + D_3 \frac{\partial^2 w}{\partial x^2} \right]. \end{aligned} \right\} (22.28)$$

Подставив выражения (22.28) и (22.24) в уравнения равновесия (22.18), можно убедиться в том, что они тождественно удовлетворяются.

Уравнения равновесия (22.19) после подстановки в него выражений для усилий (22.28) и (22.24) принимают вид

$$\begin{aligned} D_1 \frac{\partial^2 w}{\partial x^2} + 2D_2 \frac{\partial^2 w}{\partial x \partial y} + D_3 \frac{\partial^2 w}{\partial y^2} + D_2 \frac{1}{R^2} \left(\frac{\partial^2 w}{\partial y^2} + \mu_{ps} \frac{\partial^2 w}{\partial x^2} \right) + \\ + \frac{1}{R} \left[\left(D_3 \frac{\partial^2 w}{\partial y^2} + D_3 \frac{\partial^2 w}{\partial x \partial y} + D_1 \frac{\partial^2 w}{\partial x^2} \right) \frac{\partial w}{\partial y} + \left(D_3 \frac{\partial^2 w}{\partial x^2} + \right. \right. \\ \left. \left. + D_1 \frac{\partial^2 w}{\partial y^2} + D_3 \frac{w}{R^2} \right) \left(\frac{1}{R} + \frac{w}{R^2} + \frac{\partial^2 w}{\partial y^2} \right) \right] = p(x, y) + \\ + t \left[\frac{\partial^2 F}{\partial y^2} \frac{\partial^2 w}{\partial x^2} - 2 \frac{\partial^2 F}{\partial x \partial y} \frac{\partial^2 w}{\partial x \partial y} + \frac{\partial^2 F}{\partial x^2} \left(\frac{1}{R} + \frac{w}{R^2} + \frac{\partial^2 w}{\partial y^2} \right) \right]. \end{aligned} \quad (22.28')$$

Еще одно уравнение для определения функций $w(x, y)$ и $F(x, y)$ можно получить из уравнения неразрывности деформаций (22.3). Разрешая зависимость (22.21) относительно деформаций средней поверхности, находим

$$\epsilon'_x = \frac{1}{E_p} (T_1 - \mu_{ps} T_2); \quad \epsilon'_y = \frac{1}{E_p} (T_2 - \mu_{sp} T_1); \quad \epsilon'_{xy} = \frac{1}{G_{sp}} S. \quad (22.29)$$

Подставляя в уравнение неразрывности (22.3) выражения (22.29) и учитывая зависимости (22.28), получаем второе уравнение (в дополнение к уравнению равновесия (22.28')) исходной системы

$$\begin{aligned} & \frac{1}{E_x} \frac{\partial^2 F}{\partial x^2} + \left(\frac{1}{G_{xy}} - 2\mu_{xy} \frac{1}{E_x} \right) \frac{\partial^2 F}{\partial x \partial y} + \frac{1}{E_y} \frac{\partial^2 F}{\partial y^2} = \\ & - \left(\frac{\partial^2 w}{\partial x \partial y} \right)^2 - \frac{\partial^2 w}{\partial x^2} \frac{\partial^2 w}{\partial y^2} - \frac{1}{R} \frac{\partial^2 w}{\partial x^2} + \\ & + D_2 \frac{1}{E_x E_y} \left(\frac{\partial^4 w}{\partial x^4} - \mu_{xy} \frac{\partial^4 w}{\partial y^4} \right) \left(\frac{\partial^2 w}{\partial y^2} + \frac{w}{R} \right) + \\ & + D_3 \frac{1}{E_x E_y} \frac{\partial^4 w}{\partial x^2 \partial y^2} \left(\frac{\partial^2 w}{\partial x^2} - \mu_{xy} \frac{\partial^2 w}{\partial y^2} \right). \end{aligned} \quad (22.30)$$

Использование системы нелинейных дифференциальных уравнений (22.28') и (22.30) позволяет решать ряд важных задач строительной механики.

Функции напряжений $F(x, y)$ и прогиб оболочки $w(x, y)$, входящие в эти уравнения, должны удовлетворять определенным граничным условиям. Поскольку каждое из этих уравнений имеет четвертый порядок, на каждой кромке оболочки необходимо выписать по два граничных условия для функций $F(x, y)$ и $w(x, y)$ соответственно. Сложные граничные условия для прогиба оболочки $w(x, y)$ могут быть выписаны с учетом выражений (22.22) и (22.24). Для усилий и моментов, а кинематические граничные условия — так же, как и в теории изгиба эластичности. Граничные условия для функций напряжений $F(x, y)$ характеризуют характер закрепления и нагружения кромки средней поверхности в отделеции перемещений u_x, v_y и усилий T_1, T_2, S . Эти граничные условия получают так же, как в плоской задаче теории упругости. Ограничившись этими замечаниями а отношении граничных условий, мы не будем приводить здесь общих формул, выписывая их в дальнейшем в каждом конкретном случае.

Решение дифференциальных уравнений (22.28') и (22.30) при заданных граничных условиях позволяет найти прогиб оболочки $w(x, y)$ и функцию напряжений $F(x, y)$. Далее по формулам (22.28), (22.32), (22.24) можно вычислить усилия и моменты, а компоненты напряженного состояния — по формулам (22.26), (22.27).

Пологая $E_x = E_y = E$, $\mu_{xy} = \mu_y = \mu$, $G_{xy} = E/[2(1 + \mu)]$, из уравнений (22.28') и (22.30) получаем соответствующие уравнения для изотропных оболочек

$$\begin{aligned} & D \nabla^4 w + D \frac{1}{R} \left(\frac{\partial^2 w}{\partial y^2} + \mu \frac{\partial^2 w}{\partial x^2} \right) + D \frac{1}{R} \left[\frac{\partial w}{\partial y} \frac{\partial}{\partial y} \left(\nabla^2 w + \frac{w}{R} \right) + \right. \\ & \left. + \left(\frac{1}{R} + \frac{w}{R^2} + \frac{\partial^2 w}{\partial y^2} \right) \left(\nabla^2 w + \frac{w}{R} \right) \right] - \rho + \rho \left[\frac{\partial^2 F}{\partial y^2} \frac{\partial^2 F}{\partial x^2} - \right. \\ & \left. - 2 \frac{\partial^2 F}{\partial x \partial y} \frac{\partial^2 w}{\partial x \partial y} + \frac{\partial^2 F}{\partial x^2} \left(\frac{1}{R} + \frac{w}{R} + \frac{\partial^2 w}{\partial y^2} \right) \right]; \end{aligned} \quad (22.31)$$

$$\begin{aligned} \nabla^2 \nabla^2 F = E \left[\left(\frac{\partial^2 w}{\partial x \partial y} \right)^2 - \frac{\partial^2 w}{\partial x^2} \frac{\partial^2 w}{\partial y^2} - \frac{1}{R} \frac{\partial^2 w}{\partial x^2} \right] + \\ + D \frac{1}{R} \left(\frac{\partial^2 w}{\partial x^2} - \mu \frac{\partial^2 w}{\partial y^2} \right) \left(\nabla^2 w + \frac{w}{R} \right), \end{aligned} \quad (22.32)$$

где $\nabla^2 = \frac{\partial^2}{\partial x^2} + \frac{\partial^2}{\partial y^2}$ — гармонический оператор Лапласа; $D = \frac{Eh^3}{12(1 - \mu^2)}$ — изгибная жесткость изотропной оболочки. При $R = \infty$ уравнения (22.31) и (22.32) переходят в уравнения Кармана (21.24) для изотропных пластин.

В ряде случаев уравнения (22.28') и (22.30) можно упростить. Так, при достаточно малом изменении по поверхности оболочки нагрузки $p(x, y)$ влияющие перемещающиеся силы N_x на напряженное состояние в средней поверхности оказываются пренебрежимо малым. Это позволяет в левой части второго уравнения равновесия (22.18) отбросить последний член N_x/R а как следствие третий член в левой части уравнения (22.19). Тогда первые два уравнения равновесия (22.18), которые для рассматриваемого случая перепишутся в виде

$$\frac{\partial T_1}{\partial x} + \frac{\partial S}{\partial y} = 0; \quad \frac{\partial S}{\partial x} + \frac{\partial T_2}{\partial y} = 0, \quad (22.33)$$

можно удовлетворить путем введения в рассмотрение функции напряжений $F(x, y)$, связанной с усилиями T_1, T_2, S уже обычными зависимостями плоской задачи теории упругости:

$$T_1 = h \frac{\partial F}{\partial y}; \quad T_2 = h \frac{\partial F}{\partial x}; \quad S = -h \frac{\partial^2 F}{\partial x \partial y}. \quad (22.34)$$

Все вышесказанное приводит к значительным упрощениям дифференциальных уравнений (22.28') и (22.30):

$$\begin{aligned} D_1 \frac{\partial^2 w}{\partial x^2} + 2D_2 \frac{\partial^2 w}{\partial x \partial y} + D_3 \frac{\partial^2 w}{\partial y^2} = \rho + h \left[\frac{\partial^2 F}{\partial y^2} \frac{\partial^2 w}{\partial x^2} - \right. \\ \left. - 2 \frac{\partial^2 F}{\partial x \partial y} \frac{\partial^2 w}{\partial x \partial y} + \frac{\partial^2 F}{\partial x^2} \left(\frac{\partial^2 w}{\partial y^2} + \frac{w}{R} + \frac{1}{R} \right) \right]; \end{aligned} \quad (22.35)$$

$$\begin{aligned} \frac{1}{E_y} \frac{\partial^2 F}{\partial x^2} + \left(\frac{1}{G_{xy}} - 2\mu_{xy} \frac{1}{E_x} \right) \frac{\partial^2 F}{\partial x \partial y} + \frac{1}{E_x} \frac{\partial^2 F}{\partial y^2} = \\ = \left(\frac{\partial^2 w}{\partial x \partial y} \right)^2 - \frac{\partial^2 w}{\partial x^2} \left(\frac{\partial^2 w}{\partial y^2} + \frac{1}{R} \right). \end{aligned} \quad (22.36)$$

Для изотропной оболочки эти уравнения перепишутся в таком виде:

$$D \nabla^4 w = \rho + h \left[\frac{\partial^2 F}{\partial y^2} \frac{\partial^2 w}{\partial x^2} - 2 \frac{\partial^2 F}{\partial x \partial y} \frac{\partial^2 w}{\partial x \partial y} + \frac{\partial^2 F}{\partial x^2} \left(\frac{\partial^2 w}{\partial y^2} + \frac{w}{R} + \frac{1}{R} \right) \right]; \quad (22.37)$$

$$\nabla^2 \nabla^2 F = E \left[\left(\frac{\partial^2 w}{\partial x \partial y} \right)^2 - \frac{\partial^2 w}{\partial x^2} \left(\frac{1}{R} + \frac{\partial^2 w}{\partial y^2} \right) \right]. \quad (22.38)$$

Приведенные выше уравнения будут в дальнейшем использованы для решения задач изгиба и устойчивости тонкой круговой цилиндрической оболочки при действии на нее равномерного гидростатического давления. Решение этих задач имеет важное практическое значение.

§ 22.6. Типы напряженных состояний оболочек. Безмоментное напряженное состояние

Изложенная выше теория предполагала, что напряжения изгиба в оболочках (которые связываются с формулах (22.26)) являются величинами одного порядка с деформациями напряженными (первые слагаемые в тех же формулах). Если же один из этих напряжений пренебрежимо мал по сравнению с другими, то оказывается возможным сделать значительные упрощения в получаемую выше систему дифференциальных уравнений.

Различают три типа напряженного состояния оболочек:

1. *Безмоментное состояние*, когда напряжения изгиба малы по сравнению с деформациями напряженными.
2. *Чисто изгибное состояние*, когда центральные напряжения пренебрежимо малы по сравнению с напряжениями изгиба.
3. *Смешанное напряженное состояние*, когда изгибные и центральные напряжения имеют один и тот же порядок.

Заметим, что термин «безмоментное» и «чисто изгибное» напряженное состояние не вполне точны, поскольку в безмоментном напряженном состоянии все же допускается существование малых изгибных напряжений, а в чисто изгибном — малых центральных напряжений.

Остановимся более подробно на безмоментном напряженном состоянии. Уравнения, описывающие такое состояние могут быть получены непосредственно из уравнений общей теории. С этой целью достаточно предположить, что в состоянии изгибающих и крутящих моментов на напряженно-деформированное состояние оболочки можно пренебречь.

Безмоментная теория оболочек значительно проще общей теории. Кроме того, во многих важных для практики случаях эта теория дает вполне корректные представления о характере поведения оболочечной конструкции. Наконец, безмоментное состояние наиболее благоприятно для работы оболочечной конструкции, поэтому при проектировании оболочечных конструкций всегда стараются так выбрать форму оболочки и характер ее закрепления на контуре, чтобы действующая внешняя нагрузка создавала в оболочечной конструкции напряженное состояние, близкое к безмоментному. Именно этим можно объяснить то большое внимание, которое уделяется исследованию работы безмоментных оболочек.

Как уже отмечалось, уравнения безмоментной теории могут быть получены непосредственно из уравнений общей теории, изложенной в § 22.5, если в них пренебречь моментами, т. е. положить

$$M_1 = M_2 = H = 0. \quad (22.39)$$

Тогда из уравнений (22.2) получим

$$N_1 = N_2 = 0, \quad (22.40)$$

а из формул (22.22)

$$\frac{\partial^2 w}{\partial x^2} = \frac{\partial^2 v}{\partial y^2} + \frac{w}{R} = 0. \quad (22.41)$$

Таким образом, пренебрежение моментами приводит к необходимости выполнения дополнительных условий (22.40) и (22.41).

Вводя результат (22.39) — (22.41) в уравнения (22.16) и (22.19), получим следующую систему дифференциальных уравнений:

$$\frac{\partial T_1}{\partial x} + \frac{\partial S}{\partial y} = 0; \quad \frac{\partial S}{\partial x} + \frac{\partial T_2}{\partial y} = 0; \quad T_2 = -pR, \quad (22.42)$$

которые выражают условия равновесия элемента оболочки, находящейся в безмоментном напряженном состоянии.

В системе (22.42) число неизвестных (T_1 , T_2 , S) равно числу уравнений, так что задача безмоментной теории оболочек «устранена» статически определенна (в отношении равновесия бесконечно малого элемента оболочки, в отношении же равновесия оболочки в целом не всегда).

Если условия найдены, то для определения перемещений точек срединной поверхности могут быть использованы зависимости (22.2) и (22.9):

$$\frac{\partial u_x}{\partial x} = \frac{1}{R_x h} (T_1 - \nu_{xy} T_2); \quad \frac{\partial v_x}{\partial y} = \frac{w}{R} = \frac{1}{E_x h} (T_2 - \nu_{xy} T_1);$$

$$\frac{\partial v_y}{\partial y} + \frac{\partial v_x}{\partial x} = \frac{1}{G_x h} S, \quad (22.43)$$

в которых правые части можно считать известными функциями x , y .

В безмоментной теории N_1 , N_2 , M_1 , M_2 и H равны нулю во всех точках срединной поверхности, а следовательно, и на границах оболочки. Таким образом, кроме оболочки в безмоментном напряженном состоянии должны быть свободны от нормальных к срединной поверхности усилий, от изгибающих и крутящих моментов.

При формировании граничных условий в условиях на контуре оболочки $x = \text{const}$ могут быть заданы лишь условия T_1 и S . После чего непосредственно из уравнений (22.42) можно найти значения внутренних усилий (T_1 , T_2 , S) по всей срединной поверхности оболочки.

Если граничные условия формируются в перемещениях, то в безмоментной теории можно задавать на контуре лишь компоненты перемещения, касательные к срединной поверхности, т. е. u_x и v_x . В безмоментной теории расширяется свобода перемещений w и углом поворота ϕ на краю оболочки резко, так как их задание может привести к появлению на тропе соответствующих им перерезывающей силы и изгибающего момента.

Заметим далее, что дифференциальные уравнения безмоментной теории в условиях и перемещениях имеют разный порядок: соответственно второй и четвертый. Поэтому крайние условия в безмоментной теории не могут быть даны полностью в условиях; хотя бы одно из двух граничных условий должно быть выражено в компонентах перемещения. С физической точки зрения это объясняется тем, что оболочка, не обладающая изгибной жесткостью, является по существу механизмом, свободно допускающим перемещения от чистого скатывания, которые могут быть устранены путем введения на контуре оболочки определенных ограничений на тангенциальные перемещения.

§ 22.7. Изгиб изотропной замкнутой круговой цилиндрической оболочки, нагруженной равномерным гидростатическим давлением

Рассмотрим важный для судостроения случай, когда круговая цилиндрическая оболочка, опертая торцами на жесткие в своей плоскости диафрагмы (переборки), нагружена асимметричным изгибом равномерным давлением p (рис. 22.7).

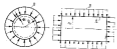


Рис. 22.7

от окружной координаты φ . В силу сказанного разрешающие уравнения (22.38) примут вид

$$\left. \begin{aligned} D\Delta^2 w(x) &= p + t \left(\frac{\partial^2 \varphi}{\partial \varphi^2} \frac{\partial w}{\partial x^2} + \frac{1}{R} \frac{\partial^2 \varphi}{\partial x^2} \right); \\ \frac{\partial^2 \varphi}{\partial x^2} &= -\frac{E}{R} \frac{\partial w}{\partial x^2}. \end{aligned} \right\} \quad (22.44)$$

Условия и моменты определяются формулами, которые можно получить из более общих выражений (22.34), (22.22) и (22.24):

$$T_1 = t \frac{\partial^2 \varphi}{\partial \varphi^2}; \quad T_2 = t \frac{\partial^2 \varphi}{\partial x^2}; \quad S = -t \frac{\partial \varphi}{\partial x}; \quad (22.45)$$

$$M_1 = -D\Delta w; \quad M_2 = -\mu D\Delta w; \quad N_1 = -Dw'''; \quad N_2 = H = 0. \quad (22.46)$$

Рассматриваемую задачу удобно решать в перемещениях, для чего, используя выражение (22.45), исключим функцию напряжений из первого уравнения (22.44):

$$D\Delta^2 w(x) = p + T_1 w''(x) + T_2 w'(x). \quad (22.47)$$

Условие T_1 действует в любом поперечном сечении оболочки равномерно по ее периметру и создается силой pR^2 , действующей

на торцы оболочки поперечные переборки, поэтому

$$T_1 \approx -pR^2/(2\pi R) = -pR/2. \quad (22.48)$$

Уменьшением радиуса оболочки, вследствие ее обжатия, здесь пренебрегаем.

Для определения условия T_2 воспользуемся вторыми из зависимостей (22.29) и (22.2), которые применительно к нашему случаю переписываются в таком виде:

$$e_\varphi^0 = (T_2 - pR)/Et; \quad e_x^0 = -\alpha w, \quad (22.49)$$

откуда, если учесть (22.48), можно получить

$$T_2 = -(Et\alpha w + pR/2). \quad (22.50)$$

Исключив из уравнения (22.47) с помощью формул (22.48) и (22.50) условия T_1 и T_2 , получим

$$D\Delta^2 w(x) + pR\alpha^2 w(x)/2 + Et\alpha w(x)/R^2 = (1 - \mu/2)p. \quad (22.51)$$

Этим дифференциальным уравнением в совокупности с граничными условиями по торцам оболочки описывается ее прогиб.

Как видно из уравнения (22.51), задача свелась к определению прогиба балки-полоски единичной ширины с изгибной жесткостью D , вырезанной из оболочки вдоль образующей. Балка-полоска лежит на упругом основании постоянной жесткости интенсивностью

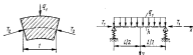


Рис. 22.8

$k = Et/R^2$ и находится в условиях сложного изгиба под действием равномерной нагрузки $q = (1 - 0.5\mu)p$ и сжимающих сил $T_1 = -0.5pR$ (рис. 22.8).

Общее решение дифференциального уравнения (22.51) нетрудно получить, пользуясь известными методами построения общего решения обыкновенного дифференциального уравнения с постоянными коэффициентами. Корни характеристического уравнения, а следовательно, и решение в общем случае будут зависеть от соотношения коэффициентов D , $pR/2$ и Et/R^2 . При характерных для судовых конструкций соотношениях между указанными коэффициентами общее решение уравнения (22.51) имеет вид

$$w(x) = [pR^2/Et] \{ (1 - \mu/2) + C_1 \operatorname{ch} \delta x \cos \gamma x + C_2 \operatorname{sh} \delta x \sin \gamma x + C_3 \operatorname{ch} \delta x \sin \gamma x + C_4 \operatorname{sh} \delta x \cos \gamma x \}. \quad (22.52)$$

Здесь C_1 — произвольные постоянные интегрирования, определяемые из граничных условий:

$$\text{где } \delta = \alpha \sqrt{1 - \beta}; \quad \gamma = \alpha \sqrt{1 + \beta}, \quad (22.53)$$

$$\alpha = \sqrt[4]{3(1 - \mu^2)(R^2/EI)}; \quad \beta = (R/l)^2 \rho \sqrt{3(1 - \mu^2)/(2E)}.$$

Решение (22.52) применимо при $\gamma < 1$. Закрытая цилиндрическая круговая оболочка, ограниченная по концам поперечными переборками, не может воспринимать больших внешних давлений, если расстояние между переборками относительно велико. Такая оболочка может потерять устойчивость даже при весьма незначительной величине наружного давления. Наиболее эффективным средством повышения устойчивости цилиндрических оболочек является



Рис. 22.9



Рис. 22.10

подкрепление оболочек кольцевыми закрытыми ребрами жесткости (шпангоутами). Последние, как правило, ставятся на равных расстояниях друг от друга.

В этой связи интересно рассмотреть работу на изгиб замкнутой цилиндрической круговой оболочки, подкрепленной между поперечными переборками равноотстоящими одинаковыми кольцевыми ребрами (шпангоутами) с цилиндрическим поперечным сечением F (рис. 22.9).

Пренебрегая влиянием жесткости поперечных переборок на работу оболочки в ее средней части, можно считать, что радиальные обжатия оболочки на некотором удалении от поперечных переборок будут симметричны относительно плоскости подкрепляющих ее шпангоутов. В силу этого мы можем ограничиться рассмотрением ее изгиба оболочки лишь в пределах одного пролета.

Если поместить начало координат посередине между шпангоутами (рис. 22.10), то в связи с симметрией изгиба оболочки относительно выбранного начала координат в выражении (22.52) следует сохранить лишь четные члены, т. е. положить $C_3 = C_4 = 0$. Выражение (22.52) при этом примет вид

$$w(x) = [R^2 \rho \sqrt{EI}] \left[(1 - \mu/2) + C_1 \operatorname{ch} \delta x \cos \gamma x + C_2 \operatorname{sh} \delta x \sin \gamma x \right]. \quad (22.54)$$

Ввиду симметрии уротога поверхности оболочки относительно плоскости каждого из подкрепляющих ее шпангоутов углы поворота оболочки на шпангоутах будут равны нулю:

$$\text{при } x = \pm \frac{l}{2} \quad \frac{dw}{dx} = 0, \quad (22.55)$$

Второе граничное условие получим, если рассмотрим взаимодействие оболочки и подкрепляющего ее шпангоута. При действии на оболочку давления p шпангоут подвергается со стороны оболочки воздействию некоторой равномерно распределенной нагрузки интенсивностью p_1 . Погонная нагрузка p_1 уравновешивается перерезывающими силами, действующими слева и справа от опорного сечения:

$$p_1 = D w'''' \Big|_{x=0}^{x=l/2} - 2D w'''' \Big|_{x=0}. \quad (22.56)$$

Интенсивность p_1 выразим через прогиб оболочки. Напряжение σ_{xx} , действующее в поперечном сечении шпангоута, может быть определено с одной стороны, из очевидного равенства

$$\sigma_{xx} = - p_1 R / F, \quad (22.57)$$

а с другой стороны, по формуле

$$\sigma_{xx} = E \epsilon_2 = - E w (x - l/2) / R. \quad (22.58)$$

Приравняв правые части выражений (22.57) и (22.58), разрешая полученное при этом уравнение относительно p_1 , находим

$$p_1 = \alpha (x - l/2) E F / R^2. \quad (22.59)$$

Исключая p_1 с помощью (22.59) из (22.56), получаем второе недостающее граничное условие

$$\text{при } x = l/2 \quad \omega = 2DR^2 w'''' / (EF). \quad (22.60)$$

Подставляя выражение для $w(x)$ из выражения (22.54) в граничные условия (22.55) и (22.60), находим два уравнения, совместное решение которых позволит определить неизвестные C_1 и C_2 :

$$\left. \begin{aligned} C_1 &= - \frac{2\rho R^2}{2l} \left(1 - \frac{\mu}{2} \right) \frac{a_1 \operatorname{ch} a_1 \operatorname{sh} a_2 + a_2 \operatorname{ch} a_1 \cos a_2}{a_2 \operatorname{sh} 2a_1 + a_1 \sin 2a_2} a_1; \\ C_2 &= - \frac{2\rho R^2}{2l} \left(1 - \frac{\mu}{2} \right) \frac{a_1 \operatorname{ch} a_1 \sin a_2 - a_2 \operatorname{sh} a_1 \cos a_2}{a_2 \operatorname{sh} 2a_1 + a_1 \sin 2a_2} a_1. \end{aligned} \right\} \quad (22.61)$$

Здесь

$$a_1 = \frac{l}{1 + \mu F_1 (a_1, a_2) / \rho}; \quad a_2 = \frac{M}{2} - \alpha \sqrt{1 + \beta}; \quad a_3 = \frac{\gamma}{2} = \alpha \sqrt{1 - \beta} \quad (22.62)$$

где

$$F_1(a_1, a_2) = \sqrt{1 - \beta^2} \frac{\operatorname{ch} 2a_1 - \cos 2a_2}{a_2 \operatorname{sh} 2a_1 + a_1 \sin 2a_2}; \quad \mu = 0,6425 \frac{l}{\sqrt{Rl}}.$$

Располагая окончательным выражением для $w(x)$, можно определить все интересующие нас элементы изгиба оболочки.

Наложенное выше решение, полученное П. Ф. Павловым [36], табулировано и снабжено расчетными графиками, поэтому практическое применение этого решения оказывается весьма простым.

Полученное решение учитывает влияние продольных усилий на изгиб оболочки [второй член в левой части дифференциального

уравнения (22.51)]. Однако, как показывают численные расчеты, эти влияния в большинстве случаев можно пренебречь. Тогда вместо (22.51) следовало бы рассмотреть уравнение

$$Dw^{(2)}(x) + kx(x) = p(1 - \mu/2), \quad (22.63)$$

Дифференциальное уравнение (22.63) и граничные условия (22.55), (22.60) описывают изгиб однопролетной балки, лежащей на упругом основании, нагруженной равномерно распределенной нагрузкой и жестко заделанной по концам на упругих опорах с коэффициентом податливости A , равным

$$A = 2R^2/(EF). \quad (22.64)$$

Используя решение подобной задачи, приведенное в гл. 16, можно получить окончательные формулы для определения наибольших характерных элементов изгиба рассматриваемой оболочки: прогиба оболочки в сечении посередине между шпангоутами

$$w(0) = [pR^2/(EF)](1 - \mu/2)[1 - \varphi_1(u_0)(1 + B_1)], \quad (22.65)$$

изгибающего момента в поперечном сечении посередине пролета

$$M(0) = -[p/24](1 - \mu/2)x_1(u_0)(1 + B_1), \quad (22.66)$$

изгибающего момента в опорных сечениях

$$M_1(\pm l/2) = [p^2/12](1 - \mu/2)x_2(u_0)(1 + B_1), \quad (22.67)$$

прогиба оболочки в опорном сечении

$$w(l/2) = [pR^2/(EF)](1 - \mu/2)B_1(1 + B_1). \quad (22.68)$$

Здесь $B_1 = \mu(u_0)/E$, а $\varphi_1(u)$, $x_1(u)$, $x_2(u)$ и $\mu(u)$ — табулированные функции, значения которых в функции от аргумента $u = 0,6425u_0/\sqrt{Rl}$ приведены в табл. 16.1.

Располагая значениями момента $M_1(x)$ посередине пролета и в опорном сечении, можно определить в тех же сечениях наибольшие нормальные напряжения на наружной и внутренней поверхностях оболочки:

$$\sigma_1 = T_1/l \pm 6M_1/l^2 = -pR/2 \pm 6M_1/l^2, \quad (22.69)$$

Верный знак перед вторым членом правой части формулы (22.69) соответствует наружной поверхности оболочки, а нижний — внутренней.

Для определения нормальных напряжений σ_2 в меридиональных сечениях оболочки воспользуемся законом Гука для плоского напряженного состояния:

$$\epsilon_2 = (\sigma_2 - \nu\sigma_1)/E. \quad (22.70)$$

Так как деформация оболочки симметрична относительно оси x и толщина оболочки мала по сравнению с радиусом, деформацию ϵ_2 можно принять постоянной по толщине:

$$\epsilon_2 \approx \epsilon_2^0 = -\alpha/R. \quad (22.71)$$

Из совместного рассмотрения равенств (22.70) и (22.71) найдем

$$\sigma_2 = -\alpha E/R + \nu\sigma_1. \quad (22.72)$$

Как видно, для определения σ_2 необходимо предварительно определить напряжения σ_1 и прогиб w .

Нормальные напряжения в поперечном сечении ребер жесткости, подкрепляющих оболочку, на основании выражений (22.57) и (22.59) будут равны

$$\sigma_{\text{реб}} = -Ew(x - l/2)/R. \quad (22.73)$$

§ 22.8. Устойчивость изотропной круговой цилиндрической оболочки, нагруженной равномерным давлением

Круговые цилиндрические оболочки, толщина которых выбирается из условий прочности, часто оказываются весьма тонкими. В связи с этим важное значение приобретают вопросы устойчивости таких оболочек.

Дифференциальные уравнения устойчивости. Исследование устойчивости оболочек производят обычно для всех упругих систем методами (см. гл. 20). Ограничиваясь рассмотрением устойчивости оболочки при малых отклонениях от положения равновесия (устойчивость «в малом»), воспользуемся для наших целей упрощенными линейными дифференциальными уравнениями (22.37) и (22.38).

Пусть к упругой оболочке прикладываются внешние силы, статически возрастающие от нуля; непрерывно растущий вынужденный изгиб соответствует парастатическому положению оболочки. Каждому значению нагрузки отвечает вполне определенное (эллиптическое) положение равновесия оболочки, если она устойчива.

При достижении нагрузки некоторого значения в бесконечно малой окрестности основного, т. е. исследуемого положения равновесия оболочки, неустойчиво развлекшегося из ее естественного состояния, оболочка окажется в другом положении равновесия. Следовательно, при данной нагрузке основное положение равновесия оболочки перестало быть устойчивым и стало нейтральным. При дальнейшем росте нагрузки основное положение равновесия становится неустойчивым. Нагрузка, соответствующая центральному положению равновесия оболочки, называется критической.

Метод нейтрального равновесия исследования устойчивости (см. гл. 20) и состоит в отыскании такой нагрузки, при которой в бесконечно малой окрестности основного положения равновесия оболочка становится возможным еще хотя бы одно положение равновесия.

Пусть $w_1(x, y)$ и $F_1(x, y)$ — прогиб и функция напряжений в основном положении равновесия оболочки, а $w_2(x, y)$ и $F_2(x, y)$ — те же в бесконечно близком к нему отклоненному положению. Если отклоненное положение равновесия, то оно удовлетворяет, как и

основное, системе уравнений (22.37) и (22.38). Обозначим

$$\Phi(x, y) = w_2(x, y) - w_1(x, y); \quad \bar{F}(x, y) = F_2(x, y) - F_1(x, y). \quad (22.74)$$

Очевидно, Φ и \bar{F} — бесконечно малые вариации основного положения равновесия.

Возьмем уравнения (22.37) и (22.38) для обоих положений оболочки, а затем вычтем почленно из уравнений второго положения соответствующие уравнения первого. Сохраним только линейные относительно Φ и \bar{F} члены, получим дифференциальные уравнения устойчивости рассматриваемой оболочки

$$D^2 \nabla^2 \Phi = E \left[\frac{\partial^2 r_1}{\partial x^2} \frac{\partial^2 \Phi}{\partial x^2} + \frac{\partial^2 r_1}{\partial y^2} \frac{\partial^2 \Phi}{\partial y^2} - 2 \left(\frac{\partial^2 r_1}{\partial x \partial y} \frac{\partial^2 \Phi}{\partial x \partial y} + \frac{\partial^2 r_2}{\partial x \partial y} \frac{\partial^2 \Phi}{\partial x \partial y} \right) + \frac{\partial^2 F_1}{\partial x^2} \left(\frac{\partial \Phi}{\partial x} + \frac{\partial^2 \Phi}{\partial y^2} \right) + \frac{\partial^2 F_2}{\partial x^2} \left(\frac{1}{R} + \frac{w_1}{R^2} + \frac{\partial^2 w_1}{\partial y^2} \right) \right]; \quad (22.75)$$

$$\nabla^2 \Phi \bar{F} = E \left(2 \frac{\partial^2 w_1}{\partial x \partial y} \frac{\partial^2 \Phi}{\partial x \partial y} - \frac{\partial^2 w_1}{\partial x^2} \frac{\partial^2 \Phi}{\partial y^2} - \frac{\partial^2 w_1}{\partial y^2} \frac{\partial^2 \Phi}{\partial x^2} - \frac{1}{R} \frac{\partial^2 \Phi}{\partial x^2} \right). \quad (22.76)$$

Уравнения (22.75) и (22.76) однородны относительно Φ и \bar{F} . Граничные условия для вариаций Φ и \bar{F} выводятся аналогично; они также однородны.

Система линейных уравнений (22.75) и (22.76) при линейных однородных граничных условиях всегда имеет нулевое решение: $\Phi = 0$, $\bar{F} = 0$. Если другого решения нет, то $w_2 = w_1$, $F_2 = F_1$ и $w_1(x, y)$ будет устойчивым и единственным положением равновесия. Если же при некотором значении внешней нагрузки, которая явно входит в уравнения (22.75) и (22.76) через функции w_1 и F_1 , имеется ненулевое решение: $\Phi \neq 0$, $\bar{F} \neq 0$, то w_1 будет характеризовать нейтральное положение равновесия, а соответствующая ему нагрузка p является экстремальной.

Строгое решение задачи устойчивости оболочки выполняется в следующем порядке: сначала интегрируют уравнения (22.37) и (22.38) при заданных граничных условиях и определяют w_1 и F_1 ; как известные функции внешней нагрузки p . Найденные функции $w_1(x, y)$ и $F_1(x, y)$ подставляют в систему уравнений устойчивости (22.75) и (22.76), а затем отыскивают ненулевые решения этой системы при соответствующих однородных граничных условиях. Значения нагрузки, соответствующие указанным ненулевым решениям, являются искомыми экстремальными нагрузками.

Уравнения (22.75) и (22.76) могут быть использованы для исследований устойчивости круговых цилиндрических оболочек при любых нагрузках и произвольных условиях опирания по торцам оболочки.

Устойчивость свободно опертой оболочки. Рассмотрим простейший случай опирания торцовых кромок оболочки на круглые диафрагмы, абсолютно жесткие в своей плоскости и абсолютно гибкие из нее.

Основное напряженное состояние оболочки отличается от безмоментного, однако для упрощения решения обычно его все же считают безмоментным. Тогда, согласно выражениям (22.48) и (22.42), докритические условия равны

$$(T_1)_k = -pR/2; \quad (T_2)_k = -pR; \quad (S_1)_k = 0, \quad (22.77)$$

а прогиб $w_1(x) = \text{const}$. Такое безмоментное состояние точно соответствует оболочке, на имеющей опор в торцевых сечениях до момента потери устойчивости. Выходит что усиленные внешне торцевые диафрагмы устанавливаются как бы в момент потери устойчивости.

На основании формул (22.34) и (22.77) можно записать

$$\frac{\partial^2 F_1}{\partial x^2} = -\frac{pR}{2}; \quad \frac{\partial^2 F_1}{\partial x^2} = -\frac{pR}{l}; \quad \frac{\partial^2 w_1}{\partial x \partial y} = 0. \quad (22.78)$$

При докритических условиях (22.78) и докритическом прогибе $w_1(x) = \text{const}$ уравнения устойчивости круговой цилиндрической изотропной оболочки (22.75) и (22.76) принимают вид

$$D^2 \nabla^2 \Phi = -\frac{pR}{2} \frac{\partial^2 \Phi}{\partial x^2} - pR \left(\frac{\partial \Phi}{\partial x} + \frac{\partial^2 \Phi}{\partial y^2} \right) + \left. \begin{aligned} &+ \frac{\partial^2 \bar{F}}{\partial x^2} \left(\frac{1}{R} + \frac{w_1}{R^2} \right); \\ \nabla^2 \Phi \bar{F} &= -\frac{p}{R} \frac{\partial^2 \Phi}{\partial x^2}. \end{aligned} \right\} \quad (22.79)$$

Применяя к первому из этих уравнений операцию $\nabla^2 \Sigma^2(\cdot)$, а к второму — $\frac{\partial^2(\cdot)}{\partial x^2}$, получим два уравнения, из совместного рассмотрения которых, исключая функцию $\bar{F}(x, y)$, находим

$$\nabla^2 \nabla^2 \left[D^2 \nabla^2 \Phi + \frac{pR}{2} \frac{\partial^2 \Phi}{\partial x^2} + pR \left(\frac{\partial \Phi}{\partial x} + \frac{\partial^2 \Phi}{\partial y^2} \right) \right] + \frac{p}{R} \frac{\partial^2 \Phi}{\partial x^2} = 0. \quad (22.80)$$

При любых целых числах m и n и функции

$$\Phi(x, y) = a_{mn} \sin m\pi x/l \sin n\pi y/R \quad (22.81)$$

удовлетворяет условиям свободного опирания ($\Phi = \frac{\partial \Phi}{\partial x} = 0$) на торцевых кромках $x = 0; l$. Подставляем (22.81) в уравнение (22.80) и сокращая на произведение обоим множителя, получаем

$$(m^2 \pi^2)^2 + \pi^2 R^2 \pi^2 \{ D^2 (m^2 \pi^2)^2 + \pi^2 R^2 \pi^2 - pR [m^2 \pi^2 (2l^2) + \pi^2 R^2 - 1/R^2] \} + E m^2 \pi^2 (R^2 \pi^2) = 0. \quad (22.82)$$

Из уравнения (22.82) найдем формулу для экстремальной нагрузки

$$p_{cr} = (p_{mn})_{\min} = \min \left\{ \frac{E l^2}{R^2} \frac{1}{\pi^2 m^2 R^2 \pi^2} + \pi^2 - 1 \right\} \times \left. \begin{aligned} &\times \left[\frac{\pi^2 m^2 R^2 \pi^2}{(m^2 \pi^2)^2 + \pi^2 R^2} + \frac{D}{E l^2 R^2} (m^2 \pi^2 R^2 \pi^2 + \pi^2 R^2) \right]. \end{aligned} \right\} \quad (22.83)$$

У каждой оболочки наименьшему $(p_{mn})_{\min}$ соответствует определенное сочетание чисел m и n , определяющих соответственно

число полуволи, образующихся при потере устойчивости оболочки по ее длине, и число воли по ее окружности.

Для не очень длинных оболочек наименьшему значению $\rho_{\text{кр}}$ отвечает $m=1$ и формула (22.83) принимает вид

$$\rho_{\text{кр}} = \min \rho_{\text{кр}} = \min \left\{ \frac{Et}{R} \frac{1}{3\mu^2 + \mu^2 - 1} \left[\frac{\mu^2}{(\mu^2 + \mu^2)^2} + \frac{\mu^2}{12(1-\mu^2)^2 R^2} (\mu^2 + \mu^2) \right] \right\}. \quad (22.84)$$

Формула (22.84) была получена в 1929 г. Р. Мизесом. Ее принято называть *второй формулой Мизеса* (первая же формула соответствует только нагружению давлением p боковой поверхности, т. е. при $T_1=0$).

В формуле (22.84) μ должно быть выбрано так, чтобы значение $\rho_{\text{кр}}$ было минимальным. Для коротких оболочек ($l < R$) число μ получается сравнительно большим и при разном значении минимума $\rho_{\text{кр}}$ это число можно считать непрерывным аргументом. Кроме того, в формуле (22.84) можно допустить

$$0,5\mu^2 + \mu^2 - 1 = 0,5\mu^2 + \mu^2. \quad (22.85)$$

Считая μ^2 непрерывно изменяющейся переменной, П. Ф. Папкович нашел аналитический минимум $\rho_{\text{кр}}$ (при $E=2 \cdot 10^6$ МПа, $\mu=0,3$):

$$\rho_{\text{кр}} = 1,91 (100/R)^2 (100/R)^{0,58} \text{ МПа}, \quad (22.86)$$

В. Венденбург и Р. Триланде, сотрудник Американского опытового бассейна, минимизируя $\rho_{\text{кр}}$ по μ , получили из (22.84) с учетом допущения (22.85) следующее выражение:

$$\rho_{\text{кр}} = \frac{1,83 (100/R)^{0,58} 100/R}{1 - 0,62 \sqrt{R/l}} \text{ МПа}. \quad (22.87)$$

Формулу (22.86) принято называть *второй формулой Мизеса в обработке П. Ф. Папковича*, а формулу (22.87) — *формулой Американского опытового бассейна*.

Приведенные выше формулы для определения $\rho_{\text{кр}}$ свободной открытой круглой цилиндрической оболочки были получены исходя из упрощенных уравнений (22.75) и (22.76), в которых пренебрегалось членами N_2/R , учитывающими влияние перерезывающей склыв на равновесие элемента срединной поверхности оболочки. В связи с этим полученными формулами (22.84), (22.86), (22.87) рекомендуется пользоваться лишь для коротких оболочек.

Если при выводе уравнений устойчивости исходить из более точных уравнений (22.35) и (22.36), то задав форму потерю устойчивости в виде (22.81), при $m=1$ можно получить следующую более точную формулу:

$$\rho_{\text{кр}} = \min \left\{ \frac{Et}{R} \frac{1}{3\mu^2 + \mu^2 - 1} \left[\frac{\mu^2}{12(1-\mu^2)^2 R^2} \left[(\mu^2 + \mu^2 - 1)^2 + (1-\mu)^2 \right] + \left(\frac{\mu^2}{\mu^2 + \mu^2} \right)^2 \left[\mu^2 + \frac{\mu^2}{12(1-\mu^2)^2 R^2} (\mu^2 - \mu^2) (\mu^2 + \mu^2 - 1) \right] \right] \right\}. \quad (22.88)$$

Для длинных оболочек, у которых $\alpha = \pi R/l$ оказывается малой величиной, формула (22.84) по сравнению с (22.86) становится весьма неточной. Так, в случае бесконечно длинной оболочки $\alpha=0$, и по формуле (22.86) получаем

$$\rho_{\text{кр}} = \min [D(n^2 - 1)/R^3] = 3D/R^3, \quad (22.89)$$

что соответствует эластичной нагрузке кольца единичной ширины с гибкой жесткостью D . Согласно же формуле (22.84) при $\alpha=0$ и $n=2$ значение $\rho_{\text{кр}}$ получается в 1,33 раза больше. В случае коротких оболочек, когда число воли потери устойчивости n оказывается порядка 10 и более, формулы (22.84) и (22.86) дают практически одинаковые результаты.

В заключение рассмотрим задачу об устойчивости оболочки, предпологая, что материал ее является ортотропным с направлением главных осей упругости вдоль образующей и в окружном направлении [34, 55]. Применяя для вывода дифференциальных уравнений устойчивости ортотропной оболочки способ, изложенный выше, используя при этом уравнения (22.28'), (22.30) и принимая форму потерю устойчивости оболочки в виде $\Theta = a_1 \sin \alpha x/l \sin n\varphi/R$, получаем

$$\rho_{\text{кр}} = \min [D_1 R^3 + (\delta_1 \mu^2 R/E_1) \gamma_1]. \quad (22.90)$$

Здесь

$$\left. \begin{aligned} D_1 &= D_1 \alpha^4 + 2D_2 \alpha^2 (n^2 - 1) + D_3 (n^2 - 1)^2 + (D_2 - \mu_{12} D_1) \alpha^2; \\ \rho_{\text{кр}} &= \alpha^2 + (\alpha^2 - \mu_{12} n^2) [D_2 \alpha^2 + D^2 (n^2 - 1)] / [E_1 R^3]; \quad \alpha = \pi R/l; \\ \gamma_1 &= \alpha^2 \delta_1 + 2D_2 \alpha^2 n^2 + \delta_1 n^4; \quad \gamma_2 = 0,5\alpha^2 + \alpha^2 - 1, \end{aligned} \right\} \quad (22.91)$$

где $\delta_1 = 1/E_2$; $\delta_2 = 1/E_3$; $\delta_3 = 1/(2G_{12}) - \mu_{12} \alpha/E_2$. В формуле (22.90) число n выбирается так, чтобы величина $\rho_{\text{кр}}$ была минимальной.

Выражение (22.90) используется для расчета на устойчивость оболочек из ортотропного материала, например из стеклопластика.

§ 22.9. Устойчивость круговой цилиндрической оболочки, подкрепленной кольцевыми и продольными ребрами и нагруженной всесторонним давлением

Для гладких оболочек (без ребер) часто толщина оболочки, выбранная из условия обеспечения устойчивости, оказывается гораздо больше толщины, требуемой для обеспечения условий прочностности. Весьма эффективным средством повышения устойчивости оболочки является подкрепление ее ребрами жесткости. В частности, с целью повышения устойчивости стальные оболочки подкрепляют одинаковыми равноотстоящими стрингерами (продольными ребрами) и шпангоутами (кольцевыми ребрами). Если число стрингеров и шпангоутов в отдельности достаточно велико, то для оценки устойчивости подкрепленной оболочки можно использовать приближенное решение, которое основано на том, что площади и

моменты инерции подкрепляющих оболочку ребер жесткости мысленно «размазываются» по срединной поверхности оболочки. В результате реальная оболочка с ребрами заменяется уложенной гладкой оболочкой, но уже ортотропной (конструктивно).

Пусть круговая цилиндрическая изотропная оболочка толщиной t подкреплена шпангоутами с одинаковой шириной l и стрингерами, отстоящими один от другого по дуге окружности на одинаковом расстоянии b (рис. 22.11). Площади поперечных сечений стрингеров и шпангоутов без присоединенных поясков соответственно равны f_1 и f_2 , а моменты инерции с присоединенными поясками соответственно J_1 и J_2 . Материал оболочки, стрингеров и шпангоутов одинаков, модуль продольной упругости E , коэффициент Пуассона μ .

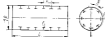


Рис. 22.11

Условия равенства погонных жесткостей ортотропной и подкрепленной оболочки следующие:

$$E_s l = E(t + f_1/b); \quad D_1 = E l_1 b + D; \quad E_s t = E(t + f_2/b); \quad D_2 = E l_2 l + D, \quad (22.92)$$

В левых частях равенств (22.92) стоят величины погонных жесткостей гладкой ортотропной оболочки, а в правых — подкрепленной. Решая равенства (22.92) относительно упругих постоянных приведенной ортотропной оболочки, получаем

$$E_s = E[1 + f_1/(b t)]; \quad E_p = E[1 + f_2/(b t)]; \quad D_1 = D + E l_1 b; \quad D_2 = D + E l_2 l. \quad (22.93)$$

Если учесть, что стрингеры и шпангоуты не влияют на жесткость оболочки при сдвиге, и пренебречь малой жесткостью ребер на кручение, то модуль сдвига и жесткость на кручение приведенной ортотропной оболочки должны быть приняты такими же, как и для неопределенной изотропной оболочки:

$$G = E/2(1 + \mu); \quad D_s = G l^2/12 = (1 - \mu) D/2. \quad (22.94)$$

Коэффициенты Пуассона $\mu_{s\theta}$ и $\mu_{\theta s}$ приведенной ортотропной оболочки определяются по формулам

$$\mu_{s\theta} = \mu E/E_s; \quad \mu_{\theta s} = \mu E/E_p. \quad (22.95)$$

Подстановка выражений (22.93)–(22.95) в формулы (22.90) и (22.91) позволяет определить критическое давление для оболочки, подкрепленной стрингерами и шпангоутами.

Если оболочка подкреплена только равномерноотстоящими шпангоутами, то на основании формул (22.93) и (22.95) получим

$$E_s = E; \quad E_p = E[1 + f_2/(b t)]; \quad D_1 = D; \quad D_2 = E l_2 l + D; \\ \mu_{s\theta} = \mu; \quad \mu_{\theta s} = \mu E/E_p; \quad D_3 = 2D_s + \mu_{\theta s} D_1 = D; \\ \delta_1 = 1/E_s; \quad \delta_2 = 1/E_p; \quad \delta_3 = (1 + \mu - \mu E/E_p)/E.$$

Подстановка этих значений в выражения (22.90) и (22.91) приводит к формуле

$$p_s = \min \left\{ \frac{1}{0,5\sigma^2 + \sigma^2 - 1} \left[\frac{E t}{R^2} \left[(\sigma^2 - 1)^2 + \frac{\sigma^2}{\Delta_0} (\sigma^2 - 1)(\sigma^2 - \mu\sigma^2) \right] + \frac{E t}{R} \frac{(1 + k)\sigma^4}{\Delta_0} + \frac{D}{R^2} \left[\frac{\sigma^4}{\Delta_0} (\sigma^2 - \mu\sigma^2)(\sigma^2 + \sigma^2 - 1) + (1 - \mu)\sigma^2 + (\sigma^2 + \sigma^2 - 1)^2 \right] \right\}, \quad (22.96)$$

где $k = f_2/b t$; $\Delta_0 = (\sigma^2 + \mu)^2 + k\sigma^2 [2(1 + \mu)\sigma^2 + \sigma^2]$. Для судовых оболочек значение k намного меньше единицы, а для гибких жесткостей шпангоутов $E t$ намного меньше жесткости оболочки в пределах шпангоута $D l$. Поэтому с небольшой погрешностью в безопасную сторону и формулу (22.96) можно положить $k = 0$, $D = 0$. Если к тому же отбросить малые члены в первой квадратной скобке формулы (22.96), то окончательно получим

$$p_s = \min \left\{ \frac{E}{0,5\sigma^2 + \sigma^2 - 1} \left[\frac{f_2}{R^2} (\sigma^2 - 1)^2 + \frac{t}{R} \frac{\sigma^4}{(\sigma^2 + \sigma^2)^2} \right] \right\}. \quad (22.97)$$

Эта формула и является расчетной для оболочки, подкрепленной шпангоутами и свободно опертой на жесткие переборки в торсовых сечениях. Минимум p_s получается, как правило, если $\mu = 2/3$.

Если положить в формуле (22.97) $\mu = 0$, т. е. рассмотреть бесконечно длинную оболочку, то при $n = 2$ получим формулу для обшивки нагрузки замкнутого кругового кольца, нагруженного равномерным нормальным давлением ($q = p l$),

$$q_s = 3E J_2 (R^2). \quad (22.98)$$

§ 22.10. Практический расчет оболочки на устойчивость

Изложенные выше результаты исследования устойчивости оболочек при малых отклонениях от положения равновесия и формулы для верхней критической нагрузки были получены в предположении, что форма оболочки идеальна и материал ее подчиняется закону Гука. Реальные оболочки всегда имеют отклонения от правильной геометрической формы (начальные вогбны), а также определенный разброс механических характеристик материала и отступление по толщине. Кроме того, при высоких критических напряжениях уже требуется учет влияния на устойчивость отступления от закона Гука. Все указанные факторы могут существенно снизить значение критического давления, что подтверждается экспериментальными данными.

В практике судостроительных расчетов действительные значения критических нагрузок принято вычислять по полуэмпирической формуле

$$p_{\text{кр}} = \eta_1 \eta_2 p_s \quad (22.99)$$

где p_c — эйлерово давление оболочки, вычисленное по теоретическим формулам устойчивости (22.86) или (22.87) для идеальной круговой оболочки без учета начальных погрешностей и отступлений от закона Гука; η_1 — поправочный коэффициент, определяемый на основании опытных данных и учитывающий отступление от идеальной круговой формы цилиндрической оболочки; η_2 — поправочный коэффициент, учитывающий отступление от закона Гука.

Коэффициент η_1 определяется на основании обработки результатов испытаний опытных оболочек на устойчивость. Он изменяется в пределах $0,5 < \eta_1 < 0,8$. Коэффициент $\eta_2 = \sigma_{cr}/\sigma_s$ может быть определен по графикам рис. 20.11 в зависимости от отношения σ_s/σ_s , где σ_s представляет эйлерово напряжение, соответствующее первому критическому давлению p_c , и определяется формулой

$$\sigma_s = 0,95q_1 p_c R / \eta_1 \quad (22.100)$$

Здесь множитель 0,95 учитывает отступление в толщине оболочки.

Конечно, такой способ учета физической величины материала весьма условен. В действительности коэффициент η_2 переменен, поскольку напряжения неравномерно распределены по длине шпанги. Кроме того, при расчете общей устойчивости подкрепленных оболочек не учитывается разная степень напряженности обшивки и шпангоута. Все отмеченные выше условия учитываются в новой форме среди ряда других факторов поправочным коэффициентом η_1 , входящим в формулы устойчивости оболочек (22.99) на основании опытных данных.

Формулу (22.29) можно применять не только для стальных оболочек, но и для оболочек из других материалов, подставляя в нее значения η_1 , η_2 и p_c , соответствующие исходным данным рассматриваемой оболочки и ее материалу.

Для оболочек, подкрепленных шпангоутами, необходимо рассчитывать местную и общую устойчивость. Расчет местной устойчивости оболочки между шпангоутами производится по формулам (22.84) и (22.99), а общей устойчивости между поперечными переборками — по формулам (22.97) и (22.99).

В заключение отметим, что, несмотря на большое число решенных линейных задач изгиба и устойчивости оболочек, линейная теория еще не завершена. Предстоит разработать эффективные методы решения задач изгиба и устойчивости оболочек произвольной геометрической формы и переменной толщиной, подкрепленных ребриж местными и ослабленными вырезами и т. п. Важным является уточнение пределов применимости приближенных уравнений различного типа и приближенных решений, удобных для практических расчетов. Представляют интерес решения линейных задач для двояких нагрузок и граничных условий более широкого класса. Весьма важно рассмотреть оценкой влияния на устойчивость оболочек начальных погрешностей, моментности дискретического напряженного состояния. В связи с современной тенденцией повышения напряженности конструкций наблюдается стремление к

уменьшению толщины оболочек, что делает их менее жесткими. Это, а также подталкивает к строительную практику пластмасс, обладающих, как правило, небольшой жесткостью, обуславливает постановку и решение как геометрических, так и физических волновых задач теории изгиба и устойчивости оболочек.

Интересные вопросы

1. Какие участки тела называются оболочкой?
2. Какие допущения применяются в теории таких оболочек?
3. Как классифицируются оболочки?
4. Какие условия действуют в нормальных и касательных направлениях оболочки?
5. Какие основные уравнения характеризуют напряженное состояние круглой цилиндрической оболочки и каков их физический смысл?
6. Какие уравнения можно составить в основных направлениях для эллиптической и за конусом оболочки?
7. Чем характерно безмоментное напряженное состояние и при каких условиях оно возникает?
8. Описать простейшую схему круглой цилиндрической оболочки, подкрепленной одинаковыми равноотстоящими шпангоутами при действии на оболочку центрального равномерного давления.
9. Как записать уравнение устойчивости оболочки «в малом»?
10. Чему равно эйлерово давление для свободно вращающейся оболочки? Каковы формы теории устойчивости?
11. Как определяется эйлерово давление для ортотропной оболочки и как оно применяется для оболочек, подкрепленных ребрами жесткости?
12. В каких случаях и почему возникают в верхах критические нагрузки оболочки существенно различаются?
13. Как производится практический расчет оболочек на устойчивость и какие факторы не учитываются?

Для современных судовых конструкций остро стоит проблема уменьшения их массы. И одним из путей ее решения является повышение удельных нагрузок при допущении в конструкциях упругопластических деформаций. Но не только поэтому требуется расчет конструкций в упругопластической области. Даже при упругой работе материала наличие упругопластического расчета необходимо для правильного суждения о действительных запасах прочности в исследуемой конструкции.

Можно выделить три типа задач изгиба балок и балочных систем в пластической стадии, наиболее интересных для расчета судовых конструкций:

- 1) упругопластические задачи в геометрически линейной постановке (изменение геометрии деформированной конструкции малы);
- 2) жесткопластические задачи в геометрически нелинейной постановке (изменение геометрии конструкции существенны);
- 3) жесткопластические задачи в геометрически линейной постановке — задачи теории предельных нагрузок.

Когда пластические деформации, развивающиеся в конструкции, имеют тот же порядок, что и порядок упругих деформаций, задача должна решаться в упругопластической постановке. Если же пластические деформации оказываются настолько больше упругих, что последними можно пренебречь, становится возможной жесткопластическая постановка задачи.

В ряде работ П. Ф. Павловича, опубликованных в конце 1930-х гг., были рассмотрены методы расчета предельных состояний однопролетных и многопролетных балок, судовых рам и перекрытий. Убедительно показана простота метода предельных нагрузок по сравнению с расчетами в области упругих и упругопластических деформаций. Этот метод позволяет спроектировать «рациональную» конструкцию, все элементы которой равнопрочны. Круг задач, в которых применительно к кораблю может быть использован метод предельных нагрузок, расширяется с каждым годом. Большой вклад в развитие теории и разработку методов определения предельных нагрузок судового корпуса и его отдельных элементов внесли Л. М. Белецкий, Н. Ф. Ершов, В. В. Колдков, И. Л. Димович.

Ниже, в гл. 23, приведено решение одной простейшей задачи теории пластичности, являющейся теорией изгиба балок в упругопластической области. В гл. 24 даны методы определения предельных нагрузок однопролетных и многопролетных балок, судовых рам и перекрытий.

Глава 23. ПРОСТЕЙШИЕ ЗАДАЧИ ТЕОРИИ ПЛАСТИЧНОСТИ

§ 23.1. Простейшие задачи деформационной теории пластичности

В тех случаях, когда деформация линейно зависит от координат точек тела или большинство компонент тензора напряжений и деформаций равны нулю, задачи деформационной теории пластичности решаются сравнительно просто. Один пример решения таких задач приведен ниже.

Призматический брус прямоугольного сечения нагружен на торцах моментами M , вызывающими изгиб бруса в плоскости Oxz



Рис. 23.1

(рис. 23.1, а). Материал бруса изотропный, однородный и идеально пластический. Как и при изгибе бруса в упругой стадии, применяя гипотезу плоских сечений, выписан для компонентов деформаций выражения

$$\epsilon_x = -z/\rho; \quad \epsilon_y = \epsilon_z = -\mu\epsilon_x; \quad \gamma_{xy} = \gamma_{yz} = \gamma_{zx} = 0 \quad (23.1)$$

где ρ — радиус кривизны бруса. Компоненты напряжений можно найти, если воспользуемся зависимостями деформационной теории пластичности (4.24) и (4.25):

$$\sigma_x = E\epsilon_x; \quad \sigma_y = \sigma_z = \tau_{xy} = \tau_{yz} = \tau_{zx} = 0. \quad (23.2)$$

Здесь E_1 — модуль продольной упругости, равный

$$E_1(\nu_1) = E_0(\nu_1)[1 + E_0(\nu_1)/(3E_0)], \quad (23.3)$$

где $E_0 = E/(1 - 2\nu)$.

Напряжения (23.2) удовлетворяют уравнениям равновесия элементарного параллелепипеда, а уравнения совместности деформаций (2.16) будут проверены позже, после определения величины $\nu_1(\epsilon_1)$ — коэффициента Пуассона при упругоупругих деформациях материала.

Градиенты условия (2.1) на боковых гранях бруса $y = \pm b/2$ и $z = \pm a/2$ выполняются тождественно.

Нагибающий момент в каждом сечении по длине бруса равен

$$M = - \int_{-0,5a}^{+0,5a} \sigma_x z b dz = - \frac{2b}{\rho} \int_0^{0,5a} E_1 z^2 dz. \quad (23.4)$$

Так как $E_1 = \sigma_x/\epsilon_x$, причем в упругой области $E_1 = E$, а в пластической — $\sigma_x = \sigma_s$, можно записать

$$E_1 = \begin{cases} E & \text{при } |z| < z_0 \\ \sigma_s/\epsilon_s & \text{при } |z| > z_0. \end{cases} \quad (23.5)$$

Граница раздела упругой и пластической зон проходит по линии, определенной значением $|z| = z_0$, при котором E_1 в формуле (23.5) становится равной E :

$$z_0 = \sigma_s/E, \text{ или } \rho = E z_0/\sigma_s. \quad (23.6)$$

Разобьем интервал интегрирования в (23.4) на два (упругую зону $0 < |z| < z_0$ и пластическую область $z_0 < |z| < 0,5a$), в соответствии с выражением (23.5) получим

$$\sigma_s (b^2/4 - z_0^2/3) = M/\delta. \quad (23.7)$$

Подставляя в уравнение (23.7) выражение (23.6) для z_0 разрешая его относительно ρ , находим

$$1/\rho = [2\sigma_s \sqrt{EA}]^{-1} \sqrt{1/3 [1 - M/M_{op}]}, \quad (23.8)$$

$$M_{op} = \sigma_s \delta b^2/4, \quad (23.9)$$

Напряжения σ_x по высоте бруса изменяются так:

$$\sigma_x = \begin{cases} E z/\rho & \text{при } 0 \leq |z| \leq z_0; \\ \pm \sigma_s & \text{при } z_0 < |z| \leq 0,5a. \end{cases} \quad (23.10)$$

Значение момента $M = M_1$, вызывающего напряжения текучести σ_s только в крайних волокнах $z = \pm 0,5a$, определяется формулой (23.7) при $z_0 = 0,5a$:

$$M_1 = \sigma_s \delta b^2/6. \quad (23.11)$$

Значение момента $M = M_{op}$, вызывающего текучесть по всему сечению балки, определяется формулой (23.9), которая получается по формуле (23.7) при $z_0 = 0$.

Эпюры напряжений по высоте сечения бруса для разных значений нагибающего момента показаны на рис. 23.1, б, в, г. Если

$M < M_1$ (см. рис. 23.1, б), то сечение будет испытывать только упругие деформации, если $M_1 < M < M_{op}$ (см. рис. 23.1, а), то упругие деформации возникают при $|z| < z_0$, а пластические — при $z_0 \leq z \leq 0,5a$; если $M = M_{op}$ (см. рис. 23, г), то весь материал сечения будет находиться в пластическом состоянии.

Из формул (23.1) и (23.2) следует, что для стального бруса при $\sigma_s = 400$ МПа, $E = 2 \cdot 10^5$ МПа и линейных фибровых деформациях $|\epsilon_x| = 0,01$ значение момента $M \neq 0,935 M_{op}$. Таким образом, уже при сравнительно малых пластических деформациях практически достигается значение предельного момента M_{op} .

В заключение вернемся к вопросу о том, удовлетворяют ли выражения для компонентов деформаций (23.1) уравнениям совместности деформаций.

Если значения напряжений (23.2) и деформаций (23.1) ввести в (4.24) и разрешить полученное при этом уравнение относительно ν_1 , получим $\nu_1 = 1/2 - E_1/2E$, или, если учесть зависимость (23.5) и (23.6),

$$\nu_1 = \begin{cases} \mu & \text{при } |z| < z_0; \\ \frac{1}{2} \left[1 - \frac{z_0}{|z|} (1 - 2\mu) \right] & \text{при } z_0 < |z| \leq 0,5a. \end{cases} \quad (23.12)$$

Теперь прямой подстановкой легко убедиться, что компоненты деформации (23.1) удовлетворяют всем уравнениям совместности деформаций.

§ 23.2. Упругоупругий изгиб балок

Расчет балок в упругоупругой области достаточно прост. В качестве примера рассмотрим изгиб в упругоупругой области призматической балки (рис. 23.2). Условия закрепления торцевых сечений — пролонгации.

Балка нагружена поперечной нагрузкой интенсивностью $q(x)$ и осевой растягивающей силой T , действующей вдоль линии ЦТ поперечных сечений. Требуется определить прогиб балки $w(x)$.

Предполагаем, что внешняя нагрузка вызывает в материале балки упругоупругие деформации и что справедлива гипотеза плоских сечений. Связь между напряжениями σ_x и деформацией ϵ_x представим зависимостью (4.4):

$$\sigma_x = E \epsilon_x [1 - \phi(\epsilon_x)]. \quad (23.13)$$

Начало координат совместим с геометрическим ЦТ левого конца балки. Ось ox направлена вдоль линии, проходящей через геометрические ЦТ поперечных сечений, а ось oz — вниз (см. рис. 23.2).

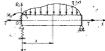


Рис. 23.2

На основании гипотезы плоских сечений

$$u(x, z) = u_0(x) - z \frac{d\varphi(x)}{dx}, \quad (23.14)$$

где $u(x, z)$ — перемещение точки балки с координатами x, z в направлении оси ox ; $u_0(x)$ и $\varphi(x)$ — перемещения точек оси балки в направлении осей ox и oz соответственно. Воспользовавшись выражением (23.14), получим

$$\epsilon_x(x, z) = \frac{du(x, z)}{dx} = \frac{du_0(x)}{dx} - z \frac{d^2\varphi}{dx^2}. \quad (23.15)$$

В каждом из сечений по длине балки должны быть выполнены два следующих очевидных уравнения равновесия:

$$\left. \begin{aligned} \int \sigma_x dF &= T; \\ - \int \sigma_x z dF - M_0 - R_0 x + \int_0^x q(x) dx + T\varphi(x). \end{aligned} \right\} \quad (23.16)$$

Если далее воспользоваться зависимостями (23.15) и (23.13), то после несложных выкладок система уравнений равновесия (23.16) может быть преобразована к виду

$$E(F - F^*)u_0'(x) + ES^*\varphi''(x) = T; \quad (23.17)$$

$$ES^*u_0'(x) + E(I - I^*)\varphi''(x) = M_0 - R_0 x + T\varphi(x) + \int_0^x q(x) dx. \quad (23.18)$$

Здесь F — площадь поперечного сечения балки; I — момент инерции площади поперечного сечения;

$$F^* = \int \omega(\epsilon_x) dF; \quad S^* = \int z\omega(\epsilon_x) dF; \quad I^* = \int z^2\omega(\epsilon_x) dF. \quad (23.19)$$

Заметим, что если материал работает упруго, то $\omega(\epsilon_x) = 0$ и, следовательно, величины F^* , S^* , I^* будут равны нулю.

Разрешив уравнение (23.17) относительно $u_0'(x)$, получим

$$u_0'(x) = T/[E(F - F^*)] - \varphi''(x)S^*/[E(F - F^*)]. \quad (23.20)$$

Воспользовавшись этой зависимостью, исключим $u_0'(x)$ из уравнения (23.18):

$$\begin{aligned} E\left(I - I^* - \frac{S^{*2}}{F - F^*}\right)\varphi''(x) &= M_0 - R_0 x - \frac{TS^*}{F - F^*} + \\ &+ \int_0^x q(x) dx + T\varphi(x). \end{aligned} \quad (23.21)$$

Совместное решение уравнений (23.20) и (23.21) позволяет определить перемещения оси балки $u_0(x)$ и $\varphi(x)$.

Интегрирование дифференциальных уравнений (23.20) и (23.21), дополненных граничными условиями для функций $u_0(x)$ и $\varphi(x)$, возможно лишь численно с использованием процедуры последовательного уточнения значений переменных коэффициентов, входящих в эти уравнения. Весьма схематично алгоритм такого решения можно представить в следующей форме.

Первое приближение. Материал балки предполагается упругим и, следовательно, $\omega(\epsilon_x) = 0$; $F^* = S^* = I^* = 0$. Тогда уравнения (23.20) и (23.21) преобразуются к виду

$$u_0'(x) = T/(EF); \quad (23.22)$$

$$EI\varphi''(x) = q(x) + T\varphi'(x). \quad (23.23)$$

Каждое из полученных уравнений, дополненное соответствующими граничными условиями, позволяет определять в первом приближении значения $u_0(x)$ и $\varphi(x)$. Затем с помощью зависимости (23.15) можно найти в первом приближении деформацию $\epsilon_x(x, z)$.

Второе приближение. Найденное в первом приближении значение деформации ϵ_x используют для определения функции $\omega(\epsilon_x)$. Затем по формулам (23.19) с помощью методов численного интегрирования вычисляют значения $F^*(x)$, $S^*(x)$ и $I^*(x)$, которые вносят в систему уравнений (23.20) и (23.21). Интеграция полученных при этом дифференциальных уравнений с переменными (но уже известными) коэффициентами, находит уточненные значения перемещений $u_0(x)$ и $\varphi(x)$. При необходимости рассчитанные значения перемещений $u_0(x)$ и $\varphi(x)$ можно уточнить, если повторить еще раз процедуру второго приближения.

По окончательным значениям перемещений $u_0(x)$ и $\varphi(x)$ с помощью соотношений (23.15) и (23.13) определяют напряжения σ_x .

Аналогично можно произвести расчет в упругоупругой области более сложных стержневых систем: неразрезных балок, простых и сложных рам, стержневых перекрытий.

Контрольные вопросы

1. Почему для малых сечений конструкций мы интересуемся их поведением в упругоупругой области?
2. Изложите кратко сущность задач деформационной теории пластичности — кратко кратко деформационного состояния прямоугольного сечения в упругоупругой области балки.
3. Каково значение напряжения при расчете балки в упругоупругой области?

§ 24.1. Предельные нагрузки однопролетных балок

В целях упрощения расчетов балок, работающих в упругопластической области, как правило, вместо реальной диаграммы используют условную диаграмму идеального жесткопластического материала (см. рис. 4.7, б). Принимая такую зависимость между напряжениями и деформациями, пренебрегают наличием упругости в реальном материале конструкции при ее работе в упругопластической области. Если пренебрежения упругостью материала приводит к некоторой недооценке действительной прочности конструкции, то учет упругих деформаций, наоборот, может несколько ее завысить.

Понятие предельной нагрузки в теории предельного равновесия. Теория предельного равновесия — это раздел теории пластичности, обобщающий методы определения предельных нагрузок.

Предполагается, что внешняя нагрузка изменяется пропорционально некоторому параметру. Тогда предельной будем называть нагрузку, характеризующуюся наименьшим значением этого параметра, при котором вследствие развивающихся пластических деформаций дальнейшее перемещение становится неограниченным. Предполагается, что явления потери устойчивости и крутильного разрушения отсутствуют. Изменения геометрии конструкции вплоть до предельного состояния считаются пренебрежимо малыми. Напряженно-деформированное состояние, соответствующее предельной нагрузке, будем называть предельным состоянием системы.

В ряде случаев рост внешней нагрузки сопровождается усиленным ростом деформаций конструкции, которые в силу каких-либо особенностей в эксплуатации рассматриваемой конструкции не могут превышать некоторого значения. При этом может оказаться, что несущая способность конструкции определяется нагрузкой, меньшей ее предельного значения, а именно тем ее значением, которое вызывает в конструкции максимально доступные деформации. Однако отметим, что в большинстве случаев нас интересует значение предельной нагрузки как основной критерий статической прочности рассматриваемой конструкции.

Естественно, что описанная картина деформирования является достаточно приближенной. Она справедлива лишь для балок, изготовленных из материала с достаточным запасом пластических свойств. При отсутствии такого запаса разрушение может произойти хрупко, без образования развитых пластических деформаций. Должна быть исключена также потеря устойчивости осевых элементов балки. При выполнении перечисленных условий указанная физическая модель дает довольно правильное представ-

ление о работе судовых балок при развитых пластических деформациях.

Пластический шарнир и предельный изгибающий момент. На рис. 23.1 приведены примеры, характеризующие изменение нормальных напряжений по высоте сечения балки, изготовленной из идеального упругопластического материала, для трех различных значений изгибающего момента M в рассматриваемом сечении. Последней изобразил, имеющей вид двух прямоугольников (см. рис. 23.1, в), определяется предельное состояние сечения, называемое шарниром текучести или пластическим шарниром. При этом изгибающий момент сечения достигает своего предельного значения M_{sp} , которое для балки прямоугольного сечения, согласно формуле (23.8), равно

$$M_{sp} = b b^2 \sigma_s / 4 \quad (24.1)$$

По аналогии с работой сечения в упругой области величину $b b^2 / 4$ часто называют пластическим моментом сопротивления и обозначают через W_p . Тогда для определения предельного изгибающего момента сечения получим формулу

$$M_{sp} = \sigma_s W_p \quad (24.2)$$

Если далее заметить, что момент, вызывающий появление течения в крайних волокнах прямоугольного сечения (см. рис. 23.1, б), равен

$$M_s = \sigma_s W \quad (24.3)$$

($W = b b^2 / 6$), то из сопоставления (24.2) и (24.3) найдем, что для прямоугольного профиля $M_{sp} / M_s = W_p / W = 1.5$.

В дальнейшем нам потребуется знать, следовательно, и уметь определять W_p для сечения произвольной формы (рис. 24.1).

В предельном состоянии, когда текучесть распространяется на все сечение, из условия равновесия нулю осевой силы $T = \int \sigma_x dF = \sigma_s F^+ - \sigma_s F^- = 0$ площадь растянутой зоны F^+ должна равняться площади сжатой зоны F^- ; $F^+ = F^- = F/2$ (F — площадь рассматриваемого поперечного сечения).

Разнодействующие растягивающих и сжимающих усилий располагаются соответственно в ЦТ растянутой и сжатой зон. Поэтому можем записать

$$M_{sp} = \sigma_s F d / 2 \quad (24.4)$$

где d — расстояние между ЦТ растянутой и сжатой зон.

Так как ЦТ всего сечения находится на середине отрезка, соединяющего ЦТ обеих половин сечения, $d/2$ есть расстояние от ЦТ любой из зон (растянутой или сжатой) до ЦТ всего сечения, и, следовательно

$$W_p = 2S, \quad (24.5)$$



Рис. 24.1

где S — статический момент сжатой или растянутой половины сечения относительно оси, проходящей через ЦТ всего сечения.

При образовании пластического шарнира балка теряет одну степень статической неизменяемости, или, другими словами, приобретает одну степень свободы. Пластический шарнир существенно отличается от обыкновенного шарнира. Момент в нем не равен нулю, а равен M_{cp} . И, наконец, он является односторонним шарниром, поскольку возникает при перемене знака деформации. Последнее объясняется тем, что при разгрузке упругопластический материал снова начинает работать как упругий.

Для жесткопластического материала зависимость между изгибающим моментом M и кривизной балки в данном сечении имеет вид, изображенный на рис. 24.2. При $M < M_{cp}$ кривизна в сечении



Рис. 24.2



Рис. 24.3

равна нулю. Как только момент достигает своего предельного значения M_{cp} , зона текучести распространится на все сечение (рис. 24.3). В сечении образуется пластический шарнир, после чего дальнейший рост кривизны (деформаций) в этом сечении происходит без увеличения изгибающего момента.

Статический метод определения предельной нагрузки. Этот метод основан на рассмотрении эпюры изгибающих моментов балки $M(x)$ в предельном состоянии. При этом обязательно выполнение в каждом из сечений балки условия

$$|M| \leq M_{cp} \quad (24.5)$$

Пронормируем использование статического метода на ряде частных случаев.

Определение предельной нагрузки свободно опертой призматической балки, нагруженной равномерно распределенной нагрузкой интенсивностью q . Для рассматриваемой балки максимальный изгибающий момент равен $M_{max} = q l^2 / 8$ (l — длина пролета балки). С ростом нагрузки q он возрастает и при $q = q_{cp}$ достигает предельного момента $M_{max} = M_{cp} = \sigma_s W_x$. Отсюда

$$q_{cp} = 8\sigma_s W_x / l^2 \quad (24.6)$$

Определение предельной нагрузки двухпролетной балки постоянного сечения, нагруженной в одном из пролетов силой P (рис. 24.4, а). Для этой балки эпюра изгибающих моментов при ее упругой работе имеет вид, изображенный на рис. 24.4, б.

Максимальный момент в пролете будет равен

$$M_{max} = P l_1 / 4 - M_1 / 2 \quad (24.7)$$

В предельном состоянии балка превращается в кинематический механизм. Это происходит при достижении моментами M_{max} и M_1 их предельных значений

$$M_{max} = M_1 = M_{cp} = \sigma_s W_x \quad (24.8)$$

Внося результат (24.8) в (24.7) и решая полученное при этом уравнение относительно P , получаем предельное значение этой величины

$$P_{cp} = 8\sigma_s W_x / l_1 \quad (24.9)$$

Обратим внимание на два следующих факта:

а) при определении предельных нагрузок статическим методом перемещения (прогибы) балки не рассматриваются и отпадает необходимость в раскрытии ее статической неизменяемости;

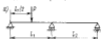


Рис. 24.4



Рис. 24.5



б) величина P_{cp} не зависит от длины второго пролета балки, т. е. от жесткости упругой заделки; здесь уже играет роль не жесткость, а прочность конструкции, которая осуществляет упругое защемление.

Определение предельной нагрузки призматической балки, один конец которой свободно оперт, а другой — жестко заделан. Балка нагружена равномерно распределенной нагрузкой (рис. 24.5, а).

Эпюра изгибающих моментов во длине балки будет иметь вид, изображенный на рис. 24.5, б. Если обозначить опорный момент в заделке через M_1 , то для текущего момента в пролете можно написать следующее выражение:

$$M(x) = [q^2 x / 20] (1 - x/l)^2 - M_1 x/l \quad (24.10)$$

Предельное состояние для рассматриваемой балки наступит при образовании пластических шарниров в заделке и в сечении, где действует максимальный пролетный момент M_{max} .

Значение x , при котором пролетный момент достигает максимума, найдем из условия $\frac{dM(x)}{dx} = 0$, откуда, если учесть выражение для M (24.10), получим $x = l/2 - M_0/(q\delta)$. Подставляя это значение x в (24.10), имеем

$$M_{\max} = (q\delta^2/2)[l/2 - M_0/(q\delta)]^2. \quad (24.11)$$

Но в предельном состоянии, когда балка благодаря образованию двух пластических шарниров превращается в кинематический механизм,

$$M_{\max} = M_0 = \sigma_0 W_{pl}. \quad (24.12)$$

Внося значения (24.12) в (24.11) и решая полученное при этом уравнение относительно q , находим значение предельной нагрузки для рассматриваемой балки

$$q_{0p} = 11,65\sigma_0 W_{pl}/l. \quad (24.13)$$

Статическая экстремальная теорема. Статическая экстремальная теорема предельного равновесия гласит: предельная нагрузка P_{0p} , обеспечивающая любую статически допустимую поле напряжений, всегда меньше действительной предельной нагрузки P_{0p} или равна ей:

$$P_{0p}^* \leq P_{0p}. \quad (24.14)$$

Статически допустимым считается такое поле напряжений, которое удовлетворяет уравнениям равновесия, граничным условиям и при котором ни в одной точке напряжения не превосходят значений, определяемых условиями пластичности.

Применительно к изгибу балок поле изгибающих моментов (обобщенное внутреннее усилие) будет всегда статически допустимым при удовлетворении условия (24.5). Если возможно построить несколько вариантов эпюр изгибающих моментов $M(x)$, удовлетворяющих (24.5), соответственно получаются столько же значений предельной нагрузки. Согласно приведенной теореме, действительной предельной нагрузкой будет наибольшая из них.

Кинематический метод определения предельной нагрузки. Переход сечения в предельное состояние, когда оно пластически связано пластическими деформациями, сопряжен с возможностью неограниченного роста напряжения в этом сечении (см. рис. 24.2), что влечет за собой образование здесь сломов или балки. Сложившее сечение балки, где $M < M_{0p}$, остается жестким. Благодаря появлению пластических шарниров балка в предельном состоянии превращается в кинематический изменяемый пластический механизм.

Кинематический метод определения предельной нагрузки состоит в исследовании равновесия этого пластического механизма. Для этой цели используют принцип возможных перемещений, согласно которому сумма работ всех сил, действующих на механизм, на возможном перемещении равна нулю. Из полученного при этом

уравнения и определяют предельную нагрузку рассматриваемой конструкции.

Проиллюстрируем содержание кинематического метода на ряде частных случаев.

Определение предельной нагрузки, изображенной на рис. 24.5, а. Заметим, что ранее уже была определена q_{0p} для рассматриваемой балки, но с помощью статического метода.

Предельное состояние балки наступает при образовании двух пластических шарниров: одного в заделке, другого в пролете. Место расположения пролетного шарнира $x = c$ неизвестно.

После введения в систему двух пластических шарниров получаем кинематически изменяемый пластический механизм (рис. 24.5). Дадим сечению $x = c$ возможное перемещение δf . Изогнутая ось балки приобретает форму ломаной линии, состоящей из двух прямых отрезков. В пластических шарнирах возникают внутренние силы (моменты) M_{0p} . Тогда сумма работ всех внешних (q) и внутренних (M_{0p}) сил на возможном перемещении балки будет равна

$$\delta \Delta = q\delta f/2 + q(l-c)\delta f/2 - M_{0p}\delta f/c - 2M_{0p}\delta f/l(l-c). \quad (24.15)$$

Согласно принципу возможных перемещений $\delta \Delta = 0$, откуда

$$q = 2M_{0p}[1/c + 2/l(l-c)]. \quad (24.16)$$

Значение c найдем из условия минимума нагрузки q :

$$\frac{dq}{dc} = 0; \quad \frac{1}{c^2} - \frac{2}{l(l-c)^2} = 0; \quad c = 0,41l. \quad (24.17)$$

Подставив найденное значение c в выражение для q , окончательно найдем значение предельной нагрузки

$$q_{0p} = 11,65M_{0p}/l = 11,65\sigma_0 W_{pl}/l. \quad (24.18)$$

Полученное значение q_{0p} точно совпадает с таковым, полученным ранее с помощью статического метода [см. формулу (24.13)].

Определение предельной нагрузки балки, изображенной на рис. 24.7, а. В данном случае возможны три вида кинематических пластических механизмов (рис. 24.7, б, в, г). Используя кинематический метод, определим P_{0p} для каждого вида пластического механизма: $P_{0p}^{(a)} = 5M_{0p}/l$, $P_{0p}^{(b)} = 4M_{0p}/l$, $P_{0p}^{(g)} = 9M_{0p}/l$. Наименьшая величина из этих трех значений сил P и есть искомая предельная нагрузка рассматриваемой балки:

$$P_{0p} = 4M_{0p}/l = 4\sigma_0 W_{pl}/l. \quad (24.19)$$



Рис. 24.5

Таблица 24.1. Предельные нагрузки однопролетных балок

№ п/п	Схема балки	Координата эластического шарнира в пролете	Предельная нагрузка
1		$x = c$	$P_{sp} = \frac{l}{c(l-c)} \sigma_0 W_x$
2		$x = 0,5l$	$q_{sp} = \frac{8\sigma_0 W_x}{l^2}$
3		$x = c$	$P_{sp} = \frac{2l-c}{c(l-c)} \sigma_0 W_x$
4		$x = c$	$P_{sp} = \frac{2l}{c(l-c)} \sigma_0 W_x$
5		$x = 0,416l$	$q_{sp} = 11,06 \frac{\sigma_0 W_x}{l^2}$
6		$x = 0,5l$	$q_{sp} = 16 \frac{\sigma_0 W_x}{l^2}$
7		$x = 0,5l$	$q_{sp} = 10,8 \frac{\sigma_0 W_x}{l}$

Продолжение

№ п/п	Схема балки	Координата эластического шарнира в пролете	Предельная нагрузка
8		$x = 0,577l$	$q_{sp} = 15,57 \frac{\sigma_0 W_x}{l}$
9		$x = \frac{l}{2} \left(1 + \frac{c^2}{l^2} \right)$	$q_{sp} = \frac{16(l-c)}{l^2 \left(1 + \frac{c^2}{l^2} \right)} \sigma_0 W_x$
10		$x = c + \frac{l-c}{2} \sqrt{\frac{l-c}{3l}}$	$q_{sp} = \frac{8\sigma_0 W_x}{l-c \left[\frac{c}{l} + 2 \left(\frac{l-c}{3l} \right)^{3/2} \right]}$

В табл. 24.1 приведены значения предельных нагрузок однопролетных пружинящих жесткопластических балок для наиболее часто встречающихся в судостроении условий закрепления их торцов и закона изменения внешней нагрузки. Здесь же указана

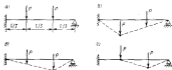


Рис. 24.7

координата, характеризующая положение эластического шарнира в пролете балки.

Кинематическая экстремальная теорема. Кинематическая экстремальная теорема теории предельного равновесия гласит: предельная нагрузка, отвечающая любому кинематически возможному полю перемещений (вращательных перемещений) P_{sp}^{kin} , всегда больше или равна действительной предельной нагрузке P_{sp} :

$$P_{sp}^{kin} \geq P_{sp} \quad (24.20)$$

Кинематически возможным называется поле перемещений эластического механизма, удовлетворяющее кинематическим граничным условиям.

Для балки, жестко заделанной одним концом и нагруженной равномерно распределенной нагрузкой (см. рис. 24.5, а), при определении предельной нагрузки кинематическим методом положение пролетного пластического шарнира ($x=c$) было неизвестным. Задавая ряд положений этого шарнира, получаем ряд кинематически возможных полей перемещений (пластических механизмов). Действительный эластический механизм, согласно рассматриваемой теореме, должен давать наименьшую предельную нагрузку. Поэтому значение c можно определить из условия минимума P (24.17).

Из формул (24.14) и (24.20) следует

$$P_{sp}^* \leq P_{sp} \leq P_{sp}^{**} \quad (24.21)$$

Это означает, что приближенное решение задачи статическим методом дает нижнюю оценку предельной нагрузки, а решение кинематическим методом — верхнюю. Степень близости P_{sp}^* и P_{sp}^{**} характеризует точность приближенных решений. Совпадение P_{sp}^* и P_{sp}^{**} означает, что полученные решения являются точными.

§ 24.2. Предельные нагрузки многопролетных балок и рам

В рамках достижений теории предельного равновесия податливость опор и заделок за предельную нагрузку балки не влияет. Поэтому любые упругие опоры и заделки должны вводиться в

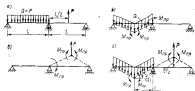


Рис. 24.8

расчет как жесткие либо, если они очень податливы и их реакция существенно меньше внешних нагрузок, их наличие вообще не должно учитываться.

Порядок расчета предельной нагрузки неразрезной многопролетной балки проиллюстрируем на следующем частном случае.

Для двухпролетной балки постоянного сечения, устроенной и нагруженной в соответствии с рис. 24.8, а, требуется определить значение предельной нагрузки.

Возможные виды кинематических пластических механизмов, которые может иметь балка в предельном состоянии, показаны на рис. 24.8, б, в, г. Заметим, что первые два пластических механизма (см. рис. 24.8(б и в)), но существу, определяют предельные состояния наклонно из пролетов неразрезной балки при доопределенном введении жесткой заделки на промежуточной опоре (рис. 24.9).



Рис. 24.9

Предельные нагрузки каждой из этих балок, т. е. левого и правого пролетов неразрезной балки, найдем, если воспользуемся данными табл. 13.1. Они будут соответственно равны:

$$P_{sp}^{(a)} = 11,85q, W^2/l; \quad P_{sp}^{(b)} = 6q, W^2/l. \quad (24.22)$$

Для определения предельной нагрузки $P_{sp}^{(c)}$, которая соответствует пластическому механизму неразрезной балки, изображенному на рис. 24.8, г, воспользуемся кинематическим методом.

Непосредственно из рассмотрений рис. 24.8, г устанавливаем связь между перемещениями первого и второго пролетов шарниров:

$$\delta_1 = 2c\delta_2/l, \quad (24.23)$$

где c — координата, определяющая местоположение первого пролетного шарнира. Приравняем к нулю сумму работ всех внешних и внутренних сил на возможном перемещении пластического механизма получим

$$\delta \Delta = Q \frac{\delta_1}{2} + P\delta_2 - M_{sp} \frac{\delta_1}{1-c} - M_{sp} \frac{\delta_1}{c} - 2M_{sp} \frac{\delta_2}{l/2} = 0,$$

или, если учесть зависимость (24.23) а то, что по условию $Q = P \cdot (1+c/l) - M_{sp} [2(l/c) - 4] = 0$. Отсюда

$$P = 2M_{sp} (3l - 2c) / (l^2 - c^2). \quad (24.24)$$

Из условия $\frac{\partial P}{\partial c} = 0$ находим $c = 0,386l$. Подставив это значение c в (24.24), определим окончательное значение предельной нагрузки для третьего вида пластического механизма:

$$P_{sp}^{(c)} = 5,24q, W^2/l. \quad (24.25)$$

Из трех полученных значений P_{sp} (24.22), (24.25) предельной нагрузкой данной балки будет наименьшая, т. е. $P_{sp} = 5,24q, W^2/l$.

Предельная нагрузка неразрезной балки ступенчато-переменного сечения. Если в пределах пролета сечение не меняется ($P_1 = \text{const}$), то в разных пролетах различны, но при расчете предельной нагрузки в качестве предельного момента в пластическом шарнире на промежуточных опорах из двух предельных моментов смежных пролетов нужно брать меньший.

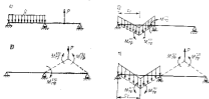


Рис. 24.10

Пусть, например, двухпролетная балка, изображенная на рис. 24.10, а, имеет различные площади сечений пролетов. Предельный момент в первом пролете равен $M_{\text{оп}}^{12}$, а во втором $M_{\text{оп}}^{23}$, причем $M_{\text{оп}}^{12} < M_{\text{оп}}^{23}$. Здесь вновь возможны те же три разных вида пластических механизмов (рис. 24.10, б, в, г). Для каждого возможного вида пластического механизма с помощью кинематического



Рис. 24.11



Рис. 24.12

метода определяют соответствующую предельную нагрузку. Из полученных трех значений предельной нагрузки для рассматриваемой балки будет наименьшая.

Предельная нагрузка простой рамы. Имеем простую судовую раму, нагруженную согласно рис. 24.11. Заданы нагрузка, длина, предельные моменты для каждого стержня рамы. Требуется определить значение предельной нагрузки.

Для рассматриваемой рамы, как это нетрудно видеть, возможны три вида пластических механизмов в предельном состоянии рамы, приведенные на рис. 24.12.

Для определения предельной интенсивности рамы $q_{\text{пр}}$, необходимо предварительно определить предельные интенсивности для каждого вида шарнирных механизмов. Наименьшая из этих величин и будет предельной нагрузкой рассматриваемой рамы.

Постоянные c и d , характеризующие расположение пластических шарниров в пролете бортовых ветвей рамы определяют из условия максимума предельной нагрузки.

Наконец, напомним еще одно важное положение, которое следует строго соблюдать при определении предельных нагрузок стержневых систем k , в частности, рамы: если в одном узле сходятся два стержня, то предельный момент, который может быть передан через этот узел, определяется прочностью более слабого стержня.

Предельная нагрузка сложной рамы. При определении предельной нагрузки сложной рамы, так же как и в случае простых рам, устанавливают все возможные виды пластических механизмов, которые могут возникнуть в предельном состоянии рассматриваемой рамы. Далее для каждого пластического механизма с помощью кинематического метода находят предельную нагрузку. Наименьшая из полученных значений предельных нагрузок для разных видов пластического механизма и будет искомым предельной нагрузкой для рассматриваемой сложной рамы.

Как видно, с эрипинимальной стороны расчетная схема определения предельной нагрузки сложных рам аналогична таковой для простых рам. Увеличивается лишь объем расчетов ввиду увеличения числа возможных видов пластических шарнирных механизмов.

§ 24.3. Предельные нагрузки перекрытий

Перекрытие рассматривается как плоская система, состоящая из балок двух направлений, перпендикулярных друг к другу и открытых на жесткий контур. Внешняя нагрузка действует перпендикулярно к плоскости перекрытия. Предполагается идеальной система допущений, используемая для расчета перекрытий в упругой области (см. гл. 17): балки работают на поперечный изгиб, в узлах пересечения стержней возникает только реакция, перпендикулярная к плоскости перекрытия.

Для определения предельной нагрузки перекрытия могут быть применены статический или кинематический метод теории предельного равновесия.

Пусть требуется найти предельную нагрузку для перекрытия с большим числом балок в обоих направлениях в одной изерекрестной плоскости. Перекрытие нагружено равномерно распределенной нагрузкой интенсивностью q (рис. 24.13). Перекрестная связь



Рис. 24.13

жестко заделана на контуре, балки же главного направления — свободно опираются.

Приступая к решению поставленной задачи, мы не знаем, где раньше возникнет предельное состояние: в балках главного направления или в поперечной связи. Необходимо, как и раньше, рассмотреть все возможные варианты пластических механизмов.

Предположим, что предельное состояние раньше наступило в балках главного направления. Величина предельной нагрузки определяется расчетом большего пролета балки главного направления. Если для определенности положить, что $d > c$, то тогда, как это следует из табл. 13.1, предельная нагрузка балки главного направления будет равна

$$q_{sp}^{(1)} = 11,65 M_{sp}^{(1)} / (ad^2), \quad (24.26)$$

где $M_{sp}^{(1)}$ — предельный изгибающий момент сечений балок главного направления.

Определим реакции, действующие на поперекрестную связь со стороны балок главного направления. В предельном состоянии



Рис. 24.14

балку главного направления (рис. 24.14, а) можно разбить на две статически определяемые балки (24.14, б), заменив действие опорного пролета на другой внешним изгибающим моментом $M_{sp}^{(1)}$.

Искомую реакцию со стороны балки главного направления на поперекрестную связь найдем как сумму реакций левой балки на правой опоре и правой балки на левой опоре:

$$R_1 = q_{sp} a \frac{c}{2} + \frac{M_{sp}^{(1)}}{c} + q_{sp} a \frac{d}{2} + \frac{M_{sp}^{(1)}}{d} = q_{sp} a \frac{l}{2} + \frac{M_{sp}^{(1)}}{c} + \frac{M_{sp}^{(1)}}{d},$$

или, если учесть (24.26),

$$R_1 = (M_{sp}^{(1)} / l) (0,5l^2 / d^2 + lc + ld). \quad (24.27)$$

Определим теперь предельную нагрузку поперекрестной связи как призматической балки, жестко заделанной по концам и нагруженной равномерно распределенной нагрузкой интенсивностью p (см. табл. 13.1):

$$p_{sp} = 16 M_{sp}^{(2)} / l^2, \quad (24.28)$$

где $M_{sp}^{(2)}$ — предельный момент поперечного сечения поперекрестной связи.

Заменим нагрузку p_{sp} рядом равных сосредоточенных сил R_2 , находящихся на расстоянии a друг от друга:

$$R_2 = q_{sp} a = 16 M_{sp}^{(2)} a / l^2, \quad (24.29)$$

Теперь легко записать условие, при соблюдении которого предельная нагрузка на поперекрестие будет определяться формулой (24.26),

$$\frac{R_2}{R_1} = \frac{16 M_{sp}^{(2)} a}{M_{sp}^{(1)} l^2} \frac{1}{0,5 \frac{l^2}{d^2} + \frac{l}{c} + \frac{l}{d}} > 1, \quad (24.30)$$

Если $R_2 / R_1 = 1$, то предельное состояние наступит одновременно как в балках главного направления, так и в поперекрестной связи.

Если $R_2 / R_1 < 1$, то предельное состояние наступает раньше в поперекрестной связи. Однако в этом случае наступление предельного состояния поперекрестной связи не означает исчерпания несущей способности поперекрестия: до момента возникновения предельного состояния в балках главного направления поперекрестие способно воспринимать дополнительную нагрузку. Для определения предельной нагрузки поперекрестия при $R_2 / R_1 < 1$ необходимо найти предельную нагрузку балки главного направления, нагруженной равномерной нагрузкой q и известной силой — реакцией R_2 со стороны поперекрестной связи (рис. 24.15).

Так как выше было принято, что $d > c$, максимальный пролетный момент возникает в первом пролете балки. Запишем выражение для текущего момента балки, изображенной на рис. 24.15, в интервале $0 \leq x \leq d$:

$$M(x) = \frac{qx^2}{2} \left[\frac{x}{l} - \left(\frac{x}{l} \right)^2 \right] - R_2 \frac{x}{l} x. \quad (24.31)$$

Значение x , при котором пролетный момент достигает максимума, найдем из условия

$$\frac{dM(x)}{dx} = -R_2 \frac{c}{l} + \frac{qx}{2} \left(1 - 2 \frac{x}{l} \right) = 0,$$

откуда

$$x/l = [1 - 2R_2 c / (qa^2)] / 2.$$

Подставив это значение x/l в выражение (24.31) и приравняв максимальный пролетный момент предельному моменту $M_{sp}^{(2)}$, получим следующее равенство:

$$M_{sp}^{(2)} = (qa^2 / 2 - R_2 c) [1 - 2R_2 c / (qa^2)] / 2 - (qa^2 / 8) [1 - 2R_2 c / (qa^2)]^2,$$

откуда после несложных преобразований находим значение предельной нагрузки поперекрестия при $R_2 < R_1$:

$$q_{sp}^{(2)} = [2 / (l^2 a)] [R_2 c + 2M_{sp}^{(2)} (1 + \sqrt{1 + R_2 c / M_{sp}^{(2)}})]. \quad (24.32)$$



Рис. 24.15

Наименьшее из значений (24.35) и (24.32) является окончательным значением предельной нагрузки $q_{\text{пр}}$ для рассматриваемого перекрытия.

Часто перед расчетником ставится задача, обратная той, которая рассматривалась выше, а именно: требуется определить прочность связей перекрытия, способного воспринять заданную предельную нагрузку.

Можно полагать, что перекрытие будет спроектировано наиболее рационально с точки зрения обеспечения максимальной предельной прочности, если предельное состояние во всех его балках наступит одновременно. Для рассмотренного нами выше перекрытия условие одновременного наступления предельного состояния как в балках главного направления, так и в перекрестных связях, запишется, очевидно, в виде $R_1 = R_2$, откуда

$$\frac{M_{\text{пр}}^{\text{II}}}{M_{\text{пр}}^{\text{I}}} = \frac{L^2}{16b^2} \left(0,5 \frac{l^2}{d^2} + \frac{l}{c} + \frac{l}{d} \right) \quad (24.33)$$

Предельный момент балки главного направления определим, воспользовавшись выражением (24.26) при $q_{\text{пр}}^{\text{II}} = q_{\text{пр}}$:

$$M_{\text{пр}}^{\text{I}} = q_{\text{пр}} a d^2 / 11,66. \quad (24.34)$$

После чего с помощью зависимости (24.33) найдем значение предельного момента сечения перекрестной связи $M_{\text{пр}}^{\text{II}}$.

В заключение заметим, что так же просто, как и для перекрытия с одной перекрестной связью, решается вопрос проектирования перекрытия с несколькими перекрестными связями, которое способно воспринять заданную предельную нагрузку $q_{\text{пр}}$. Из рассмотренной работы балки главного направления такого перекрытия следует подобрать расстояния между перекрестными связями так, чтобы предельная погонная нагрузка каждого из этих пролетов была бы равна $q_{\text{пр}} = q_{\text{пр}}$.

Дальнейшая процедура определения предельных моментов сечений балок главного направления $M_{\text{пр}}$ в перекрестных связях $M_{\text{пр}}^{\text{II}}$ аналогична изложенной выше для перекрытия с одной перекрестной связью.

§ 24.4. Влияние перерезывающих сил на предельные нагрузки балок

До сих пор при рассмотрении изгиба балок принималось, что предельное состояние в их поперечных сечениях вызывается действующими в них нормальными напряжениями σ_x . Такое напряженное состояние возможно лишь в условиях чистого изгиба. Если же в сечении балки кроме изгибающего момента действует еще и перерезывающая сила $N(x)$, то значение предельного момента для этого сечения должно уменьшиться.

Условие наступления предельного состояния при совместном действии в сечении изгибающего момента и перерезывающей силы. Строгое решение задачи влияния перерезывающей силы на значение предельной нагрузки на основе теории малых упругоупластических деформаций приводит к большим громоздким выкладкам. Поэтому большинство исследователей по данному вопросу носят приближенный характер.

При изгибе балки в плоскости дог отличными от нуля будут компоненты напряжений σ_x и τ_{xy} . Они связаны между собой уравнением равновесия плоской задачи теории упругости

$$\frac{\partial \sigma_x}{\partial x} + \frac{\partial \tau_{xy}}{\partial y} = 0, \quad (24.35)$$

Интегрируя это уравнение по y , получаем

$$\tau = \tau_{xy} = - \int_{-b}^y \frac{\partial \sigma_x}{\partial x} dy. \quad (24.36)$$

Для балки, изготовленной из идеального упругоупластического материала, распределение нормальных напряжений по высоте сечения показано на рис. 24.16, а.

В пределах зоны текучести приращение напряжений $\Delta \sigma$, равно нулю и, следовательно, в этой зоне сечения касательные напряжения, как это следует из формулы (24.36), будут отсутствовать. Таким образом, касательные напряжения действуют лишь в пределах упругого ядра сечения. Окончательная формула для определения касательных напряжений в сечении балки из идеального упругоупластического материала будет иметь вид

$$\tau = NS^2 / I^2 b, \quad (24.37)$$

где S^2 — статический момент площади упругой зоны сечения, лежащей выше рассматриваемого волокна, взятый относительно нейтральной оси; I — момент инерции площади упругой зоны сечения относительно ее нейтральной оси; b — ширина сечения в месте расположения рассматриваемого волокна. Из выражения (24.37) видно, что распределение касательных напряжений по высоте упругой зоны полностью соответствует закону распределения их в идеальном упругом балке. Для прямоугольного сечения распределение касательных напряжений по высоте будет параболическим (рис. 24.16, б). При этом перерезывающая сила в сечении равна

$$N = \int \tau dF = 2b \tau_{\text{max}} \delta, \quad (24.38)$$

где τ_{max} — максимальное значение касательного напряжения, действующего на уровне нейтральной оси сечения.



Рис. 24.16

Условие текучести Мизеса в произвольной точке сечения балки, испытывающей плоский изгиб, запишется в виде

$$\sigma_x^2 + 3\tau_{xz}^2 = \sigma_T^2 \quad (24.39)$$

Из выражения (24.39) видно, что текучесть материала на нейтральной оси, где $\sigma_x = 0$, наступает при достижении касательным напряжением значения

$$\tau_{max} = \tau_{xz} = \sigma_T / \sqrt{3} \quad (24.40)$$

Подставляя (24.40) в формулу (24.38), получаем значение перерезывающей силы, действие которой в сечении вызывает текучесть материала по уровню нейтральной оси:

$$N = 2b\sigma_T h / (3\sqrt{3}) \quad (24.41)$$

Максимальное же значение перерезывающей силы сечение воспринимает, находясь в условиях чистого сдвига, в момент наступления в нем текучести материала. Это значение равно

$$N_{cp} = b\sigma_T h / \sqrt{3} \quad (24.42)$$

Для сечения, в котором изгибающий момент равен нулю, выражением (24.42) определяется предельное значение перерезывающей силы, превышение которого приводит к появлению недопустимо больших деформаций склеива. Если теоретически сосредоточить их в одном сечении, то возникает смещение друг относительно друга частей балки, прилегающих к сечению, — образуется так называемый пластический шарнир сдвига. Пластический шарнир сдвига имеет много общего с введенным ранее пластическим шарниром вращения: он также является односторонним шарниром и при его возникновении система приобретает одну дополнительную степень кинематической изменчивости.

Если принять за неизменные характер изменения напряжений σ_x по высоте (см. рис. 24.16, а), момент внутренних сил для прямоугольного сечения при размере упругой области a будет равен

$$M = \sigma_x F_x - \sigma^2 b x^2 / 12 \quad (24.43)$$

Исключая из полученного выражения с помощью формулы (24.41) величину a , получим следующую зависимость:

$$|M/M_{cp}| + 3N^2/4N_{cp}^2 = 1 \quad (24.44)$$

Уравнением (24.44) определяется совокупность значений M и N , совместное действие которых вызывает в прямоугольном сечении балки из идеального упругопластического материала наступление предельного состояния. Графическое представление уравнения (24.44) приведено на рис. 24.17 (кривая 1). График на рис. 24.17 построен с учетом того обстоятельства, что если $M \ll M_{cp}$; $N/5 = M_{cp}$, то предельное значение перерезывающей силы будет достигнута в равном

$$N_T = 2b\sigma_T h / (3\sqrt{3}) \quad (24.45)$$

Приведенное выше, так называемое решение Н. Д. Жудина (24.44) не дает, по существу, предельных значений величин M и N , поскольку условие текучести (24.44) выполняется лишь для зон, занятых продольными напряжениями, равными σ_x , а на нейтральной оси, где $\tau = \sigma_T / \sqrt{3}$. Можно показать, что решение Н. Д. Жудина приводит к недооценке несущей способности сечения балки.

Заслуживает внимания решение, разработанное в ЦНИИ им. акад. А. Н. Крылова. В нем также сохраняется предположе-

ние, что касательные напряжения возникают лишь в рабочем упругом ядре сечения балки. Для того чтобы условия текучести (24.39) при выбранном законе распределения σ_x по высоте сечения соблюдались во всех точках, касательные напряжения должны быть равны $\tau_{xz} = \sigma_x \sqrt{1 - \sigma_x^2/\sigma_T^2} / \sqrt{3}$. Отсюда получаем значение перерезывающей силы, которая совместно с действующим в сечении изгибающим моментом M вызывает в нем возникновение предельного состояния:

$$N = \frac{\sigma_T}{\sqrt{3}} \int_y \sqrt{1 - \frac{\sigma_x^2}{\sigma_T^2}} dF_x \quad (24.46)$$

где F_x — площадь упругого ядра сечения. Если далее исходить из линейного закона распределения нормальных напряжений по высоте упругого ядра (см. рис. 24.16, а), то зависимость между изгибающим моментом и перерезывающей силой в предельном состоянии сечения балки будет иметь следующий вид:

$$|M/M_{cp}| + 16N^2/(3\pi^2 N_{cp}^2) = 1 \quad (24.47)$$

Приведем еще одно представляющее интерес решение, полученное С. А. Пальчезским, который делит сечение балки на две зоны: первая зона, содержащая нейтральную ось, воспринимает лишь перерезывающую силу; оставшаяся же часть сечения образует вторую зону, воспринимающую изгибающий момент с помощью напряжений (рис. 24.18). Исходя из рис. 24.18 можем выписать следующие выражения для определения изгибающего момента и перерезывающей силы сечения:

$$M = \sigma_T b (h^2/4 - a^2/4) = M_{cp} - b\sigma_T^2 a^2/4; \quad N = ab\sigma_T/\sqrt{3}$$

Исключая из первой зависимости с помощью второй величину a , после несложных преобразований получим

$$|M/M_{cp}| + N^2/N_{cp}^2 = 1 \quad (24.48)$$

Итак, выше приведены три разных условия наступления предельного состояния сечения, полученные соответственно Н. Д. Жу-



Рис. 24.17

длина (24.44), ЦНИИ им. акад. А. Н. Крылова (24.47) и С. А. Пальмевски (24.48). Для сравнения эти три зависимости изображены на рис. 24.17 (кривая 1 — решение И. Д. Жулина, 2 — ЦНИИ им. А. Н. Крылова, 3 — С. А. Пальмевского). Как видно, все три решения достаточно хорошо согласуются друг с другом.

Особенности предельного состояния сечения широкополых стальных балок. У таких балок концы воспринимают изгибающий момент, а стенка — перерезывающую силу, т. е. в сечении образуются две зоны, одна из которых (полка) нагружена нормально, а другая зона (стенка) — касательными напряжениями. Для



Рис. 24.18



Рис. 24.19

таких балок наступление фибровой текучести при изгибе практически означает достижение изгибающим моментом его предельного значения: $M_i \approx M_{ог}$, а появление текучести в районе нейтральной оси соответствует переходу в предельное состояние всей площади стенки, т. е. $N_i \approx N_{ог} = 0,57\omega\sigma_0$, где ω — площадь сечения стенки.

В связи с вышесказанным график значений M и N для предельного состояния сечения широкополной балки (с двумя осями симметрии) будет иметь вид, приведенный на рис. 24.19.

Таким образом, одновременный учет изгибающего момента M и перерезывающей силы N приводит к тому, что предельное состояние сечения может наступить при одном из следующих условий:

- $M = M_{ог}$, $N < N_{ог}$ — в сечении образуется пластический шарнир вращения;
- $N = N_{ог}$, $M < M_{ог}$ — в сечении возникает пластический шарнир сдвига;
- $M = M_{ог}$, $N = N_{ог}$ — в сечении одновременно образуются пластические шарниры вращения и сдвига.

Предельная нагрузка балки. Предельное состояние балки определяется моментом ее превращения в пластический механизм благодаря образованию в отдельных сечениях пластических шарниров вращения или сдвига.

При расчете предельной нагрузки статическим методом процедура описанной, изложенная в § 24.1 и не учитывающая влияния перерезывающих сил, принципиально не меняется. Здесь лишь

наряду с ограничением (24.5) должно удовлетворяться также условие

$$|N| \leq N_{ог} \quad (24.54)$$

При использовании кинематического метода перемещения пластического механизма следует допускать возможность сдвигов



Рис. 24.20

сдвига в каждом пластическом шарнире сдвига. На рис. 24.20, б показан пластический механизм свободно опертой балки, изображенной на рис. 24.20, а, который получился из-за образования на

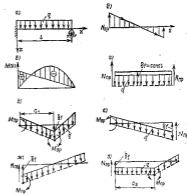


Рис. 24.21

ее опорах двух шарниров сдвига. В каждом из этих шарниров перерезывающая сила $N_{ог}$ совершает работу на соответствующем смещении данного шарнира сдвига.

Найдем предельную нагрузку q_{sp} балки, жестко заделанной одним концом и шарнирно опёртой другим (рис. 24.21, а), нагруженной равномерно распределённой нагрузкой с учетом влияния перерезывающих сил.

Выражения для перерезывающей силы и изгибающего момента следующие:

$$N(x) = N(0) + qx; \quad M(x) = M(0) + N(0)x + qx^2/2. \quad (24.55)$$

В сечениях, где $N(x)$ и $M(x)$ имеют экстремумы (рис. 24.21, б и в), могут образоваться соответственно шарниры сдвига и сжатия. Нетрудно получить полный набор кинематически возможных пластических механизмов (рис. 24.21, г—з).

Определим значение предельной нагрузки для каждого из упомянутых выше пластических механизмов.

Сдвиговой пластический механизм (рис. 24.21, г). Приравняем сумму работ всех сил, действующих на балку в предельном состоянии, на соответствующих ей перемещениях эластического механизма, получим $q\delta l^2 - 2N_{sp}\delta l = 0$, откуда

$$q_{sp}^{(г)} = 2N_{sp}/l.$$

Изгибный пластический механизм (рис. 24.21, д). Значение предельной нагрузки для данного вида пластического механизма, указанное в табл. 13.1, следующее:

$$q_{sp}^{(д)} = 11,66M_{sp}/l^2.$$

Комбинированный пластический механизм 1 (рис. 24.21, е). На основании принципа возможных перемещений $q\delta l^2/2 - N_{sp}\delta l - M_{sp}\delta l/l = 0$. Тогда

$$q_{sp}^{(е)} = 2M_{sp}/l^2 + 2N_{sp}/l.$$

Комбинированный пластический механизм 2 (рис. 24.21, ж). Согласно принципу возможных перемещений $q\delta l^2/2 - N_{sp}\delta l - M_{sp}\delta l/l = 0$, откуда

$$q_{sp}^{(ж)} = 2M_{sp}/l^2 + 2N_{sp}/l.$$

Полученное значение равно $q_{sp}^{(г)}$.

Комбинированный пластический механизм 3 (рис. 23.23, з). На основании принципа возможных перемещений $q_2\delta l^2 + q_1(l - c_2)\delta l/2 - N_{sp}\delta l - M_{sp}\delta l/l - c_2 = 0$, откуда

$$q_2^2 = 2N_{sp}(l + c_2) + 2M_{sp}(l^2 - c_2^2). \quad (24.60)$$

Значение c_2 определяется из условия $\frac{\partial q_2}{\partial c_2} = 0$. В результате получим

$$c_2/l = 1 + l + \sqrt{l + 2l}. \quad (24.61)$$

$$l = N_{sp}/M_{sp}. \quad (24.62)$$

Вносим найденное из (24.61) значение l в выражение (24.60), после несложных выкладок получаем следующее значение предельной нагрузки для рассматриваемого вида пластического механизма:

$$q_{sp}^{(з)} = (1 + l + \sqrt{l + 2l})M_{sp}/l^2. \quad (24.63)$$

Следует кинематической экстремальной теореме (24.20), из найденных значений q_{sp} нужно выбрать наименьшее. Так как $q_{sp}^{(г)} = q_{sp}^{(ж)} > q_{sp}^{(д)}$, комбинированные механизмы 1 и 2 реализоваться не могут. Для остальных механизмов условие минимума приводит к следующим результатам:

$$q_{sp} = \begin{cases} 2N_{sp}/l & \text{при } l \leq 4; \\ (1 + l + \sqrt{l + 2l})M_{sp} & \text{при } 4 \leq l \leq 6,82; \\ 11,66M_{sp}/l^2 & \text{при } l \geq 6,82. \end{cases}$$

Контрольные вопросы

1. Что такое предельная нагрузка?
2. Покажите логика пластической шарниры и предельный изгибающий момент?
3. Как определяется пластический момент сопротивления для произвольного сечения?
4. В чем отличие кинематического шарнира от обрыва металла?
5. Изложите основные статистического метода на примере определения предельной нагрузки свободно опёртой эрметической балки, нагруженной равномерно распределённой нагрузкой.
6. В чем особенность применения статистического метода при определении предельной нагрузки параллельной балки?
7. В чем заключается статистическая экстремальная теорема?
8. Покажите сущность кинематического метода определения предельной нагрузки.
9. Какое практическое значение имеют экстремальные теоремы при параллельных предельных нагрузках?
10. Изложите последовательность расчета предельной нагрузки для простой стальной рамы.
11. Изложите основные отличия в методах определения предельных нагрузок простой и сложной рамы?
12. Изложите схему определения предельной нагрузки простейшего стального перекрытия (большое число одинаковых балок главного направления и одна перерезывающая связь).
13. Сформулируйте условия наступления предельного состояния при совместном действии в сечении изгибающего момента и сдвигающей силы.
14. В чем состоит особенность определения предельного состояния сечения широкой стальной стальной балки?
15. Приведите общую схему определения предельной нагрузки стальной эрметической балки при учете влияния перерезывающих сил.

ПРЕДМЕТНЫЙ УКАЗАТЕЛЬ

Вагза:
 круглая 11
 многогранная 41
 на уступе основания 102
 аксиоматическая 20, 134, 221
 шаровая 41, 121
 одноосевая 20
 сферическая 160
 полубокошпильная (на уступе основания) 122
 коническая 27
 статически определенная 29
 — неопределенная 25
 Беммелю 199

Гауссова:
 Вейера 103
 Каргофа 271
 дифференциальности контура сечения тороидальной балки 184
 плоская сечений 17

Дополнительное изогнутое сечение стержня (балки) 182

Задача:
 жесткая 14
 упругая 15
Запол:
 Гук 17, 182, 277, 295, 354

Начеб:
 балка
 — на уступе основания 102
 — сжатой 204
 шаровая 151
 двоякая 276, 326
 — на цилиндрической поверхности 324
 тороидального стержня 182
 цилиндрической оболочки 348

Кольцо:
 круглое 54
 составное 96

Коэффициент:
 конуса 155
 жесткости 14, 102
 окрестной пары 118
 податливости 14, 111
 расвера 217
 радиусовый 329, 340
Криволиней:
 оболочка 182
 стержень 182

Матрица жесткости:
 обобщенная 61
 элемента 70, 140, 227, 306

Метод:
 Бубнова — Галеркина 225, 243, 305
 гомогенный 166
 лемма Шварца 235
 конуса вращения 76, 98, 134, 182, 226, 304, 325
 изогнутого стержня 23, 168, 186
 изогнутого равновесия (статический) 235, 366
 переменной 70
 подбора стержня 177
 Рунге 135, 233, 242, 302, 323
 Рундмана 178
 сечений 326
 сдвиг 43, 60, 84
 симметричный 72, 84
 угловых деформаций 65, 84

Натурная:
 критическая вершина 235
 — висячая 233
 предельная 294
 шаровая 235, 366

Оболочка:
 круглая цилиндрическая 348
 аксиоматическая 348, 354, 359
 аксиоматическая 365, 375
 тонкая 359

Перекрытие:
 плоское 151

— с малыми числами балки 155
 — с несходящимися перекрестными силами 166
 — с одной перекрестной силой 169

Пластина:
 гибкая 264
 жесткая 284, 285
 ортотропная 295
 аксиоматическая 318
 тонкая 276, 278

Потенциальная энергия:
 балки 140, 207
 цилиндрической стержня 151
 оболочки 363
 упругого основания 190
 приращение эквивалентности действия сил 28, 306

Рамы:
 жесткая плоская 59
 круглая 58
 жесткая плоская 59
 жесткоэластичная 76
 плоская жесткая на жестком стержне 67

Резьба:
 Жукова 401
 Лиса 230
 Ноль 285
 Пальмова 401

Средняя жесткость пластинки 270
 — оболочки 346

Стержни:
 круглая 182
 составная 141

Торона:
 Жуковского — Шварца 18
 цилиндрической поверхности 388, 391
 пятиугольная 42

Упругие:
 дифференциальные уравнения балки 20
 — — на уступе основания 108
 — оболочки круглой цилиндрической 353
 — — пластинки 275, 284, 294
 — — составного стержня 154
 Кармана 279
 неравномерности углами переменной 46
 равновесия 48
 устойчивости оболочки 370
 — пластины 358, 359, 322
 — стержня 229

Устойчивость:
 оболочки круглой цилиндрической 353
 переменной 256
 плоская 366
 плоской формы жесткая 265
 стержня 229, 231
 — в упругоэластичной области 346

Функции:
 Бубнова 112, 211
 Даркса 23, 105
 цилиндрического стержня 24, 109
 Карманова 107
 Пуассона 106
 Эрмита 179, 229

Центр тяжести 34, 196

СПИСОК ЛИТЕРАТУРЫ

1. Александров А. В., Ладенков Б. В., Шаповалов Н. В. Строительная механика: Трехмерные пространственные системы. М.: Стройиздат, 1983. 468 с.
2. Афанасьев Н. А. Основы расчета на устойчивость упругих систем. М.: Машиностроение, 1978. 306 с.
3. Болотин Г. В., Афанасьев Н. А., Уткин В. М. Строительная механика ракет. М.: Высшая школа, 1984. 261 с.
4. Барановский М. В. Конструкция корпуса вертолета судна. Л.: Судостроение, 1981. 552 с.
5. Белецкий Л. М. Влияние деформации стальных конструкций. Л.: Судостроение, 1973. 204 с.
6. Белкин В. И. Конструкция корпуса плавучих кранов. Л.: Изд-во ВМФЛОУ им. Ф. Э. Дзержинского, 1978. 374 с.
7. Бельман Р. Л. Механика тонкостенных конструкций. М.: Машиностроение, 1977. 488 с.
8. Болотин Г. В., Палай О. М. Прочность и конструкция корпуса судна квант типов. Л.: Судостроение, 1980 с.
9. Болотин Г. В. Нелинейно-упругие методы теории упругих систем. М.: Физматлит, 1981. 340 с.
10. Булюев Н. Г. Избранные труды. Л.: Судостроение, 1966. 440 с.
11. Булюев Н. Г. Строительная механика: В 2 ч. Спб., 1912. Ч. 1.
12. Булюев Н. Г. То же. 1914. Ч. II.
13. Вайсман А. С. Тонкостенные упругие стержни. М.: Физматлит, 1969. 568 с.
14. Вайсман А. С. Устойчивость деформируемых систем. М.: Наука, 1983. 598 с.
15. Гальдинштейн А. Л. Теория упругих тонких оболочек. М.: ГИИЛ, 1963. 614 с.
16. Гуртовое В. Н., Кабанов В. В. Устойчивость оболочек. М.: Наука, 1978. 280 с.
17. Гурт А. Н. Основы трехмерной теории устойчивости деформируемых тел. Киев: Выда школы, 1984. 512 с.
18. Давиденко Н. Л. Статика упругопластических балок судовых конструкций. Л.: Судостроение, 1967. 264 с.
19. Еванов Н. Ф., Степанов О. М. Предельные состояния и надежность вентрильной решетки судна. Л.: Судостроение, 1979. 152 с.
20. Зайченко во строительной механике вертолетов. Ш. С. Довгань, В. А. Постков, Н. Л. Сиверс, В. М. Кузнецов. Л.: Судостроение, 1972. 224 с.
21. Зинченко О. С. Метод конечных элементов в ползании. М.: Мир, 1976. 642 с.
22. Калачин В. С., Постков В. А. Основы теории оболочек. Л.: ЛКИ, 1974. 200 с.
23. Калачин В. В. Расчет сферических систем методом конечных элементов и распределения моментов. Свердловск: Изд-во Урал. зап. инст., 1977. 80 с.
24. Калачин В. Д. Устойчивость упругопластических систем. М.: Наука, 1980. 292 с.
25. Кароткин Я. Я., Постков В. А., Сиверс Н. Л. Строительная механика вертолетов в теории упругости: В 2-х т. Л.: Судостроение, 1968. Т. 1. 422 с.
26. Кароткин Я. Я., Постков В. А., Сиверс Н. Л. Прочность корабля. Л.: Судостроение, 1974. 432 с.
27. Карпов А. А. Прочность корабля. Л.: Судостроение, 1966. 384 с.
28. Мельник Н. П. Прикладная теория пластичности в ползучести. М.: Машиностроение, 1975. 268 с.
29. Матвеевич А. И. Расчет стержневых неупругих систем в матричной форме. Л.: Стройиздат, 196 с.
30. Метод конечных элементов/И. М. Баранов, И. М. Булюев, А. С. Герасимов и др. Под ред. П. М. Баранова. Киев: Выда школы, 1983. 376 с.
31. Методы расчета сферических систем, пластин и оболочек с использованием ЭВМ: В 2 ч./А. В. Александров, Н. Н. Шаповалов, В. А. Сиверс. М.: Стройиздат, 1976. Ч. 1—2.
32. Новожилов В. В. Теория тонких оболочек. Л.: Судостроение, 1962. 304 с.
33. Ольбилов П. М., Колтунов М. А. Оболочки и пластинки. М.: МГУ, 1969. 696 с.
34. Палай О. М., Сиверс В. Е. Анизотропные оболочки в судостроении. Л.: Судостроение, 1977. 282 с.
35. Павлова Я. Г., Губинов Н. М. Устойчивость и выбежка упругих систем. 2-е изд. М.: Наука, 1967. 430 с.
36. Павлова Я. Г. Строительная механика корабля: В 2 ч. М.: Морской транспорт, 1945—1967. Ч. 1, 2. Т. 1, 2.
37. Павловский П. Ф. Строительная механика корабля: В 2 ч. Л.: Судостроение, 1941. Ч. II.
38. Павловский П. Ф. Труды по прочности корабля. Л.: Судостроение, 1966. 680 с.
39. Павловский П. Ф. Теория упругости. М.: Оборонгиз, 1959. 540 с.
40. Постков В. А. Численные методы расчета судовых конструкций. Л.: Судостроение, 1977. 280 с.
41. Постков В. А., Кароткин Я. Я. Метод конечных элементов в расчетах судовых конструкций. Л.: Судостроение, 1974. 342 с.
42. Постков В. А., Калачин В. С., Роговцев Д. М. Вентриль вертолета. Л.: Судостроение, 1983. 248 с.
43. Прочность. Устойчивость. Колебания. Справочник: В 3 т./Под ред. А. И. Бургура, Я. Г. Павлова. М.: Машиностроение, 1968. Т. 1—3.
44. Рязановский А. Р. Теория остовных стержней строительных конструкций. М.: Стройиздат, 1948. 280 с.
45. Рязановский А. Р. Устойчивость равновесия упругих систем. М.: ГИИЛ, 1955. 478 с.
46. Рязановский А. Р. Сферические системы как системы конечных элементов. Л.: ЛГУ, 1976. 232 с.
47. Рязановский Д. И. Расчет сферических рам с помощью метода конечных элементов в матричной форме. Л.: ЛКИ, 1976. 39 с.
48. Сиверс Н. Л. Расчет и конструирование судовых подстроек. Л.: Судостроение, 1966.
49. Сидоров И. С., Абрамкин К. Г., Серезин В. Я. Прочность и устойчивость пластин и оболочек судового корпуса. Л.: Судостроение, 1967. 409 с.
50. Справочник по строительной механике корабля: В 3 т./Под ред. акад. Ю. А. Шаповалова. Л.: Судостроение, 1968. Т. 1—3.
51. Справочник по строительной механике корабля: В 3 т./Под ред. проф. О. М. Палай. Л.: Судостроение, 1982. Т. 1—3.
52. Старицкий В. И. Расчет оболочки на прочность. М.: Машиностроение, 1984. 376 с.
53. Строительная механика: Сферические системы/А. Ф. Сырванц, А. В. Александров, В. Я. Ладенков, Н. Н. Шаповалов. Под ред. А. Ф. Сырванца. М.: Стройиздат, 1981. 312 с.
54. Строительная механика корабля и теория упругости: В 2 т./А. А. Карпов, А. З. Ливанов, Р. А. Юсифов и др. Л.: Судостроение, 1968. Т. 2. 430 с.
55. Сырванц В. И., Кочманов Ю. И., Сидоровцев В. И. Строительная механика корабля и основы теории упругости. Л.: Судостроение, 1972. 720 с.
56. Тимпанов С. П. Устойчивость стержней, пластин и оболочек. М.: Наука, 1971. 809 с.

57. Таболинский С. В. Устойчивость уруков систем. М.: Гостехиздат, 1961.
 58. Лавинский А. А. Строительная механика самолета. М.: Оборонгиз, 1961.
 59. Учебный справочник по прочности судов и их элементов. В. Давыдов, Н. В. Митин, Н. П. Соколов и др. М.: Транспорт, 1978. 520 с.
 60. Филон А. Д. Практическая механика твердого деформируемого тела. В 3 т. М.: Наука, 1978. Т. 1—3.
 61. Филон А. Д., Соколов А. С. Строительная механика корабля. Л.: Речной транспорт, 1957. 444 с.
 62. Чурбановский В. С. Вопросы устойчивости в строительной механике корабля. Л.: Судостроение, 1971. 216 с.
 63. Чурбановский В. С. Числовые методы в строительной механике корабля. Л.: Судостроение, 1978. 374 с.
 64. Чурбановский В. С., Пидко О. М., Савро В. Е. Оболочки судовых конструкций. Л.: Судостроение, 1966. 280 с.

Предисловие	5
Выходные	6

РАЗДЕЛ I. КИЛЬ И УСТОЙЧИВОСТЬ СТЕРНИНОВ И СТЕРНИНОВЫХ СИСТЕМ

III

Глава 13. Киль и прямые балки	11
§ 13.1. Балка как один из основных конструктивных элементов судовой корпуса и как физическая модель при расчете некоторых сложных судовых конструкций	11
§ 13.2. Основные понятия и задачи теории тонкостенной теории килей балок	17
§ 13.3. Дифференциальные уравнения килей балки и его интегральное решение	20
§ 13.4. Местные изгибные параметры	23
§ 13.5. Приемки вычисления и справочные таблицы килей балки	29
§ 13.6. Определение изгибающих моментов при киле балки	31
§ 13.7. Изгиб балки с учетом деформаций ствита	37
§ 13.8. Многократные изгибные балки на выделенных участках опор	41
Теорема пяти моментов	41
Контрольные вопросы	51
Глава 14. Рамы, составленные из прямых стержней	53
§ 14.1. Рама как конструктивный элемент судовой корпуса. Классификация в зависимости	53
§ 14.2. Плоские простые рамы	59
§ 14.3. Плоские сложные рамы	67
§ 14.4. Пространственные рамы. Метод конечных элементов	76
§ 14.5. Общая характеристика методов расчета стержневых систем	83
Контрольные вопросы	87
Глава 15. Криволинейные рамы	88
§ 15.1. Криволинейные рамы как конструктивный элемент судовой корпуса. Основные допущения	88
§ 15.2. Определение перемещений статически определенными криволинейными рамы с помощью теории Кастинского. Разложение статической неопределенности рамы с использованием начала наименьшей работы	90
§ 15.3. Расчет круговых балок и конструкций из круговых дуг с радиальными силами	94
§ 15.4. Приближенные методы конечных элементов в расчетах криволинейных рам	99
Контрольные вопросы	101
Глава 16. Изгиб балки на уругом основании и родственные задачи	102
§ 16.1. Балка на уругом основании как модель и расчеты судовых конструкций	102
§ 16.2. Дифференциальные уравнения килей балки на сплошном уругом основании и его интеграл	103

§ 16.3. Определенные параметры гибки однопролетных балок на упругом основании	110
§ 16.4. Расчет упруго заданных и неразрезных балок, лежащих на сплошном упругом основании	117
§ 16.5. Гибка упругообойденной балки на упругом основании	123
§ 16.6. Учет влияния сдвига при определении прогибов балок на упругом основании	130
§ 16.7. Расчет изгибаемых балок, лежащих на упругом основании перпендикуляр жесткости	134
§ 16.8. Гибка составных стержней с упругим основанием	141
Контрольные вопросы	150
Глава 17. Гибка плоских перерезной	
§ 17.1. Плоские перерезной как модели судовых конструкций. Основные допущения	151
§ 17.2. Гибка перерезной с тоболением члном балок	156
§ 17.3. Гибка перерезной с одной перерезной стержнем и боковым члном балок сдвнго издрвления	160
§ 17.4. Анализ гнбга перерезной с одной перерезной стержнем	163
§ 17.5. Гибка перерезной с несколькими перерезными стержнями и боковым члном балок сдвнго издрвления	174
§ 17.6. Учет влияния деформаций сдвига при расчете перерезной	176
§ 17.7. Приближенные методы расчета плоских перерезной	178
Контрольные вопросы	184
Глава 18. Стенное кручение тонкостенных стержней	
§ 18.1. Основные зависимости теории стенового кручения и гнбга тонкостенных стержней открытого профиля	182
§ 18.2. Сторонние условия закрутки стержня. Метод гнбга в его определении	186
§ 18.3. Обобщенные сдвнги при гнбга в кручении тонкостенных профилей	194
§ 18.4. Интегрирование уравнений равновесия. Граничные условия. Алгоритм расчета	201
Контрольные вопросы	203
Глава 19. Сложный гнбга стержней	
§ 19.1. Основные понятия, зависимости и уравнения теории сложного гнбга стержней	204
§ 19.2. Сложный гнбга арматурованных стержней. Оценка влияния осевых сил на параметр гнбга	209
§ 19.3. Сложный гнбга стержня с упругим раскромом	216
§ 19.4. Расчет монопролетных стержней при сдвнгом гнбга	220
§ 19.5. Расчет однопролетных непрерывных стержней при сложном гнбга	223
Контрольные вопросы	228
Глава 20. Устойчивость стержней в стержневых системах	
§ 20.1. Общие понятия об устойчивости упругих систем и методах ее исследования	229
§ 20.2. Устойчивость центральных центрально-сжатых стержней	230
§ 20.3. Влияние отсуствия осевого момента Гунка на устойчивость стержней	240
§ 20.4. Устойчивость многопролетного стержня на равноотстоящих упругих опорах	251
§ 20.5. Устойчивость плоских судовых перерезной	254
§ 20.6. Понятие о потере устойчивости плоской формы гнбга	262
Контрольные вопросы	264

РАЗДЕЛ IV ГИБНЕ И УСТОЙЧИВОСТЬ ПЛОСКИХ И ОБОЛОЧЕК

Глава 21. Гибка и устойчивость плоских прямоугольных пластин		270
§ 21.1. Основные определения, гипотезы и зависимости		270
§ 21.2. Теория гнбга тонких прямоугольных пластин. Системы дифференциальных уравнений и граничные условия		274
§ 21.3. Классификация пластин		283
§ 21.4. Гибка жестких изотропных прямоугольных пластин		285
§ 21.5. Гибка жестких анизотропных прямоугольных пластин		292
§ 21.6. Приближенные методы решения задачи гнбга жесткой пластины		302
§ 21.7. Устойчивость прямоугольных пластин		308
§ 21.8. Устойчивость сжатых пластин, подверженных ребрнги жесткости		316
§ 21.9. Приближенные методы решения задачи устойчивости пластин		323
§ 21.10. Гибка пластин большого прогиба. Упругие пластин, потерявшие устойчивость, и некоторые специальные случаи		328
§ 21.11. Сложный гнбга пластин по цилиндрической поверхности. Определение ствнгов напряжений и радиальных коэффициентов		334
§ 21.12. Общие схемы расчета судовых тонкостенных конструкций		348
Контрольные вопросы		347
Глава 22. Гибка и устойчивость тонких круглых цилиндрических оболочек		348
§ 22.1. Основные понятия и допущения		348
§ 22.2. Кинематика деформации круглой цилиндрической оболочки		351
§ 22.3. Погонные условия и моменты. Уравнения равновесия элементов оболочки		353
§ 22.4. Зависимости между напряжениями, усилиями и перемещениями		358
§ 22.5. Дифференциальные уравнения теории тонких круглых цилиндрических оболочек		359
§ 22.6. Тонкие издрвленые составные оболочки. Безмоментное издрвление составных		362
§ 22.7. Гибка издрвленной замкнутой круглой цилиндрической оболочки, нагруженной равномерным издрвлением давлением		364
§ 22.8. Устойчивость издрвленной круглой цилиндрической оболочки, нагруженной равномерным давлением		369
§ 22.9. Устойчивость круглой цилиндрической оболочки, подверженной кольцевым и продольным ребрнги и издрвленной асимметричным давлением		373
§ 22.10. Практический расчет оболочек на устойчивость		375
Контрольные вопросы		377
РАЗДЕЛ V ОСНОВЫ ТЕОРИИ РАСЧЕТА СУДОВЫХ КОМПОНЕНТ И УПРУГОПЛАСТИЧЕСКОЙ ОБЛАСТИ		
Глава 23. Простые задачи теории пластичности		379
§ 23.1. Простые задачи деформационной теории пластичности		379
§ 23.2. Упругоупругая гнбга балок		381
Контрольные вопросы		383
Глава 24. Прямые нагрузки стержней и стержневых систем		384
§ 24.1. Прямые нагрузки однопролетных балок		384
§ 24.2. Прямые нагрузки многопролетных балок в равн		392
§ 24.3. Прямые нагрузки перерезной		396
§ 24.4. Влияние передрвленых сил на прямые нагрузки балок		398
Контрольные вопросы		402
Предметный указатель		405
Список литературы		408

ПЕРШИН С. В. Основы гидрообтекания — 18 д.; ил. — 3 р.

Обобщены исследования последних лет по изучению свойств водных животных, применены их данные, биоинженерные и гидродинамические исследования животных в аэродинамической трубе, гидроакустика в области гидрообтекания и др. Особое внимание уделено закономерностям формирования у гидродинамиков и моллюсков в толще шероховатой структуры организмической плавающей пленки, а также снижению гидродинамического сопротивления, гидродинамическому эффекту в движении животного и оптимизации вынужденного колебательного движения.

Для специалистов, работающих в области обтекания, биомеханики, гидродинамики, водного транспорта и судостроения.

ПАВЛЕНКО В. Т. Основы механики жидкости. — 18 д.; ил. — 1 р. 20 к.

Изложены основные вопросы механики вязкой жидкости. Отмечены наиболее перспективные гидродинамические прикладные методы в механике жидкости как расчетные, так и экспериментальные. Указаны основные приложения, многие из которых необходимо специалистам водного транспорта.

Для специалистов, занимающихся гидромеханикой, теорией корабля и проектированием судов. Рекомендована в качестве пособия для систем повышения квалификации.

ВОЛКУНСКИЙ Я. И. Спроектирование движителя судна Уолбокс — 2-е изд., перераб. и доп. — 28 д.; ил. — 1 р.

Рассмотрены физические процессы, вызывающие сопротивление движению судна в различных условиях движения. Приведены рекомендации по выбору формы корпуса судна, методы расчета и оценки сопротивления и востановительных моментов. По сравнению с первым изданием (1964 г.) в книгу включено описание процесса обтекания корпуса судна. Увеличено количество глав, посвященных особенностям расчета сопротивления движению судна с движимыми пропеллерами подлодки.

Для студентов кораблестроительных вузов, может быть полезна инженерно-техническим и научным работникам судостроительной промышленности и морского флота.

Валерий Александрович Поставя,
Дмитрий Михайлович Ростоцкий,
Виталий Павлович Сушков,
Юрий Петрович Кочаев

СТРОИТЕЛЬНАЯ МЕХАНИКА КОРАБЛЯ И ТЕОРИЯ УПРУГОСТИ

В 2 томах

ЖИЗНЬ И УСТОЙЧИВОСТЬ СТЕРЖНЕЙ, СТЕРЖНЕВЫХ СИСТЕМ, ПЛАСТИН И ОБОЛОЧЕК

Загл. редакция Д. В. Павлова
Редактор Н. И. Давыдова
Художественный редактор Ф. П. Андриенко
Технический редактор Р. К. Чистякова
Корректоры Т. С. Александрова, Л. В. Гурбунова,
С. И. Мануйлова
Художник В. Н. Осенченко
ИБ № 1290

Сдано в набор 12.08.87. Подписано в печать 09.09.87. Формат 60x90/16. Печать типографская № 2. Гарнитура литературная. Держать вертикаль. Усл. печ. л. 26,0. Усл. печ. листы 26,0. Усл. печ. л. 48,0. Ил. № 48,0. Загл. № 140. Тираж 3000 экз. Цена 1 р. 20 к.

Издательство «Судостроение», 19102, Ленинград, ул. Гаскова, 4.

Наблюдать в Ленинградском типографском № 2 государственного органа Трудового Красного Знамени Ленинградского объединения «Техникум» имени ин. Евгения Соколовой Союздизайнформы при Государственном комитете СССР по делам издательств, полиграфии и книжной торговли, 190021, г. Ленинград, Николаевская площадь, 20.

Отпечатано в Ленинградском типографском № 6 имени Трудового Красного Знамени Ленинградского объединения «Техникум» имени ин. Евгения Соколовой Союздизайнформы при Государственном комитете СССР по делам издательств, полиграфии и книжной торговли, 190099, Ленинград, Пржевальский проспект, 6. Загл. № 40.

НАСИДЬЕВ А. В. Управление судов: Учебник. — 20 с.
ил. — 1 р.

В соответствии с программой изложены основы теории управления судами и пути ее практического применения, в основном для судов речного флота.

Для студентов высших учебных заведений, инженерно-технических работников конструкторских, производственных и эксплуатационных организаций водного транспорта.